

**Ein Fenster zur gleichzeitigen Messung der
Übertragungsfunktion eines realen Systems
und des Leistungsdichtespektrums des
überlagerten Rauschens am Systemausgang
(Teil 1)**

Helmut Repp

Erlangen - 2025

Dipl.-Ing. Helmut Repp
Liegmitzer Straße 1
D-91058 Erlangen
Germany

Telefon: +49-9131-3 66 41

Mobile: +49-173-57 19 350

E-mail: Helmut.Repp@gmx.de

Übersicht

Mit Hilfe des aus der Literatur bekannten Rauschklirrmessverfahrens gelingt es in einer Messung sowohl die Übertragungsfunktion als auch das Rauschleistungsdichtespektrum eines gestörten zeitinvarianten Systems zu messen. Das Verfahren wird hier auf komplexwertige Systeme erweitert. Durch die Einführung einer Fensterung wird es unter anderem möglich, die spektralen Eigenschaften der Störung wesentlich frequenzselektiver und dabei dennoch leistungsrichtig zu ermitteln.

Da bei der Messung mit dem Rauschklirrmessverfahren bisher implizit eine Rechteckfensterung verwendet wurde, war es bisher bei Systemen, die durch Prozesse mit über der Frequenz stark schwankender Leistungsdichte gestört werden, nur bedingt möglich aussagekräftige Messwerte für das Leistungsdichtespektrum der Störung zu erhalten. Dies kann durch den Einsatz eines anderen Fensters als des Rechteckfensters deutlich verbessert werden. Es kann jedoch nicht jede beliebige Fensterfolge verwendet werden. Es werden zum einen exakte Bedingungen und zum anderen gewünschte Eigenschaften angegeben, die das Spektrum einer Fensterfolge erfüllen sollte, wenn man sie beim Rauschklirrmessverfahren einsetzen will. Weil die Berechnung der Messwerte der Übertragungsfunktion und des Leistungsdichtespektrums von der Wahl der Fensterfolge abhängt, ist bei Verwendung einer ungeeigneten Fensterfolge entweder ein extrem erhöhter Speicherbedarf und Rechenaufwand nötig oder es ist mit unbrauchbaren Messergebnissen zu rechnen. Es wird ein Algorithmus vorgestellt, mit dem eine geeignete Fensterfolge numerisch berechnet werden kann. Die Bedingungen, die es ermöglichen, die Fensterfolge beim Rauschklirrmessverfahren einzusetzen, werden von der mit diesem Algorithmus berechneten Fensterfolge mit Abweichungen erfüllt, die in der Größenordnung der minimal möglichen Rechenfehler liegen, also der Fehler, die auf Grund der endlichen Wortlänge der Zahlendarstellung des zur Berechnung verwendeten Rechners unvermeidbar sind. Dadurch, und durch die Tatsache, dass der hier vorgestellte Algorithmus nicht iterativ arbeitet, unterscheidet er sich von anderen in der Literatur bekannten Verfahren zum Entwurf von Fensterfolgen, die die gewünschten Eigenschaften nur näherungsweise erfüllen. Bei dem hier angegebenen Algorithmus kann die Länge der Fensterfolge als ein ganzzahliges Vielfaches der Länge des Rechteckfensters gewählt werden. Dadurch kann die Frequenzselektivität der Mes-

sung des Leistungsdichtespektrums der Störung nahezu beliebig erhöht werden, wobei die Gesamtrauschleistung der Störung immer erwartungstreu abgeschätzt werden kann. Mit der hier vorgestellten Fensterfolge ist eine erwartungstreue Messung der Übertragungsfunktion möglich, wobei der durch die Fensterung bedingte zusätzliche Rechenaufwand als gering zu bewerten ist. Dabei ergibt sich bei Systemen, die durch Prozesse mit über der Frequenz stark schwankender Leistungsdichte gestört werden, eine zum Teil deutlich verringerte Varianz für die Messwerte der Übertragungsfunktion.

Die zwei wichtigsten Eigenschaften der hier vorgestellten Fensterfolge seien kurz erwähnt. Zum einen lässt sich die Fensterfolge als eine Periode eines periodischen Signals darstellen, das nur niederfrequente Anteile aufweist, und zum anderen handelt es sich bei dem Betragsquadrat des Spektrums der Fensterfolge um das Spektrum eines M-tel-Band-Filters. Diese Eigenschaften machen die Fensterfolge auch für andere Anwendungen, wie z. B. den Einsatz in einer Filterbank, oder als Sendeimpuls bei der Übertragung digitaler Signale interessant. Auf diese Einsatzgebiete der Fensterfolge wird im Rahmen dieser Abhandlung abgesehen von einem beispielhaften Augendiagramm im zweiten Teil nicht näher eingegangen.

Inhaltsverzeichnis

1 Einleitung	1
1.1 Die Zufallsprozesse des Systems	2
1.2 Strukturierung der Abhandlung	5
1.3 Konventionen und Formelzeichen	9
2 Das Systemmodell	15
2.1 Das optimale lineare Modellsystem	15
2.1.1 Systemaufspaltung im Zeitbereich	16
2.1.2 Die Minimierungsaufgabe im Frequenzbereich	18
2.1.3 Systemaufspaltung als lineare Regression	19
2.1.4 Zur Wahl des Eingangsprozesses	22
2.1.5 Lösung der Systemapproximation im Frequenzbereich	23
2.2 Leistungsdichtespektrum, Periodogramm und Fensterung	25
2.2.1 Abtastwerte des LDS	26
2.2.2 Stufenapproximation des LDS	27
2.2.3 Periodogramm	29
2.2.4 Periodogramm des gefensterten Prozesses	29
2.2.5 Fenster mit leistungskomplementärem Spektrum	33
2.2.6 Aspekte zur Wahl der Fensterfolge	35
2.2.7 Systemapproximation mit Hilfe der gefensterten Prozesse	38
2.2.8 Orthogonalität der Systemapproximation mit Fensterung	41
2.2.9 Auswirkung der Fensterung auf das modifizierte LDS	42
2.3 Zusammenfassung der Systemapproximation mit Fensterung	44

3 Das Rauschklirrmessverfahren mit Fensterung	45
3.1 Prinzip der Messung der Übertragungsfunktion	45
3.2 Messung der Übertragungsfunktion bei geeigneter Fensterung	50
3.3 Erwartungstreue der Messwerte der Übertragungsfunktion	52
3.4 Prinzip der Messung des Leistungsdichtespektrums	56
3.5 Konstruktion einer Matrix zur Messung des Leistungsdichtespektrums . . .	61
3.6 Varianzen und Kovarianzen der Messwerte der Übertragungsfunktion . . .	68
3.7 Varianzen und Kovarianzen der Messwerte des LDS und des MLDS	71
3.8 Konsistenz der Messwerte	75
3.9 Anmerkungen zur Erhebung der Stichproben	76
3.10 Sonderfall der Messung eines linearen, unabhängig gestörten Systems . . .	77
3.11 Konfidenzgebiete der Messwerte	79
3.12 Spezielle Testsignale	87
3.12.1 Das Mehrtonsignal	87
3.12.2 Das Chirpsignal	88
4 Messung reellwertiger Systeme	91
4.1 Eine Variante des RKM zur Messung reellwertiger Systeme	91
4.2 Spezielle Testsignale bei reellwertigen Systemen	95
5 Spektralschätzung mittelwertfreier stationärer Prozesse	103
5.1 Vorüberlegungen	103
5.2 LDS- und MLDS-Messwerte	104
5.3 Messwertvarianzen und -kovarianzen	105
5.4 Spektralschätzung reellwertiger Zufallsprozesse	106

6 Die Fensterfolge	109
6.1 Konstruktion der Fensterfolge	109
6.1.1 Schritt 1: Konstruktion der Basisfensterfolge	111
6.1.2 Schritt 2: Konstruktion der Fensterautokorrelationsfolge	112
6.1.3 Schritt 3: Prinzip der Berechnung der Fensterfolge aus der Fenster-AKF	116
6.1.3.1 Beträge der Fourierreihenkoeffizienten der Fensterfolge	118
6.1.3.2 Phasen der Fourierreihenkoeffizienten der Fensterfolge	119
6.1.4 Der dritte Schritt des Algorithmus im Detail	122
6.1.4.1 Beträge der Fourierreihenkoeffizienten der Fensterfolge	123
6.1.4.2 Phasen der Fourierreihenkoeffizienten der Fensterfolge	124
6.2 Aspekte der notwendigen Rechengenauigkeit	129
6.3 Anmerkungen und Beispiele zu den Fensterfolgen	137
6.3.1 Beispiele einiger Fensterfolgen	137
6.3.2 Beispiele zum Anstieg der Sperrdämpfung	139
6.3.3 Präzision der Nullstellen im Fensterspektrum	143
6.3.4 Nullstellenlage der Z-Transformierten der Fensterfolgen	145
6.3.5 Beispiele der Fenster-AKF	145
6.3.6 Präzision der Nullstellen der Fenster-AKF	146
6.3.7 Präzision der Überlagerung der Betragsquadrate der Spektren der Fensterfolgen	149
6.3.8 Halbbandfilter	150
6.4 Andere Fensterfolgen	152
7 Beispiele für RKM-Messergebnisse	173
7.1 Einfluss der endlichen Wortlänge bei der Messwertberechnung	173
7.2 Einfluss eines periodischen Störers auf die Messung der Übertragungsfunktion	175
7.3 Messung mit zu kurzer Einschwingzeit	177
7.4 Messung des LDS mit Fenstern unterschiedlicher Länge	179
7.5 Konfidenzgebiete der Messwerte	183
7.6 Beispiel zur Interpretation der Konfidenzgebiete	188
7.7 Beispielsystem: $\Sigma\Delta$ -Wandler	191

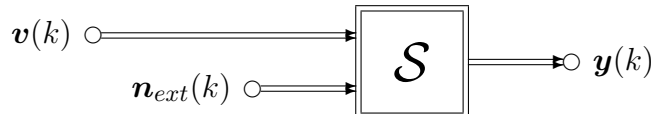
8 Zusammenfassung und Ausblick	197
Literaturverzeichnis	201
Anhang	203
A.1 Zweites Moment des Abstands der Regressionsfläche der ersten Art zur Regressionshyperebene der zweiten Art	203
A.2 Cauchy-Schwarzsche Ungleichung für die zweiten Momente zweier komplexer Zufallsgrößen	205
A.3 Zur Unabhängigkeit der Zufallsgrößen $\mathbf{V}(\mu)$ und $\mathbf{N}_f(\mu)$	206
A.4 Zur Konditionierung der empirischen Kovarianzmatrix	209
A.5 Zur Berechnung der Messwert(ko)varianzen	214
A.6 Vierte Momente eines komplexen mehrdimensionalen Gaußprozesses	218
A.7 Zu den Quantisierungsfehlern bei der Berechnung des Logarithmus	224
A.8 MATLAB-Programmrumpf zur Berechnung der Fensterfolge	225
Liste der verwendeten Abkürzungen und Formelzeichen	235

1 Einleitung

Von vielen Systemen in der Nachrichtenübertragung wünscht man ein lineares, zeitinvariantes und stabiles Verhalten. Reale Systeme können solches Verhalten nur näherungsweise erfüllen. So ist z. B. in der Realität der Bereich der zulässigen Aussteuerung immer begrenzt, bei digitalen Systemen kann nur mit endlicher Wortlänge gearbeitet werden, und bei kontinuierlichen Systemen zeigen nichtlineare Bauteilkennlinien ihre Wirkung. Auch externe Störungen, die von außen in das System einstreuern, verursachen Abweichungen des realen Systemverhaltens vom gewünschten Systemverhalten. Um beurteilen zu können, wie gut das in Bild 1.1a dargestellte reale System \mathcal{S} das gewünschte lineare Systemverhalten erfüllt, modellieren wir in Bild 1.1b die Abweichungen vom linearen Systemverhalten als eine Störung $\mathbf{n}(k)$, die einem ideal linearen Modellsystem \mathcal{S}_{lin} ausgangsseitig überlagert ist. Alle Störungen, die in das reale System einstreuern, sind in Bild 1.1a zu dem Störer $\mathbf{n}_{ext}(k)$ zusammengefasst. Im weiteren werde ich das lineare System \mathcal{S}_{lin} als Modellsystem bezeichnen, während das gesamte System, also das lineare Modellsystem, das um die Modellstörung $\mathbf{n}(k)$ erweitert ist, als Systemmodell bezeichnet wird.

In dieser Abhandlung werde ich mich auf die Untersuchung zeitdiskreter Systeme beschränken. Bei zeitkontinuierlichen Systemen sind in der Regel alle an dem System auf-

a) Reales System:



b) Systemmodell:

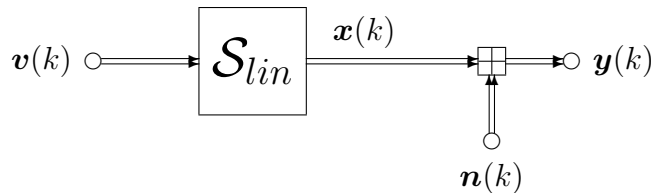


Bild 1.1: Modell eines gestörten nichtlinearen realen Systems

tretenden Signale — Nutz- als auch Störsignale — auf ein bestimmtes Frequenzband begrenzt. Daher lassen sich diese kontinuierlichen Signale theoretisch ohne Informationsverlust anhand ihrer Abtastwerte analysieren und synthetisieren, wenn die Abtastung in geeigneter Weise erfolgt. Bei Bandpasssignalen ist gegebenenfalls die bei der Abtastung inhärente Abmischung ins Basisband zu berücksichtigen. Zusammen mit der Synthese des Eingangssignals des realen kontinuierlichen Systems aus einer digitalen Signalfolge und mit der Abtastung des Ausgangssignals ergibt sich aus dem kontinuierlichen realen System ein neues reales System, das digital arbeitet. Bei der Synthese des Eingangssignals mit einer realen Digital-Analog-Wandlung mit anschließender Tiefpassfilterung und eventueller Modulation, entstehen ebenso Fehler, wie auch bei einer realen Tief- bzw. Bandpassfilterung mit anschließender Abtastung und Analog-Digital-Wandlung auf der Analyseseite. Will man Messungen an kontinuierlichen Systemen durchführen, so sollten diese unvermeidbaren Fehler klein gegenüber den Störungen im zu vermessenden kontinuierlichen System sein. Nur dann wird man erwarten können, dass die Messergebnisse, die sich auf das digitale Gesamtsystem beziehen, das reale kontinuierliche System brauchbar beschreiben. Im weiteren wird unter dem realen System immer das digitale Gesamtsystem verstanden.

In aller Regel sind reale Systeme nicht nur für die Erregung mit einer konkreten Signalfolge entworfen. Man wird daher nicht nur die Störung, sondern auch die Erregung des Systems als einen Zufallsprozess $\mathbf{v}(k)$ betrachten, von dem die wichtigsten stochastischen Eigenschaften — wie z. B. die Varianz — bekannt sind.

Den ersten Teil der Einleitung bilden einige Vorbemerkungen zu den am System auftretenden Zufallsprozessen. Im folgenden Unterkapitel, stelle ich die Struktur dieser Abhandlung vor. Es beginnt mit einigen Aspekten, die bei der theoretischen Aufteilung des realen Systems in das lineare Modellsystem und die Modellstörung zu beachten sind. Es folgt ein kurze Einleitung zu der hier vorgestellten Erweiterung eines Messverfahrens zur empirischen Bestimmung der das Systemmodell beschreibenden Größen. Die Erweiterung besteht dabei in der Einführung einer Fensterung. Die Konstruktion geeigneter Fensterfolgen bildet den folgenden Schwerpunkt der Abhandlung. Beispiele für Messergebnisse, die sich mit dem modifizierten Messverfahren erzielen lassen, runden das Ganze ab. Im letzten Unterkapitel der Einleitung gehe ich auf die Systematik der in dieser Abhandlung verwendeten Schreibweisen ein.

1.1 Die Zufallsprozesse des Systems

Um das reale System zu modellieren, ist man nun daran interessiert, den Prozess $\mathbf{y}(k)$ am Ausgang des realen Systems \mathcal{S} in zwei Anteile $\mathbf{x}(k)$ und $\mathbf{n}(k)$ aufzuspalten, wie dies

in Bild 1.1 im unteren Teilbild dargestellt ist. Der eine Anteil $\mathbf{x}(k)$ ist die Reaktion eines idealen linearen zeitinvarianten Modellsystems \mathcal{S}_{lin} , das durch seine Übertragungsfunktion $H(\Omega)$ beschrieben wird, auf den erregenden Prozess $\mathbf{v}(k)$. Der zweite Anteil ist der Modellrauschprozess

$$\mathbf{n}(k) = \mathbf{y}(k) - \mathbf{x}(k), \quad (1.1)$$

der die Abweichungen vom linearen Systemverhalten modelliert. Es sei darauf hingewiesen, dass durch diese Wahl des Modellrauschprozesses $\mathbf{n}(k)$ die Zufallsprozesse an den Ausgängen des realen Systems und des Systemmodells dieselben sind.

Im weiteren werde ich mich in dieser Abhandlung auf den Fall beschränken, dass der Verbundprozess aus $\mathbf{v}(k)$ und $\mathbf{y}(k)$ stationär und mittelwertfrei ist. Wie man das Systemmodell für reale Systeme, die von instationären Prozessen gestört oder erregt werden, erweitern kann, und dass man auch bei solchen Systemen das Rauschklirrmessverfahren anwenden kann, wird in [6] gezeigt.

Eine Ensemblemittelung — d. h. eine Mittelung über mehrere Messungen im gleichen Zeitintervall, bei denen das System mit unterschiedlichen Musterfolgen des eingangsseitigen Zufallsprozesses erregt wird — kann zur Gewinnung der das System beschreibenden Größen an einem einzelnen System nicht vorgenommen werden. Wenn wir jedoch annehmen können, dass die Ergodenhypothese erfüllt sei, was wir im Weiteren tun wollen, kann die Messung der das System beschreibenden Größen mit Hilfe einer Zeitmittelung erfolgen. Deshalb werden bei der Messung zeitlich begrenzte Musterfolgen verwendet, die in unterschiedlichen Zeitintervallen das zu messende System erregen. Am Ausgang des Systems werden dann die entsprechenden zeitlich begrenzten Musterfolgen des Ausgangsprozesses gemessen.

In aller Regel lässt sich der Prozess $\mathbf{n}(k)$ niemals vollständig beschreiben. Dazu müsste man nämlich die in der Dimension unbegrenzte Verbundverteilungsfunktion des Prozesses für alle Zeitpunkte k angeben. Im Rahmen dieser Abhandlung werde ich mich daher bei der theoretischen Beschreibung des Modellrauschprozesses $\mathbf{n}(k)$ auf die Momente zweiter Ordnung beschränken, die sich aus der zweidimensionalen Verbundverteilungsfunktion des Rauschprozesses für zwei beliebige Zeitpunkte berechnen lassen. Ein Teil der Momente zweiter Ordnung bildet die Autokorrelationsfolge (AKF) dieses Prozesses. Sie beinhaltet die Korrelationen der Zufallsgrößen des Prozesses zu einem Zeitpunkt mit den Zufallsgrößen zu einem weiteren Zeitpunkt. Da wir im weiteren immer komplexe Zufallsprozesse betrachten, ist die Korrelation der beiden zeitversetzten Zufallsgrößen des Prozesses als der Erwartungswert des Produkts der einen Zufallsgröße mit dem *Konjugierten* der anderen Zufallsgröße definiert.

$$\phi_{\mathbf{n}}(\kappa) = \mathbb{E}\{\mathbf{n}(k)^* \cdot \mathbf{n}(k+\kappa)\} \quad (1.2)$$

Weil wir angenommen haben, dass es sich um einen mittelwertfreien und somit zentralen Prozess handelt, ist die Autokorrelationsfolge identisch mit der Autokovarianzfolge, die aus den entsprechenden zweiten *zentralen* Momenten gebildet wird. Da wir davon ausgehen, dass ein im weiten Sinne stationärer Prozess vorliegt, hängt dessen AKF nur von der Zeitdifferenz κ , nicht aber von der absoluten Lage k der beiden am Produkt der Kovarianz beteiligten Zufallsgrößen des Prozesses ab. Über eine eindimensionale Fouriertransformation bezüglich dieser Zeitdifferenz erhält man das Leistungsdichtespektrum (LDS)

$$\Phi_{\mathbf{n}}(\Omega) = \sum_{\kappa=-\infty}^{\infty} \phi_{\mathbf{n}}(\kappa) \cdot e^{-j \cdot \Omega \cdot \kappa} \quad \forall \quad \Omega \in \mathbb{R}. \quad (1.3)$$

Bei komplexen Rauschprozessen ist die Beschreibung der zweiten Momente nur vollständig, wenn neben der AKF auch noch die diskrete Folge der Kovarianzen der Zufallsgrößen des Prozesses zu einem Zeitpunkt mit den konjugierten Zufallsgrößen zu einem weiteren Zeitpunkt angegeben wird. Weil bei der Definition der Kovarianz nach Gleichung (1.2) die eine daran beteiligte Zufallsgröße bereits konjugiert wird, ist also auch noch die Folge der Erwartungswerte der Produkte zweier *nicht* konjugierter Zufallsgrößen anzugeben.

$$\psi_{\mathbf{n}}(\kappa) = E\{\mathbf{n}(k) \cdot \mathbf{n}(k+\kappa)\} \quad (1.4)$$

Diese sei im weiteren als modifizierte Autokorrelationsfolge (MAKF) bezeichnet. Bei einem im weiten Sinne stationären Prozess hängt auch diese Folge nur von der Zeitdifferenz κ der daran beteiligten Zufallsgrößen ab. Durch eine diskrete Fouriertransformation gewinnt man daraus ein Spektrum

$$\Psi_{\mathbf{n}}(\Omega) = \sum_{\kappa=-\infty}^{\infty} \psi_{\mathbf{n}}(\kappa) \cdot e^{-j \cdot \Omega \cdot \kappa} \quad \forall \quad \Omega \in \mathbb{R}, \quad (1.5)$$

das im weiteren als modifiziertes Leistungsdichtespektrum (MLDS) bezeichnet werden soll. Im Rahmen dieser Abhandlung will ich mich bei der Beschreibung der stochastischen Eigenschaften des Rauschprozesses mit der Angabe des LDS und MLDS bzw. der Messwerte dieser Funktionen begnügen.

Die Einschränkung auf diese i. Allg. unvollständige Beschreibung des Rauschprozesses ist deshalb sinnvoll, weil es oft nicht notwendig ist, eine vollständige Beschreibung zu kennen. Bei vielen Berechnungen, wie z. B. bei der Berechnung von Signal-Geräuschverhältnissen, gehen nur diese Momente in die Rechnung ein. Eine weitere wichtige Motivation ist durch den zentralen Grenzwertsatz gegeben, der besagt, dass bei der additiven Überlagerung hinreichend vieler unabhängiger Rauschquellen, die alle einen verschwindenden Beitrag zur gesamten Störung liefern, ein Rauschprozess entsteht, der näherungsweise normalverteilt ist. Bei einem normalverteilten Rauschprozess genügt es, die ersten beiden Momente

zu kennen, um diesen vollständig zu beschreiben, weil sich alle weiteren Momente aus den ersten beiden Momenten berechnen lassen. Bei vielen realen Systemen kann von dem eingestreuten, externen Rauschprozess angenommen werden, dass er durch eine derartige additive Überlagerung entstanden ist. Es sei noch darauf hingewiesen, dass die Signale in realen Systemen in ihrem Wertebereich begrenzt sind. Einerseits bedeutet das, dass der Rauschanteil eines gemessenen Signals niemals exakt normalverteilt sein kann, so dass die Beschreibung des Rauschprozesses niemals vollständig sein kann. Andererseits garantiert diese Tatsache die Existenz der Momente zweiter Ordnung für alle in realen Systemen gemessenen Rauschprozesse.

1.2 Strukturierung der Abhandlung

Es wird in Kapitel 2.1 gezeigt, welche Übertragungsfunktion $H(\Omega)$ sich im Systemmodell theoretisch ergibt, wenn das Modellsystem das lineare Verhalten des realen Systems so approximieren soll, dass das zweite Moment des Modellrauschprozesses $\mathbf{n}(k)$ möglichst klein wird. Die Überführung des realen Systems in das Systemmodell wird somit als die Lösung einer linearen Regression dargestellt. Der Modellrauschprozess ergibt sich daher als der Prozess des Restfehlers, der bei der optimalen Approximation des realen Systems durch das lineare zeitinvariante System verbleibt. Er wird daher im weiteren auch oft als Approximationsfehlerprozess bezeichnet.

Da die Approximation des realen Systems durch das Systemmodell nach Bild 1.1 von den i. Allg. unbekannten statistischen Eigenschaften der Störungen am realen System abhängt, kann man die zu bestimmenden, in Ω kontinuierlichen Funktionen $H(\Omega)$, $\Phi_{\mathbf{n}}(\Omega)$ und $\Psi_{\mathbf{n}}(\Omega)$ in der Regel nicht theoretisch in geschlossener Form angeben. Man muss daher zunächst endlich viele Werte finden, mit deren Hilfe die das Systemmodell beschreibenden Funktionen möglichst aussagekräftig charakterisiert werden können. Des Weiteren wird ein Verfahren benötigt, das es erlaubt, mit Hilfe einer Messung am realen System diese endlich vielen Werte abzuschätzen.

Bei der Übertragungsfunktion $H(\Omega)$ wird man sich daher mit der Angabe endlich vieler äquidistanter Abtastwerte begnügen. Nach dem Abtasttheorem ist diese Beschreibung der Übertragungsfunktion immer dann vollständig, wenn das theoretische, lineare Modellsystem eine zeitlich begrenzte Impulsantwort besitzt, und die Anzahl der Abtastwerte der Übertragungsfunktion hinreichend groß gewählt wird. Bei vielen realen Systemen kann man davon ausgehen, dass diese Art der Beschreibung der Übertragungsfunktion wenigstens in guter Näherung ausreichend ist. Durch die Verwendung eines bereichsweise periodischen Eingangsprozesses gelingt es, das Regressionsproblem in der Art zu modifizieren,

dass darin nur mehr die endlich vielen äquidistanten Abtastwerte der Übertragungsfunktion auftreten.

Da man bei einigen Systemen nicht mit einer hinreichend engen zeitlichen Begrenzung der AKF rechnen kann, wird das LDS durch die Schätzung endlich vieler Abtastwerte oft nur unzureichend beschrieben. Des Weiteren kann man zeigen (z. B. in [7]), dass es keine konsistenten Messwerte für die Abtastwerte des LDS eines Zufallsprozesses gibt, selbst wenn man die Messdauer theoretisch über alle Grenzen wachsen lässt. Daher muss man sich überlegen, welche andere dem LDS eng verwandte spektrale Folge man zur Beschreibung des Modellrauschprozesses verwenden kann. Diese Überlegung führt in Kapitel 2.2 zu der Angabe des Erwartungswertes des Periodogramms eines gefensterten Ausschnitts des Modellzufallsprozesses. Damit diese Beschreibung des Rauschprozesses eine hohe Aussagekraft erhält, muss man gewisse Forderungen an die dabei verwendete Fensterfolge stellen. Eine der Forderungen ist, dass die über den Erwartungswert des Periodogramms berechnete Gesamtrauschleistung gleich der tatsächlichen Rauschleistung sein soll, die gleich der AKF an der Stelle Null ist. Es wird gezeigt, dass dies erfüllt wird, wenn die Fensterfolge ein leistungskomplementäres Spektrum aufweist. Bei einem solchen Spektrum überlagern sich die Betragsquadrate mehrerer verschobener Versionen des Spektrums zu einer Konstanten. Die Fenster-AKF $f(k) * f(-k)/M$ ist dann die Impulsantwort eines M -tel-Band-Tiefpassfilters. Es wird weiterhin gezeigt, dass ein rechteckförmiger Verlauf für das Betragsquadrat des Spektrums der Fensterfolge wünschenswert wäre. Da dieser Wunschverlauf von einer endlich langen Fensterfolge niemals exakt realisiert werden kann, wird man versuchen, diesen Wunschverlauf des Betragsquadrats des Spektrums möglichst gut zu approximieren. Dabei zeigt sich, dass es wünschenswert ist, möglichst einen Dämpfungs frequenzgang zu erzielen, bei dem die Sperrdämpfung für große Frequenzen mit einer frei vorgebbaren Potenz ansteigt. Im Fall einer zeitlich hinreichend begrenzten Autokorrelationsfolge soll es die verwendete Fensterfolge ermöglichen, die AKF aus den endlich vielen Erwartungswerten des Periodogramms perfekt rekonstruieren zu können.

In Kapitel 2.2 wird noch eine weitere Bedingung für das Spektrum der Fensterfolge hergeleitet. Wird diese Bedingung eingehalten, so lässt sich zeigen, dass bei der Lösung des Regressionsproblems die Minimierung des zweiten Moments des Approximationsfehlers äquivalent zur Minimierung des Erwartungswertes des gefensterten Periodogramms ist. Somit ergeben sich bei beiden Minimierungen dieselben Parameter des linearen Modellsystems also dieselben Werte der Übertragungsfunktion.

Früher wurde für die Abschätzung der das Systemmodell beschreibenden endlich vielen Frequenzwerte ein Verfahren — das Rauschklirrmessverfahren (RKM) — angewandt, das sich aus vielen Einzelmessungen für jede zu messende Frequenz zusammensetzte [2]. In [3] und [1] wurde ein Verfahren vorgestellt, bei dem die Messung für den gesamten

zu messenden Frequenzbereich auf einmal erfolgt. Dabei wurde der Name „Rauschklirrmessverfahren“ übernommen, obwohl jetzt nicht mehr mit Sinuseintonsignalen gemessen wird, und auch keine Klirrfaktoren mehr bestimmt werden. In [4] wurde dieses Verfahren modifiziert, um den Rechenaufwand des RKM deutlich zu verringern. In Kapitel 3 wird nun eine weitere Modifikation des Verfahrens nach [1] und [4] vorgestellt. Das RKM wird dabei als die empirische Bestimmung der Regressionskoeffizienten dargestellt. Bei Störungen mit über der Frequenz stark schwankendem LDS wird durch die Einführung einer Fensterung bei nur geringfügig erhöhtem Aufwand erreicht, dass die Messwerte das LDS deutlich besser beschreiben. Von Beginn an wird dabei die Verallgemeinerung auf komplexwertige Systeme und Signale vorgenommen. Mit diesem Messverfahren kann daher sowohl das LDS des Approximationsfehlers als auch dessen MLDS abgeschätzt werden.

Sinnvoll ist ein Messverfahren nur dann, wenn die damit gewonnenen Messwerte die zu messenden Größen erwartungstreu und konsistent abschätzen. Dies ist der Fall, wenn sich die Messwerte mit zunehmender Messdauer in Wahrscheinlichkeit an die zu messenden Größen annähern. Um das beurteilen zu können, werden in Kapitel 3 im Anschluss die Erwartungswerte und die Varianzen der Messwerte untersucht. Wenn man die theoretischen Varianzen und Kovarianzen der Real- und Imaginärteile der Messwerte kennt, und wenn man annimmt, dass die Messwerte normalverteilt sind, kann man Konfidenzgebiete um die Messwerte herum angeben, deren Größe von einer vorgebbaren Wahrscheinlichkeit abhängt. Mit dieser Wahrscheinlichkeit beinhaltet dann das Konfidenzgebiet den wahren Wert der abzuschätzenden theoretischen Größe. Da man die wahren theoretischen (Ko)varianzen der Messwerte nicht kennt, kann man die Konfidenzgebiete nur anhand der Messung abschätzen. In Kapitel 3 wird beschrieben, wie man diese Schätzwerte für die Konfidenzgebiete aus den Messwerten berechnen kann. Des Weiteren wird dort der Vorteil der Verwendung zufälliger Mehrton- und Chirpsignale untersucht.

Die Vereinfachungen, die sich bei der Messung reellwertiger Systeme ergeben, werden in Kapitel 4 diskutiert. Dabei wird ein neuartiges zufälliges reelles Chirpsignal vorgestellt.

Auf den Spezialfall der klassischen Spektralschätzung eines reellen mittelwertfreien Zufallsprozesses, bei dem kein Modellsystem angesetzt wird, wird in Kapitel 5 eingegangen. Eine implementierungsnahe Auflistung der bei diesem Messverfahren durchzuführenden Einzelschritte, sowie eine Abschätzung des benötigten Speicherbedarfs findet sich in [6]. Außerdem wird dort untersucht, wie sich das Modellsystem erweitern lässt, wenn sich das reale System nicht oder nur unzureichend durch ein lineares zeitinvariantes System modellieren lässt, und wie das Messverfahren abzuändern ist, wenn sich ein Approximationsfehlerprozess mit einem zeitabhängigen ersten Moment ergibt, oder wenn weitere Kreuzkorrelationen des Ein- und Ausgangsprozesses berücksichtigt werden sollen. Auch die theoretische Behandlung eines zyklostationären Approximationsfehlerprozesses, sowie

die erweiterte Messung der spektralen Eigenschaften eines solchen Fehlerprozesses wird in [6] diskutiert. Weitere Messwerte, die man aus den bis dahin beschriebenen Messergebnissen ableiten kann, sind die ggf. vom Zeitpunkt der Erregung abhängige Impulsantwort sowie die AKF und die MAKF des komplexen Approximationsfehlerprozesses. Deren Berechnung wird ebenfalls in [6] angegeben.

Die Angabe eines Verfahrens zur Berechnung einer für das RKM geeigneten Fensterfolge erfolgt in Kapitel 6. Dieses ist von den davorliegenden Kapiteln nur insofern abhängig, dass die damit berechenbaren Fensterfolgen die Forderungen erfüllen, die in Kapitel 2.2 hergeleitet wurden. Wer nicht an der Verwendung der Fensterfolge beim RKM interessiert ist, kann nun gleich zu Kapitel 6 weiterspringen, und muss lediglich die an die Fensterfolgen gestellten Forderungen anhand der angegebenen Gleichungsnummern in Kapitel 2.2 nachschlagen. Zunächst wird in Kapitel 6.1 das Prinzip der Berechnung der Fensterfolge vorgestellt, und gezeigt, dass eine so konstruierte Fensterfolge die gewünschten Eigenschaften aufweist. Ein Algorithmus wird im folgenden angegeben, mit dessen Hilfe die Fensterfolge numerisch berechnet werden kann. Dieser ist bezüglich der Genauigkeit der Berechnung der Fensterfolge mit Hilfe eines Prozessors optimiert, der mit Gleitkommaarithmetik arbeitet. Bei solchen Prozessoren ist die Größenordnung des wegen der endlichen Wortlänge unvermeidbaren relativen Fehlers der Zahlendarstellung über viele Dekaden hinweg nahezu konstant. Die Größenordnung der bei der Berechnung des Fensters auftretenden Fehler wird abgeschätzt. Die hier vorgestellte Methode eine geeignete Fensterfolge zu berechnen, ist ein Sonderfall eines allgemeineren Algorithmus, der in [6] zu finden ist. Dort wird auch eine Variante behandelt, mit deren Hilfe man eine kontinuierliche Fensterfunktion berechnen kann, die ähnliche Eigenschaften wie die diskrete Fensterfolge aufweist, und die in einem gewissen Sinne als Grenzwertlösung anzusehen ist.

In Kapitel 6.3 folgen einige graphische Darstellungen, die die Eigenschaften der mit dem angegebenen Algorithmus konstruierten Fensterfolge für unterschiedliche Parametereinstellungen demonstrieren. Anschließend werden andere aus der Literatur bekannten Fensterfolgen auf ihre Einsetzbarkeit beim RKM überprüft.

Anhand einiger am Rechner simulierter Beispielsysteme wird in Kapitel 7 die Verbesserung der Messgenauigkeit des RKM durch den Einsatz der Fensterung verdeutlicht. Auch für den Sonderfall der Spektralschätzung des LDS eines Rauschprozesses wird an einem Beispiel die Verwendbarkeit der so konstruierten Fensterfolge gezeigt. Die in diesem Kapitel angeführten Beispiele dienen auch der Verdeutlichung einiger im theoretischen Teil der Abhandlung beschriebener Sachverhalte.

Neben einigen Beweisen und Herleitungen, von denen manche an mehreren Stellen des Hauptteils gebraucht werden, befindet sich im Anhang auch der Rumpf eines Programms in der Interpretersprache MATLAB zur Berechnung der Fensterfolge.

1.3 Konventionen und Formelzeichen

Mit einigen Worten zu der Systematik der in dieser Abhandlung verwendeten Schreibweisen möchte ich die Einleitung beenden. Eine ausführliche Übersicht über die verwendeten Abkürzungen und Formelzeichen befindet sich im Anhang.

Unter einer reellen Zufallsgröße soll im weiteren das verstanden werden, was in der Literatur auch oft als zufällige Veränderliche oder Zufallsvariable bezeichnet wird. Dabei handelt es sich um eine Abbildung des Ergebnisraums eines Zufallsexperimentes auf den Körper der reellen Zahlen, die gewissen Einschränkungen unterliegt. Unter einer komplexen Zufallsgröße soll die Linearkombination zweier reeller Zufallsgrößen verstanden werden, bei der die erste reelle Zufallsgröße den Koeffizienten 1 und die zweite den Koeffizienten j aufweist. Die beiden daran beteiligten reellen Zufallsgrößen unterliegen keinen Einschränkungen, und können daher sowohl stochastisch abhängig, als auch korreliert sein. Wenn nicht explizit angegeben wird, dass eine reelle Zufallsgröße gemeint ist, ist immer davon auszugehen, dass es sich um eine komplexe Zufallsgröße handelt.

Ein Zufallsvektor ist ein geordnetes n -Tupel von Zufallsgrößen. Diese werden in der Literatur oft auch als n -dimensionale Zufallsgrößen bezeichnet. Zufallsprozesse sind Zufallsgrößen, die von einem Parameter abhängen. Für jeden Parameterwert aus dem Definitionsbereich des Parameters kann man diese als eine eigene Zufallsgröße interpretieren, die von den anderen Zufallsgrößen des Prozesses für andere Parameterwerte abhängen kann. Zufallsprozesse mit einem Parameter, der einer endlichen und abzählbaren Menge entnommen wird, kann man als Zufallsvektoren betrachten, wobei man jedem möglichen Parameterwert ein Element des Zufallsvektors eindeutig zuordnet. Daher werde ich solche Zufallsprozesse auch als Zufallsvektoren bezeichnen und ich werde den Begriff des Zufallsprozesses hauptsächlich auf solche Zufallsprozesse anwenden, deren Parameter einer unendlichen Menge entstammt.

Es sei noch auf eine Besonderheit komplexer Zufallsgrößen und Vektoren hingewiesen. Da man für komplexe Zahlen keine „größer als“ oder „kleiner als“ Relation angeben kann — die Schreibweise $\mathbf{x} < x$ also sinnlos ist — gibt es für komplexe Zufallsgrößen auch keine Verteilung $P(\mathbf{x} < x)$, welche die Wahrscheinlichkeit ist, dass die Zufallsgröße \mathbf{x} kleiner als der freie Parameter x der Verteilung ist. Da aber andererseits auch bei einer reellen Zufallsgröße die Schreibweise $\mathbf{x} < x$ in dem Ausdruck $P(\mathbf{x} < x)$ selbst nur eine symbolische Schreibweise ist, wird diese symbolische Schreibweise im weiteren auch für komplexe Zufallsgrößen verwendet. Bei einer reellen Zufallsgröße steht die Schreibweise $P(\mathbf{x} < x)$ für die Wahrscheinlichkeit, dass das Ergebnis (Elementarereignis) eines Zufallsexperimentes in dem Unterraum der Ergebnismenge des Experimentes liegt, der nur die Ergebnisse enthält, denen die Werte der Zufallsgröße zugeordnet sind, die kleiner als x sind. Im Fall einer

komplexen Zufallsgröße verwende ich im weiteren die symbolische Schreibweise $P(\mathbf{x} < x)$ für die Wahrscheinlichkeit, dass ein Zufallsexperiment ein Ergebnis liefert, das in dem Unterraum der Ergebnismenge liegt, der nur die Ergebnisse enthält, denen die komplexen Werte der Zufallsgröße zugeordnet sind, deren Realteil kleiner als der Realteil von x ist und deren Imaginärteil kleiner als der Imaginärteil von x ist. Die symbolische Schreibweise $P(\mathbf{x} < x)$ sei also gleichbedeutend mit sonst üblichen, aufwendigeren und ebenfalls symbolischen Schreibweise $P(\Re\{\mathbf{x}\} < \Re\{x\} \wedge \Im\{\mathbf{x}\} < \Im\{x\})$. Mit anderen Worten: es wird im weiteren unter der Verteilung einer komplexen Zufallsgröße immer die Verbundverteilung ihres Real- und Imaginärteils verstanden. Entsprechendes gilt für die Verbundverteilung eines komplexen Zufallsvektors mit L Elementen. Mit $P(\vec{\mathbf{x}} < \vec{x})$ sei die Verbundverteilung $P(\Re\{\mathbf{x}_1\} < \Re\{x_1\} \wedge \Im\{\mathbf{x}_1\} < \Im\{x_1\} \wedge \dots \wedge \Re\{\mathbf{x}_L\} < \Re\{x_L\} \wedge \Im\{\mathbf{x}_L\} < \Im\{x_L\})$ der Real- und Imaginärteile aller Elemente des Zufallsvektors bezeichnet. Analog wird, wenn von der Dimension des komplexen Raumes, über dem die Verteilung eines komplexen Zufallsvektors definiert ist, oder wenn von einer Anzahl komplexer Freiheitsgrade die Rede ist, gegebenfalls die entsprechende doppelte Dimension oder doppelte Anzahl der Freiheitsgrade der entsprechenden reellen Real- und Imaginärteilzufallsgrößen gemeint sein.

Eine Zufallsgröße ist eine skalare Größe, also eine 1×1 Matrix. L konkrete Realisierungen einer Zufallsgröße bilden eine konkrete Stichprobe vom Umfang L . Diese werde ich im Weiteren immer zu einem *nicht* zufälligen $1 \times L$ Zeilenvektor zusammenfassen. Eine konkrete Stichprobe vom Umfang L ist das Ergebnis von L Zufallsexperimenten, nämlich der L Experimente „Ziehen einer konkreten Realisierung einer Zufallsgröße“. Nur wenn die Methode der Stichprobenentnahme geeignet gewählt wurde, sind die L Zufallsgrößen aller L Zufallsexperimente unabhängig und besitzen alle die gleiche Verteilung, nämlich die Verteilung der Zufallsgröße, aus der die Stichprobe entnommen wurde. Nur wenn diese beiden Voraussetzungen für die Entnahme der Stichprobe erfüllt sind, spricht man bei dem zufälligen $1 \times L$ Zeilenvektor, der diese L Zufallsgrößen enthält, von einer mathematischen Stichprobe vom Umfang L . In Gegensatz zur konkreten Stichprobe, dessen Elemente L *nicht* zufällige, konkret gezogene Werte sind, sind die Elemente des mathematischen Stichprobenvektors unabhängige Zufallsgrößen mit identischer Verteilung.

Werden dagegen andere M Zufallsgrößen zu einem Zufallsvektor zusammengefasst, dessen Elemente nicht die Zufallsgrößen einer mathematischen Stichprobe vom Umfang L sind, so werden diese im Weiteren zu einen zufälligen $M \times 1$ Spaltenvektor zusammengefasst. Eine konkrete Realisierung eines solchen Zufallsspaltenvektors ist ebenfalls ein $M \times 1$ Spaltenvektor, der aber nicht zufällig ist. Eine konkrete Stichprobe vom Umfang L eines $M \times 1$ Zufallsvektors ist eine nicht zufällige $M \times L$ Matrix, die eine konkrete Realisierung der zufälligen $M \times L$ Matrix der mathematischen Stichprobe des Zufallsvektors

vom Umfang L ist. Zufallsgrößen, Zufallsvektoren, Zufallsmatrizen und Zufallsprozesse werden in Fettdruck dargestellt. Konkrete Realisierungen, Stichproben und daraus gewonnene Messwerte werden mit demselben Symbol aber *nicht* fettgedruckt dargestellt. Schätzwerte sind mit einem Dach $\hat{\cdot}$ gekennzeichnet¹.

Bei Vektoren, die dadurch entstanden sind, dass mehrere Werte einer Folge zusammengefasst worden sind oder, dass Zufallsgrößen unterschiedlicher Werte des Parameters eines Prozesses zusammengefasst worden sind, wird zur Unterscheidung der Elemente des Vektors das Argument der Folge bzw. der Parameter des Prozesses in runden Klammern verwendet. Steht hingegen die Vektorcharakteristik im Vordergrund, so wird die Schreibweise mit einem tiefgestellten Index für den Zugriff auf einzelne Vektorelemente verwendet. Entsprechendes gilt für Matrizen.

Am Beispiel des Zufallsspaltenvektors \vec{V} sei erläutert, welche Elemente in Zeilen- und welche Elemente in Spaltenvektoren zusammengefasst werden, und es wird klargestellt, wann es sich bei diesen Elementen um konkrete, nichtzufällige Werte und wann um Zufallswerte handelt. Der Zufallsspaltenvektor \vec{V} enthält die M Elemente $\mathbf{V}(\mu)$, also die M Zufallsgrößen, die sich für die M ganzzahligen Werte μ von 0 bis $M-1$ des Parameters des Zufallsprozesses $\mathbf{V}(\mu)$ des Spektrums der Erregung ergeben. Eine konkrete, Stichprobe vom Umfang L eines Elementes — des μ -ten Elementes — ist der nicht zufällige Zeilenvektor $\vec{V}(\mu)$ mit den L Elementen $V_\lambda(\mu)$. Eine konkrete Stichprobe vom Umfang L des Zufallsvektors \vec{V} ist demnach die nicht zufällige $M \times L$ Matrix \underline{V} . Jeder Spaltenvektor \vec{V}_λ ist ein Element der Stichprobe des Zufallsvektors \vec{V} und somit eine konkrete Realisierung dieses Zufallsvektors. Die $M \times L$ Matrix \mathbf{V} ist die zufällige Matrix der *mathematischen* Stichprobe vom Umfang L des Zufallsvektors \vec{V} . Sie berücksichtigt, dass das Entnehmen einer Stichprobe selbst ein Zufallsexperiment ist. Die nicht zufällige Matrix \underline{V} ist eine konkrete Realisierung der zufälligen Matrix \mathbf{V} . Der zufällige Zeilenvektor $\vec{V}(\mu)$ ist die mathematische Stichprobe vom Umfang L der Zufallsgröße $\mathbf{V}(\mu)$ und somit zugleich eine Zeile der Zufallsmatrix \mathbf{V} .

Wenn von Normen die Rede ist, so ist bei Vektoren immer die euklidische Norm gemeint, und bei Matrizen — wenn nichts anders gesagt wird — die mit der euklidischen Vektornorm kompatible Spektralnorm, die gleich dem größten Singulärwert der Matrix ist. Abhängig vom Kontext kann mit der Länge eines Vektors entweder dessen euklidische Norm, oder die Anzahl seiner Elemente — also seine von Eins verschiedene Dimension — gemeint sein.

¹Umgekehrt muss ein $\hat{\cdot}$ *nicht* bedeuten, dass es sich um einen konkreten Schätzwert von etwas Zufälligem handelt. Diese Kennzeichnung wird vor allen auch bei Mehrfachsummen zur Unterscheidung unterschiedlicher Laufindizes verwendet.

Die Spaltenvektoren der Matrizen, die mit dem Index \perp gekennzeichnet sind, stehen auf einigen Vektoren orthogonal und spannen somit den Nullraum dieser Vektoren auf. Welche Vektoren dies im einzelnen sind, ist im Text detailliert beschrieben.

λ ist die Laufvariable der beim RKM auftretenden Mittelung. Größen, die den Index f tragen, sind gefensterte Signale oder Musterfolgen, deren Spektren oder die entsprechenden Zufallsprozesse, -größen, -vektoren und -matrizen. Größen im Zeitbereich sind klein geschrieben und haben als veränderliche Variablen k oder κ . Größen im Frequenzbereich sind groß geschrieben und es werden als veränderliche Variablen wahlweise die komplexen Variablen z bzw. \tilde{z} oder die reellen Frequenzen Ω bzw. $\tilde{\Omega}$ verwendet. Wenn für die reellen Frequenzen nur die äquidistanten diskreten Werte $\Omega = \mu \cdot 2\pi/M$, $\Omega = \nu \cdot 2\pi/F$ bzw. $\tilde{\Omega} = \eta \cdot 2\pi/\tilde{M}$ mit $F, M, \tilde{M} \in \mathbb{N}$ auftreten, werden die Größen im Frequenzbereich auch in Abhängigkeit von μ, ν bzw. η dargestellt. $\mu, \nu, \eta \in \mathbb{Z}$ werden dann als diskrete Frequenzvariablen bezeichnet. Bei den kontinuierlichen Variablen z und \tilde{z} bzw. Ω und $\tilde{\Omega}$ entscheidet der überwiegende Gebrauch, ob jeweils die reelle oder die komplexe Frequenzvariable als veränderliche Variable verwendet wird. Wenn in Einzelfällen doch die jeweils andere Frequenzvariable zu verwenden ist, wird an diesen Stellen $z = e^{j\Omega}$ bzw. $\tilde{z} = e^{j\tilde{\Omega}}$ für die komplexe Frequenzvariable und $\Omega = -j \cdot \ln(z)$ bzw. $\tilde{\Omega} = -j \cdot \ln(\tilde{z})$ für die reelle Frequenzvariable als Argument der Frequenzfunktion eingesetzt. Man hätte auch extra ein neues Formelzeichen für eine Funktion einführen können, die nur in Ausnahmefällen mit der jeweils nicht gewählten Frequenzvariable auftritt. Da dies eher verwirrend wirken dürfte, wurde darauf jedoch verzichtet, um insgesamt eine kompakte und gut lesbare Darstellung der teils umfangreichen Formeln zu erreichen.

Einige Konstanten und Funktionen oder Folgen tragen trotz unterschiedlicher Bedeutung gleiche Formelzeichen. Man kann diese dann dadurch unterscheiden, dass das Formelzeichen der einen Bedeutung nie mit einem Index oder einem Argument auftritt, während das Formelzeichen der anderen Bedeutung immer durch eine solche Kennzeichnung spezifiziert ist. Eine Verwechslung ist dadurch ausgeschlossen. Beispielsweise tritt die konstante Länge F der Fensterfolge $f(k)$ niemals mit einem Argument auf, während die Fouriertransformierte $F(\Omega)$ der Fensterfolge $f(k)$ immer als von Ω abhängig dargestellt wird. Gleiche Formelzeichen wurden nur dann verwendet, wenn sich auf andere Art der enge Zusammenhang mit einer anderen Größe — im Beispiel ist das $f(k)$ — nicht oder nur schlecht deutlich machen lässt.

Bei einigen Formeln ist der Gültigkeitsbereich der darin auftretenden Parameter in Form einer Angabe der Menge, aus der sie entnommen werden können, mit angegeben (z. B. $\forall \mu \in \mathbb{Z}$). Wenn die zugrundeliegende Menge (z. B. die ganzen Zahlen) eines Parameters unzweifelhaft ist, wird diese Angabe auch weggelassen. Ist eine Formel nur für Parameter aus einer Teilmenge gültig, so wird meist nur der zulässige Bereich des Parameters

mit Hilfe einer Ungleichung eingeschränkt. Beispielsweise wird statt der etwas umständlichen korrekten Schreibweise $\forall \mu \in \{ x \mid 0 \leq x < M \wedge x \in \mathbb{Z} \}$ die einfachere Angabe $0 \leq \mu < M$ verwendet. Bei einigen Gleichungen handelt es sich nicht um Formeln, bei denen ein Parameter einer bestimmten Definitionsmenge entnommen werden muss, sondern es wird ein Parameter verwendet, um eine kompakte Schreibweise für eine Vielzahl von Gleichungen zu erzielen. Dann wird für diesen Parameter die Inkrementenschreibweise benutzt. Beispielsweise bedeutet $\forall \mu = 0 (1) M-1$ dass es sich um M Gleichungen für die unterschiedlichen Werte des Parameters μ handelt. Diese Gleichungen können dann dazu dienen, bereits definierte Größen festzulegen oder noch nicht definierte Größen implizit oder explizit zu definieren. Je nachdem ob nur ein Teil der Größen oder alle festgelegt werden sollen, muss deren Gesamtanzahl nicht mit der Anzahl der Gleichungen übereinstimmen. Dieselbe Schreibweise wird auch für Wertzuweisungen verwendet, wenn also mehrere Größen zu berechnen sind. Bei allen drei Schreibweisen (Mengenschreibweise, Ungleichung oder Inkrementenschreibweise) ist bei von Natur aus periodischen Folgen und Funktionen gegebenfalls in den Argumenten mit Moduloarithmetik zu rechnen, wenn zur Definition oder Berechnung neuer Größen Werte verwendet werden, die mit dem nicht modulo berechneten Argument bisher noch nicht definiert oder berechnet wurden, mit dem modulo-reduzierten Argument aber bereitstehen. Beispielsweise kann die Schreibweise

$$A(\mu) = \text{Funktion}(\mu) \quad \forall \mu = 0 (1) M-1$$

bedeuten, dass die M Variablen $A(\mu)$ als M spezielle Funktionswerte definiert werden, oder dass die M Gleichungen für alle Werte von μ gleichzeitig von den Werten $A(\mu)$ und der Funktion erfüllt sein müssen, aber auch, dass man die M Werte $A(\mu)$ mit Hilfe der angegebenen Funktion zu berechnen hat. Welche konkrete Interpretation zu wählen ist wird aus dem Zusammenhang ersichtlich. Wenn die folgende Gleichung als Definition oder als Wertzuweisung interpretiert wird, so ist mit

$$B(\mu) = A(\mu) \cdot A(-\mu) \quad \forall \mu = 0 (1) M-1$$

bei einer mit M periodischen Folge $A(\mu)$ gemeint, dass in korrekter Schreibweise ohne implizite Moduloarithmetik im Argument die Werte

$$B(\mu) = A(\mu) \cdot A(M - \mu) \quad \forall \mu = 1 (1) M-1 \quad \text{und} \quad B(0) = A(0)^2.$$

definiert werden oder zu berechnen sind. Die vereinfachte Schreibweise führt zu einer knapperen und besser lesbaren Darstellung und führt an keiner Stelle zu Unklarheiten und wird vor allem bei Fouriertransformierten von diskreten Folgen verwendet. Wenn — abweichend vom letzten Beispiel — der zu definierende oder zu berechnende Wert für einen speziellen Wert von μ echt abweichend definiert oder berechnet werden soll, wird dies natürlich explizit angegeben.

2 Das Systemmodell

In diesem Kapitel möchte ich erläutern, wie die Aufspaltung des realen Systems in das in Bild 1.1 dargestellte, lineare Modellsystem und die überlagerte Modellstörung erfolgt. Die Aufspaltung erfolgt dabei theoretisch, also auf Grund der im Allgemeinen unbekannten stochastischen Eigenschaften der am realen System anliegenden Zufallsprozesse. Hier auftretende Erwartungswerte sind also immer die Integrale über Produkte einer Funktion und einer Verteilungsdichtefunktion. Erst im nächsten Kapitel, bei der Vorstellung eines Messverfahrens, spielen empirisch gewonnene Mittelwerte eine Rolle. Dort wird von dem Messverfahren gezeigt, dass man damit in der Lage ist, die Aufspaltung des realen Systems in der Art empirisch vorzunehmen, dass man damit die in diesem Kapitel hergeleitete Aufspaltung erwartungstreu und konsistent abschätzt.

Im ersten Abschnitt wird hergeleitet, welches lineare Modellsystem sich bei einer optimalen Aufspaltung ergibt. Der zweite Abschnitt beschäftigt sich mit der Frage, wie man den bei der Systemaufspaltung verbleibenden Fehlerprozess sinnvoll beschreiben kann. Dabei wird die Fensterung der am System anliegenden Prozesse eingeführt. Im letzten Abschnitt wird gezeigt, dass sich bei geeigneter Wahl der Fensterfolge dieselbe optimale Systemaufspaltung ergibt, wie bei den ungefensterten, ursprünglichen Prozessen.

2.1 Das optimale lineare Modellsystem

Zunächst soll aufgezeigt werden, wie sich die Aufgabe der Systemaufspaltung im Zeitbereich exakt formulieren und lösen lässt. Es wird dann gezeigt, wie sich die Aufgabe der Minimierung des Approximationsfehlers in den Frequenzbereich übertragen lässt, wenn man den erregenden Zufallsprozess geeignet substituiert. Es zeigt sich, dass es sich bei der dabei auftretenden Minimierungsaufgabe um eine lineare Regression der zweiten Art handelt. Zum Vergleich wird in diesem Unterabschnitt auch die Regression der ersten Art diskutiert. Dass die Substitution des erregenden Zufallsprozesses problematisch sein kann, wird anschließend erläutert. Welche Lösung der Minimierungsaufgabe sich im Frequenzbereich ergibt, wird abschließend hergeleitet.

2.1.1 Systemaufspaltung im Zeitbereich

Das Modellsystem ist ein lineares, stabiles, zeitdiskretes und i. Allg. komplexwertiges System \mathcal{S} dessen Antwort $h_\kappa(k)$ auf einen Impuls $v(k) = \gamma_0(k-\kappa)$ zum Zeitpunkt κ wir zunächst als vom Zeitpunkt des erregenden Impulses abhängig ansetzen. Da reale Systeme immer kausal sind, ist es ausreichend ein Modellsystem anzusetzen, dessen Impulsantwort für $k < \kappa$ Null ist. Des Weiteren kann man bei realen stabilen Systemen davon ausgehen, dass die Impulsantwort nach einer hinreichend groß gewählten Einschwingzeit E soweit abgeklungen ist, dass die Impulsantwort in guter Näherung als zeitlich begrenzt anzusehen ist. Man kann somit ein Modellsystem ansetzen, dessen Impulsantwort nur für $k \leq \kappa+E$ von Null verschieden sein kann. Erregt wird das Modellsystem von dem Zufallsprozess $\mathbf{v}(k)$. Am Ausgang des Modellsystems erhalten wir den Prozess

$$\mathbf{x}(k) = \sum_{\kappa=k-E}^k \mathbf{v}(\kappa) \cdot h_\kappa(k) \quad \forall k \in \mathbb{Z}. \quad (2.1)$$

Der Prozess des Fehlers der Approximation des realen Systems durch das Modellsystem wird mit $\mathbf{n}(k)$ bezeichnet. Überlagert man den Ausgangsprozess des Modellsystems und den Approximationsfehlerprozess, so erhält man am Ausgang des gesamten Systemmodells denselben Prozess $\mathbf{y}(k)$, wie am Ausgang des realen Systems.

$$\mathbf{n}(k) = \mathbf{y}(k) - \mathbf{x}(k) \quad (2.2)$$

Bei der Approximation des realen Systems durch das Modellsystem wählt man die Impulsantwort $h_\kappa(k)$ in der Art, dass das zweite Moment des Approximationsfehlerprozesses $\mathbf{n}(k)$ möglichst klein wird. In dem hier betrachteten Fall der Mittelwertfreiheit des Verbundzufallsprozesses aus $\mathbf{v}(k)$ und $\mathbf{y}(k)$ ist dies zugleich die Varianz, die das zweite *zentrale* Moment ist. Bei realen Systemen kann man davon ausgehen, dass dieses Moment immer existiert, da der Zufallsprozess $\mathbf{n}(k)$ in der Amplitude begrenzt ist, so dass dessen Verteilungsfunktion unter- bzw. oberhalb bestimmter Werte immer 0 bzw. 1 ist. Das bei der Berechnung des zweiten Moments über $|\mathbf{n}(k)|^2$ gebildete uneigentliche Integral¹ existiert daher immer.

Für die Zeitpunkte k erhalten wir folgende Minimierungsaufgaben für das zweite Moment des Prozesses $\mathbf{n}(k)$:

$$E\{|\mathbf{n}(k)|^2\} = E\left\{ \left| \mathbf{y}(k) - \sum_{\kappa=k-E}^k \mathbf{v}(\kappa) \cdot h_\kappa(k) \right|^2 \right\} \stackrel{!}{=} \text{minimal} \quad \forall k \in \mathbb{Z}. \quad (2.3)$$

¹Gegebenenfalls ist diese Integration im Stieltjesschen Sinne durchzuführen.

Die Lösung dieser Minimierungsaufgabe erhält man für jeden Zeitpunkt k , indem man den zu minimierenden Term nach den zu bestimmenden Größen — den Werten der Impulsantwort — partiell ableitet² und zu Null setzt. Man erhält so für jeden Zeitpunkt k ein lineares Gleichungssystem zur Bestimmung der Werte der Impulsantwort, das sich in Matrixschreibweise folgendermaßen darstellen lässt:

$$\vec{h} \cdot \underline{C}_{\mathbf{v}, \mathbf{v}} = \vec{C}_{\mathbf{y}, \mathbf{v}}. \quad (2.4)$$

Dabei ist das Element in der i -ten Zeile und der j -ten Spalte der $(E+1) \times (E+1)$ Matrix $\underline{C}_{\mathbf{v}, \mathbf{v}}$ die Kovarianz $E\{\mathbf{v}(k+1-i) \cdot \mathbf{v}(k+1-j)^*\}$. Es sei noch einmal darauf hingewiesen, dass es sich hierbei um die Kovarianz handelt, die sich mit Hilfe der Verbundverteilung der beiden daran beteiligten Zufallsgrößen berechnet. Um diese Kovarianz besser von der empirischen Kovarianz, die man messtechnisch mit Hilfe einer Mittelung über eine Stichprobe gewinnen würde, abzugrenzen, werde ich die erstgenannte Kovarianz im Weiteren auch als theoretische Kovarianz bezeichnen. Das j -te Element des Zeilenvektors $\vec{C}_{\mathbf{y}, \mathbf{v}}$ ist die Kovarianz $E\{\mathbf{y}(k) \cdot \mathbf{v}(k+1-j)^*\}$. Die zu bestimmenden Werte der Impulsantwort sind in dem Zeilenvektor \vec{h} zusammengefasst, wobei das i -te Element des Vektors $h_{k+1-i}(k)$ ist. Da wir hier nur den Fall eines stationären Verbundprozesses aus $\mathbf{v}(k)$ und $\mathbf{y}(k)$ behandeln, ist sowohl die Matrix $\underline{C}_{\mathbf{v}, \mathbf{v}}$ als auch der Vektor $\vec{C}_{\mathbf{y}, \mathbf{v}}$ für alle Zeitpunkte k identisch. Somit ergibt sich für den Vektor der zu bestimmenden Werte der Impulsantwort eine Lösung bzw. ein Lösungsraum³, der nicht von der Zeit k abhängt. Man kann daher ein zeitinvariantes Modellsystem mit einer zeitlich begrenzten Impulsantwort

$$h_\kappa(k) = \begin{cases} h(k-\kappa) & \forall k-\kappa = 0 \ (1) \ E \\ 0 & \text{sonst.} \end{cases} \quad (2.5)$$

ansetzen, und es genügt in diesem Fall die Minimierungsaufgabe (2.3) für *einen* beliebig wählbaren Zeitpunkt k zu lösen.

²Die Ableitung nach den komplexen Werten der Impulsantwort ist hier im klassischen Sinne nicht möglich, da die Betragsquadratbildung keine analytische (holomorphe) Funktion ist. Dies stellt jedoch kein Problem dar, weil der zu minimierende Term ebenso reell ist, wie die Realteile und die Imaginärteile der Impulsantwort. Es handelt sich also um eine reelle Funktion mehrerer reeller Variablen. Von diesem reellen Term berechnet ganz konventionell die partiellen Ableitungen indem man zunächst nach allen Realteilen, und dann nach allen Imaginärteilen der Impulsantwort partiell ableitet. Man erhält so zwei Gleichungen für jeden Wert der Impulsantwort. Die Gleichung, die man bei der partiellen Ableitung nach dem Imaginärteil erhält, multipliziert man anschließend mit j und fasst sie mit der Gleichung, die man bei der partiellen Ableitung nach dem Realteil erhält, zu einer komplexen Gleichung zusammen. Alternativ ist es möglich die Ableitung im Sinne des Wirtinger Kalküls zu berechnen. Dies liefert dasselbe Ergebnis.

³Auch wenn die Matrix $\underline{C}_{\mathbf{v}, \mathbf{v}}$ singulär ist, existiert hier immer eine Lösung, weil der zu minimierende Term in Gleichung (2.3) stets positiv ist und die Minimierungsparameter — die Real- und Imaginärteile der Impulsantwort — nur linear oder quadratisch auftreten.

2.1.2 Die Minimierungsaufgabe im Frequenzbereich

Die Anzahl $E+1$ der maximal von Null verschiedenen Werte der gesuchten Impulsantwort kann sehr groß sein und ist i. Allg. a priori nicht bekannt. Deshalb, und weil man oft nur an der Übertragungsfunktion

$$H(\Omega) = \sum_{\kappa=0}^E h(\kappa) \cdot e^{-j \cdot \Omega \cdot \kappa} \quad \forall \Omega \in \mathbb{R} \quad (2.6)$$

des Modellsystems für die M äquidistanten Frequenzen $\Omega = \mu \cdot 2\pi/M$ mit $\mu = 0 \text{ (1)} M-1$ interessiert ist, erscheint es jedoch sinnvoll, die Anzahl der freien Parameter in der Minimierungsaufgabe auf den frei wählbaren, positiven, endlichen Wert M in sinnvoller Größenordnung zu begrenzen. Man erreicht dies, indem man den Zufallsprozess am Eingang des Systems geeignet festlegt.

Zunächst gibt man sich einen Zufallsvektor \vec{v} der Länge M vor. Dieser Zufallsvektor bildet den Teil des Zufallsprozesses am Eingang des Systems für den Zeitbereich $0 \leq k < M$. Den restlichen Zufallsprozess erhält man, indem man diesen Zufallsvektor periodisch wiederholt. Jede Musterfolge des Zufallsprozesses ist dann ein Signal, das mit M periodisch ist. Wegen der Periodizität des Zufallsprozesses am Eingang des Systems sind dessen stochastische Eigenschaften durch die stochastischen Eigenschaften des Ausschnitts $k = 0 \text{ (1)} M-1$ und somit durch die stochastischen Eigenschaften des Zufallsvektor \vec{v} bereits vollständig festgelegt.

Durch die eineindeutige diskrete Fouriertransformation (DFT)

$$\mathbf{V}(\mu) = \sum_{k=0}^{M-1} \mathbf{v}(k) \cdot e^{-j \cdot \frac{2\pi}{M} \cdot \mu \cdot k} \quad \forall \mu = 1 \text{ (1)} M-1 \quad (2.7)$$

des Zufallsvektors \vec{v} erhält man M Zufallsgrößen $\mathbf{V}(\mu)$, die zu einem neuen Zufallsvektor \vec{V} der Länge M zusammengefasst werden, der zur Beschreibung des Zufallsprozesses am Eingang des Systems genausogut geeignet ist, wie der Zufallsvektor \vec{v} .

Für den Approximationsfehlerprozess nach Gleichung (2.2) erhält man bei Verwendung des periodischen Eingangsprozesses

$$\mathbf{v}(k + \tilde{k} \cdot M) = \mathbf{v}(k) \quad \forall \tilde{k} \in \mathbb{Z} \quad (2.8)$$

mit Gleichung (2.1) und dem Ansatz (2.5) den Zufallsprozess mit den Elementen

$$\begin{aligned}
\mathbf{n}(k) &= \mathbf{y}(k) - \sum_{\kappa=0}^E \mathbf{v}(k-\kappa) \cdot h(\kappa) = & (2.9) \\
&= \mathbf{y}(k) - \sum_{\kappa=0}^{M-1} \mathbf{v}(k-\kappa) \cdot \sum_{\tilde{k}=0}^{E/M} h(\tilde{k} \cdot M + \kappa) = \\
&= \mathbf{y}(k) - \frac{1}{M} \cdot \sum_{\kappa=0}^{M-1} \mathbf{v}(k-\kappa) \cdot \sum_{\mu=0}^{M-1} H\left(\mu \cdot \frac{2\pi}{M}\right) \cdot e^{j \cdot \frac{2\pi}{M} \cdot \mu \cdot \kappa} = \\
&= \mathbf{y}(k) - \frac{1}{M} \cdot \sum_{\mu=0}^{M-1} H\left(\mu \cdot \frac{2\pi}{M}\right) \cdot \mathbf{V}(\mu) \cdot e^{j \cdot \frac{2\pi}{M} \cdot \mu \cdot k}.
\end{aligned}$$

Damit ergibt sich aus der Minimierungsaufgabe (2.3) die modifizierte Minimierungsaufgabe

$$E\{|\mathbf{n}(k)|^2\} = E\left\{ \left| \mathbf{y}(k) - \frac{1}{M} \cdot \sum_{\mu=0}^{M-1} H\left(\mu \cdot \frac{2\pi}{M}\right) \cdot \mathbf{V}(\mu) \cdot e^{j \cdot \frac{2\pi}{M} \cdot \mu \cdot k} \right|^2 \right\} \stackrel{!}{=} \text{minimal}, \quad (2.10)$$

die nur mehr die M neuen Optimierungsparameter $H(\mu \cdot 2\pi/M)$ enthält.

Da es sich hier für alle Werte von k um ein und dieselbe Minimierungsaufgabe handelt, gibt es immer wenigstens eine Lösung für die Optimierungsparameter $H(\mu \cdot 2\pi/M)$. Allenfalls kann sich ein Lösungsraum für die M Werte $H(\mu \cdot 2\pi/M)$ ergeben. Der Fall, dass es keine Lösung gibt, kann nicht eintreten. Man beachte, dass auf Grund des Abtasttheorems durch die Lösung für die M Optimierungsparameter $H(\mu \cdot 2\pi/M)$ der Systemapproximation nur die M Werte der periodisch fortgesetzten Impulsantwort $\sum_{k=-\infty}^{\infty} h(\kappa + \tilde{k} \cdot M)$ festgelegt sind, weil der komplexe Drehfaktor bei der diskreten Fouriertransformation nach Gleichung (2.6) bei diesen Frequenzen in κ mit M periodisch ist. Nur wenn weitere Eigenschaften der Impulsantwort bekannt sind⁴, ist $h(\kappa)$ durch die M Optimalwerte der Übertragungsfunktion eindeutig bestimmt.

2.1.3 Systemaufspaltung als lineare Regression

Für einen beliebig gewählten, festen Zeitpunkt k ist der Term am Ausgang des Modellsystems $x(k) = \frac{1}{M} \cdot \sum_{\mu=0}^{M-1} H\left(\mu \cdot \frac{2\pi}{M}\right) \cdot \mathbf{V}(\mu) \cdot e^{j \cdot \frac{2\pi}{M} \cdot \mu \cdot k}$ eine lineare Funktion der M

⁴Z. B. weil heuristische Überlegungen vermuten lassen, dass die Impulsantwort des realen Systems auf ein Intervall der Länge M beschränkt ist.

Variablen $V(\mu)$ des Vektors \vec{V} . Bei dieser linearen Überlagerung sind die Koeffizienten $H(\mu \cdot 2\pi/M) \cdot e^{j \cdot \frac{2\pi}{M} \cdot \mu \cdot k} / M$. Wenn nun die unabhängigen Variablen des Vektors \vec{V} zufällig sind, ist die lineare Funktion $\mathbf{x}(k)$ dieser Zufallsvariablen selbst eine Zufallsgröße. Gleichung (2.10) beschreibt, wie man die Koeffizienten zu wählen hat, wenn man erreichen will, dass die lineare Funktion $\mathbf{x}(k)$ die Zufallsgröße $\mathbf{y}(k)$ in Sinne des kleinsten quadratischen Fehlers optimal annähert.

Allgemein bezeichnet man die Aufgabe eine Zufallsgröße, die von ein oder mehreren Zufallsgrößen abhängt, durch eine lineare Überlagerung deterministischer Funktionen dieser Zufallsgrößen mit einem möglichst kleinen Fehler zu approximieren, als lineare Regressionsaufgabe. Die lineare Näherung $x(k)$, die man mit den so gewählten Koeffizienten erhält, kann man für den festen Zeitpunkt k in einem $M+1$ -dimensionalen Raum über dem M -dimensionalen Vektor \vec{V} auftragen, und man erhält eine M -dimensionale Hyperebene, die als Regressionshyperebene der zweiten Art bezüglich \vec{V} bezeichnet wird. Die Koeffizienten werden Regressionskoeffizienten genannt. Im weiteren werde ich auch die Optimierungsparameter $H(\mu \cdot 2\pi/M)$ ohne die Drehterme $e^{j \cdot \frac{2\pi}{M} \cdot \mu \cdot k} / M$, die nicht zur Optimierung der Systemapproximation verwendet werden können, als Regressionskoeffizienten bezeichnen. Diese Drehterme modifizieren für den festen Zeitpunkt k lediglich die Elemente des Vektors \vec{V} , so dass man sich die Regressionshyperebene in einem Raum mit einer anderen Basis dargestellt denken kann. Der nach Einsetzen der Optimallösung in (2.10) verbleibende Wert heißt Restdispersion.

In derselben Art kann man auch den bedingten Erwartungswert $E\{\mathbf{y}(k) \mid \vec{V}\}$ der Zufallsgröße $\mathbf{y}(k)$ am Ausgang des Systems für denselben festen Zeitpunkt k in demselben $M+1$ -dimensionalen Raum über demselben M -dimensionalen Vektor \vec{V} auftragen. Man erhält so einen i. Allg nichtlinearen M -dimensionalen Unterraum, der Regressionsfläche erster Art der zufälligen Veränderlichen $\mathbf{y}(k)$ bezüglich \vec{V} genannt wird.

In Bild 2.1 werden die Regressionsfläche der ersten Art, die Regressionshyperebene der zweiten Art und die Bedeutung der Regressionskoeffizienten für einen festen Zeitpunkt k prinzipiell veranschaulicht. Um diese Zusammenhänge überhaupt als zweidimensionale Graphik darstellen zu können, wird nur die Ebene des $M+1$ -dimensionalen Raums dargestellt, die durch die Variable $y(k)$ und *eine* der Variablen $V(\mu)$ aufgespannt wird. Außerdem wird von den Zufallsgrößen $\mathbf{V}(\mu) \cdot e^{j \cdot \frac{2\pi}{M} \cdot \mu \cdot k}$ und $\mathbf{y}(k)$ angenommen, dass sie reell sind, so dass die Imaginärteile nicht graphisch dargestellt werden müssen. Die „krumme“ Kurve ist die Regressionsfläche erster Art. Die Gerade, also die Regressionshyperebene zweiter Art, hat die Steigung $H(\mu \cdot 2\pi/M)$. Des Weiteren wurde eine konkrete Stichprobe vom Umfang 200 der Zufallsgrößenpaare $\mathbf{V}(\mu) \cdot e^{j \cdot \frac{2\pi}{M} \cdot \mu \cdot k}$ und $\mathbf{y}(k)$ als Messpunkte einge tragen. Auch wenn die Gerade nach Gleichung (2.10) *nicht* den quadratischen Abstand zu den konkreten Messpunkten minimiert, sondern das zweite Moment der zufälligen Ab-

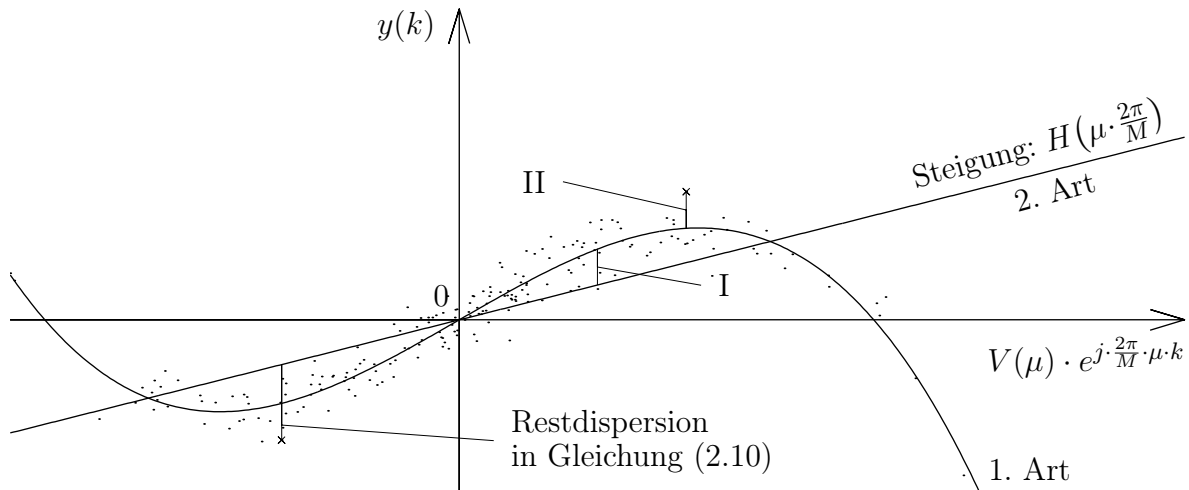


Bild 2.1: Regressionsfläche und Regressionshyperebene

weichung, so wurde doch zur Interpretation der Restdispersion der Minimierung nach Gleichung (2.10) der entsprechende Abstand zu einem Messpunkt eingezzeichnet.

Die lineare Systemapproximation mit den Regressionskoeffizienten, die die Minimierungsaufgabe (2.10) lösen, liefert zugleich diejenige Hyperebene, bei der das zweite Moment des Abstands der Hyperebene zur Regressionsfläche der ersten Art minimal wird. Dieser Abstand ist in Bild 2.1 mit **I** gekennzeichnet. In Kapitel A.1 des Anhangs wird die Restdispersion in zwei Anteile aufgeteilt. Dessen erster Anteil ist genau das zweite Moment des ebengenannten Abstandes. Dieses zweite Moment ist der erste Summand auf der rechten Seite der Gleichung (A.9) des Anhangs A.1. Er lässt sich mit Hilfe der Regressionskoeffizienten minimieren. Der zweite Anteil der Restdispersion auf der rechten Seite der Gleichung (A.9) ist das zweite Moment des Abstands der Zufallsgröße \mathbf{y} zu der Regressionsfläche der ersten Art. Von diesem Anteil wird gezeigt, dass er konstant — also von den Regressionskoeffizienten unabhängig — ist. Somit wird das zweite Moment des mit **I** gekennzeichneten Abstands minimiert, wenn die Restdispersion minimiert wird. Der Abstand, dessen Varianz sich nicht minimieren lässt, ist anhand eines Messpunktes in Bild 2.1 eingetragen und mit **II** gekennzeichnet.

Es sei noch einmal explizit darauf hingewiesen, dass weder die Regressionsfläche erster Art, noch die Lage der Regressionshyperebene zweiter Art zufällig sind. Im Gegensatz zur Regressionsfläche erster Art ist die Regressionshyperebene der zweiten Art jedoch von den stochastischen Eigenschaften der Erregung abhängig. Man kann sich bei dem Beispiel in Bild 2.1 leicht vorstellen, dass eine größere Streuung bei der Zufallsgröße $\mathbf{V}(\mu) \cdot e^{j \cdot \frac{2\pi}{M} \cdot \mu \cdot k}$ zu einer geringeren Steigung der Geraden führt.

2.1.4 Zur Wahl des Eingangsprozesses

Als Eingangsprozess hatten wir einen periodischen Prozess gewählt, um so eine fest vorgebbare Anzahl M an Optimierungsparametern $H(\mu \cdot 2\pi/M)$ zu erhalten. Bei Systemen, die empfindlich auf eine Veränderung der stochastischen Eigenschaften des Eingangsprozesses reagieren, muss man bei der Wahl des Zufallsvektors \vec{V} , darauf achten, dass die wesentlichen stochastischen Eigenschaften des periodischen Erregungsprozesses mit denjenigen übereinstimmen, die der Prozess aufweist, der das System in normalen Betrieb erregt. Nur dann kann man davon ausgehen, dass die Lösung der Regressionsaufgabe eine Regressionshyperebene liefert, die mit der Hyperebene übereinstimmt, die sich ergeben würde, wenn man das System mit dem normalerweise im Betrieb vorliegenden Prozess erregen würde. Die optimalen Werte für die Übertragungsfunktion, die man mit Hilfe des periodischen Prozesses gewinnt, beschreiben dann ein Modellsystem, das das lineare Verhalten des realen Systems im normalen Betrieb zutreffend charakterisiert. Da ein Messverfahren, wie z. B. das im nächsten Kapitel vorgestellte, mit dessen Hilfe man die optimalen Werte der Übertragungsfunktion empirisch bestimmt, bestenfalls die Werte der optimalen theoretischen Systemmodellierung erwartungstreu abschätzen kann, muss man sich bereits vor der Messung überlegen, wie der erregende periodische Prozess zu wählen ist, um aussagekräftige Messwerte zu erhalten. Im Allgemeinen werden heuristische Überlegungen und an realen Systemen gemessene stochastische Eigenschaften bei der Wahl eines geeigneten periodischen Eingangsprozesses hilfreich sein. Bei vielen Systemen wird man darauf zu achten haben, dass man zumindest die Varianz sowie die Kovarianzen eng benachbarter Signalwerte und u. U. auch die Verbundverteilungsfunktionen der Eingangsgrößen $v(k_1)$ und $v(k_2)$ für nahe benachbarte Zeitpunkte k_1 und k_2 dem realen Eingangsprozess entsprechend wählt. Beispiele für Systeme, bei denen zu erwarten ist, dass sie empfindlich auf eine Veränderung der stochastischen Eigenschaften des Eingangssignals reagieren, sind Systeme, die auf diese hin optimiert worden sind.

Als Beispiel betrachten wir ein System zur Nachrichtenübertragung, das eine Vektorquantisierung enthält. Man unterteilt hier zunächst das zu übertragende Signal in Abschnitte, die man zu Vektoren zusammenfasst. Den Vektorraum unterteilt man nun in eine begrenzte Anzahl durchnummerierter Unterräume. Man überträgt nun statt des Vektors nur die Nummer des Unterraums, in dem sich der Vektor befindet. Der Empfänger generiert dann für jede Unterraumnummer einen repräsentativen Vektor. Die aufeinanderfolgenden Repräsentantenvektoren bilden das Ausgangssignal. Die Unterräume und die Repräsentanten werden dabei so gewählt, dass der Erwartungswert des quadratischen Fehlers zwischen Ein- und Ausgangssignal bei Verwendung des im normalen Betrieb des realen Systems vorliegenden Eingangsprozesses mit seinen spezifischen stochastischen Eigenschaften minimal wird. Bei dieser Vektorquantisierung wird man erwarten können, dass bei der Messung des

Systems mit einem Eingangsprozess mit stark abweichenden stochastischen Eigenschaften eine größere Rauschleistung gemessen wird, als die, die im normalen Betrieb des Systems auftritt.

Wie dieses Beispiel zeigt, ist im Einzelfall immer zu prüfen, ob und in welcher Weise der i. Allg. nichtperiodische, für einen Betriebszustand typische Eingangsprozess durch einen periodischen Prozess ersetzt werden kann. Bei dem Beispiel der Vektorquantisierung wäre z. B. die Periode des Zufallsvektors mehr als doppelt so groß zu wählen als die Vektorlänge der Vektorquantisierung und die Verbundverteilung der Vektorelemente sollte dieselbe sein wie bei dem nichtperiodischen Eingangsprozess. An diesem Beispiel sieht man, dass man bei der periodischen Fortsetzung des Zufallsvektors \vec{v} darauf achten muss, dass auch die stochastischen Eigenschaften eines Ausschnittes des Zufallsvektors, der einen Zeitpunkt enthält, am dem die periodisch fortgesetzten Zufallsvektoren \vec{v} aneinanderstoßen, mit den entsprechenden Eigenschaften des typischen Eingangsprozesses übereinstimmen müssen.

Andererseits gibt es auch Systeme, bei denen sich die Lösung für $H(\mu \cdot 2\pi/M)$ bei einer Variation der Varianz des Prozesses $\mathbf{v}(k)$ nicht oder nur unwesentlich ändert, wenn die Varianz innerhalb einer sinnvollen Größenordnung bleibt (keine Unter- oder Übersteuerung des realen Systems). Solche Systeme wurden in [1] und [3] als schwach nichtlineare Systeme bezeichnet und für solche Systeme wurde das RKM zunächst eingesetzt.

Allgemein kann das RKM aber auch zur Vermessung anderer als schwach nichtlinearer Systeme verwendet werden. Dann sollten jedoch von den stochastischen Eigenschaften der bei der Messung verwendeten Erregung immer diejenigen angegeben werden, die einen wesentlichen Einfluss auf die Ergebnisse haben. Des Weiteren gibt es eine Vielzahl von Systemen, bei denen die Lösung für $H(\mu \cdot 2\pi/M)$ nicht oder nur unwesentlich von den stochastischen Eigenschaften des Prozesses $\mathbf{v}(k)$ abhängt. Solche Systeme lassen sich mit Zufallsprozessen erregen, die besonders gut zur Messung mit dem RKM geeignet sind. Man kann dann z. B. einen normalverteilten unkorrelierten Zufallsvektor verwenden, um den bereichsweise periodischen Prozess für die Erregung des zu vermessenden Systems zu generieren. Auch die Verwendung von Mehrton- oder Chirpsignalen — diese werden in Kapitel 3.12 vorgestellt — ist beim RKM vorteilhaft.

2.1.5 Lösung der Systemapproximation im Frequenzbereich

Im Weiteren wollen wir nun annehmen, dass die Substitution des für den Betriebszustand typischen erregenden Zufallsprozesses durch den periodischen Zufallsprozess in der Art vorgenommen wurde, dass es für die periodische Erregung dieselbe Lösung bzw. denselben Lösungsraum für $H(\mu \cdot 2\pi/M)$ gibt, wie im Fall der Erregung durch den für den

Betriebszustand typischen Zufallsprozess. Daraus ergibt sich auch eine Forderung bezüglich der Varianzen der Zufallsgrößen des Zufallsvektors \vec{V} , die weiter unten vorgestellt wird.

Der zu minimierende Term (2.10) hängt von den M komplexen Parametern der Übertragungsfunktion $H(\mu \cdot 2\pi/M)$ ab. Zerlegt man diese komplexen Größen in ihre Real- und Imaginärteile, so stehen genau $2 \cdot M$ unabhängige reelle Minimierungsparameter zur Verfügung. Sie können unabhängig voneinander eingestellt werden. Der zu minimierende Ausdruck (2.10) ist ein zweites Moment, also eine reelle, nichtnegative, und in den $2 \cdot M$ reellen Minimierungsparametern stetige und stetig differenzierbare Funktion⁵, die nur für die Einstellung der Minimierungsparameter ein Minimum aufweisen kann, bei der alle partiellen Ableitungen nach allen Minimierungsparametern Null werden. Wir leiten nun den Ausdruck (2.10) jeweils nach dem Real- und Imaginärteil von $H(\tilde{\mu} \cdot 2\pi/M)$ ⁶ getrennt partiell ab⁷. Man erhält so $2 \cdot M$ reelle Gleichungen, von denen man jeweils zwei Gleichungen als Real- und Imaginärteileigleichung einer komplexen Gleichung zusammenfasst. Man erhält nach kurzer Rechnung M komplexe Gleichungen zur Bestimmung der M gesuchten Werte der Übertragungsfunktion.

$$\frac{1}{M} \cdot \sum_{\mu=0}^{M-1} E\{\vec{V}(\tilde{\mu})^* \cdot \vec{V}(\mu)\} \cdot e^{j \cdot \frac{2\pi}{M} \cdot \mu \cdot k} \cdot H\left(\mu \cdot \frac{2\pi}{M}\right) = E\{\vec{V}(\tilde{\mu})^* \cdot \vec{y}(k)\}$$

$$\forall \quad \tilde{\mu} = 0 \ (1) \ M-1 \quad (2.11)$$

Jede einzelne dieser M Gleichungen unterwirft man nun einer Fouriertransformation. Dazu setzt man in die Gleichung für einen festen Wert $\tilde{\mu}$ die M Werte $k = 0 \ (1) \ M-1$ für die diskrete Zeit k ein, so dass man für ein und denselben Wert $\tilde{\mu}$ M Gleichungen erhält, die aufgrund der angenommenen Stationarität der beteiligten Zufallprozesse alle dieselbe Lösung besitzen. Jede dieser M Gleichungen multipliziert man nun auf beiden Seiten mit dem Drehfaktor $e^{-j \cdot \frac{2\pi}{M} \cdot \tilde{\mu} \cdot k}$. Abschließend summiert man die M Gleichungen mit demselben

⁵Die zu minimierende Varianz $E\{|n(k)|^2\}$ lässt sich in einer Form darstellen, die neben einer Konstanten nur lineare Terme und eine quadratische Form in $H(\mu \cdot 2\pi/M)$ enthält. Die Matrix der quadratischen Form ist eine Kovarianzmatrix und weist daher nur nichtnegative Eigenwerte auf. Die quadratische Form ist somit positiv semidefinit. Trägt man die zu minimierende Varianz über den Minimierungsparametern auf, ergibt sich ein nach oben geöffnetes Paraboloid. Daher ist das Minimum der Varianz $E\{|n(k)|^2\}$ immer ein globales Minimum.

⁶ μ ist der Laufindex der Summe in (2.10). Um klarzustellen, dass man nur nach einem Minimierungsparameter, der lediglich bei einem Summanden der Summe auftritt, ableitet, wurde hier zu Unterscheidung $\tilde{\mu}$ im Argument des Minimierungsparameters $H(\tilde{\mu} \cdot 2\pi/M)$, nach dem partiell abgeleitet wird, gewählt.

⁷Die Ableitung nach den komplexen Werten ist hier im klassischen Sinne nicht möglich, da die Betragsquadratbildung keine analytische (holomorphe) Funktion ist. Die Ableitung im Sinne des Wirtinger Kalküls ist möglich und liefert dasselbe Ergebnis.

$\tilde{\mu}$ auf, so dass man für jedes $\tilde{\mu}$ wieder eine Gleichung erhält. Für alle M möglichen Werte von $\tilde{\mu}$ ergeben sich somit insgesamt die M Gleichungen.

$$\begin{aligned} \mathbb{E}\left\{\left|\mathbf{V}(\tilde{\mu})\right|^2\right\} \cdot H\left(\tilde{\mu} \cdot \frac{2\pi}{M}\right) &= \mathbb{E}\{\mathbf{V}(\tilde{\mu})^* \cdot \mathbf{Y}(\tilde{\mu})\} \\ \forall \quad \tilde{\mu} &= 0 \ (1) \ M-1 \end{aligned} \quad (2.12)$$

Wie man an dieser fast expliziten Form der M Gleichungen sieht, ergibt sich für die M Werte der Übertragungsfunktion nur dann ein wenigstens eindimensionaler Lösungsraum, wenn eine oder mehrere zweite Momente der M Zufallsgrößen $\mathbf{V}(\mu)$ Null sind. Hat man es mit einem System zu tun, bei dem dieser Fall eintritt, so kann man die durch die letzten Gleichungen nicht festgelegten Werte der Übertragungsfunktion auf beliebige Werte — z. B. Null — setzen und so die Anzahl der Optimierungsparameter verringern. Für die restlichen Minimierungsparameter erhält man wieder eine eindeutige Lösung, die nicht von den willkürlich festgelegten Werten der Übertragungsfunktion abhängt. Damit erhält man natürlich nur eine noch weiter eingeschränkte Aussage über die Übertragungsfunktion des realen Systems, als die Einschränkung auf die diskreten Frequenzen ohnehin schon bewirkt. Selbst bei Systemen, von denen bekannt ist, dass ihre Impulsantwort auf M aufeinanderfolgende Werte zeitlich begrenzt ist, kann die Impulsantwort dann nicht mehr eindeutig berechnet werden. Da es nicht allzu anspruchsvoll, aber doch relativ umfangreich ist, den Fall verschwindender Varianzen getrennt zu behandeln, wird im weiteren angenommen, dass der Zufallsvektor $\vec{\mathbf{V}}$ so gewählt worden sei, dass dessen Varianz bei allen M Frequenzen *nicht* Null wird, und somit eine eindeutige Lösung für die Werte der Übertragungsfunktion existiert.

2.2 Leistungsdichtespektrum, Periodogramm und Fensterung

In diesem Kapitel werden die unterschiedlichen Möglichkeiten aufgezeigt, das in Ω kontinuierliche LDS mit Hilfe einer endlichen Anzahl von Werten sinnvoll zu charakterisieren. Des Weiteren wird gezeigt, dass man bei der Aufspaltung des realen Systems dasselbe Modellsystem erhält, wenn man statt der zeitlich unbegrenzten Prozesse gefensterte Ein- und Ausgangsprozesse verwendet, sofern man dabei eine geeignete Fensterfolge einsetzt. Es werden drei Forderungen aufgestellt, die eine Fensterfolge erfüllen sollte, um beim RKM sinnvoll eingesetzt werden zu können.

In der Einleitung wurde festgelegt, dass in dieser Abhandlung nur der Fall mittelwertfreier stationärer Prozesse $\mathbf{v}(k)$ und $\mathbf{y}(k)$ behandelt wird. Der Prozess $\mathbf{x}(k)$ am Ausgang des

linearen stabilen Modellsystems ist dann ebenfalls stationär und mittelwertfrei, und somit auch der nach Gleichung (2.2) definierte Approximationsfehlerprozess $\mathbf{n}(k)$.

Die nach Gleichung (1.2) definierte AKF hängt nur von der Zeitdifferenz κ , nicht aber von der absoluten Lage k der beiden am Produkt der Kovarianz beteiligten Zufallsgrößen des Prozesses ab. Des Weiteren besitzt die AKF einen geradesymmetrischen Real- und einen schiefsymmetrischen Imaginärteil. Durch eine eindimensionale diskrete Fouriertransformation haben wir in Gleichung (1.3) das Leistungsdichtespektrum (LDS) erhalten, das reell und mit 2π periodisch, aber bei einem komplexen Prozess i. Allg. *nicht* geradesymmetrisch ist, da die AKF einen von Null verschiedenen Imaginärteil enthalten kann.

2.2.1 Abtastwerte des LDS

I. Allg. ist die AKF zeitlich nicht begrenzt. Ein Beispiel, das als Näherung für eine Störung betrachtet werden kann, wie sie an realen Systemen durchaus auftreten kann, ist ein Sinuseintonstörer mit zufälliger, gleichverteilter Phasenlage. Solch eine Störung besitzt eine kosinusförmige AKF. Dementsprechend findet sich im LDS dieses Prozesses bei der positiven und der negativen Frequenz der periodischen Störung jeweils ein Dirac-Impuls.

Selbst wenn man das LDS geschlossen angeben könnte, müsste man sich bei der Messung immer auf die Angabe des LDS für endlich viele Frequenzen beschränken. Wäre die Frequenz der periodischen Störung keine der ausgewählten Frequenzen, so würde diese Störung aufgrund der Impulseigenschaft ihres Spektrums mit den endlich vielen Werten des LDS nicht erfasst werden können. Wäre dagegen die Frequenz der periodischen Störung eine der ausgewählten Frequenzen so würde das LDS — also die unendliche Summe in der Gleichung (1.3) — bei dieser Frequenz divergieren, und eine Angabe, die einen Rückschluss auf die Leistung der periodischen Störung zulässt, wäre nicht möglich.

Betrachten wir uns dazu das Beispiel in Bild 2.2, bei dem ein Sinuseintonstörer einer weiteren Störung überlagert ist, die durch Filterung eines reellen, weißen Prozesses entstanden ist und dessen LDS über der Frequenz stark schwankt. Der Dirac-Impuls, der sich als Fouriertransformierte des periodischen Anteils in der AKF ergibt, ist als Pfeil symbolisch dargestellt, wobei die Höhe des Pfeils der Stärke des Dirac-Impulses — also π mal dem halben Quadrat der Amplitude des Sinusstörers mit der Zufallsphase — entspricht. Man erkennt, dass die durch kleine Kreise markierten Abtastwerte die Sinuseintonstörung nicht erfassen. Dies gilt sowohl für $M = 16$ als auch für $M = 64$ Abtastwerte des LDS. Andererseits kann der Verlauf des kontinuierlichen Anteils im LDS exakt rekonstruiert werden, wenn man weiß, dass die AKF zeitlich hinreichend begrenzt ist.

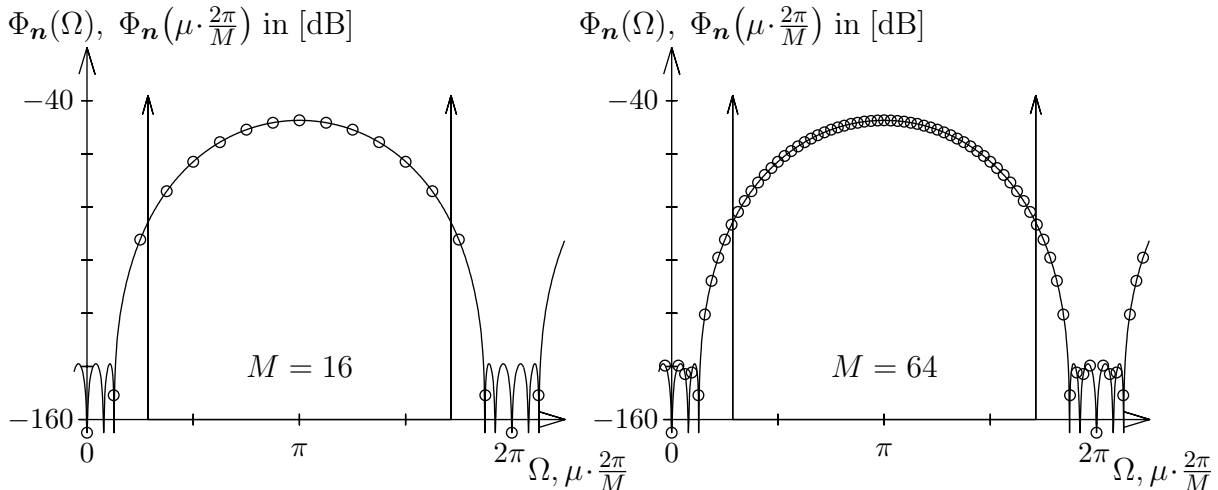


Bild 2.2: Abtastwerte des Leistungsdichtespektrums eines Prozesses mit einem periodischen Störanteil. Das LDS des Prozesses ist mit der durchgezogenen Linie dargestellt, während die Abtastwerte des LDS mit „o“ gekennzeichnet sind.

2.2.2 Stufenapproximation des LDS

Will man die gesamte Störung bei einem Prozess erfassen, dessen AKF nicht hinreichend begrenzt ist, so erscheint es nicht sinnvoll, die Abtastwerte des LDS für bestimmte Frequenzen anzugeben. Wir werden daher versuchen einen Satz von M Werten zu finden, der zur Beschreibung der spektralen Eigenschaften des Approximationsfehlerprozesses besser geeignet ist. Eine mögliche und sinnvolle Wahl ist es, für die M Frequenzpunkte $\Omega = \mu \cdot 2\pi/M$ jeweils das Integral über das LDS in einer symmetrischen Umgebung der Breite $2\pi/M$ zu bilden, und die auf diese Breite normierten Werte anzugeben.

$$\bar{\Phi}_n(\mu) = \frac{M}{2\pi} \cdot \int_{\mu \cdot \frac{2\pi}{M} - \frac{\pi}{M}}^{\mu \cdot \frac{2\pi}{M} + \frac{\pi}{M}} \Phi_n(\Omega) \cdot d\Omega = \frac{M}{2\pi} \cdot \int_{-\frac{\pi}{M}}^{\frac{\pi}{M}} \Phi_n(\mu \cdot \frac{2\pi}{M} - \Omega) \cdot d\Omega$$

$$\forall \quad \mu = 0 \ (1) \ M-1 \quad (2.13)$$

Mit Hilfe dieser Werte lässt sich das zu messende LDS durch eine Treppenfunktion approximieren, die in jedem Intervall der Breite $2\pi/M$ die gleiche Fläche aufweist, wie das LDS. Für die Werte $M = 16$ und $M = 64$ ist diese Approximation an demselben Beispiel mit dem periodischen Störanteil in Bild 2.3 dargestellt. Man erkennt hier, dass die Treppenkurve, deren Plateaus durch die M Werte $\bar{\Phi}_n(\mu)$ festgelegt sind, die sich aus dem theoretischen LDS mit Hilfe der letzten Gleichung berechnen lassen, eine Aussage über die ungefähre Lage der Frequenz des Sinusstörers zulässt. Man erkennt außerdem, dass der Wert $\bar{\Phi}_n(\mu)$ bei dem Frequenzintervall, das den periodischen Störanteil beinhaltet, mit steigendem M zunimmt. Das liegt daran, dass bei gleichbleibender Leistung des

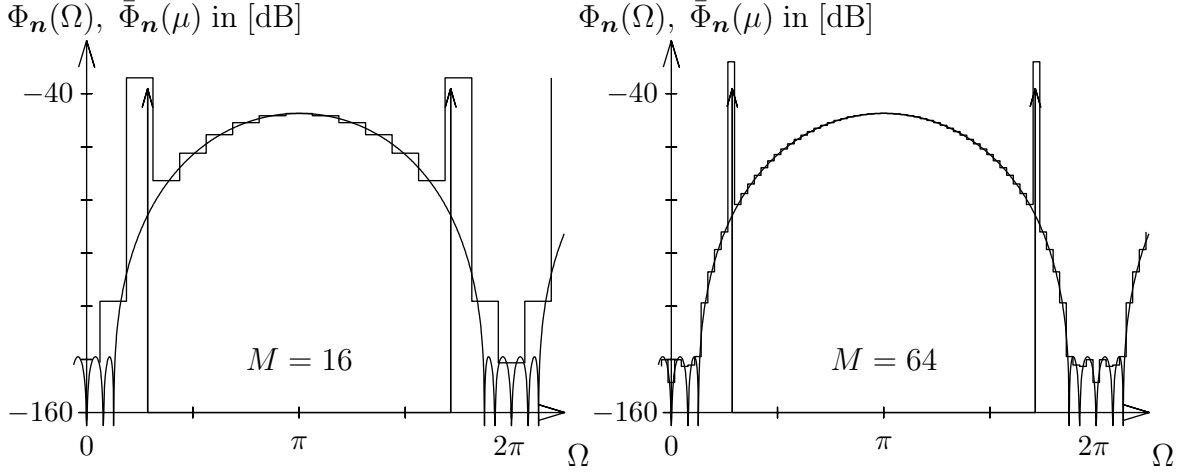


Bild 2.3: Stufenapproximation des Leistungsdichtespektrums eines Prozesses mit einem periodischen Störanteil.

periodischen Störanteils⁸ die Intervallbreite $2\pi/M$ mit steigendem M abnimmt. Auf die Intervallbreite wurde das Integral in der letzten Gleichung aber gerade normiert. Da M vorgegeben — also bekannt — ist, kann somit anhand des Wertes $\bar{\Phi}_n(\mu)$ die Leistung des periodischen Störanteils abgelesen werden.

Die Wahl dieser M Werte $\bar{\Phi}_n(\mu)$ statt der M Abtastwerte $\Phi_n(\mu \cdot 2\pi/M)$ des LDS anzugeben, bietet drei wesentliche Vorteile. Der erste Vorteil besteht darin, dass periodische Störanteile leistungsrichtig im LDS erscheinen. Zum Zweiten lässt sich die Gesamtleistung des Approximationsfehlerprozesses, die sich als das Integral über das LDS berechnen lässt, aus den M Werten $\bar{\Phi}_n(\mu)$ exakt und einfach mit Hilfe einer Summation berechnen, wie die folgende Umformung zeigt:

$$\sigma_n^2 = E\{|\mathbf{n}(k)|^2\} = \frac{1}{2\pi} \cdot \int_{-\pi}^{\pi} \Phi_n(\Omega) \cdot d\Omega = \quad (2.14)$$

$$= \frac{1}{2\pi} \cdot \sum_{\mu=0}^{M-1} \int_{-\frac{\pi}{M}}^{\frac{\pi}{M}} \Phi_n(\mu \cdot \frac{2\pi}{M} - \Omega) \cdot d\Omega = \frac{1}{M} \cdot \sum_{\mu=0}^{M-1} \bar{\Phi}_n(\mu).$$

Der dritte Vorteil besteht darin, dass die Frequenzunschärfe auf ein Frequenzintervall der Breite $2\pi/M$ begrenzt ist. D. h. Nur der Anteil des LDS geht in den Wert bei einer diskreten Frequenz μ ein, der in der auf $\pm\pi/M$ begrenzten unmittelbaren Umgebung der Frequenz $\mu \cdot 2\pi/M$ liegt.

⁸Bei der Berechnung der Leistung des periodischen Störanteils ist das Integral über die Dirac Impulse in Gleichung (2.13) in Sinne der Distributionentheorie auszuwerten.

2.2.3 Periodogramm

Obwohl die M Werte $\bar{\Phi}_n(\mu)$ theoretisch geeignet erscheinen, das LDS mit endlich vielen Werten zu beschreiben, kann man diese Werte in der Praxis nicht verwenden. Wie wir später noch sehen werden, benötigt man zur Berechnung dieser M Werte die gesamte AKF für alle Zeitpunkte $\kappa \in \mathbb{Z}$. Man kann also die M Werte $\bar{\Phi}_n(\mu)$ nur angeben, wenn die AKF a priori bekannt ist. In diesem Fall benötigt man kein Messverfahren. Wenn es jedoch darum geht, messtechnisch eine Aussage über das LDS zu gewinnen, wird man aufgrund der endlichen Messdauer nicht die komplette AKF, und somit auch nicht die Werte $\bar{\Phi}_n(\mu)$ abschätzen können. Hier tritt nun das bekannte Problem auf, wie man anhand eines endlich langen Ausschnitts des Approximationsfehlerprozesses M Werte erhalten kann, die eine ähnlich gute Beschreibung des LDS liefern, wie die M Werte $\bar{\Phi}_n(\mu)$. Im weiteren sei durch $k \in [0; F)$ der betrachtete Ausschnitt des Approximationsfehlerprozesses festgelegt. Die Aufgabe besteht nun darin, die F Zufallsgrößen dieses Ausschnitts in geeigneter Weise zu verknüpfen, um so M Zufallsgrößen zu erhalten, deren Erwartungswerte wenigstens näherungsweise mit den M Werten $\bar{\Phi}_n(\mu)$ übereinstimmen. Die Messung dieser M Näherungswerte für $\bar{\Phi}_n(\mu)$ besteht dann darin, deren Erwartungswerte durch ihre empirischen Mittelwerte, die man aus einer konkreten Stichprobe gewinnt, abzuschätzen.

Es ist bekannt, dass die M Werte des Periodogramms solche Zufallsgrößen sind. Das Periodogramm berechnet sich in zwei Schritten aus dem zeitlich auf das Intervall $[0; F)$ begrenzten Approximationsfehlerprozess. Zunächst wählt man die Länge F des Messintervalls gleich der Anzahl M der abzuschätzenden Werte und bildet die DFT des zeitbegrenzten Prozesses für die M Frequenzen $\Omega = \mu \cdot 2\pi/M$ mit $\mu = 0 (1) M-1$. Nun bildet man von diesen Zufallsgrößen das Betragsquadrat und normiert sie auf M , so erhält man die M Werte des Periodogramms:

$$\tilde{\Phi}_n(\mu) = E\left\{ \frac{1}{M} \cdot |\mathbf{N}(\mu)|^2 \right\} = \frac{1}{M} \cdot E\left\{ \left| \sum_{k=0}^{M-1} \mathbf{n}(k) \cdot e^{-j \cdot \frac{2\pi}{M} \cdot \mu \cdot k} \right|^2 \right\}$$

Wie Bild 2.4 zeigt, gelingt es mit den M Werten des Periodogramms zwar die Lage der beiden Impulse ungefähr abzuschätzen, aber das LDS des gefilterten Prozesses ist in deren Umgebung überhaupt nicht messbar. Daher wird das Periodogramm eigentlich immer nur dann eingesetzt, wenn man weiß, dass das LDS über der Frequenz nur unwesentlich schwankt.

2.2.4 Periodogramm des gefensterten Prozesses

Die Tatsache, dass die Erwartungswerte der so erhaltenen Zufallsgrößen nur eine sehr schlechte Näherung für die M abzuschätzenden Größen $\bar{\Phi}_n(\mu)$ sind, wenn das LDS einen

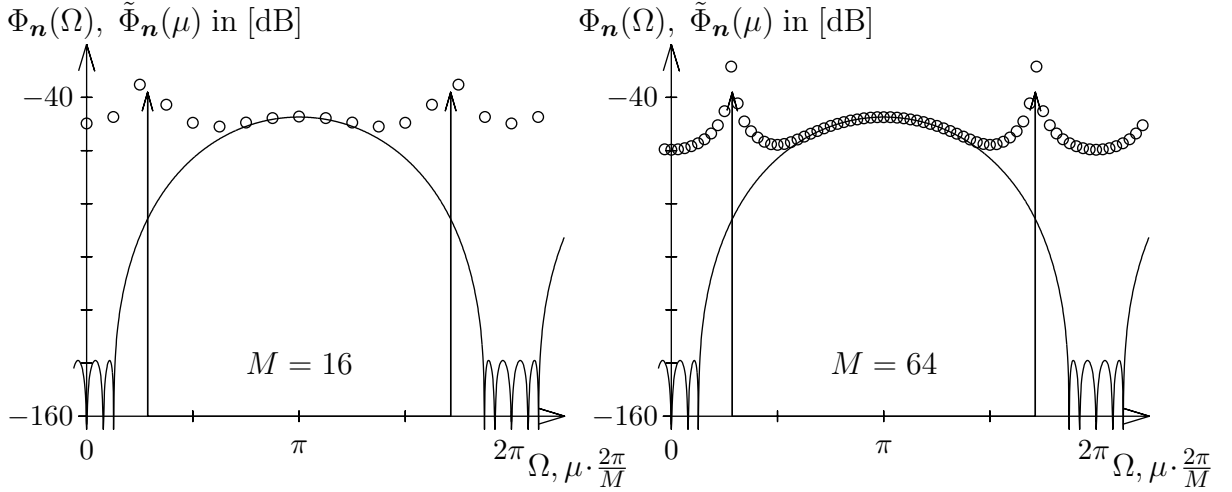


Bild 2.4: Erwartungswert des Periodogramms des Prozesses mit einem periodischen Störanteil. Das LDS des Prozesses ist mit der durchgezogenen Linie dargestellt, während die Näherung mit Hilfe des Erwartungswertes des Periodogramms des Prozesses mit „o“ gekennzeichnet ist.

über der Frequenz stark schwankenden Verlauf aufweist, ist lange bekannt. Aus diesem Grund haben Welch und Bartlett eine Methode entwickelt, mit deren Hilfe sich die Größen $\bar{\Phi}_n(\mu)$ auch in diesem Fall besser abschätzen lassen. Sie ist beispielweise in [8] beschrieben. Bei dieser Methode wird statt des im Intervall $[0; M]$ gleich stark — nämlich mit eins — gewichteten Zufallsprozesses, der mit unterschiedlichen Gewichten $f(k)$ gewichtete Zufallsprozess im Intervall $[0; F]$ zur Fouriertransformation verwendet. Durch die anschließende Betragsquadratbildung und geeignete Normierung erhält man so M Zufallsgrößen, deren Erwartungswerte eine bessere Näherung der M Größen $\bar{\Phi}_n(\mu)$ sind.

Um aus einer zeitlich unbegrenzten Folge einen Ausschnitt herauszuschneiden, wobei unterschiedliche Werte des Ausschnitts unterschiedlich gewichtet werden, multipliziert man die unbegrenzte Folge mit einer Folge, die außerhalb des herauszuschneidenden Zeitbereichs immer Null ist:

$$f(k) = 0 \quad \forall \quad k < 0 \quad \vee \quad k \geq F. \quad (2.15)$$

Diesen Vorgang bezeichnet man als Fensterung und dementsprechend wird die Folge $f(k)$ als Fensterfolge oder kurz als Fenster bezeichnet.

Wie bei der Gewinnung des Periodogramms, das den Spezialfall der Fensterung mit einem Rechteckfenster der Länge M darstellt, werden nun mit der diskreten Fouriertransformation die M Spektralwerte des gefensterten Rauschprozesses gebildet.

$$\begin{aligned}
 \mathbf{N}_f(\mu) &= \sum_{k=-\infty}^{\infty} f(k) \cdot \mathbf{n}(k) \cdot e^{-j \cdot \frac{2\pi}{M} \cdot \mu \cdot k} = \sum_{\kappa=-\infty}^{\infty} \sum_{k=0}^{M-1} f(k + \kappa \cdot M) \cdot \mathbf{n}(k + \kappa \cdot M) \cdot e^{-j \cdot \frac{2\pi}{M} \cdot \mu \cdot (k + \kappa \cdot M)} = \\
 &= \sum_{k=0}^{M-1} \underbrace{\sum_{\kappa=-\infty}^{\infty} f(k + \kappa \cdot M) \cdot \mathbf{n}(k + \kappa \cdot M) \cdot e^{-j \cdot \frac{2\pi}{M} \cdot \mu \cdot k}}_{= \mathbf{n}_f(k)} = \sum_{k=0}^{M-1} \mathbf{n}_f(k) \cdot e^{-j \cdot \frac{2\pi}{M} \cdot \mu \cdot k} \quad (2.16) \\
 &\quad \forall \quad \mu = 0 \ (1) \ M-1
 \end{aligned}$$

Wie diese Gleichung zeigt, lässt sich die Fouriertransformierte des diskreten, gefensterten Approximationsfehlerprozesses in vier Schritten berechnen:

- Der Approximationsfehlerprozess wird mit der Fensterfolge gewichtet: $f(k) \cdot \mathbf{n}(k)$.
- Der gefensterte Approximationsfehlerprozess wird in Blöcke der Länge M zerlegt. Für jeden Wert κ bildet der Prozessausschnitt $f(k + \kappa \cdot M) \cdot \mathbf{n}(k + \kappa \cdot M)$ für die M Werte $k = 0 \ (1) \ M-1$ einen Block der Länge M .
- Die Blöcke für alle Werte von κ werden additiv überlagert:

$$\mathbf{n}_f(k) = \sum_{\kappa=-\infty}^{\infty} f(k + \kappa \cdot M) \cdot \mathbf{n}(k + \kappa \cdot M)$$

- Die so entstandene Folge der M Zufallsgrößen $\mathbf{n}_f(k)$ wird einer DFT der Länge M unterworfen:

$$\mathbf{N}_f(\mu) = \sum_{k=0}^{M-1} \mathbf{n}_f(k) \cdot e^{-j \cdot \frac{2\pi}{M} \cdot \mu \cdot k}.$$

In Bild 2.5 wird diese Vorgehensweise beispielhaft anhand einer Musterfolge $n_\lambda(k)$ des Prozesses $\mathbf{n}(k)$ symbolisch dargestellt. Dabei steht das Symbol $\circlearrowleft \bullet$ für die DFT einer diskreten Folge. Die Zufallsgrößen des Prozesses überlagern sich in der gleichen Weise, wie die Abtastwerte der Musterfolge.

Anschließend bildet man von den so entstandenen M zufälligen Spektralwerten die Betragsquadrate und normiert diese auf M . Man erhält so die M neuen, reellen Zufallsgrößen $|\mathbf{N}_f(\mu)|^2/M$, deren Erwartungswerte

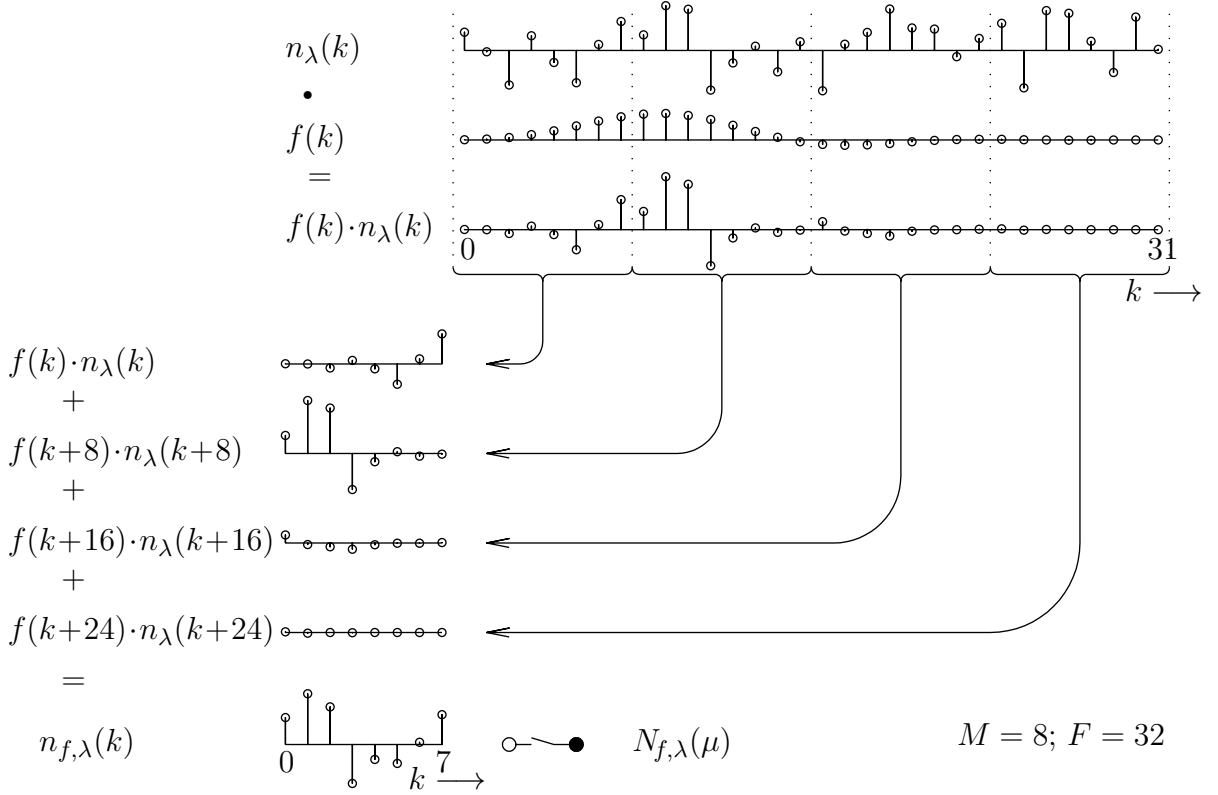


Bild 2.5: Fensterung des Approximationsfehlerprozesses mit blockweiser Überlagerung und anschließender DFT

$$\begin{aligned}
 \tilde{\Phi}_{\mathbf{n}}(\mu) &= \mathbb{E} \left\{ \frac{1}{M} \cdot |\mathbf{N}_f(\mu)|^2 \right\} = & (2.17) \\
 &= \frac{1}{M} \cdot \mathbb{E} \left\{ \sum_{k_1=-\infty}^{\infty} \mathbf{n}(k_1) \cdot f(k_1) \cdot e^{-j \cdot \frac{2\pi}{M} \cdot \mu \cdot k_1} \cdot \sum_{k_2=-\infty}^{\infty} \mathbf{n}(k_2)^* \cdot f(k_2)^* \cdot e^{j \cdot \frac{2\pi}{M} \cdot \mu \cdot k_2} \right\} = \\
 &= \frac{1}{M} \cdot \sum_{k_1=-\infty}^{\infty} \sum_{k_2=-\infty}^{\infty} \mathbb{E} \{ \mathbf{n}(k_1) \cdot \mathbf{n}(k_2)^* \} \cdot f(k_1) \cdot f(k_2)^* \cdot e^{-j \cdot \frac{2\pi}{M} \cdot \mu \cdot (k_1 - k_2)} = \\
 &= \frac{1}{M} \cdot \sum_{\kappa=-\infty}^{\infty} \sum_{k_2=-\infty}^{\infty} \mathbb{E} \{ \mathbf{n}(k_2 + \kappa) \cdot \mathbf{n}(k_2)^* \} \cdot f(k_2 + \kappa) \cdot f(k_2)^* \cdot e^{-j \cdot \frac{2\pi}{M} \cdot \mu \cdot \kappa} = \\
 &= \frac{1}{M} \cdot \sum_{\kappa=-\infty}^{\infty} \sum_{k_2=-\infty}^{\infty} \frac{1}{2\pi} \cdot \int_{-\pi}^{\pi} \Phi_{\mathbf{n}}(\Omega) \cdot e^{j \cdot \Omega \cdot \kappa} \cdot d\Omega \cdot f(k_2 + \kappa) \cdot f(k_2)^* \cdot e^{-j \cdot \frac{2\pi}{M} \cdot \mu \cdot \kappa} = \\
 &= \frac{1}{2\pi \cdot M} \cdot \int_{-\pi}^{\pi} \Phi_{\mathbf{n}}(\Omega) \cdot |F(\mu \cdot \frac{2\pi}{M} - \Omega)|^2 \cdot d\Omega \\
 \forall \quad \mu &= 0 \ (1) \ M-1
 \end{aligned}$$

bei geeigneter Wahl der Fensterfolge eine bessere Näherung für die zu bestimmenden Größen $\bar{\Phi}_n(\mu)$ sind, als dies beim Periodogramm der Fall ist. Bei der Umformung der letzten Gleichung wurde berücksichtigt, dass auf Grund der Stationarität von $\mathbf{n}(k)$ der Erwartungswert des Produktes $\mathbf{n}(k_1) \cdot \mathbf{n}(k_2)^*$ nur von der Differenz $k_1 - k_2$ abhängt, und er sich daher nach der Substitution $\kappa = k_1 - k_2$ vor die Summe über k_2 ziehen lässt. Außerdem wurde der Satz verwendet, der besagt, dass die diskrete Fouriertransformierte des Produktes zweier Folgen der Faltung der beiden Spektren der Folgen entspricht. Des Weiteren wurde die Fouriertransformierte $F(\Omega)$ der Fensterfolge $f(k)$ eingeführt⁹.

$$F(\Omega) = \sum_{k=0}^{F-1} f(k) \cdot e^{-j \cdot \Omega \cdot k} \quad \forall \quad \Omega \in \mathbb{R} \quad (2.18)$$

Würde man für das Betragsquadrat des Spektrums der Fensterfolge eine mit 2π periodische Rechteckfunktion wählen, die im Intervall $(-\pi; \pi]$ für $|\Omega| < \pi/M$ den Wert M^2 annimmt, und sonst Null ist, so wären die Erwartungswerte $\tilde{\Phi}_n(\mu)$ der Zufallsgrößen $|\mathbf{N}_f(\mu)|^2/M$ gleich den gewünschten Größen $\bar{\Phi}_n(\mu)$. Ein Vergleich mit Gleichung (2.13) zeigt dies. Die Fensterfolge mit solch einem Betragsquadratspektrum ist die abgetastete si-Funktion $\text{si}(\pi \cdot k/M)$, die zeitlich nicht auf ein endliches Intervall begrenzt ist. Mit dieser Fensterfolge gelingt es daher nicht, mit einer Messung endlicher Dauer Stichproben der Zufallsgrößen $|\mathbf{N}_f(\mu)|^2/M$ zu erhalten, deren empirische Mittelwerte als Schätzwert für die gesuchten Erwartungswerte $\tilde{\Phi}_n(\mu)$ dienen können. Man wird daher versuchen, eine Fensterfolge zu finden, die zeitlich begrenzt ist, und deren Betragsquadratspektrum näherungsweise rechteckförmig ist. In Kapitel 6 wird ein Algorithmus angegeben, mit dessen Hilfe man eine Fensterfolge berechnen kann, die diesem Ziel sehr nahe kommt.

2.2.5 Fenster mit leistungskomplementärem Spektrum

Wie Gleichung (2.14) zeigt, lässt sich die Leistung des Prozesses $\mathbf{n}(k)$ als die auf M normierte Summe der Werte $\bar{\Phi}_n(\mu)$ angeben. Es wäre nun sehr wünschenswert, wenn sich auch bei Verwendung einer endlich langen Fensterfolge die Gesamtleistung als die auf M normierte Summe der Erwartungswerte $\tilde{\Phi}_n(\mu)$ ergibt. Diese erste wichtige Forderung lässt sich mit Gleichung (2.17) wie folgt exakt formulieren:

⁹Die Fouriertransformierte $F(\Omega)$ der Fensterfolge hat dasselbe Formelzeichen wie die Länge F der Fensterfolge. Die Länge unterscheidet sich jedoch eindeutig von der Fouriertransformierten, weil diese immer mit dem eingeklammerten Argument $F(\dots)$ auftritt, während die Fensterlänge F als Konstante niemals ein Argument trägt. Eine Verwechslung sollte dadurch ausgeschlossen sein.

$$\begin{aligned}
\frac{1}{M} \cdot \sum_{\mu=0}^{M-1} \tilde{\Phi}_n(\mu) &= \frac{1}{2\pi \cdot M^2} \cdot \sum_{\mu=0}^{M-1} \int_{-\pi}^{\pi} \Phi_n(\Omega) \cdot |F(\mu \cdot \frac{2\pi}{M} - \Omega)|^2 \cdot d\Omega = \quad (2.19) \\
&= \frac{1}{2\pi \cdot M^2} \cdot \int_{-\pi}^{\pi} \Phi_n(\Omega) \cdot \sum_{\mu=0}^{M-1} |F(\mu \cdot \frac{2\pi}{M} - \Omega)|^2 \cdot d\Omega \stackrel{!}{=} \frac{1}{2\pi} \cdot \int_{-\pi}^{\pi} \Phi_n(\Omega) \cdot d\Omega = \sigma_n^2
\end{aligned}$$

Man erkennt, dass diese Forderung für beliebige $\Phi_n(\Omega)$ erfüllt wird, wenn das Betragsquadrat des Spektrums der Fensterfolge die Forderung

$$\sum_{\mu=0}^{M-1} |F(\Omega - \mu \cdot \frac{2\pi}{M})|^2 \stackrel{!}{=} M^2 \quad \forall \quad \Omega \in \mathbb{R} \quad (2.20)$$

erfüllt. Diese exakt formulierbare Forderung (2.20) besagt, dass sich das Betragsquadrat des Spektrums des Fensters — also dessen spektrale Leistungsdichte — zu einer Konstanten ergänzt, wenn man diese mit sich selbst verschoben überlagert. Solche Fensterfolgen werde ich daher im Weiteren als leistungskomplementär bezeichnen. Fensterfolgen, die mit dem in Kapitel 6 angegebenen Algorithmus berechnet worden sind, erfüllen diese Forderung mit einem Fehler, der in der Größenordnung der unvermeidbaren Fehler liegt, also der Fehler, die an einem Rechner wegen der begrenzten Wortlänge der Zahlendarstellung immer auftreten. Für die Fensterautokorrelationsfolge

$$\begin{aligned}
d(\kappa) &= \frac{1}{M} \cdot (f(\kappa) * f(-\kappa))^* = \quad (2.21) \\
&= \frac{1}{M} \cdot \sum_{\tilde{k}=-\infty}^{\infty} f(\tilde{k})^* \cdot f(\tilde{k} + \kappa) = \frac{1}{2\pi \cdot M} \cdot \int_{-\pi}^{\pi} |F(\Omega)|^2 \cdot e^{j \cdot \Omega \cdot \kappa} \cdot d\Omega,
\end{aligned}$$

deren Fouriertransformierte gerade $|F(\Omega)|^2/M$ ist, bedeutet das, dass die Fouriertransformierte der mit der Schrittweite M unterabgetasteten Fenster-AKF

$$\sum_{\tilde{k}=-\infty}^{\infty} d(\tilde{k} \cdot M) \cdot e^{-j \cdot \Omega \cdot \tilde{k} \cdot M} = \frac{1}{M^2} \cdot \sum_{\mu=0}^{M-1} |F(\Omega - \mu \cdot \frac{2\pi}{M})|^2 \stackrel{!}{=} 1 \quad \forall \quad \Omega \in \mathbb{R} \quad (2.22)$$

konstant Eins sein muss, also

$$d(\kappa) \stackrel{!}{=} \begin{cases} 0 & \text{für } \kappa = \tilde{k} \cdot M \quad \text{mit } \tilde{k} \in \mathbb{Z} \setminus \{0\} \\ 1 & \text{für } \kappa = 0 \\ \text{beliebig} & \text{sonst} \end{cases} \quad (2.23)$$

gelten muss. Betrachtet man die Folge $d(\kappa)$ als Koeffizienten eines FIR-Filters, so handelt es sich aufgrund der eben genannten Eigenschaften von $d(\kappa)$ um ein sogenanntes M-tel Band-Filter. Wäre κ eine kontinuierliche Größe, so würde man sagen, dass $d(\kappa)$ das erste Nyquist-Kriterium erfüllt. Filter mit solchen Koeffizienten $d(\kappa)$, als auch Filter, mit den Koeffizienten $f(k)$, deren Spektren die Bedingung (2.20) erfüllen, spielen in vielen Bereichen der digitalen Signalverarbeitung eine wichtige Rolle. Außerdem sei noch angemerkt, dass aus Gleichung (2.17) folgt, dass die Werte $\tilde{\Phi}_n(\mu)$ sich auch aus der AKF $\phi_n(\kappa)$ durch eine Fensterung mit $d(\kappa)$ und eine anschließende diskrete Fouriertransformation berechnen lassen.

2.2.6 Aspekte zur Wahl der Fensterfolge

Durch die letzte Forderung wird noch nichts darüber ausgesagt, in welcher Weise das Betragsquadrat des Spektrums der Fensterfolge die gewünschte Rechteckfunktion annähert. Wie gut die Erwartungswerte $\tilde{\Phi}_n(\mu)$ mit den gewünschten Werten $\bar{\Phi}_n(\mu)$ übereinstimmen, hängt von dem Produkt des Integranden in Gleichung (2.17), also zum einen von dem Betragsquadrat des Spektrums der Fensterfolge und zum anderen von dem LDS des Prozesses $n(k)$ ab. Die Frequenzbereiche, innerhalb derer das Produkt des Integranden besonders groß ist, liefern die größten Beiträge zum Erwartungswert $\tilde{\Phi}_n(\mu)$. Da das Betragsquadrat des Spektrums der Fensterfolge im Integranden in Gleichung (2.17) mit einem Frequenzversatz von $\mu \cdot 2\pi/M$ auftritt, wird der Frequenzgang des Produktes im Integral vom diskreten Frequenzpunkt μ abhängen. Die Fensterung soll bewirken, dass aus dem LDS nur der Bereich in unmittelbarer Umgebung der Frequenz $\mu \cdot 2\pi/M$ herausgeschnitten wird, indem dort das Betragsquadrat des Spektrums der Fensterfolge groß ist, während es im gesamten anderen Frequenzbereich möglichst klein sein sollte, um dort ein kleines Produkt als Integranden zu gewährleisten. Man benötigt also eine Fensterfolge, dessen Spektrum $F(\Omega)$ für $|\Omega| > \pi/M$ eine hohe Sperrdämpfung aufweist.

Betrachten wir nun den Fall, der durch die drei folgenden Aussagen charakterisiert sei. Erstens werde wie bei der Berechnung des Periodogramms in Bild 2.4 ein Rechteckfenster der Länge M verwendet, zweitens sei die Leistung des Prozesses $n(k)$ auf wenige Frequenzbereiche konzentriert, so dass der Verlauf des LDS $\Phi_n(\Omega)$ über der Frequenz stark schwankt und drittens werde $\tilde{\Phi}_n(\mu)$ für eine diskrete Frequenz μ berechnet, bei der $\mu \cdot 2\pi/M$ in einem Bereich von Ω liegt, bei dem das LDS besonders klein ist. In diesem Fall wird der Verlauf des Produkts im Integral sein Maximum *nicht* im Bereich des Maximums des Betragsquadrats des Spektrums der Fensterfolge haben, weil die Sperrdämpfung dieses Fensters¹⁰ in dem Frequenzbereich, in dem das LDS groß ist, zu gering ist, um das

¹⁰Die Nebenmaxima von $F(\Omega)$ fallen hier nur mit $\sin(\Omega/2)^{-1}$ ab.

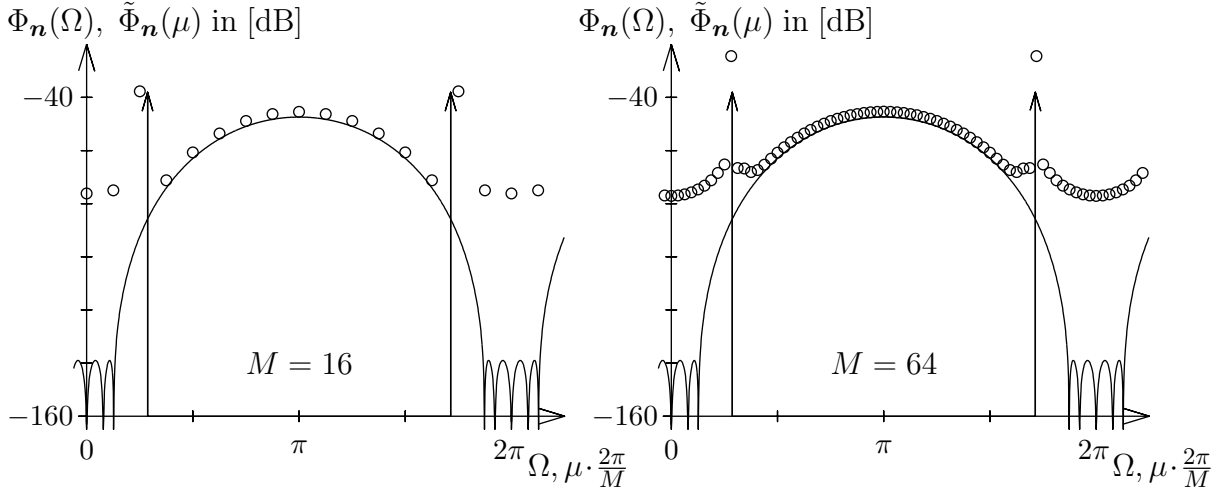


Bild 2.6: Erwartungswert des Periodogramms eines Hamming-gefensterten Prozesses mit einem periodischen Störanteil. Das LDS des Prozesses ist mit der durchgezogenen Linie dargestellt, während die Näherung mit Hilfe des Erwartungswertes des Periodogramms des gefensterten Prozesses mit „o“ gekennzeichnet ist.

LDS hinreichend zu unterdrücken. Der integrale Wert $\tilde{\Phi}_n(\mu)$ wird somit keine Aussage über das LDS im Bereich um $\mu \cdot 2\pi/M$ zulassen. Man setzt daher üblicherweise Fenster mit einer höheren Sperrdämpfung ein.

Eines der ersten Fenster, das hierfür vorgeschlagen wurde, ist das nach seinem Entwickler benannte Hamming-Fenster [8]. In Bild 2.6 sind bei demselben Beispielprozess, der auch in den Bildern 2.2, 2.3 und 2.4 verwendet wurde, die Erwartungswerte des Periodogramms dargestellt, die sich bei einer Fensterung des Prozesses mit dem Hamming-Fenster der Länge $F = 4 \cdot M$ ergeben. Obwohl nun die Werte um die Frequenz $\Omega = 0$ schon fast 20 dB niedriger sind, zeigt sich, dass auch dieses Fenster hier eine zu geringe Sperrdämpfung besitzt. Die Faltung des Betragsquadrats des Spektrums der Hamming-Fensterfolge mit den Dirac-Impulsen der periodischen Störung bewirkt, dass die Erwartungswerte des Periodogramms des gefensterten Prozesses im Frequenzbereich um $\Omega = 0$ im wesentlichen durch die um die Sperrdämpfung des Hamming-Fensters abgedämpften Impulsstärken bestimmt werden, und nicht mehr durch das LDS in diesem Frequenzbereich. Es sei noch angemerkt, dass das Hamming-Fenster die Forderung (2.20) nicht erfüllt, so dass eine einfache Berechnung der Gesamtrauschleistung mit Gleichung (2.19) aus den Werten $\tilde{\Phi}_n(\mu)$ hier nicht möglich ist.

Jede zeitlich begrenzte Fensterfolge weist im Sperrbereich des Frequenzgangs eine endliche und im Durchgangsbereich eine nicht exakt konstante Dämpfung auf. Unter der Randbedingung der zeitlichen Begrenzung der Fensterfolge hat man jedoch die Möglichkeit für den Verlauf der Dämpfung einen Kompromiss in der Art zu finden, dass die mit Gleichung

(2.17) berechneten Werte $\tilde{\Phi}_{\mathbf{n}}(\mu)$ für alle μ die gewünschten Werte $\bar{\Phi}_{\mathbf{n}}(\mu)$ gut annähern. Dieser Kompromiss hängt jedoch vom tatsächlich vorhanden LDS des Prozesses $\mathbf{n}(k)$ ab, da dieses in Gleichung (2.17) mit dem Frequenzgang der Fensterfolge multiplikativ verknüpft ist. Da man jedoch das LDS i. Allg. nicht a priori kennt, wird man sich damit begnügen müssen, eine Fensterfolge zu finden deren Dämpfungs frequenzgang für viele real vorkommende Rauschprozesse geeignet erscheint.

Um eine weitere Aussage über den gewünschten Verlauf der Sperrdämpfung zu erhalten wollen wir nun annehmen, dass viele reale Rauschprozesse ein LDS aufweisen, das dem LDS eines gefilterten weißen Rauschprozesses ähnelt. Es lässt sich dann als eine gebrochen rationale Funktion in z mit $z = e^{j \cdot \Omega}$ schreiben (AR-MA-Modell [8]). Dabei wird die gebrochen rationale Funktion endlich viele Pole und Nullstellen aufweisen, die alle symmetrisch zum Einheitskreis liegen. Bei solchen Rauschprozessen ändert sich das LDS nicht sprungartig. Daher braucht die Dämpfung des Fensters nicht gleich in unmittelbarer Umgebung des gewünschten rechteckförmigen Durchlassbereichs auf den zufordernden hohen Wert der Sperrdämpfung anzusteigen. Solche Systeme weisen typischerweise immer dann starke Schwankungen in Frequenzverlauf des LDS auf, wenn Pol- oder Nullstellen des AR-MA-Systems besonders nahe am Einheitskreis liegen. Gewissermaßen als den schlimmsten Fall eines solchen LDS wollen wir nun ein weißes Rauschsignal betrachten, das man B mal durch ein näherungsweise differenzierendes System schickt, das durch die Differenzengleichung $y(k) = x(k) - x(k-1)$ beschrieben wird. Die Z-Transformierte der Impulsantwort des mehrfach differenzierenden Systems weist eine B -fache Nullstelle am Einheitskreis der z -Ebene bei $z = 1$ auf. Das LDS des Rauschens ist dann proportional zu $\sin(\Omega/2)^{2 \cdot B}$ und hat eine $2 \cdot B$ -fache Nullstelle bei $\Omega = 0$. Um bei diesem LDS dafür zu sorgen, dass der Erwartungswert $\tilde{\Phi}_{\mathbf{n}}(0)$ einigermaßen gut mit $\bar{\Phi}_{\mathbf{n}}(0)$ übereinstimmt, muss der Anteil des Integrals in Gleichung (2.17) im Durchlassbereichs des Fensterfrequenzgangs immer deutlich höher sein als der Anteil im Sperrbereich. Deshalb sollte der Integrand ein Maximum im Bereich der Frequenzen $|\Omega| < \pi/M$ aufweisen. Dies wird nur dann der Fall sein, wenn $|F(\Omega)|^2$ mit Ω steiler abfällt als $\Phi_{\mathbf{n}}(\Omega)$ ansteigt. Daher sollte der Betragsfrequenzgang der Fensterfolge schneller als mit $\sin(\Omega/2)^{-B}$ abfallen.

Aus dieser Überlegung heraus lässt sich nun eine weitere Forderung für das Betragsquadrat des Spektrums der Fensterfolge verallgemeinern. Wenn man ein LDS eines Rauschprozesses am Ausgang eines gebrochen rationalen Systems, das eine Anhäufung von maximal $2 \cdot B$ Polstellen nahe bei einem Punkt am Einheitskreis aufweist, durch die Erwartungswerte $\tilde{\Phi}_{\mathbf{n}}(\mu)$ beschreiben will, sollte man eine Fensterfolge verwenden, deren Betragsfrequenzgang schneller als mit $\sin(\Omega/2)^{-B}$ abfällt. Diese zweite Forderung, die wir an eine Fensterfolge stellen, die beim RKM eingesetzt werden soll, ist nicht so präzise formulierbar wie die erste Forderung (2.20).

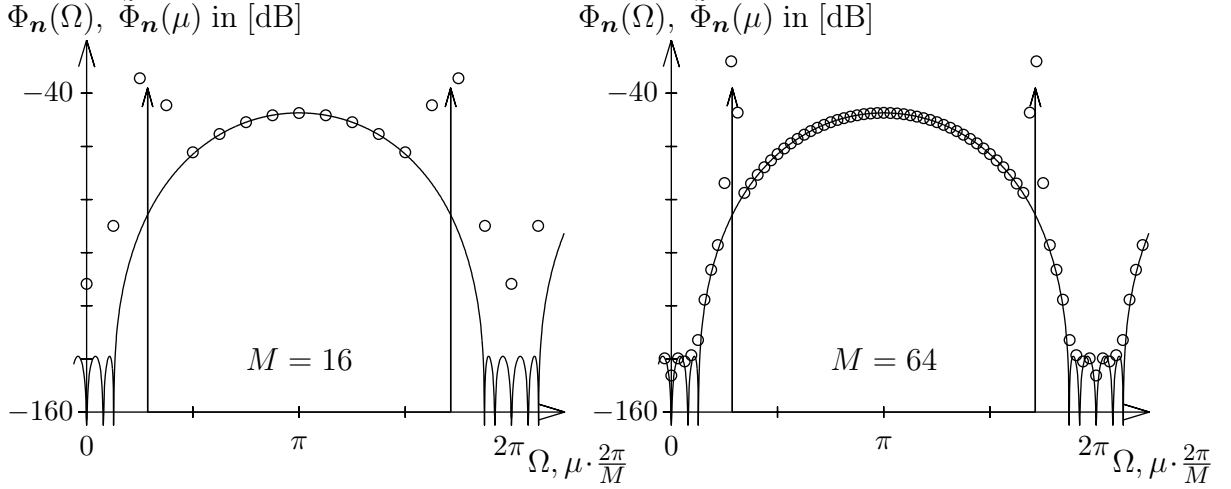


Bild 2.7: Erwartungswert des Periodogramms eines gefensterten Prozesses mit einem periodischen Störanteil. Das LDS des Prozesses ist mit der durchgezogenen Linie dargestellt, während die Näherung mit Hilfe des Erwartungswertes des Periodogramms des gefensterten Prozesses mit „o“ gekennzeichnet ist.

In Bild 2.7 wird bei demselben Beispielprozess wie in den Bildern 2.2, 2.3, 2.4 und 2.6 eine Fensterfolge verwendet, deren Betragsfrequenzgang asymptotisch mit $\sin(\Omega/2)^{-4}$ abfällt. Diese Fensterfolge wurde mit dem in Kapitel 6 angegebenen Algorithmus berechnet, bei dem die Potenz des Anstiegs der Sperrdämpfung in weiten Grenzen frei eingestellt werden kann. Es ergibt sich hier eine Fensterlänge von $F = 4 \cdot (M-1)$. Man erkennt, dass nun für $M = 64$ auch im Bereich um die Frequenz $\Omega = 0$ das LDS, bzw. dessen Stufenapproximation gut angenähert werden. Bei diesem Beispielprozess ist für $M = 16$ die Frequenzselektivität der Fensterung auch bei dem nach Kapitel 6 berechneten Fenster offensichtlich noch nicht hoch genug.

2.2.7 Systemapproximation mit Hilfe der gefensterten Prozesse

Die M Werte der Übertragungsfunktion $H(\mu \cdot 2\pi/M)$ des linearen Modellsystems haben wir nach Gleichung (2.10) so gewählt, dass der Approximationsfehler $\mathbf{n}(k)$ eine minimale Varianz auf aufweist. Nach Gleichung (2.9) ergibt sich der Approximationsfehlerprozess $\mathbf{n}(k)$, und somit auch dessen Varianz, aus den Prozessen $\mathbf{V}(\mu)$ und $\mathbf{y}(k)$ in Abhängigkeit von den zu optimierenden Werten der Übertragungsfunktion. Somit sind auch die M Erwartungswerte $\tilde{\Phi}_n(\mu)$ eine Funktion der Werte der Übertragungsfunktion.

$$\begin{aligned}
\tilde{\Phi}_{\mathbf{n}}(\mu) &= \frac{1}{M} \cdot \mathbb{E}\{ |\mathbf{N}_f(\mu)|^2 \} = \frac{1}{M} \cdot \mathbb{E}\left\{ \left| \sum_{k=-\infty}^{\infty} \mathbf{n}(k) \cdot f(k) \cdot e^{-j \cdot \frac{2\pi}{M} \cdot \mu \cdot k} \right|^2 \right\} = \\
&= \frac{1}{M} \cdot \mathbb{E}\left\{ \left| \sum_{k=-\infty}^{\infty} (\mathbf{y}(k) - \mathbf{x}(k)) \cdot f(k) \cdot e^{-j \cdot \frac{2\pi}{M} \cdot \mu \cdot k} \right|^2 \right\} = \\
&= \frac{1}{M} \cdot \mathbb{E}\left\{ \left| \mathbf{Y}_f(\mu) - \frac{1}{M} \sum_{\check{\mu}=0}^{M-1} \mathbf{V}(\check{\mu}) \cdot H(\check{\mu} \cdot \frac{2\pi}{M}) \cdot F((\mu - \check{\mu}) \cdot \frac{2\pi}{M}) \right|^2 \right\} \\
&\quad \forall \quad \mu = 0 \ (1) \ M-1 \tag{2.24}
\end{aligned}$$

Dabei sind $\mathbf{Y}_f(\mu)$ die M Elemente des Zufallsvektors $\vec{\mathbf{Y}}_f$, der durch Fensterung und anschließende DFT aus dem Zufallsprozess $\mathbf{y}(k)$ entsteht. Die Fensterung und DFT erfolgt dabei analog zur Berechnung von $\mathbf{N}_f(\mu)$ aus $\mathbf{n}(k)$ nach Gleichung (2.16).

$$\begin{aligned}
\mathbf{Y}_f(\mu) &= \sum_{k=-\infty}^{\infty} f(k) \cdot \mathbf{y}(k) \cdot e^{-j \cdot \frac{2\pi}{M} \cdot \mu \cdot k} = \sum_{\kappa=-\infty}^{\infty} \sum_{k=0}^{M-1} f(k + \kappa \cdot M) \cdot \mathbf{y}(k + \kappa \cdot M) \cdot e^{-j \cdot \frac{2\pi}{M} \cdot \mu \cdot (k + \kappa \cdot M)} = \\
&= \sum_{k=0}^{M-1} \underbrace{\sum_{\kappa=-\infty}^{\infty} f(k + \kappa \cdot M) \cdot \mathbf{y}(k + \kappa \cdot M) \cdot e^{-j \cdot \frac{2\pi}{M} \cdot \mu \cdot k}}_{= \mathbf{y}_f(k)} = \sum_{k=0}^{M-1} \mathbf{y}_f(k) \cdot e^{-j \cdot \frac{2\pi}{M} \cdot \mu \cdot k} \tag{2.25} \\
&\quad \forall \quad \mu = 0 \ (1) \ M-1
\end{aligned}$$

Wir wollen nun untersuchen, welche Optimallösungen sich für die M Werte $H(\mu \cdot 2\pi/M)$ ergeben, wenn wir nicht die Varianz des Approximationsfehlers $\mathbf{n}(k)$, sondern stattdessen die M Erwartungswerte $\tilde{\Phi}_{\mathbf{n}}(\mu)$ minimieren. Dazu leitet man diese M Terme — genauso wie bei der Berechnung des Minimums der Varianz von $\mathbf{n}(k)$ — partiell nach Real- und Imaginärteil der M Werte der Übertragungsfunktion $H(\tilde{\mu} \cdot 2\pi/M)$ getrennt ab, und erhält so $2 \cdot M^2$ reelle Gleichungen, von denen man jeweils zwei Gleichungen als Real- und Imaginärteil einer komplexen Gleichung zusammenfasst. Man erhält nach kurzer Rechnung M^2 komplexe Gleichungen zur Bestimmung der M gesuchten Werte der Übertragungsfunktion.

$$\begin{aligned}
&F((\mu - \tilde{\mu}) \cdot \frac{2\pi}{M})^* \cdot \mathbb{E}\{ \mathbf{V}(\tilde{\mu})^* \cdot \mathbf{Y}_f(\mu) \} = \tag{2.26} \\
&= F((\mu - \tilde{\mu}) \cdot \frac{2\pi}{M})^* \cdot \frac{1}{M} \cdot \sum_{\check{\mu}=0}^{M-1} \mathbb{E}\{ \mathbf{V}(\tilde{\mu})^* \cdot \mathbf{V}(\check{\mu}) \} \cdot F((\mu - \check{\mu}) \cdot \frac{2\pi}{M}) \cdot H(\check{\mu} \cdot \frac{2\pi}{M}) \\
&\quad \forall \quad \mu = 0 \ (1) \ M-1 \quad \text{und} \quad \tilde{\mu} = 0 \ (1) \ M-1
\end{aligned}$$

Dieselben M^2 Gleichungen ergeben sich auch, wenn man die Gleichung (2.11) zur Bestimmung der M optimalen Werte der Übertragungsfunktion bei der Minimierung der Varianz des Approximationsfehlers $\mathbf{n}(k)$ mit $f(k)$ gewichtet, anschließend diskret fouriertransformiert und abschließend auf beiden Seiten mit den Spektralwerten der Fensterfolge multipliziert. Man schreibt dazu zunächst die auf beiden Seiten mit $f(k)$ multiplizierte Gleichung (2.11) M mal untereinander. Jede dieser identischen Gleichungen multipliziert man auf beiden Seiten mit den Drehfaktoren $e^{-j\frac{2\pi}{M}\cdot\check{\mu}\cdot k}$, wobei man für $\check{\mu}$ die M Werte $0 (1) M-1$ einsetzt, so dass die Drehfrequenz bei allen M Gleichungen unterschiedlich ist. Anschließend wird über alle $k = 0 (1) F-1$ aufsummiert.

Da die mit Gleichung (2.12) berechneten Werte $H(\mu \cdot 2\pi/M)$ aufgrund der angenommenen Stationarität des Verbundprozesses aus $\mathbf{v}(k)$ und $\mathbf{y}(k)$ die Gleichung (2.11) lösen, sind diese Optimalwerte zugleich eine Lösung des Systems der M^2 Gleichungen (2.26). Somit wird also nicht nur die Varianz von $\mathbf{n}(k)$ — also eine einzelne Größe — minimiert, sondern zugleich jeder der M Erwartungswerte $\tilde{\Phi}_{\mathbf{n}}(\mu)$, deren Summe gleich der Varianz ist, sofern die Fensterfolge der Bedingung (2.20) genügt.

Leider lässt sich keine notwendige und hinreichende Bedingung für die Wahl der Fensterfolge angeben, die sicherstellt, dass auch die M^2 Gleichungen (2.26) keinen mächtigeren Lösungsraum besitzen, wie Gleichung (2.11). Es ist jedoch relativ einfach eine hinreichende Bedingung für das Spektrum der Fensterfolge zu finden, die die Existenz einer eindeutigen Lösung für den Fall garantiert, dass alle Elemente des Zufallsvektors $\vec{\mathbf{V}}$ eine von Null verschiedene Varianz besitzen. Diese Bedingung besagt, dass das Spektrum der Fensterfolge bei ganzzahligen Vielfachen der Frequenz $2\pi/M$ außer bei ganzzahligen Vielfachen von 2π Nullstellen aufweist. Des Weiteren empfiehlt es sich die Fensterfolge so zu normieren, dass sich bei der Frequenz $\Omega = 0$ im Spektrum der Wert M ergibt.

$$F(\mu \cdot \frac{2\pi}{M}) = \begin{cases} M & \text{für } \mu = 0 \\ 0 & \text{für } \mu = 1 (1) M-1 \end{cases} \quad (2.27)$$

Die Forderung (2.27) ist die dritte Forderung, die wir an eine Fensterfolge stellen, wenn wir sie beim RKM einsetzen wollen. Wie auch die erste Forderung (2.20) ist auch diese Forderung exakt formulierbar. Die mit dem in Kapitel 6 angegebenen Algorithmus berechneten Fensterfolgen erfüllen die Bedingung (2.27).

Von den M^2 Gleichungen (2.26) sind bei Verwendung einer Fensterfolge, die dieser Bedingung genügt, alle Gleichungen mit $\mu \neq \check{\mu}$ sowieso erfüllt, da in diesen Gleichungen auf beiden Seiten mit Null multipliziert wird. Bei den Summentermen in den verbleibenden M Gleichungen bleibt jeweils nur der Summand mit $\check{\mu} = \mu$ übrig. Die Lösung

$$H(\mu \cdot \frac{2\pi}{M}) = \frac{\mathbb{E}\{\mathbf{V}(\mu)^* \cdot \mathbf{Y}_f(\mu)\}}{\mathbb{E}\{|\mathbf{V}(\mu)|^2\}} \quad \forall \mu = 0 (1) M-1 \quad (2.28)$$

dieser M Gleichungen ist eindeutig festgelegt, wenn man voraussetzt, dass die Varianzen aller M Zufallsgrößen $\mathbf{V}(\tilde{\mu})$ von Null verschieden sind. Der Lösungsraum der M^2 Gleichungen (2.26) kann somit nicht mächtiger sein als der Lösungsraum der M ursprünglichen Gleichungen (2.12).

Die nach dem Einsetzen der Forderung (2.27) verbleibenden M Gleichungen und die M Gleichungen (2.12) unterscheiden sich, abgesehen von dem konstanten von Null verschiedenen Faktor M und davon, dass der Parameter der Gleichungsnummer dort $\tilde{\mu}$ und hier μ heißt, nur dadurch, dass hier nun das Spektrum des gefensterten Prozesses auftritt. Somit stellt die Forderung (2.27) sicher, dass man bei der Systemapproximation auch dann dasselbe Modellsystem erhält, wenn man dafür den gefensterten Ausgangsprozess heranzieht.

2.2.8 Orthogonalität der Systemapproximation mit Fensterung

Die zufälligen Spektralwerte $\mathbf{N}_f(\mu)$ lassen sich bei Verwendung einer Fensterfolge, deren Spektrum der Bedingung (2.27) genügt, in der einfachen Form

$$\mathbf{N}_f(\mu) = \mathbf{Y}_f(\mu) - H(\mu \cdot \frac{2\pi}{M}) \cdot \mathbf{V}(\mu) \quad (2.29)$$

darstellen. Dazu wurde zunächst in die Definitionsgleichung (2.16) der zufälligen Spektralwerte $\mathbf{N}_f(\mu)$ der Approximationsfehlerprozess nach Gleichung (2.9) eingesetzt. Anschließend wurde in der sich ergebenden Gleichung für eine Summe die Fouriertransformierte $\mathbf{Y}_f(\mu)$ des diskreten, gefensterten Ausgangsprozesses $\mathbf{y}(k)$ nach Gleichung (2.25) substituiert. In der anderen Summe wurde die Nullstelleneigenschaft (2.27) des Spektrums der Fensterfolge berücksichtigt, so dass von dieser Summe nur ein Summand übrig bleibt.

Da wir uns hier auf den Fall mittelwertfreier Ein- und Ausgangsprozesse $\mathbf{v}(k)$ und $\mathbf{y}(k)$ beschränken, sind auch bei Verwendung einer Fensterung deren Fouriertransformierte $\mathbf{V}(\mu)$ und $\mathbf{Y}_f(\mu)$ mittelwertfrei, da es sich hierbei um eine lineare Superposition mittelwertfreier Zufallsgrößen handelt. Daher sind auch die zufälligen Spektralwerte $\mathbf{N}_f(\mu)$ mittelwertfrei. Deren zweite Momente $M \cdot \tilde{\Phi}_n(\mu)$ sind somit zugleich deren Varianzen (= zweite *zentrale* Momente). Des Weiteren lässt sich die Gültigkeit der Aussage

$$\mathbb{E}\{\mathbf{V}(\mu)^* \cdot \mathbf{N}_f(\mu)\} = 0 \quad (2.30)$$

über die Kovarianz der Zufallsgrößen $\mathbf{V}(\mu)$ und $\mathbf{N}_f(\mu)$ durch Einsetzen der Schreibweise (2.29) und der Optimallösung (2.28) zeigen. Die Approximation des realen Systems durch das Modellsystem wird also so vorgenommen, dass die sich ergebenden zufälligen Spektralwerte des gefensterten Approximationsfehlers zu den Spektralwerten des erregenden Zufallsvektors orthogonal sind.

2.2.9 Auswirkung der Fensterung auf das modifizierte LDS

Die zweiten Momente — also die Korrelationen des Real- und des Imaginärteils — des Prozesses $\mathbf{n}(k)$ sind bei einem allgemeinen komplexen Rauschprozess durch die AKF $E\{\mathbf{n}(k)^*\cdot\mathbf{n}(k+\kappa)\}$ nicht vollständig beschrieben. Vollständig wird die Beschreibung der zweiten Momente durch die zusätzliche Angabe der modifizierten Autokorrelationsfolge (MAKF), die als $E\{\mathbf{n}(k)\cdot\mathbf{n}(k+\kappa)\}$ definiert sei. Aufgrund der geforderten Stationarität hängt auch diese Korrelationsfolge nur von der Zeitdifferenz κ und nicht von k ab. Sowohl der Real- als auch der Imaginärteil dieser Korrelationsfolge sind gerade. Diese Korrelationsfolge ist durch ihre Fouriertransformierte

$$\Psi_{\mathbf{n}}(\Omega) = \sum_{\kappa=-\infty}^{\infty} E\{\mathbf{n}(k)\cdot\mathbf{n}(k+\kappa)\} \cdot e^{-j\cdot\Omega\cdot\kappa} \quad \forall \Omega \in \mathbb{R}, \quad (2.31)$$

die eine mit 2π periodische und in Real- und Imaginärteil gerade Funktion ist, vollständig beschrieben. Der Realteil von $\Psi_{\mathbf{n}}(\Omega)$ ist bei einem mittelwertfreien Approximationsfehlerprozess die Differenz der Leistungsdichtespektren des Real- und des Imaginärteilprozesses. Den Imaginärteil von $\Psi_{\mathbf{n}}(\Omega)$ erhält man durch Fouriertransformation aus der doppelten Kreuzkorrelationsfolge der Real- und Imaginärteilprozesse. $\Psi_{\mathbf{n}}(\Omega)$ wird im Weiteren als modifiziertes Leistungsdichtespektrum (MLDS) des Prozesses $\mathbf{n}(k)$ bezeichnet.

Aus den oben genannten Gründen ist — wie bei dem LDS $\Phi_{\mathbf{n}}(\Omega)$ — die Angabe von Abtastwerten dieser Spektralfunktion nicht möglich und sinnvoll. Stattdessen kann man analog zum LDS die M Erwartungswerte $\tilde{\Psi}_{\mathbf{n}}(\mu)$ der M Zufallsgrößen $\mathbf{N}_f(\mu)\cdot\mathbf{N}_f(-\mu)/M$ angeben. Diese berechnen sich mit Hilfe der Fensterung entsprechend zu:

$$\begin{aligned} \tilde{\Psi}_{\mathbf{n}}(\mu) &= E\left\{ \frac{1}{M} \cdot \mathbf{N}_f(\mu) \cdot \mathbf{N}_f(-\mu) \right\} = \\ &= \frac{1}{M} \cdot E\left\{ \sum_{k_1=-\infty}^{\infty} \mathbf{n}(k_1) \cdot f(k_1) \cdot e^{-j\cdot\frac{2\pi}{M}\cdot\mu\cdot k_1} \cdot \sum_{k_2=-\infty}^{\infty} \mathbf{n}(k_2) \cdot f(k_2) \cdot e^{j\cdot\frac{2\pi}{M}\cdot\mu\cdot k_2} \right\} = \\ &= \frac{1}{M} \cdot \sum_{k_2=-\infty}^{\infty} \sum_{k_1=-\infty}^{\infty} E\{\mathbf{n}(k_2)\cdot\mathbf{n}(k_1)\} \cdot f(k_2) \cdot f(k_1) \cdot e^{j\cdot\frac{2\pi}{M}\cdot\mu\cdot(k_2-k_1)} = \\ &= \frac{1}{M} \cdot \sum_{\tilde{k}=-\infty}^{\infty} \sum_{\kappa=-\infty}^{\infty} E\{\mathbf{n}(\tilde{k})\cdot\mathbf{n}(\tilde{k}+\kappa)\} \cdot f(\tilde{k}) \cdot f(\tilde{k}+\kappa) \cdot e^{-j\cdot\frac{2\pi}{M}\cdot\mu\cdot\kappa} = \\ &= \frac{1}{M} \cdot \sum_{\tilde{k}=-\infty}^{\infty} \sum_{\kappa=-\infty}^{\infty} \frac{1}{2\pi} \cdot \int_{-\pi}^{\pi} \Psi_{\mathbf{n}}(\Omega) \cdot e^{j\cdot\Omega\cdot\kappa} \cdot d\Omega \cdot f(\tilde{k}) \cdot f(\tilde{k}+\kappa) \cdot e^{-j\cdot\frac{2\pi}{M}\cdot\mu\cdot\kappa} = \end{aligned} \quad (2.32)$$

$$\begin{aligned}
&= \frac{1}{2\pi \cdot M} \cdot \int_{-\pi}^{\pi} \Psi_{\mathbf{n}}(\Omega) \cdot F\left(\mu \cdot \frac{2\pi}{M} - \Omega\right) \cdot \sum_{\tilde{k}=-\infty}^{\infty} f(\tilde{k}) \cdot e^{-j \cdot (\Omega - \frac{2\pi}{M} \cdot \mu) \cdot \tilde{k}} \cdot d\Omega = \\
&= \frac{1}{2\pi \cdot M} \cdot \int_{-\pi}^{\pi} \Psi_{\mathbf{n}}(\Omega) \cdot F\left(\mu \cdot \frac{2\pi}{M} - \Omega\right) \cdot F\left(\Omega - \mu \cdot \frac{2\pi}{M}\right) \cdot d\Omega \\
&\quad \forall \quad \mu = 0 \ (1) \ M-1.
\end{aligned}$$

Bei Verwendung einer reellen Fensterfolge kann man für diese Werte

$$\tilde{\Psi}_{\mathbf{n}}(\mu) = \frac{1}{2\pi \cdot M} \cdot \int_{-\pi}^{\pi} \Psi_{\mathbf{n}}(\Omega) \cdot |F\left(\mu \cdot \frac{2\pi}{M} - \Omega\right)|^2 \cdot d\Omega \quad \forall \quad \mu = 0 \ (1) \ M-1 \quad (2.33)$$

schreiben. Wie bei den Werten $\tilde{\Phi}_{\mathbf{n}}(\mu)$ wird auch bei den Werten $\tilde{\Psi}_{\mathbf{n}}(\mu)$ bei jeder diskreten Frequenz μ das Integral über die durch das Betragsquadratspektrum der Fensterfolge ausgeblendete unmittelbare Umgebung der Frequenz $\Omega = \mu \cdot 2\pi/M$ der Funktion $\Psi_{\mathbf{n}}(\Omega)$ angegeben. Die Werte $\tilde{\Psi}_{\mathbf{n}}(\mu)$ lassen sich analog auch wieder aus der Korrelationsfolge $E\{\mathbf{n}(k) \cdot \mathbf{n}(k+\kappa)\}$ berechnen, indem man diese mit der Folge $f(\kappa) * f(-\kappa)/M$, die bei Verwendung einer reellen Fensterfolge gleich der Fenster-AKF $d(\kappa)$ ist, fenstert und anschließend diskret fouriertransformiert. Bei geeigneter Wahl der Fensterfolge hat man mit $\tilde{\Psi}_{\mathbf{n}}(\mu)$ eine gute Näherung für die Größen

$$\bar{\Psi}_{\mathbf{n}}(\mu) = \frac{M}{2\pi} \cdot \int_{-\frac{\pi}{M}}^{\frac{\pi}{M}} \Psi_{\mathbf{n}}\left(\mu \cdot \frac{2\pi}{M} - \Omega\right) \cdot d\Omega. \quad (2.34)$$

Auch hier gilt bei Verwendung einer Fensterfolge, die der Bedingung (2.20) genügt:

$$\begin{aligned}
\frac{1}{M} \cdot \sum_{\mu=0}^{M-1} \tilde{\Psi}_{\mathbf{n}}(\mu) &= \frac{1}{2\pi \cdot M^2} \cdot \sum_{\mu=0}^{M-1} \int_{-\pi}^{\pi} \Psi_{\mathbf{n}}(\Omega) \cdot |F\left(\mu \cdot \frac{2\pi}{M} - \Omega\right)|^2 \cdot d\Omega = \\
&= \frac{1}{2\pi} \cdot \int_{-\pi}^{\pi} \Psi_{\mathbf{n}}(\Omega) \cdot \frac{1}{M^2} \cdot \sum_{\mu=0}^{M-1} |F\left(\mu \cdot \frac{2\pi}{M} - \Omega\right)|^2 \cdot d\Omega = \frac{1}{2\pi} \cdot \int_{-\pi}^{\pi} \Psi_{\mathbf{n}}(\Omega) \cdot d\Omega = E\{\mathbf{n}(k)^2\}.
\end{aligned} \quad (2.35)$$

Gleichung (2.16) definiert die M Zufallsgrößen $\mathbf{N}_f(\mu)$ als endliche Linearkombination der einzelnen Zufallsgrößen, die für die unterschiedlichen Werte k aus dem Zufallsprozess $\mathbf{n}(k)$ entnommen sind. Die Koeffizienten dieser Linearkombination sind die Produkte aus den Werten der Fensterfolge und den Drehfaktoren der DFT. Wenn die Erwartungswerte $E\{|\mathbf{N}_f(\mu)|^2\}$ und $E\{\mathbf{N}_f(\mu) \cdot \mathbf{N}_f(-\mu)\}$ existieren, kann man diese nach Gleichung (2.17)

und (2.32) in die Ungleichung

$$|\tilde{\Psi}_{\mathbf{n}}(\mu)|^2 \leq \tilde{\Phi}_{\mathbf{n}}(\mu) \cdot \tilde{\Phi}_{\mathbf{n}}(-\mu) \quad (2.36)$$

einsetzen, und deren Gültigkeit mit der im Anhang A.2 hergeleiteten Ungleichung zeigen.

2.3 Zusammenfassung der Systemapproximation mit Fensterung

In diesem Kapitel wurde gezeigt, wie sich ein reales gestörtes System modellieren lässt, wenn die an dem System anliegenden Ein- und Ausgangsprozesse stationär und mittelwertfrei sind. Die sich bei einer periodischen zufälligen Erregung ergebenden *theoretisch* optimalen Werte der Übertragungsfunktion des Modellsystems wurden in der Art bestimmt, dass der verbleibende Approximationsfehlerprozess eine minimale Varianz aufweist. Es wurde zur Beschreibung des LDS des Fehlerprozesses eine Spektralfolge endlich vieler Werte angegeben, die sich mit Hilfe einer Fensterung, einer DFT und einer Erwartungswertbildung aus den Ein- und Ausgangsprozessen berechnen lässt. Es wurde gezeigt, dass die Fensterung keinen Einfluss auf die optimale Systemaufspaltung hat. Es wurden die folgenden drei Bedingungen für die dabei verwendete Fensterfolge angegeben, die sicherstellen, dass die Systemaufspaltung nicht verfälscht wird und die Spektralfolge in der Lage ist das LDS des Approximationsfehlerprozesses aussagekräftig zu beschreiben.

1. Die Fensterfolge soll ein leistungskomplementäres Spektrum gemäß Gleichungen (2.20) besitzen. Dies stellt die korrekte Erfassung der Gesamtrauschleistung sicher.
2. Das Betragsquadrat des Spektrums der Fensterfolge sollte einen potenzmäßigen Anstieg der Sperrdämpfung besitzen, wobei die Potenz höher sein sollte als die schlimmstenfalls zu erwartende Potenz des Abfalls des Leistungsdichtespektrums. Dies ermöglicht die adäquate Beschreibung des LDS eines Prozesses mit stark schwankendem LDS.
3. Das Spektrum der Fensterfolge soll die Nullstellen gemäß Gleichungen (2.20) besitzen. Dies stellt die korrekte Systemaufspaltung sicher.

3 Das Rauschklirrmessverfahren mit Fensterung

Nun wollen wir uns der Frage widmen, wie man mit Hilfe einer Messung Schätzwerte $\hat{H}(\mu)$ für die theoretischen Optimallösungen der Übertragungsfunktion $H(\mu \cdot \frac{2\pi}{M})$ sowie Schätzwerte $\hat{\Phi}_n(\mu)$ und $\hat{\Psi}_n(\mu)$ für die Näherungen $\tilde{\Phi}_n(\mu)$ und $\tilde{\Psi}_n(\mu)$ der Stufenapproximationen des LDS und des MLDS des Approximationsfehlers gewinnen kann. Die mit der Messung für diese Größen gewonnenen Schätzwerte werden im weiteren meist als Messwerte bezeichnet.

Wir beginnen damit, das prinzipielle Verfahren zur Bestimmung der Messwerte der Übertragungsfunktion anzugeben. Bei diesem Verfahren wird eine Fensterung vorgenommen. Es wird dann gezeigt, wie sich der Aufwand des Verfahrens deutlich reduzieren lässt, wenn man die dabei eingesetzte Fensterfolge geeignet wählt. Die Erwartungstreue der Messwerte der Übertragungsfunktion wird anschließend gezeigt.

Wie sich bei diesem Messverfahren zugleich Schätzwerte für das LDS und das MLDS des Approximationsfehlers gewinnen lassen, wird im Folgenden gezeigt. Auch hier wird zunächst das prinzipielle Vorgehen geschildert. Es wird dann gezeigt, wie sich das Verfahren vereinfachen lässt, wenn man eine dabei auftretende Matrix geschickt konstruiert.

Es folgt die Berechnung der Messwertvarianzen und Kovarianzen. Damit kann anschließend die Konsistenz der Messwerte nachgewiesen werden. In diesen Unterkapiteln werden zudem Schätzwerte für die Messwertvarianzen und Kovarianzen angegeben. Nachdem einige Anmerkungen zu Besonderheiten dieses Messverfahrens durchgeführt worden sind, wird gezeigt, wie man mit Hilfe der Schätzwerte der Messwertvarianzen und Kovarianzen Konfidenzgebiete für die Messwerte angeben kann.

Abschließend werden zwei Arten von Signalen angegeben, die für den Einsatz als Erregung beim Rauschklirrmessverfahren besonders geeignet sind.

3.1 Prinzip der Messung der Übertragungsfunktion

Um die Schätzwerte mit Hilfe einer Messung bestimmen zu können, benötigen wir eine Stichprobe vom Umfang L des Zufallsvektors \vec{v} , also L konkrete Realisierungen — die

Vektoren \vec{v}_λ mit $\lambda = 1 (1) L$ — des Zufallsvektors \vec{v} , die voneinander unabhängig gewonnen werden. Die L Vektoren \vec{V}_λ , die man mit Hilfe einer DFT aus den L Vektoren \vec{v}_λ berechnet, sind somit eine Stichprobe vom Umfang L des Zufallsvektors \vec{V} . Wahlweise kann man daher auch eine Stichprobe vom Umfang L des Zufallsvektors \vec{V} entnehmen und daraus die L Vektoren \vec{v}_λ berechnen. Jeweils einer dieser L Vektoren bildet das Eingangssignal $v_\lambda(k)$ im Zeitintervall $[0; M-1]$ bei der Einzelmessung mit der Nummer λ . Das gesamte Eingangssignal bei der Einzelmessung erhält man durch periodische Fortsetzung des Signals mit der Periode M . Da wir in Gleichung (2.6) angenommen haben, dass die Impulsantwort $h(k)$ des Systems nach E Taktzeitabständen weitgehend abgeklungen ist, dass die weiteren Abtastwerte mit $k > E$ keinen Einfluss auf die Systemmodellierung mehr haben, genügt es, wenn wir die Erregung bei den Einzelmessungen ab einem Zeitpunkt anlegen, der um E Takte vor dem Zeitpunkt liegt, an dem wir mit der Messung der Signale am Systemausgang beginnen. Das System befindet sich dann im eingeschwungenen Zustand und am Systemausgang liegen dann dieselben Signale an, die sich ergeben würden, wenn man das System mit einer zeitlich unbegrenzten periodischen Folge erregt hätte. Die Messung am Ausgang des realen Systems soll die F aufeinanderfolgenden Abtastwerte der Musterfolge $y_\lambda(k)$ mit $k = 0 (1) F-1$ enthalten. Die in Gleichung (2.6) angenommene Kausalität des Modellsystems führt dazu, dass das reale System für $k \geq F$ nicht weiter erregt zu werden braucht. Die periodisch fortgesetzte Musterfolge der Erregung muss also bei jeder Einzelmessung für $k = -E (1) F-1$ anliegen.

Die Elemente der Vektoren \vec{v}_λ sind aufgrund der begrenzten Wortlänge des zur Signalgenerierung verwendeten Rechners fehlerbehaftet. Diese Fehler entstehen einerseits durch die Quantisierung der Elemente der Vektoren \vec{V}_λ und andererseits durch die inverse DFT dieser Vektoren, die auch nur mit einer endlichen Wortlänge durchgeführt wird. Die Quantisierung der Vektoren \vec{V}_λ hat keinen direkten Einfluss auf die Genauigkeit der Berechnung der gesuchten Messwerte, weil in der gesamten Messung — also auch bei der Erzeugung der Erregung — nur die quantisierten Vektoren eingehen. Man kann daher diese Quantisierung als Teil des Zufallsgenerators betrachten, mit dessen Hilfe die Stichprobe des Zufallsvektors \vec{V} gewonnen wird. Der Zufallsvektor \vec{V} ist also diskret, und besitzt als Menge der Ergebnisvektoren eine Untermenge aller am Rechner mit endlicher Wortlänge darstellbaren quantisierten Vektoren. Die Quantisierungsfehler, die bei der Berechnung der inversen DFT bei der Erzeugung der Systemerregung entstehen, werden als additive Störung am Eingang des realen Systems betrachtet, und diesem zugeschlagen.

Am Ausgang des Systems messen wir innerhalb des Intervalls $[0; F-1]$ die L Ausgangssignalfolgen $y_\lambda(k)$ mit $\lambda = 1 (1) L$, die eine konkrete Stichprobe vom Umfang L des Zufallsvektors sind, der aus dem Zufallsprozess $\mathbf{y}(k)$ durch zeitliche Begrenzung auf das Zeitintervall $[0; F-1]$ entsteht. Die Messung muss dabei in der Art erfolgen, dass die L

Einzelmessungen voneinander unabhängig sind und alle L Stichprobenelemente dieselben stochastischen Eigenschaften aufweisen, wie der Zufallsprozess $\mathbf{y}(k)$ in diesem Zeitintervall. Das bedeutet, dass sich die gemeinsame Verbundverteilung aller L Ausgangssignalabschnitte in die L identischen Verbundverteilungen der einzelnen Ausgangssignalabschnitte faktorisieren lässt. Dass es sich bei den L Einzelmessungen um eine zulässige Stichprobe vom Umfang L mit den eben erwähnten Eigenschaften handelt, ist im Einzelfall z. B. anhand heuristischer Überlegungen sicherzustellen. Beispielsweise ist bei einer Simulation eines nichtlinearen Systems ohne externe Störungen an einem Computer nicht damit zu rechnen, dass Abhängigkeiten der Einzelmessungen vorliegen, wenn das System bei jeder Einzelmessung neu initialisiert wird, und wenn man einen Zufallsgenerator zur Generierung der Erregung verwendet, bei dem die Unabhängigkeit der Stichprobenelemente überprüft worden ist. Weitere Überlegungen zur geeigneten Wahl der Stichprobenerhebung sind in [6] für den Fall periodisch zeitvarianter Systeme, die von zyklostationären Prozessen gestört werden, angegeben.

Durch eine Fensterung, eine blockweise Überlagerung und eine anschließende DFT der L Ausgangssignalausschnitte $y_\lambda(k)$ werden dann die L Vektoren $\vec{Y}_{f,\lambda}$ gebildet, die eine konkrete Stichprobe vom Umfang L des Zufallsvektors \vec{Y}_f mit den Elementen $\mathbf{Y}_f(\mu)$ darstellen. Die Fensterung erfolgt dabei mit den gemessenen Musterfolgen in derselben Art wie beim Ausgangsprozess in Gleichung (2.25) in vier Schritten:

- Die Musterfolge wird mit der Fensterfolge multipliziert: $f(k) \cdot y_\lambda(k)$.

- Die gefensterte Musterfolge wird in Blöcke der Länge M zerlegt.

Für jeden Wert κ bildet der Musterfolgenabschnitt $f(k+\kappa \cdot M) \cdot y_\lambda(k+\kappa \cdot M)$ für die M Werte $k = 0 (1) M-1$ einen Block der Länge M .

- Die Blöcke für alle Werte von κ werden additiv überlagert:

$$y_{f,\lambda}(k) = \sum_{\kappa=-\infty}^{\infty} f(k+\kappa \cdot M) \cdot y_\lambda(k+\kappa \cdot M)$$

- Die so entstandene Musterfolge der Länge M wird einer DFT unterworfen und liefert die M Elemente des Vektors $\vec{Y}_{f,\lambda}$:

$$Y_{f,\lambda}(\mu) = \sum_{k=0}^{M-1} y_{f,\lambda}(k) \cdot e^{-j \cdot \frac{2\pi}{M} \cdot \mu \cdot k}.$$

Auch die Vektoren $\vec{Y}_{f,\lambda}$ sind aufgrund der begrenzten Wortlänge des zur Messung verwendeten Rechners fehlerbehaftet. Diese Fehler entstehen einerseits durch die Quantisierung der Werte $y_\lambda(k)$ der L Folgen am Systemausgang und andererseits durch die Fensterung und die anschließende DFT dieser Folgen. Wie bei den Fehlern bei der Berechnung der inversen DFT bei der Erzeugung der Systemerregung, wollen wir auch diese Fehler als eine

additive Störung des realen Systems — diesmal aber am Systemausgang — interpretieren. Wir wollen daher die Vektoren \vec{V}_λ und $\vec{Y}_{f,\lambda}$ als fehlerfrei betrachten, müssen uns aber darüber im Klaren sein, dass wir ein modifiziertes reales System messen. Bei den meisten realen Systemen, wird der Einfluss dieser zusätzlichen Störungen verschwindend gering sein. In Kapitel 7.1 wird an einem Verzögerungsglied, das keine weiteren Quantisierungsfehler hervorruft, der Einfluss der Quantisierungen bei der Berechnung des Spektrums der Erregung und der Messwerte exemplarisch dargestellt.

Bei der theoretischen Modellierung des Systems, also der Berechnung der Regressionshypothese der zweiten Art, bestand in Kapitel 2.2.7 die Aufgabe darin die *theoretischen* Regressionskoeffizienten so zu wählen, dass die Erwartungswerte $\tilde{\Phi}_n(\mu)$ minimal werden. Gleichung (2.24) zeigt, dass dies gleichbedeutend damit ist, die theoretischen Regressionskoeffizienten so zu wählen, dass der Zufallsvektor mit den Elementen

$$\frac{1}{M} \cdot \sum_{\tilde{\mu}=0}^{M-1} \mathbf{V}(\tilde{\mu}) \cdot H\left(\tilde{\mu} \cdot \frac{2\pi}{M}\right) \cdot F\left((\mu - \tilde{\mu}) \cdot \frac{2\pi}{M}\right) \quad (3.1)$$

im Sinne des kleinsten *Erwartungswertes* des quadratischen Fehlers möglichst gut mit dem Zufallsvektor mit den Elementen $\mathbf{Y}_f(\mu)$ übereinstimmt. Bei der *empirischen* Bestimmung der Regressionskoeffizienten mit dem Rauschklirrmessverfahren wird man die Regressionskoeffizienten so wählen, dass der *mittlere* quadratische Fehler der Abweichung der entsprechenden Stichprobe

$$\frac{1}{M} \cdot \sum_{\tilde{\mu}=0}^{M-1} V_\lambda(\tilde{\mu}) \cdot \hat{H}(\tilde{\mu}) \cdot F\left((\mu - \tilde{\mu}) \cdot \frac{2\pi}{M}\right), \quad (3.2)$$

der aus der Stichprobe des Eingangssignals abgeleitet wird, von der gemessenen, gefensterten und diskret fouriertransformierten Stichprobe des Ausgangssignals $Y_{f,\lambda}(\mu)$ möglichst klein wird. Die Mittelung des quadratischen Fehlers geschieht dabei über alle L Einzelmessungen mit dem Index λ , also über alle L Stichprobenelemente.

Die Aufgabe besteht somit darin, eine Ausgleichslösung für das überbestimmte Gleichungssystem

$$\frac{1}{M} \cdot \sum_{\tilde{\mu}=0}^{M-1} \hat{H}(\tilde{\mu}) \cdot V_\lambda(\tilde{\mu}) \cdot F\left((\mu - \tilde{\mu}) \cdot \frac{2\pi}{M}\right) = Y_{f,\lambda}(\mu) \quad \forall \mu = 0 \text{ (1)} M-1 \quad \text{und} \quad \lambda = 1 \text{ (1)} L \quad (3.3)$$

zu finden. Diese Gleichungssystem besteht aus $L \cdot M$ Gleichungen, da sich für jede mögliche Kombinationen von μ und λ jeweils eine Gleichung ergibt. Die Ausgleichslösung ist dabei derjenige Satz von Werten $\hat{H}(\tilde{\mu})$ bei dem das Betragsquadrat der Differenz der rechten

und der linken Seite des Gleichungssystems möglichst klein wird¹. Das Gleichungssystem (3.3) kann man auch in Matrixdarstellung als

$$\hat{\underline{H}}^T \cdot \underline{M} = \tilde{\underline{Y}}_f \quad (3.4)$$

schreiben. Der $M \times 1$ Spaltenvektor $\hat{\underline{H}}$ enthält die zu bestimmenden Messwerte, wobei das $\mu+1$ -te Element der Spektralwert bei der diskreten Frequenz $\mu \cdot 2\pi/M$ ist.

$$\hat{\underline{H}} = [\hat{H}(0), \dots, \hat{H}(\mu), \dots, \hat{H}(M-1)]^T \quad (3.5)$$

Der $1 \times (L \cdot M)$ Zeilenvektor $\tilde{\underline{Y}}_f$ setzt sich aus den L Zeilenvektoren $\vec{Y}_{f,\lambda}^T$ der Dimension $1 \times M$ zusammen, die jeweils die M Werte des Spektrums des gefensterten Ausgangssignals des zu messenden Systems bei der Einzelmessung mit der Nummer λ enthalten, wobei auch hier wieder der Spektralwert bei der diskreten Frequenz $\mu \cdot 2\pi/M$ das $\mu+1$ -te Element ist.

$$\tilde{\underline{Y}}_f = [\vec{Y}_{f,1}^T, \dots, \vec{Y}_{f,\lambda}^T, \dots, \vec{Y}_{f,L}^T] \quad \text{mit} \quad (3.6a)$$

$$\vec{Y}_{f,\lambda} = [Y_{f,\lambda}(0), \dots, Y_{f,\lambda}(\mu), \dots, Y_{f,\lambda}(M-1)]^T \quad \forall \lambda = 1(1)L \quad (3.6b)$$

Die $M \times (L \cdot M)$ Matrix \underline{M} hat folgenden Aufbau.

$$\underline{M} = \left[\underline{V}_1 \cdot \frac{1}{M} \cdot \underline{F}, \dots, \underline{V}_\lambda \cdot \frac{1}{M} \cdot \underline{F}, \dots, \underline{V}_L \cdot \frac{1}{M} \cdot \underline{F} \right] \quad (3.7)$$

Dabei ist \underline{F} die $M \times M$ Matrix, deren Element in der $\tilde{\mu}+1$ -ten Zeile und in der $\mu+1$ -ten Spalte der Wert $F((\mu-\tilde{\mu}) \cdot 2\pi/M)$ des Spektrums der Fensterfolge ist.

$$\underline{F} = \begin{bmatrix} F(0) & \dots & F(\mu \cdot \frac{2\pi}{M}) & \dots & F((M-1) \cdot \frac{2\pi}{M}) \\ \vdots & & \vdots & & \vdots \\ F(-\tilde{\mu} \cdot \frac{2\pi}{M}) & \dots & F((\mu-\tilde{\mu}) \cdot \frac{2\pi}{M}) & \dots & F((M-1-\tilde{\mu}) \cdot \frac{2\pi}{M}) \\ \vdots & & \vdots & & \vdots \\ F((1-M) \cdot \frac{2\pi}{M}) & \dots & F((\mu-M+1) \cdot \frac{2\pi}{M}) & \dots & F(0) \end{bmatrix} \quad (3.8)$$

\underline{F} ist eine zirkulante Matrix, d. h. jeder Zeilenvektor dieser Matrix ist gerade die um ein Element rotierte Version des darüberliegenden Zeilenvektors. \underline{F} lässt sich daher mit der Matrixmultiplikation $\underline{T}^H \cdot \underline{F} \cdot \underline{T}$ unitär auf Diagonalform transformieren. Die dazu benötigte Transformationsmatrix \underline{T} ist die Matrix, die als Elemente die auf \sqrt{M} normierten Drehfaktoren der DFT enthält². Die sich bei Transformation ergebende Diagonalmatrix

¹ Als Ausgleichsprinzip verwenden wir somit die Methode der kleinsten Quadrate, die auf C. F. Gauß zurückgeht.

² Das Element $T_{\mu,k}$ in der $\mu+1$ -ten Zeile und in der $k+1$ -ten Spalte der Transformationsmatrix enthält den Drehfaktor $\frac{1}{\sqrt{M}} \cdot e^{j \cdot \frac{2\pi}{M} \cdot \mu \cdot k}$.

hat als $k+1$ -tes Diagonalelement M mal die Summe $\sum_{\kappa=0}^{F/M} f(k+\kappa \cdot M)$ der Werte der Fensterfolge. Die Matrix \underline{F} ist also regulär, wenn diese Summe der Werte der Fensterfolge für alle $0 \leq k < M$ von Null verschieden ist.

Die in der Gleichung (3.7) auftretende Matrix \underline{V}_λ ist eine $M \times M$ Diagonalmatrix, deren Hauptdiagonalelemente gerade die Elemente des Vektors \vec{V}_λ sind, der bei der Einzelmessung mit der Nummer λ zur Berechnung der Erregung verwendet wurde. Das $\mu+1$ -te Diagonalelement von \underline{V}_λ ist also der Wert $V_\lambda(\mu)$ des Spektrums der Erregung bei der λ -ten Einzelmessung und bei der diskreten Frequenz $\mu \cdot 2\pi/M$.

Als Ausgleichslösung für das überbestimmte Gleichungssystem (3.4) erhält man

$$\hat{\underline{H}}^T = \tilde{\underline{Y}}_f \cdot \underline{M}^H \cdot (\underline{M} \cdot \underline{M}^H)^{-1}. \quad (3.9)$$

Voraussetzung für die Existenz einer eindeutigen Ausgleichslösung ist die Regularität der Matrix $\underline{M} \cdot \underline{M}^H$. Selbst wenn die Matrix \underline{F} regulär ist und die empirischen zweiten Momente

$$\hat{C}_{\underline{V}(\mu), \underline{V}(\mu)} = \frac{1}{L} \cdot \sum_{\lambda=1}^L |V_\lambda(\mu)|^2 \quad (3.10)$$

für alle Werte μ von Null verschieden sind, kann man die Regularität der Matrix $\underline{M} \cdot \underline{M}^H$ nicht zeigen. Außerdem ist zur Berechnung des Messwertvektors $\hat{\underline{H}}$ die Inversion einer $M \times M$ Matrix erforderlich, über deren Konditionierung i. Allg. keine Aussage gemacht werden kann. Es ist jedoch aufgrund der Struktur der Matrix \underline{M} anzunehmen, dass die zu invertierende Matrix mit hoher Wahrscheinlichkeit gut konditioniert ist, wenn die Matrix \underline{F} gut konditioniert ist, wenn das empirische zweite Moment der Spektralwerte des erregenden Signals bei allen Frequenzen etwa gleich ist und wenn die Spektralwerte der Erregung unkorreliert sind. Dennoch stellt die Invertierung der $M \times M$ Matrix einen erheblichen Rechenaufwand dar. Außerdem ist zur Berechnung der zu invertierenden Matrix bei jeder Einzelmessung das Matrixprodukt $\underline{V}_\lambda \cdot \underline{F} \cdot \underline{F}^H \cdot \underline{V}_\lambda^H$ zu berechnen und über alle L Einzelmessungen zu akkumulieren. Neben dem Rechenaufwand der Matrixmultiplikation ist daher ein großer Speicher für die Akkumulation notwendig.

3.2 Messung der Übertragungsfunktion bei geeigneter Fensterung

Der bei Anwendung einer nicht näher spezifizierten Fensterfolge immense Rechenaufwand lässt sich jedoch drastisch reduzieren, wenn man eine Fensterfolge verwendet, die der Bedingung (2.27) genügt. Dann wird die Matrix \underline{F} gerade M mal die Einheitsmatrix,

so dass sich das Gleichungssystem, für das die Ausgleichslösung gefunden werden soll, in M Gleichungssysteme zu je L Gleichungen aufspalten lässt, wobei in jedem der M Gleichungssysteme jeweils nur die eine Unbekannte $\hat{H}(\mu)$ bei *einer* Frequenz vorkommt. Man erhält so in Vektorschreibweise M Gleichungssysteme:

$$\hat{H}(\mu) \cdot \vec{V}(\mu) = \vec{Y}_f(\mu) \quad \forall \mu = 0 (1) M-1. \quad (3.11)$$

Die M dabei auftretenden $1 \times L$ Zeilenvektoren $\vec{Y}_f(\mu)$ setzen sich jeweils aus den L Elementen $Y_{f,\lambda}(\mu)$ zusammen.

$$\vec{Y}_f(\mu) = [Y_{f,1}(\mu), \dots, Y_{f,\lambda}(\mu), \dots, Y_{f,L}(\mu)] \quad \forall \mu = 0 (1) M-1 \quad (3.12)$$

Jeder dieser Vektoren ist also eine Stichprobe vom Umfang L der Zufallsgröße $\mathbf{Y}_f(\mu)$. Der Zeilenvektor $\vec{V}(\mu)$ ist eine Stichprobe vom Umfang L der Zufallsgröße $\mathbf{V}(\mu)$.

$$\vec{V}(\mu) = [V_1(\mu), \dots, V_\lambda(\mu), \dots, V_L(\mu)] \quad \forall \mu = 0 (1) M-1 \quad (3.13)$$

Als Ausgleichslösung jedes der Gleichungssysteme (3.11) erhalten wir

$$\begin{aligned} \hat{H}(\mu) &= \vec{Y}_f(\mu) \cdot \vec{V}(\mu)^H \cdot (\vec{V}(\mu) \cdot \vec{V}(\mu)^H)^{-1} = \\ &= \hat{C}_{\mathbf{Y}_f(\mu), \mathbf{V}(\mu)} \cdot \hat{C}_{\mathbf{V}(\mu), \mathbf{V}(\mu)}^{-1} \quad \forall \mu = 0 (1) M-1. \end{aligned} \quad (3.14)$$

Dabei ist das Skalarprodukt

$$\begin{aligned} \hat{C}_{\mathbf{V}(\mu_1), \mathbf{V}(\mu_2)} &= \frac{1}{L} \cdot \vec{V}(\mu_1) \cdot \vec{V}(\mu_2)^H = \frac{1}{L} \cdot \sum_{\lambda=1}^L V_\lambda(\mu_1) \cdot V_\lambda(\mu_2)^* \\ &\quad \forall \mu_1 = 0 (1) M-1 \quad \text{und} \quad \mu_2 = 0 (1) M-1, \end{aligned} \quad (3.15)$$

das mit $\mu_1 = \mu_2 = \mu$ in Gleichung (3.14) auftritt, ein erwartungstreuer und konsistenter Schätzwert für die Kovarianz der beiden mittelwertfreien Zufallsgrößen $\mathbf{V}(\mu_1)$ und $\mathbf{V}(\mu_2)$. Dieser Schätzwert wird im Weiteren auch als die *empirische* Kovarianz dieser beiden Zufallsgrößen bezeichnet. Man beachte, dass bei der Berechnung der empirischen Kovarianz das Konjugieren des zweiten beteiligten Stichprobenvektors in dieser Definition bereits mit eingeschlossen ist. Dies erfolgt konform mit der Definition der Kovarianz zweier komplexer, mittelwertfreier Zufallsgrößen, bei der ebenfalls die zweite der daran beteiligten Zufallsgrößen konjugiert wird ($C_{\mathbf{X}, \mathbf{Y}} = E\{\mathbf{X} \cdot \mathbf{Y}^*\}$). Die empirische Kovarianz lässt sich durch Akkumulation aus den bei den Einzelmessungen λ verwendeten Spektralwerten der Erregung berechnen, ohne dass dazu die Spektralwerte aller Einzelmessungen bis zum Ende der gesamten Messung abgespeichert werden müssen. Für die Messwerte der Übertragungsfunktion wird hier mit $\mu_1 = \mu_2 = \mu$ die empirische Varianz $\hat{C}_{\mathbf{V}(\mu), \mathbf{V}(\mu)}$ des

Spektrums der Erregung benötigt. Ist sie von Null verschieden, so sind die Lösungen für die Werte der Übertragungsfunktion eindeutig. Dass man ein solch einfaches Kriterium für die Eindeutigkeit der Lösung erhält, ist ein weiterer wesentlicher Vorteil der Verwendung einer Fensterfolge, deren Spektrum der Bedingung (2.27) genügt.

Nach Gleichung (3.11) benötigt man zur Berechnung der Messwerte der Übertragungsfunktion auch noch die empirischen Kreuzkovarianzen

$$\hat{C}_{\mathbf{Y}_f(\mu_1), \mathbf{V}(\mu_2)} = \frac{1}{L} \cdot \vec{Y}_f(\mu_1) \cdot \vec{V}(\mu_2)^H = \frac{1}{L} \cdot \sum_{\lambda=1}^L Y_{f,\lambda}(\mu_1) \cdot V_{\lambda}(\mu_2)^* \\ \forall \quad \mu_1 = 0 (1) M-1 \quad \text{und} \quad \mu_2 = 0 (1) M-1 \quad (3.16)$$

der Spektralwerte der Signale am Ein- und Ausgang des Systems für $\mu_1 = \mu_2 = \mu$, die sich ebenfalls durch Akkumulation aus den bei den Einzelmessungen λ gemessenen Signalen berechnen lassen.

3.3 Erwartungstreue der Messwerte der Übertragungsfunktion

Bevor wir uns der Berechnung der Erwartungswerte der Messwerte der Übertragungsfunktion zuwenden, bedarf es einer Vorüberlegung.

Gleichung (2.29) beschreibt den Zusammenhang zwischen den M Zufallsgrößen $\mathbf{V}(\mu)$ am Eingang und den M Zufallsgrößen $\mathbf{Y}_f(\mu)$ am Ausgang des realen Systems und zeigt, wie sich die M Zufallsgrößen $\mathbf{N}_f(\mu)$ des Spektrums des gefensterten Approximationsfehlers daraus ergeben. M konkrete Stichprobenvektoren

$$\vec{N}_f(\mu) = [N_{f,1}(\mu), \dots, N_{f,\lambda}(\mu), \dots, N_{f,L}(\mu)] \quad \forall \quad \mu = 0 (1) M-1 \quad (3.17)$$

vom Umfang L dieser M Zufallsgrößen erhalten wir, wenn in Gleichung (2.29) statt der Zufallsgrößen $\mathbf{V}(\mu)$ und $\mathbf{Y}_f(\mu)$ deren konkrete Realisierungen $\vec{V}(\mu)$ und $\vec{Y}_f(\mu)$ einsetzen.

$$\vec{N}_f(\mu) = \vec{Y}_f(\mu) - H(\mu \cdot \frac{2\pi}{M}) \cdot \vec{V}(\mu) \quad \forall \quad \mu = 0 (1) M-1 \quad (3.18)$$

Man beachte, dass hierbei die unbekannte Optimallösung $H(\mu \cdot 2\pi/M)$ der theoretischen Regression auftritt, die durch die Messung abgeschätzt werden soll. Die letzte Gleichung lässt sich nach $\vec{Y}_f(\mu)$ auflösen und in die Ausgleichslösung (3.14) einsetzen und wir erhalten die Messwerte der Übertragungsfunktion als Funktion der Stichprobe des Spektrums

der Erregung, der Stichprobe des Approximationsfehlerspektrums und der theoretisch optimalen Regressionskoeffizienten:

$$\begin{aligned}\hat{H}(\mu) &= \left(H\left(\mu \cdot \frac{2\pi}{M}\right) \cdot \vec{V}(\mu) + \vec{N}_f(\mu) \right) \cdot \vec{V}(\mu)^H \cdot \left(\vec{V}(\mu) \cdot \vec{V}(\mu)^H \right)^{-1} = \\ &= H\left(\mu \cdot \frac{2\pi}{M}\right) + \frac{1}{L} \cdot \vec{N}_f(\mu) \cdot \vec{V}(\mu)^H \cdot \hat{C}_{\mathbf{V}(\mu), \mathbf{V}(\mu)}^{-1} \quad \forall \mu = 0 \text{ (1) } M-1.\end{aligned}\quad (3.19)$$

Nun wollen wir die Erwartungswerte der Messwerte der Übertragungsfunktion bestimmen. Dazu betrachten wir diese Messwerte jeweils als eine konkrete Realisierung — also eine Stichprobe vom Umfang eins — der Zufallsgrößen $\hat{\mathbf{H}}(\mu)$. Diese Zufallsgrößen erhält man, wenn man statt der konkreten Stichprobenvektoren $\vec{V}(\mu)$ und $\vec{N}_f(\mu)$ die mathematischen Stichprobenvektoren³ \vec{V} und \vec{N}_f , die aufgrund der zufälligen Stichprobenentnahme selbst Zufallsvektoren sind, in die letzte Gleichung einsetzt. Wir bilden also den Erwartungswert über alle möglichen Messungen, die sich jeweils aus L Einzelmessungen zusammensetzen.

Behandeln wir zunächst den Sonderfall der Erregung mit einem Mehrtonsignal, dessen Verwendung in [1] vorgeschlagen wurde, und das in Kapitel 3.12 etwas näher untersucht wird. Bei der Generierung des Eingangssignals verwenden wir dabei einen Zufallsvektor \vec{V} , bei dem lediglich die Phasen der M komplexen Elemente $\mathbf{V}(\mu)$ zufällig sind, während die Beträge nicht zufällige Konstanten sind, die jedoch für unterschiedliche Werte von μ unterschiedlich sein dürfen. In diesem Fall sind bei jeder möglichen konkreten Realisierung \vec{V}_λ des Zufallsvektors \vec{V} die Beträge der Elemente gleich den Beträgen der Elemente des Zufallsvektors \vec{V} und somit nicht zufällig. Auch die M empirischen Varianzen $\hat{C}_{\mathbf{V}(\mu), \mathbf{V}(\mu)}$ sind dann nicht zufällig. Wenn wir weiterhin die konstanten Beträge für alle μ von Null verschieden wählen, sind die M empirischen Varianzen alle ungleich Null und deren Inverse existieren dann immer. Sie können bei der Berechnung der M Erwartungswerte der Übertragungsfunktion vor die Erwartungswertbildung gezogen werden:

$$\begin{aligned}\mathbb{E}\{\hat{\mathbf{H}}(\mu)\} &= H\left(\mu \cdot \frac{2\pi}{M}\right) + \frac{1}{L} \cdot \mathbb{E}\left\{\vec{N}_f(\mu) \cdot \vec{V}(\mu)^H\right\} \cdot \hat{C}_{\mathbf{V}(\mu), \mathbf{V}(\mu)}^{-1} = \\ &= H\left(\mu \cdot \frac{2\pi}{M}\right) + \frac{1}{L} \cdot \sum_{\lambda=1}^L \mathbb{E}\left\{\mathbf{N}_{f,\lambda}(\mu) \cdot \mathbf{V}_\lambda(\mu)^*\right\} \cdot \hat{C}_{\mathbf{V}(\mu), \mathbf{V}(\mu)}^{-1} = \\ &= H\left(\mu \cdot \frac{2\pi}{M}\right) + \mathbb{E}\left\{\mathbf{N}_f(\mu) \cdot \mathbf{V}(\mu)^*\right\} \cdot \hat{C}_{\mathbf{V}(\mu), \mathbf{V}(\mu)}^{-1} = H\left(\mu \cdot \frac{2\pi}{M}\right).\end{aligned}\quad (3.20)$$

³Auf Seite 10 hatten wir gesagt, dass wir von einer mathematischen Stichprobe sprechen, wenn die Stichprobe in der Art erhoben wird, dass alle Elemente der Stichprobe voneinander unabhängig sind, und dieselbe Verteilung besitzen, wie die Zufallsgröße aus der die Stichprobe entnommen wurde. Im weiteren wird davon ausgegangen, dass die Messung beim RKM so durchgeführt wurde, dass die Vektoren $\vec{V}(\mu)$ und $\vec{Y}_f(\mu)$ konkrete Realisierungen mathematischer Stichprobenvektoren $\vec{V}(\mu)$ und $\vec{Y}_f(\mu)$ sind.

Zuletzt wurde bei der Berechnung berücksichtigt, dass bei einer zulässigen Stichprobenentnahme mit unabhängigen Einzelmessungen alle Zufallsgrößentupel $[\mathbf{V}_\lambda(\mu), \mathbf{N}_{f,\lambda}(\mu)]^T$ dieselbe Verbundverteilung besitzen, wie das Zufallsgrößentupel $[\mathbf{V}(\mu), \mathbf{N}_f(\mu)]^T$ aus dem die Stichprobe entnommen wurde. Somit ist auch der Erwartungswert des Produkts der Zufallsgrößen — die Kovarianz — von λ unabhängig. Die Kovarianz ist nach Gleichung (2.30) Null. Für den Fall der Erregung mit Mehrtonsignalen genügt also die Tatsache, dass die beiden Zufallsgrößen $\mathbf{V}(\mu)$ und $\mathbf{N}_f(\mu)$ unkorreliert sind, um zeigen zu können, dass die Messwerte der Übertragungsfunktion erwartungstreu sind.

Bei Erregung des Systems mit allgemeineren Zufallsprozessen werden mit den Elementen des Vektors $\vec{\mathbf{V}}(\mu)$ auch deren empirische Varianzen $\hat{\mathbf{C}}_{\mathbf{V}(\mu), \mathbf{V}(\mu)}$ zufällig. Ohne eine genaue Kenntnis der Verbundverteilungen der M Zufallsgrößentupel $[\mathbf{V}(\mu), \mathbf{N}_f(\mu)]^T$ lassen sich die Erwartungswerte der Messwerte der Übertragungsfunktion nur dann berechnen, wenn man annimmt, dass die Spektralwerte $\mathbf{N}_f(\mu)$ der gefensterten Störung des realen Systems unabhängig von den Spektralwerten $\mathbf{V}(\mu)$ der Erregung bei derselben Frequenz sind. Die zweidimensionale Verbundverteilung des Zufallsgrößentupels $[\mathbf{V}(\mu), \mathbf{N}_f(\mu)]^T$ lässt sich dann für alle Frequenzen μ als das Produkt der Verteilungen der Zufallsgrößen $\mathbf{V}(\mu)$ und $\mathbf{N}_f(\mu)$ schreiben. Diese Forderung nach Unabhängigkeit der Spektralwerte scheint auf den ersten Blick die Art der Systeme, für die die Ergebnisse der weiteren Untersuchungen gelten, extrem stark einzuschränken. Dass dem nicht so ist, ja dass sogar Systeme die eben aufgestellte Forderung nach Unabhängigkeit erfüllen können, bei denen die Störung nur durch Nichtlinearitäten im System selbst entsteht, die daher zu jeder bestimmten Erregung genau eine determinierte Systemantwort besitzen, wird im Kapitel A.3 des Anhangs erläutert. Eine wichtige notwendige Voraussetzung für die Unabhängigkeit der Spektralwerte $\mathbf{N}_f(\mu)$ und $\mathbf{V}(\mu)$ ist die Unkorreliertheit dieser Spektralwerte. Sie ist nach Gleichung (2.30) durch die optimale Approximation des realen Systems gegeben, reicht aber nicht aus, um die im weiteren angenommene Unabhängigkeit der Spektralwerte zu garantieren.

Das RKM liefert eine Stichprobe des Zufallszahlentupels $[\mathbf{V}(\mu), \mathbf{N}_f(\mu)]^T$ vom Umfang L . Nun fasst man die L Elemente dieser Stichprobe zu einer $2 \times L$ Matrix zusammen, deren Spalten jeweils eine konkrete Realisierung des Zufallsgrößentupels — also ein einzelnes Element der Stichprobe — enthalten und deren Zeilen die zwei Stichprobenvektoren $\vec{\mathbf{V}}(\mu)$ und $\vec{\mathbf{N}}_f(\mu)$ der Zufallsgrößen $\mathbf{V}(\mu)$ und $\mathbf{N}_f(\mu)$ sind. Da wir gefordert hatten, dass die Stichprobenentnahme zufällig und für alle Einzelmessungen — die Elemente der Stichprobe — unabhängig erfolgt sein soll, lässt sich die gemeinsame Verbundverteilung aller Elemente $[\mathbf{V}_\lambda(\mu), \mathbf{N}_{f,\lambda}(\mu)]^T$ der mathematischen Stichprobe, also die gemeinsame Verbundverteilung aller Spalten der zufälligen Matrix, die sich unter Berücksichtigung der Zufälligkeit der Stichprobenentnahme ergibt, als das Produkt der Verbundverteilungen der einzelnen Elemente der Stichprobe schreiben. Diese Verbundverteilungen der einzelnen Elemente der

Stichprobe sind alle gleich der Verbundverteilung des Zufallsgrößentupels $[\mathbf{V}(\mu), \mathbf{N}_f(\mu)]^T$, von der wir annehmen, dass sie sich als das Produkt zweier Verteilungen schreiben lässt. Daher lässt sich die Verbundverteilung aller Elemente der zufälligen $2 \times L$ Matrix als das Produkt der Verteilungen der einzelnen Elemente der zufälligen Matrix schreiben. Somit sind zwei beliebige Vektoren, die aus den Elementen der zufälligen Matrix gebildet werden, voneinander unabhängig, wenn sie keine gemeinsamen Matrixelemente enthalten. Wenn wir nun den Erwartungswert des Produkts einer beliebigen Funktion des Zufallsvektors $\vec{\mathbf{V}}(\mu)$ und einer anderen beliebigen Funktion des Zufallsvektors $\vec{\mathbf{N}}_f(\mu)$ bilden, berechnet sich dieser als das Produkt der beiden Erwartungswerte der einzelnen zufälligen Faktoren. Dies gilt auch für nichtlineare Funktionen, wie z. B. für die Inverse der empirischen Varianz.

Mit Gleichung (3.19) lässt sich nun der Erwartungswert der Messwerte für die Übertragungsfunktion berechnen, wobei statt der konkreten Stichprobenvektoren die mathematischen Stichprobenvektoren und die daraus abgeleiteten zufälligen empirischen Varianzen eingesetzt werden.

$$\begin{aligned}
 \mathbb{E}\{\hat{\mathbf{H}}(\mu)\} &= H\left(\mu \cdot \frac{2\pi}{M}\right) + \frac{1}{L} \cdot \mathbb{E}\left\{\vec{\mathbf{N}}_f(\mu) \cdot \vec{\mathbf{V}}(\mu)^H \cdot \hat{\mathbf{C}}_{\mathbf{V}(\mu), \mathbf{V}(\mu)}^{-1}\right\} = \\
 &= H\left(\mu \cdot \frac{2\pi}{M}\right) + \frac{1}{L} \cdot \sum_{\lambda=1}^L \mathbb{E}\left\{\mathbf{N}_{f,\lambda}(\mu) \cdot \mathbf{V}_{\lambda}(\mu)^* \cdot \hat{\mathbf{C}}_{\mathbf{V}(\mu), \mathbf{V}(\mu)}^{-1}\right\} = \\
 &= H\left(\mu \cdot \frac{2\pi}{M}\right) + \underbrace{\mathbb{E}\{\mathbf{N}_f(\mu)\}}_{=0} \cdot \frac{1}{L} \cdot \sum_{\lambda=1}^L \mathbb{E}\left\{\mathbf{V}_{\lambda}(\mu)^* \cdot \hat{\mathbf{C}}_{\mathbf{V}(\mu), \mathbf{V}(\mu)}^{-1}\right\} \quad (3.21)
 \end{aligned}$$

Da wir uns hier auf den Fall mittelwertfreier Ein- und Ausgangsprozesse $\mathbf{v}(k)$ und $\mathbf{y}(k)$ beschränken, sind auch die zufälligen Spektralwerte $\mathbf{N}_f(\mu)$ des gefensterten Approximationsfehlers mittelwertfrei, so dass der erste Erwartungswert auf der rechten Seite der letzten Gleichung Null ist. Der Erwartungswert der gesamten Messwertabweichung ist jedoch nur dann Null, wenn alle Erwartungswerte innerhalb der Summe existieren und endlich sind.

Wenn wir zur Erregung wertdiskrete Zufallsgrößen $\mathbf{V}(\mu)$ verwenden, bei denen $V(\mu) = 0$ *kein* mögliches Ereignis ist, so ist die empirische Varianz $\hat{\mathbf{C}}_{\mathbf{V}(\mu), \mathbf{V}(\mu)}$ *immer* von Null verschieden und somit deren Inverse endlich. Auch alle Erwartungswerte innerhalb der Summe in der letzten Gleichung existieren dann und sind endlich. Die Messwerte der Übertragungsfunktion sind in diesem Fall erwartungstreu.

Wenn jedoch wertdiskrete Zufallsgrößen $\mathbf{V}(\mu)$ verwendet werden, bei denen $V(\mu) = 0$ *ein* mögliches Ereignis ist, das mit einer, wenn auch beliebig kleinen, positiven Wahrscheinlichkeit auftritt, kann es vorkommen, dass die empirische Varianz $\hat{\mathbf{C}}_{\mathbf{V}(\mu), \mathbf{V}(\mu)}$ Null ist.

Da dann deren Inverse nicht existiert, existieren auch alle Erwartungswerte innerhalb der Summe in der letzten Gleichung nicht. Es ist somit in diesem Fall keine Aussage über die Erwartungstreue der Messwerte der Übertragungsfunktion möglich.

Man kann jedoch die Berechnung der Messwerte nach Gleichung (3.14) geringfügig modifizieren um auch in diesem Fall praktisch erwartungstreue Messwerte zu erhalten. Im Fall $\hat{C}_{\mathbf{V}(\mu), \mathbf{V}(\mu)} = 0$ wird statt der inversen empirischen Varianz eine beliebige Konstante eingesetzt. An der Unabhängigkeit der Einzelmessungen und der Separierbarkeit der Verbundverteilung des Zufallsgrößentupels $[\mathbf{V}(\mu), \mathbf{N}_f(\mu)]^T$ ändert diese Modifikation nichts. Es wird lediglich eine andere nichtlineare Funktion der Zufallsgrößen $\mathbf{V}_\lambda(\mu)$ als die Inverse der empirischen Varianz zur Berechnung der Messwerte verwendet. Da der Fall $\hat{C}_{\mathbf{V}(\mu), \mathbf{V}(\mu)} = 0$ nur dann eintritt, wenn alle Werte $V_\lambda(\mu)$ bei allen Einzelmessungen ($\lambda = 1 \dots L$) Null sind, wird in Gleichung (3.14) auch die Kovarianz $\hat{C}_{\mathbf{Y}_f(\mu), \mathbf{V}(\mu)}$ Null. Somit berechnet sich in diesem Fall der Messwert zu $\hat{H}(\mu) = 0$. Die Messwertabweichung, die mit der Auftrettwahrscheinlichkeit dieses Falles im Erwartungswert zu berücksichtigen ist, ist dann $-H(\mu \cdot 2\pi/M)$ und somit nicht Null. Daher sind die Messwerte genau genommen nicht erwartungstreu. Da jedoch die Auftrettwahrscheinlichkeit dieses Falles in der Praxis extrem klein ist, ist der Einfluss dieses Falls auf die Erwartungswerte der Messwerte der Übertragungsfunktion vernachlässigbar. In [6] wird die Auftrettwahrscheinlichkeit des Falles, dass die empirische Varianz Null wird, an einem realitätsnahen Beispiel abgeschätzt. Dort wird die empirische Varianz eines im Allgemeinen nicht mittelwertfreien Prozesses untersucht. In der Praxis wird man im Fall einer zu kleinen empirischen Varianz die Messung wiederholen, bzw. die Anzahl der Einzelmessungen solange erhöhen, bis sich für alle M Frequenzen μ eine hinreichend große empirische Varianz ergibt. Dieses Verfahren bedarf dann streng genommen einer gesonderten theoretischen Behandlung, die in dieser Abhandlung nicht durchgeführt wird.

3.4 Prinzip der Messung des Leistungsdichtespektrums

Zur Beschreibung des Rauschprozesses $\mathbf{n}(k)$ im Systemmodell wollten wir die M Werte $\bar{\Phi}_{\mathbf{n}}(\mu)$ durch die M Erwartungswerte $\tilde{\Phi}_{\mathbf{n}}(\mu)$ der M Zufallsgrößen $|\mathbf{N}_f(\mu)|^2/M$, die nach Gleichung (2.17) definiert sind, annähern, die wiederum durch die M Schätzwerte $\hat{\Phi}_{\mathbf{n}}(\mu)$ abgeschätzt werden sollen. Da die theoretischen Größen $\tilde{\Phi}_{\mathbf{n}}(\mu)$ die Erwartungswerte der Zufallsgrößen $|\mathbf{N}_f(\mu)|^2/M$ sind, und da der empirische Mittelwert einer Zufallsgröße erwartungstreu ist, müsste man die M Mittelwerte für $\mu = 0 \dots M-1$ über jeweils eine Stichprobe der Länge L der Zufallsgrößen $|\mathbf{N}_f(\mu)|^2/M$ bilden, um erwartungstreue

Schätzwerte für $\tilde{\Phi}_n(\mu)$ zu erhalten. Es wären also die M Terme

$$\frac{1}{L} \cdot \sum_{\lambda=1}^L \frac{1}{M} \cdot |N_{f,\lambda}(\mu)|^2 = \frac{1}{L \cdot M} \cdot \vec{N}_f(\mu) \cdot \vec{N}_f(\mu)^H \quad \forall \mu = 0 (1) M-1 \quad (3.22)$$

zu berechnen, wobei die Werte $N_{f,\lambda}(\mu)$ jeweils die L Elemente einer Stichprobe $\vec{N}_f(\mu)$ vom Umfang L der Zufallsgrößen $\mathbf{N}_f(\mu)$ sind. Die Zufallsgrößen $\mathbf{N}_f(\mu)$ sind nach Gleichung (2.29) als die Differenz der diskreten Fouriertransformierten $\mathbf{Y}_f(\mu)$ des gefensterten ausgangsseitigen Zufallsprozesses und der diskreten Fouriertransformierten des Ausgangsprozesses $H(\mu \cdot \frac{2\pi}{M}) \cdot \mathbf{V}(\mu)$ des linearen Modellsystems mit der theoretischen Übertragungsfunktion definiert. Demnach berechnen sich die Stichproben $\vec{N}_f(\mu)$ nach Gleichung (3.18) analog über die Optimallösungen der theoretischen Regression. Somit kann man ohne die Kenntnis der theoretisch optimalen Regressionskoeffizienten keine Stichproben für die Zufallsgrößen $\mathbf{N}_f(\mu)$ erhalten. Demnach lassen sich auch die empirischen Mittelwerte (3.22) der Zufallsgrößen $|\mathbf{N}_f(\mu)|^2/M$ — also die auf $L \cdot M$ normierten Betragsquadrate $\vec{N}_f(\mu) \cdot \vec{N}_f(\mu)^H$ der Längen (euklidischen Normen) der Stichprobenvektoren $\vec{N}_f(\mu)$ — nicht berechnen. Da man lediglich die Schätzwerte $\hat{H}(\mu)$ für die optimalen Regressionskoeffizienten $H(\mu \cdot 2\pi/M)$ kennt, benötigt man M andere Zufallsgrößen, deren Erwartungswerte gleich den Erwartungswerten der Zufallsgrößen $|\mathbf{N}_f(\mu)|^2/M$ sind.

Analog könnten wir Schätzwerte für die Werte $\tilde{\Psi}_n(\mu)$ zur Beschreibung des MLDS erhalten, wenn wir die optimalen Regressionskoeffizienten $H(\mu \cdot 2\pi/M)$ kennen würden. Man müsste die empirischen Mittelwerte jeweils über eine Stichprobe der Länge L der Zufallsgrößen $\mathbf{N}_f(\mu) \cdot \mathbf{N}_f(-\mu)/M$ bilden:

$$\frac{1}{L} \cdot \sum_{\lambda=1}^L \frac{1}{M} \cdot N_{f,\lambda}(\mu) \cdot N_{f,\lambda}(-\mu) = \frac{1}{L \cdot M} \cdot \vec{N}_f(\mu) \cdot \vec{N}_f(-\mu)^T \quad \forall \mu = 0 (1) M-1. \quad (3.23)$$

Da die theoretischen Werte $H(\mu \cdot 2\pi/M)$ jedoch unbekannt sind, benötigen wir auch hier M andere Zufallsgrößen, deren Erwartungswerte dann gleich den Erwartungswerten der Zufallsgrößen $\mathbf{N}_f(\mu) \cdot \mathbf{N}_f(-\mu)/M$ sind.

Um den Anteil des Vektors $\vec{N}_f(\mu)$ zu eliminieren, der nach Gleichung (3.18) von den unbekannten, theoretischen Optimallösungen für die Übertragungsfunktion abhängt, bilden wir diesen Vektor mit einer Matrix $\underline{V}_\perp(\mu)$ ab, die den Vektor $\vec{V}(\mu)$ als Eigenvektor zum Eigenwert Null aufweist. Da bei einer solchen Matrix

$$\vec{V}(\mu) \cdot \underline{V}_\perp(\mu) = \vec{0} \quad (3.24)$$

gilt, lässt sich der abgebildete Vektor $\hat{\vec{N}}_f(\mu)$ mit Gleichung (3.18) gemäß

$$\hat{\vec{N}}_f(\mu) = \vec{N}_f(\mu) \cdot \underline{V}_\perp(\mu) = \left(\vec{Y}_f(\mu) - H(\mu \cdot \frac{2\pi}{M}) \cdot \vec{V}(\mu) \right) \cdot \underline{V}_\perp(\mu) = \vec{Y}_f(\mu) \cdot \underline{V}_\perp(\mu) \quad \forall \mu = 0 (1) M-1. \quad (3.25)$$

berechnen. Die M dazu benötigten Matrizen $\underline{V}_\perp(\mu)$ lassen sich prinzipiell mit Hilfe der M bekannten Vektoren $\vec{V}(\mu)$ ohne die Kenntnis der theoretischen Werte $H(\mu \cdot 2\pi/M)$ konstruieren. Eine besonders günstige Art der Konstruktion dieser Matrizen wird weiter unten angegeben. Da sich auch die M Vektoren $\vec{Y}_f(\mu)$ mit einer Fensterung und einer anschließenden DFT aus den am Ausgang des realen Systems gemessenen Signalen berechnen lassen, können auch die M Vektoren $\hat{\vec{N}}_f(\mu)$ ohne die Kenntnis der theoretisch optimalen Übertragungsfunktion berechnet werden.

Nun wollen wir untersuchen, ob die Skalarprodukte $\hat{\vec{N}}_f(\mu) \cdot \hat{\vec{N}}_f(\mu)^H$ und $\hat{\vec{N}}_f(\mu) \cdot \hat{\vec{N}}_f(-\mu)^T$ der mit der Matrix $\underline{V}_\perp(\mu)$ bzw. $\underline{V}_\perp(-\mu)$ abgebildeten Vektoren ebenfalls als konkrete Schätzwerte für die Größen $\tilde{\Phi}_n(\mu)$ und $\tilde{\Psi}_n(\mu)$ dienen können, wenn man sie mit noch näher zu bestimmenden Normierungsfaktoren $c_\Phi(\mu)$ bzw. $c_\Psi(\mu)$ multipliziert. Mit Hilfe der letzten Gleichung lassen sich die normierten Skalarprodukte als

$$c_\Phi(\mu) \cdot \hat{\vec{N}}_f(\mu) \cdot \hat{\vec{N}}_f(\mu)^H = \vec{N}_f(\mu) \cdot \underline{V}_\Phi(\mu) \cdot \vec{N}_f(\mu)^H = \vec{Y}_f(\mu) \cdot \underline{V}_\Phi(\mu) \cdot \vec{Y}_f(\mu)^H \quad (3.26)$$

$$\text{mit } \underline{V}_\Phi(\mu) = c_\Phi(\mu) \cdot \underline{V}_\perp(\mu) \cdot \underline{V}_\perp(\mu)^H \quad \text{und} \quad (3.27)$$

$$c_\Psi(\mu) \cdot \hat{\vec{N}}_f(\mu) \cdot \hat{\vec{N}}_f(-\mu)^T = \vec{N}_f(\mu) \cdot \underline{V}_\Psi(\mu) \cdot \vec{N}_f(-\mu)^T = \vec{Y}_f(\mu) \cdot \underline{V}_\Psi(\mu) \cdot \vec{Y}_f(-\mu)^T \quad (3.28)$$

$$\text{mit } \underline{V}_\Psi(\mu) = c_\Psi(\mu) \cdot \underline{V}_\perp(\mu) \cdot \underline{V}_\perp(-\mu)^T \quad (3.29)$$

darstellen. Nun berücksichtigen wir, dass es sich bei der Messung selbst um ein Zufallsexperiment handelt, und berechnen die Erwartungswerte dieser Skalarprodukte. Die Vektoren $\hat{\vec{N}}_f(\mu)$ sind also die bei der Messung gewonnenen konkreten Realisierungen der Zufallsvektoren $\hat{\vec{N}}_f(\mu)$. Ebenso sind die Vektoren $\vec{N}_f(\mu)$ und $\vec{V}(\mu)$ konkrete Realisierungen der Zufallsvektoren $\vec{N}_f(\mu)$ und $\vec{V}(\mu)$ der mathematischen Stichprobe vom Umfang L der Zufallsgrößen $\mathbf{N}_f(\mu)$ und $\mathbf{V}(\mu)$. Wenn auch die Normierungsfaktoren $c_\Phi(\mu)$ bzw. $c_\Psi(\mu)$ konkrete Realisierungen zufälliger Faktoren $\mathbf{c}_\Phi(\mu)$ und $\mathbf{c}_\Psi(\mu)$ sind, sind auch die Matrizen $\underline{V}_\perp(\mu)$, $\underline{V}_\Phi(\mu)$ und $\underline{V}_\Psi(\mu)$ konkrete Realisierungen zufälliger Matrizen $\mathbf{V}_\perp(\mu)$, $\mathbf{V}_\Phi(\mu)$ und $\mathbf{V}_\Psi(\mu)$. Um im weiteren die Erwartungswerte der in den letzten beiden Gleichungen genannten normierten Skalarprodukte berechnen zu können, müssen wir fordern, dass sowohl die Normierungsfaktoren $\mathbf{c}_\Phi(\mu)$ und $\mathbf{c}_\Psi(\mu)$ als auch die Matrizen $\underline{V}_\perp(\mu)$ und $\underline{V}_\perp(-\mu)$ in der Art konstruiert wurden, dass die Normierungsfaktoren und alle Elemente der Zufallsmatrizen von den Zufallsgrößen $\mathbf{N}_f(\mu)$ und $\mathbf{N}_f(-\mu)$ unabhängig sind. Somit sind auch alle Elemente der Zufallsmatrizen $\underline{V}_\Phi(\mu)$ und $\underline{V}_\Psi(\mu)$ von den Zufallsgrößen $\mathbf{N}_f(\mu)$ bzw. $\mathbf{N}_f(-\mu)$ unabhängig.

Wir beginnen nun mit der Berechnung des Erwartungswertes des ersten normierten Skalarproduktes $\mathbf{c}_\Phi(\mu) \cdot \hat{\vec{N}}_f(\mu) \cdot \hat{\vec{N}}_f(\mu)^H$, wobei wir hier die Abhängigkeit des Faktors, der Vektoren und der Matrix von der diskreten Frequenz μ nicht mehr explizit hinschreiben und das Element der Matrix $\underline{V}_\Phi(\mu)$ in der λ_1 -ten Zeile und der λ_2 -ten Spalte mit $\underline{V}_{\lambda_1, \lambda_2}$

bezeichnen.

$$E\left\{ \mathbf{c}_\Phi \cdot \hat{\vec{\mathbf{N}}}_f \cdot \hat{\vec{\mathbf{N}}}_f^H \right\} = E\left\{ \vec{\mathbf{N}}_f \cdot \underline{\mathbf{V}}_\Phi \cdot \vec{\mathbf{N}}_f^H \right\} = E\left\{ \sum_{\lambda_1=1}^L \sum_{\lambda_2=1}^L \mathbf{N}_{f,\lambda_1} \cdot \underline{\mathbf{V}}_{\lambda_1,\lambda_2} \cdot \mathbf{N}_{f,\lambda_2}^* \right\} = \dots \quad (3.30a)$$

Der Erwartungswert wird als Summe der Erwartungswerte berechnet.

$$\dots = \sum_{\lambda_1=1}^L \sum_{\lambda_2=1}^L E\left\{ \mathbf{N}_{f,\lambda_1} \cdot \underline{\mathbf{V}}_{\lambda_1,\lambda_2} \cdot \mathbf{N}_{f,\lambda_2}^* \right\} = \dots \quad (3.30b)$$

Die Doppelsumme wird in zwei Teilsummen aufgespalten. Die erste Teilsumme enthält die Hauptdiagonalelemente, während in der zweiten Teilsumme die Nebendiagonalelemente auftreten.

$$\dots = \sum_{\lambda=1}^L E\left\{ |\mathbf{N}_{f,\lambda}|^2 \cdot \underline{\mathbf{V}}_{\lambda,\lambda} \right\} + \sum_{\lambda_1=1}^L \sum_{\substack{\lambda_2=1 \\ \lambda_2 \neq \lambda_1}}^L E\left\{ \mathbf{N}_{f,\lambda_1} \cdot \underline{\mathbf{V}}_{\lambda_1,\lambda_2} \cdot \mathbf{N}_{f,\lambda_2}^* \right\} = \dots \quad (3.30c)$$

Nun wird die vorausgesetzte Unabhängigkeit der Zufallselemente der Matrix $\hat{\underline{\mathbf{V}}}_\Phi(\mu)$ von den Zufallsgrößen $\mathbf{N}_f(\mu)$ dazu verwendet, den Erwartungswert des Produktes als das Produkt der Erwartungswerte der einzelnen Faktoren zu schreiben.

$$\dots = \sum_{\lambda=1}^L E\{|\mathbf{N}_{f,\lambda}|^2\} \cdot E\{\underline{\mathbf{V}}_{\lambda,\lambda}\} + \sum_{\lambda_1=1}^L \sum_{\substack{\lambda_2=1 \\ \lambda_2 \neq \lambda_1}}^L E\{\mathbf{N}_{f,\lambda_1} \cdot \mathbf{N}_{f,\lambda_2}^*\} \cdot E\{\underline{\mathbf{V}}_{\lambda_1,\lambda_2}\} = \dots \quad (3.30d)$$

Des Weiteren berücksichtigen wir nun die Unabhängigkeit der Stichprobenelemente, die in unterschiedlichen Einzelmessungen mit $\lambda_1 \neq \lambda_2$ gewonnen wurden. Außerdem ist bei einer mathematischen Stichprobe die Verteilung der Stichprobenelemente gleich der Verteilung der Zufallsgröße, aus der die Stichprobe gewonnen worden ist. Somit ist auch der Erwartungswert der Stichprobenelemente gleich dem Erwartungswert der Zufallsgröße.

$$\dots = \sum_{\lambda=1}^L E\{|\mathbf{N}_f|^2\} \cdot E\{\underline{\mathbf{V}}_{\lambda,\lambda}\} + \sum_{\lambda_1=1}^L \sum_{\substack{\lambda_2=1 \\ \lambda_2 \neq \lambda_1}}^L |E\{\mathbf{N}_f\}|^2 \cdot E\{\underline{\mathbf{V}}_{\lambda_1,\lambda_2}\} = \dots \quad (3.30e)$$

Die von λ bzw. von λ_1 und λ_2 unabhängigen Erwartungswerte des Spektrums des gefestigten Approximationsfehlerprozesses werden vor die Summen gezogen.

$$\dots = E\{|\mathbf{N}_f|^2\} \cdot \sum_{\lambda=1}^L E\{\underline{\mathbf{V}}_{\lambda,\lambda}\} + |E\{\mathbf{N}_f\}|^2 \cdot \sum_{\lambda_1=1}^L \sum_{\substack{\lambda_2=1 \\ \lambda_2 \neq \lambda_1}}^L E\{\underline{\mathbf{V}}_{\lambda_1,\lambda_2}\} = \dots \quad (3.30f)$$

Die Summe der Erwartungswerte der einzelnen Summanden wird jeweils als Erwartungswert der Summe geschrieben.

$$\dots = E\{|\mathbf{N}_f|^2\} \cdot E\left\{ \sum_{\lambda=1}^L \underline{\mathbf{V}}_{\lambda,\lambda} \right\} + \underbrace{|E\{\mathbf{N}_f\}|^2}_{=0} \cdot E\left\{ \sum_{\lambda_1=1}^L \sum_{\substack{\lambda_2=1 \\ \lambda_2 \neq \lambda_1}}^L \underline{\mathbf{V}}_{\lambda_1,\lambda_2} \right\} = \dots \quad (3.30g)$$

Wenn wir berücksichtigen, dass der Erwartungswert des Spektrums des wahren Approximationsfehlers Null ist, und wenn wir die Abhängigkeit der Vektoren und der Matrix von der diskreten Frequenz μ wieder explizit angeben, erhalten wir

$$\dots = E\{|\mathbf{N}_f(\mu)|^2\} \cdot E\{ \text{spur}(\underline{\mathbf{V}}_{\Phi(\mu)}) \} \quad (3.30h)$$

Analog erhalten wir für den Erwartungswert des in Gleichung (3.28) angegebenen zweiten normierten Skalarprodukts

$$E\{ \mathbf{c}_\Psi(\mu) \cdot \hat{\underline{\mathbf{N}}}_f(\mu) \cdot \hat{\underline{\mathbf{N}}}_f(-\mu)^T \} = E\{ \mathbf{N}_f(\mu) \cdot \mathbf{N}_f(-\mu) \} \cdot E\{ \text{spur}(\underline{\mathbf{V}}_{\Psi(\mu)}) \}. \quad (3.31)$$

Wenn wir nun für die zufälligen Normierungsfaktoren

$$\mathbf{c}_\Phi(\mu) = \frac{1}{M \cdot \text{spur}(\underline{\mathbf{V}}_\perp(\mu) \cdot \underline{\mathbf{V}}_\perp(\mu)^H)} \quad \text{und} \quad (3.32)$$

$$\mathbf{c}_\Psi(\mu) = \frac{1}{M \cdot \text{spur}(\underline{\mathbf{V}}_\perp(\mu) \cdot \underline{\mathbf{V}}_\perp(-\mu)^T)} \quad (3.33)$$

wählen, sind die Spuren der Matrizen $\underline{\mathbf{V}}_\Phi(\mu)$ und $\underline{\mathbf{V}}_\Psi(\mu)$ immer $1/M$, und die zufälligen Normierungsfaktoren sind wie gefordert von den Zufallsgrößen $\mathbf{N}_f(\mu)$ und $\mathbf{N}_f(-\mu)$ unabhängig, wenn dies für die Elemente der Matrizen $\underline{\mathbf{V}}_\perp(\mu)$ und $\underline{\mathbf{V}}_\perp(-\mu)$ ebenfalls gilt. Dann schätzen die in den Gleichungen (3.26) und (3.28) angegebenen normierten Skalarprodukte die Größen $\tilde{\Phi}_n(\mu)$ und $\tilde{\Psi}_n(\mu)$ erwartungstreu ab. Als Messwerte $\hat{\Phi}_n(\mu)$ und $\hat{\Psi}_n(\mu)$ verwenden wir daher konkrete Realisierungen dieser normierten zufälligen Skalarprodukte:

$$\begin{aligned} \hat{\Phi}_n(\mu) &= \frac{1}{M \cdot \text{spur}(\underline{\mathbf{V}}_\perp(\mu) \cdot \underline{\mathbf{V}}_\perp(\mu)^H)} \cdot \hat{\underline{\mathbf{N}}}_f(\mu) \cdot \hat{\underline{\mathbf{N}}}_f(\mu)^H = \\ &= \frac{1}{M \cdot \text{spur}(\underline{\mathbf{V}}_\perp(\mu) \cdot \underline{\mathbf{V}}_\perp(\mu)^H)} \cdot \vec{\mathbf{N}}_f(\mu) \cdot \underline{\mathbf{V}}_\perp(\mu) \cdot \underline{\mathbf{V}}_\perp(\mu)^H \cdot \vec{\mathbf{N}}_f(\mu)^H = \\ &= \frac{1}{M \cdot \text{spur}(\underline{\mathbf{V}}_\perp(\mu) \cdot \underline{\mathbf{V}}_\perp(\mu)^H)} \cdot \vec{\mathbf{Y}}_f(\mu) \cdot \underline{\mathbf{V}}_\perp(\mu) \cdot \underline{\mathbf{V}}_\perp(\mu)^H \cdot \vec{\mathbf{Y}}_f(\mu)^H \\ &\quad \forall \mu = 0 \ (1) \ M-1 \end{aligned} \quad (3.34)$$

$$\begin{aligned}
\hat{\Psi}_n(\mu) &= \frac{1}{M \cdot \text{spur}(\underline{V}_\perp(\mu) \cdot \underline{V}_\perp(-\mu)^T)} \cdot \hat{\vec{N}}_f(\mu) \cdot \hat{\vec{N}}_f(-\mu)^T = & (3.35) \\
&= \frac{1}{M \cdot \text{spur}(\underline{V}_\perp(\mu) \cdot \underline{V}_\perp(-\mu)^T)} \cdot \vec{N}_f(\mu) \cdot \underline{V}_\perp(\mu) \cdot \underline{V}_\perp(-\mu)^T \cdot \vec{N}_f(-\mu)^T = \\
&= \frac{1}{M \cdot \text{spur}(\underline{V}_\perp(\mu) \cdot \underline{V}_\perp(-\mu)^T)} \cdot \vec{Y}_f(\mu) \cdot \underline{V}_\perp(\mu) \cdot \underline{V}_\perp(-\mu)^T \cdot \vec{Y}_f(-\mu)^T \\
&\quad \forall \mu = 0 (1) M-1.
\end{aligned}$$

Die bei der Messung verwendete Erregung ist durch die M Vektoren $\vec{V}(\mu)$ bestimmt, mit deren Hilfe sich die M Matrizen $\underline{V}_\perp(\mu)$ konstruieren lassen. Aus den bei der Messung erhaltenen L Signalmusterfolgen $y_\lambda(k)$ lassen sich die M Stichprobenvektoren $\vec{Y}_f(\mu)$ über die Fensterung und die DFT berechnen. Daher lassen sich diese Messwerte prinzipiell ohne die Kenntnis der theoretisch optimalen Übertragungsfunktion berechnen. Wenn wir jedoch die Art der Konstruktion der Matrizen $\underline{V}_\perp(\mu)$ nicht geschickt wählen, wird im Allgemeinen ein erheblicher Speicher- und Rechenaufwand nötig sein, um diese Messwerte zu berechnen. Bisher hatten wir für deren Konstruktion lediglich festgelegt, dass der Vektor $\vec{V}(\mu)$ ein Eigenvektor der Matrix $\underline{V}_\perp(\mu)$ zum Eigenwert Null sein muss, und dass alle Matrixelemente von den Zufallsgrößen $\vec{N}_f(\mu)$ und $\vec{N}_f(-\mu)$ unabhängig sein müssen.

3.5 Konstruktion einer Matrix zur Messung des Leistungsdichtespektrums

Bevor nun eine geeignete Methode zur Konstruktion der Matrizen $\underline{V}_\perp(\mu)$ angegeben wird, soll zunächst eine im weiteren nützliche Eigenschaft, die diese Matrizen erfüllen sollen, hergeleitet werden.

Bei der Berechnung der Messwerte erfüllen die Skalarprodukte der konkreten Stichprobenvektoren $\hat{\vec{N}}_f(\pm\mu)$ immer die Cauchy-Schwarzsche Ungleichung, so dass für sie immer

$$\left| \hat{\vec{N}}_f(\mu) \cdot \hat{\vec{N}}_f(-\mu)^T \right|^2 \leq \left(\hat{\vec{N}}_f(\mu) \cdot \hat{\vec{N}}_f(\mu)^H \right) \cdot \left(\hat{\vec{N}}_f(-\mu) \cdot \hat{\vec{N}}_f(-\mu)^H \right) \quad (3.36)$$

gilt. Wenn man die Matrix $\underline{V}_\perp(\mu)$ so festlegt, dass für die Spuren der beiden Matrixprodukte bei der Berechnung beider Messwerte die Ungleichung

$$\left| \text{spur}(\underline{V}_\perp(\mu) \cdot \underline{V}_\perp(-\mu)^T) \right|^2 \geq \text{spur}(\underline{V}_\perp(\mu) \cdot \underline{V}_\perp(\mu)^H) \cdot \text{spur}(\underline{V}_\perp(-\mu) \cdot \underline{V}_\perp(-\mu)^H) \quad (3.37)$$

gilt, so kann man mit Gleichung (3.36) zeigen, dass die Bedingung

$$|\hat{\Psi}_n(\mu)|^2 \leq \hat{\Phi}_n(\mu) \cdot \hat{\Phi}_n(-\mu) \quad (3.38)$$

von den Messwerten immer erfüllt wird. Diese Bedingung wird später bei der Berechnung der Schätzwerte für die Konfidenzgebiete der Messwerte von Bedeutung sein. Die analoge Bedingung für die durch die Messung abzuschätzenden Größen $\tilde{\Phi}_n(\mu)$ und $\tilde{\Psi}_n(\mu)$ ist nach Ungleichung (2.36) immer erfüllt.

Wenn man bedenkt, dass die Spur einer Matrix die Summe ihrer Hauptdiagonalelemente ist, kann man unter anderem mit der Cauchy-Schwarzschen-Ungleichung zeigen, dass die Ungleichung (3.37) immer mit dem Ungleichheitsoperator „ \leq “ erfüllt ist. Daher kann die Matrix $\underline{V}_\perp(\mu)$ bestenfalls so gewählt werden, dass die Bedingung (3.37) mit dem Gleichheitszeichen erfüllt wird. Wie man durch Einsetzen leicht zeigen kann, erfüllt jedes Matrizenpaar $\underline{V}_\perp(\mu)$ und $\underline{V}_\perp(-\mu)$ die Bedingung (3.37) mit dem Gleichheitszeichen, wenn

$$\underline{V}_\perp(\mu)^H = \underline{V}_\perp(-\mu)^T \quad (3.39)$$

gilt.

Eine Möglichkeit ein Matrizenpaar $\underline{V}_\perp(\mu)$ und $\underline{V}_\perp(-\mu)$ dieser Bedingung entsprechend festzulegen, besteht darin, eine Matrix $\underline{V}_\perp(\mu)$ zu wählen, die jeden beliebigen Vektor auf den Orthogonalraum der Vektoren $\vec{V}(\mu)$ und $\vec{V}(-\mu)^*$ projiziert. Um die Matrix $\underline{V}_\perp(\mu)$ zu konstruieren, wird zunächst die Stichprobenmatrix

$$\hat{V}(\mu) = \begin{bmatrix} \vec{V}(\mu) \\ \vec{V}(-\mu)^* \end{bmatrix} \quad \forall \mu = 0 \text{ (1) } M-1 \quad (3.40)$$

mit der Permutationssymmetrie

$$\underline{V}(\mu) = \begin{bmatrix} 0 & 1 \\ 1 & 0 \end{bmatrix} \cdot \hat{V}(-\mu)^* \quad (3.41)$$

gebildet, deren Zeilen die bei der Messung verwendeten konkreten Stichproben vom Umfang L der Zufallsgrößen $\mathbf{V}(\mu)$ und $\mathbf{V}(-\mu)$ enthalten, wobei die Elemente der zweiten Zeile konjugiert sind. Damit bilden wir die empirische, hermitesche Kovarianzmatrix

$$\hat{C}_{\hat{V}(\mu), \hat{V}(\mu)} = \frac{1}{L} \cdot \hat{V}(\mu) \cdot \hat{V}(\mu)^H = \underline{C}_{\hat{V}(\mu), \hat{V}(\mu)}^H \quad (3.42)$$

der Dimension 2×2 . Sie weist die Permutationssymmetrie

$$\begin{aligned} \hat{C}_{\hat{V}(\mu), \hat{V}(\mu)} &= \begin{bmatrix} \hat{C}_{\mathbf{V}(\mu), \mathbf{V}(\mu)} & \hat{C}_{\mathbf{V}(\mu), \mathbf{V}(-\mu)^*} \\ \hat{C}_{\mathbf{V}(-\mu)^*, \mathbf{V}(\mu)} & \hat{C}_{\mathbf{V}(-\mu)^*, \mathbf{V}(-\mu)^*} \end{bmatrix} = \begin{bmatrix} \hat{C}_{\mathbf{V}(\mu), \mathbf{V}(\mu)} & \hat{C}_{\mathbf{V}(-\mu), \mathbf{V}(\mu)^*} \\ \hat{C}_{\mathbf{V}(-\mu), \mathbf{V}(\mu)^*}^* & \hat{C}_{\mathbf{V}(-\mu), \mathbf{V}(-\mu)} \end{bmatrix} = \\ &= \begin{bmatrix} 0 & 1 \\ 1 & 0 \end{bmatrix} \cdot \underline{C}_{\hat{V}(-\mu), \hat{V}(-\mu)}^T \cdot \begin{bmatrix} 0 & 1 \\ 1 & 0 \end{bmatrix} \quad \forall \mu = 0 \text{ (1) } M-1 \end{aligned} \quad (3.43)$$

auf. Die Hauptdiagonalelemente sind die nach Gleichung (3.15) mit $\mu_1 = \mu_2 = \mu$ bzw. mit $\mu_1 = \mu_2 = -\mu$ definierten empirischen Kovarianzen, die sich durch Akkumulation aus den bei den Einzelmessungen λ verwendeten Spektralwerten der Erregung berechnen lassen, ohne dass dazu die Spektralwerte aller Einzelmessungen abgespeichert werden müssen. Die Nebendiagonalelemente sind die empirischen Kovarianzen

$$\hat{C}_{\mathbf{V}(\mu_1), \mathbf{V}(\mu_2)^*} = \frac{1}{L} \cdot \vec{V}(\mu_1) \cdot \vec{V}(\mu_2)^T = \frac{1}{L} \cdot \sum_{\lambda=1}^L V_\lambda(\mu_1) \cdot V_\lambda(\mu_2) \quad (3.44)$$

$$\forall \quad \mu_1 = 0 \text{ (1) } M-1 \quad \text{und} \quad \mu_2 = 0 \text{ (1) } M-1,$$

die hier mit $-\mu_1 = \mu_2 = \mu$ auftreten und die sich in derselben Art ohne Speicherung der Spektralwerte aller Einzelmessungen berechnen lassen. Mit der Stichprobenmatrix $\hat{V}(\mu)$ und der empirischen Kovarianzmatrix $\hat{C}_{\hat{\mathbf{V}}(\mu), \hat{\mathbf{V}}(\mu)}$ können wir nun die benötigte, hermitesche Matrix $\underline{V}_\perp(-\mu)$ wie folgt konstruieren:

$$\underline{V}_\perp(\mu) = \underline{V}_\perp(\mu)^H = \underline{E} - \frac{1}{L} \cdot \hat{V}(\mu)^H \cdot \hat{C}_{\hat{\mathbf{V}}(\mu), \hat{\mathbf{V}}(\mu)}^{-1} \cdot \hat{V}(\mu) \quad \forall \quad \mu = 0 \text{ (1) } M-1. \quad (3.45)$$

Dass diese Matrix die Forderung (3.24), dass der Vektor $\vec{V}(\mu)$ ein Eigenvektor zum Eigenwert Null ist, erfüllt wird weiter unten gezeigt. Dort wird auch näher erläutert, wie diese Matrix jeden beliebigen Vektor auf den Orthogonalraum der Vektoren $\vec{V}(\mu)$ und $\vec{V}(-\mu)^*$ projiziert. Durch Einsetzen der Permutationssymmetrien (3.41) und (3.43) kann man verifizieren, dass diese Matrix auch die in Gleichung (3.39) geforderte Symmetriebedingung erfüllt.

Zur Berechnung der Matrix $\underline{V}_\perp(\mu)$ ist es notwendig, die empirische Kovarianzmatrix $\hat{C}_{\hat{\mathbf{V}}(\mu), \hat{\mathbf{V}}(\mu)}$ zu invertieren. Im Fall, dass der Vektor $\vec{V}(-\mu)^*$ ein Vielfaches des Vektors $\vec{V}(\mu)$ ist, wird die empirische Kovarianzmatrix singulär. In diesem Fall ersetzen wir einen der beiden linear abhängigen Vektoren durch einen Vektor, der kein Vielfaches des Vektors $\vec{V}(\mu)$ ist. Die Konstruktion dieses Vektors muss dabei in einer Weise erfolgen, dass dessen Elemente — unter Berücksichtigung der Zufälligkeit der Messung und der Vektoren $\vec{V}(\mu)$ und $\vec{N}_f(\mu)$ — von den Zufallsgrößen $N_f(\mu)$ und $N_f(-\mu)$ unabhängig sind, um sicherzustellen, dass die oben durchgeführte Berechnung der Erwartungswerte der Messwerte auch im singulären Fall ihre Gültigkeit behält.

Damit sich die Matrix $\underline{V}_\perp(\mu)$ und somit auch die Messwerte numerisch gut berechnen lassen, muss die empirische Kovarianzmatrix gut konditioniert sein. Wenn die theoretische Kovarianzmatrix⁴

$$\underline{C}_{\hat{\mathbf{V}}(\mu), \hat{\mathbf{V}}(\mu)} = \mathbb{E}\{\hat{\mathbf{V}}(\mu) \cdot \hat{\mathbf{V}}(\mu)^H\} \quad (3.46)$$

⁴Wie in Kapitel 2.1.1 gesagt, berechnet sich diese mit Hilfe der Verbundverteilung der daran beteiligten Zufallsgrößen.

des Zufallsvektors

$$\hat{\vec{V}}(\mu) = \begin{bmatrix} \mathbf{V}(\mu) \\ \mathbf{V}(-\mu)^* \end{bmatrix} \quad \forall \mu = 0 \ (1) \ M-1 \quad (3.47)$$

dessen konkrete Stichprobe vom Umfang L die Matrix $\hat{V}(\mu)$ ist, gut konditioniert ist, ist zu erwarten, dass die Wahrscheinlichkeit, eine schlecht konditionierte empirische Kovarianzmatrix $\hat{C}_{\hat{\vec{V}}(\mu), \hat{\vec{V}}(\mu)}$ zu erhalten, mit steigender Mittelungsanzahl L bald so klein wird, dass dies für die Praxis ebensowenig von Bedeutung ist, wie die Behandlung des singulären Falles. Im Anhang A.4 wird gezeigt, dass eine obere Schranke für die Wahrscheinlichkeit, eine schlecht konditionierte empirische Kovarianzmatrix mittelwertfreier Zufallsvektoren zu erhalten, indirekt proportional mit steigender Mittelungsanzahl L sinkt. Eine entsprechende Abhandlung für empirische Kovarianzmatrizen mittelwertbehafteter Zufallsvektoren ist in [6] zu finden.

Aufgrund der in der Gleichung (3.39) angegebenen Eigenschaft der in der hier angegebenen Weise konstruierten Matrizen $\underline{V}_\perp(\mu)$ braucht man nun zur Berechnung der Messwerte gemäß Gleichung (3.34) und (3.35) für die zwei Frequenzen μ und $-\mu$ nicht zwei verschiedene Matrizen zu berechnen, sondern nur die eine Matrix, was eine erste deutliche Reduktion des Rechenaufwands darstellt. Die Matrizen $\underline{V}_\perp(\mu)$ nach Gleichung (3.45) mit den Stichprobenmatrizen $\hat{V}(\mu)$ nach Gleichung (3.40) weisen noch weitere besondere Eigenschaften auf, die bei der Berechnung der Messwerte von Vorteil sind. Die Matrizen $\underline{V}_\perp(\mu)$ sind nämlich idempotent. Eine Matrix \underline{M} ist idempotent, wenn für sie $\underline{M}^n = \underline{M} \quad \forall n \in \mathbb{N}$ gilt. Um die Idempotenz der Matrix $\underline{V}_\perp(\mu)$ nachzuweisen, genügt es zu zeigen, dass

$$\underline{V}_\perp(\mu)^2 = \underline{V}_\perp(\mu) \quad (3.48)$$

erfüllt ist. Der Rest folgt aus der vollständigen Induktion

$$\underline{V}_\perp(\mu)^n = \underline{V}_\perp(\mu)^{n-2} \cdot \underline{V}_\perp(\mu)^2 = \underline{V}_\perp(\mu)^{n-2} \cdot \underline{V}_\perp(\mu) = \underline{V}_\perp(\mu)^{n-1}. \quad (3.49)$$

Dass Gleichung (3.48) erfüllt wird, zeigt man, indem man $\underline{V}_\perp(\mu)$ nach Gleichung (3.45) einsetzt:

$$\begin{aligned} & \underline{V}_\perp(\mu)^2 = \\ &= (\underline{E} - \frac{1}{L} \cdot \hat{V}(\mu)^H \cdot \hat{C}_{\hat{\vec{V}}(\mu), \hat{\vec{V}}(\mu)}^{-1} \cdot \hat{V}(\mu)) \cdot (\underline{E} - \frac{1}{L} \cdot \hat{V}(\mu)^H \cdot \hat{C}_{\hat{\vec{V}}(\mu), \hat{\vec{V}}(\mu)}^{-1} \cdot \hat{V}(\mu)) = \\ &= \underline{E} \cdot \underline{E} - \underline{E} \cdot \frac{1}{L} \cdot \hat{V}(\mu)^H \cdot \hat{C}_{\hat{\vec{V}}(\mu), \hat{\vec{V}}(\mu)}^{-1} \cdot \hat{V}(\mu) - \frac{1}{L} \cdot \hat{V}(\mu)^H \cdot \hat{C}_{\hat{\vec{V}}(\mu), \hat{\vec{V}}(\mu)}^{-1} \cdot \hat{V}(\mu) \cdot \underline{E} + \\ & \quad + \frac{1}{L^2} \cdot \hat{V}(\mu)^H \cdot \hat{C}_{\hat{\vec{V}}(\mu), \hat{\vec{V}}(\mu)}^{-1} \cdot \underbrace{\hat{V}(\mu) \cdot \hat{V}(\mu)^H}_{=L \cdot \hat{C}_{\hat{\vec{V}}(\mu), \hat{\vec{V}}(\mu)}^{-1} \text{ nach (3.42)}} \cdot \hat{C}_{\hat{\vec{V}}(\mu), \hat{\vec{V}}(\mu)}^{-1} \cdot \hat{V}(\mu) = \\ &= \underline{E} - \frac{1}{L} \cdot \hat{V}(\mu)^H \cdot \hat{C}_{\hat{\vec{V}}(\mu), \hat{\vec{V}}(\mu)}^{-1} \cdot \hat{V}(\mu) = \underline{V}_\perp(\mu). \end{aligned} \quad (3.50)$$

Aufgrund der Idempotenz lassen sich bei der Berechnung der Messwerte gemäß Gleichung (3.34) und (3.35) alle Matrixprodukte durch die Matrizen $\underline{V}_{\perp}(\mu)$ ersetzen, was den Rechenaufwand weiter reduziert.

Zur Berechnung der Messwerte gemäß Gleichung (3.34) und (3.35) sind auch noch die Spuren der Matrizen $\underline{V}_{\perp}(\mu)$ zu berechnen. Da die Spur einer Matrix die Summe ihrer Eigenwerte ist, wollen wir diese nun bestimmen. Für jeden Vektor \vec{x} , der sowohl zum Vektor $\vec{V}(\mu)$ als auch zum Vektor $\vec{V}(-\mu)^*$ orthogonal ist, gilt:

$$\vec{x} \cdot \underline{V}(\mu)^H = \vec{0}. \quad (3.51)$$

Bildet man einen solchen Vektor mit der Matrix $\underline{V}_{\perp}(\mu)$ nach Gleichung (3.45) ab, so wird dieser Vektor nicht verändert.

$$\begin{aligned} \vec{x} \cdot \underline{V}_{\perp}(\mu) &= \vec{x} \cdot \left(\underline{E} - \frac{1}{L} \cdot \hat{V}(\mu)^H \cdot \hat{C}_{\hat{V}(\mu), \hat{V}(\mu)}^{-1} \cdot \hat{V}(\mu) \right) = \\ &= \vec{x} \cdot \underline{E} - \underbrace{\frac{1}{L} \cdot \vec{x} \cdot \hat{V}(\mu)^H}_{=0} \cdot \hat{C}_{\hat{V}(\mu), \hat{V}(\mu)}^{-1} \cdot \hat{V}(\mu) = \vec{x} \end{aligned} \quad (3.52)$$

Solch ein Vektor \vec{x} ist daher ein Eigenvektor des Eigenwertes Eins. Da der zu den beiden Vektoren $\vec{V}(\mu)$ und $\vec{V}(-\mu)^*$ orthogonale Raum von der Dimension $L-2$ ist, ist Eins ein $L-2$ -facher Eigenwert der Matrix $\underline{V}_{\perp}(\mu)$. Bildet man die beiden Vektoren $\vec{V}(\mu)$ und $\vec{V}(-\mu)^*$, die die Zeilenvektoren der Stichprobenmatrix $\hat{V}(\mu)$ sind, mit der Matrix $\underline{V}_{\perp}(\mu)$ ab, so erhält man die Nullvektoren:

$$\begin{aligned} \hat{V}(\mu) \cdot \underline{V}_{\perp}(\mu) &= \hat{V}(\mu) \cdot \left(\underline{E} - \frac{1}{L} \cdot \hat{V}(\mu)^H \cdot \hat{C}_{\hat{V}(\mu), \hat{V}(\mu)}^{-1} \cdot \hat{V}(\mu) \right) = \\ &= \hat{V}(\mu) \cdot \underline{E} - \frac{1}{L} \cdot \underbrace{\hat{V}(\mu) \cdot \hat{V}(\mu)^H}_{=L \cdot \hat{C}_{\hat{V}(\mu), \hat{V}(\mu)} \text{ nach (3.42)}} \cdot \hat{C}_{\hat{V}(\mu), \hat{V}(\mu)}^{-1} \cdot \hat{V}(\mu) = \hat{V}(\mu) - \hat{V}(\mu) = \underline{0}. \end{aligned} \quad (3.53)$$

Die Forderung (3.24) ist somit erfüllt und Null ist ein Eigenwert der Matrix $\underline{V}_{\perp}(\mu)$ der Vielfachheit zwei. Damit haben wir nun alle Eigenwerte bestimmt, und die Spur der Matrix $\underline{V}_{\perp}(\mu)$ ergibt sich als die Summe aller Eigenwerte zu $L-2$. Sie ist von der konkret bei der Messung verwendeten Erregung unabhängig und muss daher nicht berechnet werden. Auch dies reduziert den Rechenaufwand erheblich.

Die L Spaltenvektoren der Matrix $\underline{V}_{\perp}(\mu)$ spannen den $L-2$ -dimensionalen Nullraum der Stichprobenmatrix $\hat{V}(\mu)$ auf. Jeder beliebige Vektor lässt sich als Summe zweier zueinander orthogonaler Vektoren darstellen, von denen der eine Vektor in dem Raum liegt, der durch die beiden Vektoren der Stichprobenmatrix $\hat{V}(\mu)$ aufgespannt wird, und der andere Vektor im Nullraum der Stichprobenmatrix liegt. Bei der Abbildung des beliebigen

Vektors mit der Matrix $\underline{V}_\perp(\mu)$ verschwindet der erste Anteil während zweite Anteil unverändert bleibt. Den Vorgang, den zu einem Raum orthogonalen Anteil eines Vektors zu eliminieren, ohne den restlichen Vektor zu verändern, bezeichnet man auch als Projektion des Vektors auf den Raum.

Es sei hier noch eine andere Möglichkeit, die Spur dieser Matrix zu berechnen, genannt. Dabei werden die folgenden beiden Sätze, die auch weiter unten bei der Berechnung von weiteren Matrixspuren nützlich sein werden, verwendet. Der erste Satz besagt, dass die Spur der Summe zweier Matrizen gleich der Summe der Spuren der beiden Matrizen ist:

$$\text{spur}(\underline{A} + \underline{B}) = \text{spur}(\underline{A}) + \text{spur}(\underline{B}). \quad (3.54)$$

Dies folgt unmittelbar aus der Definition der Spur einer Matrix als die Summe ihrer Hauptdiagonalelemente. Der zweite Satz besagt, dass die Spur des Produkts zweier Matrizen sich durch die Vertauschung der Reihenfolge der Matrizen nicht ändert.

$$\text{spur}(\underline{A} \cdot \underline{B}) = \text{spur}(\underline{B} \cdot \underline{A}) \quad (3.55)$$

Voraussetzung ist hier natürlich, dass die Matrizen in beiden Richtungen verkettbar sind, so dass beide Matrixprodukte gebildet werden können, und immer eine quadratische Matrix entsteht. Zeigen lässt sich dieser Satz, indem man das Matrixprodukt als Summe dyadischer Produkte⁵ schreibt. Die Spur jedes dieser dyadischen Produkte ist gleich dem Skalarprodukt der beiden daran beteiligten Vektoren. Die Summe der Spuren der dyadischen Produkte ist die Summe der entsprechenden Skalarprodukte. Da diese Skalarprodukte gerade die Hauptdiagonalelemente der Matrix des Produkts der Matrizen mit vertauschter Reihenfolge sind, ist die Spur von der Reihenfolge der Matrixfaktoren unabhängig.

Wenden wir diese beiden Sätze auf die Matrix $\underline{V}_\perp(\mu)$ nach Gleichung (3.45) an, so erhalten wir die Spur $L-2$ dieser Matrix als die Differenz der Spuren der Matrizen \underline{E} , deren Spur L ist, und der Matrix $\hat{\underline{V}}(\mu)^H \cdot \hat{\underline{C}}_{\hat{\underline{V}}(\mu), \hat{\underline{V}}(\mu)}^{-1} \cdot \hat{\underline{V}}(\mu) / L$, die die gleiche Spur besitzt wie die 2×2 Matrix

$$\frac{1}{L} \cdot \hat{\underline{C}}_{\hat{\underline{V}}(\mu), \hat{\underline{V}}(\mu)}^{-1} \cdot \underbrace{\hat{\underline{V}}(\mu) \cdot \hat{\underline{V}}(\mu)^H}_{= L \cdot \hat{\underline{C}}_{\hat{\underline{V}}(\mu), \hat{\underline{V}}(\mu)} \text{ nach (3.42)}} = \underline{E}$$

deren Spur zwei ist.

Wenn wir nun all die Eigenschaften (3.39), (3.45) und (3.48) sowie die eben berechnete Spur der Matrix $\underline{V}_\perp(\mu)$ in die Gleichungen (3.34) und (3.35) einsetzen, erhalten wir

⁵i-ter Spaltenvektor der ersten Matrix mal i-ter Zeilenvektor der zweiten Matrix

erwartungstreue Messwerte

$$\begin{aligned}
 \hat{\Phi}_n(\mu) &= \frac{1}{M \cdot (L-2)} \cdot \hat{\vec{N}}_f(\mu) \cdot \hat{\vec{N}}_f(\mu)^H = & (3.56) \\
 &= \frac{1}{M \cdot (L-2)} \cdot \vec{N}_f(\mu) \cdot \underline{V}_\perp(\mu) \cdot \vec{N}_f(\mu)^H = \\
 &= \frac{1}{M \cdot (L-2)} \cdot \vec{Y}_f(\mu) \cdot \underline{V}_\perp(\mu) \cdot \vec{Y}_f(\mu)^H = \\
 &= \frac{1}{M \cdot (L-2)} \cdot \vec{Y}_f(\mu) \cdot \left(\underline{E} - \frac{1}{L} \cdot \underline{V}(\mu)^H \cdot \underline{\hat{C}}_{\hat{\vec{V}}(\mu), \hat{\vec{V}}(\mu)}^{-1} \cdot \underline{V}(\mu) \right) \cdot \vec{Y}_f(\mu)^H = \\
 &= \frac{L}{M \cdot (L-2)} \cdot \left(\frac{\vec{Y}_f(\mu) \cdot \vec{Y}_f(\mu)^H}{L} - \frac{\vec{Y}_f(\mu) \cdot \underline{V}(\mu)^H}{L} \cdot \underline{\hat{C}}_{\hat{\vec{V}}(\mu), \hat{\vec{V}}(\mu)}^{-1} \cdot \frac{\underline{V}(\mu) \cdot \vec{Y}_f(\mu)^H}{L} \right) = \\
 &= \frac{L}{M \cdot (L-2)} \cdot \left(\hat{C}_{\mathbf{Y}_f(\mu), \mathbf{Y}_f(\mu)} - \left[\hat{C}_{\mathbf{Y}_f(\mu), \mathbf{V}(\mu)}, \hat{C}_{\mathbf{Y}_f(\mu), \mathbf{V}(-\mu)^*} \right] \cdot \underline{\hat{C}}_{\hat{\vec{V}}(\mu), \hat{\vec{V}}(\mu)}^{-1} \cdot \left[\begin{array}{l} \hat{C}_{\mathbf{Y}_f(\mu), \mathbf{V}(\mu)}^* \\ \hat{C}_{\mathbf{Y}_f(\mu), \mathbf{V}(-\mu)^*}^* \end{array} \right] \right) \\
 &\quad \forall \mu = 0 \text{ (1)} M-1
 \end{aligned}$$

und

$$\begin{aligned}
 \hat{\Psi}_n(\mu) &= \frac{1}{M \cdot (L-2)} \cdot \hat{\vec{N}}_f(\mu) \cdot \hat{\vec{N}}_f(-\mu)^T = & (3.57) \\
 &= \frac{1}{M \cdot (L-2)} \cdot \vec{N}_f(\mu) \cdot \underline{V}_\perp(\mu) \cdot \vec{N}_f(-\mu)^T = \\
 &= \frac{1}{M \cdot (L-2)} \cdot \vec{Y}_f(\mu) \cdot \underline{V}_\perp(\mu) \cdot \vec{Y}_f(-\mu)^T = \\
 &= \frac{1}{M \cdot (L-2)} \cdot \vec{Y}_f(\mu) \cdot \left(\underline{E} - \frac{1}{L} \cdot \underline{V}(\mu)^H \cdot \underline{\hat{C}}_{\hat{\vec{V}}(\mu), \hat{\vec{V}}(\mu)}^{-1} \cdot \underline{V}(\mu) \right) \cdot \vec{Y}_f(-\mu)^T = \\
 &= \frac{L}{M \cdot (L-2)} \cdot \left(\hat{C}_{\mathbf{Y}_f(\mu), \mathbf{Y}_f(-\mu)^*} - \left[\hat{C}_{\mathbf{Y}_f(\mu), \mathbf{V}(\mu)}, \hat{C}_{\mathbf{Y}_f(\mu), \mathbf{V}(-\mu)^*} \right] \cdot \underline{\hat{C}}_{\hat{\vec{V}}(\mu), \hat{\vec{V}}(\mu)}^{-1} \cdot \left[\begin{array}{l} \hat{C}_{\mathbf{V}(\mu), \mathbf{Y}_f(-\mu)^*}^* \\ \hat{C}_{\mathbf{V}(-\mu), \mathbf{Y}_f(-\mu)}^* \end{array} \right] \right) \\
 &\quad \forall \mu = 0 \text{ (1)} M-1,
 \end{aligned}$$

für das LDS $\hat{\Phi}_n(\mu)$ und das MLDS $\hat{\Psi}_n(\mu)$, die die Ungleichung (3.38) immer erfüllen. Die jeweils zuletzt dargestellte Form zeigt, wie man diese Messwerte aus den empirisch gewonnenen Kovarianzen und Kovarianzmatrizen berechnet, die man ihrerseits, wie in den Gleichungen (3.10), (3.15), (3.16), (3.44) und (3.43) gezeigt, ohne Zwischenspeicherung der Spektralwerte aller Einzelmessungen bestimmen kann.

3.6 Varianzen und Kovarianzen der Messwerte der Übertragungsfunktion

Die Varianzen der Messwerte $\hat{\mathbf{H}}(\mu)$ sind die Erwartungswerte der Betragsquadrate der Abweichungen der zufälligen Messwerte von ihren Erwartungswerten. Da die Messwerte erwartungstreu sind, sind diese zufälligen Abweichungen zugleich die Abweichungen von den theoretisch optimalen Werten $H(\mu \cdot \frac{2\pi}{M})$. Setzt man diese Abweichungen gemäß Gleichung (3.19) ein so erhält man als Varianzen der Messwerte $\hat{\mathbf{H}}(\mu)$:

$$\begin{aligned}
 C_{\hat{\mathbf{H}}(\mu), \hat{\mathbf{H}}(\mu)} &= E\left\{ \left| \hat{\mathbf{H}}(\mu) - E\{\hat{\mathbf{H}}(\mu)\} \right|^2 \right\} = E\left\{ \left| \hat{\mathbf{H}}(\mu) - H(\mu \cdot \frac{2\pi}{M}) \right|^2 \right\} = \quad (3.58) \\
 &= E\left\{ \frac{1}{L^2} \cdot \vec{\mathbf{N}}_f(\mu) \cdot \vec{\mathbf{V}}(\mu)^H \cdot \hat{\mathbf{C}}_{\mathbf{V}(\mu), \mathbf{V}(\mu)}^{-1} \cdot \hat{\mathbf{C}}_{\mathbf{V}(\mu), \mathbf{V}(\mu)}^{-1} \cdot \vec{\mathbf{V}}(\mu) \cdot \vec{\mathbf{N}}_f(\mu)^H \right\} = \\
 &= E\left\{ \text{spur}\left(\frac{1}{L^2} \cdot \vec{\mathbf{V}}(\mu)^H \cdot \hat{\mathbf{C}}_{\mathbf{V}(\mu), \mathbf{V}(\mu)}^{-1} \cdot \hat{\mathbf{C}}_{\mathbf{V}(\mu), \mathbf{V}(\mu)}^{-1} \cdot \vec{\mathbf{V}}(\mu) \right) \right\} \cdot E\{|\mathbf{N}_f(\mu)|^2\} = \\
 &= E\left\{ \text{spur}\left(\frac{1}{L} \cdot \hat{\mathbf{C}}_{\mathbf{V}(\mu), \mathbf{V}(\mu)}^{-1} \right) \right\} \cdot E\{|\mathbf{N}_f(\mu)|^2\} = \frac{M}{L} \cdot E\{\hat{\mathbf{C}}_{\mathbf{V}(\mu), \mathbf{V}(\mu)}^{-1}\} \cdot \tilde{\Phi}_{\mathbf{n}}(\mu)
 \end{aligned}$$

Die Varianz der Messwerte der Übertragungsfunktion sinkt mit $1/L$, wenn der Erwartungswert der Inversen der empirischen Varianz der Spektralwerte der Erregung existiert und mit steigendem L gegen einen endlichen, konstanten Wert geht. Ist $\mathbf{V}(\mu)$ eine kontinuierliche Zufallsgröße, mit einer endlichen Verteilungsdichtefunktion, so ist anzunehmen, dass der Erwartungswert der Inversen der empirischen Varianz für hinreichend großes L existiert. Ist dagegen die Zufallsgröße diskret mit einem Ergebnisraum, der endlich und abzählbar ist — Zufallsgeneratoren endlicher Wortlänge sind von dieser Art —, so kann es vorkommen, dass der Erwartungswert der Inversen der empirischen Varianz nicht existiert. Bei werdiskreten Zufallsgrößen $\mathbf{V}(\mu)$, bei denen $V(\mu) = 0$ ein mögliches Ereignis ist, treten bei der Berechnung des Erwartungswertes der Inversen der empirischen Varianz immer Summanden auf, deren Nenner Null ist und deren Zähler die zwar extrem kleine aber immer positive Wahrscheinlichkeit ist, dass alle Elemente der Stichprobe von $\mathbf{V}(\mu)$ gleich Null sind. Bei der Berechnung der Messwerte ist in diesem Fall statt der inversen empirischen Varianz eine beliebige Konstante eingesetzt worden. Daher ist streng genommen die eben berechnete Messwertvarianz mit der Wahrscheinlichkeit, dass die inverse empirische Varianz *nicht* durch die Konstante zu ersetzen ist, zu multiplizieren, und zu dem Produkt der Messwertvarianz im singulären Fall und der Wahrscheinlichkeit des Auftretens des singulären Falls zu addieren. Im singulären Fall wird der Messwert $\hat{H}(\mu) = 0$ verwendet, dessen Varianz Null ist. Daher trägt dieses Produkt nichts zur Messwertvarianz bei. In der Praxis ist der singuläre Fall so unwahrscheinlich, dass die komplementäre

Wahrscheinlichkeit, dass die inverse empirische Varianz *nicht* durch die Konstante zu ersetzen ist, praktisch Eins ist, so dass die Messwertvarianz mit der in der letzten Gleichung angegebenen Formel berechnet werden kann.

Messwerte minimaler Varianz erhalten wir offensichtlich dadurch, dass wir einen Zufallsvektor \vec{V} zur Gewinnung unserer Erregung verwenden, der eine möglichst große Varianz aufweist. Insbesondere sollte die Varianz in den Frequenzbereichen besonders groß sein, wo auch das LDS $\Phi_n(\mu)$ groß ist bzw. die Übertragungsfunktion besonders genau gemessen werden soll. Dies geht natürlich nur dann, wenn man sicher sein kann, dass sich die theoretisch optimalen Regressionslösungen durch eine Erhöhung oder eine Veränderung der Aufteilung der Varianz auf unterschiedliche Frequenzbereiche nicht ändern.

Da die Messwertvarianz von den theoretischen Werten $\tilde{\Phi}_n(\mu)$ abhängt, die sich nach Gleichung (2.17) bei einem stationären Approximationsfehlerprozess aus der Faltung des Betragsquadrats des Spektrums der Fensterfolge mit dem LDS des Approximationsfehlerprozesses ergibt, kann man die Übertragungsfunktion im Frequenzbereich mit hoher Störleistungsdichte nur mit sehr hohen Mittelungszahlen L messen. Verwendet man eine nicht besonders frequenzselektive Fensterfolge — z. B. ein Rechteckfenster der Länge M — so kann eine Störung, die in einem schmalen Frequenzband sehr stark ist, wie z. B. ein periodisches Störsignal mit zufälliger Phase oder ein im Vergleich zum gemessenen Frequenzbereich schmalbandiger Störsender, eine Messung mit sinnvoller Mittelungszahl im gesamten Frequenzbereich unmöglich machen, da dann die Sperrdämpfung der Fensterfolge nicht ausreicht, um im Faltungsintegral in Gleichung (2.17) in den anderen Frequenzbereichen den Einfluss der Störung hinreichend zu unterdrücken. Ein Beispiel dafür wird in Kapitel 7.2 gezeigt. Dies ist ein weiterer Grund, eine hoch frequenzselektive Fensterfolge, wie die im Kapitel 6 vorgestellte, zu verwenden.

Schätzwerte für die Varianz der Messwerte der Übertragungsfunktion erhalten wir mit

$$\hat{C}_{\hat{\mathbf{H}}(\mu), \hat{\mathbf{H}}(\mu)} = \frac{M}{L} \cdot \hat{C}_{\mathbf{V}(\mu), \mathbf{V}(\mu)}^{-1} \cdot \hat{\Phi}_n(\mu) \quad \forall \mu = 0 \text{ (1)} M-1 \quad (3.59)$$

Diese Schätzwerte sind erwartungstreu, wenn man die erwartungstreuen Messwerte $\hat{\Phi}_n(\mu)$ nach Gleichung (3.34) oder (3.56) verwendet. Man zeigt dies, indem man die Messwerte $\hat{\Phi}_n(\mu)$ einsetzt, und dann die Erwartungswerte der Schätzwerte für die Messwertvarianzen — ganz analog zur Berechnung der Erwartungswerte der Messwerte $\Phi_n(\mu)$ in Gleichung (3.30) — berechnet. Dabei ist lediglich der in Gleichung (3.32) definierte Vorfaktor $\mathbf{c}_\Phi(\mu)$ zu modifizieren, indem er noch mit $M/(L \cdot \hat{C}_{\mathbf{V}(\mu), \mathbf{V}(\mu)})$ zu multiplizieren ist.

Für die Kovarianzen der Messwerte der Übertragungsfunktion erhalten wir analog

$$\begin{aligned}
 C_{\hat{\mathbf{H}}(\mu), \hat{\mathbf{H}}(\mu)^*} &= \mathbb{E} \left\{ \left(\hat{\mathbf{H}}(\mu) - \mathbb{E}\{\hat{\mathbf{H}}(\mu)\} \right)^2 \right\} = \mathbb{E} \left\{ \left(\hat{\mathbf{H}}(\mu) - H(\mu \cdot \frac{2\pi}{M}) \right)^2 \right\} = \quad (3.60) \\
 &= \mathbb{E} \left\{ \frac{1}{L^2} \cdot \vec{\mathbf{N}}_f(\mu) \cdot \vec{\mathbf{V}}(\mu)^H \cdot \hat{\mathbf{C}}_{\mathbf{V}(\mu), \mathbf{V}(\mu)}^{-1} \cdot \hat{\mathbf{C}}_{\mathbf{V}(\mu), \mathbf{V}(\mu)}^{-1} \cdot \vec{\mathbf{V}}(\mu)^* \cdot \vec{\mathbf{N}}_f(\mu)^T \right\} = \\
 &= \mathbb{E} \left\{ \text{spur} \left(\frac{1}{L^2} \cdot \vec{\mathbf{V}}(\mu)^H \cdot \hat{\mathbf{C}}_{\mathbf{V}(\mu), \mathbf{V}(\mu)}^{-1} \cdot \hat{\mathbf{C}}_{\mathbf{V}(\mu), \mathbf{V}(\mu)}^{-1} \cdot \vec{\mathbf{V}}(\mu)^* \right) \right\} \cdot \mathbb{E}\{\mathbf{N}_f(\mu)^2\} = \\
 &= \mathbb{E} \left\{ \text{spur} \left(\frac{1}{L} \cdot \hat{\mathbf{C}}_{\mathbf{V}(\mu), \mathbf{V}(\mu)}^{-2} \cdot \hat{\mathbf{C}}_{\mathbf{V}(\mu), \mathbf{V}(\mu)}^* \right) \right\} \cdot \mathbb{E}\{\mathbf{N}_f(\mu)^2\}
 \end{aligned}$$

Da vorausgesetzt wurde, dass der Approximationsfehlerprozess stationär ist, berechnet sich der Erwartungswert des Quadrats des Spektrums des gefensterten Approximationsfehlers analog zu Gleichung (2.32):

$$\mathbb{E}\{\mathbf{N}_f(\mu)^2\} = \frac{1}{2\pi} \cdot \int_{-\pi}^{\pi} \Psi_{\mathbf{n}}(\Omega) \cdot F\left(\mu \cdot \frac{2\pi}{M} - \Omega\right) \cdot F\left(\mu \cdot \frac{2\pi}{M} + \Omega\right) \cdot d\Omega. \quad (3.61)$$

Wenn wir eine Fensterfolge verwenden, deren Betragsquadratspektrum den im letzten Kapitel hergeleiteten Wunschverlauf einer mit 2π periodischen Rechteckfunktion gut annähert, die im Intervall $(-\pi; \pi]$ für $|\Omega| < \pi/M$ den Wert M^2 annimmt, und sonst Null ist, sind nur die Werte von $\mathbb{E}\{\mathbf{N}_f(\mu)^2\}$ für $\mu = 0$ und — falls M gerade ist — $\mu = M/2$ nennenswert von Null verschieden. Für alle anderen Werte von μ sind die Spektren der Fensterfolge im Integranden in der letzten Gleichung in der Art gegeneinander verschoben, dass die Frequenz Ω wenigstens bei einer der beiden Fensterspektren immer im Sperrbereich ($2\pi/M \leq |\Omega| \leq \pi$) liegt. Es gilt daher:

$$\mathbb{E}\{\mathbf{N}_f(\mu)^2\} = \begin{cases} \mathbb{E}\{\mathbf{N}_f(\mu) \cdot \mathbf{N}_f(-\mu)\} = M \cdot \tilde{\Psi}_{\mathbf{n}}(\mu) & \text{für } \mu = 0 \vee \mu = \frac{M}{2} \\ \approx 0 & \text{sonst,} \end{cases} \quad (3.62)$$

so dass wir für die Messwertkovarianzen der Übertragungsfunktion

$$C_{\hat{\mathbf{H}}(\mu), \hat{\mathbf{H}}(\mu)^*} = = \begin{cases} \frac{M}{L} \cdot \mathbb{E} \left\{ \frac{\hat{\mathbf{C}}_{\mathbf{V}(\mu), \mathbf{V}(-\mu)}^*}{\hat{\mathbf{C}}_{\mathbf{V}(\mu), \mathbf{V}(\mu)}^2} \right\} \cdot \tilde{\Psi}_{\mathbf{n}}(\mu) & \text{für } \mu = 0 \vee \mu = \frac{M}{2} \\ \approx 0 & \text{sonst.} \end{cases} \quad (3.63)$$

erhalten. Die Erwartungstreue der Schätzwerte

$$\hat{C}_{\hat{\mathbf{H}}(\mu), \hat{\mathbf{H}}(\mu)^*} = \frac{M}{L} \cdot \hat{\mathbf{C}}_{\mathbf{V}(\mu), \mathbf{V}(\mu)}^{-2} \cdot \hat{\mathbf{C}}_{\mathbf{V}(\mu), \mathbf{V}(-\mu)}^* \cdot \hat{\Psi}_{\mathbf{n}}(\mu) \quad \text{für } \mu = 0 \vee \mu = \frac{M}{2} \quad (3.64)$$

für die Kovarianz der Messwerte der Übertragungsfunktion, ist bei Verwendung der erwartungstreuen Messwerte $\hat{\Psi}_n(\mu)$ nach Gleichung (3.35) oder (3.57) gegeben. Da die Messwerte $\hat{\Phi}_n(\mu)$ und $\hat{\Psi}_n(\mu)$ der Gleichung (3.38) genügen, lässt sich zeigen, dass die Schätzwerte $\hat{C}_{\hat{\mathbf{H}}(\mu), \hat{\mathbf{H}}(\mu)}$ größer oder gleich dem Betrag der Schätzwerte $\hat{C}_{\hat{\mathbf{H}}(\mu), \hat{\mathbf{H}}(\mu)^*}$ sind. Dabei ist zu berücksichtigen, dass immer $\hat{C}_{\mathbf{V}(\mu), \mathbf{V}(\mu)} \cdot \hat{C}_{\mathbf{V}(-\mu), \mathbf{V}(-\mu)} \geq |\hat{C}_{\mathbf{V}(\mu), \mathbf{V}(-\mu)}|^2$ gilt.

Bei ungeradem M kann die Näherung (3.62) für die beiden zu π benachbarten Frequenzpunkte nicht so gut erfüllt werden, da dann im Integranden in Gleichung (3.61) die Frequenz Ω auch bei beiden Fensterspektren in den Übergangsbereich ($\pi/M \leq |\Omega| \leq 2\pi/M$) der Dämpfung fallen kann. Wenn es sich nicht vermeiden lässt, ein ungerades M zu verwenden, wäre dies zu berücksichtigen indem man für diese beiden Frequenzen die Schätzwerte für $E\{N_f(\mu)^2\}$ — analog zu $\hat{\Phi}_n(\mu)$ mit dem Quadrat statt dem Betragsquadrat — aus $\hat{N}_f(\mu)$ berechnet. Im weiteren wird angenommen, dass M gerade ist.

3.7 Varianzen und Kovarianzen der Messwerte des LDS und des MLDS

Die Varianzen und Kovarianzen der Messwerte $\hat{\Phi}_n(\mu)$ und $\hat{\Psi}_n(\mu)$ sind die Erwartungswerte der Betragsquadrate bzw. Quadrate der Messwertabweichungen. Mit den Messwerten nach Gleichung (3.34) und (3.35) und unter Beachtung der Erwartungstreue der Messwerte, die in den Gleichungen (3.30) bis (3.33) hergeleitet wurde, erhalten wir für die Varianzen und Kovarianzen der Messwerte zunächst

$$\begin{aligned} C_{\hat{\Phi}_n(\mu), \hat{\Phi}_n(\mu)} &= E\left\{|\hat{\Phi}_n(\mu) - E\{\hat{\Phi}_n(\mu)\}|^2\right\} = E\left\{|\hat{\Phi}_n(\mu)|^2\right\} - \left|E\{\hat{\Phi}_n(\mu)\}\right|^2 = \quad (3.65a) \\ &= E\left\{\left|\vec{N}_f(\mu) \cdot \frac{\underline{\mathbf{V}}_{\perp}(\mu) \cdot \underline{\mathbf{V}}_{\perp}(\mu)^H}{M \cdot \text{spur}(\underline{\mathbf{V}}_{\perp}(\mu) \cdot \underline{\mathbf{V}}_{\perp}(\mu)^H)} \cdot \vec{N}_f(\mu)^H\right|^2\right\} - \left|\frac{E\{|N_f(\mu)|^2\}}{M}\right|^2, \end{aligned}$$

$$\begin{aligned} C_{\hat{\Psi}_n(\mu), \hat{\Psi}_n(\mu)} &= E\left\{|\hat{\Psi}_n(\mu) - E\{\hat{\Psi}_n(\mu)\}|^2\right\} = E\left\{|\hat{\Psi}_n(\mu)|^2\right\} - \left|E\{\hat{\Psi}_n(\mu)\}\right|^2 = \quad (3.65b) \\ &= E\left\{\left|\vec{N}_f(\mu) \cdot \frac{\underline{\mathbf{V}}_{\perp}(\mu) \cdot \underline{\mathbf{V}}_{\perp}(-\mu)^T}{M \cdot \text{spur}(\underline{\mathbf{V}}_{\perp}(\mu) \cdot \underline{\mathbf{V}}_{\perp}(-\mu)^T)} \cdot \vec{N}_f(-\mu)^T\right|^2\right\} - \left|\frac{E\{N_f(\mu) \cdot N_f(-\mu)\}}{M}\right|^2 \quad \text{und} \end{aligned}$$

$$\begin{aligned} C_{\hat{\Psi}_n(\mu), \hat{\Psi}_n(\mu)^*} &= E\left\{(\hat{\Psi}_n(\mu) - E\{\hat{\Psi}_n(\mu)\})^2\right\} = E\left\{\hat{\Psi}_n(\mu)^2\right\} - E\{\hat{\Psi}_n(\mu)\}^2 = \quad (3.65c) \\ &= E\left\{\left(\vec{N}_f(\mu) \cdot \frac{\underline{\mathbf{V}}_{\perp}(\mu) \cdot \underline{\mathbf{V}}_{\perp}(-\mu)^T}{M \cdot \text{spur}(\underline{\mathbf{V}}_{\perp}(\mu) \cdot \underline{\mathbf{V}}_{\perp}(-\mu)^T)} \cdot \vec{N}_f(-\mu)^T\right)^2\right\} - \left(\frac{E\{N_f(\mu) \cdot N_f(-\mu)\}}{M}\right)^2. \end{aligned}$$

Da sowohl die Messwerte $\hat{\Phi}_n(\mu)$ als auch deren Erwartungswerte $E\{\hat{\Phi}_n(\mu)\}$ immer reell

sind, brauchen die Kovarianzen $C_{\hat{\Phi}(\mu), \hat{\Phi}(\mu)^*}$ nicht berechnet zu werden, weil diese immer gleich den Varianzen $C_{\hat{\Phi}(\mu), \hat{\Phi}(\mu)}$ sind. Wie man sieht ist zu weiteren Berechnung der Messwertvarianzen und Kovarianzen jeweils der Erwartungswert eines Quadrats oder Betragsquadrats einer quadratischen oder bilinearen Form zu berechnen. Im Anhang A.5 wird gezeigt, wie sich so ein Erwartungswert berechnen lässt. Dabei wird vorausgesetzt, dass das Zufallsgrößentupel der Spektralwerte $[\mathbf{N}_f(\mu), \mathbf{N}_f(-\mu)^*]^T$ der gefensterten Störung des realen Systems unabhängig von dem Zufallsvektor ist, der alle Zufallsgrößen $\mathbf{V}(\tilde{\mu})$ der Spektralwerte der Erregung bei den Frequenzen $\tilde{\mu}$ enthält, deren Stichproben-elemente in die Elemente der Matrizen $\mathbf{V}_\perp(\pm\mu)$ eingehen. Des Weiteren sind die Herleitungen im Anhang nur gültig, wenn man von den Zufallsgrößentupeln der Spektralwerte $[\mathbf{N}_f(\mu), \mathbf{N}_f(-\mu)]^T$ annehmen kann, dass sie verbundnormalverteilt sind. Andernfalls sind die im weiteren hergeleiteten Ergebnisse höchstens als eine Abschätzung der Messwertvarianzen und Kovarianzen zu betrachten. Wenn wir in den Gleichungen (A.34) bis (A.42) des Anhangs die in Tabelle 3.1 aufgelisteten Substitutionen vornehmen, können wir mit Gleichung (A.42) die Erwartungswerte der Quadrate bzw. Betragsquadrate der quadratischen und bilinearen Formen in der letzten Gleichung ersetzen, so dass sich für die Messwertvarianzen und Kovarianzen folgende Ausdrücke ergeben:

$$C_{\hat{\Phi}_n(\mu), \hat{\Phi}_n(\mu)} = E \left\{ \frac{\text{spur}(\mathbf{V}_\perp(\mu) \cdot \mathbf{V}_\perp(\mu)^H \cdot \mathbf{V}_\perp(\mu)^* \cdot \mathbf{V}_\perp(\mu)^T)}{|\text{spur}(\mathbf{V}_\perp(\mu) \cdot \mathbf{V}_\perp(\mu)^H)|^2} \right\} \cdot \left| \frac{E\{\mathbf{N}_f(\mu)^2\}}{M} \right|^2 + \quad (3.66a)$$

$$+ E \left\{ \frac{\text{spur}(\mathbf{V}_\perp(\mu)^* \cdot \mathbf{V}_\perp(\mu)^T \cdot \mathbf{V}_\perp(\mu)^* \cdot \mathbf{V}_\perp(\mu)^T)}{|\text{spur}(\mathbf{V}_\perp(\mu) \cdot \mathbf{V}_\perp(\mu)^H)|^2} \right\} \cdot \left(\frac{E\{|\mathbf{N}_f(\mu)|^2\}}{M} \right)^2,$$

(Ko)varianz	$\vec{\mathbf{N}}_1 =$	$\vec{\mathbf{N}}_2 =$	$\vec{\mathbf{N}}_3 =$	$\vec{\mathbf{N}}_4 =$
$C_{\hat{\Phi}_n(\mu), \hat{\Phi}_n(\mu)}$	$\vec{\mathbf{N}}_f(\mu)$	$\vec{\mathbf{N}}_f(\mu)$	$\vec{\mathbf{N}}_f(\mu)^*$	$\vec{\mathbf{N}}_f(\mu)^*$
$C_{\hat{\Psi}_n(\mu), \hat{\Psi}_n(\mu)}$	$\vec{\mathbf{N}}_f(\mu)$	$\vec{\mathbf{N}}_f(-\mu)^*$	$\vec{\mathbf{N}}_f(\mu)^*$	$\vec{\mathbf{N}}_f(-\mu)$
$C_{\hat{\Psi}_n(\mu), \hat{\Psi}_n(\mu)^*}$	$\vec{\mathbf{N}}_f(\mu)$	$\vec{\mathbf{N}}_f(-\mu)^*$	$\vec{\mathbf{N}}_f(\mu)$	$\vec{\mathbf{N}}_f(-\mu)^*$

(Ko)varianz	$\mathbf{c} =$	$\underline{\mathbf{A}} =$	$\underline{\mathbf{B}} =$
$C_{\hat{\Phi}_n(\mu), \hat{\Phi}_n(\mu)}$	$ M \cdot \text{spur}(\mathbf{V}_\perp(\mu) \cdot \mathbf{V}_\perp(\mu)^H) ^{-2}$	$\mathbf{V}_\perp(\mu) \cdot \mathbf{V}_\perp(\mu)^H$	$\mathbf{V}_\perp(\mu)^* \cdot \mathbf{V}_\perp(\mu)^T$
$C_{\hat{\Psi}_n(\mu), \hat{\Psi}_n(\mu)}$	$ M \cdot \text{spur}(\mathbf{V}_\perp(\mu) \cdot \mathbf{V}_\perp(-\mu)^T) ^{-2}$	$\mathbf{V}_\perp(\mu) \cdot \mathbf{V}_\perp(-\mu)^T$	$\mathbf{V}_\perp(\mu)^* \cdot \mathbf{V}_\perp(-\mu)^H$
$C_{\hat{\Psi}_n(\mu), \hat{\Psi}_n(\mu)^*}$	$(M \cdot \text{spur}(\mathbf{V}_\perp(\mu) \cdot \mathbf{V}_\perp(-\mu)^T))^{-2}$	$\mathbf{V}_\perp(\mu) \cdot \mathbf{V}_\perp(-\mu)^T$	$\mathbf{V}_\perp(\mu) \cdot \mathbf{V}_\perp(-\mu)^T$

Tabelle 3.1: Substitutionen in Gleichung (A.34) bei der Berechnung der Varianzen und Kovarianzen der Messwerte des LDS und MLDS

$$\begin{aligned}
C_{\hat{\Psi}_n(\mu), \hat{\Psi}_n(\mu)} &= E \left\{ \frac{\text{spur}(\underline{V}_\perp(\mu) \cdot \underline{V}_\perp(-\mu)^T \cdot \underline{V}_\perp(\mu)^* \cdot \underline{V}_\perp(-\mu)^H)}{|\text{spur}(\underline{V}_\perp(\mu) \cdot \underline{V}_\perp(-\mu)^T)|^2} \right\} \cdot \left| \frac{E\{\mathbf{N}_f(\mu) \cdot \mathbf{N}_f(-\mu)^*\}}{M} \right|^2 + \\
&+ E \left\{ \frac{\text{spur}(\underline{V}_\perp(-\mu) \cdot \underline{V}_\perp(\mu)^T \cdot \underline{V}_\perp(\mu)^* \cdot \underline{V}_\perp(-\mu)^H)}{|\text{spur}(\underline{V}_\perp(\mu) \cdot \underline{V}_\perp(-\mu)^T)|^2} \right\} \cdot \frac{E\{|\mathbf{N}_f(\mu)|^2\}}{M} \cdot \frac{E\{|\mathbf{N}_f(-\mu)|^2\}}{M}
\end{aligned} \tag{3.66b}$$

und

$$\begin{aligned}
C_{\hat{\Psi}_n(\mu), \hat{\Psi}_n(\mu)}^* &= E \left\{ \frac{\text{spur}(\underline{V}_\perp(\mu) \cdot \underline{V}_\perp(-\mu)^T \cdot \underline{V}_\perp(\mu) \cdot \underline{V}_\perp(-\mu)^T)}{\text{spur}(\underline{V}_\perp(\mu) \cdot \underline{V}_\perp(-\mu)^T)^2} \right\} \cdot \left(\frac{E\{\mathbf{N}_f(\mu) \cdot \mathbf{N}_f(-\mu)\}}{M} \right)^2 + \\
&+ E \left\{ \frac{\text{spur}(\underline{V}_\perp(-\mu) \cdot \underline{V}_\perp(\mu)^T \cdot \underline{V}_\perp(\mu) \cdot \underline{V}_\perp(-\mu)^T)}{\text{spur}(\underline{V}_\perp(\mu) \cdot \underline{V}_\perp(-\mu)^T)^2} \right\} \cdot \frac{E\{|\mathbf{N}_f(\mu)|^2\}}{M} \cdot \frac{E\{|\mathbf{N}_f(-\mu)|^2\}}{M}.
\end{aligned} \tag{3.66c}$$

In diesen Gleichungen treten neben den beiden Erwartungswerten $E\{|\mathbf{N}_f(\mu)|^2\}/M$ und $E\{\mathbf{N}_f(\mu) \cdot \mathbf{N}_f(-\mu)\}/M$, die nach Gleichung (2.17) und (2.32) gleich den theoretischen Werten des LDS $\tilde{\Phi}_n(\mu)$ und des MLDS $\tilde{\Psi}_n(\mu)$ sind, auch noch die drei Erwartungswerte $E\{|\mathbf{N}_f(\mu)|^2\}/M$, $E\{|\mathbf{N}_f(-\mu)|^2\}/M$ und $E\{\mathbf{N}_f(\mu) \cdot \mathbf{N}_f(-\mu)^*\}/M$ auf. Die ersten beiden dieser drei Erwartungswerte berechnen sich nach Gleichung (3.61) und können nach Gleichung (3.62) bei einem stationären Approximationsfehlerprozess in guter Näherung für $\mu = 1 (1) M-1 \wedge \mu \neq M/2$ vernachlässigt werden, wenn man eine hoch frequenzselektive Fensterfolge verwendet, deren Betragsquadratspektrum den im letzten Kapitel hergeleiteten Wunschverlauf einer mit 2π periodischen Rechteckfunktion gut annähert, die im Intervall $(-\pi; \pi]$ für $|\Omega| < \pi/M$ den Wert M^2 annimmt, und sonst Null ist. Für den Erwartungswert $E\{\mathbf{N}_f(\mu) \cdot \mathbf{N}_f(-\mu)^*\}/M$ kann man mit der allgemeineren Beziehung

$$E\{\mathbf{N}_f(\mu_1) \cdot \mathbf{N}_f(\mu_2)^*\} = \frac{1}{2\pi} \cdot \int_{-\pi}^{\pi} \Phi_n(\Omega) \cdot F\left(\mu_1 \cdot \frac{2\pi}{M} - \Omega\right) \cdot F\left(\mu_2 \cdot \frac{2\pi}{M} - \Omega\right)^* \cdot d\Omega \tag{3.67}$$

zeigen, dass dieser für die hier auftretenden diskreten Frequenzen $\mu_1 = -\mu_2 = \mu$ unter denselben Voraussetzungen ebenfalls vernachlässigbar klein wird:

$$E\{\mathbf{N}_f(\mu) \cdot \mathbf{N}_f(-\mu)^*\} = \begin{cases} E\{|\mathbf{N}_f(\mu)|^2\} = M \cdot \tilde{\Phi}_n(\mu) & \text{für } \mu = 0 \vee \mu = \frac{M}{2} \\ \approx 0 & \text{sonst.} \end{cases} \tag{3.68}$$

Nun wollen wir uns auf den Fall beschränken, dass wir die idempotenten, hermiteschen Matrizen $\underline{V}_\perp(\pm\mu)$ verwenden, deren Konstruktion in den Gleichungen (3.40) bis (3.45) beschrieben ist. Da diese Matrizen außerdem noch die Gleichung (3.39) erfüllen, tritt nun in den Gleichungen (3.66) für die Messwert(ko)varianzen statt der Spuren der unterschiedlichen Matrixprodukte nur mehr die Spur der Matrix $\underline{V}_\perp(\mu)$ auf, die — wie wir

oben gesehen haben — immer $L-2$ ist. Somit erhalten wir für die theoretischen Messwert(ko)varianzen:

$$C_{\hat{\Phi}_n(\mu), \hat{\Phi}_n(\mu)} = \frac{1}{L-2} \cdot \left(|\tilde{\Psi}_n(\mu)|^2 + \tilde{\Phi}_n(\mu)^2 \right), \quad (3.69a)$$

$$C_{\hat{\Psi}_n(\mu), \hat{\Psi}_n(\mu)} = \frac{2}{L-2} \cdot \tilde{\Phi}_n(\mu)^2 \quad \text{und} \quad (3.69b)$$

$$C_{\hat{\Psi}_n(\mu), \hat{\Psi}_n(\mu)}^* = \frac{2}{L-2} \cdot \tilde{\Psi}_n(\mu)^2 \quad (3.69c)$$

$$\forall \quad \mu = 0 \quad \vee \quad \mu = \frac{M}{2}$$

bzw.

$$C_{\hat{\Phi}_n(\mu), \hat{\Phi}_n(\mu)} = \frac{1}{L-2} \cdot \tilde{\Phi}_n(\mu)^2, \quad (3.69d)$$

$$C_{\hat{\Psi}_n(\mu), \hat{\Psi}_n(\mu)} = \frac{1}{L-2} \cdot \tilde{\Phi}_n(\mu) \cdot \tilde{\Phi}_n(-\mu) \quad \text{und} \quad (3.69e)$$

$$C_{\hat{\Psi}_n(\mu), \hat{\Psi}_n(\mu)}^* = \frac{1}{L-2} \cdot \tilde{\Psi}_n(\mu)^2 \quad (3.69f)$$

$$\forall \quad \mu = 1 (1) M-1 \quad \wedge \quad \mu \neq \frac{M}{2}.$$

Als Schätzwerte für die Messwert(ko)varianzen verwenden wir:

$$\hat{C}_{\hat{\Phi}_n(\mu), \hat{\Phi}_n(\mu)} = \frac{L-4}{L \cdot (L-3)} \cdot \hat{\Phi}_n(\mu)^2 + \frac{L-2}{L \cdot (L-3)} \cdot |\hat{\Psi}_n(\mu)|^2 \quad (3.70a)$$

$$\hat{C}_{\hat{\Psi}_n(\mu), \hat{\Psi}_n(\mu)} = \frac{2 \cdot (L-2)}{L \cdot (L-3)} \cdot \hat{\Phi}_n(\mu)^2 - \frac{2}{L \cdot (L-3)} \cdot |\hat{\Psi}_n(\mu)|^2 \quad (3.70b)$$

$$\hat{C}_{\hat{\Psi}_n(\mu), \hat{\Psi}_n(\mu)}^* = \frac{2}{L} \cdot \hat{\Psi}_n(\mu)^2 \quad (3.70c)$$

$$\forall \quad \mu = 0 \quad \vee \quad \mu = \frac{M}{2}$$

bzw.

$$\hat{C}_{\hat{\Phi}_n(\mu), \hat{\Phi}_n(\mu)} = \frac{1}{L-1} \cdot \hat{\Phi}_n(\mu)^2 \quad (3.70d)$$

$$\hat{C}_{\hat{\Psi}_n(\mu), \hat{\Psi}_n(\mu)} = \frac{L-2}{(L-1) \cdot (L-3)} \cdot \hat{\Phi}_n(-\mu) \cdot \hat{\Phi}_n(\mu) - \frac{1}{(L-1) \cdot (L-3)} \cdot |\hat{\Psi}_n(\mu)|^2 \quad (3.70e)$$

$$\hat{C}_{\hat{\Psi}_n(\mu), \hat{\Psi}_n(\mu)}^* = \frac{1}{L-1} \cdot \hat{\Psi}_n(\mu)^2 \quad (3.70f)$$

$$\forall \quad \mu = 1 (1) M-1 \quad \wedge \quad \mu \neq \frac{M}{2}$$

Dass diese Schätzwerte erwartungstreu sind, zeigt man, indem man zunächst die Messwerte nach Gleichung (3.56) und (3.57) einsetzt, und dann mit Hilfe der Gleichung (A.42) des Anhangs die Erwartungswerte berechnet. Dabei ist für die Matrizen $\underline{A} = \underline{B} = \underline{V}_\perp(\mu)$, für

alle Matrixspuren $L-2$ und für den skalaren Faktor jeweils $c = (M \cdot (L-2))^2$ einzusetzen. Auch hier lässt sich zeigen, dass die Schätzwerte der Messwertkovarianz $\hat{C}_{\hat{\Psi}_n(\mu), \hat{\Psi}_n(\mu)^*}$ nie betragsmäßig größer sind als die Schätzwerte der Messwertvarianz $\hat{C}_{\hat{\Psi}_n(\mu), \hat{\Psi}_n(\mu)}$, da die Bedingung (3.38) bei diesen Messwerten immer erfüllt ist. Wie man auf diese Messwerte kommt, ist hier nicht angegeben. In [6] wird angegeben, wie man im allgemeineren Fall eines zyklostationären Fehlerprozesses diese Messwerte erhält.

3.8 Konsistenz der Messwerte

Nun haben wir die Varianzen aller Messwerte, die am Anfang dieses Kapitels aufgelistet sind, als Funktionen der Momente von $\mathbf{N}_f(\mu)$ berechnet. Dabei haben wir lediglich bei der Abschätzung der Messwert(ko)varianzen des LDS und des MLDS angenommen, dass die Zufallsgrößentupel $[\mathbf{N}_f(\mu), \mathbf{N}_f(-\mu)]^T$ der Spektralwerte des gefensterten Modellzufallsvektors des Approximationsfehlerprozesses verbundnormalverteilt sind. So konnten die dort auftretenden vierten Momente durch ihre zweiten Momente ausgedrückt werden, die bereits gemessen worden sind. Bei allen anderen Messwerten und Messwert(ko)varianzen war die Kenntnis ihrer Verbundverteilung nicht benötigt worden.

Falls die Momente von $\mathbf{N}_f(\mu)$ existieren — wovon man bei realen Störprozessen auf Grund einer inhärenten Amplitudenbegrenzung ausgehen kann —, hängt die Konsistenz der Messwerte des RKM nur von dem Verhalten der Vorfaktoren der Momente von $\mathbf{N}_f(\mu)$ für den Grenzübergang $L \rightarrow \infty$ ab. Ein Messwert wird dann als konsistent bezeichnet, wenn der Grenzwert $L \rightarrow \infty$ der Wahrscheinlichkeit, dass der Messwert betragsmäßig um mehr als eine beliebig kleine, positiv reelle Schranke ε_Δ abweicht, Null ist. Die Tschebyscheffsche Ungleichung [9] besagt, dass diese Wahrscheinlichkeit kleiner ist als die durch ε_Δ^2 dividierte Varianz des Messwertes. Wenn also die Varianz eines Messwertes, die jeweils vom Grenzwert des Vorfaktors des Momentes von $\mathbf{N}_f(\mu)$ abhängt, mit steigendem L gegen Null sterbt, ist dieser Messwert konsistent.

Bei den Messwerten $\hat{H}(\mu)$ enthalten die Vorfaktoren der Messwertvarianzen in Gleichung (3.58), den Faktor L im Nenner sowie den Erwartungswert des Reziprokwertes der empirischen Varianz im Zähler. Wenn man nun zur Erregung des Systems solche Zufallsvektoren wählt, bei denen der Erwartungswert des Reziprokwertes der empirischen Varianz für hinreichend große, endliche Werte L existiert und immer unterhalb einer festen oberen Schranke bleibt, dann streben die Vorfaktoren der Messwertvarianzen für $L \rightarrow \infty$ gegen Null und diese Messwerte sind konsistent. Wird zur Erregung des Systems jedoch ein Zufallsvektor verwendet, bei dem die empirische Varianz der erregenden Spektralwerte Null werden kann, so ist dieser Fall gesondert zu behandeln, da dann der Messwert der

Übertragungsfunktion — wie oben geschildert — zu Null gesetzt wird. Die Messwertvarianz ist in diesem Fall Null. Da man in der Praxis den erregenden Zufallsvektor so wählen wird, dass die Wahrscheinlichkeit dieses Falls extrem klein wird, ist dessen Einfluss bei der Berechnung der Messwertvarianz vernachlässigbar klein. Die Konsistenz der Messwerte der Übertragungsfunktion ist auch bei der eben geschilderten Art der Behandlung des Sonderfalls gegeben.

Die Vorfaktoren der Varianzen der Messwerte $\hat{\Phi}_n(\mu)$ und $\hat{\Psi}_n(\mu)$ sind nach Gleichung (3.69) von der Erregung unabhängig und streben für $L \rightarrow \infty$ ebenfalls gegen Null, so dass auch diese Messwerte konsistent sind.

Die Varianzen und Kovarianzen aller Messwerte kann man für einen festen Wert von L mit Hilfe der Gleichungen (3.59), (3.64) und (3.70) abschätzen. Die Konsistenz der Schätzwerte für die Varianzen und Kovarianzen der Messwerte wurde nicht untersucht.

3.9 Anmerkungen zur Erhebung der Stichproben

Selbst bei Verwendung eines Zufallsvektors \vec{V} , der für den Betriebszustand typischen ist, kann es vorkommen, dass der für die konkrete Messung verwendete Stichprobenvektor $\vec{V}(\mu)$ für den Betriebszustand absolut untypisch ist, und dass die Messung dadurch an Aussagekraft verliert. An einem Beispiel, das nichts mit dem RKM zu tun hat, sei dies verdeutlicht. Um eine Prognose für ein Wahlergebnis abzugeben, wählt man aus der Gesamtheit aller Wahlberechtigten eine hinreichend große Anzahl von Personen gleichwahrscheinlich aus, um diese nach ihrem Wahlverhalten zu befragen. Bei dieser Art der Auswahl kann es vorkommen, dass man nur Personen einer Bevölkerungsgruppe zieht, von der man a priori annehmen kann, dass deren Wahlverhalten nicht repräsentativ ist. Man kann von vornherein sagen, dass die mit dieser konkreten Stichprobe gewonnene Wahlvorhersage nicht sehr zutreffend sein wird, und man wird sich daher überlegen, wie man die Stichprobenentnahme modifizieren kann, um solche konkrete Stichproben auszuschließen (etwa indem man aus mehreren Bevölkerungsgruppen jeweils weniger Personen gleichwahrscheinlich auswählt). Analoge Strategien zur Stichprobenentnahme aus dem Zufallsvektor \vec{V} sollte man sich gegebenenfalls auch für das RKM überlegen. Streng genommen gilt dann die theoretische Berechnung der Erwartungswerte und Varianzen der Messergebnisse nicht mehr, da wir dabei eine zufällige Stichprobenentnahme zugrundegelegt hatten. Dennoch kann u. U. auch eine modifizierte Stichprobenentnahme in Bezug auf die zu messenden Merkmale $H(\mu \cdot 2\pi/M)$, $\tilde{\Phi}_n(\mu)$ und $\tilde{\Psi}_n(\mu)$ als zufällig angesehen werden. Eine mögliche Methode besteht darin, dass man, wenn man eine untypische konkrete Stichprobe erhält, diese nicht verwendet, sondern eine neue konkrete Stichprobe des Zufallsvektors \vec{V} zieht. Eine andere Variante wäre es aus einer Vielzahl von als typisch

klassifizierten konkreten Stichproben eine Stichprobe zufällig zu ziehen. Ob die modifizierte Art der Stichprobenentnahme als zufällig in Bezug auf die zu messenden Merkmale angesehen werden kann, wäre streng genommen an jedem zu messenden System mit Hilfe eines Hypothesentest zu überprüfen, wobei die Hypothese aufgestellt wird, dass die Verteilung des mit der modifizierten Stichprobenentnahme gemessenen Merkmals, mit der Verteilung des mit der zufälligen Stichprobenentnahme gemessenen Merkmals übereinstimmt. In Bezug auf die geeignete Stichprobenentnahme und den Hypothesentest sei der Leser auf die entsprechende Literatur verwiesen, da dieser Hypothesentest in der Praxis wegen der begrenzten Messdauer wohl kaum durchführbar sein wird.

Da die Varianz der Messwerte für die Übertragungsfunktion dann besonderes klein wird, wenn die empirische Varianz $\hat{\mathbf{C}}_{\mathbf{V}(\mu), \mathbf{V}(\mu)}$ der Erregung für alle Frequenzen μ besonders groß wird, kann man eine gute Messung auch dadurch erzwingen, indem man die Anzahl L der Einzelmessungen in dem Fall erhöht, wenn die empirischen Varianzen nicht für alle μ innerhalb eines vorgegebenen Intervalls um die theoretischen Varianzen liegen. Bei geeigneter Wahl des zulässigen Intervalls, des Zufallsvektors \vec{V} und der Stichprobenentnahme kann davon ausgegangen werden, dass die Wahrscheinlichkeit für eine extrem lange Messung mit zunehmenden L rasch so klein sein wird, dass dies für die praktische Anwendung des RKM mit dynamischer Verlängerung der Mittelungsanzahl nicht mehr von Bedeutung ist. Auch bei dieser Art der dynamischen Wahl der Zahl der Einzelmessungen verliert die theoretische Berechnung der Erwartungswerte und Varianzen der Messergebnisse ihre Gültigkeit. Diese Art der dynamischen Wahl des Umfangs einer Stichprobe ist in der Literatur unter dem Namen Sequenzialanalyse bekannt. Es wäre viel zu umfangreich (und wohl auch nur für den Spezialfall einer normalverteilten Erregung mit unkorrelierten Real- und Imaginärteilen möglich) die entsprechende Theorie auf das RKM zu übertragen. Da sich die dynamische Vergrößerung der Mittelungsanzahl L beim RKM — wie in [6] gezeigt wird — mit minimalem Mehraufwand realisieren lässt, und da sich bei Rechnersimulationen an Systemen, deren theoretische Werte bekannt waren, gezeigt hat, dass die oben hergeleiteten Erwartungswerte und Varianzen der Messergebnisse auch in diesem Fall gut mit der Theorie übereinstimmen, kann ich diese Art der Bestimmung der Mittelungsanzahl nur empfehlen.

3.10 Sonderfall der Messung eines linearen, unabhängig gestörten Systems

Wenn man ein reales System vermessen will, von dem man weiß, dass sich dieses nahezu perfekt linear und zeitinvariant verhält, bei dem aber eine von der Erregung unabhängige

Störung vorliegt, die so stark ist, dass eine direkte Messung der Übertragungsfunktion mit einer einzigen Messung nicht möglich ist, so kann man das RKM auch mit einer nicht zufälligen Erregung betreiben. Die Testsignalsequenzen der Einzelmessungen, bzw. deren Spektralwerte, die im Vektor \vec{V}_λ zusammengefasst sind, wird man dann so wählen, dass sich gut konditionierte Gleichungssysteme ergeben. Die von der Erregung abhängigen Erwartungswerte sind dann in der bisherigen Herleitung überall durch die Werte zu ersetzen, die sich bei den bei der Messung verwendeten Testsignalsequenzen konkret ergeben. Es wird nun kurz auf die Theorie dieses Falls eingegangen.

Da sowohl die theoretischen Regressionskoeffizienten als auch die Erregung nicht zufällig sind, ist das Signal am Ausgang des Modellsystems kein Zufallsprozess und vom Ausgangsprozess des realen Systems ist nur der Anteil des nach Gleichung (2.2) definierten Approximationsfehlerprozesses zufällig. Weil wir angenommen haben, dass das System ohne Störung linear und zeitinvariant ist, liegen die Ausgangswerte $x_\lambda(k)$ des ungestörten realen Systems, wenn wir sie in einem $M+1$ -dimensionalen Raum, über dem M -dimensionalen Vektor \vec{V} auftragen, in einer Hyperebene, die den Ursprung enthält. Da außerdem die Störung nicht von der Erregung abhängt, ist die Regressionsfläche $E\{\mathbf{y}(k)|\vec{V}\}$ der ersten Art keine gekrümmte Fläche sondern genau diese Hyperebene. Die bedingten Erwartungswerte $E\{\mathbf{y}(k)|\vec{V}_\lambda\}$, die man bei den verwendeten Testsignalsequenzen erhält, sind immer Punkte auf der Regressionsfläche der ersten Art. Da wir die Testsignalsequenzen so gewählt haben, dass sich gut konditionierte Gleichungssysteme ergeben, sind die theoretischen Regressionskoeffizienten eindeutig festgelegt, da sie ja als Lösung der theoretischen Approximationsfehlerminimierung die Parameter der Hyperebene sind, die durch die Punkte $E\{\mathbf{y}(k)|\vec{V}_\lambda\}$ geht.

Wie wir im Kapitel 2.1 gesehen haben, minimiert auch die Optimallösung der Approximationsfehlerminimierung bei zufälliger Erregung das zweite Moment des Abstands der Hyperebene der zweiten Art von der Regressionsfläche der ersten Art. Da bei diesem realen System das zweite Moment des Abstands unabhängig von der Wahl der Art der Erregung immer den Minimalwert Null aufweist, sind die Regressionskoeffizienten bei zufälliger Erregung immer gleich den Regressionskoeffizienten, die man mit Hilfe der deterministischen Testsignalsequenzen erhält. Die Lösung der empirischen Regression besteht nun — wie bei der zufälligen Erregung — darin, eine Hyperebene anzugeben, deren Abstand zu den entsprechenden gemessenen Punkten, die auch bei der Erregung mit festgelegten Testsignalsequenzen wegen der Störung nun nicht mehr alle auf einer Hyperebene liegen, minimal ist. Man berechnet nun die Erwartungswerte, Varianzen und Kovarianzen der Messwerte, sowie die Erwartungswerte der Schätzwerte für die Messwert(ko)varianzen wie bisher, wobei man allerdings berücksichtigt, dass die Erwartungswertbildung bei den von der Erregung abhängigen Termen zu unterbleiben hat, da diese ja nun nicht mehr

zufällig sind. Man wird feststellen, dass auch bei einem solchen System die Messwerte erwartungstreu und konsistent sind, und dass die Schätzwerte der Messwertkovarianzen erwartungstreu sind.

Ein weiterer wesentlicher Aspekt, der sich bei der eben durchgeführten Überlegung ergibt, ist, dass man auch bei zufälliger Erregung bei einem realen, linearen und zeitinvarianten System, das unabhängig gestört wird, wirklich dessen wahre Übertragungsfunktion und die zweiten Momente der realen Störung misst. Weil die Erwartungswerte der Hyperebenen der empirischen Anpassungslösungen mit den Hyperebenen der theoretischen Regression übereinstimmen, sind die Erwartungswerte der gemessenen Übertragungsfunktion, die die Steigungen der einen Hyperebene sind, gleich den wahren Werten der Übertragungsfunktion, die die Steigungen der anderen Hyperebene sind. Da die beiden Hyperebenen übereinstimmen, ist auch der Zufallsvektor des Approximationsfehlerprozesses bei der theoretischen Regression identisch mit dem Zufallsvektor der real am System anliegenden Störung, und somit sind auch die zweiten Momente beider Prozesse identisch.

3.11 Konfidenzgebiete der Messwerte

Um die Qualität der Messergebnisse besser beurteilen zu können, empfiehlt es sich, vor allem für deren graphische Darstellung, bei reellen Messwerten Intervalle und bei komplexen Messwerten Gebiete in der komplexen Ebene anzugeben, von denen man sagen kann, dass sich die wahren Größen mit einer Wahrscheinlichkeit von $1 - \alpha$ innerhalb dieser Intervalle bzw. Gebiete befinden. Diese bezeichnet man als Konfidenzintervalle bzw. Konfidenzgebiete zum Konfidenzniveau $1 - \alpha$. Wir wollen nun für den Fall, dass die Mittelunganzahl L groß ist, Schätzwerte für die Konfidenzintervalle bzw. Konfidenzgebiete der Messwerte herleiten.

Da die wahre Verteilung der Messwerte vom zu messenden System und den darin auftretenden Störungen und deren Verteilung abhängt, und somit unbekannt ist, nehmen wir an, dass alle Messwerte näherungsweise normalverteilt sind. Eine Normalverteilung ist durch ihre ersten und zweiten Momente vollständig beschrieben. Die Messwerte, die man bei einer konkreten Messung erhält, sind konkrete Schätzwerte für die zu messenden theoretischen Größen, die selbst wiederum die ersten Momente der Messwerte — als Ergebnisse des Zufallsexperiments der Messung betrachtet — sind. Des Weiteren haben wir Schätzwerte für die Messwertvarianzen und Kovarianzen berechnet, so dass wir auch die zweiten Momente der angenommenen Normalverteilung abschätzen können. Wenn wir diese Schätzwerte für die ersten und zweiten Momente in die Normalverteilung einsetzen, können wir Intervalle bzw. Gebiete angeben, innerhalb derer die Normalverteilungsdichte

oberhalb einer Konstanten liegt, die so gewählt wird, dass das Integral über die Verteilungsdichte innerhalb der Intervalle bzw. Gebiete gerade $1 - \alpha$ ist. Die so bestimmten Intervalle bzw. Gebiete sind also in zweierlei Hinsicht nur Schätzwerte für die Konfidenzintervalle bzw. Konfidenzgebiete der Messwerte. Zum einen wird eine Normalverteilung angenommen, und zum anderen werden die Momente dieser Normalverteilung lediglich abgeschätzt.

Die Annahme, dass die Messwerte normalverteilt sind, erweist sich in der Praxis bei den Messwerten $\hat{H}(\mu)$, die den Stichprobenvektor $\vec{N}_f(\mu)$ linear — also als Term erster Ordnung — enthalten, bei einer hinreichend großen Anzahl L von Einzelmessungen als in guter Näherung zutreffend. Bei den Messwerten $\hat{\Phi}_n(\mu)$ und $\hat{\Psi}_n(\mu)$ tritt der Stichprobenvektor $\vec{N}_f(\mu)$ als Term zweiter Ordnung auf, und die Normalverteilungsannahme erweist sich in der Praxis manchmal als nicht zutreffend. Zur besseren Beurteilung wollen wir hier nun zwei Grenzfälle unterscheiden.

Sind bei den Messwerten $\hat{\Phi}_n(\mu)$ und $\hat{\Psi}_n(\mu)$ die Messwertstreuungen deutlich kleiner als die Beträge der Messwerte, stellt man fest, dass sich auch bei diesen Messwerten in der Regel näherungsweise eine Normalverteilung ergibt. „Näherungsweise“ soll in diesem Zusammenhang heißen, dass die Konfidenzgebiete, die man mit der exakten, aber in aller Regel unbekannten Verteilung erhalten würde, sich von den mit der Normalverteilung berechneten Konfidenzintervallen bei einer sinnvollen Wahl von $10^{-4} < \alpha < 0.9$ nur um wenige Prozent unterscheiden. Größere Werte von α wird man in der Praxis kaum verwenden, da es keinen Sinn macht, ein Konfidenzintervall bzw. -gebiet für einen Messwert anzugeben, wenn die Wahrscheinlichkeit, dass sich der Messwert *nicht* innerhalb des Konfidenzintervalls bzw. -gebietes liegt, mehr als 90 % beträgt. Kleinere Werte von α könnten durchaus sinnvoll sein, wenn Wert auf besonders zuverlässige Messwerte gelegt wird. Da dann jedoch die Konfidenzintervalle bzw. -gebiete erst mit sehr hohen Mittelungsanzahlen auf sinnvolle Größe schrumpfen, wird hier die Dauer der Messung eine Grenze setzen.

Liegt bei den Messwerten $\hat{\Phi}_n(\mu)$ und $\hat{\Psi}_n(\mu)$ die Messwertstreuung in derselben Größenordnung wie der Betrag der Messwerte, so ist die Annahme der näherungsweisen normalen Verteilung der Messwerte nicht mehr zutreffend. Dennoch sollen aus zwei Gründen auch bei diesen Messwerten dieselben Schätzwerte für die Konfidenzintervalle bzw. Konfidenzgebiete verwendet werden. Der erste Grund ist, dass man die wahre Verteilung der Stichprobenelemente $\mathbf{N}_{f,\lambda}(\mu)$ nicht kennt, und somit auch die Verteilung der Messwerte $\hat{\Phi}_n(\mu)$ und $\hat{\Psi}_n(\mu)$ nicht angeben kann. Wenn man für die Stichprobenelemente $\mathbf{N}_{f,\lambda}(\mu)$ eine Normalverteilung annimmt, könnte man geeignete Schätzwerte für die Konfidenzgebiete erhalten, die dann aber numerisch aufwendiger zu berechnen wären. Dass der Mehraufwand nicht vertretbar erscheint, da die Konfidenzintervalle bzw. Konfidenzgebiete, die mit der Normalverteilungsannahme für die Messwerte gewonnen werden, genug Aussage-

kraft besitzen, zeigt der zweite Grund, die einfacher zu berechnenden Werte zu benutzen. Die genähert geschätzten Konfidenzintervalle bzw. Konfidenzgebiete unterscheiden sich in aller Regel nämlich nur dann von den theoretisch exakten Konfidenzintervallen bzw. -gebieten, wenn die Messwerte selbst sehr unzuverlässig und somit unbrauchbar sind. Liegt die Messwertstreuung in derselben Größenordnung wie der Betrag des Messwertes, so erhält man bei Verwendung der Annahme der Normalverteilung der Messwerte, wenn man α nicht zu groß wählt, ein Konfidenzintervall bzw. Konfidenzgebiet das den Nullpunkt mit hoher Wahrscheinlichkeit enthält, oder bei dem der Nullpunkt in Vergleich zu der Ausdehnung des Konfidenzintervalls bzw. des Konfidenzgebietes sehr nahe liegt. Will man sich nicht mit der pauschalen Aussage begnügen, dass es sich um einen unzuverlässigen Messwert handelt, so wird man die Mittelungsanzahl L erhöhen, um die Messwertstreuung zu verringern. Bei dem dann erhaltenen Messwert und dessen Konfidenzintervall bzw. Konfidenzgebiet kann man nun wiederum zwei Fälle unterscheiden.

Im ersten Fall erbrachte die Erhöhung der Mittelungsanzahl nun einen Messwert, dessen Betrag nun aufgrund der verringerten Messwertstreuung deutlich größer ist als die Messwertstreuung selbst. Das Konfidenzintervall bzw. Konfidenzgebiet liegt nun deutlich abseits des Nullpunktes, so dass wieder von einer näherungsweise normalen Verteilung des Messwertes ausgegangen werden kann, und das Konfidenzintervall bzw. Konfidenzgebiet als zutreffend und aussagekräftig angesehen werden kann.

Im zweiten Fall, der z.B. dann gegeben ist, wenn die zu messende theoretische Größe Null ist, wird man auch nach einer Erhöhung der Mittelungsanzahl L mit hoher Wahrscheinlichkeit einen Messwert erhalten, dessen Konfidenzintervall bzw. Konfidenzgebiet den Ursprung enthält, bzw. das in unmittelbarer Umgebung des Nullpunktes liegt. Auch mit der größeren Mittelungsanzahl L ist nun lediglich die Aussage möglich, dass der relative Fehler des Messwertes mit hoher Wahrscheinlichkeit sehr groß ist. Der absolute Fehler des Messwertes ist nun jedoch mit der Erhöhung der Mittelungsanzahl und der damit verbundenen Verringerung der Messwertstreuung, die sich weiterhin aus der Größe des Konfidenzintervalls bzw. des Konfidenzgebietes leicht ablesen lässt, deutlich verringert worden. Selbst wenn man die wahre Lage des Konfidenzintervalls bzw. -gebietes, das sich aus der tatsächlichen Messwertverteilung ergeben würde, nicht kennt, kann man nun bei der konkreten Anwendung des RKM mit hoher Zuverlässigkeit sagen, dass der zu messende Wert betragsmäßig als hinreichend klein angesehen werden kann.

Wenn es beispielsweise darum geht, bei einem System nachzuweisen, dass das Leistungsdichtespektrum der vom System verursachten Störungen in einem bestimmten Frequenzband unterhalb einer bestimmten Schwelle liegt, genügt es zu wissen, dass der Messwert des LDS mit hoher Wahrscheinlichkeit deutlich unterhalb dieser Schwelle liegt. Die Kenntnis der genauen Lage des theoretisch exakten Konfidenzintervalls ist hierbei nicht von

Nöten. In Kapitel 7.6 wird an einer Beispieldmessung verdeutlicht, wie unterschiedlich sich als unzuverlässig erkannte Messwerte verhalten können, wenn man die Mittelungsanzahl erhöht.

Da die M Messwerte $\hat{\Phi}_n(\mu)$, die einzigen Messwerte sind, die immer reell sind, müssen wir diese getrennt behandeln. Damit möchte ich beginnen. Wir gehen auch bei diesen stets positiven Messwerten aus den oben genannten Gründen davon aus, dass die zufälligen Messwerte $\hat{\Phi}_n(\mu)$ normalverteilt seien, obwohl eine Normalverteilung auch für negative Werte immer echt positiv ist, und somit niemals exakt vorliegen kann.

Die Messwertabweichung $\hat{\Phi}_n(\mu) - \tilde{\Phi}_n(\mu)$ ist wegen der Erwartungstreue der Messwerte mittelwertfrei. Daher wird für die Verteilung der auf die wahre Standardabweichung normierten Messwertabweichung eine zentrierte und normierte Normalverteilung angesetzt. Über die komplementäre Fehlerfunktion kann daher ein Konfidenzintervall für ein vorgegebenes Konfidenzniveau für die Messwerte angegeben werden. Da wir die wahre Varianz der Messwertabweichung nicht kennen, können wir das Konfidenzintervall nur abschätzen, indem wir bei der Berechnung des Konfidenzintervalls nicht die wahre Varianz, sondern den Schätzwert $\hat{C}_{\hat{\Phi}_n(\mu), \hat{\Phi}_n(\mu)}$ nach Gleichung (3.70) verwenden. Mit der komplementären Fehlerfunktion

$$\operatorname{erfc}(x) = \frac{2}{\sqrt{\pi}} \cdot \int_x^{\infty} e^{-\xi^2} \cdot d\xi \quad (3.71)$$

erhält man für das Konfidenzniveau $1 - \alpha$ die Schätzwerte

$$\hat{A}_\Phi(\mu) = \sqrt{2} \cdot \sqrt{\hat{C}_{\hat{\Phi}_n(\mu), \hat{\Phi}_n(\mu)}} \cdot \operatorname{erfc}^{-1}(\alpha) \quad \forall \quad \mu = 0 \ (1) \ M-1 \quad (3.72)$$

für die Konfidenzintervalle

$$\left[\hat{\Phi}_n(\mu) - \hat{A}_\Phi(\mu) ; \hat{\Phi}_n(\mu) + \hat{A}_\Phi(\mu) \right]. \quad (3.73)$$

Dabei ist $\operatorname{erfc}^{-1}(x)$ die zur komplementären Fehlerfunktion inverse Funktion, die man entweder numerisch oder mit Hilfe einer Tabelle auswertet. Es lässt sich somit abschätzen, dass der wahre Wert $\tilde{\Phi}_n(\mu)$ mit einer Wahrscheinlichkeit von α außerhalb des angegebenen, zufälligen, durch die Messung gewonnenen Intervalls liegt.

Anmerkung: Wäre der Messwert $\hat{\Phi}_n(\mu)$ tatsächlich normalverteilt und die empirische Varianz von $\hat{\Phi}_n(\mu)$ durch eine Messung mit Hilfe einer Stichprobe vom Umfang L dieser Zufallsgröße gewonnen worden, so wäre die auf den Wert $\tilde{\Phi}_n(\mu)$ zentrierte und auf die empirische Standardabweichung normierte Zufallsgröße STUDENT-verteilt mit $L-1$ Freiheitsgraden. Es ergäbe sich somit ein besonders für kleine Mittelungsanzahlen L und kleine Werte $\tilde{\Phi}_n(\mu)$ abweichendes Konfidenzintervall, das auch für kleines L gültig ist. Diese Art der Berechnung des Konfidenzintervalls ist in unserem Falle jedoch nicht möglich, da $\hat{\Phi}_n(\mu)$ nicht normalverteilt sein kann. Wenn ein

perfekt lineares und zeitinvariantes System vorliegen würde, das von einem Zufallsprozess gestört wird, dessen Spektralwerte $N_f(\mu)$ normalverteilt und unkorreliert ($\tilde{\Psi}_n(\mu) = 0$) sind, und wenn man eine Messung mit nicht zufälliger Erregung (siehe Kapitel 3.10) durchführen würde, so wären die mit $2 \cdot (L-2)$ multiplizierten und auf die halbe Varianz von $N_f(\mu)$ normierten Messwerte $\hat{\Phi}_n(\mu)$ mit $2 \cdot (L-2)$ reellen Freiheitsgraden χ^2 -verteilt. Da der Mittelwert der χ^2 -Verteilung mit der Anzahl ihrer Freiheitsgrade linear steigt, während die Streuung nur mit der Wurzel der Freiheitsgrade zunimmt, wird mit steigender Mittelungsanzahl L das Konfidenzintervall bei gleichbleibendem α den Messwert immer enger einschließen, und somit immer weiter vom Nullpunkt entfernt liegen. Dabei ist zu beachten, dass der Erwartungswert des Messwertes $\hat{\Phi}_n(\mu)$ immer von Null verschieden ist, wenn die Varianz von $N_f(\mu)$ nicht Null ist. Sollte die Varianz von $N_f(\mu)$ Null sein, so ergäbe sich schon nach der Tschebyscheffschen Ungleichung ein Konfidenzintervall der Breite Null. Nach [9] wurde von R. A. Fisher gezeigt, dass die χ^2 -Verteilung sich mit zunehmender Anzahl der Freiheitsgrade der Normalverteilung asymptotisch annähert. Dabei wird die Anzahl von 30 Freiheitsgraden schon als ausreichend für eine gute Näherung angegeben. Für hinreichend große Werte von L und sinnvolle Werte α werden sich die mit der χ^2 -Verteilung berechneten Werte der Konfidenzintervalle nur unwesentlich von den mit der Normalverteilung berechneten Konfidenzintervallen unterscheiden. Wenn man nicht nur Schätzwerte für die Konfidenzintervalle angeben wollte, müsste man diese über die inverse Verteilung des Quotienten $(\hat{\Phi}_n(\mu) - \tilde{\Phi}_n(\mu)) / \hat{C}_{\hat{\Phi}_n(\mu), \hat{\Phi}_n(\mu)}$ aus der Messwertabweichung und der empirischen Messwertvarianz berechnen. Die empirische Messwertvarianz ist in dem eben beschriebenen Spezialfall proportional zum Quadrat des Messwertes. Damit lässt sich die Verteilung dieses Quotienten prinzipiell aus der χ^2 -Verteilung berechnen, und wenigstens numerisch integrieren und invertieren. Somit könnte man in diesem Spezialfall auch exakte Konfidenzgebiete angeben. Ob die so berechneten Konfidenzintervalle besser geeignet wären, die Zuverlässigkeit der Messwerte abzuschätzen, als die über die Normalverteilung geschätzten Konfidenzintervalle, wenn man bei einem realen System auf die Messung mit zufälliger und u. U. nicht normalverteilter Erregung angewiesen ist, darf bezweifelt werden. Daher ist der Mehraufwand einer solchen Berechnung nicht vertretbar.

Alle anderen Messwerte sind komplex. für diese Größen kann man keine Konfidenzintervalle angeben. Man gibt daher ein Gebiet in der komplexen Ebene an, das dadurch gekennzeichnet ist, dass die Wahrscheinlichkeit, dass die zu messende, theoretische Größe außerhalb des durch die Messung gewonnenen, und daher zufälligen Gebietes liegt, kleiner als α ist.

Da angenommen wird, dass die Messwertabweichung, die aufgrund der Erwartungstreue der Messwerte mittelwertfrei ist, für eine hinreichend große Mittelungsanzahl L in guter Näherung normalverteilt ist, und da die Linien konstanten Wertes der Verbundverteilungsdichte bei einer Normalverteilung Ellipsen sind, wählt man als Konfidenzgebiet jedes

Messwertes ebenfalls eine Ellipse, die durch die komplexen Zeiger der Hauptachsen vollständig beschrieben ist. Am Beispiel des Messwertes $\hat{H}(\mu)$ für die Übertragungsfunktion soll nun hergeleitet werden, wie man die komplexen Zeiger der Hauptachsen bestimmt.

Wir bilden zunächst aus der zufälligen Messwertabweichung

$$\Delta\hat{\mathbf{H}}(\mu) = \hat{\mathbf{H}}(\mu) - H(\mu \cdot \frac{2\pi}{M}) \quad (3.74)$$

durch eine Abbildung die neue Zufallsgröße

$$\Delta\tilde{\mathbf{H}}(\mu) = c_1(\mu) \cdot \Delta\hat{\mathbf{H}}(\mu) - c_2(\mu) \cdot \Delta\hat{\mathbf{H}}(\mu)^* \quad \forall \mu = 0 (1) M-1, \quad (3.75)$$

deren Varianz 1 ist, deren Real- und Imaginärteil unkorreliert sind und deren zweidimensionale Verbundverteilung eine mittelwertfreie Normalverteilung ist, wenn man die Konstanten

$$c_1(\mu) = \sqrt{\frac{C_{\hat{\mathbf{H}}(\mu), \hat{\mathbf{H}}(\mu)} + \sqrt{C_{\hat{\mathbf{H}}(\mu), \hat{\mathbf{H}}(\mu)}^2 - |C_{\hat{\mathbf{H}}(\mu), \hat{\mathbf{H}}(\mu)}^*|^2}}{C_{\hat{\mathbf{H}}(\mu), \hat{\mathbf{H}}(\mu)}^2 - |C_{\hat{\mathbf{H}}(\mu), \hat{\mathbf{H}}(\mu)}^*|^2}} \cdot e^{-\frac{j}{2} \cdot \arg\{C_{\hat{\mathbf{H}}(\mu), \hat{\mathbf{H}}(\mu)}^*\}} \quad (3.76a)$$

und

$$c_2(\mu) = \sqrt{\frac{C_{\hat{\mathbf{H}}(\mu), \hat{\mathbf{H}}(\mu)} - \sqrt{C_{\hat{\mathbf{H}}(\mu), \hat{\mathbf{H}}(\mu)}^2 - |C_{\hat{\mathbf{H}}(\mu), \hat{\mathbf{H}}(\mu)}^*|^2}}{C_{\hat{\mathbf{H}}(\mu), \hat{\mathbf{H}}(\mu)}^2 - |C_{\hat{\mathbf{H}}(\mu), \hat{\mathbf{H}}(\mu)}^*|^2}} \cdot e^{\frac{j}{2} \cdot \arg\{C_{\hat{\mathbf{H}}(\mu), \hat{\mathbf{H}}(\mu)}^*\}} \quad (3.76b)$$

verwendet. Man beachte dabei, dass die unter den Wurzeln stehenden Terme stets positiv sind (siehe Anhang A.2). Die Linien konstanter Werte der Verteilungsdichtefunktion der Zufallsgröße $\Delta\tilde{\mathbf{H}}(\mu)$ sind konzentrische Kreise um den Nullpunkt. Wir bestimmen nun den Radius des Kreises, der ein Gebiet umschließt, in dem das Integral über die Verteilungsdichtefunktion den Wert $1-\alpha$ liefert. Da das Betragsquadrat der Zufallsgröße $\Delta\tilde{\mathbf{H}}(\mu)$ mit zwei Freiheitsgraden χ^2 -verteilt ist, kann der gesuchte Radius aus der inversen Verteilungsfunktion der χ^2 -Verteilung berechnet werden.

$$R = \sqrt{-2 \cdot \ln(\alpha)} \quad (3.77)$$

Die Winkel der komplexen Konstanten $c_1(\mu)$ und $c_2(\mu)$ wurden gegengleich gewählt, so dass die Werte R und $j \cdot R$ bei der Umkehrabbildung

$$\Delta\hat{\mathbf{H}}(\mu) = \frac{c_1(\mu)^* \cdot \Delta\tilde{\mathbf{H}}(\mu) + c_2(\mu) \cdot \Delta\tilde{\mathbf{H}}(\mu)^*}{|c_1(\mu)|^2 - |c_2(\mu)|^2} \quad (3.78)$$

gerade die große und die kleine Halbachse der Ellipse des Urbildes des Kreises mit dem Radius R ergeben. Diese Ellipse ist eine Linie konstanter Werte der Verteilungsdichtefunktion der Zufallsgröße $\Delta \hat{\mathbf{H}}(\mu)$, weil der Betrag der Funktionaldeterminante der Abbildung mit $|c_1(\mu)|^2 - |c_2(\mu)|^2$ einen konstanten Wert annimmt. Für die Halbachsen erhält man

$$A_{1,H}(\mu) = \sqrt{-\ln(\alpha) \cdot \left(C_{\hat{\mathbf{H}}(\mu), \hat{\mathbf{H}}(\mu)} + |C_{\hat{\mathbf{H}}(\mu), \hat{\mathbf{H}}(\mu)^*}| \right)} \cdot e^{\frac{j}{2} \cdot \Re\{C_{\hat{\mathbf{H}}(\mu), \hat{\mathbf{H}}(\mu)^*}\}} \quad (3.79a)$$

und

$$A_{2,H}(\mu) = j \cdot \sqrt{-\ln(\alpha) \cdot \left(C_{\hat{\mathbf{H}}(\mu), \hat{\mathbf{H}}(\mu)} - |C_{\hat{\mathbf{H}}(\mu), \hat{\mathbf{H}}(\mu)^*}| \right)} \cdot e^{\frac{j}{2} \cdot \Re\{C_{\hat{\mathbf{H}}(\mu), \hat{\mathbf{H}}(\mu)^*}\}}. \quad (3.79b)$$

Für die folgende Beschreibung der aus der Konfidenzellipse ablesbaren Werte kann Bild 7.7 herangezogen werden. Die Neigung der längeren Halbachse kann unmittelbar als der halbe Winkel der Kovarianz des Messwertes angegeben werden. Die kürzere Halbachse steht wegen des Vorfaktors j senkrecht auf der längeren Halbachse. Der Summe der Quadrate der Längen der Halbachsen ist proportional zur Varianz des Messwertes. Die Differenz der Quadrate der Längen der Halbachsen ist proportional zum Betrag der Kovarianz des Messwertes. Wählt man $\alpha = e^{-0,5} \approx 0,60653$ so erhält man $R = 1$. An die sich damit ergebende Ellipse kann man ein Rechteck in der Art anpassen, dass jede Seite des Rechtecks die Ellipse berührt. Unabhängig davon, welcher Winkel zwischen den Halbachsen und den Seiten des Rechtecks dabei gewählt wird, ist die halbe Länge der Diagonale immer die Streuung des Messwertes. Für Messwerte, deren Real- und Imaginärteil linear abhängig sind, wird der Betrag des Korrelationskoeffizienten Eins. Dann wird auch der Betrag der komplexen Kovarianz gleich der Varianz des Messwertes, und die Ellipse entartet zu einem Geradenstück, deren Neigung die lineare Abhängigkeit des Real- und Imaginärteils zeigt.

Die Wahrscheinlichkeit $1 - \alpha$ (Konfidenzniveau), dass die Zufallsgröße $\Delta \tilde{\mathbf{H}}(\mu)$ innerhalb des Kreises mit dem Radius R liegt, ist gleich der Wahrscheinlichkeit, dass die Zufallsgröße $\Delta \hat{\mathbf{H}}(\mu)$ innerhalb der Ellipse mit den eben berechneten Halbachsen um den Ursprung liegt, und ist somit gleich der Wahrscheinlichkeit, dass der Messwert $\hat{\mathbf{H}}(\mu)$ innerhalb der Ellipse mit denselben Halbachsen um den wahren Wert $H(\mu \cdot 2\pi/M)$ der Übertragungsfunktion liegt. Diese Wahrscheinlichkeit ist wiederum gleich der Wahrscheinlichkeit, dass der wahren Wert der Übertragungsfunktion innerhalb der zufällig parallelverschobenen Ellipse mit diesen Halbachsen um den zufälligen Messwert $\hat{\mathbf{H}}(\mu)$ liegt. Somit bildet die Ellipse mit diesen Halbachsen und dem Messwert als Mittelpunkt ein Konfidenzgebiet für den wahren Wert der Übertragungsfunktion.

Exakt können die Halbachsen dieser Ellipse nicht angegeben werden, da weder die Varianz $C_{\hat{\mathbf{H}}(\mu), \hat{\mathbf{H}}(\mu)}$ noch die Kovarianz $C_{\hat{\mathbf{H}}(\mu), \hat{\mathbf{H}}(\mu)^*}$ bekannt sind. Man kann diese Größen jedoch

anhand der gemessenen Werte nach Gleichung (3.59) und (3.64) abschätzen, und erhält so eine Abschätzung für die Halbachsen der Konfidenzellipse des Wertes der Übertragungsfunktion für das Konfidenzniveau $1 - \alpha$.

$$\hat{A}_{1,H}(\mu) = \sqrt{-\ln(\alpha) \cdot \left(\hat{C}_{\hat{\mathbf{H}}(\mu), \hat{\mathbf{H}}(\mu)} + |\hat{C}_{\hat{\mathbf{H}}(\mu), \hat{\mathbf{H}}(\mu)^*}| \right)} \cdot e^{\frac{j}{2} \cdot \Re\{\hat{C}_{\hat{\mathbf{H}}(\mu), \hat{\mathbf{H}}(\mu)^*}\}} \quad (3.80a)$$

$$\hat{A}_{2,H}(\mu) = j \cdot \sqrt{-\ln(\alpha) \cdot \left(\hat{C}_{\hat{\mathbf{H}}(\mu), \hat{\mathbf{H}}(\mu)} - |\hat{C}_{\hat{\mathbf{H}}(\mu), \hat{\mathbf{H}}(\mu)^*}| \right)} \cdot e^{\frac{j}{2} \cdot \Re\{\hat{C}_{\hat{\mathbf{H}}(\mu), \hat{\mathbf{H}}(\mu)^*}\}} \quad (3.80b)$$

$$\forall \quad \mu = 0 \quad \vee \quad \mu = \frac{M}{2}$$

und

$$\hat{A}_{1,H}(\mu) = -j \cdot \hat{A}_{2,H}(\mu) = \sqrt{-\ln(\alpha) \cdot \hat{C}_{\hat{\mathbf{H}}(\mu), \hat{\mathbf{H}}(\mu)}} \quad \text{sonst} \quad (3.80c)$$

Da wir bei der Berechnung der Messwertvarianzen und Kovarianzen die Messwerte $\hat{\Phi}_{\mathbf{n}}(\mu)$ und $\hat{\Psi}_{\mathbf{n}}(\mu)$ nach Gleichung (3.56) und (3.57) verwenden, die der Gleichung (3.38) genügen, sind die Schätzwerte für die Varianzen größer als die Beträge der Schätzwerte für die Kovarianzen der Messwerte der Übertragungsfunktion und es ist theoretisch sichergestellt, dass unter den Wurzeln niemals eine negative Größe auftritt. Dennoch sollte man die Radikanden auf nichtnegative Werte begrenzen, da es bei der gesamten Berechnung der Radikanden zu Fehlern kommt, die durch die begrenzte Wortlänge des verwendeten Rechners verursacht werden, und die — abweichend von der Theorie — zu schwach negativen Radikanden führen und numerische Probleme verursachen können.

Bei der Berechnung der Schätzwerte für die Halbachsen der Konfidenzellipsen tritt neben dem Betrag der Kovarianz auch noch deren Winkel auf, der bei kleinen Werten der Kovarianz aufgrund der Zufälligkeit der Messergebnisse nahezu gleichverteilt sein wird. Da in diesem Fall die Konfidenzellipsen zu Kreisen werden, ist der Winkel der Halbachsen bei verschwindender Kovarianz jedoch bedeutungslos, sofern die Halbachsen nur senkrecht aufeinander stehen. Dies ist durch den Faktor j vor der Wurzel bei der zweiten Halbachse der Ellipse immer sichergestellt.

Die Konfidenzellipse kann in Parameterdarstellung mit dem Parameter φ und den Schätzwerten der Halbachsen folgendermaßen angegeben werden:

$$\hat{H}(\mu) + \hat{A}_{1,H}(\mu) \cdot \cos(\varphi) + \hat{A}_{2,H}(\mu) \cdot \sin(\varphi) \quad \text{mit} \quad 0 \leq \varphi < 2\pi \quad (3.81)$$

Entsprechend erhält man die Schätzwerte für die Konfidenzellipsen der Messwerte $\hat{\Psi}_{\mathbf{n}}(\mu)$, indem man in den Gleichungen (3.79) die wahre Varianz und Kovarianz der Messwerte durch deren Schätzwerte gemäß der Gleichungen (3.70) ersetzt. Dabei verwenden wir

wieder die Messwerte $\hat{\Phi}_n(\mu)$ und $\hat{\Psi}_n(\mu)$ nach Gleichung (3.56) und (3.57), die der Gleichung (3.38) genügen, und bei denen keine Gefahr besteht, dass bei der Berechnung der Länge der kürzeren Halbachse der Konfidenzellipse ein negativer Radikand entsteht.

In den Kapiteln 7.5 und 7.6 werden an zwei Beispielen die Konfidenzgebiete veranschaulicht, und für das Konfidenzniveau $\alpha = 10\%$ dieses mit der bei 1000 Messungen gewonnenen relativen Häufigkeit, dass der theoretische Wert außerhalb des Konfidenzgebiets liegt, verglichen.

3.12 Spezielle Testsignale

Eine Reduktion des Aufwands des RKM kann dadurch erreicht werden, dass man zur Messung spezielle Signale verwendet. Diese Signale sind zum einen das zufällige Mehrtonsignal und zum anderen das zufällige Chirpsignal. In Kapitel 2.1 hatten wir festgestellt, dass die optimale Lösung der Regression, also die optimale Systemapproximation, u. U. von der Wahl des erregenden Prozesses abhängen kann. Die im folgenden vorgestellten Testsignale können daher nur dann verwendet werden, wenn man sicher sein kann, dass die Substitution des für den Betriebszustand typischen, erregenden Zufallsprozesses durch einen der beiden bereichsweise periodischen Zufallsprozesse des Mehrton- bzw. des Chirpsignals in der Art vorgenommen werden kann, dass es für diese Arten der Erregung nur Lösungen für die Übertragungsfunktion $H(\mu \cdot 2\pi/M)$ gibt, die auch Lösungen im Fall der Erregung durch den für den Betriebszustand typischen Zufallsprozess sind.

3.12.1 Das Mehrtonsignal

In [1] wurde vorgeschlagen, beim RKM sogenannte Mehrtonsignale zu verwenden. Bei diesen Testsignalen ist das Betragsspektrum $|V_\lambda(\mu)|$ bei allen Einzelmessungen konstant $|V(\mu)|$ und von λ unabhängig. Die Phase stammt aus einem reellen Zufallsvektor mit den M Elementen $\varphi(\mu)$. Meist wird man diese zwischen $-\pi$ und π gleichverteilt und für die M Frequenzen unabhängig wählen. Die Testsignale der Einzelmessungen erhält man mit den L Elementen $\varphi_\lambda(\mu)$ einer konkreten Stichprobe der Zufallsgrößen $\varphi(\mu)$.

$$V_\lambda(\mu) = V(\mu) \cdot e^{j \cdot \varphi_\lambda(\mu)} \quad (3.82)$$

Die Wahl des bei allen Einzelmessungen konstanten Betragsspektrums des Testsignals bietet im wesentlichen drei Vorteile. Zum einen wird eine Reduzierung des Rechenaufwands

erreicht, da dann die Summen über alle Betragsquadrate der Spektralwerte des Eingangssignals, die sonst mit Hilfe von Akkumulatoren berechnet werden müssten, konstant sind:

$$\vec{V}(\mu) \cdot \vec{V}(\mu)^H = \sum_{\lambda=1}^L V_{\lambda}(\mu) \cdot V_{\lambda}(\mu)^* = L \cdot |V(\mu)|^2. \quad (3.83)$$

Der zweite Vorteil besteht darin, dass man vor Beginn der Messung die Gesamtleistung der Erregung auf unterschiedliche Frequenzbereiche unterschiedlich verteilen kann. Somit kann auch der Erwartungswert des inversen zweiten empirischen Moments des Spektrums des Mehrtonsignals in den unterschiedlichen Frequenzbereichen variiert werden, wodurch erreicht werden kann, dass man in einigen Frequenzbereichen eine geringere Varianz der Messwerte der Übertragungsfunktion erzwingen kann. Bei konstanter Gesamtleistung erkauft man sich diese Erhöhung der Messgenauigkeit auf Kosten einer höheren Messwertvarianz in den anderen Frequenzbereichen. Schließlich ergibt sich noch der dritte Vorteil, dass die Erwartungstreue der Messwerte der Übertragungsfunktion auch dann gegeben ist, wenn die zufälligen Spektralwerte $\mathbf{N}_f(\mu)$ der gefensterten Störung des realen Systems *nicht* unabhängig von den Spektralwerten $\mathbf{V}(\mu)$ der Erregung bei derselben Frequenz sind. Dies wurde in Gleichung (3.20) gezeigt.

3.12.2 Das Chirpsignal

Man kann als Testsignal auch eine nicht zufällige bereichsweise mit M periodische Signalsequenz $v_C(k)$ mit der Fouriertransformierten $V_C(\mu)$ verwenden, die man bei jeder Einzelmessung λ mit dem für alle Frequenzen gleichen Drehfaktor $e^{j \cdot \varphi_{\lambda}}$ multipliziert.

$$V_{\lambda}(\mu) = V_C(\mu) \cdot e^{j \cdot \varphi_{\lambda}} \quad (3.84)$$

φ_{λ} ist dabei jeweils ein Element einer konkreten Stichprobe vom Umfang L , die einer reellen Zufallsgröße φ entnommen wird. Solch ein Testsignal weist bei allen Einzelmessungen ebenfalls ein konstantes Betragsspektrum auf, weil das Spektrum der Erregung bei der Einzelmessung λ lediglich gegenüber dem konstanten Spektrum $V_C(\mu)$ mit dem Faktor $e^{j \cdot \varphi_{\lambda}}$ verdreht wird. Die Vorteile, die die Verwendung des Mehrtonsignals bietet, sind auch bei dieser Art von Testsignal vorhanden. Ein weiterer Vorteil ist, dass sowohl das Zeitsignal, als auch das Spektrum der Erregung durch einfache Multiplikation mit dem Drehfaktor, und somit ohne eine DFT bei jeder Einzelmessung durchführen zu müssen, berechnet werden können.

In [4] wurde vorgeschlagen für das RKM als nicht zufällige bereichsweise mit M periodische Signalsequenz $v_C(k)$ ein Chirpsignal

$$v_C(k) = \frac{V_C}{\sqrt{M}} \cdot e^{j \cdot \frac{\pi}{M} \cdot k^2} \quad (3.85)$$

mit der Fouriertransformierten

$$V_C(\mu) = V_C \cdot e^{j \cdot \frac{\pi}{4}} \cdot e^{-j \cdot \frac{\pi}{M} \cdot \mu^2} \quad (3.86)$$

zu verwenden, die dann wieder bei jeder Einzelmessung gemäß Gleichung (3.84) mit dem zufälligen Drehfaktor multipliziert wird. Zu beachten ist, dass M eine gerade Zahl sein muss, damit das Chirpsignal die gewünschte Periode M aufweist.

Der so erzeugte erregende periodische Zufallsprozess ist nicht stationär. Verschiebt man jedoch das periodische Chirpsignal um eine zufällige Zeit Δk mit einem im Intervall $[0; M-1]$ gleichverteiltem Δk so erhält man einen stationären erregenden Prozess und die in dieser Abhandlung hergeleitete Theorie des Messverfahrens behält ihrer Gültigkeit.

Bei einem Chirpsignal weisen sowohl der Real- als auch der Imaginärteil den guten Crest-Faktor⁶ von ca. $\sqrt{2}$ auf. Da bei realen Systemen die Teilsysteme, die die Verarbeitung der Real- und Imaginärteile bewerkstelligen, in aller Regel einen begrenzten Bereich für die eingangsseitige Maximalaussteuerung besitzen, kann mit diesem Signal bei einem festen Betrag des Spitzenwertes eine im Vergleich zu anderen Signalen hohe Signalleistung am Eingang des zu messenden Systems erreicht werden. Da bei der Varianz des Messwertes der Übertragungsfunktion nach Gleichung (3.58) der Erwartungswert der inversen empirischen Varianz des Spektrums der Erregung als Vorfaktor auftritt, kann die Mittelungsanzahl L bei Verwendung des Chirpsignals aufgrund der relativ großen Varianz reduziert werden, ohne dadurch die Qualität der Messung zu verringern. Die Verbesserung der Frequenzselektivität des RKM, die durch die Fensterung erreicht wird, bleibt durch die Wahl des Chirpsignals unbeeinflusst.

Anmerkung: Das zufällige komplexe Chirpsignal besitzt nur den einen reellen Freiheitsgrad φ . Dennoch besitzt bei der in dieser Abhandlung betrachteten Variante des RKM die theoretische Kovarianzmatrix $\underline{C}_{\hat{\vec{V}}(\mu), \hat{\vec{V}}(\mu)}$ nach Gleichung (3.46) des Zufallsvektors $\hat{\vec{V}}(\mu)$ nach Gleichung (3.47) den höchstmöglichen Rang 2 und ist somit regulär. Somit ist das Chirpsignal hier prinzipiell einsetzbar. Will man das komplexe Chirpsignal zur Messung zeitvarianter Systeme oder zyklostationärer Approximationenfehler verwenden, wie dies in [6] gezeigt wird, so reicht der eine Freiheitsgrad des Chirpsignals nicht aus, und man muss es modifizieren. Eine Möglichkeit, die in [5] vorgeschlagen wird, besteht darin, die unterschiedlichen Polyphasenkomponenten des erregenden Signals mit unabhängigen zufälligen Chirpsignalen zu besetzen. Auf den guten Crest-Faktor hat dies keinen Einfluss, jedoch geht die Konstanz des Spektrums verloren.

⁶Verhältnis aus dem Betrag des Signalspitzenwertes und dem Effektivwert

4 Messung reellwertiger Systeme

In diesem Kapitel wird untersucht, wie das in Kapitel 3 vorgestellte Messverfahren zur Messung reellwertiger realer Systeme benutzt werden kann, und welche Vereinfachungen sich ergeben, wenn man das RKM zur Messung komplexwertiger Systeme unverändert auf reellwertige Systeme anwendet, wobei man lediglich die komplexen Signale durch reelle ersetzt. Es folgt eine Untersuchung, unter welchen Voraussetzungen man die zufälligen komplexen Mehrton- oder Chirpsignale unverändert verwenden kann, und wie diese zu modifizieren sind, wenn die Voraussetzungen nicht erfüllt sind. Auch in diesem Kapitel beschränken wir uns auf die Behandlung solcher Systeme, die von mittelwertfreien, statio-nären Prozessen erregt und gestört werden. Drei weitere Varianten des RKM zur Messung reellwertiger realer Systeme werden in [6] kurz behandelt.

4.1 Eine Variante des RKM zur Messung reellwertiger Systeme

Zunächst soll kurz dargestellt werden, welchen Einfluss die Reellwertigkeit des zu mes-senden Systems auf die theoretischen Größen der optimalen Approximation des realen Systems durch das in Bild 1.1 dargestellte Systemmodell hat. Als Eingangssignal nehmen wir weiterhin die mit M periodischen Signalsequenzen der Länge $E+F$, die nun aber reell sind, so dass für die Zufallsgrößen der Spektralwerte des Eingangssignals die Symmetrie

$$\mathbf{V}(\mu) = \mathbf{V}(-\mu)^* \quad (4.1)$$

gilt. Bei reeller Erregung messen wir am Ausgang des realen Systems ein ebenfalls reelles Signal $\mathbf{y}(k)$. Wenn wir eine reelle Fensterfolge verwenden (die im Kapitel 6 vorgestellten Fensterfolgen sind reell), ist auch das gefensterte Ausgangssignal reell und die Spektral-werte des gefensterten Systemausgangssignals weisen dieselbe Symmetrie auf.

$$\mathbf{Y}_f(\mu) = \mathbf{Y}_f(-\mu)^* \quad (4.2)$$

Auch beim reellwertigen System werden die Parameter der Systemapproximation so ge-wählt, dass das zweite Moment des weiterhin nach Gleichung (2.9) definierten Approx-iationsfehlers minimiert wird. Der zu minimierende Term ist also weiterhin unverändert

durch Gleichung (2.10) beschrieben. Wenn man voraussetzt, dass die Varianzen aller M Zufallsgrößen $\mathbf{V}(\mu)$ von Null verschieden sind, erhält man mit Gleichung (2.28) die Lösung für die theoretischen Werte der Übertragungsfunktion, die hier ebenfalls die Symmetrie

$$H\left(\mu \cdot \frac{2\pi}{M}\right) = H\left(-\mu \cdot \frac{2\pi}{M}\right)^* \quad (4.3)$$

aufweist. Bei einem reellwertigen System liefert also die optimale Approximierung immer ein reellwertiges Modellsystem, dem sich ausgangsseitig eine reelle Störung überlagert. Zur vollständigen Beschreibung der zweiten Momente des Approximationsfehlerprozesses genügt daher die Angabe der reellen AKF, aus der man im hier angenommenen Fall eines stationären Approximationsfehlerprozesses durch diskrete Fouriertransformation das geradesymmetrische reelle LDS $\Phi_n(\Omega)$ gewinnt. Das bei einem komplexwertigen System noch anzugebende MLDS $\Psi_n(\Omega)$ ist hier identisch mit dem LDS. Auf die Messung der Stufenapproximation $\bar{\Psi}_n(\mu)$ oder deren Näherung $\tilde{\Psi}_n(\mu)$ kann daher bei einem reellwertigen System verzichtet werden. Auch bei einem reellwertigen System liefert die Minimierung des zweiten Moments des Approximationsfehlers eine Lösung, bei der die Orthogonalität des Spektrums der Erregung und des Spektrums des gefensterten Approximationsfehlers gegeben ist, so dass auch hier Gleichung (2.30) erfüllt ist.

Um Schätzwerte für die optimalen Regressionskoeffizienten durch eine Messung zu erhalten, erregt man das System mit dem in Kapitel 3 beschriebenen Verfahren, also mit L reellen Testsignalsequenzen, die bereichsweise mit M periodisch fortgesetzt sind. Was man misst, ist nur der Realteil der L Stichprobenelemente des Ausgangssignals des realen Systems. Der Imaginärteil der L Systemausgangssignale wird bei der Berechnung der Messwerte und ihrer Varianzen und Kovarianzen zu Null gesetzt. Da jedes Stichprobenelement (= Signalabschnitt einer Einzelmessung) sowohl am Systemeingang als auch am -ausgang reell ist, weisen beide Stichprobenvektoren $\vec{V}(\mu)$ und $\vec{Y}_f(\mu)$ die Symmetrie

$$\vec{V}(\mu) = \vec{V}(-\mu)^* \quad \text{bzw.} \quad \vec{Y}_f(\mu) = \vec{Y}_f(-\mu)^* \quad (4.4)$$

auf. Die M Ausgleichslösungen (3.14) der M Gleichungssysteme (3.11) besitzen dann ebenfalls die Symmetrieeigenschaft

$$\hat{H}(\mu) = \hat{H}(-\mu)^*. \quad (4.5)$$

Daher genügt es bei geradem M — wovon wir im weiteren ausgehen — die jeweils $M/2 + 1$ Werte der Lösung für $\mu = 0$ (1) $M/2$ zu berechnen. Da wir bisher keine Modifikationen im Messverfahren vorgenommen haben, braucht die Erwartungstreue der Messwerte $\hat{\mathbf{H}}(\mu)$ nicht gesondert gezeigt zu werden.

Auch bei einem reellwertigen System verwenden wir für die Abschätzung der Stufenapproximation des LDS die immer reellen und erwartungstreuen Messwerte $\hat{\Phi}_n(\mu)$ nach Gleichung (3.34). Dabei verwenden wir weiterhin die Matrix $\underline{V}_\perp(\mu)$, die nach Gleichung (3.24)

den Vektor $\vec{V}(\mu)$ als Eigenvektor zum Eigenwert Null aufweist. Bei der Konstruktion dieser Matrix nach Gleichung (3.45) ergibt sich nun jedoch ein wesentlicher Unterschied. Für komplexwertige Systeme wurde diese mit Hilfe der in Gleichung (3.40) definierten Matrix $\hat{V}(\mu)$ generiert. Da bei einem reellwertigen System die beiden Zeilenvektoren $\vec{V}(\mu)$ und $\vec{V}(-\mu)^*$ der Matrix $\hat{V}(\mu)$ immer gleich sind, wäre die mit Gleichung (3.42) berechenbare empirische Kovarianzmatrix immer singulär, und somit eine Berechnung der Matrix $\underline{V}_\perp(\mu)$ mit Gleichung (3.45) nicht möglich. Daher entfernen wir nun den Vektor $\vec{V}(-\mu)^*$ aus der Matrix $\hat{V}(\mu)$, so dass

$$\hat{V}(\mu) = \vec{V}(\mu) \quad \forall \mu = 0 (1) M-1 \quad (4.6)$$

gilt. Die weitere Berechnung der Matrix $\underline{V}_\perp(\mu)$ kann dann wieder mit Hilfe der Gleichungen (3.42) und (3.45) erfolgen und ergibt:

$$\underline{V}_\perp(\mu) = \underline{E} - \frac{\vec{V}(\mu)^H \cdot \vec{V}(\mu)}{\vec{V}(\mu) \cdot \vec{V}(\mu)^H} \quad \forall \mu = 0 (1) \frac{M}{2}. \quad (4.7)$$

Dass auch diese Matrix hermitesch und idempotent ist, und den Vektor $\vec{V}(\mu)$ als Eigenvektor zum Eigenwert Null aufweist, zeigt man wie im Fall des komplexwertigen Systems. Die Spur dieser Matrix ist nun jedoch $L-1$ und somit um eins größer. Indem wir die modifiziert konstruierte Matrix $\underline{V}_\perp(\mu)$ in die Gleichung (3.34) einsetzen, erhalten wir die gegenüber der Gleichung (3.56) leicht modifizierten Messwerte:

$$\begin{aligned} \hat{\Phi}_n(\mu) &= \frac{1}{M \cdot (L-1)} \cdot \vec{N}_f(\mu) \cdot \underline{V}_\perp(\mu) \cdot \vec{N}_f(\mu)^H = \\ &= \frac{1}{M \cdot (L-1)} \cdot \vec{Y}_f(\mu) \cdot \underline{V}_\perp(\mu) \cdot \vec{Y}_f(\mu)^H = \\ &= \frac{1}{M \cdot (L-1)} \cdot \vec{Y}_f(\mu) \cdot \left(\underline{E} - \frac{1}{L} \cdot \vec{V}(\mu)^H \cdot \hat{C}_{\mathbf{V}(\mu), \mathbf{V}(\mu)}^{-1} \cdot \vec{V}(\mu) \right) \cdot \vec{Y}_f(\mu)^H = \\ &= \frac{L}{M \cdot (L-1)} \cdot \left(\frac{\vec{Y}_f(\mu) \cdot \vec{Y}_f(\mu)^H}{L} - \frac{\vec{Y}_f(\mu) \cdot \vec{V}(\mu)^H}{L} \cdot \hat{C}_{\mathbf{V}(\mu), \mathbf{V}(\mu)}^{-1} \cdot \frac{\vec{V}(\mu) \cdot \vec{Y}_f(\mu)^H}{L} \right) = \\ &= \frac{L}{M \cdot (L-1)} \cdot \left(\hat{C}_{\mathbf{Y}_f(\mu), \mathbf{Y}_f(\mu)} - \hat{C}_{\mathbf{Y}_f(\mu), \mathbf{V}(\mu)} \cdot \hat{C}_{\mathbf{V}(\mu), \mathbf{V}(\mu)}^{-1} \cdot \hat{C}_{\mathbf{Y}_f(\mu), \mathbf{V}(\mu)}^* \right) = \\ &= \frac{\vec{Y}_f(\mu) \cdot \vec{Y}_f(\mu)^H - |\hat{H}(\mu)|^2 \cdot \vec{V}(\mu) \cdot \vec{V}(\mu)^H}{M \cdot (L-1)} \\ &\quad \forall \mu = 0 (1) \frac{M}{2}. \end{aligned} \quad (4.8)$$

Die Messwerte der Übertragungsfunktion sind für die beiden diskreten Frequenzen $\mu=0$ und $\mu=M/2$ immer reell. Für diese beiden Messwerte kann in der Gleichung (3.63) für die Messwertkovarianz aufgrund der Identität (4.1) $\hat{C}_{\mathbf{V}(\mu), \mathbf{V}(-\mu)}^*$ mit $\hat{C}_{\mathbf{V}(\mu), \mathbf{V}(\mu)}$ gekürzt werden. Außerdem kann $\tilde{\Psi}_{\mathbf{n}}(\mu)$ durch $\tilde{\Phi}_{\mathbf{n}}(\mu)$ ersetzt werden. Damit ergibt sich in den Gleichungen (3.58) und (3.63) jeweils eine Messwertkovarianz, die gleich der Messwertvarianz ist. Ebenso sind deren Schätzwerte gemäß der Gleichungen (3.59) und (3.64) gleich. Die Länge der kürzeren Halbachse der Konfidenzellipse wird hier zu Null. Daher ist es für diese beiden diskreten Frequenzen sinnvoll — statt der Konfidenzellipsen — Konfidenzintervalle analog zu den Konfidenzintervallen der LDS-Messwerte nach Gleichung (3.73) anzugeben. Die halbe Intervallbreite wird mit Gleichung (3.72) abgeschätzt, wobei hier die Schätzwerte der Varianzen von $\hat{\Phi}_{\mathbf{n}}(\mu)$ durch die Schätzwerte der Varianzen von $\hat{\mathbf{H}}(\mu)$ zu ersetzen sind. Bei den komplexen Messwerten der Übertragungsfunktion aller anderen Frequenzen wird die Messwertkovarianz bei Verwendung einer hoch frequenzselektiven Fensterfolge gegenüber der Messwertvarianz wieder vernachlässigbar klein, so dass man auch beim reellwertigen System Konfidenzkreise erhält, deren Radius man mit Gleichung (3.80c) aus der Messwertvarianz und dem gewünschten Konfidenzniveau abschätzt.

Die Varianzen der Messwerte $\hat{\Phi}_{\mathbf{n}}(\mu)$ lassen sich mit den Gleichungen (3.66a) und (3.68) berechnen:

$$C_{\hat{\Phi}_{\mathbf{n}}(\mu), \hat{\Phi}_{\mathbf{n}}(\mu)} = \begin{cases} \frac{2}{L-1} \cdot \tilde{\Phi}_{\mathbf{n}}(\mu)^2 & \text{für } \mu \in \{0; \frac{M}{2}\} \\ \frac{1}{L-1} \cdot \tilde{\Phi}_{\mathbf{n}}(\mu)^2 & \text{für } \mu = 1 (1) \frac{M-1}{2}. \end{cases} \quad (4.9)$$

Wir verwenden

$$\hat{C}_{\hat{\Phi}_{\mathbf{n}}(\mu), \hat{\Phi}_{\mathbf{n}}(\mu)} = \begin{cases} \frac{2}{L+1} \cdot \hat{\Phi}_{\mathbf{n}}(\mu)^2 & \text{für } \mu \in \{0; \frac{M}{2}\} \\ \frac{1}{L} \cdot \hat{\Phi}_{\mathbf{n}}(\mu)^2 & \text{für } \mu = 1 (1) \frac{M-1}{2} \end{cases} \quad (4.10)$$

als erwartungstreue Schätzwerte der Messwertvarianzen, mit deren Hilfe man die halbe Breite der Konfidenzintervalle nach Gleichung (3.73) mit Gleichung (3.72) abschätzt.

Diese Variante des RKM ist in [1] vorgestellt und untersucht worden. Dort wurde allerdings keine Fensterung ($\hat{\equiv}$ Rechteckfenster der Länge M) des Ausgangssignals des realen Systems vorgenommen und es werden dort Messwerte und Schätzwerte für die Messwertvarianzen angegeben, die in einigen Details von den hier angegebenen abweichen. Für genügend große Mittelungszahlen L sind die Abweichungen vernachlässigbar.

4.2 Spezielle Testsignale bei reellwertigen Systemen

Bisher haben wir das reellwertige System in den unterschiedlichen Zeitintervallen aller Einzelmessungen immer mit konkreten Realisierungen erregt, die unabhängig aus einem Zufallsvektor \vec{v} bzw. \vec{V} gewonnen wurden. Bei den Stichprobenvektoren $\vec{V}(\mu)$ handelte es sich also um die Zeilenvektoren einer konkreten Realisierung einer zufälligen Stichprobenmatrix also einer mathematischen Stichprobe von Umfang L des Zufallsvektors \vec{V} . Unter Umständen kann man jedoch auch Zufallssignalsequenzen zur Erregung des Systems verwenden, die bei den Einzelmessungen voneinander abhängig sind. Man muss sich dann jedoch sicher sein, dass die gemessenen Werte der Übertragungsfunktion — bei geeigneter Wahl des erregenden Zufallsvektors \vec{V} — nicht durch diese Abhängigkeit der einzelnen Stichprobenelemente verfälscht werden und auch dann mit den Optimallösungen der theoretischen Regression übereinstimmen. Trotz der Abhängigkeit der Zufallssignalsequenzen der Erregung kann es sein, dass die einzelnen Stichprobenelemente des Approximationsfehlers dennoch — wenigstens in guter Näherung — unabhängig sind. In diesem Fall werden bei der Messung des Leistungsdichtespektrums des Approximationsfehlers keine Probleme auftreten. Wenn die in den Einzelmessungen abhängige Erregung zu Abhängigkeiten in den einzelnen Stichprobenelementen des Approximationsfehlers führt, müssen heuristische Überlegungen zeigen, dass sich die Messwerte des Leistungsdichtespektrums durch die veränderte Art der Erregung nicht beeinflussen lassen.

Eine Möglichkeit das System mit voneinander abhängigen Zufallssignalsequenzen zu erregen besteht bei gerader Anzahl von Einzelmessungen darin, in zwei aufeinanderfolgenden Einzelmessungen am realen, reellwertigen System jeweils den Real- und den Imaginärteil einer komplexen Signalfolge zu verwenden, wobei die komplexe Signalfolge jeweils ein Element einer konkreten Stichprobe halben Umfangs einer komplexen zufälligen Erregung mit geeigneten stochastischen Eigenschaften ist.

Wenn wir mit $\lambda_g = 1 (1) L/2$ den Laufindex der $L/2$ Elemente $V_{K,\lambda_g}(\mu)$ der konkreten Stichprobe vom Umfang $L/2$ der komplexen Zufallsgröße $\mathbf{V}_K(\mu)$ bezeichnen, erhalten wir die L Spektralwerte $V_\lambda(\mu)$

$$\begin{aligned} V_{2\cdot\lambda_g-1}(\mu) &= \frac{V_{K,\lambda_g}(\mu) + V_{K,\lambda_g}(-\mu)^*}{2} & \text{mit } \lambda_g = 1 (1) \frac{L}{2} \\ V_{2\cdot\lambda_g}(\mu) &= \frac{V_{K,\lambda_g}(\mu) - V_{K,\lambda_g}(-\mu)^*}{2 \cdot j} \end{aligned} \quad (4.11)$$

der konkreten Erregung im Zeitintervall der λ -ten Einzelmessung, die immer die Symmetrie aufweisen, die für Spektren reeller Signale typisch ist.

Wenn bei dem zu vermessenden System bei Einhaltung gewisser Dynamikgrenzen nicht zu erwarten ist, dass die Wahl des erregenden Zufallsvektors einen Einfluss auf die theoretisch

optimalen Regressionskoeffizienten und die stochastischen Eigenschaften des Approximationfehlers hat, kann man als Zufallsvektor der Spektralwerte der komplexen Erregung entweder das komplexe Mehrtonsignal oder das komplexe Chirpsignal verwenden. Beide wurden in Kapitel 3.12 vorgestellt, und weisen ein Spektrum auf, dessen Betrag $|V_K(\mu)|$ nicht zufällig ist. Mit diesen Signalen erhält man für das empirische zweite Moment

$$\begin{aligned}
 \vec{V}(\mu) \cdot \vec{V}(\mu)^H &= \sum_{\lambda=1}^L |V_\lambda(\mu)|^2 = \sum_{\lambda_g=1}^{L/2} \left(|V_{2 \cdot \lambda_g - 1}(\mu)|^2 + |V_{2 \cdot \lambda_g}(\mu)|^2 \right) = \\
 &= \sum_{\lambda_g=1}^{L/2} \left(\left| \frac{V_{K, \lambda_g}(\mu) + V_{K, \lambda_g}(-\mu)^*}{2} \right|^2 + \left| \frac{V_{K, \lambda_g}(\mu) - V_{K, \lambda_g}(-\mu)^*}{2 \cdot j} \right|^2 \right) = \\
 &= \sum_{\lambda_g=1}^{L/2} \frac{|V_{K, \lambda_g}(\mu)|^2 + |V_{K, \lambda_g}(-\mu)|^2}{2} = \sum_{\lambda_g=1}^{L/2} \frac{|V_K(\mu)|^2 + |V_K(-\mu)|^2}{2} = \\
 &= \frac{|V_K(\mu)|^2 + |V_K(-\mu)|^2}{4} \cdot L \\
 \forall \quad \mu &= 0 \ (1) \ \frac{M}{2} \tag{4.12}
 \end{aligned}$$

der Spektralwerte der Erregung einen nicht zufälligen Wert, der nur mehr von der Anzahl der Einzelmessungen und dem nicht zufälligen Betrag $|V_K(\mu)|$ des Spektrums des Zufallsvektors \vec{V}_K abhängt. Er muss daher nicht durch Akkumulation berechnet werden.

Wenn aber nun ein reales System zu vermessen ist, bei dem man sich nicht sicher sein kann, dass die Abhängigkeit der Erregung zweier aufeinanderfolgender Einzelmessungen keinen Einfluss auf die Messergebnisse haben wird, wenn man aber dennoch annehmen kann, dass eine Messung mit geeignet ausgesteuerten Signalen mit nichtzufälligem Betragsspektrum möglich sein müsste, so kann man evtl. mit den modifizierten reellen Mehrton- oder Chirpsignalen arbeiten, die nun vorgestellt werden.

Bei dem Mehrtonsignal nach Gleichung (3.82) ergibt sich die Modifikation durch die Symmetrieeigenschaft, die ein reelles Signal erfüllen muss. Man wählt bei geradem L bei jeder Einzelmessung die nichtzufälligen Teile der Spektralwerte der Mehrtonsignale in Gleichung (3.82) gemäß

$$V(-\mu) = V(\mu)^* \quad \forall \quad \mu = 1 \ (1) \ \frac{M}{2} - 1, \tag{4.13}$$

und die Phasenwerte $\varphi_\lambda(\mu)$ nur für die diskreten Frequenzen $\mu = 1 \ (1) \ M/2 - 1$ als konkrete Stichprobe aus einem reellen Zufallsvektor mit entsprechend vielen Elementen. Meist wird man diese zwischen $-\pi$ und π gleichverteilt und für diese Frequenzen unabhängig wählen. Da eine reelle Folge immer eine schiefsymmetrische Phase aufweisen muss, ergeben

sich die Phasenwerte negativer diskreter Frequenzen zu

$$\varphi_\lambda(-\mu) = -\varphi_\lambda(\mu) \quad \forall \mu = 1 (1) \frac{M}{2} - 1. \quad (4.14)$$

Die Phasenwerte der beiden Frequenzen $\mu=0$ und $\mu=M/2$ kann man gleichwahrscheinlich aus den zwei Werten 0 und π wählen. Mit dem so konstruierten reellen Mehrtonsignal kann man unabhängige Signalsequenzen zur Erregung des Systems in den Zeitintervallen der Einzelmessungen gewinnen, und man hat trotzdem ein nicht zufälliges empirisches zweites Moment der Spektralwerte der Erregung, das sich wieder nach Gleichung (3.83) berechnet. Wenn die Freiheit der Wahl des Vorzeichen der Spektralwerte $V_\lambda(0)$ und $V_\lambda(M/2)$ nicht ausreichend erscheint, kann man für diese beiden Frequenzen auch den Kosinus einer Phase verwenden, die man wie die anderen Phasenwerte aus einer Zufallsgröße unabhängig gewinnt. Dann ist allerdings für die Spektralwerte dieser beiden diskreten Frequenzen das empirische zweite Moment durch Akkumulation zu ermitteln.

Das Chirpsignal nach Gleichung (3.85) mit dem Spektrum nach Gleichung (3.86), das gemäß Gleichung (3.84) mit einem bei allen Frequenzen gleichen Drehfaktor mit einer Zufallsphase multipliziert wird, weist immer ein Spektrum auf, bei dem sowohl der Real- als auch der Imaginärteil geradesymmetrisch ist. Daher gelingt es nicht, durch geeignete Wahl einiger Nebenbedingungen daraus ein reelles zufälliges Testsignal zu konstruieren, dessen Spektrum die Symmetrie aufweist, die bei reellen Signalen immer vorhanden ist. Stattdessen kann man aber ein modifiziertes Chirpsignal verwenden, dessen Spektrum

$$V_\lambda(\mu) = V_C \cdot e^{-j \cdot \left(\frac{2\pi}{M} \cdot \mu \cdot |\mu| + \varphi_\lambda \cdot \frac{M}{\pi} \cdot \sin\left(\frac{2\pi}{M} \cdot \mu\right) \right)} \quad \forall \mu = 1 - \frac{M}{2} (1) \frac{M}{2}. \quad (4.15)$$

beim Betragsfrequenzgang einen konstanten reellen Wert V_C aufweist und daher geradesymmetrisch ist, und dessen Phasenverlauf schiefsymmetrisch ist. Die mit Hilfe einer DFT daraus gewonnenen Testsignale der Einzelmessungen sind daher immer reell. Der Phasenfrequenzgang setzt sich aus zwei Anteilen zusammen. Der erste Anteil ist quadratisch, wie dies bei Chirpsignalen üblich ist, und ist mit dem Vorzeichen von μ multipliziert, so dass dieser Phasenanteil schiefsymmetrisch ist. Im Gegensatz zum Phasengang des komplexen Chirpsignals nach Gleichung (3.86) ist der Koeffizient der quadratischen Phasenkomponente nun doppelt so groß. Der zweite Anteil des Phasengangs ist sinusförmig und daher schiefsymmetrisch und wird zum quadratischen Anteil mit einer Amplitude addiert, die einen Faktor φ_λ enthält, der bei dem Testsignal jeder Einzelmessung ein Element einer konkreten Stichprobe einer reellen Zufallsgröße φ ist.

Der große Vorteil bei der Verwendung eines komplexen Chirpsignals als Testsignal bestand darin, dass sowohl dessen Real- als auch dessen Imaginärteil den guten Crest-Faktor von ca. $\sqrt{2}$ aufweist, und man somit bei Systemen, die eingangsseitig einen begrenzten Bereich für die Maximalaussteuerung besitzen, bei Vollaussteuerung eine im Vergleich zu

anderen Signalen hohe Signalleistung am Eingang des zu messenden Systems erreicht. Dadurch erreicht man, dass man bei gleicher Messwertvarianz mit einer deutlich geringeren Mittelungsanzahl L bei der Messung der Übertragungsfunktion auskommt. Es zeigte sich, dass der Crestfaktor des hier vorgestellten reellen Chirpsignals für alle konkreten Realisierungen des Parameters φ_λ mit der Formel

$$\text{Cr}(\varphi_\lambda) = \frac{\max |v_\lambda(k)|}{\sqrt{\frac{1}{M} \cdot \sum_{k=1}^{M-1} v_\lambda(k)^2}} = \frac{\max |v_\lambda(k)|}{\sqrt{\frac{1}{M^2} \cdot \sum_{\mu=1}^{M-1} |V_\lambda(\mu)|^2}} = \frac{\sqrt{M} \cdot \max |v_\lambda(k)|}{V_C} \lesssim \sqrt{\frac{2}{1 - \varphi_\lambda}} \quad (4.16)$$

— vor allen für große Werte von M — gut nach oben abgeschätzt werden kann. Wenn man eine Zufallsgröße φ zur Erzeugung der konkreten Werte φ_λ benutzt, deren Wertebereich auf das Intervall

$$0 \leq \varphi_\lambda \leq \varphi_{\max} \quad (4.17)$$

mit $\varphi_{\max} < 1$ beschränkt ist, erhält man nur solche Testsignalsequenzen, deren Crestfaktor in guter Näherung auf den Maximalwert beschränkt ist, der sich mit φ_{\max} in der oberen Grenze der Ungleichung (4.16) ergibt. Andererseits kann man sich einen gewünschten Maximalwert Cr_{\max} für den Crestfaktor größer $\sqrt{2}$ vorgeben, und erhält mit der Umkehrung dieser empirisch gewonnenen Formel eine Aussteuerungsgrenze für die Werte des zufälligen Phasenhubs des sinusförmigen Anteils an der Gesamtphase. Gibt man sich beispielsweise den maximalen Crestfaktor 1,5 vor, so erhält man mit

$$\varphi_{\max} = 1 - \frac{2}{\text{Cr}_{\max}^2} \quad (4.18)$$

für die obere Grenze φ_{\max} der Verteilungsdichte der Zufallsgröße φ den Wert 1/9. Bei einer DFT-Länge von $M = 1024$ ergibt sich damit für die Aussteuerungsgrenze der Sinuskomponente im Phasenfrequenzgang $\varphi_{\max} \cdot M/\pi \approx 5,76 \cdot 2\pi$. Bei einem Crestfaktor, der nur unwesentlich schlechter als $\sqrt{2}$ ist, ergibt sich somit eine deutliche Phasendrehung im Spektrum, so dass man für unterschiedliche Realisierungen von φ_λ durchaus deutlich abweichende Signalsequenzen erhält. So werden z. B. die in einem realen digitalen System vorhandenen Quantisierungsstellen bei den Einzelmessungen wohl hinreichend zufällig und bei den Einzelmessungen unterschiedlich ausgesteuert. In Bild 4.1 ist der Verlauf des Crestfaktors für unterschiedliche Werte φ_λ , sowie die Abschätzung mit Gleichung (4.16) am Beispiel $M = 1024$ dargestellt. Man erkennt deutlich die Unsymmetrie des Crestfaktors für positive und negative Werte von φ_λ , weshalb das nach Ungleichung (4.17) empfohlene Intervall bei Null beginnt. Für kleine Werte von M ergeben sich deutlichere Abweichungen von der Näherungsformel. Die entsprechenden Kurven für $M = 64$ sind in Bild 4.2 dargestellt. Bei der Berechnung dieser Graphiken wurden die Phasenwerte φ_λ zufällig innerhalb

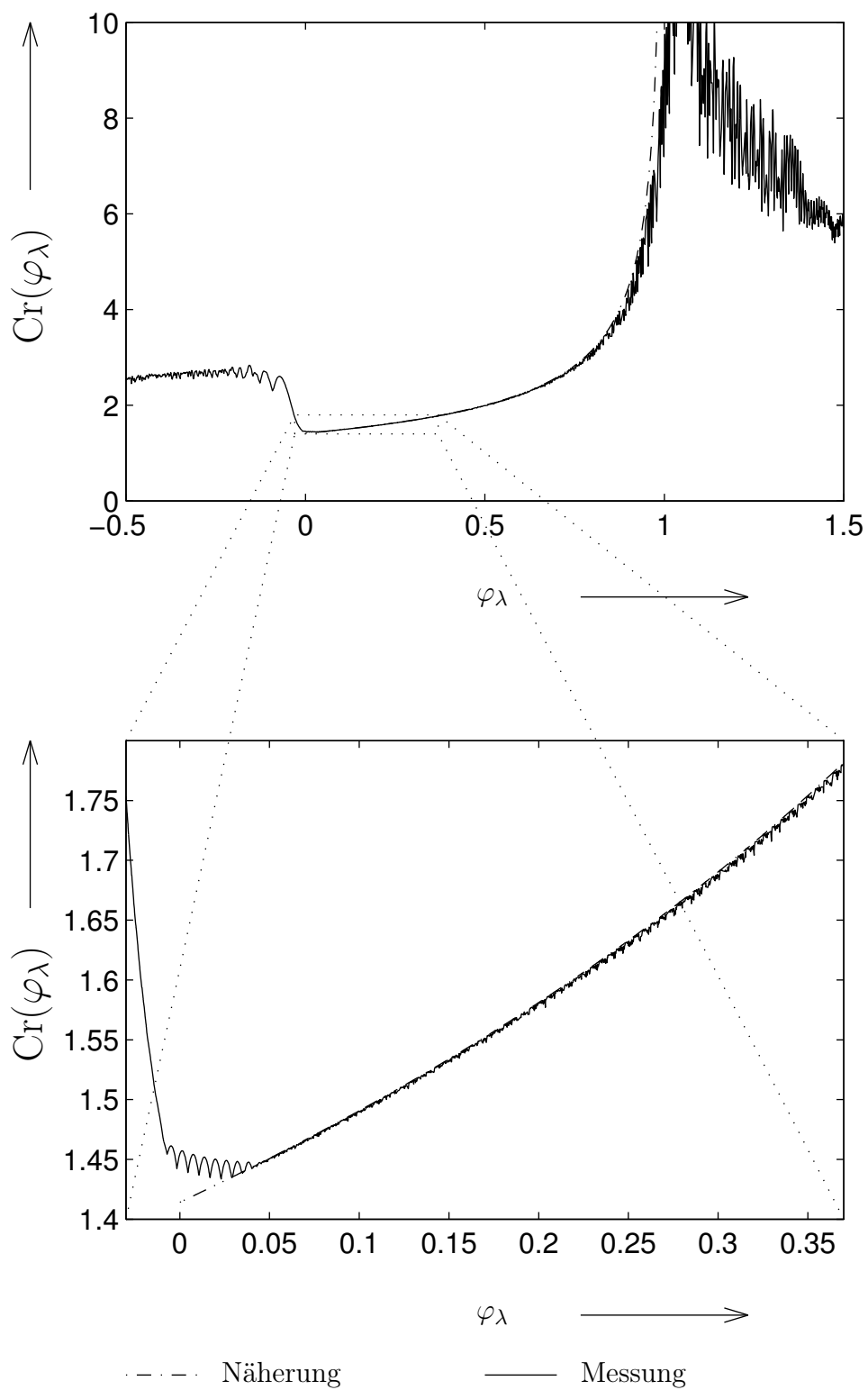


Bild 4.1: Crestfaktor des Chirpsignals für $M = 1024$

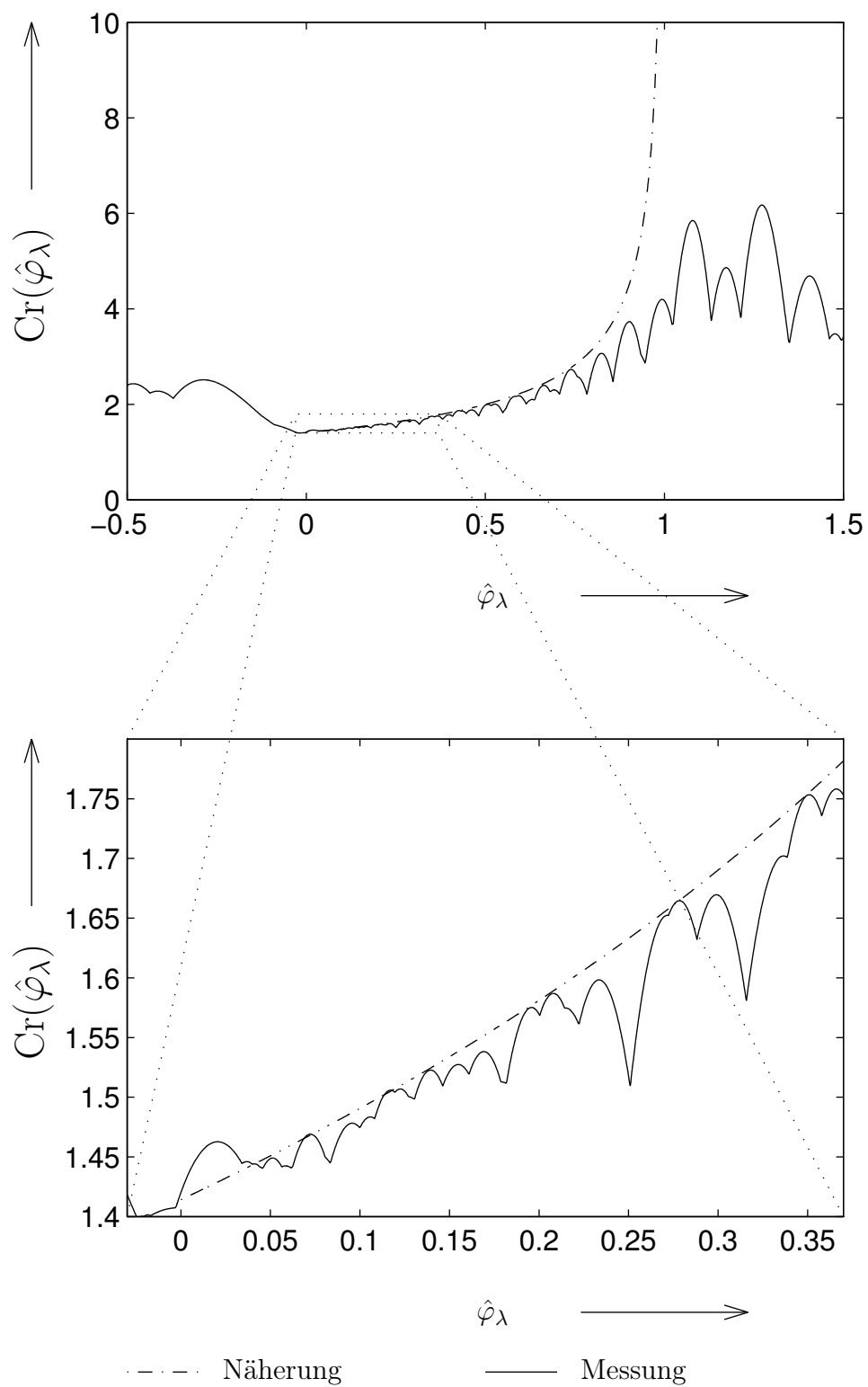


Bild 4.2: Crestfaktor des Chirpsignals für $M = 64$

des dargestellten Bereichs ausgewählt, um so systematische Fehler zu vermeiden. Bisher ist noch nicht theoretisch geklärt worden, warum sich gerade ein sinusförmiger additiver Anteil im Phasengang des in Gleichung (4.15) angegebenen Chirpsignalspektrums so gut eignet, den Crestfaktor klein zu halten. Die Gründe für die Unsymmetrie des Crestfaktors bei positiven und negativen Werten von φ_λ konnten ebenso nicht gefunden werden, wie die Mechanismen, die zu dem empirisch gewonnenen Zusammenhang (4.16) führen. Die Tatsache, dass die Spektralwerte des reellen Chirpsignals nach Gleichung (4.15) besonders für niedrige Frequenzen nicht mittelwertfrei sind, da die zufällige Phasendrehung der Spektrallinien sich nicht über mehrere Vielfache von 2π erstreckt, stellt kein Problem dar, da man das reelle Chirpsignal mit einem zufälligen und gleichwahrscheinlichen Vorzeichen versehen kann.

5 Spektralschätzung mittelwertfreier stationärer Prozesse

Wir beginnen dieses Kapitel mit einigen Vorüberlegungen. Nach der folgenden Darstellung des Ablaufs des Spektralschätzverfahrens wird die Erwartungstreue der Schätzwerte gezeigt. Es folgt die Berechnung der Messwertvarianzen und es wird gezeigt wie auch diese sich erwartungstreu abschätzen lassen. Abschließend wird der Spezialfall der Spektralschätzung reeller Prozesse behandelt.

5.1 Vorüberlegungen

Bei der Spektralschätzung mittelwertfreier, stationärer Prozesse kann auf Ergebnisse zurückgegriffen werden, die bei der Herleitung des RKM gewonnen wurden. Dies ist deshalb möglich, weil das Spektralschätzverfahren den Sonderfall des RKM darstellt, bei dem das reale System, wie es in Bild 1.1 dargestellt ist, nicht erregt wird. In diesem Fall ist das Signal $\mathbf{x}(k)$ am Ausgang des linearen zeitinvarianten Modellsystems ebenfalls Null, und es gilt $\mathbf{n}(k) = \mathbf{y}(k)$. Daher sind die stochastischen Eigenschaften wie z. B. das LDS oder das MLDS des Prozesses $\mathbf{y}(k)$ zugleich die messtechnisch zu bestimmenden Merkmale des Prozesses $\mathbf{n}(k)$. Eine optimale Approximation mit den Abtastwerten der Übertragungsfunktion als Freiheitsgrade der Approximation ist hier weder theoretisch noch praktisch beim Messverfahren durchzuführen.

Wie wir in Gleichung (2.17) gesehen haben, geht in die Erwartungswerte $\tilde{\Phi}_{\mathbf{n}}(\mu)$ der gefensterten Periodogramme, die wir zur Beschreibung des LDS $\Phi_{\mathbf{n}}(\Omega)$ durch endlich viele Werte verwenden, der Phasengang des verwendeten Fensters nicht ein. Daher kann auch im Fall der Spektralschätzung mittelwertfreier stationärer Prozesse das in Kapitel 6 vorgestellte Fenster, das einen nichtlinearen Phasengang aufweist, verwendet werden. Bei der Spektralschätzung — also der empirischen Abschätzung dieser Werte $\tilde{\Phi}_{\mathbf{n}}(\mu)$ — muss die Nullstellenbedingung (2.27) für das Spektrum der Fensterfolge nicht erfüllt werden. Es empfiehlt sich jedoch auch hier eine Fensterfolge zu verwenden, die der Bedingung (2.20) genügt, um auch im Spektralbereich die richtige Varianz als Mittelwert aller M Werte $\tilde{\Phi}_{\mathbf{n}}(\mu)$ zu erhalten. Da diese Forderung von der im Kapitel 6 vorgestellten Fensterfolge

ebenso erfüllt wird, wie auch die bei der Spektralschätzung gewünschte hohe Frequenzselektivität, ist die Verwendung dieser Fensterfolge immer dann zu empfehlen, wenn das zu messende LDS über der Frequenz stark schwankt.

Wie wir in Kapitel 2.2 gesehen haben, ist bei komplexwertigen Zufallsprozessen die Beschreibung der zweiten Momente erst vollständig, wenn man auch das modifizierte Leistungsdichtespektrum (MLDS) $\Psi_{\mathbf{n}}(\Omega)$ des Prozesses angibt. Dort wurden auch die M Erwartungswerte $\tilde{\Psi}_{\mathbf{n}}(\mu)$ vorgestellt, die wir zur Beschreibung des MLDS verwenden wollen. Es wird daher hergeleitet, wie man neben den M Schätzwerten $\hat{\Phi}_{\mathbf{n}}(\mu)$ für die Erwartungswerte $\tilde{\Phi}_{\mathbf{n}}(\mu)$ auch M Schätzwerte $\hat{\Psi}_{\mathbf{n}}(\mu)$ für die Erwartungswerte $\tilde{\Psi}_{\mathbf{n}}(\mu)$, mit Hilfe einer Messung gewinnt, die um die Fensterung erweitert ist. Wir beschränken uns nun dabei wieder auf den Fall eines mittelwertfreien stationären Prozesses. Wie die Spektralschätzung für mittelwertbehaftete und zyklostationäre Prozesse abläuft, wird in [6] erläutert.

5.2 LDS- und MLDS-Messwerte

Die Messung beginnt damit, dass wir eine Stichprobe vom Umfang L erheben, indem wir L Musterfolgen $y_{\lambda}(k)$ mit $\lambda = 1 \dots L$ der Länge F (d. h. $k = 0 \dots F-1$) unabhängig aus dem Prozess $\mathbf{y}(k)$ entnehmen. Diese Musterfolgen werden gefenstert und einer DFT unterworfen, wie dies in der Aufzählung auf Seite 47 beschrieben ist. Wir erhalten die M nach Gleichung (3.12) definierten M Vektoren $\vec{Y}_f(\mu)$, die hier gemäß Gleichung (3.18) mit $\vec{V}(\mu) = \vec{0}$ mit den M Vektoren $\vec{N}_f(\mu)$ übereinstimmen. Mit Hilfe dieser Vektoren lassen sich die Messwerte wie folgt berechnen:

$$\hat{\Phi}_{\mathbf{n}}(\mu) = \frac{1}{M \cdot L} \cdot \vec{Y}_f(\mu) \cdot \vec{Y}_f(\mu)^H = \frac{1}{M} \cdot \hat{C}_{\mathbf{Y}(\mu), \mathbf{Y}(\mu)} \quad \forall \mu = 0 \dots M-1 \quad (5.1)$$

und

$$\hat{\Psi}_{\mathbf{n}}(\mu) = \frac{1}{M \cdot L} \cdot \vec{Y}_f(\mu) \cdot \vec{Y}_f(-\mu)^T = \frac{1}{M} \cdot \hat{C}_{\mathbf{Y}(\mu), \mathbf{Y}(-\mu)^*} \quad \forall \mu = 0 \dots M-1 \quad (5.2)$$

Aufgrund der Cauchy-Schwarzschen Ungleichung (3.36) erfüllen diese Messwerte immer die Bedingung (3.38).

Die Erwartungswerte dieser Messwerte berechnet man wieder mit den Gleichungen (3.30). Dabei werden nun jedoch die Vektoren $\hat{\vec{N}}_f(\mu)$ nicht nach Gleichung (3.25) definiert, sondern sind identisch mit den Vektoren $\vec{N}_f(\mu)$, was dort einer Abbildung mit der $L \times L$ Einheitsmatrix \underline{E} entspricht. In den Gleichungen (3.30) ist daher die Matrix $\underline{V}_{\Phi}(\mu)$ durch die Matrix $\underline{E}/(M \cdot L)$ mit der Spur $1/M$ zu ersetzen. Ein Vergleich der sich so ergebenden

Erwartungswerte der Messwerte in Gleichung (3.30h) mit der Definition der zu messenden Werte nach Gleichung (2.17) zeigt dann die Erwartungstreue der Messwerte $\hat{\Phi}_n(\mu)$. Analog lässt sich auch die Erwartungstreue der Messwerte $\hat{\Psi}_n(\mu)$ zeigen.

5.3 Messwertvarianzen und -kovarianzen

Wir nehmen wieder an, dass die Zufallsgrößentupel der Spektralwerte $[\mathbf{N}_f(\mu), \mathbf{N}_f(-\mu)]^T$ verbundnormalverteilt sind. In diesem Fall erhalten wir die Varianzen und Kovarianzen der Messwerte $\hat{\Phi}_n(\mu)$ und $\hat{\Psi}_n(\mu)$ wie beim RKM mit Hilfe der Gleichungen (3.65) bis (3.68), wobei wir nun jedoch die Matrix $\underline{V}_\perp(\pm\mu)$ durch die Einheitsmatrix \underline{E} , deren Spur L ist, zu ersetzen haben. Wir erhalten für die theoretischen Messwert(ko)varianzen:

$$C_{\hat{\Phi}_n(\mu), \hat{\Phi}_n(\mu)} = \frac{1}{L} \cdot \left(|\tilde{\Psi}_n(\mu)|^2 + \tilde{\Phi}_n(\mu)^2 \right), \quad (5.3a)$$

$$C_{\hat{\Psi}_n(\mu), \hat{\Psi}_n(\mu)} = \frac{2}{L} \cdot \tilde{\Phi}_n(\mu)^2 \quad \text{und} \quad (5.3b)$$

$$C_{\hat{\Psi}_n(\mu), \hat{\Psi}_n(\mu)^*} = \frac{2}{L} \cdot \tilde{\Psi}_n(\mu)^2 \quad (5.3c)$$

$$\forall \quad \mu = 0 \quad \vee \quad \mu = \frac{M}{2}$$

bzw.

$$C_{\hat{\Phi}_n(\mu), \hat{\Phi}_n(\mu)} = \frac{1}{L} \cdot \tilde{\Phi}_n(\mu)^2, \quad (5.3d)$$

$$C_{\hat{\Psi}_n(\mu), \hat{\Psi}_n(\mu)} = \frac{1}{L} \cdot \tilde{\Phi}_n(\mu) \cdot \tilde{\Phi}_n(-\mu) \quad \text{und} \quad (5.3e)$$

$$C_{\hat{\Psi}_n(\mu), \hat{\Psi}_n(\mu)^*} = \frac{1}{L} \cdot \tilde{\Psi}_n(\mu)^2 \quad (5.3f)$$

$$\forall \quad \mu = 1 (1) M-1 \quad \wedge \quad \mu \neq \frac{M}{2}.$$

Als Schätzwerte für die Messwert(ko)varianzen verwenden wir:

$$\hat{C}_{\hat{\Phi}_n(\mu), \hat{\Phi}_n(\mu)} = \frac{L-2}{(L+2) \cdot (L-1)} \cdot \hat{\Phi}_n(\mu)^2 + \frac{L}{(L+2) \cdot (L-1)} \cdot |\hat{\Psi}_n(\mu)|^2 \quad (5.4a)$$

$$\hat{C}_{\hat{\Psi}_n(\mu), \hat{\Psi}_n(\mu)} = \frac{2 \cdot L}{(L+2) \cdot (L-1)} \cdot \hat{\Phi}_n(\mu)^2 - \frac{2}{(L+2) \cdot (L-1)} \cdot |\hat{\Psi}_n(\mu)|^2 \quad (5.4b)$$

$$\hat{C}_{\hat{\Psi}_n(\mu), \hat{\Psi}_n(\mu)^*} = \frac{2}{(L+2)} \cdot \hat{\Psi}_n(\mu)^2 \quad (5.4c)$$

$$\forall \quad \mu = 0 \quad \vee \quad \mu = \frac{M}{2}$$

bzw.

$$\hat{C}_{\hat{\Phi}_n(\mu), \hat{\Phi}_n(\mu)} = \frac{1}{L+1} \cdot \hat{\Phi}_n(\mu)^2 \quad (5.4d)$$

$$\hat{C}_{\hat{\Psi}_n(\mu), \hat{\Psi}_n(\mu)} = \frac{L}{(L+1) \cdot (L-1)} \cdot \hat{\Phi}_n(-\mu) \cdot \hat{\Phi}_n(\mu) - \frac{1}{(L+1) \cdot (L-1)} \cdot |\hat{\Psi}_n(\mu)|^2 \quad (5.4e)$$

$$\hat{C}_{\hat{\Psi}_n(\mu), \hat{\Psi}_n(\mu)^*} = \frac{1}{L+1} \cdot \hat{\Psi}_n(\mu)^2 \quad (5.4f)$$

$\forall \mu = 1 (1) M-1 \quad \wedge \quad \mu \neq \frac{M}{2}$

Dass diese Schätzwerte erwartungstreu sind, zeigt man, indem man zunächst die Messwerte nach Gleichung (5.1) und (5.2) einsetzt, und dann mit Hilfe der Gleichung (A.42) des Anhangs die Erwartungswerte berechnet. Dabei ist für die Matrizen $\underline{A} = \underline{B} = \underline{E}$, für alle Matrixspuren L und für den skalaren Faktor jeweils $c = M^2 \cdot L^2$ einzusetzen. Auch hier lässt sich zeigen, dass die Schätzwerte der Messwertkovarianz $\hat{C}_{\hat{\Psi}_n(\mu), \hat{\Psi}_n(\mu)^*}$ nie betragsmäßig größer sind als die Schätzwerte der Messwertvarianz $\hat{C}_{\hat{\Psi}_n(\mu), \hat{\Psi}_n(\mu)}$, da die Bedingung (3.38) bei diesen Messwerten immer erfüllt ist.

Zur Berechnung der Konfidenzintervalle (3.73) der reellen Messwerte $\hat{\Phi}_n(\mu)$ zu dem gewünschten Konfidenzniveau $1-\alpha$ setzt man die Schätzwerte der halben Intervallbreite nach Gleichung (3.72) mit den eben berechneten Messwertvarianzschätzwerten ein. Die Schätzwerte der Halbachsen der Konfidenzellipsen der Messwerte $\hat{\Psi}_n(\mu)$ erhält man mit den eben berechneten Messwert(ko)varianzschätzwerten, indem man diese statt der Messwert(ko)varianzschätzwerte $\hat{C}_{\hat{H}(\mu), \hat{H}(\mu)}$ und $\hat{C}_{\hat{H}(\mu), \hat{H}(\mu)^*}$ in die Gleichungen (3.80) einsetzt.

5.4 Spektralschätzung reellwertiger Zufallsprozesse

Die Spektralschätzung reellwertiger, stationärer und mittelwertfreier Zufallsprozesse läuft prinzipiell genau wie eben geschildert ab. Da bei den reellen Musterfolgen des Prozesses immer die bekannte Symmetrie der Spektren reeller Folgen auftritt, gilt

$$\hat{\Psi}_n(\mu) = \hat{\Phi}_n(\mu) = \hat{\Phi}_n(-\mu), \quad (5.5)$$

und daher müssen die Messwerte $\hat{\Phi}_n(\mu)$ nach Gleichung (5.1) nur für $\mu = 1 (1) M/2$ und die Messwerte $\hat{\Psi}_n(\mu)$ überhaupt nicht berechnet werden. Mit der letzten Gleichung erhalten wir die Messwertvarianzen

$$C_{\hat{\Phi}_n(\mu), \hat{\Phi}_n(\mu)} = \begin{cases} \frac{2}{L} \cdot \tilde{\Phi}_n(\mu)^2 & \text{für } \mu \in \{0; \frac{M}{2}\} \\ \frac{1}{L} \cdot \tilde{\Phi}_n(\mu)^2 & \text{für } \mu = 1 (1) \frac{M-1}{2}. \end{cases} \quad (5.6)$$

Wir verwenden

$$\hat{C}_{\hat{\Phi}_n(\mu), \hat{\Phi}_n(\mu)} = \begin{cases} \frac{2}{L+2} \cdot \hat{\Phi}_n(\mu)^2 & \text{für } \mu \in \{0; \frac{M}{2}\} \\ \frac{1}{L+1} \cdot \hat{\Phi}_n(\mu)^2 & \text{für } \mu = 1 (1) \frac{M-1}{2} \end{cases} \quad (5.7)$$

als erwartungstreue Schätzwerte der Messwertvarianzen, mit deren Hilfe man die halbe Breite der Konfidenzintervalle nach Gleichung (3.73) mit Gleichung (3.72) abschätzt.

Insgesamt ähnelt dieses Verfahren sehr stark dem Spektralschätzverfahren nach Welch-Bartlett, das z. B. in [7] beschrieben ist. Der Unterschied besteht darin, dass beim Verfahren nach Welch-Bartlett eine Überlappung der Messintervalle der einzelnen Stichproben ausdrücklich zugelassen wird. Die hier dargestellte Theorie geht immer von mathematischen Stichproben der Signale am zu messenden System aus, so dass die einzelnen Elemente der Stichprobe unabhängig sein müssen, was bei einer überlappenden Fensterung in der Regel nicht mehr erfüllt sein dürfte. Wie sich das Welch-Bartlett Spektralschätzverfahren mit überlappender Fensterung bei Verwendung der im Kapitel 6 beschriebenen Fensterfolge verhält, und ob dabei die hohe Frequenzselektivität erhalten bleibt, wurde im Rahmen dieser Arbeit nicht untersucht.

6 Die Fensterfolge

In diesem Abschnitt wird nun ein Algorithmus vorgestellt, mit dessen Hilfe Fensterfolgen berechnet werden können, deren Spektren die geforderte Nullstellenlage nach Gleichung (2.27) aufweisen, und deren Betragsquadratspektrum nach der Überlagerung gemäß Gleichung (2.20) konstant ist. Die im weiteren berechneten Fensterfolgen sind *reell*, so dass an einigen Stellen der weiteren Herleitung des Algorithmus auf das Konjugieren der Folgen im Zeitbereich verzichtet werden kann. Auch wird die im Frequenzbereich vorhandene Symmetrie der Spektren reeller Folgen ausgenutzt, ohne dass darauf extra hingewiesen wird. Des Weiteren sind alle — bis auf den Trivialfall des Rechteckfensters — hier vorgestellten Fensterfolgen *nicht* linearphasig, und enthalten meist auch Werte kleiner Null. Dies steht in keinem Widerspruch zur Anwendbarkeit der Fensterfolgen für das RKM oder für eine reine Schätzung der spektralen Leistungsdichte stochastischer Prozesse.

Zunächst stelle ich die prinzipielle Vorgehensweise bei der Berechnung der Fensterfolgen vor. Anschließend wird der eigentliche Berechnungsalgorithmus im Detail dargestellt. Danach wird die Genauigkeit bei der Berechnung der Einzelschritte des Algorithmus untersucht, und es wird gezeigt, dass es mit diesem Algorithmus möglich ist, Fensterfolgen zu erhalten, die die geforderten Eigenschaften (2.27) und (2.20) mit einer Präzision erfüllen, die nahe an die Genauigkeit heranreicht, die bei einer endlichen Zahlendarstellung an einem Computer mit Fließkommaarithmetik überhaupt möglich ist. Im folgenden werden einige mit diesem Algorithmus berechnete Fensterfolgen beispielhaft dargestellt. Des Weiteren werden die Eigenschaften so konstruierter Fensterfolgen näher untersucht. Abschließend wird bei einigen anderen aus der Literatur bekannten Fensterfolgen kurz ermittelt, inwieweit sie beim RKM eingesetzt werden können. Im Unterkapitel A.8 des Anhangs ist der ausführlich kommentierte, wesentliche Rumpf eines Programms in der Interpretersprache **MATLAB** angegeben, mit dessen Hilfe sich die Fensterfolgen mit dem in diesem Kapitel beschriebenen Verfahren berechnen lassen.

6.1 Konstruktion der Fensterfolge

Bei einer reellwertigen Fensterfolge, die wie in Gleichung (2.15) angegeben auf ein endlich langes Zeitintervall der Länge F begrenzt ist, hat man bei deren Entwurf genau F reelle Freiheitsgrade um ihr gewisse gewünschte Eigenschaften zu verleihen. In unserem Fall

der Anwendung der Fensterfolge beim RKM sind diese gewünschten Eigenschaften zum einen die geforderte Nullstellenlage nach Gleichung (2.27) und zum anderen die Konstanz der überlagerten Betragsquadratspektren gemäß Gleichung (2.20). Bei der weiter unten genannten Wahl der Fensterlänge F benötigen wir jedoch nicht alle Freiheitsgrade, um die geforderten Eigenschaften zu erfüllen.

Bei den im Rahmen dieser Abhandlung vorgestellten Fensterfolgen werden einige Freiheitsgrade nicht genutzt, und es werden nur solche Fensterfolgen konstruiert, bei denen die letzten Werte der Fensterfolge willkürlich auf Null festgelegt werden. Somit ergeben sich Fensterfolgen deren „wahre“ Länge kleiner als F ist¹. Die Anzahl der am Ende der Fensterfolge willkürlich auf Null festgelegten Werte sei $N-1$. Dabei ist $N \in \mathbb{N}$ der Parameter einer Schar von Fensterfolgen, die mit dem im weiteren vorgestellten Algorithmus erzeugt werden können. Der Parameter N hat wesentlichen Einfluss auf die spektralen Eigenschaften der Fensterfolgen. In Kapitel 6.3 wird dies näher untersucht.

Anmerkung: Mit geringen Modifikationen kann man mit dem hier vorgestellten Algorithmus auch Fensterfolgen berechnen, bei denen auch die letzten $N-1$ Werte von Null verschieden sein dürfen, und die dennoch die Bedingungen (2.20) und (2.27) erfüllen. Man hat dann mehr Freiheitsgrade, um die Eigenschaften der zu konstruierenden Fensterfolge je nach Applikation geeignet zu beeinflussen. Diese erweiterte Algorithmusvariante wird in [6] vorgestellt. Dort wird auch ein Algorithmus zur Konstruktion einer kontinuierlichen Fensterfunktion endlicher Länge mit zu (2.20) und (2.27) analogen Eigenschaften angegeben.

Die Konstruktion der Fensterfolge $f(k)$ erfolgt im wesentlichen in drei Schritten:

1. Schritt: Abhängig von N wird eine Basisfensterfolge $g(k)$ vorgegeben.
2. Schritt: Über die Basisfenster-AKF $(g(k)*g(-k))/M$ wird die nach Gleichung (2.21) definierte Fenster-AKF $d(k)$ konstruiert. Damit ist das Betragsquadrat des Spektrums der Fensterfolge $f(k)$ bekannt.
3. Schritt: Mit Hilfe des in [16] dargestellten Algorithmus — der für diese Anwendung modifiziert und um eine geeignete Bilineartransformation erweitert wurde — wird zu dem Betragsfrequenzgang der Fensterfolge der passende Phasenfrequenzgang in der Art bestimmt, dass sich daraus die minimalphasige Fensterfolge $f(k)$ berechnen lässt.

Zunächst werden die Vorgänge bei der schrittweisen Berechnung der Fensterfolge theoretisch behandelt. Auch bei der detaillierteren Behandlung des Algorithmus in Unterkapitel 6.1.4 werden wir soweit möglich alle Berechnungen theoretisch durchführen, so dass die numerische Berechnung der Fensterfolge teils aus der numerischen Auswertung der Ergebnisse der theoretischen Herleitung besteht.

¹Man beachte, dass die nicht im Widerspruch zu Gleichung (2.15) steht.

6.1.1 Schritt 1: Konstruktion der Basisfensterfolge

Wir beginnen damit, eine zeitdiskrete, reelle Basisfensterfolge $g(k)$ der Länge F vorzugeben, deren letzte $N-1$ Werte Null sind.

$$g(k) = 0 \quad \forall \quad k < 0 \quad \vee \quad k > F-N. \quad (6.1)$$

Die Basisfensterfolge $g(k)$ darf also nur in genau demselben Bereich von Null verschieden sein, wie die zu konstruierende Fensterfolge $f(k)$. Die Länge F soll dabei ein ganzzahliges Vielfaches der DFT-Länge M beim RKM sein.

$$F = N \cdot M \quad \text{mit} \quad N \in \mathbb{N} \quad (6.2)$$

Auch wenn die Fensterfolge $f(k)$, nicht im RKM eingesetzt werden soll, ist der Parameter M von entscheidender Bedeutung, da er die gewünschten Eigenschaften der Fensterfolge $f(k)$ festlegt. In Gleichung (2.20) legt er den Frequenzverschiebungsparameter $2\pi/M$ fest, bei dem sich bei der Überlagerung der verschobenen Betragsquadratspektren eine Konstante ergibt. Dies führt in Gleichung (2.23) dazu, dass die Nullstellen der Fenster-AKF $d(\kappa)$ nach Gleichung (2.21) in einem Abstand von M liegen werden. Auch die Lage der Nullstellen des Frequenzgangs $F(\Omega)$ der Fensterfolge wird — wie noch gezeigt wird — mit M in der Art festgelegt, dass Bedingung (2.27) erfüllt wird.

Bis auf einen konstanten Faktor — den man nicht fest vorgibt, da er nie explizit bestimmt werden muss — wird die Basisfensterfolge $g(k)$ durch die $F-N$ Nullstellen des Polynoms

$$z^{F-N} \cdot G(z) = z^{F-N} \cdot \sum_{k=0}^{F-N} g(k) \cdot z^{-k} \quad (6.3)$$

der Z-Transformierten der Basisfensterfolge festgelegt. Die $F-N$ Nullstellen des Polynoms werden nun fest vorgegeben. Sie sollen alle äquidistant am Einheitskreis liegen:

$$G\left(e^{j \cdot \frac{\pi}{F} \cdot \nu}\right) = 0 \quad \forall \quad \nu = N+1 (2) 2 \cdot F - N - 1. \quad (6.4)$$

Für ungerades N liegen diese Nullstellen im Frequenzraster $2\pi/F$, während sie für gerades N um π/F gegenüber diesem Raster versetzt (auf Lücke) liegen. Bild 6.1 zeigt die Lage der Nullstellen der Z-Transformierten der Basisfensterfolge $g(k)$ für $M=8$ und die beiden Werte $N=3$ und $N=4$. In der Umgebung des Punktes $z=1$ fehlen also dem vollständigen Kreis aus Nullstellen (\cong dem Polynom $z^F + (-1)^N$) gerade N Nullstellen. In beiden Fällen kann man für das Polynom mit den festgelegten Nullstellen

$$z^{F-N} \cdot G(z) = \frac{z^F + (-1)^N}{\prod_{\nu_2=\frac{1-N}{2}}^{\frac{N-1}{2}} (z - e^{j \cdot \frac{2\pi}{F} \cdot \nu_2})} \quad (6.5)$$

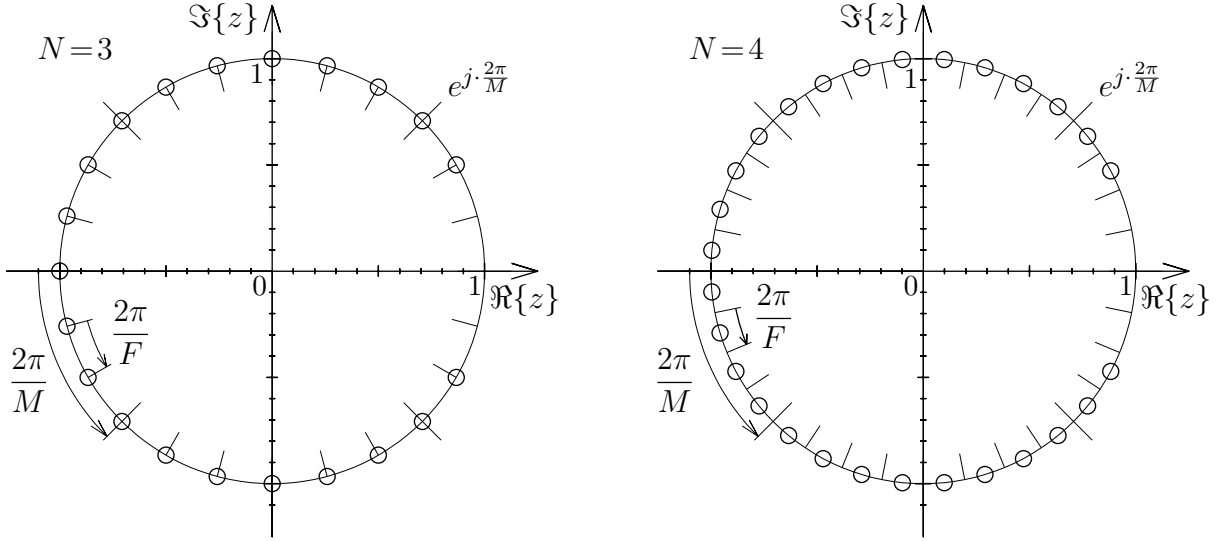


Bild 6.1: Festgelegte Nullstellen der Z-Transformierten $G(z)$ der Basisfensterfolge $g(k)$ für $M=8$ und die zwei Werte $N=3$ und $N=4$.

schreiben, wobei für das Produkt im Nenner die in der Liste der Formelzeichen angegebene Definition verwendet wird, die es zulässt, dass der Laufindex auch Werte annehmen kann, die nicht ganzzahlig sind.

Für $z=e^{j\Omega}$ ist $z^*=z^{-1}$, und da die Folge $g(k)$ reell ist, gilt:

$$|G(z)|^2 = G(z) \cdot G(z^{-1}) \quad \text{für} \quad z = e^{j\Omega}. \quad (6.6)$$

Die Nullstellen von $z^{F-N} \cdot G(z)$ liegen alle auf dem Einheitskreis, und sind daher als doppelte Nullstellen in $z^{F-N} \cdot G(z) \cdot G(z^{-1})$ vorhanden.

6.1.2 Schritt 2: Konstruktion der Fensterautokorrelationsfolge

Durch Überlagerung der verschobenen Betragsquadrate des Spektrums $G(e^{j\Omega})$ wird nun das Spektrum

$$D(e^{j\Omega}) = \sum_{\nu_1=\frac{1-N}{2}}^{\frac{N-1}{2}} |G(e^{j(\Omega - \frac{2\pi}{F} \cdot \nu_1)})|^2 \quad (6.7)$$

der Fenster-AKF $d(k)$ gewonnen. Diese Überlagerung im Spektralbereich ist die Faltung des Betragsquadrates des Spektrums $G(e^{j\Omega})$ mit einem endlich langen Impulskamm:

$$D(e^{j\Omega}) = |G(e^{j\Omega})|^2 * \sum_{\nu_1=\frac{1-N}{2}}^{\frac{N-1}{2}} \delta_0(\Omega - \nu_1 \cdot \frac{2\pi}{F}). \quad (6.8)$$

Im Zeitbereich entspricht das einer Multiplikation der M -fachen zeitdiskreten endlichen Basisfenster-AKF

$$g_Q(k) = g(k)*g(-k) = \sum_{\kappa=-\infty}^{\infty} g(\kappa) \cdot g(\kappa + k) = \frac{1}{2\pi} \cdot \int_{-\pi}^{\pi} |G(e^{j\cdot\Omega})|^2 \cdot e^{j\cdot\Omega\cdot k} \cdot d\Omega \quad (6.9)$$

mit der in k kontinuierlichen², periodisch fortgesetzten si-Funktion:

$$d(k) = \frac{\sin\left(\frac{\pi}{M} \cdot k\right)}{\sin\left(\frac{\pi}{F} \cdot k\right)} \cdot g_Q(k). \quad (6.10)$$

Die so entstandene Funktion $d(k)$ ist zeitdiskret ($g_Q(k)$ ist zeitdiskret), von gleicher Länge wie die Basisfenster-AKF ($g_Q(k)=0$ für $k < N-F \vee k > F-N$) und weist außer bei $k=0$ bei Vielfachen von M die Nullstellen der periodisch fortgesetzten si-Funktion auf. Führt man mit der Folge $d(k)$ eine Unterabtastung mit dem Unterabtastfaktor M durch, so erhält man — wenn der konstante, nicht festgelegte Faktor der Basisfensterfunktion stimmt — den diskreten Impuls

$$d(\tilde{k} \cdot M) = \gamma_0(\tilde{k}) = \begin{cases} 1 & \text{für } \tilde{k} = 0 \\ 0 & \text{sonst.} \end{cases} \quad (6.11)$$

Somit erfüllt die Folge $d(k)$ die in Gleichung (2.23) an die Fensterkorrelationsfolge gestellte Forderung, die eine leistungsrichtige Messung beim RKM ermöglicht. Nach [15] handelt es sich daher bei der Folge $d(k)$ um die Impulsantwort eines M -tel-Band-Filters. Nach Gleichung (2.22) entspricht die Unterabtastung im Frequenzbereich einer Überlagerung der verschobenen Spektren. Man gewinnt daher die Aussage:

$$\sum_{\mu=0}^{M-1} D\left(e^{j\cdot(\Omega - \frac{2\pi}{M} \cdot \mu)}\right) = \text{const.} \quad (6.12)$$

Da $D(e^{j\Omega})$ durch die Überlagerung der verschobenen Spektren $|G(e^{j\Omega})|^2$ entstanden ist, überlagern sich bei den Frequenzen $\Omega = \nu \cdot 2\pi/F$ mit $\nu = N$ (1) $F-N$ jeweils die doppelten Nullstellen, die in $z^{F-N} \cdot G(z) \cdot G(z^{-1})$ vorhanden sind. $z^{F-1} \cdot D(z)$ hat daher bei diesen Frequenzen doppelte Nullstellen.

Falls es nun trotz der Multiplikation mit der periodisch fortgesetzten si-Funktion gelingt, $d(k)$ als die auf M normierte Selbstfaltung $(f(k)*f(-k))/M$ einer Fensterfolge mit der Länge F (Forderung (2.15)) darzustellen, ist die so gewonnene Fensterfolge prinzipiell für den Einsatz beim RKM geeignet, da dann die Bedingungen (2.20) und (2.27) erfüllt sind.

²Die Summe in Gleichung (6.7) ist endlich lang. Daher sind bei der Faltung in Gleichung (6.8) nur endlich viele Impulse beteiligt. Daher ist die periodisch fortgesetzte si-Funktion in k kontinuierlich und nicht zeitdiskret.

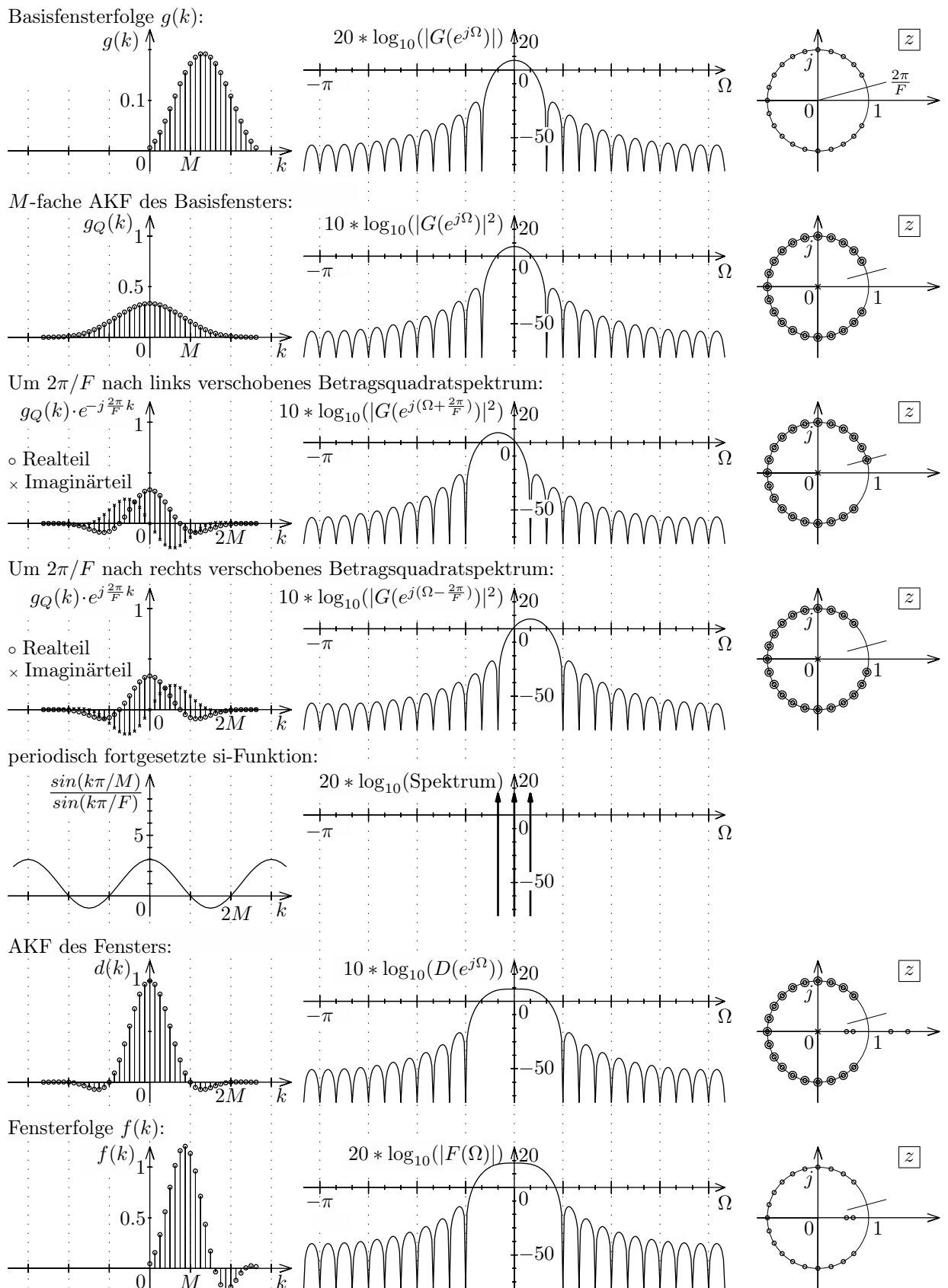


Bild 6.2: Konstruktion des Betragsquadrats des Spektrums der Fensterfolge

Bevor nun gezeigt werden soll, dass eine derartige Entfaltung von $d(k)$ möglich ist, und wie man diese numerisch hochgenau realisieren kann, werden in Bild 6.2 an dem Beispiel mit $M=8$ und $N=3$ die bei den einzelnen Schritten der Konstruktion von $D(e^{j\Omega})$ ablaufenden Vorgänge sowohl an den Zeitsignalen als auch an deren Spektren und Nullstellenlagen graphisch veranschaulicht.

Im ersten Schritt wird die Basisfensterfolge im obersten linken Teilbild vorgegeben. Sie ergibt sich aus der im obersten rechten Teilbild dargestellten Lage der Nullstellen ihrer Z-Transformierten. Die äquidistanten Nullstellen am Einheitskreis sind auch im Betragspektrum der Basisfensterfolge im obersten mittleren Teilbild deutlich zu sehen.

Die geradesymmetrische M -fache AKF $g_Q(k)$ des Basisfensters, die durch Faltung des Basisfensters mit sich selbst gespiegelt entsteht, ist in den Teilbildern der zweiten Reihe dargestellt. Die Nullstellen ihrer Z-Transformierten liegen ebenfalls auf dem Einheitskreis, treten nun aber doppelt auf. Da die AKF des Basisfensters nun auch für negatives k von Null verschieden ist, erscheint nun bei $z=0$ eine $(F-N)$ -fache Polstelle. Durch die geeignete Normierung ist die halblogarithmische graphische Darstellung des Spektrums der M -fachen Basisfenster-AKF identisch mit der darüberliegenden Darstellung des Betragspektrums der Basisfensterfolge.

Die beiden folgenden Teilbildreihen zeigen die komplexwertigen Folgen, die man erhält, wenn man das Spektrum der M -fachen Basisfenster-AKF nach links, bzw. nach rechts um $2\pi/F$ verschiebt. Diese beiden Folgen weisen einen gegengleichen, schiefsymmetrischen und von Null verschiedenen Imaginärteil auf. In der z -Ebene ist die entsprechende Rotation der Nullstellenlage zu erkennen.

Die beiden Folgen mit den verschobenen Spektren und die unveränderte M -fache Basisfenster-AKF überlagern sich additiv zu der Fenster-AKF, die in den Teilbildern der vorletzten Reihe dargestellt ist. Man erkennt, dass durch die Art der Überlagerung der Spektren nach Gleichung (6.7) die gewünschten Nullstellen bei Vielfachen der Frequenz $2\pi/M$ (punktisierte Linien in den mittleren Teilbildern, die über alle übereinander angeordneten Teilbilder verlaufen) erhalten bleiben. Durch die Überlagerung sind nun genau $2 \cdot (N-1) = 4$ Nullstellen bei der Z-Transformierten der Fenster-AKF entstanden, die nicht mehr auf dem Einheitskreis, sondern spiegelsymmetrisch zu diesem liegen. Bei der Überlagerung der Folgen heben sich die Imaginärteile der Folgen mit den verschobenen Spektren gerade auf, so dass eine reelle Fenster-AKF entstanden ist.

Die Überlagerung der drei Anteile mit den gegeneinander verschobenen Spektren entspricht im Zeitbereich der Multiplikation der M -fachen Basisfenster-AKF mit der ebenfalls dargestellten periodisch fortgesetzten, kontinuierlichen si-Funktion, deren Spektrum $N=3$ Impulse im Frequenzabstand $2\pi/F$ aufweist. Da bei der periodisch fortgesetzten

si-Funktion die Nullstellen des Zeitsignals im Abstand M (punktierte Linien in den linken Teilbildern) liegen, hat auch die darunter dargestellte Fenster-AKF dieselben Nullstellen, wie dies in Gleichung (2.23) gefordert war.

Indem man die innerhalb des Einheitskreises der z -Ebene liegenden $N-1$ Nullstellen der Z-Transformierten der Fenster-AKF sowie von den doppelten Nullstellen am Einheitskreis nur jeweils eine nimmt, erhält man die Z-Transformierte der minimalphasigen Fensterfolge, die in den untersten Teilbildern dargestellt ist.

6.1.3 Schritt 3: Prinzip der Berechnung der Fensterfolge aus der Fenster-AKF

Da $|G(e^{j\Omega})|^2$ eine reelle, geradesymmetrische und nichtnegative Funktion in Ω ist, und da die Überlagerung ebenfalls symmetrisch zu $\Omega=0$ erfolgt, ist auch $D(e^{j\Omega})$ eine reelle, geradesymmetrische und nichtnegative Funktion in Ω . Daher sind alle Nullstellen von $z^{F-N} \cdot D(z)$ spiegelsymmetrisch zur reellen Achse, alle Nullstellen auf dem Einheitskreis sind von gerader Vielfachheit und alle Nullstellen, die nicht auf dem Einheitskreis liegen, sind spiegelsymmetrisch zum Einheitskreis. Daher kann $M \cdot D(z)$ immer als das Produkt

$$M \cdot D(z) = F(-j \cdot \ln(z)) \cdot F(j \cdot \ln(z)) \quad (6.13)$$

eines minimalphasigen Anteils $F(-j \cdot \ln(z))$ und eines Anteils $F(j \cdot \ln(z))$, dessen Nullstellen gerade die am Einheitskreis gespiegelten Nullstellen des minimalphasigen Anteils sind, geschrieben werden.

Da am Einheitskreis ($z=e^{j\Omega}$)

$$M \cdot D(e^{j\Omega}) = F(\Omega) \cdot F(-\Omega) = F(\Omega) \cdot F(\Omega)^* = |F(\Omega)|^2 \quad (6.14)$$

gilt, zeigt Gleichung (6.12), dass die Bedingung (2.20) vom Spektrum der Fenster-AKF erfüllt wird.

Die oben genannten doppelten Nullstellen von $z^{F-N} \cdot D(z)$ am Einheitskreis werden bei der Faktorisierung als einfache Nullstellen dem Polynom $z^{F-N} \cdot F(-j \cdot \ln(z))$ zugeordnet. Daher gilt:

$$F\left(\nu \cdot \frac{2\pi}{F}\right) = 0 \quad \forall \quad \nu = N (1) F - N. \quad (6.15)$$

Einerseits sind somit die nach Gleichung (2.27) geforderten Nullstellen im Spektrum vorhanden, und andererseits liegen zwischen zwei geforderten Nullstellen am Einheitskreis jeweils $N-1$ weitere Nullstellen.

Hat man die Faktorisierung von $D(z)$ durchgeführt, so liefert die inverse Z-Transformation des minimalphasigen Anteils $F(-j \cdot \ln(z))$ eine mögliche Fensterfolge $f(k)$, die die Forderungen (2.20) und (2.27) zugleich erfüllt, wenn man den konstanten, nicht näher festgelegten Faktor der Basisfensterfolge geeignet wählt.

Prinzipiell lässt sich statt jeder Nullstelle innerhalb des Einheitskreises auch die dazu spiegelsymmetrische Nullstelle der Z-Transformierten des Fensters zuordnen, ohne dass dadurch die geforderten spektralen Eigenschaften beeinflusst werden. Man würde so Fensterfolgen erhalten, deren Phasenverlauf zwischen dem Phasenverlauf des minimalphasigen Fensters und des dazu gespiegelten Fensters liegen würden. Der im weiteren vorgestellte Algorithmus liefert immer die minimalphasige Fensterfolge, ohne dass die Nullstellen explizit berechnet und zugeordnet werden.

Da die Faktorisierung im Spektralbereich einer Entfaltung im Zeitbereich entspricht, lässt sich die Folge $d(k)$ als die auf M normierte Faltung ($f(k)*f(-k)$) darstellen. Da $d(k)$ zeitlich auf das Intervall $[N-F; F-N]$ begrenzt ist, muss die Länge der Fensterfolge $f(k)$ — wie gewünscht — kleiner gleich $F-N+1$ sein, so dass $f(k)$ außerhalb des in Gleichung (2.15) angegebene Zeitintervalls Null ist.

Da $f(k)$ zeitlich auf dieses Intervall begrenzt ist, und da $F(\Omega)$ eine in Ω periodische Funktion ist, kann nach dem Abtasttheorem die inverse Z-Transformation bei der Berechnung von $f(k)$ als inverse DFT von F äquidistanten Abtastwerten von $F(\Omega)$ durchgeführt werden. Sinnvollerweise wählt man dabei die Abtastung im Raster $2\pi/F$, da dann auf Grund der Nullstellen nach Gleichung (6.15) nur die $2N-1$ Abtastwerte bei $\Omega = \nu \cdot 2\pi/F$ mit $\nu = 0 (1) N-1 \vee \nu = F-N+1 (1) F-1$ von Null verschieden sind. Es genügt daher einen Algorithmus anzugeben, der in der Lage ist die Faktorisierung von $D(z)$ bei diesen $2N-1$ Frequenzen vorzunehmen, und $F(\Omega)$ für diese Werte von Ω mit hinreichender Genauigkeit zu berechnen.

Die Fensterfolge $f(k)$ lässt sich dann mit Hilfe einer Fourierreihe gemäß

$$f(k) = \begin{cases} \sum_{\nu=1-N}^{N-1} \frac{1}{F} \cdot F\left(\nu \cdot \frac{2\pi}{F}\right) \cdot e^{j \cdot \frac{2\pi}{F} \cdot \nu \cdot k} & \text{für } k = 0 (1) F-1 \\ 0 & \text{sonst} \end{cases} \quad (6.16)$$

aus diesen $2N-1$ Abtastwerten des Spektrums berechnen. Da die Fensterfolge $f(k)$ reell ist, braucht man wegen der Symmetrie des Spektrums sogar nur die N Abtastwerte des Spektrums mit $\nu = 0 (1) N-1$ zu berechnen. Die Berechnung dieser Werte von $F(\Omega)$ erfolgt dabei getrennt nach Betrag und Phase.

6.1.3.1 Beträge der Fourierreihenkoeffizienten der Fensterfolge

Den Betrag berechnet man durch Radizieren aus dem Betragsquadrat des Fensterspektrums, das wiederum nach Gleichung (6.7) als die Summe der verschobenen Betragsquadrate der Basisfensterspektren berechnet wird. Diese Berechnung führt man für die N gesuchten Frequenzwerte $\Omega = \nu \cdot 2\pi/F$ mit $\nu = 0 (1) N-1$ durch. Betrachten wir nun die einzelnen Summanden für eine dieser Frequenzen im Detail. Für diese diskrete Frequenz ν — also bei $z = e^{j \cdot \frac{2\pi}{F} \cdot \nu}$ — berechnen wir nun den in Gleichung (6.5) angegebenen Pol-Nullstellenquotienten des Produktes $G(z \cdot e^{-j \cdot \frac{2\pi}{F} \cdot \nu_1}) \cdot G(z^{-1} \cdot e^{j \cdot \frac{2\pi}{F} \cdot \nu_1})$, wobei die komplexe Frequenz z jeweils entsprechend dem Summenindex ν_1 in Gleichung (6.7) um Vielfache von $2\pi/F$ rotiert ist. Bei einigen Summanden existiert für die betrachtete diskrete Frequenz ν eine doppelte Nullstelle bei $z = e^{j \cdot \frac{2\pi}{F} \cdot \nu}$, die durch *keine* identische doppelte Polstelle kompensiert wird. Diese Summanden sind daher Null, und tragen somit nichts zum Betragsquadrat des Fensterspektrums bei der Frequenz $\Omega = \nu \cdot 2\pi/F$ bei. Bei den anderen Summanden kann jeweils eine doppelte Nullstelle mit einer identischen doppelten Polstelle bei $z = e^{j \cdot \frac{2\pi}{F} \cdot \nu}$ gekürzt werden. Das bei einem solchen Summanden verbleibende Produkt der Zähler der in Gleichung (6.5) angegebenen Pol-Nullstellenquotienten ist immer F^2 . Dieses verbleibende Zählerprodukt ist ja gerade das Betragsquadrat der periodisch fortgesetzten si-Funktion an der Stelle $\Omega=0$. Die Konstante F^2 ist dann noch durch das Produkt der doppelten Polstellen, die bei dem jeweiligen Summanden verbleiben, zu dividieren, um den Summanden bei der Frequenz $\Omega = \nu \cdot 2\pi/F$ vollständig zu berechnen. Die Summe aller dieser Summanden ergibt das gesuchte Betragsquadrat des Spektralwertes $F(\nu \cdot 2\pi/F)$.

Beispiel: Betrachten wir in dem Beispiel des Bildes 6.2 wie sich der Betrag des Fensterspektrums bei der Frequenz $\Omega = 2\pi/F$ — also mit $\nu=1$ — berechnet. In den rechten Teilbildern des Bildes 6.2 habe ich diesen Frequenzpunkt am Einheitskreis jeweils durch eine Hilfslinie markiert. Der erste Summand in Gleichung (6.7) mit $\nu_1=-1$ ist in der dritten Reihe des Bildes 6.2 dargestellt. Er hat bei der betrachteten komplexen Frequenz $z = e^{j \cdot \frac{2\pi}{F}}$ eine doppelte Nullstelle und liefert daher keinen Beitrag. Der zweite Summand in Gleichung (6.7) ist von Null verschieden, wie man in der zweiten Reihe des Bildes 6.2 sehen kann. Es handelt sich dabei um das Betragsquadrat des darüber dargestellten Spektrums, dessen dazugehörige Z-Transformierte in Gleichung (6.5) angegebenen ist. Hier kann die Nullstelle des Zählers bei $e^{j \cdot \frac{2\pi}{F}}$ mit der Polstelle mit $\nu_2=1$ gekürzt werden. Der Betrag des Zählers ist dann F , so dass dieser Faktor quadratisch in den Summanden mit $\nu_1=0$ eingeht. Zur vollständigen Berechnung des Summanden ist noch durch das Betragsquadrat der Abstände des Punktes $e^{j \cdot \frac{2\pi}{F}}$ zu den beiden noch verbleibenden Polstellen mit $\nu_2=0$ und $\nu_2=-1$ zu dividieren. Bei dem in der vierten Reihe des Bildes 6.2 dargestellten Summanden ist aufgrund der Verschiebung in Gleichung (6.5) z durch $z \cdot e^{-j \cdot \frac{2\pi}{F}}$ zu ersetzen. Nun lässt sich die Nullstelle bei $e^{j \cdot \frac{2\pi}{F}}$ mit der Polstelle mit $\nu_2=0$ kürzen. Der sich auch

hier ergebende Faktor F^2 ist wieder durch das Betragsquadrat der Abstände des Punktes $e^{j \cdot \frac{2\pi}{F}}$ zu den verbleibenden Polstellen zu dividieren. Diese tragen nun die Produktindizes $\nu_2=1$ und $\nu_2=-1$. Abschließend wird aus der Summe der beiden von Null verschiedenen Anteile (vorletzte Teilbildreihe) noch die Wurzel gezogen (unterste Teilbildreihe), und man erhält den gesuchten Betrag $|F(2\pi/F)|$

6.1.3.2 Phasen der Fourierreihenkoeffizienten der Fensterfolge

Bei der Berechnung der Phase des Spektrums der Fensterfolge über die Faktorisierung von $D(z)$ in einen minimal- und einen maximalphasigen Anteil kann der Anteil der doppelten Nullstellen von $D(z)$ am Einheitskreis getrennt behandelt werden. Die Phase dieses Anteils, der im weiteren als $D_E(e^{j\Omega})$ bezeichnet wird, ist linear und kann je zur Hälfte dem minimal- und dem maximalphasigen Anteil zugeordnet werden. Für die N Frequenzpunkte, für die die Abtastwerte des Spektrums berechnet werden müssen, kann man diesen linearen Anteil aufgrund der bekannten Nullstellenlage explizit angeben.

Die Nullstellenlage des Restes von $D(z)$, ist unbekannt, da diese Nullstellen erst durch die additive Überlagerung der verschobenen Versionen $G(z \cdot e^{-j \cdot \frac{2\pi}{F} \cdot \nu_1}) \cdot G(z^{-1} \cdot e^{j \cdot \frac{2\pi}{F} \cdot \nu_1})$ des Produkts der Z-Transformierten der Basisfensterfolge entstehen.

Um den Anteil der Phase des Spektrums der Fensterfolge zu berechnen, der von dem Teil von $D(z)$ verursacht wird, der die unbekannten Nullstellen enthält, und der im weiteren $D_{\bar{E}}(z)$ genannt wird, wählen wir einen Weg, bei dem wir die unbekannten Nullstellen nicht explizit berechnen müssen. Dabei nutzen wir die Tatsache, dass die invers Z-Transformierte des Logarithmus der Z-Transformierten einer reellen minimalphasigen Folge — nach [14] auch als komplexes Cepstrum bezeichnet — eine reelle kausale Folge ist. Wie jede reelle kausale Folge lässt sich auch diese als die Summe einer geradesymmetrischen und einer schiefsymmetrischen Folge darstellen. Für positives k sind der gerade- und der schiefsymmetrische Anteil identisch und halb so groß wie die reelle kausale Folge. So mit lässt sich, wenn man den geradesymmetrischen Anteil kennt, der schiefsymmetrische Anteil bestimmen, indem man bei den Werten für negatives k das Vorzeichen invertiert und den Wert für $k=0$ zu Null setzt.

Der geradesymmetrische Anteil — nach [14] auch als reelles Cepstrum bezeichnet — ist die invers Fouriertransformierte der Dämpfung mit invertierten Vorzeichen. Die Dämpfung ist nämlich — bis auf das Vorzeichen — der Realteil des Logarithmus der Z-Transformierten der reellen minimalphasigen Folge für $z=e^{j\Omega}$. Indem man nun daraus den schiefsymmetrischen Anteil berechnet und diesen fouriertransformiert, erhält man die mit $-j$ multiplizierte Phase. Diese ist nämlich — ebenfalls bis auf das Vorzeichen — der Imaginärteil des Logarithmus der Z-Transformierten der reellen minimalphasigen Folge für $z=e^{j\Omega}$.

Die Dämpfung des gesuchten minimalphasigen Anteils von $D_{\overline{E}}(z)$ mit den unbekannten Nullstellen kann man für $z = e^{j\Omega}$ dadurch erhalten, dass man von einer Summe über die Betragsquadrate von Polynomen mit bekannten Nullstellen, die im Unterkapitel 6.1.4 im Detail angegeben werden, den *halben*³ Logarithmus berechnet. Die Phase des minimalphasigen Anteils von $D_{\overline{E}}(e^{j\Omega})$ erhält man wie oben beschrieben, indem man die Hilbert-Transformierte der Dämpfung berechnet. Dazu wird die Dämpfung zunächst fourierrücktransformiert, dann mit j mal der Signumfunktion $\text{sgn}(k)$ multipliziert und danach wieder fouriertransformiert.

Damit sich diese beiden Fouriertransformationen mit einer FFT endlicher Länge durchführen lassen, müsste die Fouriertransformierte der Dämpfung eine endliche Länge aufweisen. Dies ist jedoch — abgesehen von dem trivialen Fall der γ_0 -Folge — bei keiner Folge der Fall. Vielmehr setzt sich das komplexe Cepstrum einer minimalphasigen Folge aus im wesentlichen exponentiell abklingenden und daher unbegrenzt lang andauernden Komponenten zusammen, die sich in der Form \dot{z}_0^k / k schreiben lassen. Dabei sind mit \dot{z}_0 die in unserem Fall unbekannten Nullstellen bezeichnet. Das Fragezeichen im Formelzeichen soll hier andeuten, dass diese Nullstellen bei dem hier verwendeten Algorithmus an keiner Stelle explizit berechnet werden somit immer unbekannt bleiben. Wegen der Minimalphasigkeit liegen alle diese unbekannten Nullstellen innerhalb des Einheitskreises, und die exponentiellen Komponenten sind alle mit steigendem k abklingend. Die Abklingkonstanten dieser Komponenten hängen davon ab, wie nahe sich diese Nullstellen der Z-Transformierten der Folge am Einheitskreis befinden. Da an einem Computer die FFT sowieso nur mit einer endlichen Rechengenauigkeit berechnet werden kann, genügt es die Länge der FFT so groß zu wählen, dass der Anteil der exponentiell abklingenden Komponenten, der sich oberhalb des Rauschsockels der Rechengenauigkeit befindet, innerhalb der halben FFT-Länge liegt. Bild 6.3 zeigt an einem Beispiel den Verlauf des Betrags des reellen Cepstrums einer minimalphasigen Folge $x(k)$, das mit einem Computer mit einer FFT der Länge 4096 berechnet worden ist, in halblogarithmischer Darstellung. Deutlich ist zu erkennen, dass bei der gewählten FFT-Länge der Betrag des Cepstrums für hinreichend große Werte von k bereits in dem von der begrenzten Rechengenauigkeit herrührenden Rauschsockel verschwindet, so dass nicht zu erwarten ist, dass die Phase des Spektrums dieser Folge mit einer längeren FFT besser zu berechnen wäre.

Es zeigte sich, dass bei dem zu faktorisierenden Betragsquadratspektrum $D(e^{j\Omega})$ die Fourierücktransformierte der Dämpfung des Anteils $D_{\overline{E}}(e^{j\Omega})$, vor allem für große Werte von M viel zu langsam abklingt, um damit die Phase der Fensterfolge mit einer FFT vernünftiger Länge berechnen zu können. Offensichtlich liegen also ein oder mehrere der unbekann-

³Da hier die Quadrate der Beträge der Polynome überlagert werden, und nicht die Beträge selbst, ist der Logarithmus davon zu halbieren.

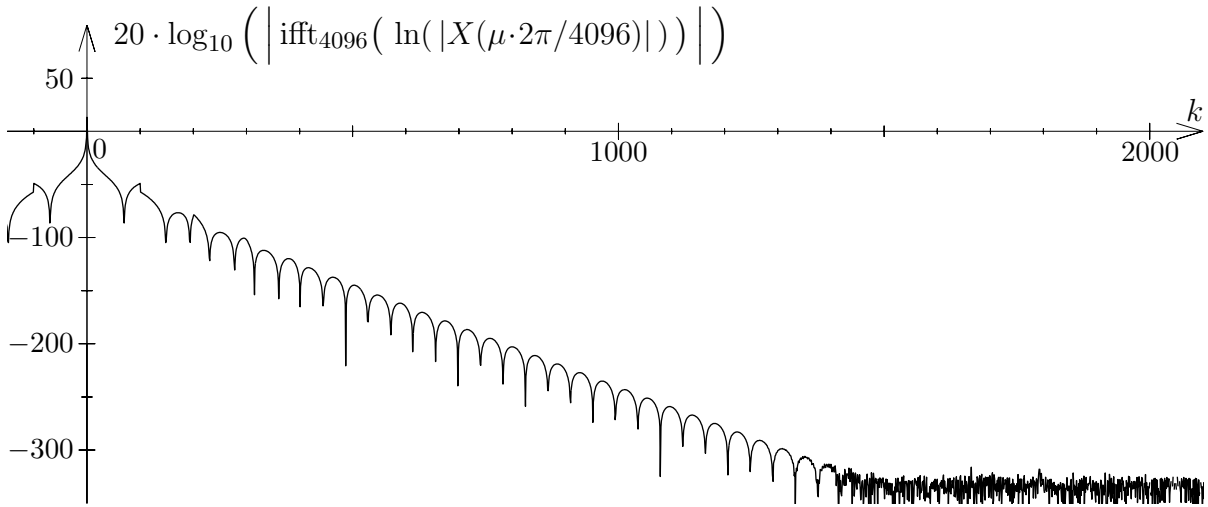


Bild 6.3: Numerisch berechnetes Cepstrum einer minimalphasigen Folge.

$$\text{Beispiel mit der Folge } x(k) = \begin{cases} 100-k & \text{für } k = 0 \text{ (1) } 99 \\ 0 & \text{sonst} \end{cases}$$

ten Nullstellen viel zu nahe am Einheitskreis, so dass die im wesentlichen exponentiell abklingenden Komponenten \tilde{z}_0^k / k selbst für sehr großes k oberhalb des Rauschsockels der Rechengenauigkeit liegen. Daher wird vor der Berechnung der Phase eine Bilineartransformation des Anteils $D_{\bar{E}}(z)$ mit den unbekannten Nullstellen durchgeführt. Bei dieser Bilineartransformation wird die komplexe Frequenzvariable z durch die neue ebenfalls komplexe Frequenzvariable \tilde{z} ersetzt, und wir erhalten die bilinear Z-Transformierte $\tilde{D}_{\bar{E}}(\tilde{z})$.

Durch die bilineare Transformation werden die Punkte $e^{j \cdot \frac{2\pi}{F} \cdot \nu}$ am Einheitskreis der z -Ebene, die den Frequenzen entsprechen, für die das Spektrum der Fensterfolge berechnet werden soll, auf Punkte am Einheitskreis der \tilde{z} -Ebene abgebildet. Für diese Punkte ist nun die Phase von $\tilde{D}_{\bar{E}}(\tilde{z})$ zu bestimmen.

Die bilinear Z-Transformierte $\tilde{D}_{\bar{E}}(\tilde{z})$ lässt sich ebenfalls wieder in zwei Anteile zerlegen. Der eine Anteil $\tilde{D}_P(\tilde{z})$ besteht dabei aus einem Polstellenpaar mehrfacher Vielfachheit mit *bekannter* Polstellenlage. Der Einfluss dieser Polstellen auf die Phase des Spektrums der gesuchten Fensterfolge kann explizit angegeben werden.

Der restlichen Anteil $\tilde{D}_N(\tilde{z})$ enthält wieder nur unbekannte Nullstellen. Der Betrag dieses Anteils lässt sich als eine Summe berechnen, wobei die einzelnen Summanden die Beiträge bilineartransformierter, bekannter, verschobener Nullstellen sind. Die Phase des Anteils $\tilde{D}_N(\tilde{z})$ kann man als Fouriersinusreihe darstellen. Die Koeffizienten der Fouriersinusreihe erhält man aus dem Cepstrum von $\tilde{D}_N(\tilde{z})$, das man in der oben beschriebenen Art über

eine FFT des Logarithmus des Betrages von $\tilde{D}_N(\tilde{z})$ berechnet. Da bei geeigneter Wahl des Bilineartransformationsparameters c die unbekannten Nullstellen nach der Transformation nicht mehr so nahe am Einheitskreis liegen, klingt das Cepstrum rascher ab, und die Länge \tilde{M} der zur Berechnung des Cepstrums eingesetzten FFT liegt in einer sinnvollen Größenordnung. Die Phase des Anteils $\tilde{D}_N(\tilde{z})$ berechnet man nun über die Auswertung der Fouriersinusreihe für die *nicht äquidistanten*⁴ Frequenzen $\tilde{\Omega}$, die durch die Bilineartransformation aus den Frequenzen $\Omega = \nu \cdot 2\pi/F$ entstanden sind, für die das Spektrum der Fensterfolge zu berechnen ist.

Die gesuchte Gesamtphase des Spektrums der Fensterfolge erhält man, indem man diesen Phasenanteil zu dem Phasenanteil der Polstellen von $\tilde{D}_P(\tilde{z})$ und dem linearen Phasenanteil der Nullstellen von $D_E(z)$ auf dem Einheitskreis addiert. Die Exponentialfunktion mit der so berechneten Gesamtphase multipliziert man mit dem zuvor berechneten Betrag und man erhält die gesuchten Spektralwerte der Fensterfolge. Nun normiert man diese Spektralwerte mit einem konstanten Faktor, so dass sich für den Wert des Spektrums bei der Frequenz Null der nach Gleichung (2.27) geforderte Wert M ergibt. Zuletzt wird die Fensterfolge aus den Spektralwerten berechnet.

Anmerkung: Da die Zuordnung der Nullstellen nicht nach der Minimalphasigkeit erfolgen muss, gibt es weitere mögliche Lösungen. Die maximalphasige Lösung erhält man durch Spiegelung der minimalphasigen Lösung. Die weiteren Lösungen mit dazwischenliegenden Phasenverläufen können mit dem hier vorgestellten Algorithmus nicht berechnet werden. Alle Lösungen wären für die Anwendung beim RKM genauso gut geeignet.

6.1.4 Der dritte Schritt des Algorithmus im Detail

Wir beginnen damit, die gebrochen rationale Funktion $D(z)$, deren Betrag für $z = e^{j\Omega}$ das Betragsquadrat des Spektrums der Fensterfolge ist, in eine geeignete Form zu bringen. Dazu ersetzen wir in der Definitionsgleichung (6.7) zunächst $e^{j\Omega}$ durch z , substituieren anschließend das Betragsquadrat mit Gleichung (6.6) und setzen danach die gebrochen rationalen Funktionen aus Gleichung (6.5) ein:

$$\begin{aligned}
 F(-j \cdot \ln(z)) \cdot F(j \cdot \ln(z)) \sim D(z) &= \sum_{\nu_1=\frac{1-N}{2}}^{\frac{N-1}{2}} G\left(z \cdot e^{-j \cdot \frac{2\pi}{F} \cdot \nu_1}\right) \cdot G\left(z^{-1} \cdot e^{j \cdot \frac{2\pi}{F} \cdot \nu_1}\right) = \\
 &= \sum_{\substack{\nu_1=\frac{1-N}{2} \\ \nu_2=\frac{1-N}{2}}}^{\frac{N-1}{2}} \frac{z^F \cdot e^{-j \cdot 2\pi \cdot \nu_1} + (-1)^N}{\prod_{\nu_2=\frac{1-N}{2}}^{\frac{N-1}{2}} \left(z \cdot e^{-j \cdot \frac{2\pi}{F} \cdot \nu_1} - e^{j \cdot \frac{2\pi}{F} \cdot \nu_2}\right)} \cdot \frac{z^{-F} \cdot e^{j \cdot 2\pi \cdot \nu_1} + (-1)^N}{\prod_{\nu_2=\frac{1-N}{2}}^{\frac{N-1}{2}} \left(z^{-1} \cdot e^{j \cdot \frac{2\pi}{F} \cdot \nu_1} - e^{j \cdot \frac{2\pi}{F} \cdot \nu_2}\right)} =
 \end{aligned}$$

⁴Eine FFT kann hier nicht eingesetzt werden.

$$\begin{aligned}
&= \sum_{\substack{\nu_1=\frac{1-N}{2} \\ \nu_2=\frac{1-N}{2}}}^{\frac{N-1}{2}} \frac{z^F \cdot (-1)^{2 \cdot \nu_1 + N} + 2 + z^{-F} \cdot (-1)^{2 \cdot \nu_1 + N}}{\prod_{\substack{\nu_1=\frac{1-N}{2} \\ \nu_2=-\frac{N-1}{2}}}^{\frac{N-1}{2}} \left(-z \cdot e^{-j \cdot \frac{2\pi}{F} \cdot (\nu_1 + \nu_2)} + 2 - z^{-1} \cdot e^{j \cdot \frac{2\pi}{F} \cdot (\nu_1 + \nu_2)} \right)} = \\
&= \sum_{\substack{\nu_1=\frac{1-N}{2} \\ \nu_2=-\frac{N-1}{2}}}^{\frac{N-1}{2}} \frac{-z^F + 2 - z^{-F}}{\prod_{\substack{\nu_1=\frac{1-N}{2} \\ \nu_2=-\frac{N-1}{2}}}^{\frac{N-1}{2}} \left(-z \cdot e^{-j \cdot \frac{2\pi}{F} \cdot (\nu_1 + \nu_2)} + 2 - z^{-1} \cdot e^{j \cdot \frac{2\pi}{F} \cdot (\nu_1 + \nu_2)} \right)} \tag{6.17}
\end{aligned}$$

6.1.4.1 Beträge der Fourierreihenkoeffizienten der Fensterfolge

Setzt man $z = e^{j \cdot \frac{2\pi}{F} \cdot \nu}$ mit $\nu = 0 \text{ (1)} N-1$ ein, so erhält man für das Betragsquadrat der zu bestimmenden Spektralwerte, die als Koeffizienten der Fourierreihe der Fensterfolge nach Gleichung (6.16) auftreten, bis auf einen konstanten Faktor den folgenden Ausdruck:

$$\begin{aligned}
|F(\nu \cdot \frac{2\pi}{F})|^2 &= F(\nu \cdot \frac{2\pi}{F}) \cdot F(-\nu \cdot \frac{2\pi}{F}) \sim D(e^{j \cdot \frac{2\pi}{F} \cdot \nu}) = \\
&= F^2 \cdot 4^{1-N} \cdot \sum_{\substack{\nu_1=\max(\nu,0)-\frac{N-1}{2} \\ \nu_2=-\frac{N-1}{2} \\ \nu_2 \neq \nu - \nu_1}}^{\min(\nu,0)+\frac{N-1}{2}} \prod_{\substack{\nu_1=\max(\nu,0)-\frac{N-1}{2} \\ \nu_2=-\frac{N-1}{2} \\ \nu_2 \neq \nu - \nu_1}}^{\frac{N-1}{2}} \sin((\nu - \nu_2 - \nu_1) \cdot \frac{\pi}{F})^{-2}.
\end{aligned} \tag{6.18}$$

Dabei wurde im Summationsindex berücksichtigt, dass einige Summanden Null werden, weil bei diesen die doppelte Nullstelle bei $z = e^{j \cdot \frac{2\pi}{F} \cdot \nu}$ nicht durch eine entsprechende doppelte Polstelle kompensiert wird. Bei den verbleibenden Summanden wurde diese doppelte Nullstelle gekürzt, was sich darin äußert, dass bei dem Produktindex der eine Wert $\nu_2 = \nu - \nu_1$ explizit ausgeschlossen ist. Für den verbleibenden Zähler wurde der Wert F^2 eingesetzt, den man mit dem Satz von de l' Hospital aus dem Quotienten des vollständigen Zählers und der gekürzten Polstelle erhält. Es verbleibt im Nenner das Produkt der Quadrate der Abstände zu den verbleibenden doppelten Polstellen am Einheitskreis. Um die sich ergebende Formel übersichtlich zu halten, wurde nicht die Darstellung als Bruch mit dem Zähler 1 gewählt, sondern bei jedem Polstellenabstand der negative Exponent -2 . Jeder Polstellenabstand wird als doppelter Sinus des halben Differenzwinkels zwischen den Polstellenwinkeln und dem Frequenzpunkt $\frac{2\pi}{F} \cdot \nu$, für den das Produkt zu bestimmen ist, berechnet. Die Verdoppelung des Sinuswertes wurde für alle Faktoren eines Produktes in dem Vorfaktor 4^{1-N} zusammengefasst und vor die Summe gezogen. Die Halbierung des Differenzwinkels ist daran zu erkennen, dass im Argument der Sinusfunktion nicht $2\pi/F$ sondern π/F steht. Da abschließend eine Normierung des Fensterspektrums in der Art erfolgt, dass $F(0) = M$ ist, kann man auf eine explizite Berechnung des Vorfaktors $F^2 \cdot 4^{1-N}$, der für alle zu berechnenden Frequenzpunkte gleich ist, verzichten.

Die positive Wurzel der mit der letzten Gleichung berechneten Werte ist der Betrag $|F(\nu \cdot \frac{2\pi}{F})|$ der gesuchten Spektralwerte der Fensterfolge.

6.1.4.2 Phasen der Fourierreihenkoeffizienten der Fensterfolge

Etwas aufwendiger gestaltet sich die Berechnung der Phase des Spektrums der Fensterfolge mit der wir nun beginnen. Der z^F -fache Zähler der Summanden in Gleichung (6.17) hat nur doppelte Nullstellen am Einheitskreis bei Vielfachen von $2\pi/F$ und ist von ν_1 unabhängig. Er kann daher vor die Summe gezogen werden. Durch die anschließende Erweiterung auf den Hauptnenner erhält man

$$\begin{aligned}
 & F(-j \cdot \ln(z)) \cdot F(j \cdot \ln(z)) \sim D(z) = \quad (6.19) \\
 & = \underbrace{\frac{-z^F + 2 - z^{-F}}{\prod_{\nu_3=1-N}^{N-1} \left(-z \cdot e^{-j \cdot \frac{2\pi}{F} \cdot \nu_3} + 2 - z^{-1} \cdot e^{j \cdot \frac{2\pi}{F} \cdot \nu_3} \right)}}_{= D_E(z)} \cdot \underbrace{\sum_{\nu_1=\frac{1-N}{2}}^{\frac{N-1}{2}} \prod_{\nu_2} \left(-z \cdot e^{-j \cdot \frac{2\pi}{F} \cdot \nu_2} + 2 - z^{-1} \cdot e^{j \cdot \frac{2\pi}{F} \cdot \nu_2} \right)}_{= D_{\bar{E}}(z)},
 \end{aligned}$$

wobei der Laufindex ν_2 des in der Summe stehenden Produkts jeweils die $N-1$ Werte annimmt, die das Produkt entstehen lassen, das zur Erweiterung auf den Hauptnenner beim jeweiligen Summanden benötigt wird. Da die Aufzählung der Werte, die der Laufindex ν_2 durchläuft, zu umfangreich ist, um unterhalb des Produktsymbols Platz zu finden, wird diese nun explizit angegeben. Bei dem Summanden mit dem Laufindex ν_1 kann ν_2 dieselben Werte $1-N$ (1) $N-1$ annehmen, wie der Laufindex ν_3 des Produkts im Nenner von $D_E(z)$. Die Werte $\nu_1+(1-N)/2$ (1) $\nu_1+(N-1)/2$ sind jedoch ausgeschlossen, da diese den Polstellen in Gleichung (6.17) entsprechen.

Wenn man die identischen Pol- und Nullstellen der gebrochen rationalen Funktion $D_E(z)$ kürzt, ist dieser Anteil mit $z^{F+1-2 \cdot N}$ multipliziert, ein Polynom aus doppelten Nullstellen am Einheitskreis bei $\Omega = \nu \cdot 2\pi/F$ mit $\nu = N$ (1) $F-N$. Jede der doppelten Nullstellen tritt als einfache Nullstelle im minimalphasigen Anteil von $D_E(z)$ auf. Die Phase dieses minimalphasigen Anteils ist — abgesehen von einem π -Sprung bei jeder Nullstelle — in Ω linear. Sie steigt mit $(F-2 \cdot N+1) \cdot \Omega/2$, und wird später zu der Phase des minimalphasigen Anteils von $D_{\bar{E}}(z)$ addiert. Im Bereich der interessierenden Frequenzen $|\Omega| < 2\pi/M$ besitzt $D_E(z)$ keine Nullstellen, so dass die Phase von $D_E(z)$ dort keine π -Sprünge hat, die man andernfalls berücksichtigen müsste.

Alle Summanden der Summe $D_{\bar{E}}(z)$ der Produkte, die zur Erweiterung auf den Hauptnenner benötigt wurden, sind für $z = e^{j\Omega}$ nichtnegativ und bei keiner Frequenz Ω sind alle Summanden zugleich Null. Daher weist $D_{\bar{E}}(z)$ am Einheitskreis keine Nullstellen auf.

Um die Phase dieses Anteils $D_{\bar{E}}(z)$ über das Cepstrum mit einer FFT vernünftiger Länge berechnen zu können, empfiehlt sich vor der Berechnung des Cepstrums eine Bilineartransformation vorzunehmen, indem man die komplexe Frequenzvariable z durch die gebrochen rationale Funktion

$$z = \frac{\tilde{z} + (1-c)}{1 + (1-c) \cdot \tilde{z}} \quad (6.20)$$

der neuen komplexen Frequenzvariable \tilde{z} substituiert. Nach z aufgelöst erhält man für die Rücktransformation die Substitution

$$\tilde{z} = \frac{z - (1-c)}{1 - (1-c) \cdot z}. \quad (6.21)$$

Diese Bilineartransformation bildet den Einheitskreis $z = e^{j\Omega}$ der z -Ebene auf den Einheitskreis $\tilde{z} = e^{j\tilde{\Omega}}$ der \tilde{z} -Ebene ab. Für die Frequenzen Ω und $\tilde{\Omega}$ ergibt sich folgender Zusammenhang:

$$\tilde{\Omega} = \Omega + 2 \cdot \arctan \left(\frac{(1-c) \cdot \sin(\Omega)}{c + 2 \cdot (1-c) \cdot \sin^2(\frac{\Omega}{2})} \right). \quad (6.22)$$

Mit Hilfe des Parameters c lässt sich die Lage der unbekannten Nullstellen der bilineartransformierten Funktion in der \tilde{z} -Ebene beeinflussen. Wir werden diesen Parameter im Bereich $0 < c < 2$ wählen, so dass sowohl bei der Hin-, als auch bei der Rücktransformation, die Polstelle in den Gleichungen (6.20) und (6.21) immer außerhalb des Einheitskreises liegt. Ein konkreter Vorschlag, wie der Parameter c sinnvoll eingestellt werden kann, wird im Anschluss an Gleichung (6.29) angegeben.

Für $D_{\bar{E}}(z)$ erhält man dann durch Substitution von z

$$\begin{aligned} D_{\bar{E}}(z) &= \sum_{\nu_1=\frac{1-N}{2}}^{\frac{N-1}{2}} \prod_{\nu_2} \left(-z \cdot e^{-j \cdot \frac{2\pi}{F} \cdot \nu_2} + 2 - z^{-1} \cdot e^{j \cdot \frac{2\pi}{F} \cdot \nu_2} \right) = \tilde{D}_{\bar{E}}(\tilde{z}) = \\ &= \underbrace{\left(\frac{\tilde{z}}{(1 + (1-c) \cdot \tilde{z}) \cdot (\tilde{z} + (1-c))} \right)^{N-1}}_{= \tilde{D}_P(\tilde{z})} \cdot \underbrace{\sum_{\nu_1=\frac{1-N}{2}}^{\frac{N-1}{2}} \prod_{\nu_2} \left(K_{\nu_2} \cdot (\tilde{z} - \tilde{z}_{\nu_2}) \cdot (\tilde{z}^{-1} - \tilde{z}_{\nu_2}^*) \right)}_{= \tilde{D}_N(\tilde{z})}, \end{aligned} \quad (6.23)$$

mit den Nullstellen \tilde{z}_{ν_2} , die durch die Bilineartransformation aus den Nullstellen der einzelnen Summanden am Einheitskreis bei $z = e^{j \cdot \frac{2\pi}{F} \cdot \nu_2}$ entstanden sind:

$$\tilde{z}_{\nu_2} = \frac{e^{j \cdot \frac{2\pi}{F} \cdot \nu_2} - (1-c)}{1 - (1-c) \cdot e^{j \cdot \frac{2\pi}{F} \cdot \nu_2}} = e^{j \cdot 2 \cdot (\frac{\pi}{F} \cdot \nu_2 + \tilde{\psi}_{\nu_2})} \quad (6.24)$$

Für die Konstante K_{ν_2} ergibt sich der Wert

$$K_{\nu_2} = \left| 1 - (1-c) \cdot e^{j \cdot \frac{2\pi}{F} \cdot \nu_2} \right|^2 = c^2 + 4 \cdot (1-c) \cdot \sin^2(\nu_2 \cdot \frac{\pi}{F}), \quad (6.25)$$

und für den halben Winkel der Nullstellenrotation $\tilde{\psi}_{\nu_2}$ mit Gleichung (6.22) der Wert

$$\tilde{\psi}_{\nu_2} = \arctan\left(\frac{(1-c)\cdot\sin\left(\frac{2\pi}{F}\cdot\nu_2\right)}{c + 2\cdot(1-c)\cdot\sin\left(\frac{\pi}{F}\cdot\nu_2\right)^2}\right). \quad (6.26)$$

Weil der Einheitskreis bei der Bilineartransformation wieder auf den Einheitskreis abgebildet wird, ist $\tilde{D}_{\bar{E}}(\tilde{z})$ ebenso wie $D_{\bar{E}}(z)$ am Einheitskreis positiv und weist dort *keine* Nullstellen auf.

In Gleichung (6.23) steht der Term $\tilde{D}_P(\tilde{z})$, dessen Polstellen spiegelsymmetrisch zum Einheitskreis bei $\tilde{z} = c-1$ und $\tilde{z} = 1/(c-1)$ liegen, vor der Summe. Dieser Anteil wird bilinear zurücktransformiert. Man erhält — wieder bis auf einen konstanten Faktor — den Term

$$D_P(z) = \left(\frac{(1-(1-c)\cdot z)\cdot(z-(1-c))}{z}\right)^{N-1}. \quad (6.27)$$

Dieser Term hat ein zum Einheitskreis symmetrisches Nullstellenpaar der Vielfachheit $N-1$ bei $z = 1-c$ und $z = 1/(1-c)$ sowie eine Polstelle bei $z=0$ mit derselben Vielfachheit. Der minimalphasige Anteil dieses Terms setzt sich aus den $N-1$ Faktoren $(z-(1-c))/z$ mit den Nullstellen innerhalb des Einheitskreises zusammen und liefert für jeden Faktor den Phasenbeitrag

$$-\arctan\left(\frac{(1-c)\cdot\sin(\Omega)}{c + 2\cdot(1-c)\cdot\sin\left(\frac{\Omega}{2}\right)^2}\right), \quad (6.28)$$

der für $\Omega = \nu\cdot2\pi/F$ mit $\nu = 1 (1) N-1$ bei der Berechnung der Phase von $F(\nu\cdot2\pi/F)$ entsprechend mit der Vielfachheit $N-1$ zu addieren ist.

Nun müssen wir noch die Phase des minimalphasigen Anteils des Summenanteils $\tilde{D}_N(\tilde{z})$ in Gleichung (6.23) berechnen. Diese Summe ist für $\tilde{z} = e^{j\tilde{\Omega}}$ positiv reell und lässt sich bis auf einen konstanten Faktor in der Form

$$\tilde{D}_N(e^{j\tilde{\Omega}}) \sim \sum_{\nu_1=\frac{1-N}{2}}^{\frac{N-1}{2}} \prod_{\nu_2} \left(K_{\nu_2} \cdot \sin\left(\frac{\tilde{\Omega}}{2} - \frac{\pi}{F} \cdot \nu_2 - \tilde{\psi}_{\nu_2}\right)^2 \right) = \quad (6.29)$$

$$= \sum_{\nu_1=\frac{1-N}{2}}^{\frac{N-1}{2}} \prod_{\nu_2} \left(K_{\nu_2} \cdot \sin\left(\frac{\pi}{\tilde{M}} \cdot \left(\eta - \tilde{M} \cdot \left(\frac{\nu_2}{F} + \frac{\tilde{\psi}_{\nu_2}}{\pi}\right)\right)\right)^2 \right)$$

berechnen. Hier wurden zuletzt die nach der Bilineartransformation für ganzzahlige Werte η äquidistanten Frequenzen $\tilde{\Omega} = \eta \cdot 2\pi/\tilde{M}$ eingesetzt.

Wenn wir nun den Logarithmus einer Periode der kontinuierlichen Funktion $\tilde{D}_N(e^{j\tilde{\Omega}})$ invers fouriertransformieren, erhalten wir das doppelte Cepstrum, das reell und gerade-symmetrisch ist. Da das Cepstrum immer abklingt, kann man das doppelte Cepstrum im

Rahmen der Rechengenauigkeit auch mit Hilfe einer inversen FFT des Logarithmus von $\tilde{D}_N(e^{j\cdot\eta\cdot2\pi/\tilde{M}})$ berechnen, wenn wir nur \tilde{M} groß genug wählen. Wie groß \tilde{M} zu wählen ist, hängt neben der Zahlendarstellung des verwendeten Rechners vor allen von der Wahl des Bilineartransformationsparameters c ab. Damit das Cepstrum möglichst rasch abklingt, muss der Bilineartransformationsparameter c geeignet gewählt werden. Für c wird der empirisch ermittelte Wert

$$c = \frac{2}{1 + \frac{\left(\frac{N}{2}\right)^{\frac{M}{3\cdot(1-M)}}}{\tan\left(\frac{\pi}{2\cdot M}\right)}} \quad (6.30)$$

eingestellt. Damit wird für alle $M \geq 2$ und alle $2 \leq N \leq 64$ nahezu das schnellste Abklingen des doppelten Cepstrums erreicht. Es ist anzunehmen, dass auch für $N > 64$ diese Wahl des Bilineartransformationsparameters c geeignet ist. Dies wurde jedoch nur stichprobenartig für einige Werte von $N \leq 256$ überprüft. Als nötige Länge \tilde{M} für die inverse FFT konnte bei diesem c der Mindestwert

$$\tilde{M} > \left(\text{Mantissenwortlänge} - 1 \right) \cdot 2^{\ln\left(\frac{N}{3}\right) \cdot 3,6^{\frac{1}{M}}}; \quad (6.31)$$

empirisch bestimmt werden, der von der Mantissenwortlänge des zur Berechnung der Fensterfolge verwendeten Rechners abhängt. Die Mantissenwortlänge des Rechners kann z. B. in der Interpretersprache MATLAB durch $1-\log(\text{eps})/\log(2)$ bestimmt werden. Nach dem IEEE-Standard 754 ist sie bei 8-Byte Gleitkommaarithmetik 53 Bit. Von diesen 53 Bit werden nur 52 Bit explizit in den acht Byte abgespeichert. Das höchstwertige Mantissen-Bit ist bei der verwendeten normierten Zahlendarstellung immer Eins, und wird daher nicht explizit abgespeichert. Damit eine inverse FFT verwendet werden kann, wird die niedrigste Zweierpotenz für \tilde{M} gewählt, die die Gleichung (6.31) erfüllt.

Für das doppelte Cepstrum erhalten wir:

$$2 \cdot C(k) = \frac{1}{\tilde{M}} \cdot \sum_{\eta=0}^{\tilde{M}-1} \ln\left(\tilde{D}_N\left(e^{j\cdot\eta\cdot\frac{2\pi}{\tilde{M}}}\right)\right) \cdot e^{j\cdot\frac{2\pi}{\tilde{M}}\cdot\eta\cdot k}. \quad (6.32)$$

Die Werte des doppelten Cepstrums sind für $k > 0$ die Sinusreihenkoeffizienten der in der Frequenz $\tilde{\Omega}$ periodischen schiefsymmetrischen Phasenfunktion des minimalphasigen Anteils von $\tilde{D}_N(\tilde{z})$. Gesucht wird letztlich die Phase des Spektrums $F(\Omega)$ bei den Frequenzen $\Omega = \nu \cdot 2\pi/F$ mit $\nu = 1 \text{ (1) } N-1$. Mit Gleichung (6.22) erhalten wir die entsprechenden Frequenzen $\tilde{\Omega}_\nu$ nach der Bilineartransformation:

$$\tilde{\Omega}_\nu = \nu \cdot \frac{2\pi}{F} + 2 \cdot \arctan\left(\frac{(1-c) \cdot \sin\left(\nu \cdot \frac{2\pi}{F}\right)}{c + 2 \cdot (1-c) \cdot \sin^2\left(\nu \cdot \frac{\pi}{F}\right)}\right). \quad (6.33)$$

Nun wird der Wert der in der Frequenz $\tilde{\Omega}$ periodischen schiefsymmetrischen Phasenfunktion des minimalphasigen Anteils von $\tilde{D}_N(e^{j\tilde{\Omega}})$ durch Auswertung der Sinusreihe⁵ bei diesen Frequenzen berechnet:

$$\phi(\nu) = \sum_{k=1}^{\frac{M}{2}-1} 2 \cdot C(k) \cdot \sin(\tilde{\Omega}_\nu \cdot k). \quad (6.34)$$

Die anschließende Addition dieses Phasenanteils, des Phasenanteils nach Gleichung (6.28) des in Gleichung (6.23) vor die Summe gezogenen Terms $\tilde{D}_P(\tilde{z})$ und des linearen Phasenanteils des in Gleichung (6.19) vor die Summe gezogenen Terms $D_E(z)$ ergibt die gesuchte Phase von $F(\nu \cdot 2\pi/F)$. Der Betrag wurde als die positive Wurzel des Ausdrucks in Gleichung (6.18) berechnet. Der Betrag wird noch auf $F(0)/M$ normiert und mit e^{-j} -Phase multipliziert. Mit den so gewonnenen Fourierreihenkoeffizienten $F(\nu \cdot 2\pi/F)/F$ berechnet sich die gesuchte Fensterfolge nach Gleichung (6.16).

Anmerkung: Außer für den trivialen Fall mit $N=1$ (Rechteckfenster) gibt es auch für $N=2$ (1) 5 und beliebiges M eine geschlossene Lösung für $F(\nu \cdot 2\pi/F)$ mit $\nu = 1-N$ (1) $N-1$. Man kann nämlich das Polynom $D_{\bar{E}}(z)$, das ein Teil des Polynoms $z^{F-N} \cdot D(z)$ ist, und dessen Nullstellensetzung unbekannt ist, auch mit

$$s = \frac{z-1}{z+1} \quad (6.35)$$

bilineartransformieren. Diese Bilineartransformation bildet Punkte, die in der z -Ebene zum Einheitskreis symmetrisch liegen, auf zur imaginären Achse der s -Ebene symmetrische Punkte ab. Dies ist so, weil eine Substitution von z durch $(z^*)^{-1}$ in Gleichung (6.35) $-s^*$ ergibt. Da die Nullstellen von $D_{\bar{E}}(z)$ zum Einheitskreis symmetrisch liegen, ergeben sich durch die Bilineartransformation zur imaginären Achse der s -Ebene spiegelsymmetrische Nullstellen. Die Spiegelsymmetrie der Nullstellen zur reellen Achse bleibt erhalten. Abgesehen von einer $N-1$ -fachen Nullstelle bei $s=0$ und einem $N-1$ -fachen Polstellenpaar bei $s=\pm 1$, deren Phasenbeitrag geschlossen angegeben werden kann, erhält man so ein Polynom mit zum Ursprung der s -Ebene punktsymmetrischen Nullstellen. Jeweils zwei zueinander punktsymmetrische Nullstellen liefern einen Polynomfaktor $s^2 - s_0^2$, so dass sich insgesamt ein Polynom in s^2 vom Grad $N-1$ ergibt. Da sich die Nullstellen von Polynomen bis zum Grad 4 geschlossen berechnen lassen, lässt sich auch die Lage der Nullstellen vor der Bilineartransformation, und somit auch die Phase des minimalphasigen Anteils sowie die Fensterfolge selbst geschlossen berechnen. Diese Lösungen sind aber außer für $N=2$ so umfangreich, dass es auch für $N=3$ (1) 5 sinnvoller ist, diese Fensterfolgen mit dem dargestellten Algorithmus zu berechnen, zumal die Genauigkeit der Berechnung dadurch nicht schlechter ist, als bei der Auswertung der geschlossenen Lösung. Die Berechnung der Fensterfolge durch eine numerische Bestimmung der Lage der unbekannten Nullstellen führt vor allem für große Werte von N zu unbefriedigenden Ergebnissen.

⁵Eine FFT kommt hier nicht in Frage, da die Frequenzen $\tilde{\Omega}_\nu$ nicht äquidistant sind.

Für $N=2$ ergibt sich für die gesuchten Spektralwerte der Fensterfolge die folgende geschlossene Lösung:

$$\begin{aligned} F\left(-\frac{2\pi}{F}\right) &= -M \cdot \frac{1-j}{2} \cdot e^{-j \cdot \frac{\pi}{M}} \\ F(0) &= M \\ F\left(\frac{2\pi}{F}\right) &= -M \cdot \frac{1+j}{2} \cdot e^{j \cdot \frac{\pi}{M}} \end{aligned} \quad (6.36)$$

6.2 Aspekte der notwendigen Rechengenauigkeit

In diesem Unterkapitel wird der eben beschriebene Weg der Berechnung der Fensterfolge mit Hinblick auf die Genauigkeit der Berechnung untersucht. Ich beginne damit, eine Forderung für die Genauigkeit der zu berechnenden Fensterfolge aufzustellen, und leite daraus die Forderungen für die Genauigkeit der Berechnung der davorliegenden Zwischenergebnisse ab.

Die Fensterfolge wird beim RKM mit der Folge am Ausgang des zu messenden Systems multipliziert und anschließend diskret fouriertransformiert. Da wir a priori keine Aussage über die zu fensternde Folge kennen und auch keine Einschränkungen hinsichtlich der Art der zu fensternden Folgen einführen wollen, nehmen wir nun von der zu fensternden Folge an, dass deren Werte alle in derselben Größenordnung liegen können. Somit gehen alle absoluten Fehler der Werte der Fensterfolge im Mittel gleich stark in die aus der gefestigten Folge berechneten Spektralwerte ein. Daher macht es keinen Sinn, die Werte der Fensterfolge mit einer höheren Genauigkeit zu berechnen, als dies bei dem beträchtlichen Maximalwert der Fensterfolge auf Grund der endlichen Wortlänge der Zahlendarstellung im Rechner möglich ist. Die Fensterfolge soll daher mit einem absoluten Fehler berechnet werden, der in der Größenordnung von $\varepsilon \cdot \max(|f(k)|)$ liegt. Dabei ist ε die relative Rechengenauigkeit, also die Differenz zwischen der Zahl Eins und der nächstgrößeren Zahl, die am Rechner bei Gleitkommaarithmetik darstellbar ist. Wenn hier von der Größenordnung des Fehlers die Rede ist, so ist damit gemeint, dass der absolute Fehler höchstens um einen konstanten Faktor wie etwa die Wurzel aus einer DFT-Länge von dem angegebenen Wert der Größenordnung abweicht, nicht aber um einen Faktor, der in die Größenordnung von ε^{-1} kommt, was beispielsweise passieren kann, wenn man mit schlecht konditionierten Gleichungssystemen rechnet.

Die Fensterfolge lässt sich mit Hilfe der Fourierreihe gemäß Gleichung (6.16) aus den N Werten des Spektrums der Fensterfolge bei den äquidistanten Frequenzen $\Omega = \nu \cdot 2\pi/F$ mit $\nu = 0 \text{ (1)} N-1$ berechnen. Die Präzision, mit der die Nullstellenbedingung (2.27) erfüllt wird, ist von der Genauigkeit der Berechnung der N Spektralwerte unabhängig, da

durch die Art der Berechnung der Fensterfolge als Fourierreihe ausgeschlossen wird, dass Spektralanteile bei den Frequenzen $\Omega = \mu \cdot 2\pi/M$ mit $\mu = 1 (1) M-1$ in der Fensterfolge überhaupt vorhanden sein können.

Die Fourierreihe in Gleichung (6.16) berechnen wir nicht mit Hilfe einer DFT sondern als die Summe einer Kosinus- und einer Sinusreihe.

$$f(k) = \frac{1}{N} + \frac{2}{F} \cdot \sum_{\nu=1}^{N-1} \left(\Re\{F(\nu \cdot \frac{2\pi}{F})\} \cdot \cos\left(\frac{2\pi}{F} \cdot \nu \cdot k\right) - \Im\{F(\nu \cdot \frac{2\pi}{F})\} \cdot \sin\left(\frac{2\pi}{F} \cdot \nu \cdot k\right) \right) \quad (6.37)$$

Die auf $F/2$ normierten Realteile $\Re\{F(\nu \cdot 2\pi/F)\}$ der N Spektralwerte sind die Koeffizienten der Kosinusreihe, die genauso normierten Imaginärteile $\Im\{F(\nu \cdot 2\pi/F)\}$ sind die Koeffizienten der Sinusreihe.

Da bei den einzelnen Summanden der Sinus- und Kosinusreihe häufig gleiche Werte der Sinus- und Kosinusfunktion auftreten, wird man die benötigten Funktionswerte vor Beginn der Reihenauswertung berechnen und abspeichern. Dabei werden die benötigten Funktionswerte mit Hilfe trigonometrischer Umformungen als Sinusfunktionswerte dargestellt, deren Argumente beträchtlich kleiner gleich $\pi/2$ sind. Die Funktionswerte der Sinusfunktion lassen sich in diesem Wertebereich mit dem kleinstmöglichen relativen Fehler von ε berechnen. Die bei den trigonometrischen Umformungen auftretenden π -Reduktionen lassen sich immer als Reduktion der ganzen Zahl ν um Vielfache der ebenfalls ganzen Zahl $F/2$ fehlerfrei durchführen.

Beispielsweise berechnen wir $\frac{2\pi}{F} \cdot \nu \cdot k - 3 \cdot \pi$ nicht als Differenz, weil der Fehler dieser Differenz zweier irrationaler und somit *nicht* exakt darstellbarer Zahlen in einer Größenordnung liegt, die um ε kleiner ist als die beträchtlich größere der beiden Zahlen. Stattdessen berechnen wir das Produkt $\frac{2\pi}{F} \cdot (\nu \cdot k - 3 \cdot \frac{F}{2})$, bei dem der eine Faktor die Differenz ganzer, am Rechner exakt darstellbarer Zahlen ist. Das Produkt kann so mit dem kleinstmöglichen relativen Fehler von ε berechnet werden.

Nun kann man die Sinus- und Kosinusreihe auswerten, indem man sich aus den abgespeicherten Funktionswerten jeweils die bei dem Summanden gerade benötigten Funktionswerte herausgreift. Bei der Summation vertauschen wir nun die Reihenfolge der einzelnen Reihenglieder dadurch, dass wir $\nu = N-1 (-1) 0$ nach und nach zur Berechnung der Teilsummen einsetzen. Die Erfahrung zeigte nämlich, dass die Beträge der Fourierreihenkoeffizienten eine mit ν streng monoton fallende Folge bilden. Durch die Vertauschung der Reihenfolge erreichen wir, dass zunächst die beträchtlich kleinsten Summanden addiert werden und bei der Addition der weiteren, größeren Summanden zur bisher berechneten Teilsumme keine unnötig grobe Rundung erfolgt. Somit bleibt der relative Fehler möglichst klein.

Aufgrund der Quantisierungsfehler sind die letzten $N-1$ Werte von $f(k)$ nicht exakt Null, wie dies nach der Theorie der Fall sein müsste. Trotzdem empfiehlt es sich *nicht*, diese Werte abschließend auf Null zu setzen. Durch die Berechnung als endliche Sinus- und Kosinusreihe wird nämlich sichergestellt, dass die Nullstellenbedingung (2.27) vom Spektrum der Fensterfolge praktisch perfekt erfüllt wird, auch wenn die Reihenkoeffizienten fehlerhaft berechnet worden sind. Setzt man die letzten $N-1$ Werte der Fensterfolge jedoch zu Null, so entspricht dies der additiven Überlagerung eines zwar recht kleinen, aber doch stark zeitbegrenzten Signals, das wegen der abrupten Begrenzung auf $N-1$ Werte ein nur mit $\sin(\Omega/2)^{-1}$ abfallendes Spektrum hat. Daher würden bei den in der Nullstellenbedingung (2.27) genannten Frequenzen zusätzliche, unnötige Fehler entstehen, wenn man die letzten $N-1$ Werte der Fensterfolge zu Null setzen würde.

Die relativen Fehler der Sinus- und Kosinusfunktionswerte gehen ebenso in die Fehler der Werte der Fensterfolge ein, wie die relativen Fehler der Fourierreihenkoeffizienten, da beide fehlerbehafteten Größen bei der Berechnung der Sinus- und Kosinusreihe miteinander multipliziert werden. Da sich die Sinus- und Kosinusfunktionswerte mit einer relativen Genauigkeit berechnen lassen, die praktisch nur von der Mantissenwortlänge des verwendeten Rechners begrenzt wird, ist anzunehmen, dass die relativen Fehler bei der Berechnung der Fourierreihenkoeffizienten den überwiegenden Beitrag zu den Fehlern der Werte der Fensterfolge liefern. Daher wollen wir ab nun die Fehler der Sinus- und Kosinusfunktionswerte vernachlässigen.

Den N Abtastwerten des Spektrums der Fensterfolge ist aufgrund der begrenzen Genauigkeit des Berechnungsalgorithmus eine Störung additiv überlagert. Diese additive Störung geht auf F normiert über die Fourierreihenentwicklung nach Gleichung (6.16) in die Werte der Fensterfolge ein, wie dies die Spektralwerte auch tun. Es wird nun gezeigt, dass der Fehler der Fensterfolge dann in der gewünschten Größenordnung von $\varepsilon \cdot \max(|f(k)|)$ liegt, wenn die N Abtastwerte des Spektrums für $\nu = 0$ (1) $N-1$ mit einem absoluten Fehler in der Größenordnung von $\max(|F(\nu \cdot 2\pi/F)|) \cdot \varepsilon = M \cdot \varepsilon$ behaftet sind. Diese Fehler modellieren wir als die additive Überlagerung von $2 \cdot N - 1$ reellen Störungen von jeweils der Streuung $M \cdot \varepsilon$ zu den Real- und Imaginärteilen der Spektralwerte. Nehmen wir noch die Unabhängigkeit dieser Störungen an, so erhalten wir bei allen Werten der Fensterfolge eine additive Störung mit der Streuung $\varepsilon / N \cdot \sqrt{2 \cdot N - 1} \approx \varepsilon \cdot \sqrt{2/N}$.

Der Effektivwert der Fensterfolge $\sqrt{1/F \cdot \sum f(k)^2}$ ist nach Gleichung (2.21) und (2.23) $\sqrt{M \cdot d(0)/F} = \sqrt{1/N}$. Die Streuung der Fehler in der Fensterfolge ist also um den Faktor $\varepsilon \cdot \sqrt{2}$ kleiner als der Effektivwert der Fensterfolge. Da erfahrungsgemäß der Maximalwert des Betrags der Fensterfolge immer größer als der $\sqrt{2}$ -fache Effektivwert ist, liegt der Fehler der Fensterfolge dann in der gewünschten Größenordnung, wenn es gelingt, die N Spektralwerte mit einem absoluten Fehler in der Größenordnung von $M \cdot \varepsilon$ zu berechnen.

Betrag und Phase der gesuchten Spektralwerte der Fensterfolge werden getrennt berechnet. Für den absoluten Fehler des Betrags bedeutet das, dass dieser für alle Frequenzen in derselben Größenordnung $M \cdot \varepsilon$ liegen sollte, während der absolute Fehler der Phase in der Größenordnung $\varepsilon \cdot M / |F(\nu \cdot 2\pi/F)|$ liegen darf. Im Durchlassbereich des Spektrums der Fensterfolge darf der absolute Fehler der Phase also nicht größer als ε sein, während er bei betragsmäßig kleinen Spektralwerten auch größer werden darf.

Um den Betrag eines gesuchten Spektralwertes zu berechnen, wird die Wurzel aus ihrem mit Gleichung (6.18) berechneten Betragsquadrat gezogen. Wenn man zur Berechnung der Wurzel einen Algorithmus verwendet, der immer diejenige am Rechner darstellbare Zahl liefert, deren Quadrat am nächsten bei der zu radizierenden Zahl liegt, ergibt sich im Idealfall (die zu radizierenden Betragsquadrate seien fehlerfrei) ein Fehler in den Beträgen der Spektralwerte dessen Streuung in der Größenordnung von $\varepsilon \cdot |F(\nu \cdot 2\pi/F)| / 2$ liegt. Die Fehler bei der Berechnung der Wurzel liegen somit nur für die betragsmäßig größten Spektralwerte annähernd in der Größenordnung $M \cdot \varepsilon$ des zulässigen absoluten Fehlers und sind anderenfalls deutlich kleiner.

Nun wird anhand zweier Grenzfälle hergeleitet, wie groß der absolute Fehler des Betragsquadrates des Spektralwertes sein darf, wenn der Fehler des Betrags des gesuchten Spektralwertes der Fensterfolge in der gewünschten Größenordnung von $M \cdot \varepsilon$ liegen soll. Wir vernachlässigen dabei die im letzten Absatz untersuchten Fehler und nehmen an, dass die Wurzel fehlerfrei berechnet werden kann, und die Fehler des Betrages lediglich durch Fehler verursacht werden, die bereits im Betragsquadrat vorhanden sind. Der erste Grenzfall ist gegeben, wenn der absolute Fehler des Betragsquadrates deutlich kleiner als der Wert des Betragsquadrates ist. Dann kann man die Wurzelfunktion in guter Näherung linearisieren und erhält die Aussage, dass das zu radizierende Betragsquadrat einen absoluten Fehler in der Größenordnung von $2 \cdot M \cdot \varepsilon \cdot |F(\nu \cdot 2\pi/F)|$ aufweisen darf, wenn der Fehler des Betrags in der gewünschten Größenordnung liegen soll. Im zweiten Grenzfall dominiert der absolute Fehler des Betragsquadrates den zu radizierenden Wert. In diesem Fall vernachlässigt man den theoretisch exakten Wert des Betragsquadrates und kommt zu dem Ergebnis, dass der absolute Fehler des Betragsquadrates in einer Größenordnung von $M^2 \cdot \varepsilon^2$ liegen darf.

Die Betragsquadrat der gesuchten Spektralwerte der Fensterfunktion berechnen wir mit Gleichung (6.18). Dabei wird eine Summe gebildet, bei der die Summanden jeweils Produkte von inversen Quadraten der Sinusfunktion sind. Für sinnvolle Werte von $M \geq 4$ bleibt dabei das Argument der Sinusfunktion immer betragsmäßig kleiner als $\pi/2$. In diesem Bereich lässt sich die Sinusfunktion mit einem relativen Fehler in der Größenordnung von ε berechnen. Da jeder Summand aus dem Inversen eines Produktes von $N-1$ Quadraten der Sinusfunktion besteht, liegt der relative Fehler jedes Summanden in der

Größenordnung von $\sqrt{2 \cdot N} \cdot \varepsilon$. Je nach diskreter Frequenz ν besteht die Summe aus insgesamt maximal $N-1$ stets positiven Summanden. Als Abschätzung für den schlechtesten Fall können wir annehmen, dass ein Summand sehr viel größer ist als alle anderen Summanden⁶. Dann ergibt sich für den absoluten Fehler der Summe die obere Abschätzung $\sqrt{2 \cdot N} \cdot \varepsilon \cdot |F(\nu \cdot 2\pi/F)|^2$. Da hier der Fall vorliegt, dass der relative Fehler mit $\sqrt{2 \cdot N} \cdot \varepsilon$ vor dem Radizieren deutlich kleiner als Eins ist, ist der im letzten Absatz hergeleitete maximal zulässige absolute Fehler lediglich maximal um den Faktor $\sqrt{N/2}$ überschritten. Es sei hier darauf hingewiesen, dass N üblicherweise kleiner als 10 sein dürfte, und dass wir hier eine „worst case“ Abschätzung gemacht haben. Somit ist die Überschreitung der maximal zulässigen Fehlers als akzeptabel einzustufen.

Die Phase der N Koeffizienten der Fourierreiendarstellung der Fensterfolge berechnet sich aus drei Anteilen. Da ist zunächst der lineare Phasenanteil $(F-2 \cdot N+1) \cdot \Omega/2$, der durch die bekannten äquidistanten Nullstellen am Einheitskreis verursacht wird. Dieser lässt sich mit einem relativen Fehler in der Größenordnung von ε berechnen. Die Größenordnung des absoluten Fehlers dieses Phasenanteils steigt linear mit der Phase und somit mit der Frequenz Ω an. Da wir die Phase für die Frequenzen $\Omega = \nu \cdot 2\pi/F$ mit $\nu = 1-N$ (1) $N-1$ zu berechnen haben, steigt die Größenordnung des absoluten Fehlers mit ν bis zu einem Maximalwert von circa $N \cdot \pi \cdot \varepsilon$ linear an. Da erfahrungsgemäß mit steigendem ν der Betrag der Fourierreihenkoeffizienten sinkt, und da für kleine Beträge der absolute Fehler der Phase auch größer als ε werden darf, bleibt der Fehler dieses Anteils der Phase der gesuchten Spektralwerte in der gewünschten Größenordnung.

Will man diesen Anteil der Phase mit einer noch höheren Genauigkeit berechnen, so kann man zunächst die Phasenanteile als ein ganzzahliges Vielfaches von π/F schreiben. Von den am Rechner exakt darstellbaren, ganzen Zahlen zieht man dann vor der Multiplikation mit π/F ein ganzzahliges Vielfaches von $2 \cdot F$ in der Art ab, dass der lineare Phasenanteil immer im Bereich von $(-\pi; \pi]$ liegt, und somit immer mit einem absoluten Fehler in der Größenordnung von ε berechnet werden kann. Diese Art der 2π -Reduktion, die wir auch bei der Auswertung der Fourierreihe in Gleichung (6.37) verwenden, kommt jedoch bei dem im Anhang aufgelisteten Programm nicht zum Einsatz, da sich bei allen überprüften Beispielen herausgestellt hat, dass auch die ohne die exakte 2π -Reduktion berechneten Spektralwerte der Fensterfolge ausreichend genau sind.

Der zweite Anteil der Phase der Fourierreihenkoeffizienten der Fensterfolge ist die Phase des minimalphasigen Anteils $((z-(1-c))/z)^{N-1}$ des Polynomquotienten $D_P(z)$ nach Gleichung (6.27). Dieser ist durch eine bilineare Rücktransformation entstanden. Die Nullstellenlage von $D_P(z)$ ist von c abhängig und somit bekannt. Für jedes der $N-1$ identischen Pol- Nullstellenpaare (Pol jeweils bei $z=0$) berechnet sich der Phasenbeitrag nach

⁶Ansonsten würde die Summation zu einer Mittelung der als unabhängig anzusehenden Fehler führen.

Gleichung (6.28). Vor allem für die praktisch relevanten kleinen Werte von $c \ll 1$ lässt sich dieser Phasenanteil eines Pol- Nullstellenpaars in der dort angegebenen Form nahezu mit dem kleinstmöglichen relativen Fehler in der Größenordnung von ε berechnen. Dieser Phasenanteil ist betraglich immer kleiner als $\pi/2$. Wegen der Vielfachheit der Pol- Nullstellenpaare ist der gesamte Phasenbeitrag des Polynomquotienten $D_P(z)$ nach Gleichung (6.27) immer kleiner als $(N-1) \cdot \pi/2$. Er lässt sich daher mit einem absoluten Fehler in der Größenordnung von $\approx N \cdot \varepsilon$ berechnen. Die Genauigkeit der Berechnung dieses Phasenanteils kann also für die betraglich größten Fourierreihenkoeffizienten der Fensterfolge lediglich um den Faktor N (üblicherweise kleiner 10) zu groß sein. Die Praxis zeigt, dass der gesamte zweite Phasenbeitrag bei den betraglich größten Fourierreihenkoeffizienten immer deutlich kleiner als der Maximalwert $(N-1) \cdot \pi/2$ ist, so dass man die Genauigkeit der Berechnung dieses Phasenanteils als ausreichend bewerten kann.

Der dritte Anteil der Phase wird nach [16] bzw. [14] über das Cepstrum von $\tilde{D}_N(\tilde{z})$ gemäß der Gleichungen (6.29) und (6.32) berechnet. Dazu werden zunächst die konstanten Faktoren K_{ν_2} mit Gleichung (6.25) und die halben Winkel der Nullstellenrotation $\tilde{\psi}_{\nu_2}$ mit Gleichung (6.26) berechnet. In der dort angegebenen Form lassen sich diese für kleine Werte von $c \ll 1$ nahezu mit einer relativen Genauigkeit von ε berechnen. Da die halben Winkel der Nullstellenrotation im Argument der Sinusfunktion in Gleichung (6.29) in einer Differenz auftreten, ist es im Allgemeinen nicht möglich, die Quadrate der Sinusfunktion dort mit einer *relativen* Genauigkeit von ε , sondern lediglich mit einer *absoluten* Genauigkeit in dieser Größenordnung zu berechnen. Der relative Fehler eines Produktes in der Summe in Gleichung (6.29) wird also immer dann besonders groß, wenn sich eine Nullstelle in unmittelbarer Nähe einer Frequenz $\eta \cdot 2\pi/\tilde{M}$ befindet, für die das Produkt zu berechnen ist. In diesem Fall wird aber auch das jeweilige Produkt selbst sehr klein und für die relative Genauigkeit der Berechnung von $\tilde{D}_N(e^{j\eta \cdot 2\pi/\tilde{M}})$ ist dann der relative Fehler der Berechnung des größten Summanden ausschlaggebend.

Es zeigte sich, dass durch die Wahl des Parameters c gemäß Gleichung (6.30) nicht nur das Cepstrum besonders rasch abklingt, sondern auch, dass die Nullstellen \tilde{z}_{ν_2} in den Produkten der Gleichung (6.29) durch die Bilineartransformation einigermaßen gleichmäßig am Einheitskreis im Bereich von $|\tilde{\Omega}| < 2\pi/3$ verteilt werden. Bei dem in einem bestimmten Frequenzbereich jeweils dominierenden Summanden ergibt sich erfahrungsgemäß ein minimaler Abstand zur nächstgelegenen Nullstelle von wenigstens $\pi/4$. Damit lässt sich der jeweils dominierende Summand mit einem relativen Fehler in der Größenordnung von einigen ε berechnen. Pauschal kann man sagen, dass der relative Fehler eines Summanden zunimmt, je geringer dessen Beitrag zur Gesamtsumme wird. Es ist daher anzunehmen, dass der relative Fehler von $\tilde{D}_N(e^{j\eta \cdot 2\pi/\tilde{M}})$ im gesamten Frequenzbereich ε nicht wesentlich übersteigt.

Bevor wir nun mit Hilfe einer FFT gemäß Gleichung (6.32) aus den Logarithmen dieser \widetilde{M} Werte der Funktion $\widetilde{D}_N(\tilde{z})$ das doppelte reelle Cepstrum berechnen, empfiehlt es sich, diese Werte mit einem konstanten multiplikativen Faktor in der Art zu normieren, dass der Maximalwert dieser Werte gleich dem Reziproken des Minimalwertes ist. Dies hält, wie in Anhang A.7 gezeigt wird, die Fehler klein, die selbst bei idealer Berechnung des Logarithmus durch die Quantisierung der berechneten Logarithmuswerte bei Fließkommaarithmetik zwangsweise entstehen. Dieser konstante Normierungsfaktor bewirkt lediglich eine Modifikation des Cepstralwertes $C(0)$, der bei der Berechnung der Phase nach Gleichung (6.34) sowieso nicht auftritt. Der relative Fehler von $\widetilde{D}_N(e^{j\eta \cdot 2\pi/\widetilde{M}})$, der einige ε nicht übersteigt, wird im Idealfall durch die Bildung des Logarithmus zu einem absoluten Fehler, der im gesamten Frequenzbereich in der Größenordnung einiger ε liegt.

Es zeigte sich, dass bei der oben angegeben Wahl des Bilineartransformationsparameters c nach der Normierung der Logarithmus für gebräuchliche Werte von $N < 10$ beträchtlich immer maximal im einstelligen Zahlenbereich liegt. Daher übersteigen die absoluten Fehler, die durch die begrenzte Zahlendarstellung des Ergebnisses des Logarithmierens entstehen, die absoluten Fehler, die von der Berechnung der Werte $\widetilde{D}_N(e^{j\eta \cdot 2\pi/\widetilde{M}})$ verursacht werden, allenfalls unwesentlich.

Eine FFT der Logarithmuswerte liefert uns das doppelte reelle Cepstrum. Es kann angenommen werden, dass bei der Berechnung der FFT alle Fehler, die bereits vor der FFT vorhanden sind, auf alle Werte des Cepstrums einen einigermaßen gleich großen Einfluss haben, so dass alle Phasenwerte, die man mit Gleichung (6.34) berechnet, einen absoluten Fehler in derselben Größenordnung haben werden.

Weitere Fehler entstehen bei der Berechnung der FFT selbst⁷, von denen man annehmen kann, dass sie einerseits gegenüber den bisher gemachten Fehlern vernachlässigbar sind, und dass sie andererseits ebenfalls einen gleichmäßigen Einfluss auf die absoluten Fehler aller nach Gleichung (6.34) zu berechnenden Phasenwerte haben. Weitere Fehler entstehen bei der Berechnung der Sinusreihe in letztgenannter Gleichung. Wie sich diese klein halten lassen, wird nun gezeigt.

Da sich nach [16] bzw. [14] die Werte des Cepstrums für $k > 0$ als $1/k \cdot \sum \tilde{z}_0^k$ schreiben lassen, wobei die Summe über alle unbekannten Nullstellen \tilde{z}_0 des Mindestphasenanteils

⁷Eine FFT verursacht — wie auch in [6] an einem Beispiel gezeigt wird — in der Regel wesentlich größere Fehler, als man dies bei einer bis auf den Faktor $\sqrt{\text{FFT-Länge}}$ orthogonalen Transformation zu erwarten würde [20]. Dennoch stellte sich heraus, dass eine Berechnung durch direkte Auswertung der DFT-Summenformel bei optimaler Genauigkeit der Drehfaktoren und bestmöglicher Reihenfolge der Summanden, die Genauigkeit bei der Berechnung der Werte der Fensterfolge nur so unwesentlich verbessert, dass der damit gegenüber der FFT verbundene Mehraufwand nicht zu rechtfertigen ist, und somit wird hier eine FFT verwendet.

zu erstrecken ist, und da bei einem Mindestphasensystem, das keine Nullstellen am Einheitskreis hat, die Nullstellen innerhalb des Einheitskreises liegen, gilt für $k > 1$:

$$\left| \frac{1}{k} \cdot \sum \vec{z}_0^k \right| \leq \frac{1}{k} \cdot \sum |\vec{z}_0|^k < \frac{1}{k} \cdot \sum |\vec{z}_0|. \quad (6.38)$$

Die Koeffizienten der Sinusreihe fallen also betraglich mindestens mit $1/k$ ab. In der Sinusreihe der Phase sind die Argumente der Sinusfunktionen $\tilde{\Omega}_\nu \cdot k$ proportional zu k . Der maximale absolute Fehler der einzelnen Sinusfunktionen ist daher $\tilde{\Omega}_\nu \cdot k \cdot \varepsilon$. Diese absoluten Fehler werden mit den wenigstens mit $1/k$ abfallenden Koeffizienten überlagert. Daher ist der Einfluss des Fehler auf die Phase für Terme mit steigendem k insgesamt abnehmend. Da bei Fließkommaarithmetik kleine Werte mit kleinen absoluten Fehlern berechnet werden können, wird die Auswertung der Sinusreihe in Gleichung (6.34) in umgekehrter Reihenfolge vorgenommen, so dass mit den kleinsten Summanden begonnen wird. Dadurch wird erreicht, dass bei den kleinen Summanden keine unnötig großen absoluten Quantisierungsfehler akkumuliert werden. Bei dieser Art der Berechnung der Phase bei den Frequenzen $\Omega = \nu \cdot 2\pi/F$ mit $\nu = 1 (1) N-1$ ist $\tilde{\Omega}$ immer kleiner π und die Sinusreihe kann mit einem absoluten Fehler bis fast in der Größenordnung von ε berechnet werden.

Zusammenfassend kann man sagen, dass der dritte Anteil der Phase der Fourierreihenkoeffizienten der Fensterfolge am stärksten fehlerbehaftet ist. Jedoch bleibt auch hier der absolute Fehler in einer Größenordnung von einigen Vielfachen von ε . Er ist damit nur bei den betraglich größten Fourierreihenkoeffizienten unwe sentlich größer als dies am Anfang dieses Unterkapitels gefordert worden ist. Der Fehler wird sicherlich mit N ansteigen⁸, jedoch nicht so stark, dass bereits für kleine Werte von N (in der Größenordnung von circa $N \approx 10$) eine Berechnung der Fensterfunktion unmöglich wird. Es wurden vorher auch einige andere Algorithmen entwickelt, eine Fensterfolge zu berechnen, die die Forderungen (2.20) und (2.27) erfüllen und somit beim RKM eingesetzt werden können. Diese Algorithmen minimierten die Fehler der Gleichung (2.20) iterativ und lieferten nur für sehr kleine Werte von N brauchbare Ergebnisse. Spätestens bei $N=16$ versagten diese Algorithmen, da die Funktionalmatrix (Jacobi-Matrix) trotz geeigneter Skalierungsschritte immer singulär wurde. Mit dem hier vorgestellten nicht iterativen Algorithmus können sogar Fensterfolgen mit extrem hohen Werten von N mit erstaunlich guter Genauigkeit berechnet werden. Selbst für so unsinnig große Werte wie z. B. $N=256$ traten keinerlei numerische Schwierigkeiten auf. Da die Berechnungszeit mit N überproportional ansteigt, wurden noch größere Werte von N nicht ausprobiert.

⁸Es wird vermutet, dass der Anstieg der Fehlerstreuung maximal proportional zu N erfolgt. Dies wurde jedoch nicht näher überprüft.

Viele Gleichungen im letzten Unterkapitel wurden so optimiert, dass man für kleine Werte des Bilineartransformationsparameters c die höchstmögliche Genauigkeit erhält. Für extrem kleine Werte von M ist die Annahme $c \ll 1$ jedoch nicht gegeben. Dann empfiehlt es sich eventuell statt des Parameters c den neuen Parameter $(1-c)$ zu verwenden und einige Gleichungen in eine andere Form zu überführen, die mit dem neuen Parameter wieder eine optimale numerische Genauigkeit gewährleistet. Diese Algorithmusvariante wurde jedoch nicht näher untersucht, da beim RKM eine Anwendung einer Fensterfolge mit solch kleinen Werten von M keinen Sinn macht, und da bei der Erstellung dieser Arbeit auch für kleine Werte von M keinerlei numerische Probleme feststellbar waren.

6.3 Anmerkungen und Beispiele zu den Fensterfolgen

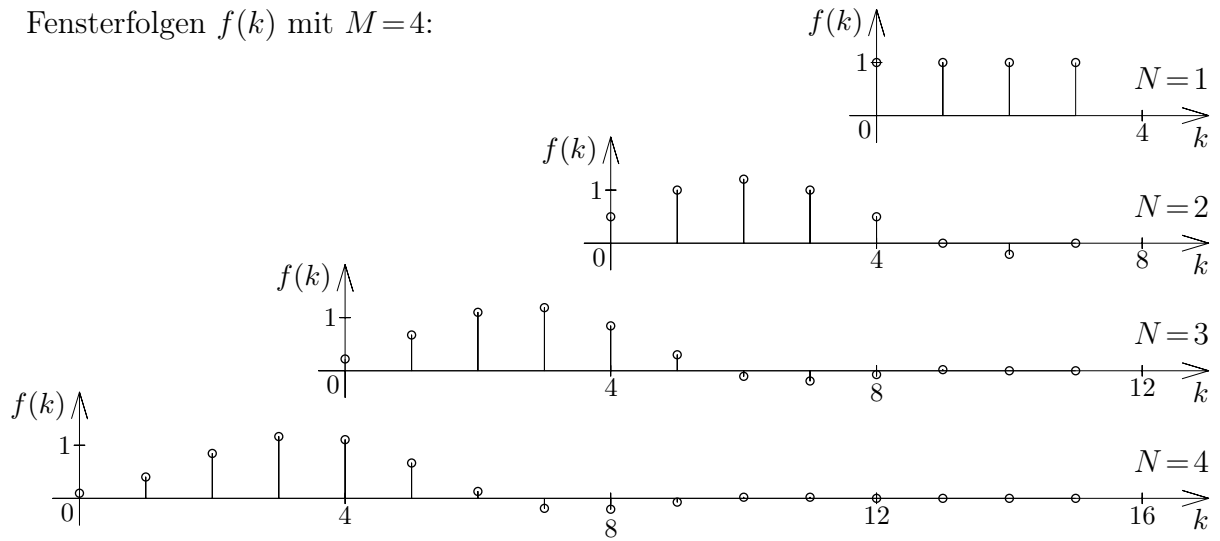
In diesem Abschnitt werden zuerst beispielhaft einige Fensterfolgen sowie deren Spektren im Durchlassbereich graphisch dargestellt. Für eine Schar weiterer Beispielfensterfolgen mit großem M wird dann nachgewiesen, dass für die Sperrdämpfung des Fensterspektrums der in Kapitel 2.2 gewünschte potenzmäßige Zusammenhang mit der Frequenz existiert, und dass dieser mit Hilfe des Parameters N einstellbar ist. Dann wird an einem weiteren Beispiel gezeigt, wie gut die Nullstellenbedingung (2.27) für das Spektrum der Fensterfolge erfüllt wird. Die Lage der Nullstellen der Z-Transformierten der Fensterfolge wird anhand einiger weiterer Beispiele gezeigt.

Im Folgenden werden die AKFs einiger Beispielfensterfolgen graphisch dargestellt. Es folgt eine Untersuchung zur Präzision der Erfüllung der Nullstellenforderung (2.23) für die AKF sowie der äquivalenten Forderung (2.20), nach der das Betragsquadrat des Spektrums der Fensterfolge sich zu einer Konstanten überlagern lässt. Abschließend wird in diesem Unterkapitel gezeigt, dass sich mit dem hier vorgestellten Algorithmus auch Halbbandfilter berechnen lassen.

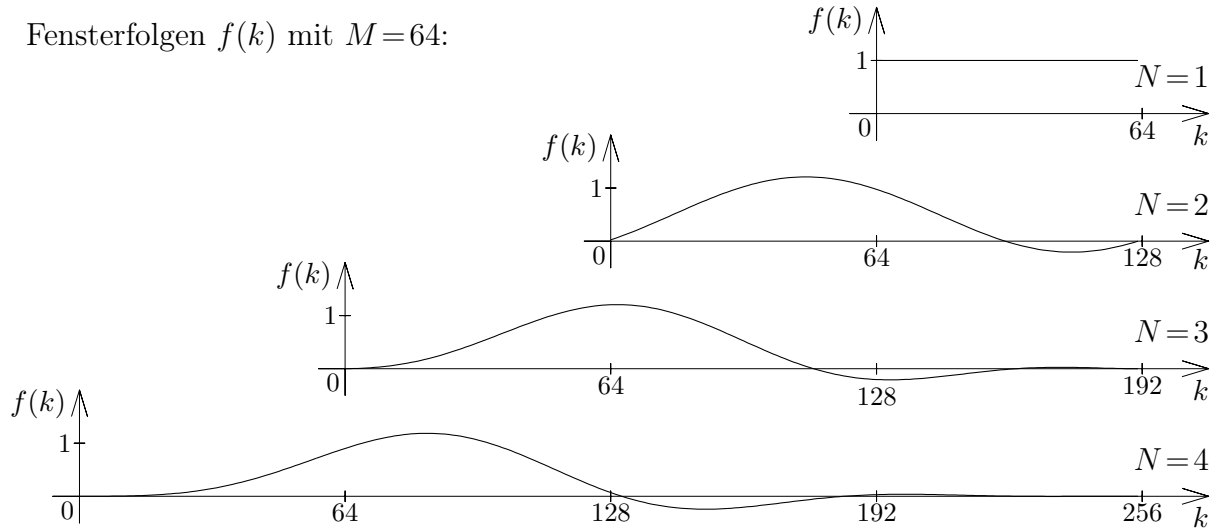
6.3.1 Beispiele einiger Fensterfolgen

Bild 6.4 zeigt an den Beispielen mit den DFT-Längen $M \in \{4; 64; 1024\}$ und den Fensterlängenfaktoren $N = 1 (1) 4$, welche Fensterfolgen sich bei der von mir vorgeschlagenen Berechnungsmethode ergeben. Dabei wurde für $M \in \{64; 1024\}$ nicht die graphische Darstellung der zeitdiskreten Wertefolge wie für $M=4$ gewählt, sondern es wurde eine quasikontinuierliche Darstellung angewendet. Dabei werden die Werte durch gerade Linien verbunden. Dadurch wird vermieden, dass schwarze Flächen zwischen der Abszisse und der Kurve der Werte der Fensterfolge entstehen.

Fensterfolgen $f(k)$ mit $M=4$:



Fensterfolgen $f(k)$ mit $M=64$:



Fensterfolgen $f(k)$ mit $M=1024$:

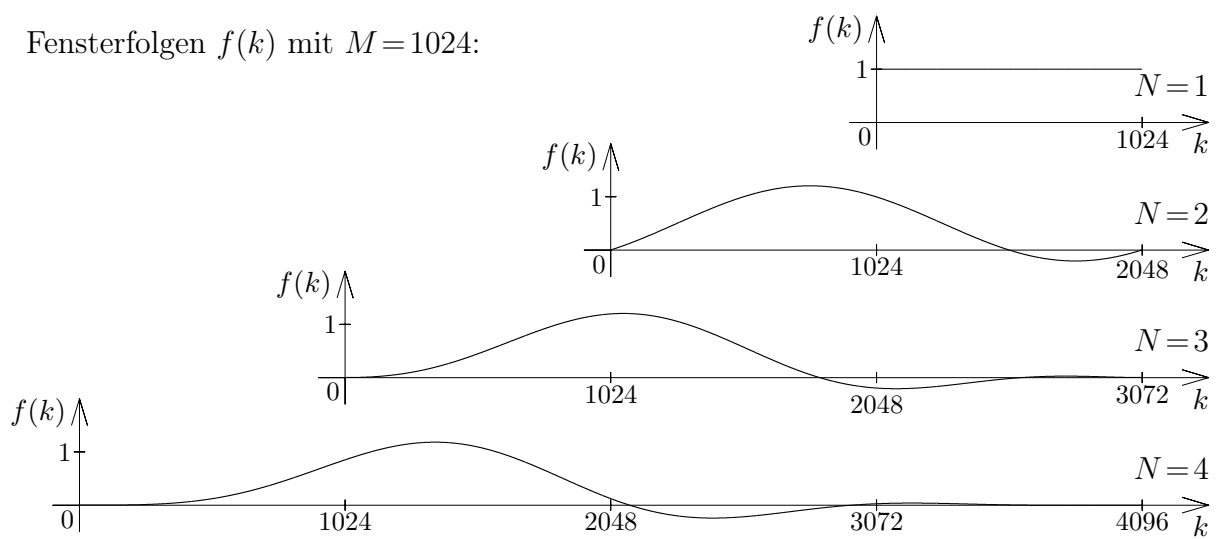


Bild 6.4: Beispiele einiger Fensterfolgen.

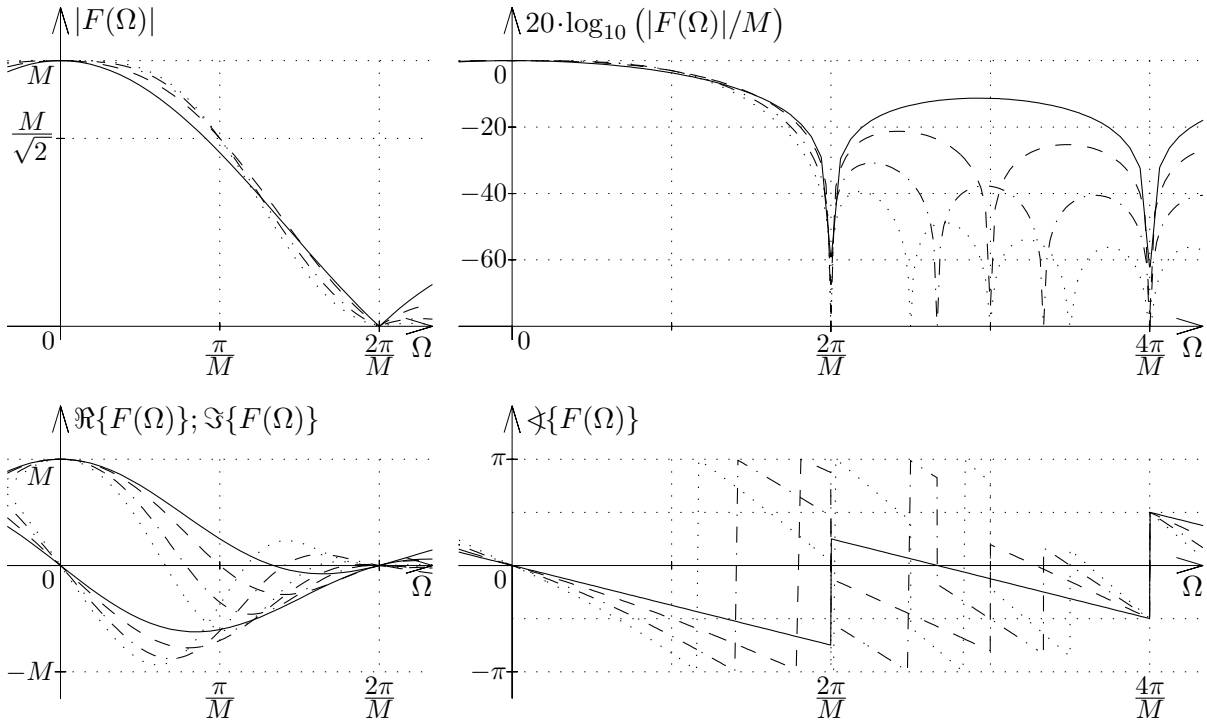


Bild 6.5: Spektren der Fensterfolgen in Bild 6.4 mit $M=4$.

— $N=1$; - - - $N=2$; - · - · $N=3$; · · · · · $N=4$.

Von den in Bild 6.4 dargestellten Fenstern werden in Bild 6.5 bis Bild 6.7 jeweils die Spektren für niedrige Frequenzen gezeigt. Rechts oben ist jeweils der Betrag des Spektrums im Frequenzbereich der Hauptkeule in einem linearen Maßstab dargestellt. Das darunterliegende Teilbild zeigt jeweils den Real- und den Imaginärteil innerhalb desselben Frequenzbereichs. Im linken oberen Teilbild ist der Betrag des Spektrums in einem logarithmischen Maßstab zu sehen, wobei der doppelte Frequenzbereich gewählt wurde, um auch die Dämpfung der ersten und zugleich größten Nebenkeulen darzustellen. Das darunterliegende Teilbild zeigt den negativen Phasenfrequenzgang in demselben Frequenzbereich.

6.3.2 Beispiele zum Anstieg der Sperrdämpfung

In Kapitel 2.2 wurde bei der Festlegung des Wunschverlaufs des Betragsquadrats des Spektrums der Fensterfolge gezeigt, dass $|F(\Omega)|^2$ näherungsweise wenigstens mit $\sin(\Omega/2)^{-2 \cdot B}$ abfallen sollte, wenn man eine $2 \cdot B$ -fache Nullstelle im LDS der Störung messen will. Es wird nun gezeigt, dass die hier entworfenen Fensterfolgen diese Forderung näherungsweise erfüllen, wenn M groß ist — beim RKM ist das üblicherweise der Fall — und der Fensterlängenfaktor $N \geq B$ ist.

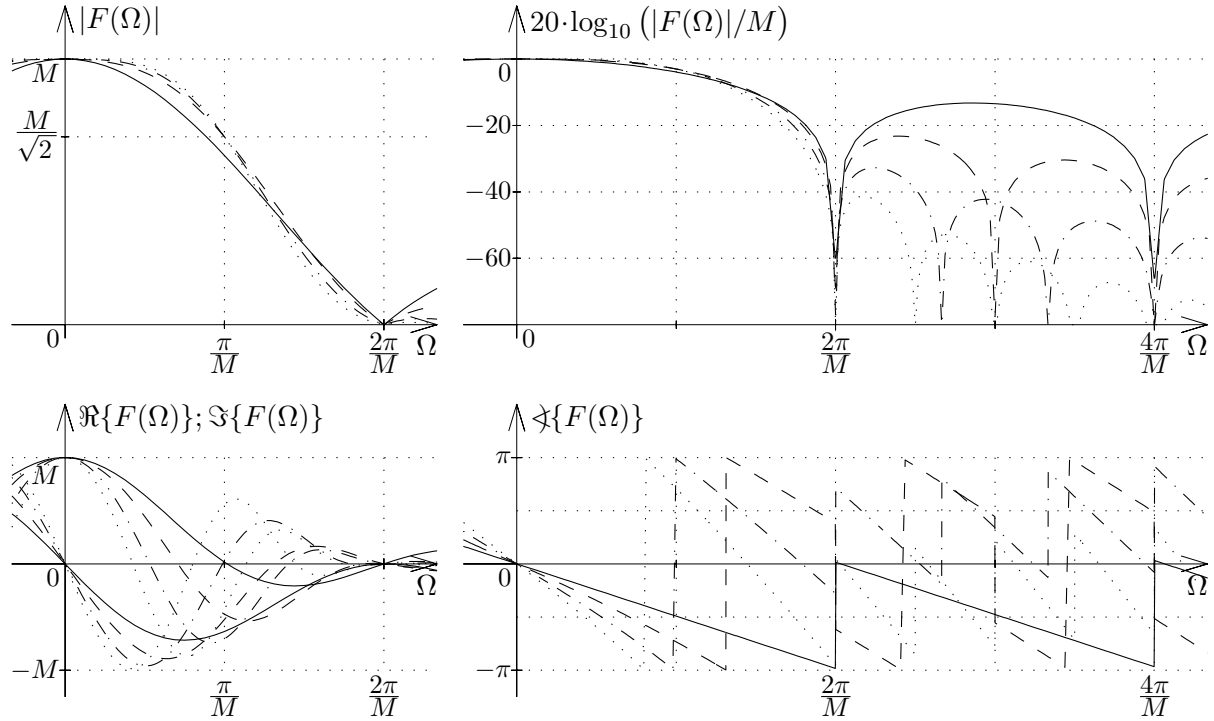


Bild 6.6: Spektren der Fensterfolgen in Bild 6.4 mit $M=64$.

— $N=1$; - - - $N=2$; - · - · $N=3$; · · · · $N=4$.

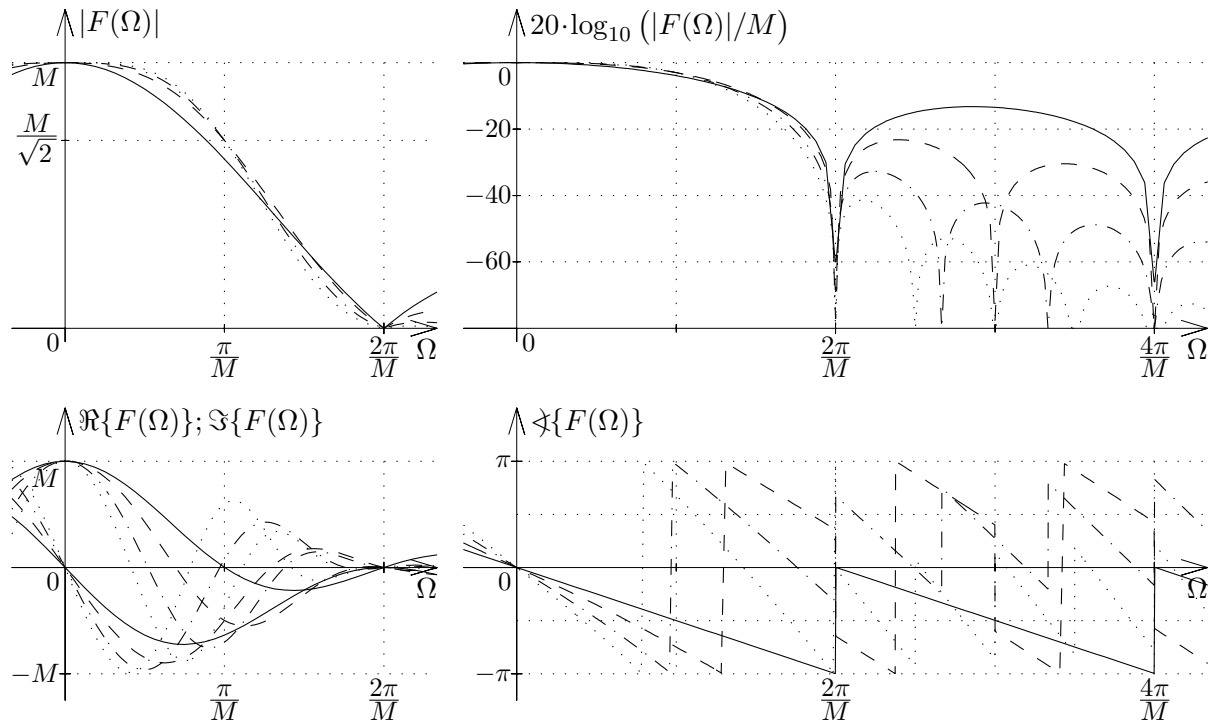


Bild 6.7: Spektren der Fensterfolgen in Bild 6.4 mit $M=1024$.

— $N=1$; - - - $N=2$; - · - · $N=3$; · · · · $N=4$.

Für das Polynom $z^{F-N} \cdot G(z)$ der Z-Transformierten der Basisfensterfolge erhalten wir nach Gleichung (6.5) nach einer Multiplikation mit dem Term $z^{\frac{N-F}{2}}$ am Einheitskreis ($z = e^{j\Omega}$) folgenden reellen Ausdruck:

$$e^{j \cdot \frac{F-N}{2} \cdot \Omega} \cdot G(e^{j\Omega}) = 2^{1-N} \cdot \frac{\sin\left(\frac{\Omega}{2} \cdot F - \pi \cdot \frac{N-1}{2}\right)}{\prod_{\nu_2=\frac{1-N}{2}}^{\frac{N-1}{2}} \sin\left(\frac{\Omega}{2} - \frac{\pi}{F} \cdot \nu_2\right)} \quad (6.39)$$

Das Betragsquadrat des Zählers ist eine schnelle Kosinusschwingung in Ω mit der „Kreisfrequenz“ F , deren Wert immer zwischen 0 und 1 liegt. Der Reziprokwert des Quadrats des Nenners ist daher eine obere Grenze für $|G(e^{j\Omega})|^2$, die jeweils im Abstand $2\pi/F$ erreicht wird.

Für jeden einzelnen Faktor des Quadrats des Nenners in Gleichung (6.39) kann man auch $\cos(\pi/F \cdot \nu_2) \cdot \sin(\Omega/2) - \sin(\pi/F \cdot \nu_2) \cdot \cos(\Omega/2)$ schreiben. Bei jedem dieser Faktoren überwiegt für $2\pi/M \ll |\Omega| \leq \pi$ der Anteil der mit $\sin(\Omega/2)$ ansteigt. Das Produkt dieser einzelnen Faktoren ist ein Polynom in $\sin(\Omega/2)$ mit der höchsten Potenz $2 \cdot N$. Für den angegebenen Bereich von Ω wird der Nenner im wesentlichen durch die höchste Potenz in $\sin(\Omega/2)$ bestimmt. $|G(e^{j\Omega})|^2$ fällt daher näherungsweise mit $\sin(\Omega/2)^{-2 \cdot N}$ ab.

Das Betragsquadrat $|F(\Omega)|^2$ der Fensterfolge ergibt sich nach Gleichung (6.7) und Gleichung (6.14) als Überlagerung der verschobenen Betragsquadrate des Spektrums $G(e^{j\Omega})$. Wenn die dabei maximal auftretende Verschiebung $(N-1) \cdot \pi/F$ wieder klein gegen $|\Omega|$ ist, fällt auch $|F(\Omega)|^2$ näherungsweise mit $\sin(\Omega/2)^{-2 \cdot N}$ ab.

In Bild 6.8 ist der Betrag des Spektrums der Fensterfolge im doppelt logarithmischen Maßstab für $M=1024$ und für $N=1$ (1) 4 dargestellt. Um in dem Bereich, in dem die Nullstellen des Fensterspektrums zu dicht liegen, eine graphische Darstellung zu ermöglichen, wurden für $\Omega > 4\pi/M$ nur Abtastwerte des Spektrums dargestellt. Dabei wurde das Spektrum bei ungeradzahligen Vielfachen von π/F abgetastet, also immer dort, wo die Sinusfunktion im Zähler ihr betragliches Maximum erreicht und somit die „Einhüllende“ des Spektrums gerade berührt wird. Um den potenzmäßigen Zusammenhang besser überprüfen zu können, ist auf der Abszisse der Betrag des Sinus der halben Kreisfrequenz aufgetragen. Zur besseren Orientierung ist bei der Frequenz $\Omega = 2\pi/M$ — also bei der Frequenz der ersten Nullstelle im Spektrum — eine senkrechte punktierte Hilfslinie eingetragen. Die Achsen sind im Maßstab 1:4 gewählt worden, um ein sinnvolles Verhältnis von Breite zu Höhe der Graphik zu erzielen. Durch die Abtastwerte bei den Frequenzen $\Omega = \pi \cdot (F-1)/F$ — also jeweils durch den größten Abszissenwert — wurden zum Vergleich die Geraden mit den Steigungen $-N$ eingezeichnet. Wie man sieht, hat man durch die Wahl des Parameters N die Möglichkeit den potenzmäßigen Anstieg der Sperrdämpfung wie gewünscht einzustellen.

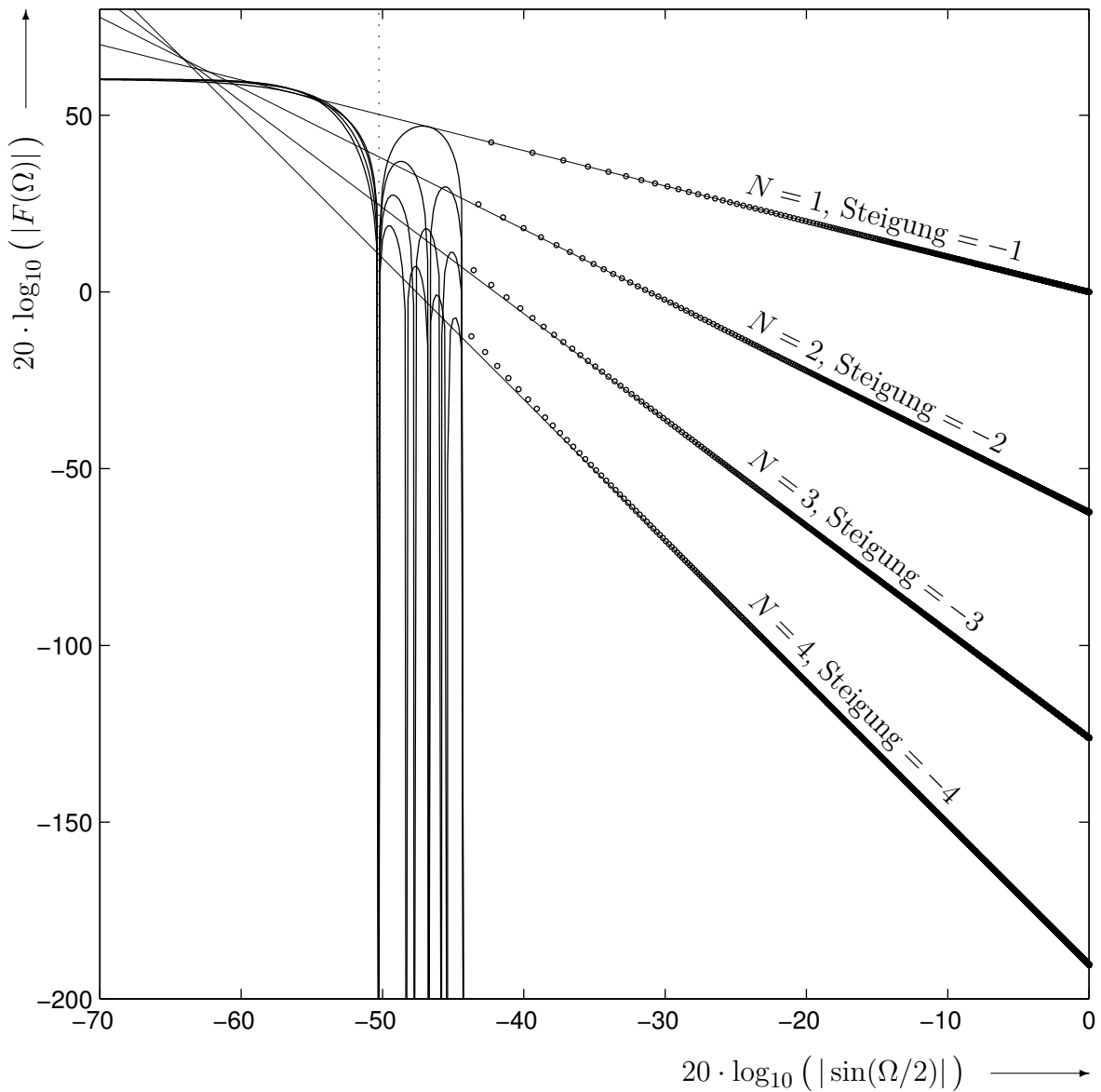


Bild 6.8: Sperrdämpfung der Nebenmaxima des Spektrums der Fensterfolge

Wenn $N > B$ gewählt wird, fällt der Integrand in Gleichung (2.17) bei einem LDS mit einer $2 \cdot B$ -fachen Nullstelle mit steigender Abweichung von der zu messenden Frequenz ab, und es ist zu erwarten, dass die Messergebnisse des LDS einigermaßen zuverlässig sind. In einem Beispiel in Kapitel 7.4 weist das zu messende LDS eine sechsfache Nullstelle bei $\Omega = 0$ auf. Deutlich ist zu sehen, dass erst für $N = 3$ die Werte des LDS in der Umgebung von $\Omega = 0$ gemessen werden können.

6.3.3 Präzision der Nullstellen im Fensterspektrum

In Kapitel 2.2 hatten wir festgestellt, dass das Spektrum bei den in Gleichung (2.27) angegebenen Frequenzen Nullstellen aufzuweisen hat. Um zu demonstrieren, dass diese Bedingung von den Fensterfolgen, die mit dem in den vorherigen Unterkapiteln beschriebenen Algorithmus berechnet worden sind, mit Fehlern erfüllt werden, die in der Größenordnung liegen, die aufgrund der endlichen Wortlänge bei der Abspeicherung der Fensterfolge unvermeidbar sind, werden für alle Vielfachen der Frequenz $2\pi/M$ die Spektralwerte eines Beispielfensters berechnet, und deren Betrag in Bild 6.9 halblogarithmisch über der Frequenz aufgetragen.

Als Beispiel wurde das Fenster mit, $M=231$ und $N=17$ ausgewählt, um so auch zu zeigen, dass weder M noch N gerade oder gar eine Zweierpotenz sein müssen. Zum Vergleich wird auch der Wert $20 \cdot \log_{10} (\sqrt{F} \cdot \varepsilon \cdot \max_k (|f(k)|))$ als waagrechte Linie eingetragen. Ein Rauschsockel dieser Größenordnung würde sich theoretisch ergeben, wenn den Werten der Fensterfolge ein additiver Störer der Streuung $\varepsilon \cdot \max_k (|f(k)|)$ überlagert wäre, und eine fehlerfreie Berechnung der Spektralwerte möglich wäre.

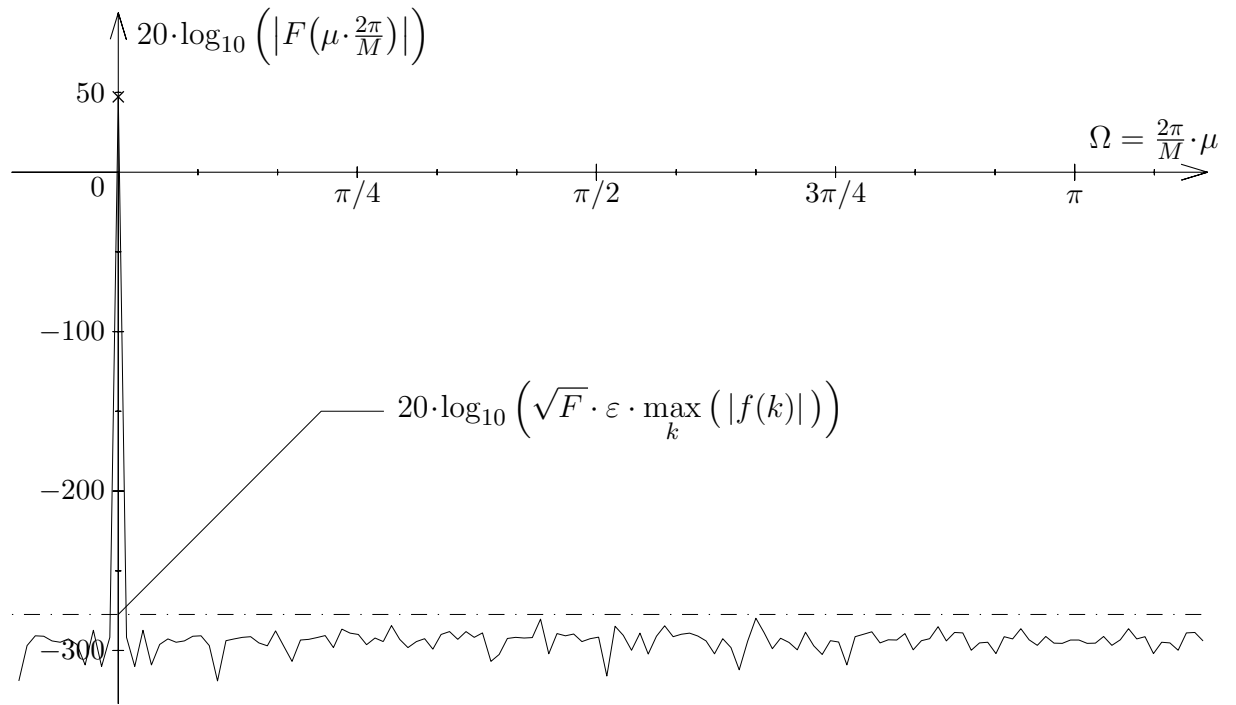
Die Spektralwerte wurden für Vielfache der Frequenz $2\pi/M$ auf zwei unterschiedliche Weisen berechnet. Die Spektralwerte des unteren Teilbildes wurden gewonnen, indem $f(k)$ zunächst einer FFT der Länge F (MATLAB: `F_Omega = fft(f_k)`) unterworfen wurde, und daraus die M gewünschten Spektralwerte entnommen wurden (MATLAB: `F_Omega(1:N:F)`). Aus dem Wert bei der Frequenz $\mu \cdot 2\pi/M$ und dem Konjugierten des Wertes bei der Frequenz $(M - \mu) \cdot 2\pi/M$ wurde abschließend jeweils der Mittelwert gebildet, um eine Reduktion der Fehler bei der Berechnung der DFT zu erreichen. Man erkennt, dass die Beträge der Fehler der Spektralwerte doch deutlich über der Referenzlinie liegen. Um zu zeigen, dass diese Fehler nicht durch Fehler in der Fensterfolge, sondern durch die relativ stark fehlerbehaftete Berechnung der Spektralwerte verursacht werden, wurden die Spektralwerte des oberen Teilbildes durch Auswertung der DFT-Summenformel nach Gleichung (2.18) mit $\Omega = \mu \cdot 2\pi/M$ berechnet. Dabei wurden die ganzzahligen Produkte $\mu \cdot k$ in den Exponenten der Drehfaktoren

$$\begin{aligned} e^{-j \cdot \frac{2\pi}{M} \cdot \mu \cdot k} &= \cos\left(\frac{2\pi}{M} \cdot \mu \cdot k\right) - j \cdot \sin\left(\frac{2\pi}{M} \cdot \mu \cdot k\right) = \\ &= \sin\left(\frac{\pi}{2 \cdot M} \cdot (4 \cdot \mu \cdot k + M)\right) - j \cdot \sin\left(\frac{2\pi}{M} \cdot \mu \cdot k\right) = \\ &= \sin\left(\frac{\pi}{2 \cdot M} \cdot (M - 4 \cdot \mu \cdot k)\right) - j \cdot \sin\left(\frac{\pi}{2 \cdot M} \cdot (2 \cdot M - 4 \cdot \mu \cdot k)\right) \end{aligned}$$

um ganzzahlige Vielfache von M jeweils in der Art reduziert, dass sich die Real- und Imaginärteile der Drehfaktoren nach der jeweils geeignetsten⁹ Darstellung in der letzten

⁹Das Argument der Sinusfunktion ist dann betraglich immer kleiner als $\pi/2$.

Berechnung durch Auswertung der DFT-Summenformel:



Berechnung mit Hilfe einer FFT:

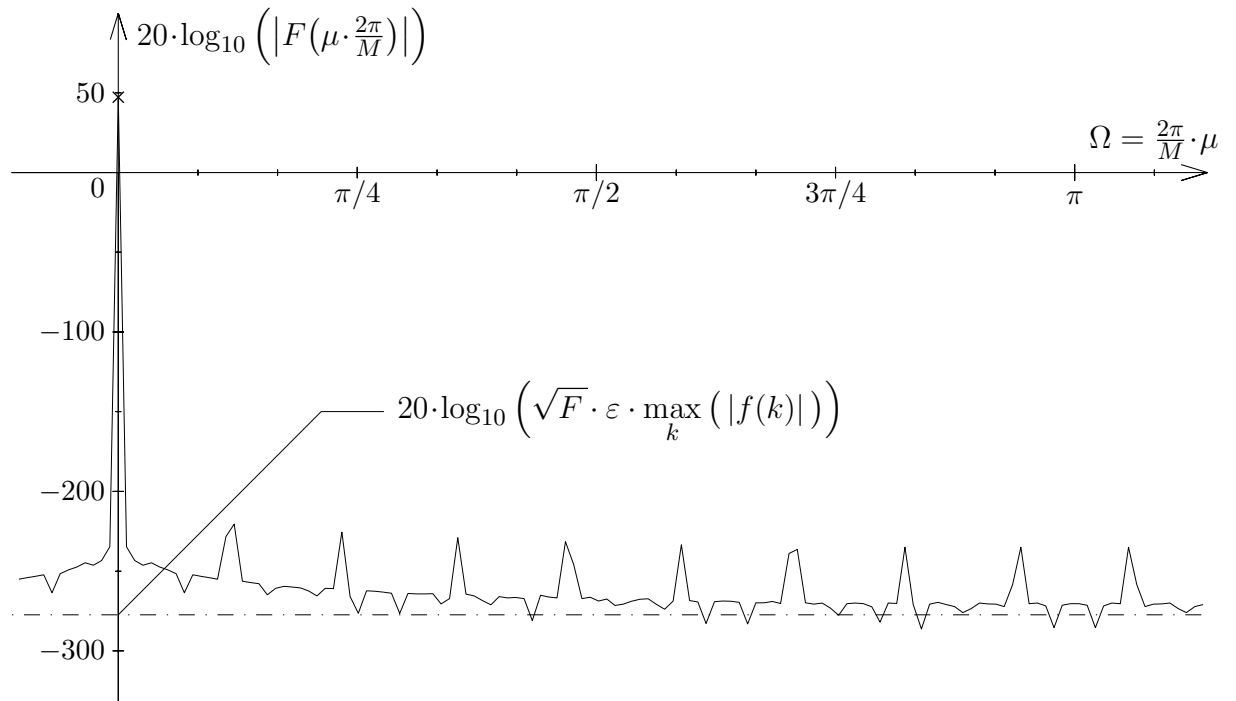


Bild 6.9: Fehler bei den nach Gleichung (2.27) geforderten Nullstellen

Beispiel mit: $M=231$; $N=17$

Gleichung mit höchstmöglicher Genauigkeit berechnen lassen. Die Reihenfolge der Summanden in Gleichung (2.18) wurde — beim Real- und Imaginärteil getrennt — jeweils so gewählt, dass zu der bisher berechneten Zwischensumme jeweils der Summand als nächstes addiert wird, der zu dem minimalen Betrag der folgenden Zwischensumme führt. Auf diese Art wird vermieden, dass bei Spektralwerten, die selbst einen kleinen Betrag haben (in unserem Fall sind das alle, bis auf den Spektralwert bei der Frequenz Null), große und damit ungenaue Zwischensummen entstehen.

Man erkennt bei den so berechneten Spektralwerten in dem oberen Teilbild, dass die Fehler in der Fensterfolge so gering sind, dass die Gleichung (2.27) mit maximal möglicher Genauigkeit erfüllt wird.

6.3.4 Nullstellenlage der Z-Transformierten der Fensterfolgen

In Bild 6.10 sind für $M=8$ und $N = 1$ (1) 4 jeweils die Nullstellen der Z-Transformierten der Fensterfolge in der z -Ebene dargestellt. Diese wurden mit MATLAB mit dem Befehl `roots(f_k)` berechnet.

Die Nullstellen im inneren des Einheitskreises (ohne die Nullstellen bei $z=0$) bewirken, dass sich für das Spektrum der Fensterfolge ein Betrags- und Phasenfrequenzgang in der Art ergibt, dass die Bedingung (2.20) erfüllt wird. Da der Betrag des Spektrums der Fensterfolge bei deren Berechnung durch die Überlagerung der Betragsquadrate verschobener Spektren vorgegeben wird, und die Phase des Spektrums der Fensterfolge mit Hilfe des Cepstrums berechnet wird, braucht die Lage dieser Nullstellen bei der Berechnung der Fensterfolge nicht explizit bestimmt zu werden. Es wurde auch ein Algorithmus ausprobiert, bei dem zunächst die Lage dieser Nullstellen numerisch bestimmt wurde, und daraus die Fensterfolge über deren Spektralwerte berechnet wird. Es zeigte sich dabei, dass — vor allem für großes N — diese Art der Berechnung zu unbefriedigenden Ergebnissen führte.

6.3.5 Beispiele der Fenster-AKF

Bild 6.11 zeigt beispielhaft die Fenster-AKF $d(k)$ nach Gleichung (2.21), wobei die DFT-Längen $M \in \{4; 64; 1024\}$ und die Fensterlängenfaktoren $N = 1$ (1) 4 ausgewählt wurden. Wieder wurden aus dem obengenannten Grund (vgl. Bild 6.4) nur für $M=4$ die zeitdiskreten Wertefolgen dargestellt, während für $M \in \{64; 1024\}$ eine quasikontinuierliche Darstellung der Folgen gewählt wurde.

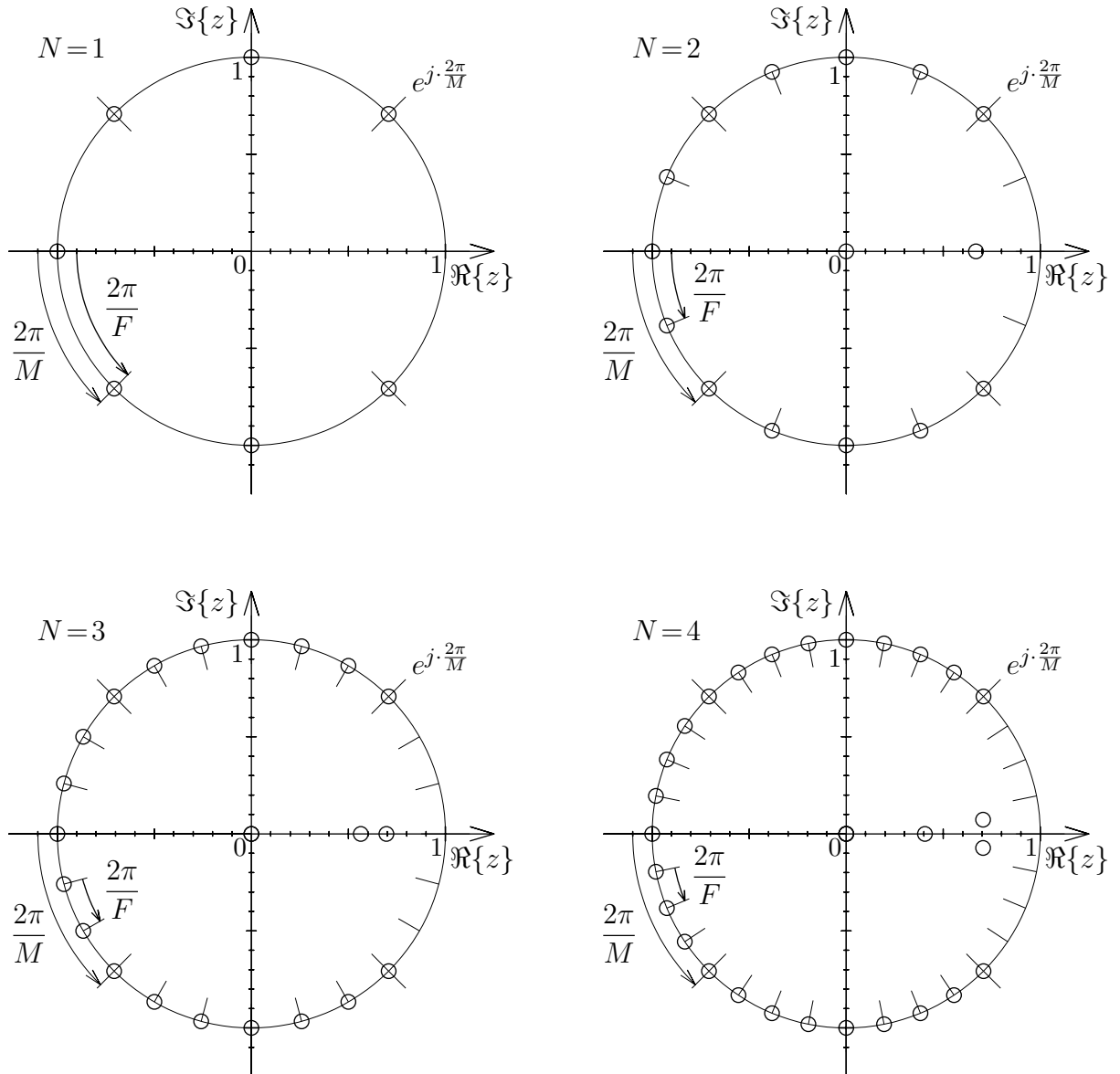


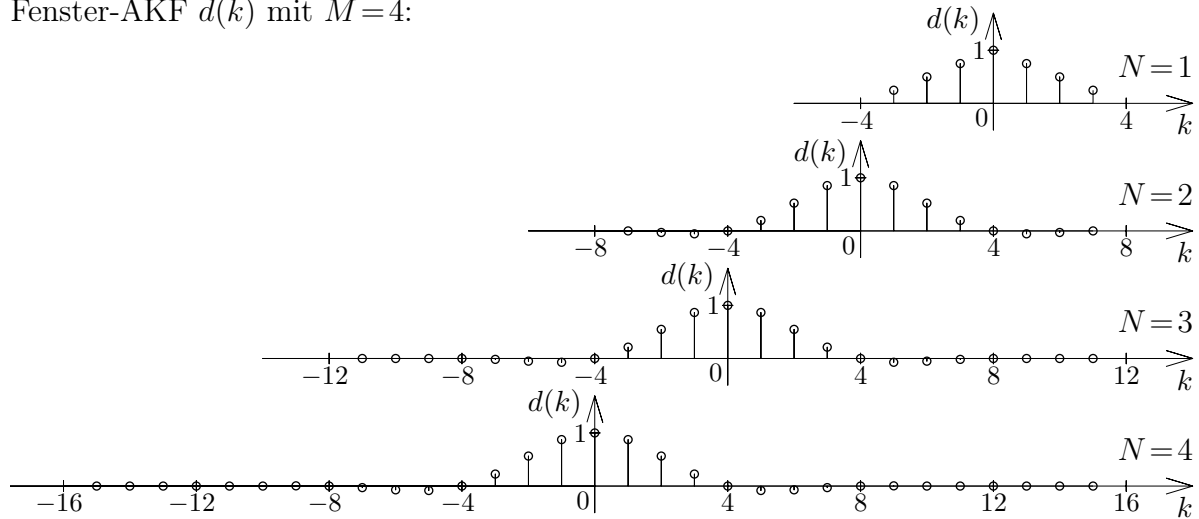
Bild 6.10: Nullstellenlage der Z-Transformierten der Fensterfolge mit $M=8$.

Die Nullstelle bei $z=0$ hat die Vielfachheit $N-1$.

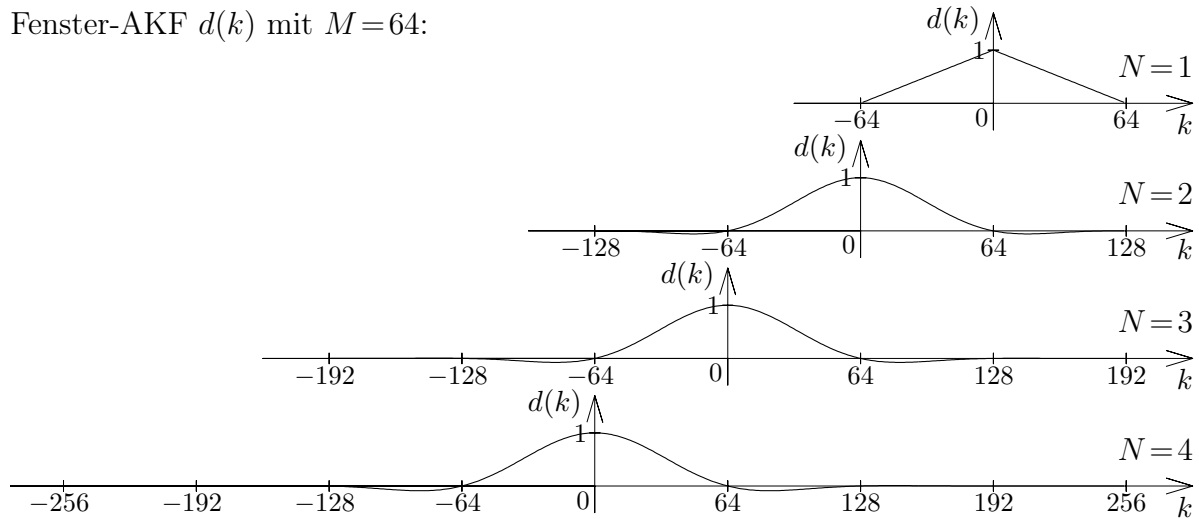
6.3.6 Präzision der Nullstellen der Fenster-AKF

Um beurteilen zu können, wie gut die Bedingung (2.23) erfüllt wird, nach der die Fenster-AKF $d(k)$ Nullstellen haben soll, wenn k ein Vielfaches von M ist, und nach der $d(0)$ Eins sein soll, werden für $M \in \{4; 64; 1024\}$ und $N = 2 (1) 4$ diese Werte in der Tabelle 6.1 aufgelistet. Für $N=1$ ergibt sich das Rechteckfenster, das die Bedingung (2.23) für $k=0$ fehlerfrei erfüllt, und das wegen seiner kurzen Länge $F=M$ keine weiteren Nullstellen zu haben braucht. Der Fall $N=1$ ist daher in der Tabelle 6.1 nicht aufgeführt. Zum Vergleich sei noch die relative Genauigkeit des verwendeten Rechners mit 8-Byte-

Fenster-AKF $d(k)$ mit $M=4$:



Fenster-AKF $d(k)$ mit $M=64$:



Fenster-AKF $d(k)$ mit $M=1024$:

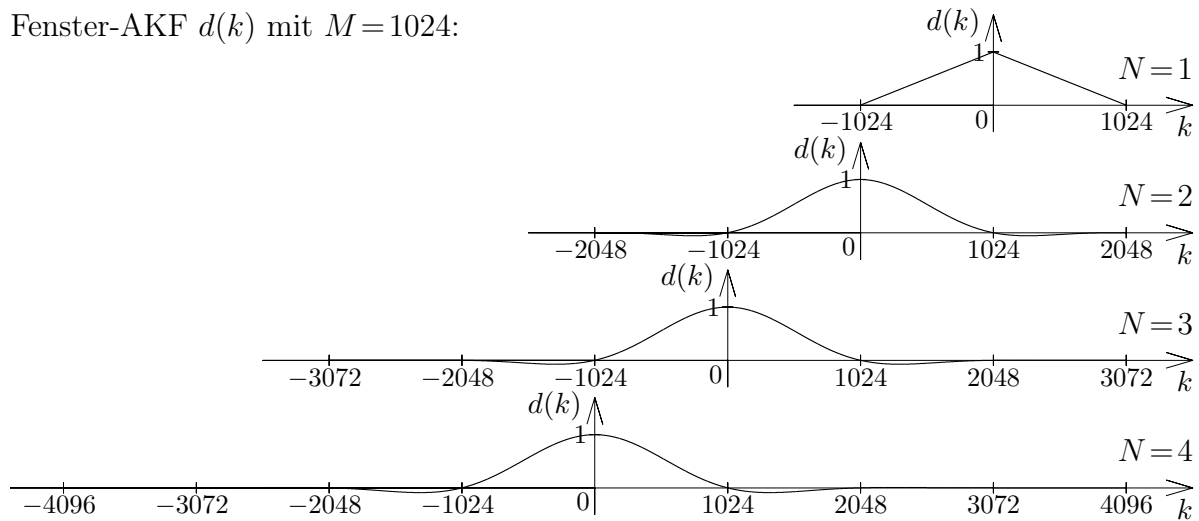


Bild 6.11: Autokorrelationsfolgen einiger Fenster.

M	N	$\sigma(\varepsilon_{(2,20)}(\Omega))$	$d(0) - 1$	$d(M)$	$d(2 \cdot M)$	$d(3 \cdot M)$
4	2	$9,8131 \cdot 10^{-18}$	0	$6,9389 \cdot 10^{-18}$	—	—
	3	$4,6278 \cdot 10^{-16}$	$-4,4409 \cdot 10^{-16}$	$6,2450 \cdot 10^{-17}$	$6,7654 \cdot 10^{-17}$	—
	4	$2,5257 \cdot 10^{-16}$	0	$1,2143 \cdot 10^{-16}$	$1,7347 \cdot 10^{-18}$	$-1,3095 \cdot 10^{-16}$
64	2	$2,2684 \cdot 10^{-16}$	$2,2204 \cdot 10^{-16}$	$3,2797 \cdot 10^{-17}$	—	—
	3	$1,2969 \cdot 10^{-16}$	$-1,1102 \cdot 10^{-16}$	$3,2277 \cdot 10^{-17}$	$-3,4704 \cdot 10^{-17}$	—
	4	$1,9109 \cdot 10^{-16}$	$-1,1102 \cdot 10^{-16}$	$-7,4029 \cdot 10^{-17}$	$8,0934 \cdot 10^{-17}$	$-7,9519 \cdot 10^{-18}$
1024	2	$2,2566 \cdot 10^{-16}$	$2,2204 \cdot 10^{-16}$	$2,8435 \cdot 10^{-17}$	—	—
	3	$1,1946 \cdot 10^{-15}$	$1,1102 \cdot 10^{-15}$	$-3,1168 \cdot 10^{-16}$	$1,0922 \cdot 10^{-17}$	—
	4	$6,7237 \cdot 10^{-16}$	$-6,6613 \cdot 10^{-16}$	$-6,0996 \cdot 10^{-17}$	$1,2500 \cdot 10^{-17}$	$1,7279 \cdot 10^{-17}$

Tabelle 6.1: Werte der Fenster-AKF $d(k)$ für $k = \tilde{k} \cdot M$ mit $\tilde{k} = 0 (1) N-1$.

Gleitkomma-Zahlendarstellung angegeben: $\varepsilon = 2,22045 \cdot 10^{-16}$. Wie man sieht liegen alle Werte $d(\tilde{k} \cdot M)$ in der gewünschten Größenordnung.

Für das etwas ungewöhnliche Beispiel mit $M=231$ und $N=17$ ist in Bild 6.12 der Betrag der Fenster-AKF halblogarithmisch dargestellt. Zum Vergleich dient die waagrecht eingetragene Linie bei dem Wert $10 \cdot \log_{10}(\varepsilon)$. Man erkennt deutlich die äquidistante Lage der Nullstellen, und dass die Werte zu diesen Zeitpunkten selbst bei dem relativ großen Wert $N=17$ noch in der gewünschten Größenordnung liegen.

Die Berechnung der Fenster-AKF erfolgte dabei durch Auswertung der die Faltung diskreter Folgen definierenden Summe (MATLAB: `conv(f_k,f_k(F:-1:1))`). Eine schnelle Faltung mit Hilfe der FFT wurde *nicht* angewandt, da hier die Qualität der Fensterfolge, und nicht die Qualität der FFT beurteilt werden soll. Es zeigte sich, dass es hier *nicht* notwendig ist die Reihenfolge der Summanden in der Faltungssumme geschickt zu wählen, um die Fehler bei der Berechnung der Summe klein zu halten. Wählt man die Reihenfolge der Summanden in der Art, dass sich jeweils die betraglich kleinste Zwischensumme ergibt, so erhält man Werte für die Faltungssumme, die sich für große Werte der Fenster-AKF nur unwesentlich von den Werten unterscheiden, die man erhält, wenn man die Reihenfolge der Summanden nicht verändert. Für kleine Werte der Fenster-AKF liegen die Ergebnisse auch dann in derselben Größenordnung, wenn man die Reihenfolge der Summanden optimal wählt.

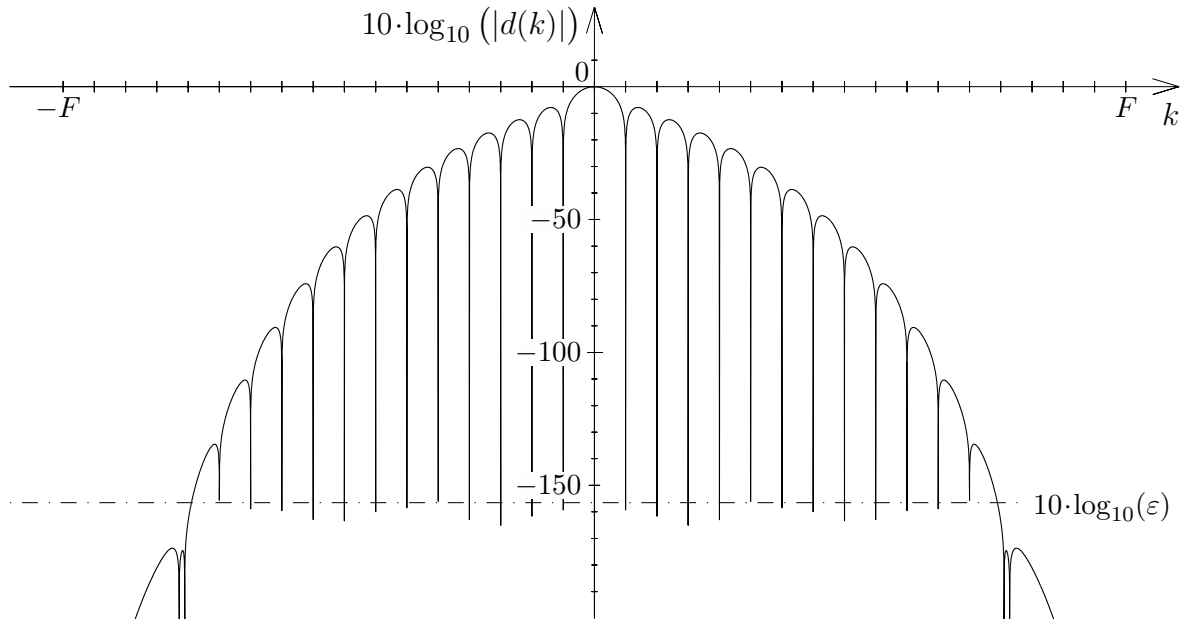


Bild 6.12: Betrag der Fenster-AKF $d(k)$ am Beispiel der Fensterfolge mit $M=231$, $N=17$.

6.3.7 Präzision der Überlagerung der Betragsquadrate der Spektren der Fensterfolgen

In Kapitel 2.2 hatten wir festgestellt, dass die Bedingung (2.23) äquivalent zu der Bedingung (2.20) ist, nach der die Summe der Betragsquadrate der verschobenen Spektren der Fensterfolge konstant M^2 sein soll. Als relativen Fehler dieser Summe erhalten wir mit

$$\varepsilon_{(2.20)}(\Omega) = \frac{\sum_{\mu=0}^{M-1} |F(\Omega - \mu \cdot \frac{2\pi}{M})|^2 - M^2}{M^2} = \sum_{\tilde{k}=1-N}^{N-1} d(\tilde{k} \cdot M) \cdot e^{-j \cdot \Omega \cdot M \cdot \tilde{k}} - 1 \quad (6.40)$$

einen von Ω abhängigen Term, der sich als die Fouriertransformierte der Abtastwerte der AKF des tatsächlich berechneten Fensters angeben lässt.

Für die Fensterfolge mit $M=231$ und $N=17$ ist in Bild 6.13 der Verlauf des relativen Fehlers exemplarisch über der Frequenz Ω dargestellt. Dabei ist jedoch zu berücksichtigen, dass dieser Verlauf selbst nur sehr ungenau berechnet werden kann. Die Werte $d(\tilde{k} \cdot M)$, die in der letzten Gleichung als Koeffizienten der Fourierreihe auftreten, wurden dabei wieder mit Hilfe der Selbstfaltung aus der Fensterfolge berechnet, und sind daher mit zusätzlichen Fehlern behaftet, die in der Größenordnung der Werte liegen, die sich bei idealer Berechnung der Faltungsoperation aus den fehlerbehafteten Werten der Fensterfolge ergeben würden.

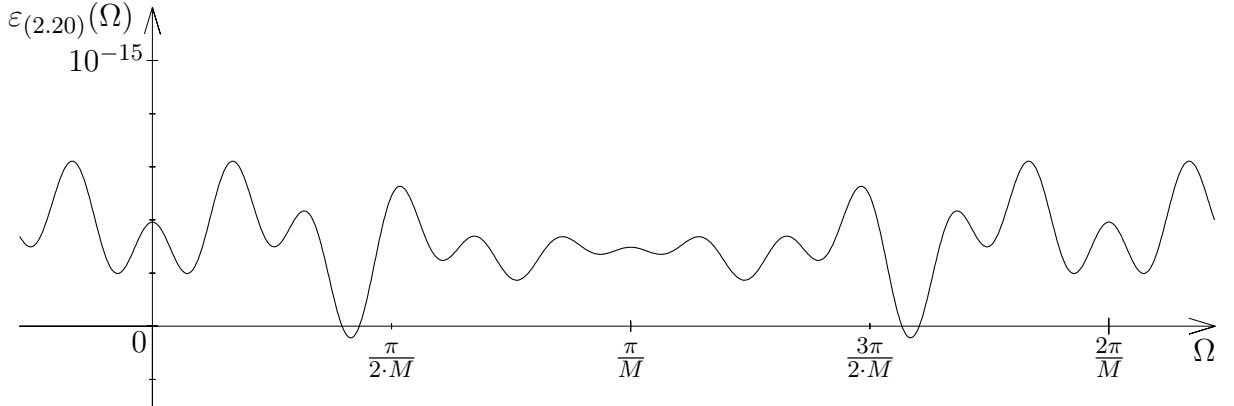


Bild 6.13: Relativer Fehler in Gleichung (2.20). Beispiel mit $M = 231$ und $N = 17$.

Dennoch wurde aus zwei Gründen auf eine Darstellung dieses Bildes nicht verzichtet. Einerseits erkennt man, dass der relative Fehler prinzipiell mit $2\pi/M$ periodisch und zu allen Vielfachen der Frequenz π/M geradesymmetrisch ist. Das liegt daran, dass $d(k)$ eine gerade reelle Folge ist, und somit beschreibt Gleichung (6.40) eine Kosinusreihe in Ω , die mit $2\pi/M$ periodisch ist. Andererseits kann man feststellen, dass der relative Fehler in einer Größenordnung liegt, die die relative Rechnergrenauigkeit $\varepsilon = 2,22045 \cdot 10^{-16}$ nur unwesentlich übersteigt.

Als mittleren quadratischen relativen Fehler erhält man

$$\sigma(\varepsilon_{(2.20)}(\Omega))^2 = \frac{1}{2\pi} \cdot \int_{-\pi}^{\pi} |\varepsilon_{(2.20)}(\Omega)|^2 \cdot d\Omega = \sum_{\tilde{k}=1-N}^{N-1} |d(\tilde{k} \cdot M) - \gamma_0(\tilde{k})|^2, \quad (6.41)$$

deren Wurzel in Tabelle 6.1 für $M \in \{4; 64; 1024\}$ und $N = 2$ (1) 4 ebenfalls eingetragen ist. Auch diese Werte können nur zur Abschätzung der Größenordnung dienen, da sie ebenfalls aus den fehlerbehafteten Werten $d(\tilde{k} \cdot M)$ berechnet werden.

Somit können wir feststellen, dass sich mit dem in diesem Kapitel angegebenen Algorithmus Fensterfolgen berechnen lassen, die selbst für unsinnig hohe Werte von N die Bedingungen (2.20) und (2.27) mit nahezu der maximal möglichen Präzision erfüllen.

6.3.8 Halbbandfilter

Bereits in Kapitel 2.2 hatten wir festgestellt, dass die FIR-Filter, die man erhält, wenn man die Werte der Fenster-AKF $d(k)$ als Filterkoeffizienten verwendet, M -tel-Band-Filter sind. Im Allgemeinen wird man zur Konstruktion eines M -tel-Band-Filters natürlich nicht erst eine Fensterfolge berechnen, bei der die Phase der Spektralwerte über das Cepstrum berechnet werden muss, um dann durch die Selbstfaltung der Fensterfolge bei der Berechnung der Fenster-AKF die Phaseninformation wieder zu verlieren. Man wird sich

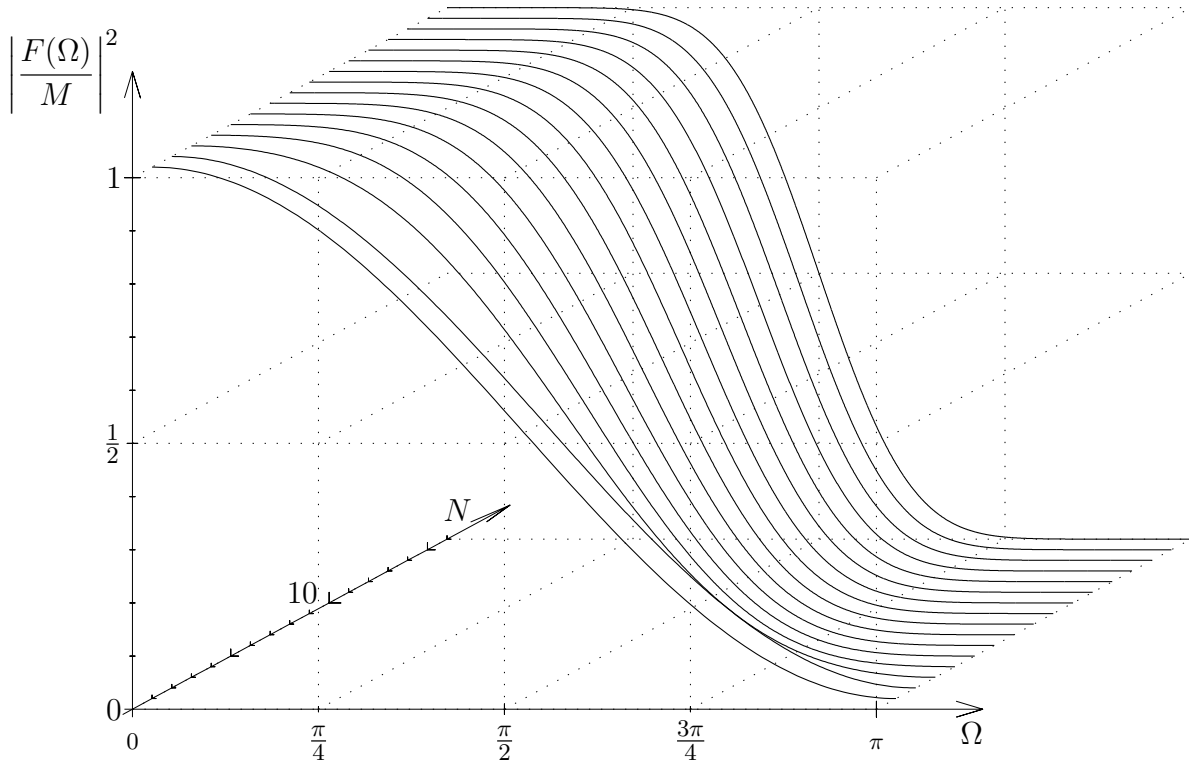


Bild 6.14: Spektren der Autokorrelationsfolgen der Fenster mit $M=2$ (Halbbandfilter). $N = 1 (1) 16$ als Parameter.

normalerweise lediglich analog zu Gleichung (6.17) und (6.18) die N Werte $|F(\nu \cdot \frac{\pi}{F})|^2$ mit $\nu = 0 (1) F$ des Betragsquadrats des Spektrums der Fensterfolge und damit mittels einer diskreten Kosinustransformation die Fenster-AKF $d(k)$ berechnen. Es gibt jedoch Anwendungen vor allem bei Nachrichtenübertragungssystemen, die in der Übertragungskette zwei Filter enthalten, von denen man wünscht, dass sie zueinander spiegelsymmetrische Koeffizienten aufweisen sollen, die derart gewählt sein sollen, dass das Gesamtsystem die M -tel-Band-Eigenschaft erfüllt. Dann kann es sinnvoll erscheinen, die Werte der hier vorgestellten Fensterfolge als Koeffizienten beider Filter zu verwenden.

Im Fall $M=2$ handelt es sich bei $d(k)$ um ein Halbbandfilter, da sich das Spektrum der Fenster-AKF mit dem um π verschobenen Spektrum gerade zu einer Konstanten ergänzt. Bild 6.14 zeigt das Spektrum des Halbbandfilters für unterschiedliche Werte des Parameters N . Das Spektrum wurde dabei jeweils so normiert, dass sich bei $\Omega=0$ der Wert Eins ergibt, wie dies bei Halbbandfiltern üblich ist. Man erkennt, dass sich mit zunehmendem N eine bessere Trennung der beiden Frequenzbänder ergibt.

Wenn man bedenkt, dass die letzten $N-1$ Werte der zugrunde liegenden Fensterfolge wenigstens theoretisch gleich Null sind, ergibt sich im Allgemeinen ein Halbbandfil-

ter mit $2 \cdot N + 1$ von Null verschiedenen Koeffizienten. Eine Ausnahme ergibt sich bei $N = 2$. Hier besteht die zugrunde liegende Fensterfolge aus den Abtastwerten der Funktion $0,5 \cdot (1 + \cos(x) + \sin(x))$ mit $x = k \cdot \pi/2$. Dies ist die Fensterfolge $(1, 1, 0, 0)$, die gleich dem Rechteckfenster $(1, 1)$ ist, das man mit $N = 1$ erhält. Daher sind auch die beiden Halbbandfilter für $N = 1$ und $N = 2$ und somit auch deren Spektren identisch, wie man auch in Bild 6.14 sehen kann.

6.4 Andere Fensterfolgen

Außer dem in Kapitel 6 beschriebenen Fenster sind noch einige andere Fensterfolgen auf Anwendbarkeit beim RKM untersucht worden. In folgenden werden diese Fensterfolgen kurz beschrieben, und festgestellt, ob oder unter welchen Umständen

- ihr Spektrum die nach Gleichung (2.27) geforderte Nullstellenlage aufweist,
- ihre Fenster-AKF die gewünschte M-tel-Band-Eigenschaft nach Gleichung (2.23) besitzt, so dass deren Spektrum die Gleichung (2.20) erfüllt, und
- mit welcher Potenz die Sperrdämpfung für Frequenzen deutlich außerhalb des Durchlassbereichs des Spektrums asymptotisch ansteigt, wenn die Fensterlänge groß genug gewählt wird.

Dabei wird bei allen Fenstern ein nicht näher festgelegter konstanter Faktor c_f verwendet, von dem angenommen wird, dass er so gewählt sei, dass das Spektrum der Fensterfolge bei der Frequenz $\Omega = 0$ den geforderten Wert M annimmt. Die meisten Fensterfolgen entstehen durch Abtastung einer zeitbegrenzten kontinuierlichen Fensterfunktion. Dabei werden zur Festlegung der kontinuierlichen Fensterfunktion und zur Beschreibung der Abtastung oft Parameter (meist sind dies α und \tilde{N}) eingeführt, deren Bedeutung bei den unterschiedlichen Fenstern verschieden sein kann.

Rechteck- oder Dirichlet-Fenster (z. B. [8])

Dieses diskrete Fenster $f(k)$ ist innerhalb des Intervalls $[0; F]$ konstant c_f , und sonst Null. Wenn die Fensterlänge F ein ganzzahliges Vielfaches N der RKM-DFT-Länge M ist und der konstante Faktor $c_f = 1/N$ ist, erfüllt das Rechteckfenster die Nullstellenbedingung (2.27). Für $F \leq M$ und $c_f = \sqrt{M/F}$ ist die M-tel-Band-Eigenschaft (2.23) der dreieckförmigen Fenster-AKF gegeben, weil diese auf das Intervall $(-F; F)$ begrenzt ist, so dass Gleichung (2.23) immer erfüllt ist. Für $F = M$ und $c_f = 1$ ist das Rechteckfenster also beim RKM einsetzbar. Dieses Fenster entspricht genau der inhärenten Fensterung

bei dem bisher üblichen RKM „ohne Fensterung“ und stellt den Spezialfall des Fensters nach Kapitel 6 für $N=1$ dar. Die Sperrdämpfung steigt linear mit $\sin(\Omega/2)$ an.

Dreieck-, Frejér- oder Bartlett-Fenster (z. B. [8])

Dieses diskrete Fenster entsteht durch Abtastung einer kontinuierlichen Dreieckfunktion, die z. B. durch die Faltung einer Rechteckfunktion mit sich selbst entsteht.

$$f(t) = \begin{cases} c_f \cdot (1-|t|) & \text{für } |t| < 1 \\ 0 & \text{sonst} \end{cases}$$

Wenn diese Dreiecksfunktion mit einer Abtastfrequenz abgetastet wird, die ein ganzzahliges Vielfaches ($= N/2$) von M ist, und wenn ein passender Normierungsfaktor c_f eingestellt wird, ergibt sich eine Fensterlänge von $F=N \cdot M$, und die Fensterfolge erfüllt die Nullstellenbedingung (2.27). Die M-tel-Band-Eigenschaft (2.23) der Fenster-AKF ist bei dieser Abtastung nicht gegeben. Die Sperrdämpfung steigt quadratisch mit $\sin(\Omega/2)$ an.

Parzen-, de la Vallé-Poussin- oder Jackson-Fenster (z. B. [19])

Dieses diskrete Fenster entsteht durch Abtastung einer kontinuierlichen Funktion, die durch die Faltung des kontinuierlichen Dreieckfensters mit sich selbst, bzw. durch dreimalige Faltung eines kontinuierlichen Rechteckfensters mit sich selbst entsteht.

$$f(t) = c_f \cdot \begin{cases} 1 - \frac{3}{4} \cdot t^2 \cdot (2-|t|) & \text{für } |t| < 1 \\ \frac{1}{4} \cdot (2-|t|)^3 & \text{für } 1 \leq |t| < 2 \\ 0 & \text{sonst} \end{cases}$$

Wenn diese Funktion mit einer Abtastfrequenz abgetastet wird, die ein ganzzahliges Vielfaches ($= N/4$) von M ist, und wenn ein passender Normierungsfaktor c_f eingestellt wird, ergibt sich eine Fensterlänge von $F=N \cdot M$, und die Fensterfolge erfüllt die Nullstellenbedingung (2.27). Die M-tel-Band-Eigenschaft (2.23) der Fenster-AKF ist bei dieser Abtastung nicht gegeben. Die Sperrdämpfung steigt mit der vierten Potenz in $\sin(\Omega/2)$ an.

Hamming-Fenster (z. B. [8])

Dieses diskrete Fenster entsteht durch Abtastung des kontinuierlichen Hamming-Fensters:

$$f(t) = \begin{cases} c_f \cdot (0,54 + 0,46 \cdot \cos(2\pi \cdot t)) & \text{für } |t| < \frac{1}{2} \\ 0 & \text{sonst.} \end{cases}$$

Wenn diese Funktion mit einer Abtastfrequenz abgetastet wird, die ein ganzzahliges Vielfaches ($= N$) von M mit $N \geq 2$ ist, und wenn ein passender Normierungsfaktor c_f eingestellt wird, ergibt sich eine Fensterlänge von $F=N \cdot M$, und die Fensterfolge erfüllt

die Nullstellenbedingung (2.27). Die M-tel-Band-Eigenschaft (2.23) der Fenster-AKF ist bei dieser Abtastung nicht gegeben. Die Sperrdämpfung steigt asymptotisch linear mit $\sin(\Omega/2)$ an.

Hann-Fenster (z. B. [8])

Dieses diskrete Fenster entsteht durch Abtastung des kontinuierlichen Hann-Fensters:

$$f(t) = \begin{cases} c_f \cdot (1 + \cos(2\pi \cdot t)) & \text{für } |t| < \frac{1}{2} \\ 0 & \text{sonst.} \end{cases}$$

Wenn diese Funktion mit einer Abtastfrequenz abgetastet wird, die ein ganzzahliges Vielfaches ($= N$) von M mit $N \geq 2$ ist, und wenn ein passender Normierungsfaktor c_f eingestellt wird, ergibt sich eine Fensterlänge von $F = N \cdot M$, und die Fensterfolge erfüllt die Nullstellenbedingung (2.27). Die M-tel-Band-Eigenschaft (2.23) der Fenster-AKF ist bei dieser Abtastung nicht gegeben. Die Sperrdämpfung steigt asymptotisch mit der dritten Potenz in $\sin(\Omega/2)$ an.

Blackman-Fenster (z. B. [22])

Dieses diskrete Fenster entsteht durch Abtastung des kontinuierlichen Blackman-Fensters. Dabei handelt es sich um ein Fenster, das sich als Kosinusreihe

$$f(t) = \begin{cases} c_f \cdot \left(c_0 + \sum_{\nu=1}^{\tilde{N}-1} c_{\nu} \cdot 2 \cdot \cos(\nu \cdot 2\pi \cdot t) \right) & \text{für } |t| < \frac{1}{2} \\ 0 & \text{sonst} \end{cases} \quad (6.42)$$

mit $\tilde{N}=3$ Gliedern darstellen lässt. Es gibt zwei verschiedene Versionen des Blackman-Fensters, die sich in den Reihenkoeffizienten unterscheiden.

In [22] wird das sog. „exakte“ Blackman-Fenster mit den Koeffizienten $c_0=7938$, $c_1=4620$ und $c_2=715$ angegeben. Zur besseren Dämpfung der ersten Nebenmaxima werden bei diesem Fenster die Koeffizienten so gewählt, dass sich im Spektrum der kontinuierlichen Fensterfunktion bei den Frequenzen $\omega=7\pi$ und $\omega=9\pi$ Nullstellen ergeben. Damit steigt die Sperrdämpfung asymptotisch linear mit ω an.

Werden die Koeffizienten unter der Nebenbedingung $c_0+2 \cdot c_2=2 \cdot c_1$ gerundet, so erhält man das „übliche“ Blackman-Fenster, dessen Koeffizienten $c_0=42$, $c_1=25$ und $c_2=4$ sind, und dessen Sperrdämpfung asymptotisch mit der dritten Potenz in ω ansteigt.

Wenn diese Funktion mit einer Abtastfrequenz abgetastet wird, die ein ganzzahliges Vielfaches ($= N$) von M mit $N \geq 3$ ist, und wenn ein passender Normierungsfaktor c_f eingestellt wird, ergibt sich eine Fensterlänge von $F = N \cdot M$, und die Fensterfolge erfüllt unabhängig von der Wahl der Koeffizienten die Nullstellenbedingung (2.27). Die M-tel-Band-Eigenschaft (2.23) der Fenster-AKF ist bei dieser Abtastung bei keiner der beiden

Versionen des Blackman-Fensters gegeben. Für hinreichend große Werte von M , wie sie für das RKM typisch sind, ergibt sich ein asymptotischer Anstieg der Sperrdämpfung mit derselben Potenz in $\sin(\Omega/2)$, wie er sich bei dem Spektrum der kontinuierlichen Fensterfunktion in ω ergibt.

Harris-Fenster ([22])

Dieses diskrete Fenster entsteht durch Abtastung des kontinuierlichen Harris-Fensters. Es handelt sich dabei um ein Kosinusreihenfenster nach Gleichung (6.42), das das Kaiser- I_0 -Fenster approximiert. Die Anzahl \tilde{N} der Glieder der Kosinusreihe ist drei oder vier. Die Koeffizienten berechnen sich mit einem wählbaren Parameter α , der in die Bandbreite des Fensterspektrums und die Sperrdämpfung eingeht, und für den ein Bereich von $\tilde{N}-1$ bis vier angegeben wird. Die Koeffizienten sind dann:

$$c_\nu = \text{si}(j \cdot \pi \cdot \sqrt{\alpha^2 - \nu^2}) \quad \text{für } \nu = 0 \text{ bis } \tilde{N}-1.$$

Wenn die endliche Kosinusreihe mit einer Abtastfrequenz abgetastet wird, die ein ganzzahliges Vielfaches ($=N$) von M mit $N \geq \tilde{N}$ ist, und wenn ein passender Normierungsfaktor c_f eingestellt wird, ergibt sich eine Fensterlänge von $F = N \cdot M$, und die Fensterfolge erfüllt die Nullstellenbedingung (2.27). Bei dieser Abtastung wird die Konstanz der nach Gleichung (2.20) überlagerten, verschobenen Betragsquadratspektren nicht erzielt. Dies ist auch nicht anders zu erwarten, da beim Entwurf dieser Fensterfolge die Erfüllung der Gleichung (2.20) keine Randbedingung ist. Die Sperrdämpfung steigt asymptotisch linear mit $\sin(\Omega/2)$ an.

Nach [19] soll es auch eine Kosinusreihenapproximation eines modifizierten Kaiser- I_0 -Fensters geben, dessen Sperrdämpfung mit der dritten Potenz in $\sin(\Omega/2)$ ansteigt. Dieses Fenster wurde nicht auf seine Anwendbarkeit beim RKM überprüft.

Prabhu-Fenster ([19])

Dieses diskrete Fenster entsteht durch Abtastung des kontinuierlichen Prabhu-Fensters. Es handelt sich dabei um ein Kosinusreihenfenster nach Gleichung (6.42) mit $\tilde{N}=3$. Die ersten beiden Koeffizienten sind mit $c_0=2$ und $c_1=1$ fest, während man den Koeffizienten c_2 frei wählt. Nach [19] ergibt sich eine Frequenzcharakteristik, die für den typischen Bereich von 0,0002 bis 0,03 der Familie der Kaiser-Fenster sehr ähnlich sein soll.

Wenn die endliche Kosinusreihe mit einer Abtastfrequenz abgetastet wird, die ein ganzzahliges Vielfaches ($=N$) von M mit $N \geq 3$ ist, und wenn ein passender Normierungsfaktor c_f eingestellt wird, ergibt sich eine Fensterlänge von $F = N \cdot M$, und die Fensterfolge erfüllt die Nullstellenbedingung (2.27).

Im Fall, dass die Abtastfrequenz $3 \cdot M$ ist, und dass für den frei wählbaren Koeffizienten $c_2 = \pm \sqrt{3}$ eingestellt wird, wird die Bedingung (2.20) für ganzzahlige Vielfache der Frequenz $\Omega = 2\pi/(3 \cdot M)$ erfüllt. Einerseits gilt dann $c_0^2 = c_1^2 + c_2^2$, und andererseits überlagert

sich in Gleichung (2.20) bei diesen Frequenzen Ω das Quadrat des Spektralwertes, der dem Kosinusreihenkoeffizienten c_1 entspricht, mit dem Quadrat des Spektralwertes, der dem Kosinusreihenkoeffizienten c_2 entspricht, zu dem dann gleichen Quadrat des Spektralwertes bei $\Omega=0$, der dem Kosinusreihenkoeffizienten c_0 entspricht.

Für Frequenzen die nicht im Raster $2\pi/(3 \cdot M)$ liegen, ergeben sich in Gleichung (2.20) jedoch erhebliche Abweichungen. So liegt der relative Fehler bei der Frequenz $\Omega=\pi/M$ etwa bei 60%. Wählt man die Abtastfrequenz als ein höheres ganzzahliges Vielfaches von M , oder einen anderen Kosinusreihenkoeffizienten c_2 , so werden die Abweichungen in Gleichung (2.20) in der Regel eher noch größer.

Wählt man $c_2 \neq 0$ so steigt die Sperrdämpfung asymptotisch linear mit $\sin(\Omega/2)$ an. Für $c_2=0$ ergibt sich das Hann-Fenster, dessen Sperrdämpfung asymptotisch mit der dritten Potenz in $\sin(\Omega/2)$ ansteigt.

Taylor-Fenster ([19])

Dieses diskrete Fenster entsteht durch Abtastung des kontinuierlichen Taylor-Fensters. Es handelt sich dabei um ein Kosinusreihenfenster nach Gleichung (6.42), das ein Tschebyscheff-Fenster approximiert. In [19] wird angegeben, wie sich die Koeffizienten c_ν berechnen lassen. Wieviele Koeffizienten \tilde{N} für eine brauchbare Approximation benötigt werden, hängt davon ab, welche Sperrdämpfung man zu erzielen wünscht.

Wenn die abgebrochene Kosinusreihe mit einer Abtastfrequenz abgetastet wird, die ein ganzzahliges Vielfaches ($= N$) von M mit $N \geq \tilde{N}$ ist, und wenn ein passender Normierungsfaktor c_f eingestellt wird, ergibt sich eine Fensterlänge von $F = N \cdot M$, und die Fensterfolge erfüllt die Nullstellenbedingung (2.27). Bei solch einer Abtastung sinkt aber die Überlagerung der verschobenen Betragsquadratspektren in Gleichung (2.20) im Bereich der Frequenzen um $\Omega=\pi/M$ bereits in die Größenordnung des Betragsquadrats des Spektrums im Sperrbereich ab, so dass die Bedingung (2.20) überhaupt nicht erfüllt wird.

Bei einer Abtastung mit einer Abtastfrequenz $\leq M$ wird die Bedingung (2.20) erfüllt. Da dann aber die Nullstellenbedingung (2.27) auf grösstenteils verletzt wird, ist ein Einsatz des sich so ergebenden Fensters beim RKM unmöglich.

Für relativ kleine Werte von F/\tilde{N} unterhalb von etwa 10 ergibt sich eine ganz gute Näherung für das typische Tschebyscheff Verhalten im Sperrbereich mit einer konstanten Sperrdämpfung. Wird die Abtastung jedoch so gewählt, dass sich eine Fensterlänge F ergibt, die um deutlich mehr als das zehnfache größer ist als die Anzahl \tilde{N} der Kosinusreihenkoeffizienten — was beim RKM typischerweise der Fall ist —, so hat die Erfahrung gezeigt, dass die Sperrdämpfung dann asymptotisch linear mit $\sin(\Omega/2)$ ansteigt.

Geçkinli-Yavuz-Fenster ([21])

Dieses diskrete Fenster entsteht durch Abtastung des kontinuierlichen, zu $t=0$ symmetri-

schen Geçkinli-Yavuz-Fensters. Es handelt sich dabei um ein Kosinusreihenfenster nach Gleichung (6.42), das alle Momente $\int_{-\infty}^{\infty} |\omega^n \cdot F(\omega)| \cdot d\omega$ des Spektrums unter einigen Randbedingungen minimiert.

Die erste Randbedingung ist, dass die Fensterfunktion für $t=0$ Eins ist, und dass der Betrag des Fensters nur innerhalb eines symmetrischen Bereiches $\pm\Delta T$ um den Nullpunkt größer als eine vorgebbare Schranke ϵ sein darf. Die zweite Randbedingung ist, dass der Wert der kontinuierlichen Fensterfunktion am Anfang und Ende Null ist. Drittens sollen alle Kosinusreihenkoeffizienten größer oder gleich Null sein.

Als Lösung ergibt sich ein Tschebyscheff-Polynom $\epsilon \cdot T_{\tilde{N}-1}(a \cdot \cos(2\pi \cdot t) + b)$ vom Grad $\tilde{N}-1$, dessen Argument eine linear gestreckte und verschobene Kosinusfunktion ist. Durch die lineare Skalierung des Arguments wird einerseits erreicht, dass das Minimum des Arguments $(b-a)$ genau in der kleinsten Nullstelle des Tschebyscheff-Polynoms liegt. Andererseits wird das Maximum des Arguments $(b+a)$ so eingestellt, dass sich dort für den Wert des Tschebyscheff-Polynoms $1/\epsilon$ ergibt. Man erhält so eine Fensterfunktion, die außerhalb der Nullpunktsumgebung $\pm\Delta T$ zwischen $\pm\epsilon$ oszilliert, und die am Anfang und Ende doppelte Nullstellen aufweist.

Wenn man ϵ vorgibt, ergibt sich abhängig von der Anzahl \tilde{N} der Glieder der Kosinusreihe ein Wert für die Breite $2 \cdot \Delta T$ der Nullpunktsumgebung innerhalb derer die Fensterfunktion größer ϵ ist. Für $\epsilon=0.001$ sind die Reihenkoeffizienten in [21] für die Werte $\tilde{N}=2$ (1) 14 tabelliert, und es wird dort der sich jeweils ergebende Wert ΔT relativ zur Fensterlänge angegeben.

Wenn die endliche Kosinusreihe mit einer Abtastfrequenz abgetastet wird, die ein ganzzahliges Vielfaches ($=N$) von M mit $N \geq \tilde{N}$ ist, und wenn ein passender Normierungsfaktor c_f eingestellt wird, ergibt sich eine Fensterlänge von $F = N \cdot M$, und die Fensterfolge erfüllt die Nullstellenbedingung (2.27). Bei solch einer Abtastung wird die Konstanz der nach Gleichung (2.20) überlagerten, verschobenen Betragsquadratspektren bei keinem Geçkinli-Yavuz-Fenster mit $\epsilon=0.001$ erreicht. Je kleiner der Wert von ϵ wird, desto größer wird der Zeitbereich $|t| < \Delta T$, in dem die kontinuierliche Fensterfunktion stets positiv ist. Wenn ϵ hinreichend klein ist (für $\epsilon < 0.001$ trifft dies zu), setzt sich der Wert der Fenster-AKF $d(k)$ an der Stelle $k=M$ bei einer mit der Nullstellenbedingung (2.27) kompatiblen Abtastung aus zwei Anteilen zusammen. Der eine Anteil besteht aus den Produkten, die wenigstens jeweils einen Abtastwert der Fensterfunktion enthalten, der im Intervall $|t| \geq \Delta T$ liegt. Diese Produkte sind sehr klein, wenn ϵ klein ist. Der andere Anteil enthält nur die Produkte zweier Abtastwerte, die beide dem Zeitintervall $|t| < \Delta T$ entnommen sind. Da die Fensterfunktion sehr rasch anwächst, wenn man sich von $|t| = \Delta T$ zu $t=0$ bewegt, wird der zweite Anteil der Fenster-AKF $d(k)$ an der Stelle $k=M$ für kleine Werte von ϵ deutlich überwiegen. Da dieser Anteil nur positive Produkte enthält, wird $d(M)$ stets positiv sein,

so dass die Forderung (2.23), und somit auch die Konstanz der nach Gleichung (2.20) überlagerten, verschobenen Betragsquadratspektren, nicht erfüllt sein kann. Für Werte von ϵ in der Größenordnung von Eins, konnte weder ein Beweis dafür gefunden werden, dass die Bedingung (2.20) nicht erfüllt sein kann, noch ein Fall bei dem diese Bedingung erfüllt ist.

Durch die doppelten Nullstellen im Zeitbereich am Anfang und Ende der kontinuierlichen Fensterfunktion ergibt sich nach der Abtastung eine Fensterfolge, deren Sperrdämpfung bei großer Fensterlänge asymptotisch mit der dritten Potenz in $\sin(\Omega/2)$ ansteigt.

Babić-Temes-Fenster ([19])

Hierbei handelt es sich um ein diskretes Kosinusreihen-Fenster nach Gleichung (6.42). Die Koeffizienten c_ν gewinnt man abhängig von der gewünschten Fensterlänge F , die bei diesem Fenster als gerade angenommen wird, und der gewünschten Anzahl \tilde{N} der Reihenkoeffizienten durch Interpolation aus einer Tabelle, in der für einige Werte der Fensterlänge die Koeffizienten als Stützstellen angegeben sind. Für die Anzahl $\tilde{N} = 2 (1) 5$ der Reihenkoeffizienten und die Fensterlängen¹⁰ $F \in \{16; 32; 64\}$ ist eine derartige Stützstellentabelle in [19] angegeben.

Die damit gewonnenen Fensterfolgen maximieren — wie das Kaiser-Fenster bei einer kontinuierlichen Fensterfunktion — die auf die Gesamtenergie bezogene Energie des Spektrums innerhalb des Durchlassbereichs $|\Omega| < \Omega_g$, wobei je nach gewünschter Grenzfrequenz Ω_g eine andere Stützstellentabelle zu verwenden ist. In [19] sind die zwei Tabellen für die beiden Grenzfrequenzen $\Omega_g = 2\pi/F$ und $\Omega_g = 4\pi/F$ enthalten.

Wenn eine Fensterlänge F verwendet wird, die ein ganzzahliges Vielfaches ($= N$) von M mit $N \geq \tilde{N}$ ist, und wenn ein passender Normierungsfaktor c_f eingestellt wird, erfüllt die Fensterfolge die Nullstellenbedingung (2.27). Bei solch einer Abtastung wird die Konstanz der nach Gleichung (2.20) überlagerten, verschobenen Betragsquadratspektren bei dieser Fensterfolge nicht erreicht. Je kleiner nämlich die Grenzfrequenz Ω_g im Vergleich zu $2\pi/M$ wird, desto kleiner wird die Summe in Gleichung (2.20) bei der Frequenz $\Omega = \pi/M$, während sie bei geeigneter Fensterlänge $F = N \cdot M$ bei der Frequenz $\Omega = 0$ unabhängig von der Grenzfrequenz Ω_g ist. Die Sperrdämpfung steigt asymptotisch linear mit $\sin(\Omega/2)$ an.

Nuttall-Fenster ([19])

Dieses diskrete Fenster entsteht durch Abtastung des kontinuierlichen Nuttall-Fensters. Es handelt sich dabei um ein Kosinusreihenfenster nach Gleichung (6.42), bei dem die Koeffizienten der Kosinusreihe von der gewünschten Optimierung abhängen. Entweder kann dabei ein Anstieg der Sperrdämpfung mit einer möglichst hohen Potenz in ω erreicht werden, oder andererseits eine möglichst hohe Dämpfung der Nebenmaxima des

¹⁰Für $F \geq 64$ wird in [19] empfohlen, die Werte der Stützstellen für $F = 64$ zu verwenden.

Spektrums der Fensterfunktion. Für $\tilde{N} \geq 3$ kann auch ein Kompromiss aus beiden Optimierungszielen verwirklicht werden. Für $\tilde{N} = 2$ (1) 4 sind die Kosinusreihenkoeffizienten für die unterschiedlichen Arten der Optimierung in [19] tabelliert.

Wenn die endliche Kosinusreihe mit einer Abtastfrequenz abgetastet wird, die ein ganzzahliges Vielfaches ($= N$) von M mit $N \geq \tilde{N}$ ist, und wenn ein passender Normierungsfaktor c_f eingestellt wird, ergibt sich eine Fensterlänge von $F = N \cdot M$, und die Fensterfolge erfüllt die Nullstellenbedingung (2.27). Unabhängig von der Art der Optimierung, ist bei solch einer Abtastung die Konstanz der nach Gleichung (2.20) überlagerten, verschobenen Betragsquadratspektren bei keinem Nuttall-Fenster gegeben. Für hinreichend große Werte von M , wie sie für das RKM typisch sind, ergibt sich ein asymptotischer Anstieg der Sperrdämpfung mit derselben Potenz in $\sin(\Omega/2)$, wie er bei dem Spektrum der kontinuierlichen Fensterfunktion in ω festzustellen ist.

Flat-Top-Fenster ([19])

Dieses diskrete Fenster entsteht durch Abtastung eines kontinuierlichen Flat-Top-Fensters. Es handelt sich dabei um ein Kosinusreihenfenster nach Gleichung (6.42), bei dem das Spektrum der Fensterfunktion im Durchlassbereich $|\omega| < \pi/2$ genau einen Überschwinger aufweist. Dieser Überschwinger wird dabei so gewählt, dass der Wert des Maximums um genauso viel größer ist als der Wert des Spektrums bei der Frequenz $\omega = 0$, wie der Wert des Spektrums bei der Frequenz $\omega = \pi/2$ kleiner ist. In Abhängigkeit von der gewählten Anzahl \tilde{N} der Glieder der Kosinusreihe bleiben einige Freiheitsgrade bei der Wahl der Kosinusreihenkoeffizienten unbestimmt, die man dazu nutzen kann, entweder einen Anstieg der Sperrdämpfung mit einer möglichst hohen Potenz in ω , oder eine möglichst hohe Dämpfung der Nebenmaxima des Spektrums der Fensterfunktion zu erreichen. Auch ein Kompromiss aus diesen beiden Zielen ist möglich. Für $\tilde{N} = 3$ (1) 5 sind die Kosinusreihenkoeffizienten für die unterschiedlichen Arten der Optimierung in [19] tabelliert.

Wenn die endliche Kosinusreihe mit einer Abtastfrequenz abgetastet wird, die ein ganzzahliges Vielfaches ($= N$) von M mit $N \geq \tilde{N}$ ist, und wenn ein passender Normierungsfaktor c_f eingestellt wird, ergibt sich eine Fensterlänge von $F = N \cdot M$, und die Fensterfolge erfüllt die Nullstellenbedingung (2.27). Unabhängig von der Art der Optimierung, ist bei solch einer Abtastung die Konstanz der nach Gleichung (2.20) überlagerten, verschobenen Betragsquadratspektren bei keinem Flat-Top-Fenster gegeben. Für hinreichend große Werte von M , wie sie für das RKM typisch sind, erhält man einen asymptotischen Anstieg der Sperrdämpfung mit derselben Potenz in $\sin(\Omega/2)$, wie er sich bei dem Spektrum der kontinuierlichen Fensterfunktion in ω ergibt. Es sei noch darauf hingewiesen, dass der Begriff Flat-Top-Fenster auch für das Tukey-Fenster verwendet wird, bei dem die Fensterfunktion im mittleren Zeitbereich einen konstanten Maximalwert annimmt.

Kosinus-Halbwellen-Fenster (z. B. [22])

Dieses diskrete Fenster entsteht durch Abtastung eines kontinuierlichen Kosinus-Halbwellen-Fensters:

$$f(t) = \begin{cases} c_f \cdot \cos(\pi \cdot t) & \text{für } |t| < \frac{1}{2} \\ 0 & \text{sonst.} \end{cases}$$

Die Nullstellen des Spektrums des kontinuierlichen Kosinus-Halbwellen-Fensters liegen bei ungeradzahligen Vielfachen (größer eins) der Frequenz $\omega = \pi$. Daher kann die Abtastung dieses Fensters nicht in der Art erfolgen, dass sich bei allen ganzzahligen Vielfachen der Frequenz $\Omega = 2\pi/M$ immer nur Nullstellen überlagern, so dass die Nullstellenbedingung (2.27) erfüllt wäre. Wegen der Unstetigkeit der ersten Ableitung der kontinuierlichen Fensterfunktion bei $t = \pm 1/2$ steigt die Sperrdämpfung quadratisch in ω an.

Für hinreichend feine Abtastung des kontinuierlichen Kosinus-Halbwellen-Fensters — also für große Werte von F — ergibt sich somit auch bei der zeitdiskreten Fensterfolge ein asymptotisch quadratischer Anstieg der Sperrdämpfung in $\sin(\Omega/2)$. Nur bei einer Abtastung mit einer Abtastfrequenz kleiner gleich M ist die Konstanz der nach Gleichung (2.20) überlagerten, verschobenen Betragsquadratspektren erfüllt.

Man kann auch Potenzen des Kosinus-Halbwellen-Fensters verwenden. Das Quadrat des Kosinus-Halbwellen-Fensters ergibt das Hann-Fenster. Die weiteren geraden Potenzen ergeben die Nuttall-Fenster, die man bei einer Optimierung der Potenz des asymptotischen Anstiegs der Sperrdämpfung erhält. Sie lassen sich problemlos in der Art abtasten, dass die Nullstellenbedingung (2.27) erfüllt wird. Bei den ungeraden Potenzen des Kosinus-Halbwellen-Fensters lässt sich eine derartige Abtastung nicht finden. Die Sperrdämpfung steigt für große Fensterlängen F asymptotisch mit einer Potenz in $\sin(\Omega/2)$ an, die um Eins höher ist, als die Potenz, mit der das Kosinus-Halbwellen-Fenster potenziert wird.

Die Konstanz der nach Gleichung (2.20) überlagerten, verschobenen Betragsquadratspektren wird nur für eine Abtastung mit einer Abtastfrequenz kleiner gleich M immer erfüllt, weil dann die Fensterlänge F so klein ist, dass die Bedingung (2.23) immer erfüllt ist. Führt die Abtastung zu einer Fensterlänge $F > M$, so ist der Wert der Fenster-AKF $d(k)$ für $k = M$ stets positiv, weil auch die Fensterfolge stets positiv ist. Daher kann die Forderung (2.23), und somit auch die Forderung (2.20) nicht erfüllt werden.

Tukey-Fenster (z. B. [8])

Dieses diskrete Fenster entsteht durch Abtastung des kontinuierlichen Tukey-Fensters

$$f(t) = c_f \cdot \begin{cases} 2 & \text{für } |t| \leq \frac{1}{2} - \alpha \\ 1 - \cos\left(\frac{\pi}{2\alpha} \cdot (1 - 2 \cdot |t|)\right) & \text{für } \frac{1}{2} - \alpha < |t| < \frac{1}{2} \\ 0 & \text{sonst,} \end{cases}$$

das im Intervall $[\alpha - \frac{1}{2}; \frac{1}{2} - \alpha]$ konstant ist, und anschließende Kosinus-Flanken aufweist. Für $\alpha = 0$ erhält man das Rechteckfenster und für $\alpha = \frac{1}{2}$ das Hann-Fenster.

Für $0 < \alpha < \frac{1}{2}$ kann man sich das kontinuierliche Tukey-Fenster durch eine Faltung zweier zeitbegrenzter Fensterfunktionen entstanden vorstellen. Die eine Funktion ist dabei ein symmetrisches Rechteck der gesamten Breite $1 - \alpha$. Die andere Funktion ist das in der Zeitvariablen gestauchte Kosinus-Halbwellen-Fenster, das nach der Stauchung eine Gesamtbreite von α aufweist. Die Nullstellen des Spektrums des Rechteckfensters liegen bei ganzzahligen Vielfachen der Frequenz $2\pi/(1 - \alpha)$ mit Ausnahme von $\omega = 0$. Die Nullstellen des Spektrums des gestauchten Kosinus-Halbwellen-Fensters liegen bei ungeradzahligen Vielfachen der Frequenz π/α mit Ausnahme der beiden Frequenzen $\omega = \pm\pi/\alpha$. Das Spektrum des kontinuierlichen Tukey-Fensters besitzt die Nullstellen beider Spektralfaktoren.

Bei der Abtastung des kontinuierlichen Tukey-Fensters mit der Abtastfrequenz F erhält man eine Fensterfolge der Länge F . Man wird nun versuchen F so zu wählen, dass sich die Nullstellen der verschobenen Spektren des kontinuierlichen Tukey-Fensters zu Nullstellen im Spektrum des zeitdiskreten Tukey-Fensters bei ganzzahligen Vielfachen der Frequenz $\Omega = 2\pi/M$ überlagern, um so sicherzustellen, dass die Nullstellenbedingung (2.27) erfüllt wird. Die Nullstellen des Spektrums des gestauchten Kosinus-Halbwellen-Fensters können dabei nicht genutzt werden, weil diese auch nach der Überlagerung der verschobenen Spektren des kontinuierlichen Fensters allenfalls in einem Raster liegen können, das ein ungeradzahliges Vielfaches einer Grundfrequenz ist. Somit können diese Nullstellen niemals in dem gewünschten Raster liegen. Man wird daher die Abtastfrequenz F so wählen, dass F ein ganzzahliges Vielfaches von $1 - \alpha$ ist, so dass sich die Nullstellen des kontinuierlichen Rechteckfensters zu Nullstellen im Spektrum des zeitdiskreten Tukey-Fensters überlagern, die bei ganzzahligen Vielfachen einer Grundfrequenz liegen. Des Weiteren ist F so zu wählen, dass diese Grundfrequenz ein Teiler der Frequenz $\Omega = 2\pi/M$ ist. Mit den ganzzahligen Werten M , \tilde{N} und F ist also F und α so zu wählen, dass $F \cdot (1 - \alpha) = \tilde{N} \cdot M$ gilt. Zwischen zwei nach Gleichung (2.27) notwendigen Nullstellen liegen dann wenigstens \tilde{N} weitere Nullstellen der Z-Transformierten des zeitdiskreten Tukey-Fensters am Einheitskreis. Bei dieser Art der Abtastung ist die Nullstellenbedingung (2.27) erfüllt, und F ist immer größer als M .

Weil die stets positive Fensterfolge $f(k)$ eine stets positive Fenster-AKF $d(k)$ aufweist, kann die Forderung (2.23), dass die Fenster-AKF für Vielfache von M Null ist, für $F > M$ nicht erfüllt werden. Daher kann auch die äquivalente Forderung (2.20) nach der Konstanz der überlagerten, verschobenen Betragsquadratspektren der Fensterfolge nicht erfüllt werden. Für eine hinreichend große Fensterlänge F steigt die Sperrdämpfung asymptotisch mit der dritten Potenz in $\sin(\Omega/2)$ an.

Riesz-Fenster ([22])

Dieses diskrete Fenster entsteht durch Abtastung eines kontinuierlichen Riesz-Fensters:

$$f(t) = \begin{cases} c_f \cdot (1 - 4 \cdot t^2) & \text{für } |t| \leq \frac{1}{2} \\ 0 & \text{sonst.} \end{cases}$$

Die Fouriertransformierte des Riesz-Fensters ist proportional zu $(\cos(\omega/2) - \sin(\omega/2))/\omega^2$ und weist keine äquidistanten Nullstellen auf. Es wird daher — abgesehen von einigen uninteressanten Fällen für extrem kleine Werte von $M \leq 3$ — nicht gelingen, die Abtastung in der Art zu wählen, dass das zeitdiskrete Riesz-Fenster im Spektrum die in Gleichung (2.27) geforderten äquidistanten Nullstellen aufweist. Bei einer Abtastung mit einer Abtastfrequenz F erhält man eine Fensterfolge der Länge F . Weil die stets positive Fensterfolge $f(k)$ eine stets positive Fenster-AKF $d(k)$ aufweist, kann die Forderung (2.23), dass die Fenster-AKF für Vielfache von M Null ist, für $F > M$ nicht erfüllt werden, während sie für $F \leq M$ immer erfüllt ist. Entsprechendes gilt für die äquivalente Forderung (2.20) nach der Konstanz der überlagerten, verschobenen Betragsquadratspektren der Fensterfolge. Für eine hinreichend große Fensterlänge F steigt die Sperrdämpfung asymptotisch quadratisch mit $\sin(\Omega/2)$ an.

Papoulis- oder Bohman-Fenster (z. B. [19])

Dieses diskrete Fenster entsteht durch Abtastung eines kontinuierlichen Papoulis-Fensters

$$f(t) = \begin{cases} c_f \cdot (\sin(2\pi \cdot |t|) + \pi \cdot (1 - 2 \cdot |t|) \cdot \cos(2\pi \cdot t)) & \text{für } |t| \leq \frac{1}{2} \\ 0 & \text{sonst,} \end{cases}$$

das, abgesehen von einer Zeit- und Werteskalierung, die Fensterautokorrelationsfunktion des kontinuierlichen Kosinus-Halbwellen-Fensters ist. Daher kann die Abtastung dieses Fensters — wie beim Kosinus-Halbwellen-Fenster — nicht in der Art erfolgen, dass die Nullstellenbedingung (2.27) erfüllt wird. Für große Werte von F ist wegen der engen Abtastung des kontinuierlichen Papoulis-Fensters auch bei der zeitdiskreten Fensterfolge ein asymptotischer Anstieg der Sperrdämpfung mit der vierten Potenz in $\sin(\Omega/2)$ zu beobachten. Nur bei einer Abtastung mit einer Abtastfrequenz kleiner gleich M ist die Konstanz der nach Gleichung (2.20) überlagerten, verschobenen Betragsquadratspektren erfüllt.

Varianten des Papoulis-Fensters erhält man, wenn man die geeignet skalierten Fensterautokorrelationsfunktionen von Potenzen des Kosinus-Halbwellen-Fensters verwendet. Bei geraden Potenzen ergeben sich Fenster, die sich problemlos in der Art abtasten lassen, dass die Nullstellenbedingung (2.27) erfüllt wird. Bei den ungeraden Potenzen des Kosinus-Halbwellen-Fensters lässt sich eine derartige Abtastung der Fensterautokorrelationsfunktion nicht finden. Die Sperrdämpfung steigt für große Fensterlängen F asymptotisch mit

einer Potenz in $\sin(\Omega/2)$ an, die um zwei höher ist als die doppelte Potenz, mit der das zugrunde liegende Kosinus-Halbwellen-Fensters potenziert wird. Die Konstanz der nach Gleichung (2.20) überlagerten, verschobenen Betragsquadratspektren wird nur für eine Abtastung mit einer Abtastfrequenz kleiner gleich M immer erfüllt. Mit der zweiten Potenz des Kosinus-Halbwellen-Fensters erhält man bei entsprechender Skalierung die Fensterfunktion

$$f(t) = \begin{cases} c_f \cdot \left(2\pi \cdot (1 - 2 \cdot |t|) \cdot (2 + \cos(4\pi \cdot t)) + 3 \cdot \sin(4\pi \cdot |t|) \right) & \text{für } |t| \leq \frac{1}{2} \\ 0 & \text{sonst,} \end{cases}$$

die zugleich die Fensterautokorrelationsfunktion des Hann-Fensters ist.

Kosinus-Rolloff-Fenster ([15])

Zunächst hat man wieder eine kontinuierliche Fensterfunktion, die nun zeitlich unbegrenzt ist:

$$f(t) = c_f \cdot \text{si}(\pi \cdot t) \cdot \frac{\cos(\pi \cdot \alpha \cdot t)}{1 - (2 \cdot \alpha \cdot t)^2}.$$

Das Spektrum des kontinuierlichen Kosinus-Rolloff-Fensters ist im Intervall $|\omega| < \pi \cdot (1 - \alpha)$ konstant, und fällt anschließend mit einer Kosinus-Flanke ab. Für $\omega = \pi$ ist das Spektrum nur halb so groß wie für $\omega = 0$, und für $|\omega| > \pi \cdot (1 + \alpha)$ ist es Null.

Aus dem kontinuierlichen Kosinus-Rolloff-Fenster kann man auf zweierlei Weisen ein zeitdiskretes Fenster der Länge F erhalten. Die erste Möglichkeit besteht darin, einen Ausschnitt der endlichen Länge N des kontinuierlichen Kosinus-Rolloff-Fensters mit einer Abtastfrequenz F/N abzutasten. Dies entspricht im Frequenzbereich einer Faltung des Spektrums des kontinuierlichen Kosinus-Rolloff-Fensters mit einer periodisch fortgesetzten si-Funktion. Zwei benachbarte absolute Betragsmaxima der periodisch fortgesetzten si-Funktion haben dabei einen Abstand von $2\pi \cdot F/N$. Zwischen zwei benachbarten absoluten Betragsmaxima liegen jeweils $F - 1$ äquidistante Nullstellen in einem Raster mit einem Frequenzabstand von $2\pi/N$. Wo das Spektrum der zeitdiskreten Fensterfolge Nullstellen aufweist, kann allgemein nicht gesagt werden, da die Nullstelleneigenschaft der periodisch fortgesetzten si-Funktion bei der Faltung mit dem Spektrum des kontinuierlichen Kosinus-Rolloff-Fensters nicht erhalten bleibt.

Um dies zu vermeiden, kann man die zweite Möglichkeit, ein zeitdiskretes Fenster aus dem kontinuierlichen Kosinus-Rolloff-Fenster zu erhalten, anwenden. Dabei wird die kontinuierliche Fensterfunktion zunächst mit der Periode \tilde{N} fortgesetzt, indem man sie mit einem Impulskamm mit dem Impulsabstand \tilde{N} faltet. Man erhält so zunächst ein Linienspektrum mit dem Impulsabstand $2\pi/\tilde{N}$, bei dem die Stärken der Impulse des Spektrums proportional zu den entsprechenden Abtastwerten des Spektrums des kontinuierlichen

Kosinus-Rolloff-Fensters sind. Da das Spektrum der kontinuierlichen Fensterfunktion begrenzt ist, wird das Spektrum der periodisch fortgesetzten Fensterfunktion für $0 < \alpha \leq 1$ maximal $2 \cdot \tilde{N} - 1$ Linien enthalten. Tastet man bei dieser periodisch fortgesetzten, kontinuierlichen Fensterfunktion einen Ausschnitt der Länge N mit der Abtastfrequenz F/N ab, so erhält man eine zeitdiskrete Fensterfolge der Länge F , deren Spektrum sich nun als die Faltung des Linienspektrums mit der oben angegebenen periodisch fortgesetzten si-Funktion berechnen lässt. Wenn man nun N als ein ganzzahliges Vielfaches von \tilde{N} wählt, bleiben alle Nullstellen der periodisch fortgesetzten si-Funktion, die bei der Faltung nicht auf den Frequenzen der Linien zu liegen kommen, erhalten. Mit der auf die Abtastfrequenz normierten Frequenz Ω besitzt das Spektrum der zeitdiskreten Fensterfolge Nullstellen im Abstand $2\pi/F$, außer bei den maximal $2 \cdot N - 1$ niedrigen Frequenzen im Abstand $2\pi \cdot N / (\tilde{N} \cdot F)$, die den Frequenzen der Linien des Spektrums der periodisch fortgesetzten Fensterfunktion entsprechen. Werden nun N , \tilde{N} und F geeignet gewählt (z. B. $N = \tilde{N}$ und $F = N \cdot M$), so wird die Nullstellenbedingung (2.27) erfüllt.

Wenn man für die Periode \tilde{N} der periodisch fortgesetzten Fensterfunktion eine gerade Zahl wählt, weist die si-Funktion, die als Faktor in der ursprünglichen, kontinuierlichen Kosinus-Rolloff-Fensterfunktion vorhanden ist, bei ungeradzahligen Vielfachen von $t = \pm \tilde{N}/2$ Nullstellen auf. Aus diesen werden nach der periodischen Fortsetzung doppelte Nullstellen, da sich zu diesen Zeitpunkten immer einfache Nullstellen überlagern, wobei jeweils zwei überlagerte Nullstellen gegengleiche Ableitungen besitzen. Die Sperrdämpfung des Spektrums der zeitdiskreten Kosinus-Rolloff-Fensterfolge wird daher für gerades \tilde{N} und große Fensterlänge F asymptotisch mit der dritten Potenz in $\sin(\Omega/2)$ ansteigen, wenn der abgetastete Ausschnitt symmetrisch zu $t = 0$ gewählt wird.

Für ungerades \tilde{N} ergibt sich bei symmetrischer Wahl des Ausschnitts derselbe Anstieg der Sperrdämpfung, wenn α ein ungerades, ganzzahliges Vielfaches größer Eins von $1/\tilde{N}$ ist, so dass die Kosinusfunktion, die als Faktor in der ursprünglichen, kontinuierlichen Kosinus-Rolloff-Fensterfunktion vorhanden ist, bei ungeradzahligen Vielfachen von $t = \pm \tilde{N}/2$ Nullstellen besitzt. Wird ein unsymmetrischer Ausschnitt zur Abtastung aus der periodisch fortgesetzten kontinuierlichen Fensterfunktion ausgewählt, so erhält man eine mit $\sin(\Omega/2)$ linear ansteigende Sperrdämpfung, es sei denn, der abgetastete Ausschnitt ist so gewählt worden, dass dieser bei einer einfachen Nullstelle der periodisch fortgesetzten Fensterfunktion beginnt und endet. Dann steigt die Sperrdämpfung des Spektrums der zeitdiskreten Fensterfolge quadratisch mit $\sin(\Omega/2)$ an.

Die Konstanz der nach Gleichung (2.20) überlagerten, verschobenen Betragsquadratspektren kann bei einer mit der Nullstellenbedingung (2.27) kompatiblen Abtastung, nur für den trivialen Fall des Rechteckfensters mit $N = \tilde{N} = 1$ und $F = M$ erreicht werden.

Wurzel-Kosinus-Rolloff-Fenster ([15])

Wieder hat man eine kontinuierliche, zeitlich unbegrenzte Fensterfunktion:

$$f(t) = c_f \cdot \frac{4 \cdot \alpha \cdot t \cdot \cos((1+\alpha) \cdot \pi \cdot t) + \sin((1-\alpha) \cdot \pi \cdot t)}{(1 - (4 \cdot \alpha \cdot t)^2) \cdot \pi \cdot t}.$$

Die positive Wurzel des Spektrums des kontinuierlichen Kosinus-Rolloff-Fensters ist das Spektrum des kontinuierlichen Wurzel-Kosinus-Rolloff-Fensters. Bezüglich der Art der Abtastung, die gewährleistet, dass die Nullstellenbedingung (2.27) erfüllt wird, gilt im wesentlichen das zum Kosinus-Rolloff-Fenster gesagte. Im Allgemeinen wird es nur für einige spezielle Werte von α gelingen, dass der symmetrisch zu $t=0$ gewählte, abzutastende Ausschnitt der periodifizierten, kontinuierlichen Fensterfunktion mit einer doppelten Nullstelle beginnt und endet, so dass die Sperrdämpfung des Spektrums der zeitdiskreten Wurzel-Kosinus-Rolloff-Fensterfolge für große Fensterlänge F asymptotisch mit der dritten Potenz in $\sin(\Omega/2)$ ansteigt. Einen Ausschnitt zu finden, der mit einer einfachen Nullstelle in der periodifizierten, kontinuierlichen Fensterfunktion beginnt und endet, ist relativ einfach, wenn man den Ausschnitt nicht symmetrisch zu $t=0$ wählt. Dann erreicht man einen quadratischen Anstieg der Sperrdämpfung mit $\sin(\Omega/2)$. Im Allgemeinen beginnt und endet der Ausschnitt jedoch meist mit einem Sprung, so dass sich ein asymptotisch linearer Sperrdämpfungsanstieg ergibt.

Der Sinn des bei der kontinuierlichen Fensterfunktion gewählten Spektrums besteht darin, dass die Überlagerung aller um Vielfache von 2π verschobenen Betragsquadratspektren eine Konstante ergibt. Wenn man aber nun einen Ausschnitt der kontinuierlichen Fensterfunktion oder der periodifizierten Fensterfunktion betrachtet, geht diese der Gleichung (2.20) entsprechende Eigenschaft bereits vor der Abtastung verloren, und kann auch durch die Abtastung nicht wiederhergestellt werden. Lediglich für die diskreten Frequenzen im Raster $2\pi/F$ wird die Konstanz der nach Gleichung (2.20) überlagerten, verschobenen Betragsquadratspektren erreicht, wenn man die oben beschriebene, mit der Nullstellenbedingung (2.27) verträgliche Art der Abtastung verwendet. Bei den anderen Frequenzen ergeben sich Abweichungen, die z. B. für $N = \tilde{N} = 8$ und $M = 64$ bei maximal 0,5% liegen, und somit um viele Zehnerpotenzen über den Fehlern liegen, die bei dem nach Kapitel 6 konstruierten Fenster verbleiben.

Daniell-Fenster ([7])

In Kapitel 2.2 hatten wir festgestellt, dass es wünschenswert wäre, das in Ω kontinuierliche LDS mit Hilfe der M Werte $\bar{\Phi}_n(\mu)$ der flächengleichen Stufenapproximation nach Gleichung (2.13) zu beschreiben. Die Erwartungswerte $\bar{\Phi}_n(\mu)$ der Zufallsgrößen $|N_f(\mu)|^2/M$ entsprechen genau den gewünschten Größen $\bar{\Phi}_n(\mu)$, wenn man als Fensterfolge die auch als Daniell-Fenster bezeichnete si-Funktion $\text{si}(\pi \cdot k/M)$, verwendet.

Da man wieder nur mit endlicher Fensterlänge F arbeiten kann, muss man auch hier wieder eine geeignete Art finden, wie man aus der kontinuierlichen si-Funktion eine entsprechende zeitbegrenzte und zeitdiskrete Fensterfolge gewinnen kann. Wenn man beim kontinuierlichen Kosinus-Rolloff-Fenster oder beim Wurzel-Kosinus-Rolloff-Fenster den Parameter α zu Null setzt, erhält man die si-Funktion. Daher können die beiden dort beschriebenen Verfahren, eine zeitdiskrete Fensterfolge zu gewinnen, auch hier angewendet werden, und die dort gewonnenen Erkenntnisse bezüglich der Bedingungen (2.20) und (2.27) sowie des Anstiegs der Sperrdämpfung behalten auch hier ihre Gültigkeit. Für den Fall, dass man die si-Funktion periodifiziert bevor man sie abtastet, indem man sie mit einem Impulskamm faltet, ergeben sich hier jedoch zwei Besonderheiten.

Wenn man die Länge des Ausschnittes, den man bei der periodifizierten si-Funktion abtastet, als ein Vielfaches der Periode des Impulskamms wählt, so dass die Nullstellenbedingung (2.27) erfüllt wird, liegen die Linien des Spektrums der periodifizierten si-Funktion immer symmetrisch zu $\omega=0$ und alle sind gleich hoch. Die periodifizierte si-Funktion hat daher innerhalb einer Periode immer eine gerade Anzahl von einfachen Nullstellen. Daher wird bei einer zum Hauptmaximum der periodifizierten si-Funktion symmetrischen Abtastung immer ein Sprung an den Enden des herausgeschnittenen Ausschnitts auftreten, weshalb die Sperrdämpfung dann asymptotisch linear mit $\sin(\Omega/2)$ ansteigt.

Bei unsymmetrischer Abtastung kann man allenfalls einen quadratischen Sperrdämpfungsanstieg erreichen. Bei dieser Art der Periodifizierung kann man leicht zeigen, dass die Konstanz der nach Gleichung (2.20) überlagerten, verschobenen Betragsquadratspektren nie gegeben sein kann. Da sich das Spektrum des zeitdiskreten Daniell-Fensters als Faltung der Linien des Spektrums der periodifizierten si-Funktion mit einer periodisch fortgesetzten si-funktion berechnet, deren Nullstellenabstand mit dem Abstand der Spektrallinien übereinstimmt, tritt das Gibbssche Phänomen auf. Daher ist der Maximalwert des Betragsquadrats des Spektrums größer als bei der Frequenz $\Omega=0$. Bei dieser Frequenz werden wegen der Nullstellenlage nach Gleichung (2.27) bei der Überlagerung der verschobenen Betragsquadratspektren nach Gleichung (2.20) Nullen addiert. Somit ergibt sich für $\Omega=0$ in Gleichung (2.20) ein kleinerer Wert, als bei der Frequenz, bei der als Summand der Maximalwert des Betragsquadrats des Spektrums des zeitdiskreten Daniell-Fensters enthalten ist. Es sei noch darauf hingewiesen, dass das Fenster, das man erhält, wenn man aus der si-Funktion nur den Bereich zwischen $-\pi$ und π — also die Hauptkeule — ausschneidet, auch unter dem Namen Riemann-Fenster bekannt ist.

Gauß-Jones- oder Weierstraß-Fenster (z. B. [7])

Der kontinuierliche Gaußimpuls

$$f(t) = c_f \cdot e^{-\frac{\alpha}{2} \cdot t^2}$$

besitzt das kleinstmögliche Produkt aus Zeitdauer und Bandbreite, wobei diese als die zweiten Momente des Zeitsignals und des Spektrums definiert sind, wie dies z. B. in [13] angegeben ist. Daher erscheint es auf den ersten Blick sinnvoll einen Gaußimpuls beim RKM zu verwenden, wenn man bei einer möglichst kurzen Messdauer eine möglichst gute Frequenzauflösung bei den Messergebnissen erzielen will.

Um ein zeitdiskretes Gauß-Jones-Fenster zu erhalten, tastet man einen Ausschnitt des Gauß-Impulses ab, so dass man eine Fensterfolge der endlichen Länge F erhält. Da die Messdauer beim RKM im wesentlichen von der Anzahl der gemessenen Abtastwerte, also vom Produkt aus der Mittelungsanzahl L und der Länge F der Fensters abhängt, ist hier nicht die als zweites Moment definierte Zeitdauer entscheidend. Man wird eher daran interessiert sein, bei einer vorgegebenen Fensterlänge F die Bandbreite des Spektrums der Fensterfolge klein zu halten. Ob sich dabei die Energie der Fensterfolge um deren Schwerpunkt herum konzentriert, ist dabei von untergeordneter Bedeutung. Zudem ist es hier empfehlenswert, bei der Definition der Bandbreite das Betragsquadrat des Spektrums der Fensterfolge nicht mit Ω^2 zu gewichten, sondern eine Gewichtung zu verwenden, die berücksichtigt, dass man nicht an den Abtastwerten des LDS, sondern an den nach Gleichung (2.13) definierten Werten der Stufenapproximation interessiert ist. Der Wunschverlauf des Spektrums der Fensterfolge ist ein Rechteck, und kein Dirac-Impuls, der die bei [13] verwendete minimal mögliche Bandbreite Null besitzt.

Beim Gauß-Impuls ist es — abgesehen von einigen Fällen mit extrem kleiner Fensterlänge $F \leq 4$ — nicht möglich, die Abtastung so zu wählen, dass die Nullstellenbedingung (2.27) erfüllt wird. Dabei kann auch eine Periodifizierung des Gauß-Impulses vor der Abtastung nichts ändern. Der asymptotische Anstieg der Sperrdämpfung für große Fensterlängen F erfolgt in jedem Fall linear mit $\sin(\Omega/2)$, weil am Anfang und Ende des Ausschnitts immer ein Sprung auftritt. Es kann auch keine Art der Abtastung angegeben werden, die die Konstanz der nach Gleichung (2.20) überlagerten, verschobenen Betragsquadratspektren garantiert.

Poisson-Fenster (z. B. [22])

Dieses diskrete Fenster entsteht durch Abtastung eines kontinuierlichen Poisson-Fensters

$$f(t) = c_f \cdot e^{-\alpha \cdot |t|} \quad \text{mit} \quad \alpha > 0,$$

dessen Spektrum $2 \cdot f \cdot \alpha / (\alpha^2 + \omega^2)$ asymptotisch mit ω^2 abfällt, weil das kontinuierliche Fenster bei $t=0$ eine Unstetigkeit in der Ableitung besitzt. Auch bei diesem Fenster ist es — abgesehen von einigen Fällen mit extrem kleiner Fensterlänge — nicht möglich, die Abtastung eines Ausschnitts in der Art vorzunehmen, dass die Nullstellenbedingung (2.27) oder die Konstanz der nach Gleichung (2.20) überlagerten, verschobenen Betragsquadratspektren erfüllt wird. Eine eventuelle Periodifizierung der kontinuierlichen Poisson-

Fensterfunktion vor der Abtastung ändert daran nichts. Da der abzutastende Ausschnitt der Poisson-Fensterfunktion immer mit einem Sprung beginnt und endet, steigt die Sperrdämpfung der durch die Abtastung entstandenen zeitdiskreten Poisson-Fensterfolge für große Fensterlängen F asymptotisch nur linear mit $\sin(\Omega/2)$ an.

Es wird in [22] auch die Möglichkeit genannt, das kontinuierliche Poisson-Fenster vor der Abtastung nicht mit einem Rechteckfenster zu begrenzen, sondern dazu ein kontinuierliches Hann-Fenster zu verwenden, um so das sog. Hanning-Poisson-Fenster zu erhalten. Auf die Erfüllung der Bedingungen (2.27) und (2.20) hat dies keinen Einfluss. Man erreicht jedoch dadurch den asymptotisch quadratischen Anstieg der Sperrdämpfung, der auch beim kontinuierlichen Poisson-Fenster zu beobachten ist.

Cauchy-, Poisson- oder Abel-Fenster

Das Spektrum der kontinuierlichen Cauchy-Fensterfunktion

$$f(t) = \frac{c_f}{\alpha^2 + t^2}$$

ist ein kontinuierliches Poisson-Fenster in ω . Auch bei diesem Fenster ist es — abgesehen von einigen Fällen mit extrem kleiner Fensterlänge — nicht möglich, die Abtastung eines Ausschnitts in der Art vorzunehmen, dass die Nullstellenbedingung (2.27) oder die Konstanz der nach Gleichung (2.20) überlagerten, verschobenen Betragsquadratspektren garantiert wird. Eine eventuelle Periodifizierung der kontinuierlichen Cauchy-Fensterfunktion vor der Abtastung ändert daran nichts. Da der abzutastende Ausschnitt der Cauchy-Fensterfunktion immer mit einem Sprung beginnt und endet, steigt die Sperrdämpfung der durch die Abtastung entstandenen zeitdiskreten Cauchy-Fensterfolge für große Fensterlängen F asymptotisch nur linear mit $\sin(\Omega/2)$ an.

Kaiser-Fenster (z. B. [19])

Dieses diskrete Fenster entsteht durch Abtastung eines kontinuierlichen Kaiser- I_0 -Fensters

$$f(t) = \begin{cases} c_f \cdot I_0(\alpha \cdot \sqrt{1 - 4 \cdot t^2}) & \text{für } |t| \leq \frac{1}{2} \\ 0 & \text{sonst,} \end{cases}$$

das sich mit Hilfe der modifizierten Besselfunktion $I_0(x)$ erster Art, nullter Ordnung berechnen lässt, und das an seinen Enden Sprungstellen aufweist. Das Kaiser- I_0 -Fenster stellt eine Näherung für eine Optimierung eines zeitbegrenzten Fensters dar, das bei vorgegebener Gesamtenergie den Anteil der Energie maximiert, der innerhalb des Durchlassbereichs des Spektrums des Fensters liegt. Da das Spektrum des kontinuierlichen Kaiser- I_0 -Fensters keine äquidistanten Nullstellen aufweist, kann keine Abtastmethode angegeben werden, die die Erfüllung der Nullstellenbedingung (2.27) garantiert. Die Sprungstellen der kontinuierlichen Fensterfunktion bewirken, dass auch die Sperrdämpfung der durch

die Abtastung entstandenen zeitdiskreten Kaiser- I_0 -Fensterfolge für große Fensterlängen F asymptotisch nur linear mit $\sin(\Omega/2)$ ansteigt.

In [19] wird als Variante daher vorgeschlagen, von dem kontinuierlichen Kaiser- I_0 -Fenster ein Rechteckfenster zu subtrahieren, dessen Amplitude gerade die Sprunghöhe ist. Die Sperrdämpfung steigt bei dieser Variante dann asymptotisch quadratisch mit $\sin(\Omega/2)$ an, weil an den Enden des kontinuierlichen Fensters die Ableitung von Null verschieden ist. Auch bei dieser Variante lässt sich keine mit der Nullstellenbedingung (2.27) kompatible Abtastmethode angeben.

Bei einer weiteren Variante wird nicht die modifizierte Besselfunktion $I_0(x)$, sondern die modifizierte Besselfunktion $I_1(x)$ erster Art, erster Ordnung verwendet, die durch ihr Argument x dividiert wird:

$$f(t) = \begin{cases} c_f \cdot \frac{I_1(\alpha \cdot \sqrt{1 - 4 \cdot t^2})}{\alpha \cdot \sqrt{1 - 4 \cdot t^2}} & \text{für } |t| \leq \frac{1}{2} \\ 0 & \text{sonst.} \end{cases}$$

Auch bei dieser Variante weist die kontinuierliche Fensterfunktion an ihren Enden Sprungstellen auf, was einen asymptotisch linearen Anstieg der Sperrdämpfung auch bei der abgetasteten Fensterfolge bewirkt. Die Nullstellen des Spektrums des kontinuierlichen Fensters sind — wie bei den anderen Varianten — nicht äquidistant, wodurch keine Abtastmethode angegeben werden kann, die die Erfüllung der Nullstellenbedingung (2.27) garantiert. Bezüglich der Konstanz der nach Gleichung (2.20) überlagerten, verschobenen Betragsquadratspektren gilt bei allen drei Varianten die folgende Feststellung: Wenn man den Parameter α auf $\pi \cdot F/M$ setzt, beginnt der Sperrbereich des Spektrums — also der Bereich, in dem die Nullstellen des Spektrums der Fensterfolge liegen — etwa bei der Frequenz $\Omega = 2\pi/M$, bei der die erste nach Gleichung (2.27) geforderte Nullstelle im Spektrum zu liegen hat. Wenn man sich damit begnügt, bei den in Gleichung (2.27) angegebenen Frequenzen statt der exakten Nullstellen ein hohe Sperrdämpfung zu haben, darf man den Parameter α nicht größer wählen. Bereits bei dieser Wahl ist aber die Hauptkeule des Spektrums des Kaiser-Fensters so schmal, dass die Überlagerung der verschobenen Betragsquadratspektren bei der Frequenz $\Omega = \pi/M$ bei großer Fensterlänge um einige Zehnerpotenzen kleiner ist als bei $\Omega = 0$.

Dolph-Tschebyscheff-Fenster

Zunächst sei kurz die Konstruktion des Dolph-Tschebyscheff-Fensters leicht abweichend von [22] und [19] erläutert. Das Tschebyscheff-Polynom $T(x) = \cos((F-1) \cdot \arccos(x))$ hat $F-1$ Nullstellen im Intervall $[-1; 1]$, die so verteilt sind, dass die jeweils dazwischenliegenden Maxima alle den Betrag Eins haben und, dass bei $|x|=1$ der Betrag des

Tschebyscheff-Polynoms ebenfalls Eins ist. Wählt man als Argument des Tschebyscheff-Polynoms die Kosinus-Funktion $x = \cos(\Omega/2)/\cos(\Omega_1/2)$, so erhält man das Spektrum des Dolph-Tschebyscheff-Fensters. Wenn $0 \leq \Omega_1 < \pi$ eingehalten wird, wird für $0 \leq \Omega < \Omega_1$ das Tschebyscheff-Polynom im Bereich $|x| > 1$ ausgesteuert, bei dem der Betrag des Tschebyscheff-Polynoms größer als eins ist, was dem Durchlassbereich des Spektrums des Fensters entspricht. Für $\Omega_1 < \Omega \leq 2\pi - \Omega_1$ alterniert das Tschebyscheff-Polynom zwischen den Werten -1 und 1, was im Sperrbereich zum typischen oszillierenden Tschebyscheff-Verhalten mit $F-1$ Nullstellen führt. Ein potenzmäßiger Anstieg der Sperrdämpfung kann hier also nicht eingestellt werden.

Da das Tschebyscheff-Polynom von endlichem Grad $F-1$ ist, lässt sich das mit 4π periodische, reelle und geradesymmetrische Spektrum des Dolph-Tschebyscheff-Fensters in eine Kosinus-Reihe entwickeln, deren höchstfrequenter Anteil $\cos((F-1) \cdot \Omega/2)$ ist. Da das Spektrum des Tschebyscheff-Fensters für gerades F bezüglich der Frequenz $\Omega = 2\pi$ schief-symmetrisch und für ungerades F geradesymmetrisch ist, ist jeder zweite Koeffizient der Kosinus-Reihe Null. Daher lässt sich die mit $e^{-j \cdot (F-1) \cdot \Omega/2}$ multiplizierte Kosinus-Reihe in jedem Fall als eine Fourierreihe mit F Gliedern schreiben, die bei Null beginnt, und deren Koeffizienten die Werte $f(k)$ des Tschebyscheff-Fensters sind. Diese lassen sich somit durch eine inverse DFT der Länge F aus den F Abtastwerten des Tschebyscheff Polynoms und des Drehterms $e^{-j \cdot (F-1) \cdot \Omega/2}$ bei Vielfachen der Frequenz $2\pi/F$ berechnen:

$$F\left(\nu \cdot \frac{2\pi}{F}\right) = \cos\left((F-1) \cdot \arccos\left(\frac{\cos(\nu \cdot \frac{\pi}{F})}{\cos(\frac{\Omega_1}{2})}\right)\right) \cdot e^{-j \cdot (F-1) \cdot \frac{\pi}{F} \cdot \nu}$$

$$f(k) = \text{FFT}^{-1}\left\{F\left(\nu \cdot \frac{2\pi}{F}\right)\right\} \quad \text{mit} \quad \nu = 0 \text{ (1) } F-1.$$

Da die Nullstellen im Spektrum des Tschebyscheff-Fensters nicht äquidistant liegen, kann die Nullstellenbedingung (2.27) nicht erfüllt werden. Wenn man sich damit begnügt, bei den in Gleichung (2.27) angegebenen Frequenzen statt der exakten Nullstellen ein hohe Sperrdämpfung zu haben, darf man die Grenzfrequenz Ω_1 nicht größer als $2\pi/M$ wählen. Bereits bei dieser Wahl ist aber die Hauptkeule des Spektrums des Tschebyscheff-Fensters so schmal, dass die Überlagerung der verschobenen Betragsquadratspektren bei der Frequenz $\Omega = \pi/M$ bei großer Fensterlänge um ein paar Zehnerpotenzen kleiner ist als bei $\Omega = 0$. Daher kann die Konstanz der nach Gleichung (2.20) überlagerten, verschobenen Betragsquadratspektren praktisch überhaupt nicht erfüllt werden.

Zusammenfassung

Man kann sagen, dass keines der hier untersuchten Fenster die beiden Bedingungen (2.20) und (2.27) bei beliebiger Wahl von M zugleich erfüllt, und dass der Sperrdämpfungsanstieg bei fast keiner Fensterfolge beliebig gewählt werden kann. Natürlich gibt es weitere hier nicht aufgeführte Fensterfolgen, sowie Fenster, die mit Hilfe eines allgemeinen Tiefpassentwurfs für nichtrekursive Filter (z. B. Remez-Algorithmus nach Parks-McClellan)

gewonnenen werden. Dem Autor ist aber auch bei diesen Varianten kein Fenster bekannt, dass die geforderten Eigenschaften erfüllt. Es besteht auch die Möglichkeit, ausgehend von dem wohl noch am ehesten geeigneten Fenster — dem Wurzel-Kosinus-Rolloff-Fenster — eine iterative Verbesserung bei der Erfüllung der Gleichung (2.20) unter der Randbedingung (2.27) zu erhalten. Dieses Verfahren wird gelegentlich bei Anwendungen im Bereich der Multiraten-Signalverarbeitung verwendet. Die damit gewonnenen Fenster sind dann prinzipiell beim RKM einsetzbar. Der Autor hat jedoch die Erfahrung gemacht, dass die nach der iterativen Verbesserung verbleibenden Restfehler deutlich größer sind als bei den Fenstern, die mit dem in Kapitel 6 beschriebenen Verfahren berechnet worden sind. Außerdem stellte sich zumindest bei einem solchen Verfahren heraus, dass die Iteration zu keinem sinnvollen Ergebnis kam, wenn das Fenster um mehr als das 16-fache länger als M war.

Bei den meisten Fenstern und bei deren Anwendung werden drei Voraussetzungen getroffen, die von vornherein die Freiheit bei der Konstruktion der Fensterfolge einschränken, und die für die Anwendung beim RKM nicht notwendig sind.

Die erste Voraussetzung ist dabei, dass von einigen Fenstern gefordert wird, dass sie nie negativ werden. Für diese Einschränkung konnte keine plausible Motivation gefunden werden. Da es zudem durch diese Forderung für Fenster, deren Länge größer M ist, unmöglich wird, die Gleichung (2.23) zu erfüllen, wurde diese Forderung auch nicht für die von mir entworfene Fensterfolge übernommen.

Die zweite Voraussetzung, die oft gemacht wird, ist gerade Symmetrie der Fensterfolge und die daraus resultierende Linearphasigkeit des Spektrums. Diese Voraussetzung ist wohl eher historisch bedingt, da man früher die Fensterung üblicherweise auf eine geschätzte AKF angewendet hat, um daraus mit Hilfe einer DFT ein geglättetes LDS zu berechnen (Methode nach Blackman-Tukey). Wenn die geschätzte AKF dabei symmetrisch ist, würde bei einer unsymmetrischen Fensterung ein Spektrum mit einem nicht verschwindenden Imaginärteil, und somit ein unsinniges Messergebnis entstehen. Da jedoch beim RKM — wie auch bei der Spektralschätzung nach Welch-Bartlett — an allen entscheidenden Stellen das Spektrum immer als Betragsquadrat auftritt, braucht die Fensterfolge beim RKM diese Forderung auch nicht zu erfüllen.

Bei allen mir bekannten Spektralschätzverfahren wurde impliziert, dass die Länge der Fensterfunktion die Anzahl der berechneten Frequenzpunkte des LDS nicht übersteigen darf. Da jedoch bei der DFT, die sowohl bei der Spektralschätzung als auch beim RKM zum Einsatz kommt, bei Abtastwerten, die zeitlich um M Takte verschoben liegen, immer derselbe Drehfaktor auftritt, spricht nichts dagegen, die mit diesem Drehfaktor multiplizierten Summanden auch unterschiedlich zu gewichten. Erst dadurch, dass man eine Fensterfolge verwendet, die länger als M ist, wurde es möglich, bei hoher Sperrdämpfung

zugleich die Bedingung (2.20) zu erfüllen. Deshalb wurde die Einschränkung $F \leq M$ von mir auch nicht verwendet.

7 Beispiele für RKM-Messergebnisse

In diesem Kapitel, werden nun anhand einiger Beispiele die in den vorhergehenden Kapiteln beschriebenen Eigenschaften des Rauschklirrmessverfahrens mit Fensterung näher beleuchtet. Neben einer Untersuchung, welche Fehler durch die Berechnungen des Messverfahrens selbst entstehen, und wie sich eine zu kurze Einschwingzeit auf die Messergebnisse auswirkt, werden vor allen die Vorteile der Verwendung einer Fensterfolge beim RKM demonstriert. Dies wird sowohl für die Messwerte der Übertragungsfunktion als auch für die Messwerte des LDS gezeigt. Zwei Unterkapitel dienen dazu, dem Leser eine Hilfestellung bei der Interpretation der mit dem RKM gewonnenen Konfidenzgebiete zu bieten.

7.1 Einfluss der endlichen Wortlänge bei der Messwertberechnung

Um die Auswirkungen abschätzen zu können, die durch die endliche Wortlänge bei der Berechnung des Spektrums der Erregung, und der Messergebnisse entstehen, wurde eine Verzögerung um einen Takt mit $H(\Omega) = e^{-j\Omega}$ simuliert und vermessen. Es wurde keine Störung überlagert, so dass das theoretische LDS $\Phi_n(\Omega)$ konstant Null war.

Bei der Simulation dieses Systems entstehen keinerlei Fehler, da die Werte der Erregung unverändert und lediglich um einen Takt verzögert an den Ausgang zur Berechnung der Messwerte weitergeleitet werden. Alle Fehler in den Messwerten werden daher ausschließlich durch die endliche Wortlänge bei der Messwertberechnung verursacht.

Erregt wurde mit einem reellen, mittelwertfreien, weißen und normalverteilten Zufallsvektor der Länge $M=1024$, dessen Elemente die Varianz Eins aufwiesen. Dieser wurde im Zeitintervall $[-E; F-1]$ mit $E=1$ und $F=4096$ periodisch fortgesetzt, so dass keine Störungen aufgrund einer zu kurzen Einschwingzeit entstehen konnten. Als Fensterfolge wurde das mit dem in Kapitel 6 beschriebenen Algorithmus berechnete Fenster verwendet, wobei dort der Parameter $N=4$ eingestellt wurde, was zu einem Fenster der Länge $F=4096$ führte. Die letzten drei Werte dieser Fensterfolge sind theoretisch Null, wurden jedoch aus den in Kapitel 6.2 beschriebenen Gründen nach der Berechnung der Fensterfolge nicht explizit auf Null gesetzt. Es wurde ein reellwertiges, lineares und zeitinvariantes

Modellsystem angesetzt, und dessen Übertragungsfunktion gemessen. Von den Fehlern bei der Messwertberechnung wurde angenommen, dass sie stationär sind, so dass es sinnvoll erschien ein eindimensionales LDS zu messen. Da es sich hier um ein reellwertiges System handelt, wurde auf die Messung des MLDS $\hat{\Psi}_n(\mu)$ verzichtet. Der Stichprobenumfang (= Anzahl der Einzelmessungen) betrug $L=50$. Die Berechnung erfolgte mit der 8-Byte Gleitkommaarithmetik nach IEEE-Standard 754, bei der sich für die relative Genauigkeit der Zahlendarstellung der Wert $\varepsilon = 2^{-52} \approx 2,22 \cdot 10^{-16}$ ergibt.

Die Messergebnisse sind in Bild 7.1 dargestellt. Als Hilfslinien sind die Werte $20 \cdot \log_{10}(\varepsilon)$ und $10 \cdot \log_{10}(\varepsilon)$ eingetragen. Ein Rauschsockel dieser Größenordnung würde sich bei einer Störung der Streuung ε theoretisch ergeben, die sich dem Signal am untersuchten Verzögerungsglied additiv überlagert. Die Messwerte des LDS weisen bei vielen Frequenzen den Wert Null auf. Da diese Werte im logarithmischen Maßstab graphisch nicht dargestellt werden können, erscheint diese Messkurve lückenhaft.

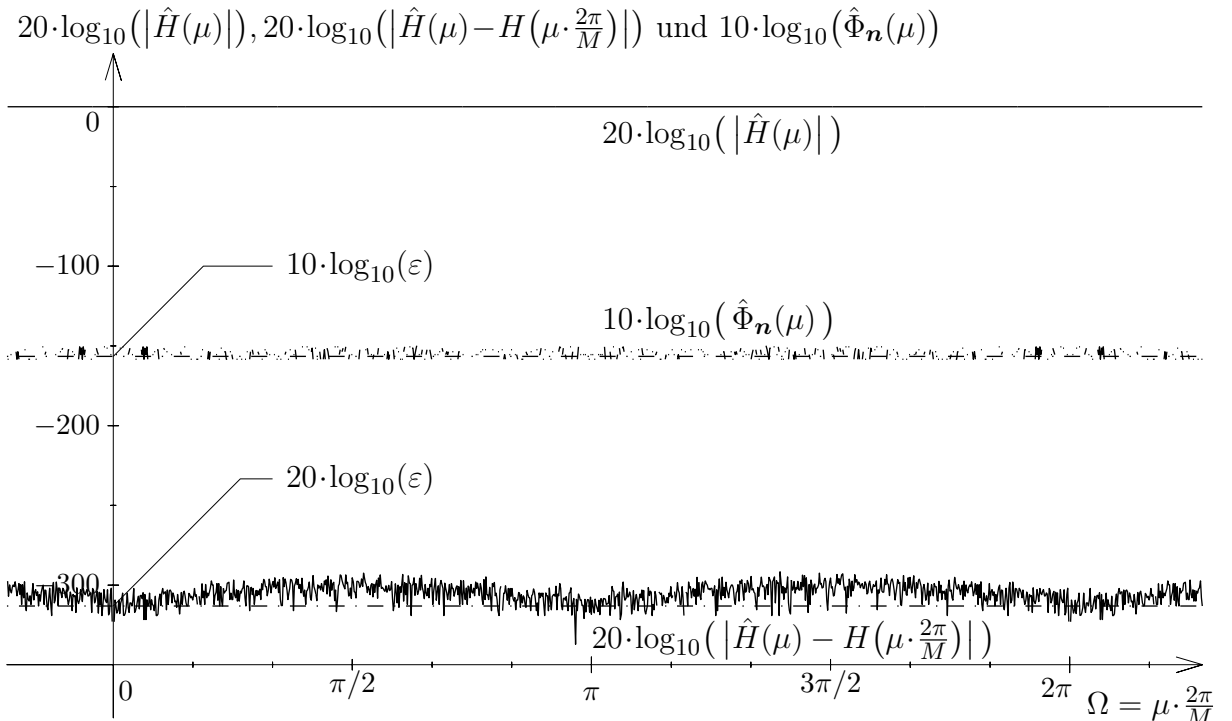


Bild 7.1: Einfluss der endlichen Wortlänge bei der Messwertberechnung.

Beispielsystem: Verzögerungsglied.

Messung mit: $M=1024$, $E=1$, $L=50$ und Fenster nach Kapitel 6 mit $N=4$.

7.2 Einfluss eines periodischen Störers auf die Messung der Übertragungsfunktion

Um deutlich zu machen, wie sich ein schmalbandiges Störsignal bei der Messung der Übertragungsfunktion auswirkt, wurde ein komplexwertiger FIR-Bandpass mit Tschebyscheff-Verhalten im Sperrbereich simuliert, dem ausgangsseitig ein komplexer Eintonstörer

$$n(k) = e^{j \cdot 4 \cdot k + \varphi}$$

mit der Kreisfrequenz 4 und einer in $[0; 2\pi)$ gleichverteilten zufälligen Phase überlagert wurde. Das LDS dieser stationären Störung ist ein Dirac-Impuls der Stärke 2π bei der Kreisfrequenz 4. Die Filterkoeffizienten des Bandpasses erhält man, indem man die Werte eines Dolph-Tschebyscheff-Fensters der Länge 32 mit einer Sperrkreisfrequenz von $\pi/6$, das z. B. im Unterkapitel 6.4 auf Seite 169 oder in [8] oder [19] beschrieben ist, mit j^k multipliziert, und so normiert, dass sich für $\Omega = \pi/2$ der Wert Eins für die Übertragungsfunktion des Bandpasses ergibt.

Erregt wurde mit einem komplexen mittelwertfreien weißen Gaußzufallsvektor der Länge $M=1024$ mit unkorreliertem Real- und Imaginärteil mit jeweils der Varianz $1/2$, so dass der komplexe Zufallsvektor die zeitunabhängige Varianz Eins aufwies. Dieser Zufallsvektor wurde im Zeitintervall $[-E; F-1]$ mit M periodisch fortgesetzt. Als Einschwingzeit wurde $E=31$ gewählt, so dass keine Störungen aufgrund zu kurzer Einschwingzeit entstehen konnten. Es wurde ein komplexwertiges, lineares und zeitinvariantes Modellsystem angesetzt, und dessen Übertragungsfunktion $\hat{H}(\mu)$ für die M äquidistanten Frequenzen $\Omega = \mu \cdot 2\pi/M$ gemessen. Die Messung erfolgte mit zwei verschiedenen Fensterfolgen. Zum einen wurde mit einem Rechteckfenster der Länge $F=M=1024$, und zum anderen mit dem nach Kapitel 6 mit $N=4$ berechneten Fenster der Länge $F = N \cdot M = 4096$ gefestert.

Die Messergebnisse sind in Bild 7.2 für die Mittelungsanzahlen $L \in \{10; 100; 1000\}$ für das Rechteckfenster und für $L=10$ für das Fenster nach Kapitel 6 dargestellt. Bei Verwendung des Rechteckfensters ist die Varianz der Messwerte $\hat{H}(\mu)$ aufgrund der schlechten Unterdrückung des Impulses des LDS der Störung im gesamten Frequenzbereich so groß, dass selbst bei einer Mittelungsanzahl von $L=1000$ die Messwerte der Übertragungsfunktion lediglich im Durchlassbereich einigermaßen zuverlässig bestimmt werden konnten. Bei Verwendung des nach Kapitel 6 berechneten Fensters sind einzig die Messwerte in unmittelbarer Umgebung der Kreisfrequenz des Störers so stark gestört, dass diese nicht brauchbar sind. So ist selbst bei einer Mittelungsanzahl von $L=10$ bereits deutlich das typische „equiripple“ Verhalten der Sperrdämpfung des Tschebyscheff-Bandpasses zu erkennen.

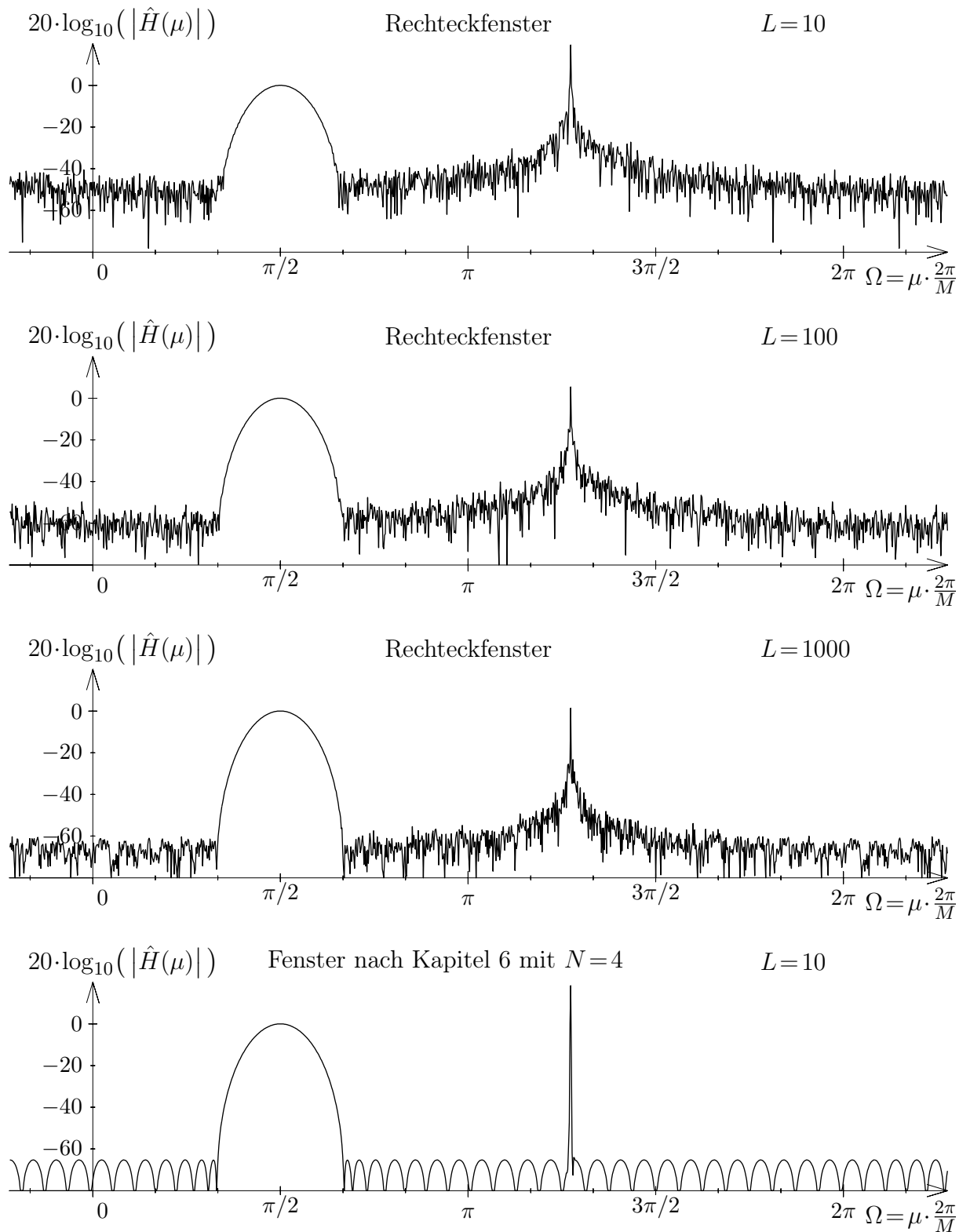


Bild 7.2: Komplexwertiger Bandpass mit Tschebyscheff-Verhalten im Sperrbereich, der von einem komplexen Eintonstörer mit Zufallsphase gestört wird.

Messung mit: $M = 1024$ und $E = 31$.

7.3 Messung mit zu kurzer Einschwingzeit

Bei der im letzten Unterkapitel beschriebenen Messung des simulierten komplexwertigen Tschebyscheff-FIR-Bandpasses wurde nun der komplexe Eintonstörer mit der Zufallsphase weggelassen, und somit das ungestörte System gemessen. Die Einschwingzeit E wurde dabei bewusst falsch gewählt und auf Null gesetzt. Der gesamte Einschwingvorgang fiel also immer in den Zeitbereich $[0; F-1]$ der Messung. Bei jeder Einzelmessung wurden die Zustandsgrößen des FIR-Bandpasses mit Null initialisiert. Nach $L=100$ Einzelmessungen wurde die Übertragungsfunktion bestimmt, wobei zum einen ein Rechteckfenster der Länge $F=M=1024$ und zum anderen das nach Kapitel 6 mit $N=4$ berechnete Fenster der Länge $F = N \cdot M = 4096$ verwendet wurde.

Die beiden oberen Teilbilder in Bild 7.3 zeigen die damit gemessenen Übertragungsfunktionen. Deutlich ist zu erkennen, dass das Messergebnis bei Verwendung des Rechteckfensters zumindest im Sperrbereich des Tschebyscheff-Bandpasses unbrauchbar ist, während bei der Messung mit dem Fenster nach Kapitel 6 die Übertragungsfunktion praktisch fehlerfrei messbar ist. Dieser deutliche Unterschied liegt darin begründet, dass das Fenster mit $N=4$ am Anfang des Zeitintervalls $[0; F-1]$, also dort, wo sich die Einschwingvorgänge auswirken, sehr kleine Werte aufweist, die mit zunehmendem k nur sehr langsam ansteigen. Der Einfluss des Einschwingvorgangs, der sich in diesem Beispiel auf die ersten 31 Werte des Signals am Systemausgang begrenzt, ist daher deutlich geringer als beim Rechteckfenster. Erfahrungsgemäß steigt die gespiegelte, maximalphasige Fensterfolge noch langsamer an, so dass man, wenn man nicht sicher ist, dass die Einschwingzeit groß genug gewählt worden ist, die gespiegelte Fensterfolge bevorzugen sollte.

Die beiden unteren Teilbilder in Bild 7.3 zeigen die bei der Messung der darüber dargestellten Übertragungsfunktionen zugleich gemessenen Leistungsdichtespektren. Die Einschwingvorgänge bewirken offensichtlich eine Verfälschung der Messergebnisse des LDS, das in unserem Fall eigentlich im gesamten Frequenzbereich Null sein müsste. Bei der Messung wurde fälschlicherweise angenommen, dass — wenn überhaupt — eine statioäre Störung vorliegt. Diese Annahme, auf der die gesamte Theorie der Kapitel 2 und 3 aufbaut, wird hier auf das gröblichste verletzt. Wenn man die Einschwingvorgänge als eine additiv überlagerte Störung modelliert, so ist diese, abgesehen davon, dass sie von der Erregung sicher *nicht* unabhängig ist, auch noch instationär. Daher können die Messwerte $\hat{\Phi}_n(\mu)$ den wahren Wert Null des LDS nicht erwartungstreu abschätzen.

Obwohl bei der Messung ein komplexer mittelwertfreier weißer Gaußzufallsvektor mit unkorreliertem Real- und Imaginärteil zur Erregung verwendet wurde, ist das gemessene LDS *nicht* weiß also über der Frequenz konstant. Es weist im Bereich des Maximums der Übertragungsfunktion ebenfalls ein Maximum auf. Ähnliches Verhalten konnte auch

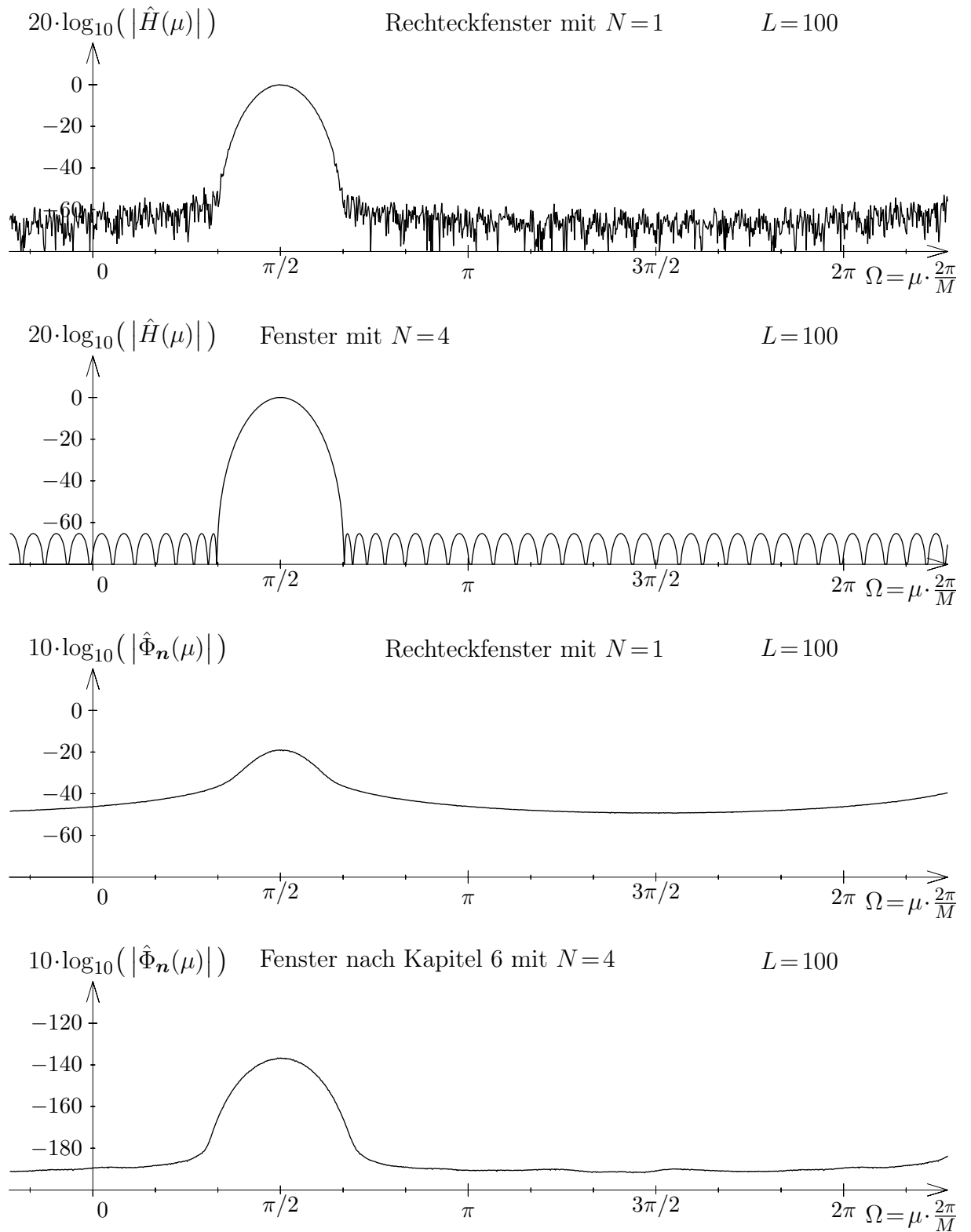


Bild 7.3: Komplexwertiger Bandpass mit Tschebyscheff-Verhalten im Sperrbereich.

Messung mit: $M=1024$ und $E=0$.

bei anderen Messungen mit zu kurzer Einschwingzeit beobachtet werden. Als Faustregel, die theoretisch nicht weiter begründet ist, kann man, wenn man beim gemessenen LDS einen ähnlichen Frequenzverlauf wie bei der Übertragungsfunktion erhält, sagen, dass dies ein Hinweis auf eine zu kurze Einschwingzeit sein kann. Es empfiehlt sich dann, die Messung mit jeweils zunehmender Einschwingzeit solange zu wiederholen, bis sich die Messergebnisse nicht mehr verändern.

7.4 Messung des LDS mit Fenstern unterschiedlicher Länge

Um einerseits zu demonstrieren, dass es ein Anstieg der Sperrdämpfung der Fensterfolge mit der Potenz N in $\sin(\Omega/2)$ ermöglicht, eine $2 \cdot N$ -fache Nullstelle im LDS zu messen, und andererseits zu zeigen, wie man auch ohne die Kenntnis des wahren LDS erkennen kann, dass mit einer zu kurzen Fensterfolge gemessen wurde, wird bei diesem Beispiel das LDS eines gefilterten, weißen, stationären, normierten und zentrierten Gaußprozesses gemessen. Als Filter des Gaußprozesses wird dabei ein Filter mit der Z-Transformierten $H_n(z) = (z^{-1} - 1)^3$ verwendet, so dass sich im LDS des Prozesses am Ausgang des Filters eine sechsfache Nullstelle bei $\Omega = 0$ ergibt.

Für diesen Prozess wird nun eine Spektralschätzung nach dem in Kapitel 5 beschriebenen Verfahren mit $M = 1024$ Frequenzmesspunkten durchgeführt. In Bild 7.4 sind die Ergebnisse der Messung nach $L = 10$ Einzelmessungen für die drei Werte $N \in \{1; 2; 3\}$ der nach Kapitel 6 berechneten Fensterfolgen in einem doppelt logarithmischen Maßstab dargestellt. Da es sich hier um ein zeitdiskretes System handelt, bei dem das LDS eine periodische Funktion der normierten Kreisfrequenz Ω ist, wurde bei der Abszisse der Sinus der halben Kreisfrequenz logarithmiert. Für das theoretische LDS ergibt sich bei dieser Art der Darstellung eine Gerade mit der Steigung drei, die durch die dreifache Nullstelle der Z-Transformierten des Filters des Gaußprozesses bestimmt ist. Man kann erkennen, dass erst mit der Fensterfolge mit $N = 3$ diese Gerade über dem gesamten Dynamikbereich der Rechengenauigkeit bei 8-Byte Gleitkommadarstellung (entspricht ca. 156 dB) gemessen werden kann.

Des Weiteren ist zu sehen, dass in dem Bereich, in dem die gemessene Kurve von der theoretischen Kurve abweicht, das gemessene LDS weniger stark verrauscht erscheint. Nach der in den Kapiteln 3.6 und 5 dargestellten Theorie besteht zwischen der Varianz der Messwerte und dem theoretischen LDS eine Proportionalität, deren Faktor nach Gleichung (5.6) nur von der Mittelungsanzahl abhängt, sofern eine hoch frequenzselektive Fensterfolge verwendet wird. Nach Gleichung (3.67) sind in diesem Fall bei einem stationären Prozess

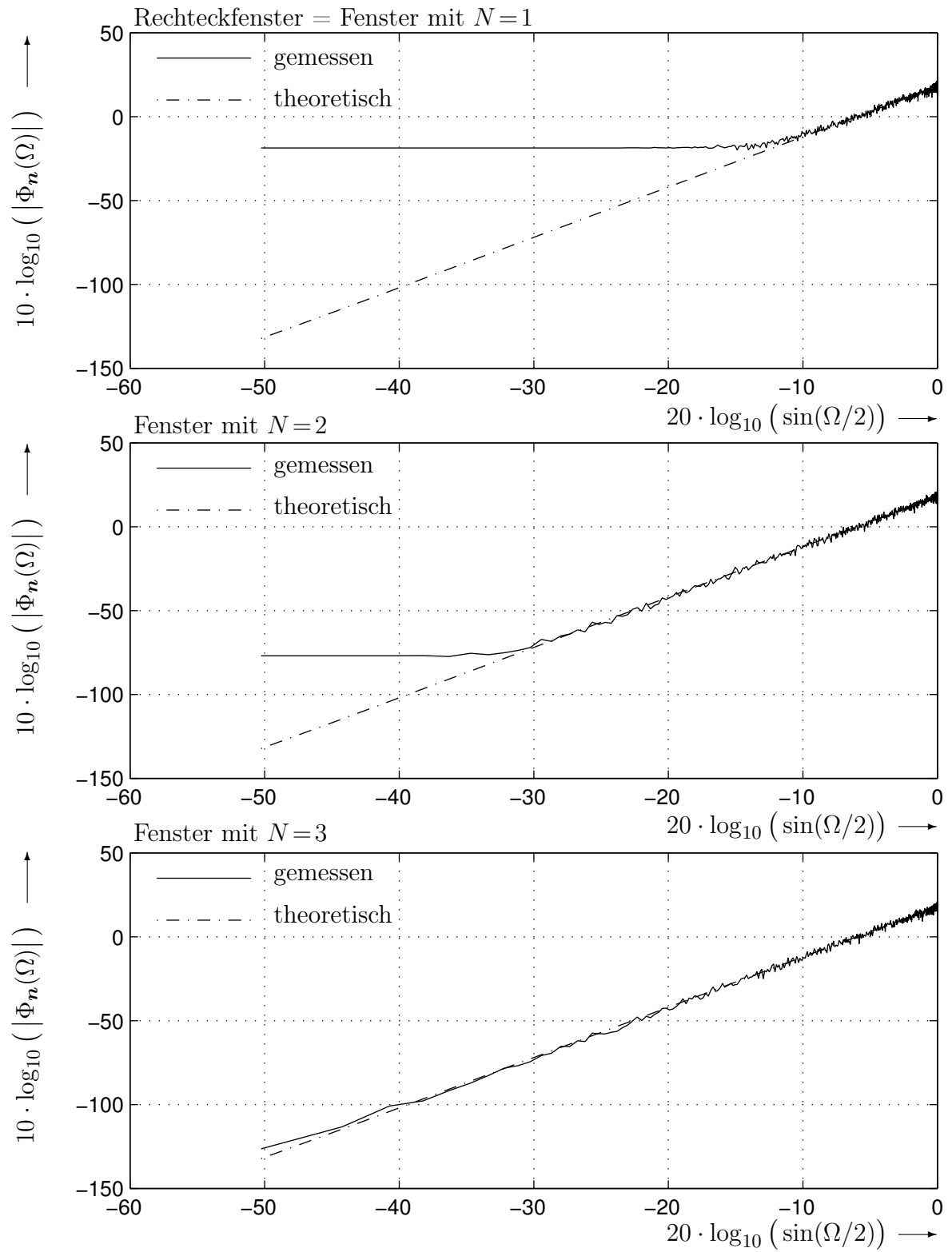


Bild 7.4: LDS mit sechsfacher Nullstelle im LDS bei $\Omega=0$.

Messung mit: $M = 1024$ und $L = 10$.

benachbarte Spektralwerte unkorreliert. Daher müsste die Messkurve bei logarithmischer Darstellung der Ordinate im gesamten Frequenzbereich etwa gleich stark verrauscht erscheinen. Da jedoch auch die Abszisse logarithmisch aufgetragen wurde, liegen die linear äquidistanten Frequenzpunkte bei niedrigen Frequenzen, also in dem Bereich, in dem die Messergebnisse bei zu geringer Fensterlänge von der theoretischen Geraden abweichen, weiter auseinander als im Bereich guter Übereinstimmung. Dadurch ist zu erwarten, dass die Kurve bei niedrigen Frequenzen glatter erscheint.

Dass dies jedoch nicht der Hauptgrund für dieses Phänomen ist, wird an den in Bild 7.5 dargestellten Ergebnissen deutlich. Hier wurde für die Abszisse ein linearer Maßstab gewählt. Um diesen Effekt besonders deutlich darstellen zu können, wurde einerseits die kleine Mittelungsanzahl $L=10$ und andererseits ein anderes Filter für den Gaußprozess verwendet. Als Filterimpulsantwort wurde

$$h_n(k) = \begin{cases} \binom{n}{\frac{n-1}{2}} \cdot \binom{n}{\frac{k}{2}} \cdot \frac{(n+1) \cdot (-1)^{\frac{k}{2}}}{(n-k) \cdot 2^{2 \cdot n+1}} & \text{für } k \text{ gerade } \wedge 0 \leq k \leq 2 \cdot n \\ 0,500001 & \text{für } k = n \\ 0 & \text{sonst,} \end{cases} \quad (7.1)$$

mit $n=25$ gewählt. Wäre der mittlere Filterkoeffizient 0,5, so würde es sich hier um ein linearphasiges Butterworth-Halbband-FIR-Filter handeln. Die Sperrdämpfung dieses Filters wäre so hoch, dass diese schon wegen der endlichen Berechnungswortlänge nicht mehr messbar wäre. Daher wurde der mittlere Filterkoeffizient um 10^{-6} erhöht, um eine noch messbare Sperrdämpfung von -120 dB zu erhalten.

Die Messergebnisse zeigen auch bei diesem System, dass weder mit dem Rechteckfenster mit $N=1$, noch mit dem Fenster mit $N=2$ eine Messung der Sperrdämpfung möglich ist. Außerdem sieht man, dass trotz der linearen Abszissenskalierung, die Messkurve im Sperrbereich des Filters bei diesen beiden Werten von N glatt erscheint, während sie für $N=3$ das zu erwartende Rauschverhalten aufweist. Erklären lässt sich dieser Effekt folgendermaßen: Bei jeder Einzelmessung wird das Spektrum der Musterfolge $y_\lambda(k)$ mit dem Spektrum der Fensterfolge gefaltet. Bei einem Messwert in dem Frequenzbereich, in dem die Messung des LDS nicht möglich ist, überwiegt bei dem Faltungsintegral wegen der zu geringen Sperrdämpfung des Spektrums der Fensterfolge der Beitrag des Integrationsbereichs, der dem Durchlassbereich des Filters $H_n(z)$ entspricht, und in dem das Spektrum der Musterfolge betragsmäßig groß ist. Der Teil des Faltungsintegrals, der durch das Fensterspektrum eigentlich ausgeschnitten werden soll, und dessen Varianz eigentlich gemessen werden soll, liefert nur einen unwesentlichen Beitrag. Der dominierende Anteil des Faltungsintegrals ist bei allen benachbarten Frequenzen in dem Spektralbereich, in dem die Messung des LDS nicht möglich ist, betragsmäßig etwa gleich, so dass die Betragsquadrate

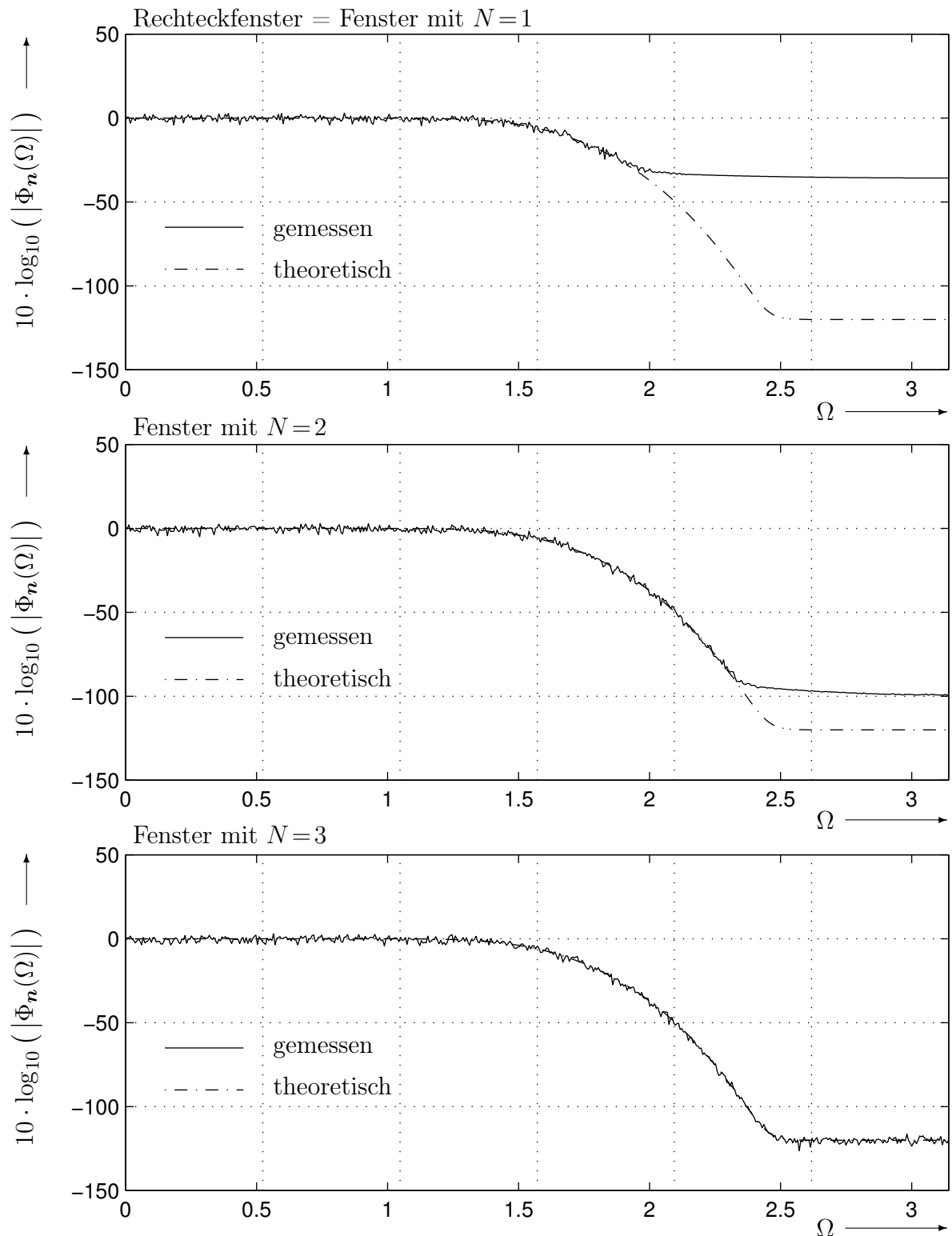


Bild 7.5: LDS des mit einem Butterworth-Halbbandfilter gefilterten Gaußprozesses.
Messung mit: $M = 1024$ und $L = 10$.

dieser gefalteten Spektralwerte stark korreliert sind. Durch diese Korrelationen erscheint die Messkurve in diesem Frequenzbereich geglättet.

Wenn man also bei einer Messung mit dem RKM im Bereich kleiner Messwerte des LDS auffällig glatte Messkurven erhält, ist zu vermuten, dass diese Messwerte nicht in Ordnung sind, und die Messung ist gegebenfalls mit einer frequenzselektiveren Fensterfolge zu wiederholen. Um dies entscheiden zu können, benötigt man nur die Messwerte und nicht das im Allgemeinen unbekannte LDS.

7.5 Konfidenzgebiete der Messwerte

Bei dieser Beispielmessung soll anhand des Messwertes $\hat{\mathbf{H}}(\frac{M}{2})$ die Bedeutung der nach Kapitel 3.11 berechneten Konfidenzellipsen demonstriert werden. Die Messung erfolgte dabei nach der in Kapitel 3 hergeleiteten Methode. Bei dem dort vorliegenden Fall eines stationären Approximationsfehlerprozesses kann es nach Gleichung (3.63) bei den Messwerten der Übertragungsfunktion nur für die beiden Frequenzpunkte $\Omega = 0$ und $\Omega = \pi$ zu einer von Null verschiedenen Messwertkovarianz kommen. Nach Gleichung (3.79) kann man somit nur für diese beiden Frequenzen eine „echte“ Ellipse mit einer von Null verschiedenen Exzentrizität als Konfidenzgebiet erhalten.

Damit sich für $\hat{\mathbf{H}}(\frac{M}{2})$ eine von Null verschiedene Messwertkovarianz ergibt, muss in Gleichung (3.63) sowohl der von der Erregung abhängige Erwartungswert als auch der das MLDS der Störung beschreibende Wert $\tilde{\Psi}_n(\frac{M}{2})$ von Null verschieden sein. Daher wurde bei der Messung mit einem Zufallsvektor erregt, bei dem der Real- und der Imaginärteil des zufälligen Spektralwertes $\mathbf{V}(\frac{M}{2})$ korreliert waren. Auch wurde eine Störung simuliert, bei der der zufällige Spektralwert $\mathbf{N}_f(\frac{M}{2})$ einen korrelierten Real- und Imaginärteil aufwies.

Es seien nun wieder kurz das simulierte System, die simulierte Störung, der bei der Messung verwendete erregende Zufallsvektor und die weiteren Parameter der Messung beschrieben.

Als zu messendes System wurde ein komplexes linearphasiges Butterworth-Halbband-FIR-Filter mit der Impulsantwort

$$h(k) = \begin{cases} j \cdot \binom{n}{\frac{n-1}{2}} \cdot \binom{n}{\frac{k}{2}} \cdot \frac{n+1}{(k-n) \cdot 2^{2 \cdot n+1}} & \text{für } k \text{ gerade } \wedge 0 \leq k \leq 2 \cdot n \\ 0.5 & \text{für } k = n \\ 0 & \text{sonst} \end{cases} \quad (7.2)$$

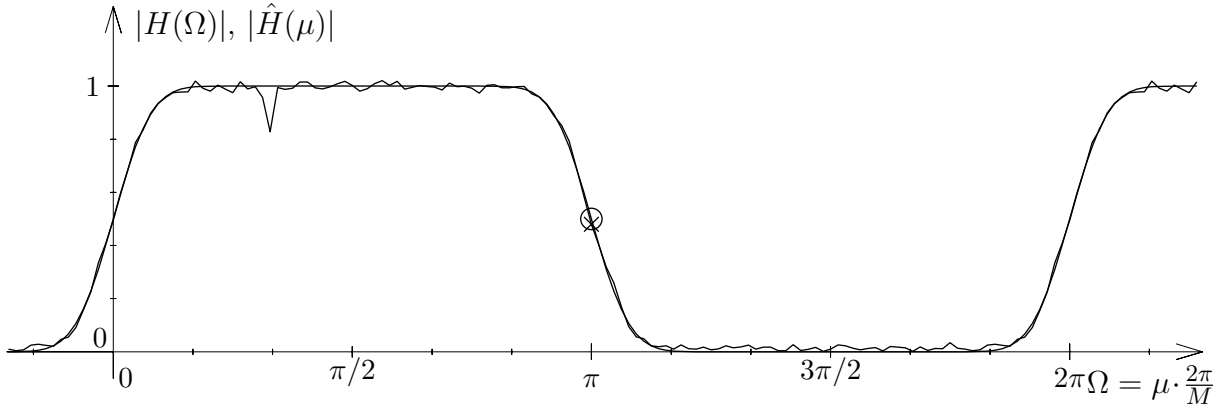


Bild 7.6: Übertragungsfunktion des Beispielsystems zur Angabe einer Konfidenzellipse.

Messung mit: $M = 128$, $E = 50$, $L = 200$ und Fenster nach Kapitel 6 mit $N = 4$.

gewählt, das die Signalanteile der Frequenzen $0 < \Omega < \pi$ durchlässt, während es die Signalanteile bei den anderen Frequenzen sperrt. Der Filtergrad wurde ebenso wie die Einschwingzeit auf $E = 2 \cdot n = 50$ eingestellt, so dass keine Störungen aufgrund zu kurzer Einschwingzeit entstehen konnten. Die theoretischen und die bei einer kompletten RKM-Messung ermittelten Beträge der Übertragungsfunktion sind in Bild 7.6 dargestellt. Für $\Omega = \pi$ ergibt sich der Wert $H(\pi) = -\frac{1}{2}$.

Erregt wurde mit einem normalverteilten mittelwertfreien stationären Zufallsvektor, wobei sowohl der Real- als auch der Imaginärteil jeweils eine Varianz von $1/2$ aufwies. Die Elemente $\mathbf{v}(k)$ waren für unterschiedliche Werte von k voneinander unabhängig. Der Real- und der Imaginärteil desselben Wertes von k wurden so kombiniert, dass sich für den Korrelationskoeffizienten der von k unabhängige Wert $E\{\mathbf{v}(k)^2\}/E\{|\mathbf{v}(k)|^2\} = (-1+j)/2$ ergab. Unabhängig von μ betrug damit die Kovarianz $E\{\mathbf{V}(\mu)^2\}$ der zufälligen Spektralwerte $1/2 \cdot M \cdot (-1+j)$. Es wurden $M = 128$ Frequenzpunkte gemessen.

Dem simulierten System wurde eine Störung überlagert, die in zwei Schritten erzeugt wurde. Zunächst wurde ein komplexer weißer stationärer mittelwertfreier Prozess mit unkorrelierten Real- und Imaginärteilprozessen erzeugt, wobei beide Prozessanteile eine Streuung von $\sigma_{\Re\{\mathbf{n}\}} = \sigma_{\Im\{\mathbf{n}\}} = 0,1$ hatten. Danach wurde diesem komplexen Prozess der um einen Takt verzögerte und konjugierte Prozess, sowie ein unabhängiger stationärer Eintonstörer der Amplitude Eins mit der Kreisfrequenz Eins und einer in $[0; 2\pi)$ gleichverteilten zufälligen Phase überlagert. Das LDS und das MLDS dieser Störung sind im Unterkapitel 7.6 diskutiert.

Es wurde das nach Kapitel 6 mit $N = 4$ berechnete Fenster verwendet und es erfolgte eine Mittelung über $L = 200$ Einzelmessungen. Die Konfidenzellipsen wurden für das Konfidenzniveau $1 - \alpha = 90\%$ ermittelt. Es wurden insgesamt 1000 komplette RKM-Messungen zu je 200 Einzelmessungen durchgeführt. Die dabei gemessenen 1000 Werte $\hat{H}(\frac{M}{2})$ sind

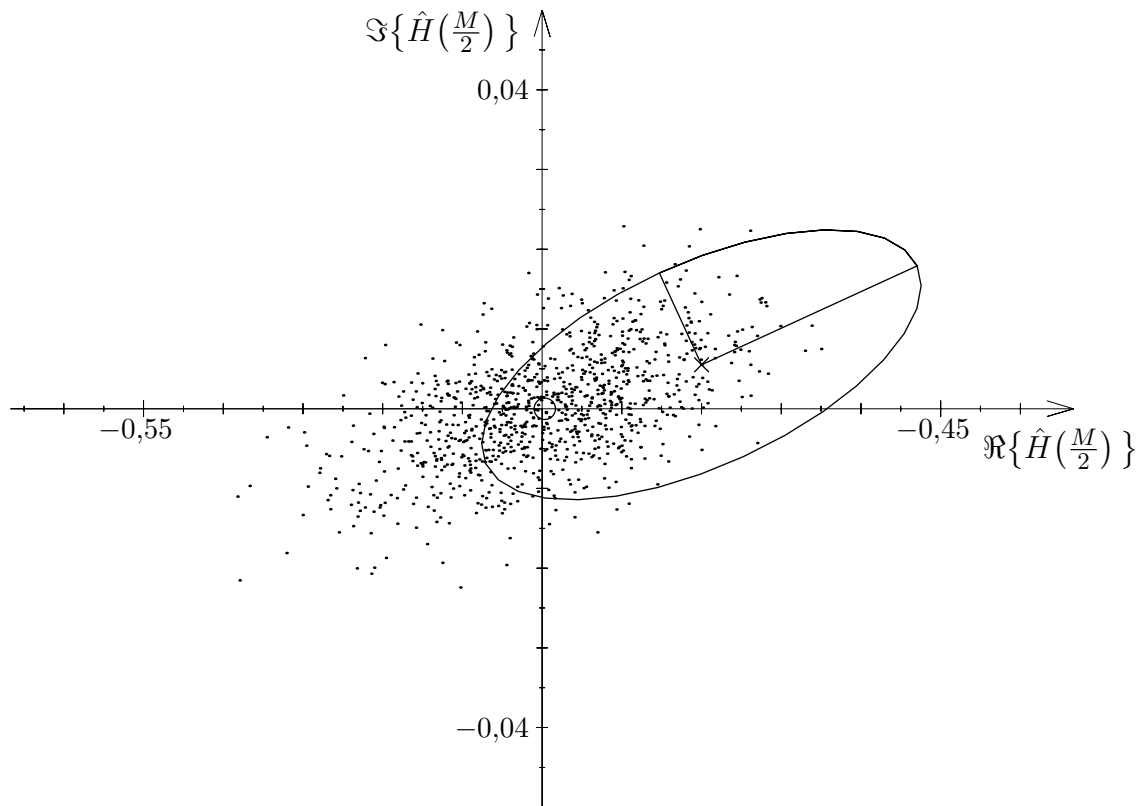


Bild 7.7: Beispiel zur Angabe einer Konfidenzellipse.

Messung mit: $M=128$, $E=50$, $L=200$, $\alpha=0,1$ und Fenster nach Kapitel 6 mit $N=4$.
1000 komplette RKM-Messungen.

als Punkte in Bild 7.7 zu sehen. Die Konfidenzellipse *einer* kompletten RKM-Messung ist ebenfalls eingetragen.

Offensichtlich ist die Konfidenzellipse nicht zur Abschätzung der Höhenlinien der Verteilung der Messwerte geeignet, da sie deutlich gegenüber der Punktehäufung der gemessenen Werte verschoben liegt. Dies ist aber auch durch die Angabe einer Konfidenzellipse nicht beabsichtigt. Die zufällig bei einer Messung erhaltene Konfidenzellipse überdeckt lediglich mit einer vorgegebenen Wahrscheinlichkeit den konstanten zu messenden Wert.

Es verhält sich dabei ganz ähnlich wie bei dem Spiel, bei dem man versucht, Ringe aus einer gewissen Entfernung auf einen senkrechten Stab zu werfen. Je größer der Ring ist, desto größer die Wahrscheinlichkeit den Stab zu treffen. Wenn man von einem Werfer weiß, dass der im Mittel 90% der Ringe auf den Stab wirft, so kann man nach einem Wurf, nachdem der Stab entfernt wurde alleine anhand der Lage des Ringes, und ohne die Kenntnis wo sich der Stab wirklich befand, sagen, dass sich der Stab mit einer Wahrscheinlichkeit von 90% innerhalb des Ringes befand. Man kann jedoch aus der Lage eines konkret geworfenen Ringes nicht auf die Verteilungsdichte der Endlage des Mittelpunktes eines beliebigen anderen noch zu werfenden Ringes schließen.

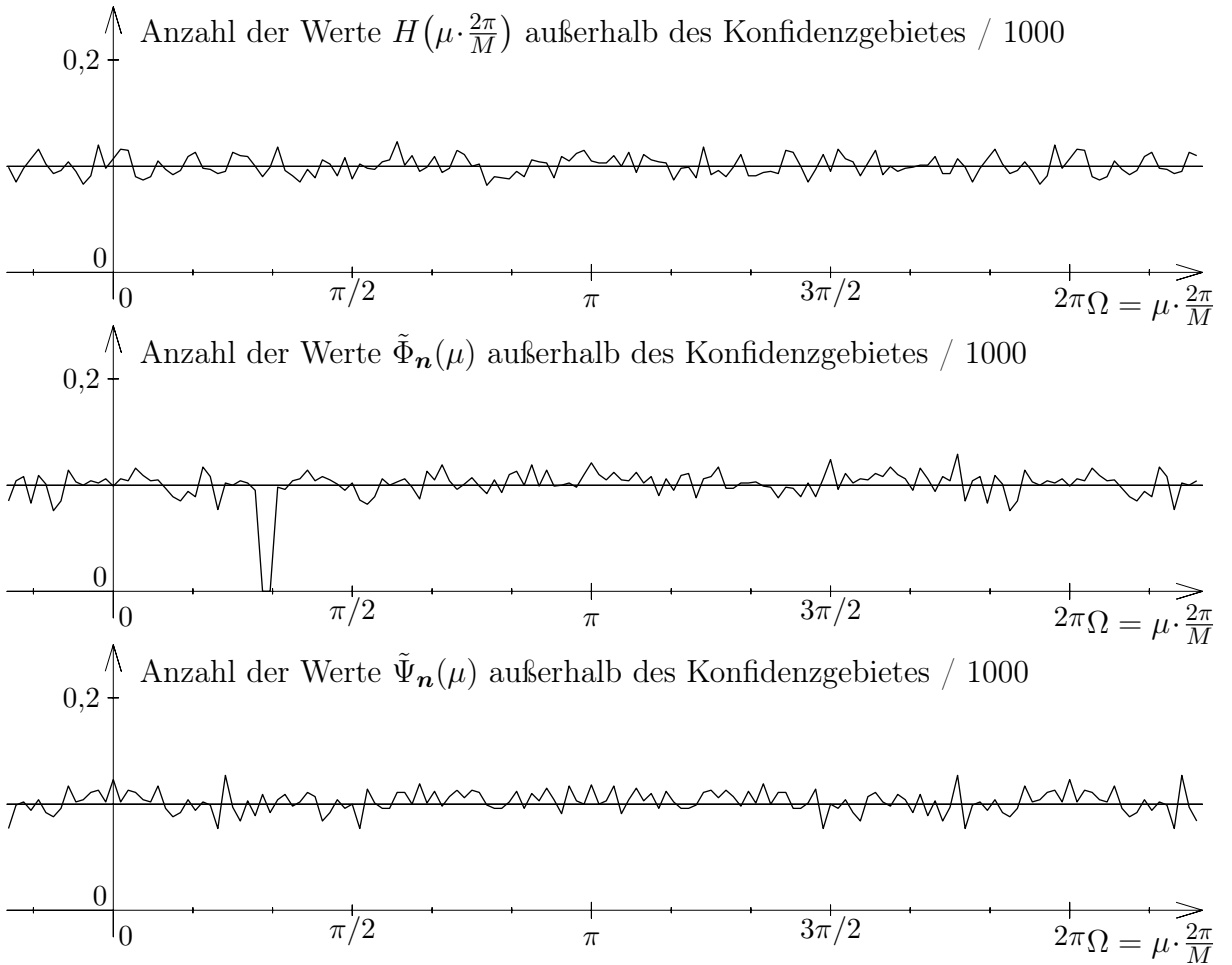


Bild 7.8: Zur Kontrolle des Konfidenzniveaus.

Messung mit: $M = 128$, $E = 50$, $L = 200$, $\alpha = 0,1$ und Fenster nach Kapitel 6 mit $N = 4$.
1000 komplette RKM-Messungen.

Um die Qualität der mit dem RKM berechneten Konfidenzellipsen abschätzen zu können, wurde bei den 1000 kompletten RKM-Messungen als Schätzwert für die Wahrscheinlichkeit α , mit der die Konfidenzellipse den Messwert nicht beinhaltet, die entsprechende relative Häufigkeit gemessen. Dies wurde für alle Messwerte durchgeführt. Die Ergebnisse sind in Bild 7.8 zu sehen. Man erkennt, dass mit der im folgenden diskutierten Ausnahme die Größe der Konfidenzintervalle bzw. -gebiete mit dem in Kapitel 3.11 beschriebenen Verfahren offensichtlich geeignet abgeschätzt werden kann.

Lediglich bei den Messwerten $\hat{\Phi}_n(\mu)$ für Frequenzen in unmittelbarer Umgebung der Frequenz $\Omega = 1$ fällt auf, dass das Konfidenzgebiet offenbar zu groß gewählt worden ist, da bei diesen Messpunkten die Konfidenzellipse bei allen 1000 Messungen den wahren Wert $\tilde{\Psi}_n(\mu)$ der LDS-Näherung beinhaltet. Dafür gibt es eine plausible Erklärung.

Bei der Berechnung der Messwertvarianzen hatten wir angenommen, dass die Spektral-

werte der Störung normalverteilt seien, und konnten mit dieser Annahme die vierten Momente der Spektralwerte durch ihre zweiten Momente ausdrücken. Bei deutlich abweichender Verteilung, wird diese Abschätzung nicht mehr gültig sein. Dies ist hier der Fall, weil bei diesen Frequenzen der Eintonstörer mit der Zufallsphase, dessen Amplitude konstant gehalten wurde, überwiegt. Da der andere Störeinfluss hier fast vernachlässigt werden kann, nimmt auch das Betragsquadrat dieser Spektralwerte einen praktisch konstanten Wert an. Die Verteilungsdichte dieser Spektralwerte ist daher auf einem schmalen Ring um den Ursprung der komplexen Ebene besonders hoch, während sie sonst fast vernachlässigbar klein ist. Das vierte Moment einer solchen Verteilung steht in einem ganz anderen Verhältnis zum zweiten Moment als bei der Normalverteilung. Dadurch wird die wahre Messwertvarianz von der gemessenen Messwertvarianz, und damit auch die Breite des Konfidenzintervalls, deutlich abweichen.

Um dies zu bestätigen wurde aus allen 1000 Messwerten aller RKM-Messungen die empirische Varianz $\overline{|\hat{\Phi}_n(\mu) - \tilde{\Phi}_n(\mu)|^2}$ der Messwerte bestimmt und diese mit dem gemittelten Messwertvarianzschätzwerten $\hat{C}_{\hat{\Phi}_n(\mu), \tilde{\Phi}_n(\mu)}$ verglichen. In der Tabelle 7.1 sind auch noch die halben Konfidenzintervallbreiten $A_{\bar{\Phi}}(\mu)$ und $\hat{A}_{\Phi}(\mu)$ berechnet, die sich bei demselben $\alpha = 0,1$ einerseits mit der mittleren tatsächlichen und andererseits mit der mittleren geschätzten Messwertvarianz ergeben, sowie die sich aus der mittleren tatsächlichen Messwertvarianz und der Konfidenzintervallbreite $\hat{A}_{\Phi}(\mu)$ ergebende Wahrscheinlichkeit $\bar{\alpha}$ für einen Messwert außerhalb des geschätzten Intervalls. Man erkennt, dass die geschätzte Varianz der beiden Messwerte ober- und unterhalb der Frequenz des periodischen Eintonstörers fast um zwei Zehnerpotenzen falsch geschätzt wurde, so dass das korrekte Konfidenzintervall, in das die Messwertstreuung eingeht, ca. um den Faktor zehn kleiner

μ	$\Omega = \mu \cdot \frac{2\pi}{M}$	$ \hat{\Phi}_n(\mu) - \tilde{\Phi}_n(\mu) ^2$	$\hat{C}_{\hat{\Phi}_n(\mu), \tilde{\Phi}_n(\mu)}$	$A_{\bar{\Phi}}(\mu)$	$\hat{A}_{\Phi}(\mu)$	$\bar{\alpha}$
\vdots	\vdots	\vdots	\vdots	\vdots	\vdots	\vdots
18	0,88357	$8,2649 \cdot 10^{-6}$	$8,0978 \cdot 10^{-6}$	$4,7288 \cdot 10^{-3}$	$4,6807 \cdot 10^{-3}$	$1,0350 \cdot 10^{-1}$
19	0,93266	$8,3398 \cdot 10^{-6}$	$8,3176 \cdot 10^{-6}$	$4,7501 \cdot 10^{-3}$	$4,7438 \cdot 10^{-3}$	$1,0045 \cdot 10^{-1}$
20	0,98175	$5,3426 \cdot 10^{-1}$	$5,1999 \cdot 10^1$	$1,2023 \cdot 10^0$	$1,1861 \cdot 10^1$	$3,2271 \cdot 10^{-59}$
21	1,0308	$4,5913 \cdot 10^{-2}$	$3,5012 \cdot 10^0$	$3,5245 \cdot 10^{-1}$	$3,0778 \cdot 10^0$	$8,7521 \cdot 10^{-47}$
22	1,0799	$7,8135 \cdot 10^{-6}$	$8,1309 \cdot 10^{-6}$	$4,5978 \cdot 10^{-3}$	$4,6903 \cdot 10^{-3}$	$9,3361 \cdot 10^{-2}$
23	1,1290	$7,9741 \cdot 10^{-6}$	$8,0798 \cdot 10^{-6}$	$4,6448 \cdot 10^{-3}$	$4,6755 \cdot 10^{-3}$	$9,7780 \cdot 10^{-2}$
\vdots	\vdots	\vdots	\vdots	\vdots	\vdots	\vdots

Tabelle 7.1: Beispiel für unzutreffende Schätzwerte der Messwertvarianzen des LDS.

ist als das verwendete Konfidenzintervall, bei dem es dadurch praktisch unmöglich wird, dass das Konfidenzintervall den wahren Wert nicht überdeckt.

Was man an diesen Messwerten auch erkennen kann, ist, dass von diesem Effekt wirklich nur die beiden zur Frequenz $\Omega=1$ unmittelbar benachbarten Frequenzen betroffen sind. Auch dies ist ein Vorteil der Verwendung einer hoch frequenzselektiven Fensterfolge.

7.6 Beispiel zur Interpretation der Konfidenzgebiete

In Kapitel 3.11 wurden die Konfidenzgebiete mit Hilfe der gemessenen Messwert(ko)varianzen abgeschätzt, wobei zugrunde gelegt wurde, dass die Messwerte näherungsweise normalverteilt seien. Es ist zu vermuten, dass diese Annahme wenigstens für die Messwerte $\hat{\Phi}_n(\mu)$ und $\hat{\Psi}_n(\mu)$ nur schlecht zutrifft, wenn der Betrag der Messwerte in derselben Größenordnung liegt wie die gemessene Messwertstreuung. Dass die damit ermittelten Konfidenzellipsen auch dann noch einen Sinn haben, soll nun an einer Beispilmessung demonstriert werden.

Dazu wurde das in Kapitel 7.5 vorgestellte komplexe linearphasige System vermessen, wo bei derselbe erregende Prozess gewählt wurde. Dem simulierten System wurde wieder eine Störung überlagert, die in zwei Schritten erzeugt wurde. Zunächst wurde ein komplexer weißer stationärer mittelwertfreier Prozess mit unkorrelierten Real- und Imaginärteilprozessen erzeugt, wobei beide Prozessanteile eine Streuung von $\sigma_{\Re\{n\}} = \sigma_{\Im\{n\}} = 0,1$ hatten. Danach wurde diesem komplexen Prozess der um einen Takt verzögerte und konjugierte Prozess, sowie ein unabhängiger stationärer komplexer Eintonstörer mit der Kreisfrequenz Eins und einer in $[0; 2\pi)$ gleichverteilten zufälligen Phase überlagert. Als Amplitude der Eintonstörung wurde hier abweichend von der Messung im letzten Unterkapitel 1/2 gewählt. Der Anteil dieses Eintonstörers im MLDS ist Null, während der Anteil im LDS ein Dirac-Impuls der Stärke $\pi/2$ bei der Kreisfrequenz Eins ist.

In den theoretischen Näherungen $\tilde{\Phi}_n(\mu)$ erhält man als Anteil, der von dem Eintonstörer verursacht wird, das im Raster $\Omega = \mu \cdot 2\pi/M$ mit $M=128$ abgetastete um Eins verschobene Betragsquadratspektrum der Fensterfolge, während die theoretischen Näherungen $\tilde{\Psi}_n(\mu)$ von dem Eintonstörer nicht beeinflusst werden. Der Anteil des komplexen Gaußprozesses in der theoretischen LDS-Näherung $\tilde{\Phi}_n(\mu)$ ist konstant $4 \cdot 0,1^2$. Für die theoretische MLDS-Näherung ergibt sich $\tilde{\Psi}_n(\mu) = 4 \cdot 0,1^2 \cdot d(1) \cdot \cos(\mu \cdot 2\pi/M)$, wobei $d(k)$ die nach Gleichung (2.21) definierte Fenster-AKF ist. Bei dem hier verwendeten Fenster, das nach Kapitel 6 mit $N=4$ berechnet wurde, ergibt sich für den Wert der Fenster-AKF für $k=1$ ziemlich genau Eins.

Nach $L=12$ Einzelmessungen wurde die Messung unterbrochen, und es wurden die Messwerte $\hat{\Psi}_n(\mu)$, sowie deren Messwert(ko)varianzen und die daraus bestimmten elliptischen

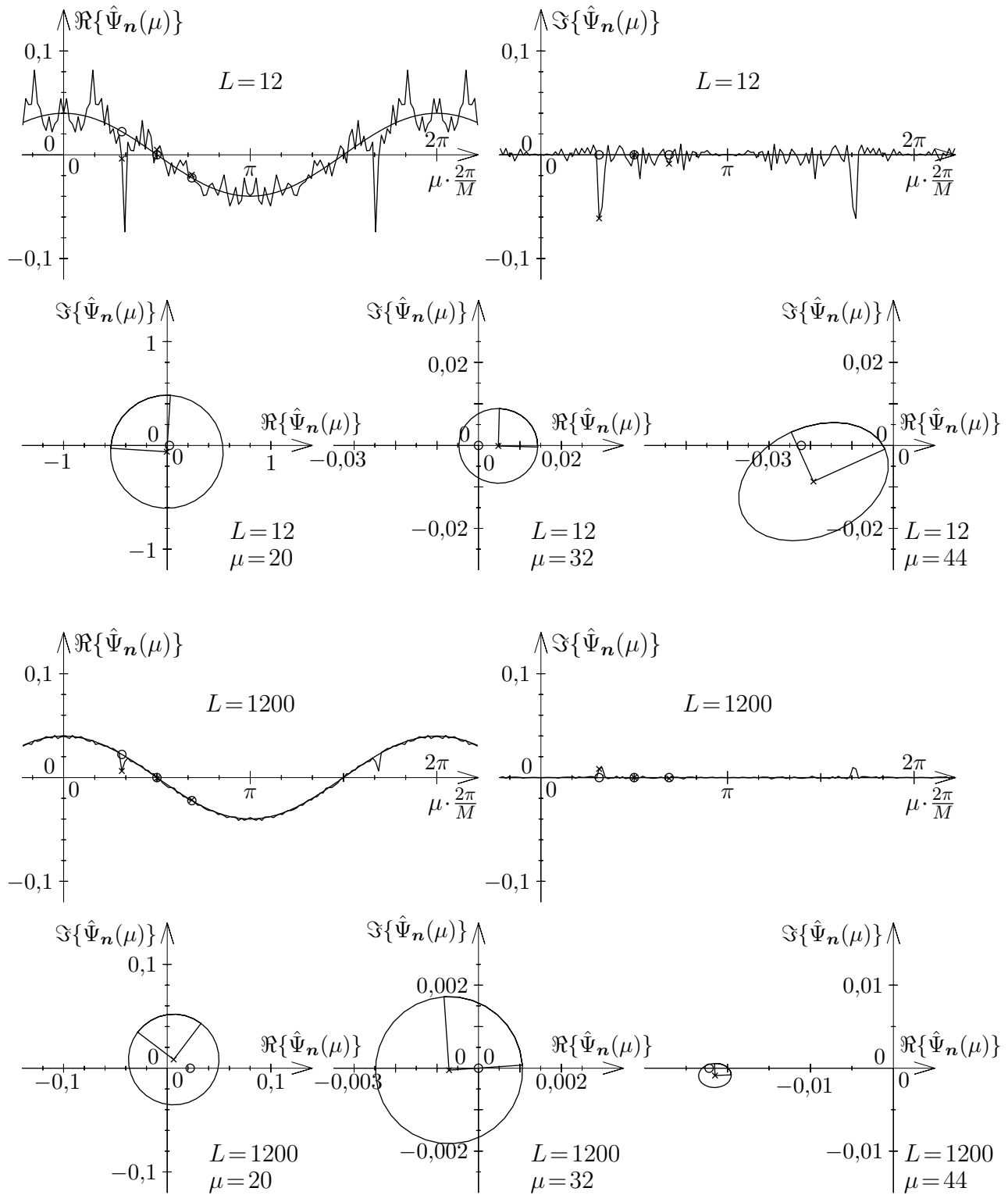


Bild 7.9: Beispiel zur Interpretation der Konfidenzgebiete von $\hat{\Psi}_n(\mu)$.

Messung mit $M=128$, $\alpha=0,1$ und Fenster nach Kapitel 6 mit $N=4$.

Konfidenzgebiete mit $\alpha=0,1$ für die diskreten Frequenzen $\mu = 20$ (12) 44 berechnet. Nach weiteren 1188 Einzelmessungen wurden diese Messergebnisse erneut berechnet. Diese Frequenzpunkte wurden ausgesucht, weil zum einen die Frequenz $20 \cdot 2\pi/M \approx 1$ unmittelbar neben der Frequenz des periodischen Störers liegt, weil zum zweiten bei der Frequenz $32 \cdot 2\pi/M = \pi/2$ eine Nullstelle von $\tilde{\Psi}_n(\mu)$ vorliegt, und weil es zum dritten sinnvoll ist, zum Vergleich den Wert zu verwenden, bei dem $\tilde{\Psi}_n(44) = -\tilde{\Psi}_n(20)$ gilt.

Die Messwerte $\hat{\Psi}_n(\mu)$, sowie die theoretischen Verläufe $\tilde{\Psi}_n(\mu)$ sind in Bild 7.9 einerseits über der Frequenz getrennt nach Real- und Imaginärteil als auch darunter für die drei ausgesuchten Frequenzpunkte in der komplexen Ebene jeweils für $L=12$ und $L=1200$ dargestellt. Die Messwerte der drei Frequenzpunkte $\mu = 20$ (12) 44 sind als Kreuzchen und die entsprechenden theoretischen Wert als kleine Kreise eingetragen. In den Darstellungen in der komplexen Ebene sind die Konfidenzellipsen mit ihren Halbachsen eingezeichnet.

Wenn man die unterschiedlichen Achsenskalierungen beachtet, erkennt man, dass man nach $L=12$ Einzelmessungen bei keinem der drei Messwerte eine sinnvolle Aussage über die zu messenden Größen erhält, weil einerseits bei allen drei Messwerten der Koordinatenursprung in oder zumindest in unmittelbarer Umgebung der Konfidenzellipse liegt, und andererseits die Messwertvarianz, die sich aus der Größe der Konfidenzellipsen abschätzen lässt, im Vergleich zu den anderen Messwerten noch viel zu groß ist.

Nach $L=1200$ Einzelmessungen hat sich daran bei dem Messwert der Frequenz $\mu=20$ noch nichts geändert. Man kann daher bei diesem Messwert auch ohne die Kenntnis des theoretischen Verlaufs sagen, dass die „Peaks“, die man im gemessenen Frequenzgang vorfindet, nicht etwa auf eine im Spektrum vorhandene starke Korrelation zurückzuführen sind, sondern lediglich durch eine starke Störung bei der Messung verursacht werden.

Bei dem Messwert der Frequenz $\mu=32$ erkennt man, dass die Varianz des Messwertes so klein ist, dass man zuverlässig sagen kann, dass bei dieser Frequenz offensichtlich keine im Vergleich zu den anderen Messwerten nennenswerte Korrelation der Spektralwerte bei positiver und bei negativer Frequenz vorhanden ist. Man kann daher diesen Messwert in Gegensatz zu dem Messwert bei $\mu=20$ als zuverlässig bezeichnen, obwohl bei beiden Messwerten der Koordinatenursprung innerhalb der Konfidenzellipse liegt. Eine Aussage darüber, inwieweit die angegebene Konfidenzellipse mit dem Konfidenzgebiet übereinstimmt, das sich mit der theoretischen Messwertverteilung ergeben würde, sollte man dennoch auch bei dem Messwert mit $\mu=32$ nicht machen.

Bei dem Messwert mit $\mu=44$ hingegen ist zu erwarten, dass dessen Zuverlässigkeit mit dem Konfidenzgebiet gut abgeschätzt werden kann, weil man annehmen kann, dass die näherungsweise angenommene Normalverteilung des Messwertes vorliegt, da dessen Konfidenzellipse sehr weit von Koordinatenursprung entfernt zu finden ist.

7.7 Beispielsystem: $\Sigma\Delta$ -Wandler

Zum Schluss sei noch ein Beispiel für das RKM mit Fensterung zur Messung reellwertiger Systeme angeführt, wobei an diesem Beispiel auch die Anwendbarkeit des von mir in Kapitel 4.2 vorgestellten Chirpsignals demonstriert werden soll. Es handelt sich bei dem Beispielsystem um den Teil eines Systems, bei dessen Messung mit dem RKM nach [3] Probleme bei der Messung ohne Fensterung auftraten. Das gab den Anlass sich damit zu beschäftigen, wie das RKM zu modifizieren ist, wenn das System nicht adäquat gemessen werden kann.

Bei dem Gesamtsystem handelt es sich um einen digital gesteuerten Oszillator (DCO) der intern aus einem hybriden Phasenregelkreis (PLL) besteht. Die wesentlichen Bauteile dieses Systems¹ sind neben einem Signalprozessor, der die digitalen Teile des hybriden PLL realisiert und die digitalen Steuerworte für die Sollfrequenz übernimmt, noch ein Digital-Analog-Wandler (DAC), ein einfacher analog steuerbarer Oszillator, ein digital einstellbarer Frequenzteiler und ein Analog-Digital-Wandler (ADC). Bei dem DCO wird ein linearer Zusammenhang zwischen dem digitalen Signal am Eingang und der Momentanfrequenz des Oszillatorkausgangssignals gewünscht. Daher kann dieser Zusammenhang durch die Übertragungsfunktion eines linearen Systems beschrieben werden.

Unter anderem verursachen die in den Wendlern auftretenden Quantisierungen eine Störung in der Momentanfrequenz des Oszillators. Da sich herausstellte, dass zwischen zwei aufeinanderfolgenden DA-Wandlungen im Signalprozessor noch genügend Rechenzeit zur Verfügung stand, wurde versucht, die Quantisierungsfehler in der Momentanfrequenz des Oszillators mit Hilfe eines $\Sigma\Delta$ -Gliedes vor dem DAC im Bereich niedriger Frequenzen zu Lasten höherer Frequenzen zu verringern. Zunächst wurde bei einer Simulation des DCO die Übertragungsfunktion und das LDS mit dem RKM nach [3] gemessen. Dabei wurde beobachtet, dass sich beim LDS erhebliche Abweichungen von den theoretisch zu erwartenden Frequenzverläufen ergaben. Diese Abweichungen ließen sich durch eine Vergrößerung der Mittelungsanzahl L nicht beeinflussen, und auch eine Veränderung des Parameters M erbrachte nur eine geringfügige Verbesserung. Da bekannt ist, dass eine Fensterung bei der Spektralschätzung eine Messung mit einer höheren Frequenzselektivität ermöglicht, wurde nun untersucht, wie eine Fensterung beim RKM eingesetzt werden kann, und welche Forderungen die dabei verwendete Fensterfolge zu erfüllen hat.

¹Dieser DCO wurde als Hardware auch aufgebaut. Von einem steuernden PC konnte über die serielle Schnittstelle die gewünschte Frequenz des Oszillators, die bis zu ca. 20 MHz betragen durfte, in extrem engen Frequenzschritten (im mHz Bereich) verstellt werden. Damit konnte man die auf einen externen Referenztakt bezogene Phase des Oszillators für jeden Zeitpunkt so einstellen, wie man dies am Steuerrechner vorgab.

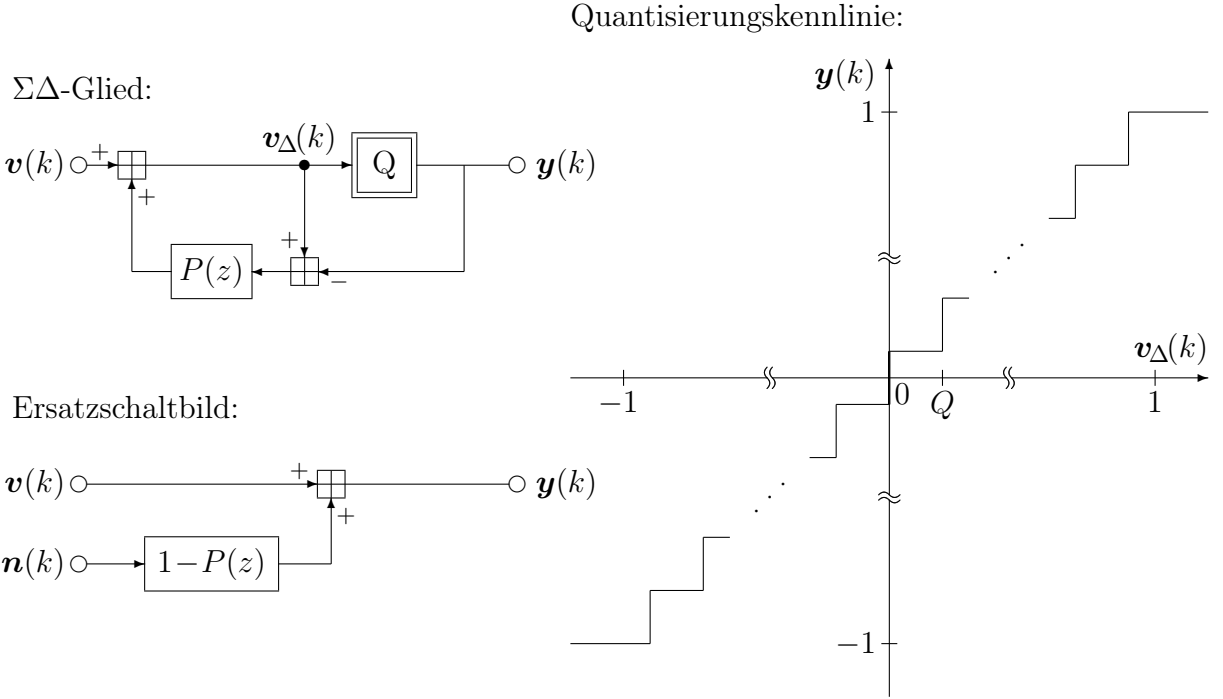


Bild 7.10: Beispielsystem: $\Sigma\Delta$ -Glied

Bei dem im folgenden beschriebenen Beispielsystem handelt es sich um genau das in Bild 7.10 links oben gezeigte $\Sigma\Delta$ -Glied, das im DCO eingesetzt werden sollte. Für die dabei simulierte gleichmäßige Quantisierung wurde die im linken Teilbild dargestellte punktsymmetrische Kennlinie gewählt, bei der sich bei einer Wortlänge von 12 Bit eine Quantisierungsstufenhöhe von $Q = 2/(2^{12}-1)$ ergibt. Wenn man die Quantisierung durch eine additive, gleichverteilte, von $v(k)$ unabhängige, weiße, zufällige Störung $n(k)$ mit der Varianz $Q^2/12$ ersetzt, erhält man das im linken unteren Teilbild dargestellte Ersatzschaltbild. Als Rückkopplungsfilter $P(z)$ für den Quantisierungsfehler wurde ein FIR-Filter gewählt, das im Ersatzschaltbild im Pfad der Störung zu einem FIR-Filter mit der Z-Transformierten

$$1 - P(z) = z^{-5} \cdot (z-1) \cdot (z^2 - 2 \cdot \cos(0,246) \cdot z + 1) \cdot (z^2 - 2 \cdot \cos(0,4) \cdot z + 1)$$

führte, bei der am Einheitskreis im Bereich niedriger Frequenzen fünf Nullstellen liegen, mit deren Hilfe die Störanteile bei niedrigen Frequenzen abgesenkt werden sollten.

Bei der Messung wurde das System mit dem in Kapitel 4.2 beschriebenen zufälligen Chirpsignal erregt. Dabei wurde ein maximaler Crest-Faktor von $Cr_{max} = 1,6$ zugelassen. Da am Eingang der Quantisierung nicht nur das Chirpsignal $v(k)$ sondern auch noch der gefilterte Quantisierungsfehler anliegt, wurde für den bei allen Einzelmessungen maximal zulässigen Spitzenwert des Betrags des Chirpsignals $\max |v_\lambda(k)|$ nicht der Wert Eins sondern

nur 0,96 gewählt, um so eine Übersteuerung der Quantisierungskennlinie zu vermeiden. Der Effektivwert des Chirpsignals ist dann 0,6 und als Betrag aller Spektrallinien ergibt sich mit Gleichung (4.16) der Wert $V_C = 0,6 \cdot \sqrt{M}$. Die maximale Amplitude des zufälligen Phasenhubs des sinusförmigen Anteils an der Gesamtphase des Chirp-Spektrums berechnet sich mit Gleichung (4.18), mit der man $\varphi_{\max} = 7/32$ erhält, zu $\varphi_{\max} \cdot M/\pi$. Bei den Einzelmessungen wurden Phasenwerte φ_λ verwendet, die als Stichproben aus einer im Bereich nach Gleichung (4.17) gleichverteilten Zufallsgröße gewonnen wurden. Das Vorzeichen des Chirpsignals wurde bei den Einzelmessungen gleichwahrscheinlich zufällig gewählt, wie dies am Ende von Kapitel 4.2 beschrieben ist. Um die Stationarität des Quantisierungsfehlers zu gewährleisten, wurden die M Elemente der Vektoren \vec{v}_λ , die das bei der Einzelmessung gerade verwendete Chirpsignal vor der periodischen Fortsetzung enthalten, um eine zufällige gleichwahrscheinliche Anzahl von Elementen zyklisch rotiert.

Die Zustandsgrößen des Rückkopplungsfilters im $\Sigma\Delta$ -Glied wurden nur am Anfang der gesamten Messung mit Null initialisiert. Bei den folgenden Einzelmessungen wurden die Zustandsgrößen nicht mehr zurückgesetzt. Um dennoch die Unabhängigkeit der Einzelmessungen zu gewährleisten wurde die Einschwingzeit² auf $E=1000$ gesetzt.

Ganz oben in Bild 7.11 ist das Ergebnis der LDS-Messung für $M=256$ Frequenzpunkte bei einer Mittelung über zehn Einzelmessungen dargestellt, wobei keine Fensterung stattfand, was einer impliziten Fensterung mit einem Rechteckfenster der Länge M entspricht. Wider erwarten ergibt sich bei der Messung im unteren Frequenzbereich durch das Einfügen der Fehlerrückkopplung keine nennenswerte Absenkung im gemessenen LDS.

Zum Vergleich ist auch das LDS eingezeichnet, das sich im Ersatzschaltbild theoretisch ergibt, wenn man das mit $Q^2/12$ konstante LDS des Quantisierungsfehlers $\mathbf{n}(k)$ mit dem Quadrat des Betrags der Übertragungsfunktion $1 - P(e^{j\Omega})$ im Störpfad des Ersatzschaltbildes gewichtet. Nun liegt es für jemanden, der sich noch nicht allzu intensiv mit der Theorie des RKM beschäftigt hat, zunächst nahe anzunehmen, dass die Varianz der Messwerte einfach noch zu hoch sei, so dass man in diesem Frequenzbereich lediglich die Betragsquadrate zufälliger Spektralwerte misst. Daher wird man als nächstes die Mittelungsanzahl erhöhen. Für $L=1000$ sind die Messergebnisse im darunterliegenden Teilbild dargestellt. Abgesehen davon, dass nun die Messwertvarianz offensichtlich zurückgegangen ist, hat sich an dem merkwürdigen Verhalten des gemessenen Verlaufs im Bereich niedriger Frequenzen nichts wesentliches geändert. Da man bei einer Erhöhung der Anzahl der gemessenen Frequenzpunkte auf $M=4096$ im dritten Teilbild ein leicht abgesenktes, gemessenes LDS

²Am Ersatzschaltbild erkennt man, dass trotz der Rückkopplung im realen $\Sigma\Delta$ -Glied das lineare Teilsystem keine Einschwingzeit benötigt, da es die Übertragungsfunktion Eins aufweist. Die Messung bestätigt dies, da man praktisch dieselben Ergebnisse erhält, wenn man $E=0$ einstellt.

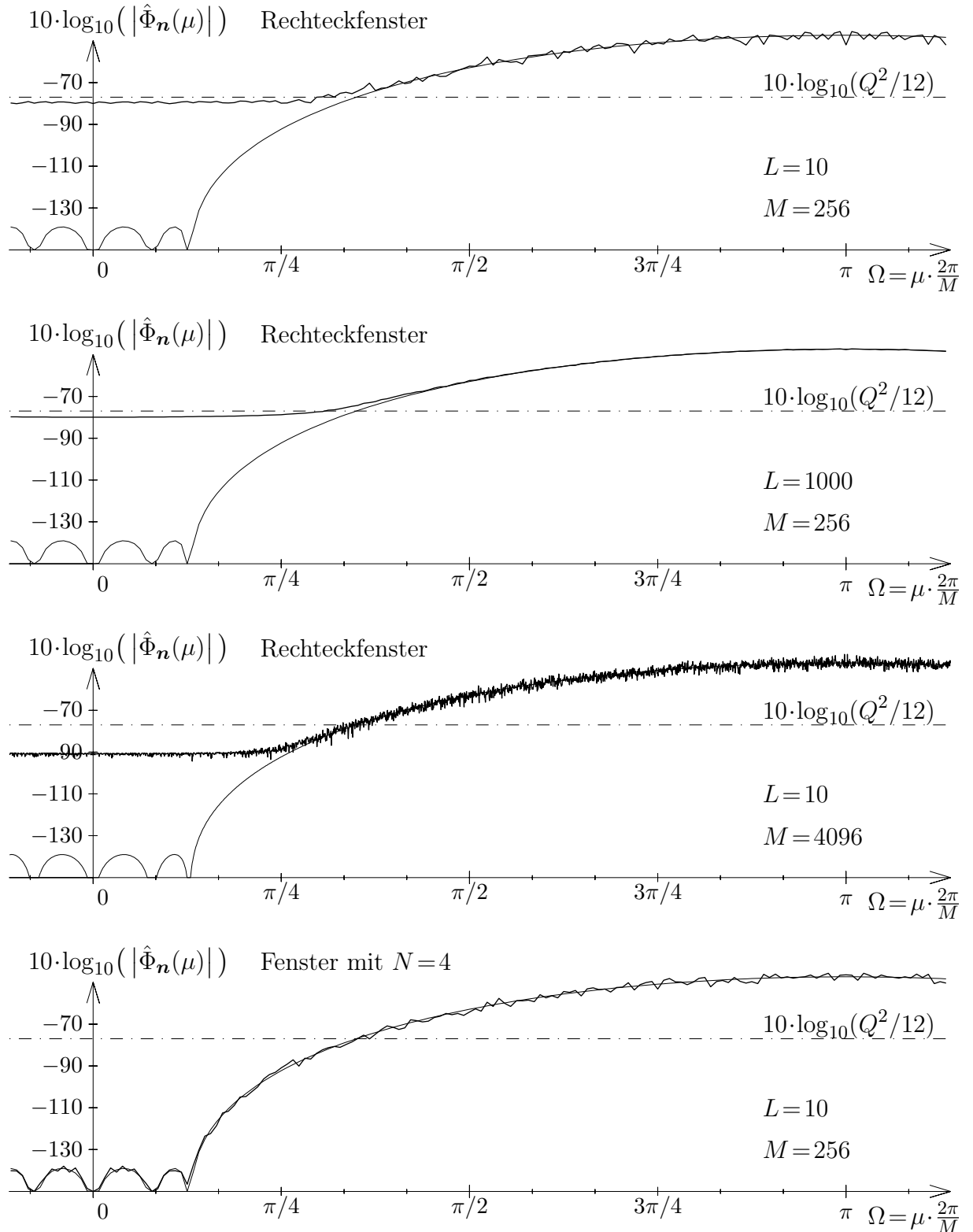


Bild 7.11: LDS des $\Sigma\Delta$ -Gliedes.

Messung mit Chirpsignal und $E=1000$.

im niederfrequenten Bereich erhält, kann man davon ausgehen, dass die Ursache für dieses Phänomen nicht bei dem tatsächlich vorhanden LDS, sondern bei dem angewandten Messverfahren zu suchen ist. Wenn man nun grob extrapoliert, wieviele Frequenzpunkte M man messen müsste, um in den Bereich zu kommen, in dem sich das theoretische LDS des Ersatzschaltbildes befindet, so erkennt man bereits ohne große Rechnung, dass der für M notwendigen Wert in einer Größenordnung liegen dürfte, bei dem eine Berechnung in akzeptabler Zeit unmöglich wäre. Wie das unterste Teilbild deutlich zeigt, kann durch die relativ aufwandsarme Erweiterung des Messverfahrens um die Fensterung mit einer geeigneten Fensterfolge die gewünschte Messbarkeit des LDS im Bereich niedriger Frequenzen erreicht werden.

8 Zusammenfassung und Ausblick

Das Rauschklirrmessverfahren bietet bei einer Vielzahl von näherungsweise linearen Systemen eine effiziente Möglichkeit zugleich das lineare Übertragungsverhalten zu messen, und eine Abschätzung für die spektrale Leistungsdichte der Abweichungen von diesem linearen Verhalten zu erhalten. Erstmalig wurde die ideale Modellierung des realen Systems durch ein lineares Modellsystem als Lösung eines theoretischen Regressionsproblems ausführlich beschrieben. Dabei wurde von Anfang an eine Erweiterung auf komplexwertige Systeme vorgenommen. Es stellte sich heraus, dass eine sinnvolle Art der Beschreibung der spektralen Eigenschaften des Regressionsfehlers nur dann möglich ist, wenn man auch schon bei der Lösung der theoretischen Regression eine geeignete Fensterung vornimmt. Es konnte dabei eine hinreichende Bedingung für die dabei zu verwendende Fensterfolge angegeben werden, deren Einhaltung sicherstellt, dass die Lösung der theoretischen Regression durch die Fensterung nicht verfälscht wird. Durch die zusätzliche Angabe eines modifizierten Leistungsdichtespektrums wurde die Beschreibung der zweiten Momente des komplexen Regressionsfehlers vervollständigt.

Die Aufgabe des RKM besteht nun darin, Schätzwerte für die bis dahin hergeleiteten Regressionskoeffizienten messtechnisch zu bestimmen, und die theoretischen zweiten Momente des Spektrums des Regressionsfehlers abzuschätzen. Das bisher übliche Messverfahren wurde so modifiziert und erweitert, dass bei komplexen Systemen zusätzlich das modifizierte Leistungsdichtespektrum des Regressionsfehlers abgeschätzt werden kann. Dabei stellte sich heraus, dass die nun dabei vorgenommene Fensterung nur eine minimale Erhöhung des Rechenaufwands bewirkt, wenn man eine Fensterfolge verwendet, die den bei der Lösung der theoretischen Regression aufgestellten Forderungen genügt. Es wird gezeigt, dass man mit dem so erweiterten Messverfahren erwartungstreue¹ und konsistente Messwerte erhält. Erstmals werden nun auch Schätzwerte für die Konfidenzintervalle reeller Messwerte und Konfidenzellipsen komplexer Messwerte angegeben.

Da oft reellwertige Systeme zu messen sind, wurde gezeigt, welche Vereinfachungen und Besonderheiten sich bei dem Messverfahren in diesem Fall ergeben. Ebenso wurde die reine Spektralschätzung eines Zufallsprozesses als ein Sonderfall des RKM beschrieben. Für die Messung reellwertiger Systeme kann es unter Umständen erforderlich sein, andere Zufallssignale zur Erregung des zu messenden realen Systems zu verwenden, als bei

¹Das bisher übliche RKM lieferte teils nur asymptotisch ($L \rightarrow \infty$) erwartungstreue Messergebnisse.

komplexwertigen Systemen. Es ist bei komplexwertigen Systemen oft vorteilhaft, diese — wenn möglich — mit einem zufälligen Chirpsignal zu erregen. Da das komplexe zufällige Chirpsignal manchmal bei reellwertigen Systemen nicht eingesetzt werden kann, wurde hier erstmals ein geeignetes reelles zufälliges Chirpsignal angegeben, das ähnlich gute Eigenschaften besitzt, wie sein komplexes Pendant.

Beim RKM lässt sich nicht jede beliebige Fensterfolge einsetzen. Unter den bisher bekannten Fensterfolgen, die für die Spektralschätzung üblicherweise verwendet werden, fand sich keine, die alle Forderungen zugleich und mit der gewünschten Präzision erfüllt. Es wurde ein Prinzip für die Konstruktion geeigneter Fensterfolgen entwickelt, und daraus ein Algorithmus abgeleitet, mit dessen Hilfe die Fensterfolgen berechnet werden können. Es wurde untersucht, welche Anforderungen der Algorithmus bezüglich der Genauigkeit der Berechnung zu erfüllen hat, wenn die damit berechneten Fensterfolgen die Forderungen hochgenau erfüllen sollen, die für die Einsetzbarkeit beim RKM notwendig sind. Ein großer Vorteil des hier angegebenen Algorithmus ist es, dass dieser nicht iterativ arbeitet, und somit keine Probleme hinsichtlich der Konvergenz, des Startwertes, des Abbruchs oder der Genauigkeit der Berechnung auftreten. Anhand einiger Beispiele wird unter anderem auch demonstriert, wie präzise die so berechneten Fensterfolgen die beim RKM notwendigen Forderungen erfüllen. Weitere Beispiele demonstrieren einerseits die Vorteile einer geeigneten Fensterung bei der Messung mit dem RKM, und dienen andererseits der Erläuterung einiger bei der Theorie des RKM dargestellter Sachverhalte. Der Anhang enthält neben einigen Details, die speziell für die Beschreibung des RKM und der Fensterfolgen benötigt werden, auch einige recht allgemein hilfreiche Beweise und Anmerkungen.

Bei der Beschreibung des RKM ergab sich an mehreren Stellen die Notwendigkeit Einschränkungen vorzunehmen. So wurde hier nur die Variante des RKM untersucht, die sich zur Messung zeitinvarianter Systeme mit stationärer und mittelwertfreier Störung eignet. Um den Rahmen dieser Abhandlung nicht zu sprengen, wurden die RKM-Varianten zur Messung solcher Systeme, die sich durch periodisch zeitvariante Modellsysteme modellieren lassen, und die alle Kreuzkorrelationen des Systemein- und -ausgangs berücksichtigen, und auch solcher Systeme, bei denen sich bei der Modellierung ein zyklostationärer Approximationsfehlerprozess mit einem zeitabhängigen Mittelwert ergibt, in einer gesonderten Abhandlung [6] näher beschrieben. Dort ist auch angegeben, wie sich weitere Fensterfolgen mit einem erweiterten Algorithmus berechnen lassen, die ebenfalls für den Einsatz beim RKM geeignet sind, und bei denen man weitere Freiheitsgrade nutzen kann, um bestimmte Eigenschaften der Fensterfolgen positiv zu beeinflussen. Wie man kontinuierliche Fensterfunktionen mit analogen Eigenschaften berechnen kann, wird auch dort gezeigt. Weitere praxisorientierte Betrachtungen zum Ablauf der RKM-Messung sowie zur Berechnung der Fensterfolgen sind ebenfalls in [6] zu finden.

Andere Aspekte, die sich bei der Herleitung des RKM ergaben, konnten bisher nicht näher untersucht werden. So wäre es beispielsweise wünschenswert, das RKM auch zur Messung von Systemen im laufenden Betrieb verwenden zu können. In diesem Fall ist es nicht möglich als Erregung periodische Testsignalsequenzen zu verwenden, die man mit einem geeigneten Zufallsgenerator selbst erzeugt. Da es jedoch bei dem hier untersuchten RKM erst durch die bereichsweise Periodizität der Erregung möglich wird, die Matrizen des beim RKM zu lösenden Gleichungssystems durch eine DFT zu diagonalisieren, und so eine erhebliche Reduktion des Aufwands zu erzielen, wäre im Fall einer vorgegebenen nicht periodischen Erregung das RKM zu modifizieren, um mit einem vertretbaren Mehraufwand auch solche Messungen vornehmen zu können.

Ein möglicher Ansatz hierzu besteht im wesentlichen aus zwei Veränderungen. Zum einen müsste man die gleichwertige Mittelung aller Messergebnisse durch eine dynamische Mittelung ersetzen, bei der die jeweils letzten Einzelmessungen stärker gewichtet in die Messergebnisse eingehen (z. B. durch eine rekursive Tiefpassfilterung der Messergebnisse). Zum zweiten wäre bei jeder Einzelmessung mit Hilfe der bis dahin gewonnenen Messergebnisse für das lineare Verhalten des Systems eine Schätzung für die Antwort des Systems auf diejenige Erregung vorzunehmen, die der realen Erregung additiv überlagert eine periodische Erregung ergibt. Wenn man nun die geschätzte Antwort des Systems auf diese periodifizierende Erregung vom gemessenen Systemausgangssignal subtrahiert, kann man bei der jeweiligen Einzelmessung dieselben Berechnungen durchführen, wie bei dem hier untersuchten RKM. Die Fehler der Schätzung der subtrahierten Systemantwort würden dann ähnlich wie der eigentlich zu messende Approximationsfehler in die Messergebnisse einfließen. Wenn nun die Schätzung des linearen Systemverhaltens im Laufe der Messung mit der dynamischen Mittelung der Messergebnisse immer besser wird — was zu vermuten ist, aber nicht pauschal feststeht —, werden die Schätzfehler der Antwort auf die periodifizierende Erregung immer geringer und die Messwerte der spektralen Eigenschaften des Approximationsfehlers werden bei einer dynamischen Mittelung ebenfalls immer genauer. Es soll zukünftigen Untersuchungen vorbehalten sein, diesen Ansatz, das RKM zu modifizieren, auf Anwendbarkeit zu testen, und die Theorie dazu näher zu ergründen.

Fensterfolgen wurden auch bisher schon für andere Anwendungen als die Spektralschätzung eingesetzt. Es liegt nun nahe zu untersuchen, ob auch die hier vorgestellte Fensterfolge für diese Zwecke verwendet werden kann. Ein Beispiel hierfür ist die Methode des Filterentwurfs mit Hilfe der Fenstermethode. Da wird der Wunschverlauf des Spektrums des zu entwerfenden Filters abgetastet und einer DFT unterworfen. Die so entstandene Filterimpulsantwort bildet meist noch keine sehr gute Approximation des gewünschten Filters, da der Filterfrequenzgang in der Regel nicht tolerierbare Abweichungen vom gewünschten Verlauf aufweist, die z. B. durch das Gibbssche Phänomen verursacht werden.

Eine Verbesserung kann meist dadurch erreicht werden, dass man die Filterimpulsantwort mit einer Fensterfolge gewichtet. Da jedoch die damit erzeugten Filter im Vergleich zu Filtern gleicher Länge, die mit anderen Methoden erzeugt worden sind, in der Regel unterlegen sind, und da die von mir entwickelte Fensterfolge zudem nicht linearphasig ist, wurde bisher nicht untersucht, ob sie sich bei der Filterentwurfsmethode mit der Fensterung einsetzen lässt.

Es ist lediglich eine Frage der Interpretation, ob man eine endlich lange zeitdiskrete Folge als eine Fensterfolge oder als die Impulsantwort eines FIR-Filters betrachtet. Daher wäre es denkbar, die Tiefpässe, deren Filterkoeffizienten die Werte der Fensterfolge sind, auch überall dort einzusetzen, wo Tiefpässe mit ähnlichen spektralen Eigenschaften benötigt werden. Beispielweise erscheint es mir erfolgversprechend, das Fenster als Prototyp-Filter einer DFT-Filterbank oder als Filter zur Sendeimpulsformung bei einer digitalen Übertragung einzusetzen. Diese Anwendungen wurden von mir jedoch nicht näher untersucht.

Literaturverzeichnis

- [1] Dong, Yanrui: *Ein neues Verfahren zur Messung der Eigenschaften schwach nicht-linearer Systeme*. Dissertation am Lehrstuhl für Nachrichtentechnik der Universität Erlangen-Nürnberg, 1990
- [2] Schüßler, Hans Wilhelm: *An Objective Method for Measuring the Performance of Weakly Nonlinear and Noisy Systems*. Frequenz, Band 41, S. 147-154, 1987
- [3] Schüßler, Hans Wilhelm; Dong, Yanrui: *A New Method for Measuring the Performance of Weakly Nonlinear Systems*. Frequenz, Band 44, S. 82-87, 1990
- [4] Schüßler, Hans Wilhelm; Heinle, Frank: *Measuring the Properties of Implemented Systems*. Frequenz, Band 48, S. 3-7, 1994
- [5] Heinle, Frank: *Analyse und Kompensation von Quantisierungs- und Codierungsfehlern in implementierten Multiratensystemen*. Dissertation am Lehrstuhl für Nachrichtentechnik der Universität Erlangen-Nürnberg, Shaker Verlag, Aachen 1998
- [6] Repp, Helmut: *Ein Fenster zur gleichzeitigen Messung der Übertragungsfunktion eines realen Systems und des Leistungsdichtespektrums des überlagerten Rauschens am Systemausgang (Teil 2)*. arXiv:2511.NNNNN
- [7] Dittrich, Franz: *Zur Schätzung der spektralen Leistungsdichte stationärer Prozesse*. Habilitationsschrift an der Technischen Fakultät der Universität Erlangen-Nürnberg, Erlangen 1985
- [8] Kammeyer, Karl Dirk; Kroschel, Kristian.: *Digitale Signalverarbeitung: Filterung und Spektralanalyse*. Teubner-Verlag, Stuttgart 1989
- [9] Fisz, Marek: *Wahrscheinlichkeitsrechnung und mathematische Statistik*. VEB Deutscher Verlag der Wissenschaften, Berlin 1966
- [10] Cramér, Harald: *Mathematical Methods of Statistics*. Princeton Univ. Press, Princeton 1996
- [11] Papoulis, Athanasios: *Probability, Random Variables, and Stochastic Processes*. McGraw-Hill, 1985

- [12] Hänsler, Eberhard: *Grundlagen der Theorie Statistischer Signale*. Springer-Verlag, 1983
- [13] Franks, Lewis: *Signal Theory*. Prentice-Hall, Englewood Cliffs, N. J., 1969
- [14] Oppenheim, Alen V.; Schafer, Ronald W.: *Zeitdiskrete Signalverarbeitung*. Oldenbourg-Verlag, München 1993
- [15] Fliege, Norbert: *Multiraten-Signalverarbeitung*. Teubner-Verlag, Stuttgart 1993
- [16] Boite, R.; Leich, H.: *A New Procedure for the Design of High Order Minimum Phase FIR Digital or CCD Filters*. North-Holland Publishing Company, Signal Processing, Band 3, S. 101-108, 1981
- [17] Barnett, Stephen: *Matrices, Methodes and Applications*. Clarendon Press, Oxford 1990
- [18] Golub, Gene H.; Van Loan, Charles F.: *Matrix Computations*. Johns Hopkins University Press, Baltimore and London 1989
- [19] Thomä, Rainer: *Fensterfunktionen in der DFT-Spektralanalyse*. MEDAV Digitale Signalverarbeitung GmbH, Uttenreuth 1995
- [20] Heute, Ulrich: *Fehler in DFT und FFT*. Ausgewählte Arbeiten über Nachrichtensysteme, Lehrstuhl für Nachrichtentechnik der Universität Erlangen-Nürnberg, 1982
- [21] Geçkinli, N. C.; Yavuz, D.: *A Set of Optimal Diskrete Linear Smoothers*. North-Holland Publishing Company, Signal Processing, Band 3, S. 49-62, 1981,
- [22] Harris, Fredric J.: *On the Use of Windows for Harmonic Analysis with the Discrete Fourier Transform*. Proceedings of the IEEE, Vol. 66, No. 1, pp. 51-83, January 1978
- [23] Autor unbekannt: *What Every Computer Scientist Should Know About Floating-Point-Arithmetic*. Datei mit dem Namen „floating-point.ps“ von SUN Microsystems, Inc., 2550 Garcia Avenue, Mountain View, CA 9403, U.S.A, Part. No.: 800-7895-10, Revision A, June 1992

Anhang

A.1 Zweites Moment des Abstands der Regressionsfläche der ersten Art zur Regressionshyperebene der zweiten Art

Beginnen wir mit einer Vorbemerkung. Der bedingte Erwartungswert $E\{\text{funktion}(\mathbf{y}) \mid x\}$ ist der Erwartungswert der Funktion der Zufallsgröße \mathbf{y} , der sich abhängig von der Bedingung x ergibt. Die Erwartungswertbildung erfolgt dabei durch Integration¹ der mit der bedingten Verteilungsdichtefunktion $p_{\mathbf{y}}(y \mid x)$ gewichteten Funktion von y über den gesamten Ergebnisraum der Zufallsgröße \mathbf{y} . Sowohl Verteilungsdichtefunktion als auch der Ergebnisraum können dabei vom Wert x abhängen. Es handelt sich bei diesem bedingten Erwartungswert also um eine Funktion, die jedem Wert des Definitionsbereichs von x einen konkreten nicht zufälligen Wert zuordnet. Wenn wir nun für die unabhängige Variable x eine Zufallsgröße \mathbf{x} einsetzen, so ist der Erwartungswert eine Funktion der Zufallsgröße \mathbf{x} und somit selbst eine Zufallsgröße. Wir schreiben daher in diesem Fall sowohl die Bedingung, als auch den bedingten Erwartungswert $E\{\text{funktion}(\mathbf{y}) \mid \mathbf{x}\}$ fettgedruckt, um damit zum Ausdruck zu bringen, dass es sich hierbei um Zufallsgrößen handelt. Diese Betrachtung lässt sich problemlos auf Zufallsvektoren erweitern. In diesem Kapitel des Anhangs wird dies im weiteren der Zufallsvektor \vec{V} sein, der als Elemente die Zufallsgrößen $\mathbf{V}(\mu)$ enthält.

Es werden nun für die zufälligen Erwartungswerte einige Beziehungen angegeben, deren Gültigkeit man leicht nachweisen kann, wenn man berücksichtigt, dass bei der Berechnung der Erwartungswerte jeweils diejenigen Faktoren vor das Integral gezogen werden können, die nicht von der Integrationsvariablen abhängen.

$$E\{ \mathbf{V}(\mu) \mid \vec{V} \} = \mathbf{V}(\mu) \quad (A.1)$$

$$E\{ |\mathbf{V}(\mu)|^2 \mid \vec{V} \} = |\mathbf{V}(\mu)|^2 \quad (A.2)$$

$$E\{ \mathbf{y}(k)^* \cdot \mathbf{V}(\mu) \mid \vec{V} \} = \mathbf{V}(\mu) \cdot E\{ \mathbf{y}(k)^* \mid \vec{V} \} \quad (A.3)$$

¹Gegebenenfalls ist im Stieltjesschen Sinne über die Verteilungsfunktion zu integrieren.

$$\mathbf{E}\left\{ \mathbf{y}(k)^* \cdot \mathbf{E}\left\{ \mathbf{y}(k) \mid \vec{V} \right\} \mid \vec{V} \right\} = \left| \mathbf{E}\left\{ \mathbf{y}(k) \mid \vec{V} \right\} \right|^2 \quad (\text{A.4})$$

$$\mathbf{E}\left\{ \left| \mathbf{E}\left\{ \mathbf{y}(k) \mid \vec{V} \right\} \right|^2 \mid \vec{V} \right\} = \left| \mathbf{E}\left\{ \mathbf{y}(k) \mid \vec{V} \right\} \right|^2 \quad (\text{A.5})$$

$$\begin{aligned} \mathbf{E}\left\{ \mathbf{y}(k)^* \cdot \left(\frac{1}{M} \cdot \sum_{\mu=0}^{M-1} H(\mu \cdot \frac{2\pi}{M}) \cdot \mathbf{V}(\mu) \cdot e^{j \cdot \frac{2\pi}{M} \cdot \mu \cdot k} \right) \mid \vec{V} \right\} = \\ = \mathbf{E}\left\{ \mathbf{y}(k) \mid \vec{V} \right\}^* \cdot \left(\frac{1}{M} \cdot \sum_{\mu=0}^{M-1} H(\mu \cdot \frac{2\pi}{M}) \cdot \mathbf{V}(\mu) \cdot e^{j \cdot \frac{2\pi}{M} \cdot \mu \cdot k} \right) \end{aligned} \quad (\text{A.6})$$

$$\mathbf{E}\left\{ \left| \frac{1}{M} \cdot \sum_{\mu=0}^{M-1} H(\mu \cdot \frac{2\pi}{M}) \cdot \mathbf{V}(\mu) \cdot e^{j \cdot \frac{2\pi}{M} \cdot \mu \cdot k} \right|^2 \mid \vec{V} \right\} = \left| \frac{1}{M} \cdot \sum_{\mu=0}^{M-1} H(\mu \cdot \frac{2\pi}{M}) \cdot \mathbf{V}(\mu) \cdot e^{j \cdot \frac{2\pi}{M} \cdot \mu \cdot k} \right|^2 \quad (\text{A.7})$$

$$\mathbf{E}\left\{ |\mathbf{y}(k)|^2 \mid \vec{V} \right\} = \left| \mathbf{E}\left\{ \mathbf{y}(k) \mid \vec{V} \right\} \right|^2 + \mathbf{E}\left\{ \left| \mathbf{y}(k) - \mathbf{E}\left\{ \mathbf{y}(k) \mid \vec{V} \right\} \right|^2 \mid \vec{V} \right\} \quad (\text{A.8})$$

Mit Hilfe dieser Gleichungen und mit der Gleichung (2.10) können wir nun die zu minimierende Varianz des Approximationsfehlers in zwei Schritten berechnen. Zunächst berechnen wir den bedingten Erwartungswert $\mathbf{E}\left\{ |\mathbf{n}(k)|^2 \mid \vec{V} \right\}$, also die Varianz des Approximationsfehlers unter der Bedingung \vec{V} . In einem zweiten Schritt berücksichtigen wir dann, dass der Vektor \vec{V} zufällig aus dem Zufallsvektor \vec{V} gewonnen wird. Für die Varianz des Approximationsfehlers erhalten wir:

$$\begin{aligned} \mathbf{E}\left\{ |\mathbf{n}(k)|^2 \right\} &= \mathbf{E}\left\{ \mathbf{E}\left\{ |\mathbf{n}(k)|^2 \mid \vec{V} \right\} \right\} = \\ &= \mathbf{E}\left\{ \mathbf{E}\left\{ \left| \mathbf{y}(k) - \frac{1}{M} \cdot \sum_{\mu=0}^{M-1} H(\mu \cdot \frac{2\pi}{M}) \cdot \mathbf{V}(\mu) \cdot e^{j \cdot \frac{2\pi}{M} \cdot \mu \cdot k} \right|^2 \mid \vec{V} \right\} \right\} = \\ &= \mathbf{E}\left\{ \left| \mathbf{E}\left\{ \mathbf{y}(k) \mid \vec{V} \right\} - \frac{1}{M} \cdot \sum_{\mu=0}^{M-1} H(\mu \cdot \frac{2\pi}{M}) \cdot \mathbf{V}(\mu) \cdot e^{j \cdot \frac{2\pi}{M} \cdot \mu \cdot k} \right|^2 \right\} + \\ &\quad + \mathbf{E}\left\{ \mathbf{E}\left\{ \left| \mathbf{y}(k) - \mathbf{E}\left\{ \mathbf{y}(k) \mid \vec{V} \right\} \right|^2 \mid \vec{V} \right\} \right\} \end{aligned} \quad (\text{A.9})$$

Der erste Summand auf der rechten Seite der Gleichungskette (A.9) ist das zweite Moment des Abstands der Regressionshyperebene der zweiten Art von der Regressionsfläche der ersten Art. Der zweite Summand ist der Erwartungswert der bedingten Varianz der Zufallsgröße $\mathbf{y}(k)$. Dieser ist von den Regressionskoeffizienten $H(\mu \cdot 2\pi/M)$ unabhängig, und spielt daher bei der Minimierung der Varianz der Zufallsgröße $\mathbf{n}(k)$ bezüglich dieser

Koeffizienten keine Rolle. Da die Regressionskoeffizienten, welche die Minimierungsaufgaben (2.10) lösen, den Term auf der linken Seite der Gleichungskette (A.9) minimieren, wird zugleich das zweite Moment des Abstands der Hyperebene der linearen Näherung zu der Regressionsfläche der ersten Art minimal.

A.2 Cauchy-Schwarzsche Ungleichung für die zweiten Momente zweier komplexer Zufallsgrößen

Gegeben seien zwei komplexe Zufallsgrößen \mathbf{X} und \mathbf{Y} , von denen vorausgesetzt wird, dass die zweiten Momente $E\{|\mathbf{X}|^2\}$, $E\{|\mathbf{Y}|^2\}$ und $E\{\mathbf{X} \cdot \mathbf{Y}\}$ existieren. Mit einer beliebigen komplexen Zahl, die in Polarkoordinatendarstellung als $a \cdot e^{j \cdot \alpha}$ mit reellem nichtnegativem a geschrieben wird, lässt sich der stets nichtnegative Erwartungswert

$$\begin{aligned} a^2 \cdot E\{|\mathbf{X}|^2\} - 2 \cdot a \cdot \Re\left\{e^{j \cdot \alpha} \cdot E\{\mathbf{X} \cdot \mathbf{Y}\}\right\} + E\{|\mathbf{Y}|^2\} &= \quad (A.10) \\ = E\left\{a^2 \cdot |\mathbf{X}|^2 - a \cdot e^{j \cdot \alpha} \cdot \mathbf{X} \cdot \mathbf{Y} - a \cdot e^{-j \cdot \alpha} \cdot \mathbf{X}^* \cdot \mathbf{Y}^* + |\mathbf{Y}|^2\right\} &= \\ = E\left\{(a \cdot e^{j \cdot \alpha} \cdot \mathbf{X} - \mathbf{Y}^*) \cdot (a \cdot e^{-j \cdot \alpha} \cdot \mathbf{X}^* - \mathbf{Y})\right\} &= E\left\{|a \cdot e^{j \cdot \alpha} \cdot \mathbf{X} - \mathbf{Y}^*|^2\right\} \geq 0 \end{aligned}$$

angeben. Diese Ungleichung ist für jeden Winkel α , also auch für

$$\alpha = -\arg\{E\{\mathbf{X} \cdot \mathbf{Y}\}\} \quad (A.11)$$

erfüllt. Wenn wir diesen Winkel einsetzen, erhalten wir die Ungleichung

$$a^2 \cdot E\{|\mathbf{X}|^2\} - 2 \cdot a \cdot |E\{\mathbf{X} \cdot \mathbf{Y}\}| + E\{|\mathbf{Y}|^2\} \geq 0, \quad (A.12)$$

deren linke Seite ein quadratisches Polynom in a mit reellen Koeffizienten ist. Da der Koeffizient bei a^2 positiv ist, und der Koeffizient bei a negativ ist, liegt das Minimum dieses quadratischen Polynoms immer im Bereich $a \geq 0$. Da die letzte Ungleichung für alle Werte von a immer erfüllt ist, gilt sie auch für das a , das den Minimalwert des quadratischen Polynoms liefert. Nun setzt man diesen Wert

$$a = \frac{|E\{\mathbf{X} \cdot \mathbf{Y}\}|}{E\{|\mathbf{X}|^2\}} \quad (A.13)$$

ein und multipliziert die Ungleichung auf beiden Seiten mit dem stets positiven reellen Wert $E\{|\mathbf{X}|^2\}$ und man erhält die Cauchy-Schwarzsche Ungleichung für die zweiten Momente zweier komplexer Zufallsgrößen:

$$|E\{\mathbf{X} \cdot \mathbf{Y}\}|^2 \leq E\{|\mathbf{X}|^2\} \cdot E\{|\mathbf{Y}|^2\}. \quad (A.14)$$

A.3 Zur Unabhängigkeit der Zufallsgrößen $\mathbf{V}(\mu)$ und $\mathbf{N}_f(\mu)$

Der zufällige Spektralwert $\mathbf{N}_f(\mu)$ der gefensterten Störung des realen Systems bei einer Frequenz μ ist dann unabhängig von dem zufälligen Spektralwert $\mathbf{V}(\mu)$ der Erregung bei derselben Frequenz, wenn sich die zweidimensionale Verbundverteilung² des Zufallsgrößentupels $[\mathbf{V}(\mu), \mathbf{N}_f(\mu)]^T$ als das Produkt der Verteilungen der Zufallsgrößen $\mathbf{V}(\mu)$ und $\mathbf{N}_f(\mu)$ schreiben lässt.

$$P(\mathbf{V}(\mu) < V(\mu) \wedge \mathbf{N}_f(\mu) < N_f(\mu)) \stackrel{!}{=} P(\mathbf{V}(\mu) < V(\mu)) \cdot P(\mathbf{N}_f(\mu) < N_f(\mu)) \\ \forall \mu = 0(1)M-1 \quad (\text{A.15})$$

Auch wenn diese Forderung nach Unabhängigkeit der Spektralwerte $\mathbf{N}_f(\mu)$ und $\mathbf{V}(\mu)$ bei derselben Frequenz für alle Frequenzen μ erfüllt sein soll, bedeutet dies *nicht*, dass der Zufallsvektor \vec{v} der Erregung unabhängig von dem Approximationsfehlerprozess $\mathbf{n}(k)$ sein muss, oder dass der Zufallsvektor \vec{V} der Länge M , der die Fouriertransformierten $\mathbf{V}(\mu)$ aller Frequenzpunkte zu einem Vektor zusammenfasst, unabhängig sein muss von dem Zufallsvektor \vec{N}_f der Länge M , der die Zufallsgrößen $\mathbf{N}_f(\mu)$ bei allen diskreten Frequenzen enthält. Die beiden letztgenannten Vektoren sind definitionsgemäß nur dann unabhängig, wenn sich die gemeinsame Verbundverteilung — eine reelle Funktion, die im $2 \cdot M$ -dimensionalen komplexen Raum definiert ist — aller $2 \cdot M$ Zufallsgrößen $\mathbf{V}(\mu)$ und $\mathbf{N}_f(\mu)$ mit $\mu = 0(1)M-1$ als das Produkt der beiden Verbundverteilungen — zwei reelle Funktionen, die jeweils in einem M -dimensionalen komplexen Raum definiert sind — der beiden beteiligten Zufallsvektoren schreiben lässt. Die Forderung

$$P(\vec{V} < \vec{V} \wedge \vec{N}_f < \vec{N}_f) \stackrel{!}{=} P(\vec{V} < \vec{V}) \cdot P(\vec{N}_f < \vec{N}_f), \quad (\text{A.16})$$

die ausgeschrieben

$$P(\mathbf{V}(0) < V(0) \wedge \dots \wedge \mathbf{V}(M-1) < V(M-1) \wedge \mathbf{N}_f(0) < N_f(0) \wedge \dots \wedge \mathbf{N}_f(M-1) < N_f(M-1)) \stackrel{!}{=} \\ = P(\mathbf{V}(0) < V(0) \wedge \dots \wedge \mathbf{V}(M-1) < V(M-1)) \cdot \\ \cdot P(\mathbf{N}_f(0) < N_f(0) \wedge \dots \wedge \mathbf{N}_f(M-1) < N_f(M-1))$$

lautet, muss also *nicht* erfüllt sein. Die geforderte Unabhängigkeit bezieht sich für jeden einzelnen diskreten Frequenzpunkt μ lediglich auf die Verbundverteilung des Zufallsgrößentupels $[\mathbf{V}(\mu), \mathbf{N}_f(\mu)]^T$, die eine Randverteilung der gemeinsamen Verbundverteilung

²Man beachte bei komplexen Zufallsgrößen und -vektoren den Hinweis in Kapitel 1.3 auf Seite 9 zur Interpretation der „ $<$ “-Relation im Argument der Verbundverteilungsfunktion.

aller $2 \cdot M$ Zufallsgrößen ist, und sich daher als

$$\begin{aligned}
 & P\left(\mathbf{V}(\mu) < V(\mu) \wedge \mathbf{N}_f(\mu) < N_f(\mu)\right) = \quad (A.17) \\
 & = P\left(\left(\mathbf{V}(\mu) < V(\mu)\right) \wedge \bigwedge_{\substack{\tilde{\mu}=0 \\ \tilde{\mu} \neq \mu}}^{M-1} \left(\mathbf{V}(\tilde{\mu}) < \infty + j\infty\right) \wedge \left(\mathbf{N}_f(\mu) < N_f(\mu)\right) \wedge \bigwedge_{\substack{\tilde{\mu}=0 \\ \tilde{\mu} \neq \mu}}^{M-1} \left(\mathbf{N}_f(\tilde{\mu}) < \infty + j\infty\right)\right) \\
 & \quad \forall \quad \mu = 0 (1) M-1
 \end{aligned}$$

schreiben lässt. Während die Forderung (A.16) nur erfüllt ist, wenn sich die Verbundverteilung aller $2 \cdot M$ beteiligten Zufallsgrößen für *jeden* Punkt des $2 \cdot M$ -dimensionalen komplexen Raumes als Produkt zweier Faktoren schreiben lässt, die jeweils nur von den M Werten $V(\mu)$ bzw. den M Werten $N_f(\mu)$ abhängen, wird durch die Forderung (A.15) lediglich die Faktorisierbarkeit für alle Punkte innerhalb des zweidimensionalen Randes, der sich durch den Grenzübergang $V(\tilde{\mu}) \rightarrow \infty + j\infty$ und $N_f(\tilde{\mu}) \rightarrow \infty + j\infty$ für $\tilde{\mu} \neq \mu$ ergibt, gefordert. Daher ist die Forderung (A.15) bei weitem leichter zu erfüllen, als die Forderung (A.16). Es ist daher auch bei vielen Systemen, die gut ausgesteuerte³ Quantisierungen enthalten, zu erwarten, dass sie die im Hauptteil benötigte Forderung (A.15) wenigstens in guter Näherung erfüllen, obwohl sie die Forderung (A.16) sicher markant verletzen. Die Tatsache, dass nur die Forderungen (A.15) nach Faktorisierbarkeit der M zweidimensionalen Randverbundverteilungen und nicht die Forderung (A.16) nach Faktorisierbarkeit der gesamten $2 \cdot M$ -dimensionalen Verbundverteilung erfüllt sein muss, bildet den wesentlichen Grund, warum das RKM auch auf nahezu alle Systeme angewendet werden kann, bei denen ein deterministischer Zusammenhang zwischen Systemeingangssignal und Systemausgangssignal besteht. Ob die hier geforderte paarweise Unabhängigkeit der Elemente der beteiligten Zufallsvektoren bei einem realen System exakt gegeben ist, oder wenigstens näherungsweise in der Art erfüllt wird, dass die im weiteren hergeleiteten Ergebnisse als brauchbare Näherungen betrachtet werden können, ist entweder anhand einer inhaltlichen Überlegung oder mit Hilfe eines Hypothesentests bei dem konkret zu vermessenden System zu überprüfen.

Anmerkung: Dass die paarweise Unabhängigkeit der Zufallsgrößen der beiden Zufallsvektoren selbst dann gegeben sein kann, wenn ein deterministischer Zusammenhang zwischen den Zufallsvektoren $\vec{\mathbf{V}}$ und $\vec{\mathbf{N}}_f$ besteht, weil diese Vektoren aus den Ein- und Ausgangssignalen eines ungestörten deterministischen nichtlinearen Systems gewonnen werden, das mit Zufallssignalen erregt wird, sei nun an einem einfachen Beispiel erläutert. In diesem Beispiel sei $M = 2$ und die Zufallsvektoren enthalten jeweils zwei reelle Zufallsgrößen. Die beiden Zufallsgrößen $\mathbf{V}(0)$ und $\mathbf{V}(1)$ des Zufallsvektors $\vec{\mathbf{V}}$ seien unabhängig und gleichverteilt im Intervall $[-1; 1]$. Ihre

³Die Streuung des Signals am Eingang des Quantisierers sei wesentlich größer als die Quantisierungsstufenhöhe

Verbundverteilungsdichte ist daher innerhalb des Gebietes $|V_0| \leq 1 \wedge |V_1| \leq 1$ konstant $1/4$ und sonst Null. Die beiden Zufallsgrößen $\mathbf{N}_f(0)$ und $\mathbf{N}_f(1)$ des Zufallsvektors $\vec{\mathbf{N}}_f$ hängen über den deterministischen Zusammenhang

$$\begin{bmatrix} \mathbf{N}_f(0) \\ \mathbf{N}_f(1) \end{bmatrix} = \begin{bmatrix} \mathbf{V}(0) + \mathbf{V}(1) - \text{sgn}(\mathbf{V}(0) + \mathbf{V}(1)) \\ \mathbf{V}(0) - \mathbf{V}(1) - \text{sgn}(\mathbf{V}(0) - \mathbf{V}(1)) \end{bmatrix}$$

mit den Zufallsgrößen $\mathbf{V}(0)$ und $\mathbf{V}(1)$ zusammen. Dabei ist $\text{sgn}(\dots)$ die Vorzeichenfunktion. Die Zufallsvektoren $[\mathbf{V}(0), \mathbf{V}(1), \mathbf{N}_f(0)]^T$ und $[\mathbf{V}(0), \mathbf{V}(1), \mathbf{N}_f(1)]^T$ weisen jeweils eine dreidimensionale Verbundverteilungsdichte auf, die sich mit Hilfe der Delta-Distribution als

$$p_{[\mathbf{V}(0), \mathbf{V}(1), \mathbf{N}_f(0)]^T}(V_0, V_1, N_0) = \begin{cases} \frac{1}{4} \cdot \delta_0(N_0 - V_0 - V_1 + 1) & \text{für } V_0 \leq 1 \wedge V_1 \leq 1 \wedge V_1 \geq -V_0 \\ \frac{1}{4} \cdot \delta_0(N_0 - V_0 - V_1 - 1) & \text{für } V_0 \geq -1 \wedge V_1 \geq -1 \wedge V_1 < -V_0 \\ 0 & \text{sonst} \end{cases}$$

und

$$p_{[\mathbf{V}(0), \mathbf{V}(1), \mathbf{N}_f(1)]^T}(V_0, V_1, N_1) = \begin{cases} \frac{1}{4} \cdot \delta_0(N_1 - V_0 + V_1 + 1) & \text{für } V_0 \leq 1 \wedge V_1 \geq -1 \wedge V_1 \leq V_0 \\ \frac{1}{4} \cdot \delta_0(N_1 - V_0 + V_1 - 1) & \text{für } V_0 \geq -1 \wedge V_1 \leq 1 \wedge V_1 > V_0 \\ 0 & \text{sonst} \end{cases}$$

angeben lässt. Diese beiden Verbundverteilungsdichten lassen sich jeweils *nicht* als das Produkt zweier Faktoren schreiben, bei dem der eine Faktor nur von einer der Variablen N_0 bzw. N_1 abhängt während der zweite Faktor nur von den beiden anderen Variablen V_0 und V_1 abhängt. Daher sind die beiden Zufallsvektoren $\vec{\mathbf{V}}$ und $\vec{\mathbf{N}}_f$ *abhängig*. Wie man durch Integration dieser Verbundverteilungsdichten über die Variable V_1 bei der ersten und V_0 bei der zweiten bestätigen kann, sind die beiden zweidimensionalen Verbundverteilungsdichten der Zufallsgrößenpaare $[\mathbf{V}(0), \mathbf{N}_f(0)]^T$ und $[\mathbf{V}(1), \mathbf{N}_f(1)]^T$ immer gleich der konstanten Gleichverteilung $1/4$ innerhalb des Gebietes, in dem beide Veränderlichen betragsmäßig kleiner 1 sind. Beide zweidimensionalen Verbundverteilungsdichten lassen sich daher als das Produkt der Randverteilungen (immer gleichverteilt mit $1/2$ im Intervall $[-1; 1]$) schreiben. Die Zufallsgrößen der beiden Zufallsvektoren sind daher paarweise voneinander *unabhängig*. Der Erwartungswert einer Zufallsgröße, die als Linearkombination der Produkte der Zufallsgrößenpaare definiert ist, lässt sich daher als

$$\begin{aligned} E\{\alpha \cdot \mathbf{V}(0) \cdot \mathbf{N}_f(0) + \beta \cdot \mathbf{V}(1) \cdot \mathbf{N}_f(1)\} &= \alpha \cdot E\{\mathbf{V}(0) \cdot \mathbf{N}_f(0)\} + \beta \cdot E\{\mathbf{V}(1) \cdot \mathbf{N}_f(1)\} = \\ &= \alpha \cdot E\{\mathbf{V}(0)\} \cdot E\{\mathbf{N}_f(0)\} + \beta \cdot E\{\mathbf{V}(1)\} \cdot E\{\mathbf{N}_f(1)\} \end{aligned}$$

schreiben, obwohl die beiden Zufallsvektoren nicht unabhängig sind. An diesem Beispiel sieht man, dass die paarweise Unabhängigkeit der Zufallsgrößen davon abhängt, welche gemeinsame Verbundverteilung die $\mathbf{V}(0)$ und $\mathbf{V}(1)$ aufweisen. Wären diese hier nicht verbundgleichverteilt, so wäre die paarweise Unabhängigkeit wohl nicht gegeben.

A.4 Zur Konditionierung der empirischen Kovarianzmatrix

Bei der Berechnung der Messwerte des RKM ist die empirisch gewonnene Kovarianzmatrix einiger Werte des Spektrums der Erregung zu invertieren. Da solch eine Matrix aus einer Stichprobe vom Umfang L der Spektralwerte der Erregung gewonnen wird, hängt deren Konditionierung davon ab, welche konkrete Stichprobe man gerade gezogen hat. Wir wollen daher eine obere Grenze für die Wahrscheinlichkeit herleiten, eine schlecht konditionierte Matrix zu erhalten, und zeigen, dass diese Grenze mit steigendem Umfang L der Stichprobe mindestens indirekt proportional abfällt, wenn man die zufälligen Spektralwerte so wählt, dass deren theoretische Kovarianzmatrix gut konditioniert ist. Es sei darauf hingewiesen, dass die nun folgende Betrachtung auch für die Varianz einer einzigen Zufallsgröße gilt, da es sich dabei um den Fall einer 1×1 Kovarianzmatrix handelt.

Gegeben seien R komplexe, mittelwertfreie Zufallsgrößen, die den Zufallsspaltenvektor \vec{V} bilden, und deren Momente bis zur vierten Ordnung alle existieren sollen. Bei technisch relevanten Rauschprozessen findet immer eine inhärente Limitierung statt, so dass man davon ausgehen kann, dass diese Momente existieren. Ein Teil der zweiten Momente sind die Elemente der theoretischen $R \times R$ Kovarianzmatrix

$$\underline{C}_{\vec{V}, \vec{V}} = E\{\vec{V} \cdot \vec{V}^H\} = \underline{C}_{\vec{V}, \vec{V}}^H, \quad (\text{A.18})$$

die immer hermitesch und positiv semidefinit ist. Sie lässt sich daher unitär kongruent auf Diagonalform transformieren, wobei die Diagonalelemente alle nichtnegativ reell sind, und mit dem Zeilenindex (= Spaltenindex) des Diagonalelements monoton fallen. Die Diagonalelemente sind die Singulärwerte s_i mit $i = 1 (1) R$ der Kovarianzmatrix, die zugleich deren Eigenwerte sind. Es gilt $s_i \geq s_{i+1}$. Die Spektralnorm $\|\dots\|_2$ der Kovarianzmatrix ist der größte Singulärwert s_1 , die Konditionszahl ist der Quotient des größten und des kleinsten Singulärwertes $K_{\vec{V}} = s_1/s_R$. Je näher die Konditionszahl bei Eins liegt, desto besser ist die Kovarianzmatrix konditioniert, und desto genauer lässt sich deren Inverse berechnen. Jeder beliebige Vektor wird durch die Multiplikation mit der Kovarianzmatrix auf einen Vektor abgebildet, dessen euklidische Norm $\|\dots\|_2$ die Bedingung

$$s_R \cdot \|\vec{x}\|_2 \leq \|\underline{C}_{\vec{V}, \vec{V}} \cdot \vec{x}\|_2 \leq s_1 \cdot \|\vec{x}\|_2 \quad (\text{A.19})$$

erfüllt. Da es sich bei der Spektralnorm um eine mit der euklidischen Vektornorm kompatible Matrixnorm handelt, gilt außerdem für jeden beliebigen Vektor:

$$\|\underline{C}_{\vec{V}, \vec{V}} \cdot \vec{x}\|_2 \leq \|\underline{C}_{\vec{V}, \vec{V}}\|_2 \cdot \|\vec{x}\|_2. \quad (\text{A.20})$$

Die $R \times L$ Matrix \underline{V} enthalte eine konkrete Stichprobe vom Umfang L des Zufallsvektors \vec{V} , d. h. jede Spalte dieser Matrix ist ein Element der Stichprobe, also eine konkrete Realisierung des Zufallsvektors \vec{V} , und es wurden insgesamt L konkrete Realisierungen dieses Zufallsvektors zu einer Matrix zusammengefasst. Bei der Matrix handelt es sich um eine konkrete Realisierung der Matrix \underline{V} der mathematischen Stichprobe vom Umfang L des Zufallsvektors \vec{V} . Dies ist der Fall, wenn die Stichprobenentnahme in der Art erfolgt ist, dass jedes Element der Stichprobe — also jede Spalte der Matrix \underline{V} — von jedem anderen Element unabhängig ist, und die gleiche Verbundverteilung besitzt, wie der Zufallsvektor \vec{V} . Aus jeder konkreten Stichprobenmatrix \underline{V} kann man eine empirische Kovarianzmatrix berechnen.

$$\hat{C}_{\vec{V}, \vec{V}} = \frac{1}{L} \cdot \underline{V} \cdot \underline{V}^H \quad (\text{A.21})$$

Nun benötigen wir noch eine weitere Matrixnorm $\|\dots\|_F$, nämlich die euklidische Matrixnorm, die auch Frobeniusnorm genannt wird, und die die Wurzel aus der Summe der Betragsquadrate aller Matrixelemente ist. Da auch diese Matrixnorm mit der euklidischen Vektornorm kompatibel ist, gilt auch mit dieser Matrixnorm für jeden beliebigen Vektor:

$$\|(\underline{C}_{\vec{V}, \vec{V}} - \hat{C}_{\vec{V}, \vec{V}}) \cdot \vec{x}\|_2 = \|(\hat{C}_{\vec{V}, \vec{V}} - \underline{C}_{\vec{V}, \vec{V}}) \cdot \vec{x}\|_2 \leq \|\hat{C}_{\vec{V}, \vec{V}} - \underline{C}_{\vec{V}, \vec{V}}\|_F \cdot \|\vec{x}\|_2. \quad (\text{A.22})$$

Zusätzlich benötigen wir noch die Dreiecksungleichung

$$\|\vec{x} + \vec{y}\|_2 \leq \|\vec{x}\|_2 + \|\vec{y}\|_2. \quad (\text{A.23})$$

Damit können wir abschätzen, dass die Norm des Produkts eines beliebigen Vektors mit der empirischen Kovarianzmatrix innerhalb eines bestimmten Intervalls liegen muss.

$$\begin{aligned} \|\hat{C}_{\vec{V}, \vec{V}} \cdot \vec{x}\|_2 &= \|\underline{C}_{\vec{V}, \vec{V}} \cdot \vec{x} + (\hat{C}_{\vec{V}, \vec{V}} - \underline{C}_{\vec{V}, \vec{V}}) \cdot \vec{x}\|_2 \leq \\ &\leq \|\underline{C}_{\vec{V}, \vec{V}} \cdot \vec{x}\|_2 + \|(\hat{C}_{\vec{V}, \vec{V}} - \underline{C}_{\vec{V}, \vec{V}}) \cdot \vec{x}\|_2 \leq \\ &\leq \|\underline{C}_{\vec{V}, \vec{V}}\|_2 \cdot \|\vec{x}\|_2 + \|\hat{C}_{\vec{V}, \vec{V}} - \underline{C}_{\vec{V}, \vec{V}}\|_F \cdot \|\vec{x}\|_2 = (s_1 + \|\hat{C}_{\vec{V}, \vec{V}} - \underline{C}_{\vec{V}, \vec{V}}\|_F) \cdot \|\vec{x}\|_2 \end{aligned} \quad (\text{A.24})$$

$$\begin{aligned} \|\hat{C}_{\vec{V}, \vec{V}} \cdot \vec{x}\|_2 &= \|\underline{C}_{\vec{V}, \vec{V}} \cdot \vec{x} - (\underline{C}_{\vec{V}, \vec{V}} - \hat{C}_{\vec{V}, \vec{V}}) \cdot \vec{x}\|_2 \geq \\ &\geq \|\underline{C}_{\vec{V}, \vec{V}} \cdot \vec{x}\|_2 - \|(\underline{C}_{\vec{V}, \vec{V}} - \hat{C}_{\vec{V}, \vec{V}}) \cdot \vec{x}\|_2 \geq \\ &\geq s_R \cdot \|\vec{x}\|_2 - \|\hat{C}_{\vec{V}, \vec{V}} - \underline{C}_{\vec{V}, \vec{V}}\|_F \cdot \|\vec{x}\|_2 = (s_R - \|\hat{C}_{\vec{V}, \vec{V}} - \underline{C}_{\vec{V}, \vec{V}}\|_F) \cdot \|\vec{x}\|_2 \end{aligned} \quad (\text{A.25})$$

Diese beiden Grenzen gelten für beliebige Vektoren, also auch für Vektoren, die auf ihre euklidische Norm normiert worden sind und daher die Länge Eins haben. Der kleinste Singulärwert \hat{s}_R der empirischen Kovarianzmatrix ist die minimale Länge aller Vektoren, die durch eine Multiplikation mit der empirischen Kovarianzmatrix aus allen Vektoren

der Länge Eins entstanden sind. Die Länge des längsten Bildvektors ist entsprechend der größte Singulärwert \hat{s}_1 der empirischen Kovarianzmatrix. Falls die Frobeniusnorm der Abweichung der empirischen von der theoretischen Kovarianzmatrix kleiner als s_R ist, kann die Konditionszahl $\hat{K}_{\vec{V}}$ der empirischen Kovarianzmatrix mit den beiden letzten Ungleichungen abgeschätzt werden.

$$\hat{K}_{\vec{V}} = \frac{\hat{s}_1}{\hat{s}_R} \leq \frac{s_1 + \|\hat{C}_{\vec{V}, \vec{V}} - \underline{C}_{\vec{V}, \vec{V}}\|_F}{s_R - \|\hat{C}_{\vec{V}, \vec{V}} - \underline{C}_{\vec{V}, \vec{V}}\|_F} \quad (\text{A.26})$$

Wenn die Frobeniusnorm der Abweichung der empirischen von der theoretischen Kovarianzmatrix außerdem noch kleiner als

$$\|\hat{C}_{\vec{V}, \vec{V}} - \underline{C}_{\vec{V}, \vec{V}}\|_F < \frac{n-1}{n+K_{\vec{V}}^{-1}} \cdot s_R < s_R \quad \text{mit } n \in \mathbb{R} \quad \text{und } n > 1 \quad (\text{A.27})$$

ist, kann man sicher sein, dass die Konditionszahl der empirischen Kovarianzmatrix höchstens n mal so groß wie die Konditionszahl der theoretischen Kovarianzmatrix ist:

$$\hat{K}_{\vec{V}} \leq \frac{s_1 + \|\hat{C}_{\vec{V}, \vec{V}} - \underline{C}_{\vec{V}, \vec{V}}\|_F}{s_R - \|\hat{C}_{\vec{V}, \vec{V}} - \underline{C}_{\vec{V}, \vec{V}}\|_F} \leq \frac{s_1 + \frac{n-1}{n+K_{\vec{V}}^{-1}} \cdot s_R}{s_R - \frac{n-1}{n+K_{\vec{V}}^{-1}} \cdot s_R} = n \cdot K_{\vec{V}}. \quad (\text{A.28})$$

Falls nun die Wahrscheinlichkeit, dass die Frobeniusnorm der Matrixdifferenz größer als die Schranke in der Ungleichung (A.27) ist, mit steigendem L gegen Null konvergiert, kann man durch eine Erhöhung von L erreichen, dass die Wahrscheinlichkeit, eine empirische Kovarianzmatrix zu erhalten, die n mal schlechter als die theoretische Kovarianzmatrix konditioniert ist, unter einer beliebig kleinen tolerierbaren Schwelle bleibt. Wir wollen daher eine obere Schranke für diese Wahrscheinlichkeit herleiten.

Dazu benötigen wir einen Satz, aus dem sich auch die Tschebyscheffsche Ungleichung ableiten lässt, und den wir aus [9] entnehmen.

Satz: Nimmt eine zufällige Veränderliche \mathbf{Y} nur nichtnegative Werte an, und besitzt sie einen endlichen Mittelwert $E\{\mathbf{Y}\}$, so ist für jede positive Zahl K die Ungleichung

$$P(\mathbf{Y} \geq K) \leq \frac{E\{\mathbf{Y}\}}{K}$$

erfüllt.

Da das Quadrat der Frobeniusnorm einer zufälligen Matrix solch eine zufällige Veränderliche ist, erhalten wir mit

$$\mathbf{Y} = \|\hat{C}_{\vec{V}, \vec{V}} - \underline{C}_{\vec{V}, \vec{V}}\|_F^2 \quad \text{und mit} \quad K = \left(\frac{n-1}{n+K_{\vec{V}}^{-1}} \cdot s_R \right)^2$$

die gesuchte obere Grenze

$$\begin{aligned}
 P\left(\hat{\mathbf{K}}_{\vec{\mathbf{V}}} \geq n \cdot K_{\vec{\mathbf{V}}}\right) &\leq & \text{(A.29)} \\
 &\leq P\left(\|\hat{\mathbf{C}}_{\vec{\mathbf{V}}, \vec{\mathbf{V}}} - \underline{\mathbf{C}}_{\vec{\mathbf{V}}, \vec{\mathbf{V}}}\|_{\text{F}} \geq \frac{n-1}{n+K_{\vec{\mathbf{V}}}^{-1}} \cdot s_R\right) = \\
 &= P\left(\|\hat{\mathbf{C}}_{\vec{\mathbf{V}}, \vec{\mathbf{V}}} - \underline{\mathbf{C}}_{\vec{\mathbf{V}}, \vec{\mathbf{V}}}\|_{\text{F}}^2 \geq \left(\frac{n-1}{n+K_{\vec{\mathbf{V}}}^{-1}} \cdot s_R\right)^2\right) \leq \\
 &\leq \left(\frac{n+K_{\vec{\mathbf{V}}}^{-1}}{(n-1) \cdot s_R}\right)^2 \cdot \mathbb{E}\left\{\|\hat{\mathbf{C}}_{\vec{\mathbf{V}}, \vec{\mathbf{V}}} - \underline{\mathbf{C}}_{\vec{\mathbf{V}}, \vec{\mathbf{V}}}\|_{\text{F}}^2\right\}
 \end{aligned}$$

für die Wahrscheinlichkeit, dass die Frobeniusnorm der Differenz der empirischen und der theoretischen Kovarianzmatrix oberhalb der zulässigen Schwelle liegt, die gleichzeitig eine obere Grenze für die Wahrscheinlichkeit ist, dass die Konditionszahl der empirischen Kovarianzmatrix höchstens n mal so groß ist, wie die Konditionszahl der theoretischen Kovarianzmatrix. Um diese Grenze angeben zu können, müssen wir den Erwartungswert des Quadrats der Frobeniusnorm der Differenz der empirischen und der theoretischen Kovarianzmatrix berechnen. Nach der Definition der Frobeniusnorm ergibt sich diese als die Wurzel aus der Summe der Betragsquadrate aller Matrixelemente. Der Erwartungswert des Quadrats der Frobeniusnorm ist daher die Summe der Erwartungswerte der Betragsquadrate aller zufälligen Elemente der Matrixdifferenz.

Mit $\vec{\mathbf{V}}_i$ sei die mathematische Stichprobe vom Umfang L der i -ten Zufallsgröße des Zufallsvektors $\vec{\mathbf{V}}$, also die i -te Zeile der Zufallsmatrix $\underline{\mathbf{V}}$ bezeichnet. Das Element in der i -ten Zeile und j -ten Spalte der empirischen Kovarianzmatrix ist

$$\hat{\mathbf{C}}_{\mathbf{V}_i, \mathbf{V}_j} = \frac{1}{L} \cdot \vec{\mathbf{V}}_i \cdot \vec{\mathbf{V}}_j^H. \quad \text{(A.30)}$$

Der Erwartungswert dieses Elements ist

$$\mathbb{E}\left\{\hat{\mathbf{C}}_{\mathbf{V}_i, \mathbf{V}_j}\right\} = \mathbb{E}\left\{\frac{1}{L} \cdot \vec{\mathbf{V}}_i \cdot \vec{\mathbf{V}}_j^H\right\} = \mathbb{E}\left\{\mathbf{V}_i \cdot \mathbf{V}_j^*\right\} = C_{\mathbf{V}_i, \mathbf{V}_j} \quad \text{(A.31)}$$

und somit gleich dem entsprechenden Element der theoretischen Kovarianzmatrix $\underline{\mathbf{C}}_{\vec{\mathbf{V}}, \vec{\mathbf{V}}}$. Die Varianz des Elements in der i -ten Zeile und j -ten Spalte der empirischen Kovarianzmatrix ist daher gleich dem Erwartungswert des Betragsquadrats des Elements in der i -ten Zeile und j -ten Spalte der Differenz der empirischen und der theoretischen Kovarianzmatrix. Die Varianz dieses Matrixelements berechnet sich zu

$$\mathbb{E}\left\{\left|\hat{\mathbf{C}}_{\mathbf{V}_i, \mathbf{V}_j} - \mathbb{E}\{\hat{\mathbf{C}}_{\mathbf{V}_i, \mathbf{V}_j}\}\right|^2\right\} = \mathbb{E}\left\{\left|\hat{\mathbf{C}}_{\mathbf{V}_i, \mathbf{V}_j} - C_{\mathbf{V}_i, \mathbf{V}_j}\right|^2\right\} =$$

$$\begin{aligned}
&= \mathbb{E} \left\{ \left| \frac{1}{L} \cdot \vec{V}_i \cdot \vec{V}_j^H - \mathbb{E} \{ \vec{V}_i \cdot \vec{V}_j^* \} \right|^2 \right\} = \mathbb{E} \left\{ \left| \frac{1}{L} \cdot \sum_{\lambda=1}^L \vec{V}_{i,\lambda} \cdot \vec{V}_{j,\lambda}^* - \mathbb{E} \{ \vec{V}_i \cdot \vec{V}_j^* \} \right|^2 \right\} = \\
&= \frac{1}{L^2} \cdot \sum_{\lambda_1=1}^L \sum_{\substack{\lambda_2=1 \\ \lambda_2 \neq \lambda_1}}^L \mathbb{E} \{ \vec{V}_{i,\lambda_1} \cdot \vec{V}_{j,\lambda_1}^* \} \cdot \mathbb{E} \{ \vec{V}_{i,\lambda_2}^* \cdot \vec{V}_{j,\lambda_2} \} + \frac{1}{L^2} \cdot \sum_{\lambda=1}^L \mathbb{E} \{ \vec{V}_{i,\lambda} \cdot \vec{V}_{j,\lambda}^* \cdot \vec{V}_{i,\lambda}^* \cdot \vec{V}_{j,\lambda} \} - \\
&\quad - \frac{1}{L} \cdot \sum_{\lambda=1}^L \mathbb{E} \{ \vec{V}_{i,\lambda} \cdot \vec{V}_{j,\lambda}^* \} \cdot \mathbb{E} \{ \vec{V}_i^* \cdot \vec{V}_j \} - \frac{1}{L} \cdot \sum_{\lambda=1}^L \mathbb{E} \{ \vec{V}_{i,\lambda}^* \cdot \vec{V}_{j,\lambda} \} \cdot \mathbb{E} \{ \vec{V}_i \cdot \vec{V}_j^* \} + \\
&\quad + \left| \mathbb{E} \{ \vec{V}_i \cdot \vec{V}_j^* \} \right|^2 = \frac{1}{L} \cdot \mathbb{E} \{ |\vec{V}_i|^2 \cdot |\vec{V}_j|^2 \} - \frac{1}{L} \cdot \left| \mathbb{E} \{ \vec{V}_i \cdot \vec{V}_j^* \} \right|^2 = \\
&= \frac{1}{L} \cdot \mathbb{E} \left\{ \left| \vec{V}_i \cdot \vec{V}_j^* - \mathbb{E} \{ \vec{V}_i \cdot \vec{V}_j^* \} \right|^2 \right\}. \tag{A.32}
\end{aligned}$$

Die Varianz der Elemente der empirischen Kovarianzmatrix nimmt also mit steigendem L mit α/L ab, wobei α eine positive Konstante ist, die nur von den zweiten und vierten Momenten der Zufallsgrößen des Vektors \vec{V} abhängt. Da die Summe der Varianzen aller Matrixelemente der Erwartungswert des Quadrats der Frobeniusnorm der Differenz der empirischen und der theoretischen Kovarianzmatrix ist, und die Dimension dieser Matrix mit $R \times R$ von L unabhängig ist, nimmt auch der Erwartungswert des Quadrats der Frobeniusnorm mindestens mit der Ordnung $1/L$ ab.

$$\mathbb{E} \{ \| \hat{C}_{\vec{V}, \vec{V}} - C_{\vec{V}, \vec{V}} \|_F^2 \} = \sum_{i=1}^L \sum_{j=1}^L \mathbb{E} \left\{ \left| \hat{C}_{\vec{V}_i, \vec{V}_j} - C_{\vec{V}_i, \vec{V}_j} \right|^2 \right\} \sim \frac{1}{L} \tag{A.33}$$

Setzt man dies in die Ungleichung (A.29) ein, so sieht man, dass auch die Wahrscheinlichkeit, eine Konditionszahl der empirischen Kovarianzmatrix zu erhalten, die mehr als n mal so groß ist wie die Konditionszahl der theoretischen Kovarianzmatrix, wenigstens mit $1/L$ abnimmt.

Es sei noch angemerkt, dass dies nur eine *obere Schranke* für die Wahrscheinlichkeit ist, dass die empirische Kovarianzmatrix eine mehr als n -fache Konditionszahl der theoretischen Kovarianzmatrix aufweist. Da dieser oberen Schranke eine Vielzahl von Ungleichungen zugrundeliegen, ist anzunehmen, dass die wahre Wahrscheinlichkeit, deren Berechnung — wenn überhaupt — nur bei Kenntnis der gemeinsamen Verbundverteilung aller Elemente des Zufallsvektors \vec{V} möglich wäre, wesentlich kleiner ist als die angegebene obere Schranke. Die hier gemachte Herleitung hat den Vorteil, dass keine Aussage über die genaue Verbundverteilung benötigt wird. Es genügt, wenn die theoretische Kovarianzmatrix gut konditioniert ist, um zu gewährleisten, dass auch die empirische Kovarianzmatrix mit großer Wahrscheinlichkeit brauchbar konditioniert ist, wenn man L nur groß genug wählt.

A.5 Zur Berechnung der Messwert(ko)varianzen

Bei der Herleitung der zweiten Momente der Messwerte $\hat{\Phi}_n(\mu)$ und $\hat{\Psi}_n(\mu)$ eines statio-nären Approximationsfehlerprozesses in Kapitel 3.6 treten immer wieder die Erwartungswerte der Produkte zweier zufälliger bilinearer Formen und eines zufälligen Faktors auf. Entsprechende Produkte finden sich auch in [6] bei der Berechnung der zweiten Momente der Messwerte $\hat{\Phi}_n(\mu, \mu + \tilde{\mu} \cdot \frac{M}{K_\Phi})$ und $\hat{\Psi}_n(\mu, \mu + \tilde{\mu} \cdot \frac{M}{K_\Phi})$ eines zyklostationären Approxima-tionsfehlerprozesses. Dabei sind sowohl die Elemente der zufälligen Matrizen der bilinearen Formen als auch der zufällige Faktor Funktionen, die nur von dem zufälligen Spektrum der Erregung abhängen. Die Vektoren der bilinearen Formen sind ebenfalls zufällig und hängen nur von den Spektralwerten des gefensterten Approximationsfehlerprozesses ab. Wegen der Gemeinsamkeit, die alle diese Erwartungswerte aufweisen, werde ich in diesem Unterkapitel die Erwartungswerte

$$E\left\{ \mathbf{c} \cdot \vec{\mathbf{N}}_1 \cdot \underline{\mathbf{A}} \cdot \vec{\mathbf{N}}_2^H \cdot \vec{\mathbf{N}}_3 \cdot \underline{\mathbf{B}} \cdot \vec{\mathbf{N}}_4^H \right\} \quad (A.34)$$

der Produkte zweier bilinearer Formen und eines zufälligen Faktors mit den allgemeineren Matrizen $\underline{\mathbf{A}}$ und $\underline{\mathbf{B}}$, dem allgemeineren Faktor \mathbf{c} und den allgemeineren Zufallsvektoren $\vec{\mathbf{N}}_1$, $\vec{\mathbf{N}}_2$, $\vec{\mathbf{N}}_3$ und $\vec{\mathbf{N}}_4$ berechnen, um so eine Vielzahl von Berechnungen mit den im Ein-zelfall verwendeten Matrizen, Faktoren und Vektoren zu vermeiden. Die Zufallsvektoren sind jedoch nicht beliebig wählbar. Es muss sich bei den L Spalten der Matrix, die die vier Zufallsvektoren $\vec{\mathbf{N}}_1$, $\vec{\mathbf{N}}_2$, $\vec{\mathbf{N}}_3$ und $\vec{\mathbf{N}}_4$ als Zeilenvektoren enthält, um die Elemente einer mathematischen Stichprobe vom Umfang L des Zufallsspaltenvektors $[\mathbf{N}_1, \mathbf{N}_2, \mathbf{N}_3, \mathbf{N}_4]^T$ handeln. Somit sind alle L Spaltenvektoren voneinander unabhängig und haben dieselbe Verbundverteilung, nämlich die Verbundverteilung des Zufallsspaltenvektors, aus dem die Stichprobe entnommen wurde. Die folgende Herleitung beschränkt sich auf den Fall, dass es sich bei dieser Verbundverteilung um eine mittelwertfreie Normalverteilung handelt. Wenn mit $\mathbf{N}_{i,\lambda}$ das λ -te Element des Stichprobenelements $\vec{\mathbf{N}}_i$ bezeichnet ist, gilt für die ersten und zweiten Momente somit

$$E\{\mathbf{N}_{i,\lambda}\} = E\{\mathbf{N}_i\} = 0 \quad \text{und} \quad (A.35)$$

$$E\{\mathbf{N}_{i,\lambda_1} \cdot \mathbf{N}_{j,\lambda_2}\} = \begin{cases} E\{\mathbf{N}_i \cdot \mathbf{N}_j\} & \text{für } \lambda_1 = \lambda_2 \\ E\{\mathbf{N}_i\} \cdot E\{\mathbf{N}_j\} & \text{für } \lambda_1 \neq \lambda_2 \end{cases} \quad (A.36)$$

$$\forall \quad i, j = 1 \ (1) \ 4; \quad \lambda, \lambda_1, \lambda_2 = 1 \ (1) \ L.$$

Entsprechendes gilt auch für konjugierte Stichprobenelemente bezüglich ihrer ersten und zweiten Momente und ihrer Unabhängigkeit. Es sei darauf hingewiesen, dass die hier

geforderte Unabhängigkeit für unterschiedliche Werte von λ *nicht* bedeutet, dass die Vektoren selbst voneinander unabhängig sein müssen. Diese können z. B. zueinander konjugiert oder sogar identisch sein. Auch für die höheren Momente kann man eine Faktorisierung durchführen. Wenn man den Erwartungswert eines Produktes bildet, deren Faktoren Stichprobenelemente teils mit gleichem und teils mit unterschiedlichem Index λ sind, so gruppierst man zunächst die Faktoren so um, dass man ein Produkt von Teilprodukten erhält, bei dem jedes Teilprodukt nur mehr Faktoren mit gleichem Index λ enthält, während die Indizes aller Teilprodukte jeweils unterschiedlich sind. Der Erwartungswert des gesamten Produktes ist dann das Produkt der Erwartungswerte der Teilprodukte. Bei den Erwartungswerten der Teilprodukte kann dann der Index weggelassen werden, weil das Teilprodukt als das Element mit der Nummer λ einer mathematischen Stichprobe vom Umfang L der Zufallsgröße angesehen werden kann, die das Produkt der an dem Teilprodukt beteiligten Zufallsgrößen ist. Es gilt also beispielsweise folgendes:

$$E\{\mathbf{N}_{1,2} \cdot \mathbf{N}_{1,3}^* \cdot \mathbf{N}_{4,2} \cdot \mathbf{N}_{4,3}\} = E\{\mathbf{N}_{1,2} \cdot \mathbf{N}_{4,2}\} \cdot E\{\mathbf{N}_{1,3}^* \cdot \mathbf{N}_{4,3}\} = E\{\mathbf{N}_1 \cdot \mathbf{N}_4\} \cdot E\{\mathbf{N}_1^* \cdot \mathbf{N}_4\}.$$

Damit die weitere Herleitung ihre Gültigkeit behält, müssen die Elemente der mit dem zufälligen Faktor \mathbf{c} multiplizierten Matrizen $\underline{\mathbf{A}}$ und $\underline{\mathbf{B}}$ von den Elementen der Stichprobenvektoren $\vec{\mathbf{N}}_1$, $\vec{\mathbf{N}}_2$, $\vec{\mathbf{N}}_3$ und $\vec{\mathbf{N}}_4$ unabhängig sein.

Das Produkt der bilinearen Formen in Gleichung (A.34) kann man als Vierfachsumme mit den Laufindizes $\lambda_1, \lambda_2, \lambda_3, \lambda_4 = 1(1)L$ schreiben, wobei die Laufindizes von links nach rechts den vier Zufallsvektoren der bilinearen Form zugeordnet werden. Der Faktor $\hat{\mathbf{c}}$ kann in die Vierfachsumme gezogen werden. Der Erwartungswert dieser Summe ist die Summe der Erwartungswerte der einzelnen Summanden.

$$\sum_{\lambda_1=1}^L \sum_{\lambda_2=1}^L \sum_{\lambda_3=1}^L \sum_{\lambda_4=1}^L E\{\mathbf{N}_{1,\lambda_1} \cdot \mathbf{N}_{2,\lambda_2}^* \cdot \mathbf{N}_{3,\lambda_3} \cdot \mathbf{N}_{4,\lambda_4}^* \cdot \mathbf{c} \cdot \underline{\mathbf{A}}_{\lambda_1,\lambda_2} \cdot \underline{\mathbf{B}}_{\lambda_3,\lambda_4}\} \quad (A.37)$$

Jeder Summand dieser Vierfachsumme besteht aus einem Produkt von sieben Faktoren. Dies sind zum einen je ein Element jedes der vier beteiligten Zufallsvektoren und zum anderen je ein Element jeder der zwei zufälligen Matrizen und der Faktor \mathbf{c} . $\underline{\mathbf{A}}_{\lambda_1,\lambda_2}$ ist dabei das zufällige Element der Matrix $\underline{\mathbf{A}}$ in der Zeile λ_1 und in der Spalte λ_2 . Entsprechendes gilt für $\underline{\mathbf{B}}_{\lambda_3,\lambda_4}$. Unter der obengenannten Voraussetzung, kann man den Erwartungswert jedes Produktes der sieben Faktoren als das Produkt von je zwei Erwartungswerten schreiben. Dabei ist der eine Faktor der Erwartungswert des Produkts der vier Elemente der Zufallsvektoren, während der andere Faktor der Erwartungswert des Produkts der zwei zufälligen Matrixelemente und des zufälligen Faktors \mathbf{c} ist.

$$\sum_{\lambda_1=1}^L \sum_{\lambda_2=1}^L \sum_{\lambda_3=1}^L \sum_{\lambda_4=1}^L E\{\mathbf{N}_{1,\lambda_1} \cdot \mathbf{N}_{2,\lambda_2}^* \cdot \mathbf{N}_{3,\lambda_3} \cdot \mathbf{N}_{4,\lambda_4}^*\} \cdot E\{\mathbf{c} \cdot \underline{\mathbf{A}}_{\lambda_1,\lambda_2} \cdot \underline{\mathbf{B}}_{\lambda_3,\lambda_4}\} \quad (A.38)$$

Zeile	Bedingung für die Indizes	gemeinsamer Faktor
1	$\lambda_1 = \lambda_2 = \lambda_3 = \lambda_4$	$E\{\mathbf{N}_1 \cdot \mathbf{N}_2^* \cdot \mathbf{N}_3 \cdot \mathbf{N}_4^*\}$
2	$\lambda_1 \neq \lambda_2 = \lambda_3 = \lambda_4$	$E\{\mathbf{N}_1\} \cdot E\{\mathbf{N}_2^* \cdot \mathbf{N}_3 \cdot \mathbf{N}_4^*\}$
3	$\lambda_2 \neq \lambda_1 = \lambda_3 = \lambda_4$	$E\{\mathbf{N}_2\}^* \cdot E\{\mathbf{N}_1 \cdot \mathbf{N}_3 \cdot \mathbf{N}_4^*\}$
4	$\lambda_3 \neq \lambda_1 = \lambda_2 = \lambda_4$	$E\{\mathbf{N}_3\} \cdot E\{\mathbf{N}_1 \cdot \mathbf{N}_2^* \cdot \mathbf{N}_4^*\}$
5	$\lambda_4 \neq \lambda_1 = \lambda_2 = \lambda_3$	$E\{\mathbf{N}_4\}^* \cdot E\{\mathbf{N}_1 \cdot \mathbf{N}_2^* \cdot \mathbf{N}_3\}$
6	$\lambda_1 = \lambda_2 \neq \lambda_3 = \lambda_4$	$E\{\mathbf{N}_1 \cdot \mathbf{N}_2^*\} \cdot E\{\mathbf{N}_3 \cdot \mathbf{N}_4^*\}$
7	$\lambda_1 = \lambda_3 \neq \lambda_2 = \lambda_4$	$E\{\mathbf{N}_1 \cdot \mathbf{N}_3\} \cdot E\{\mathbf{N}_2 \cdot \mathbf{N}_4\}^*$
8	$\lambda_1 = \lambda_4 \neq \lambda_2 = \lambda_3$	$E\{\mathbf{N}_1 \cdot \mathbf{N}_4^*\} \cdot E\{\mathbf{N}_2 \cdot \mathbf{N}_3\}^*$
9	$\lambda_1 = \lambda_2 \neq \lambda_3 \neq \lambda_4 \neq \lambda_1$	$E\{\mathbf{N}_3\} \cdot E\{\mathbf{N}_4\}^* \cdot E\{\mathbf{N}_1 \cdot \mathbf{N}_2^*\}$
10	$\lambda_1 = \lambda_3 \neq \lambda_2 \neq \lambda_4 \neq \lambda_1$	$E\{\mathbf{N}_2\}^* \cdot E\{\mathbf{N}_4\}^* \cdot E\{\mathbf{N}_1 \cdot \mathbf{N}_3\}$
11	$\lambda_1 = \lambda_4 \neq \lambda_2 \neq \lambda_3 \neq \lambda_1$	$E\{\mathbf{N}_2\}^* \cdot E\{\mathbf{N}_3\} \cdot E\{\mathbf{N}_1 \cdot \mathbf{N}_4^*\}$
12	$\lambda_2 = \lambda_3 \neq \lambda_1 \neq \lambda_4 \neq \lambda_2$	$E\{\mathbf{N}_1\} \cdot E\{\mathbf{N}_4\}^* \cdot E\{\mathbf{N}_2 \cdot \mathbf{N}_3\}^*$
13	$\lambda_2 = \lambda_4 \neq \lambda_1 \neq \lambda_3 \neq \lambda_2$	$E\{\mathbf{N}_1\} \cdot E\{\mathbf{N}_3\} \cdot E\{\mathbf{N}_2 \cdot \mathbf{N}_4\}^*$
14	$\lambda_3 = \lambda_4 \neq \lambda_1 \neq \lambda_2 \neq \lambda_3$	$E\{\mathbf{N}_1\} \cdot E\{\mathbf{N}_2\}^* \cdot E\{\mathbf{N}_3 \cdot \mathbf{N}_4^*\}$
15	$\lambda_1 \neq \lambda_2 \neq \lambda_3 \neq \lambda_4 \neq \lambda_1 \neq \lambda_3 \neq \lambda_2 \neq \lambda_4$	$E\{\mathbf{N}_1\} \cdot E\{\mathbf{N}_2\}^* \cdot E\{\mathbf{N}_3\} \cdot E\{\mathbf{N}_4\}^*$

Tabelle A.1: Aufspaltung der Vierfachsumme des Produktes zweier bilinearer Formen nach Gleichung (A.38).

Nun fasst man die Summanden der Vierfachsumme zu disjunkten Gruppen zusammen, deren Indizes den Bedingungen genügen, die in der Tabelle A.1 aufgelistet sind. Wenn man berücksichtigt, dass die einzelnen Messungen mit unterschiedlichem Index unabhängig sind, und dass die einzelnen Elemente der Stichproben die gleichen Erwartungswerte besitzen, wie die entsprechenden Zufallsgrößen, aus denen die Stichproben entnommen wurden, kann man aus jeder dieser Teilsummen einen gemeinsamen Faktor ausklammern. Auch diese Faktoren sind in der Tabelle A.1 für alle Teilsummen zusammengestellt. Da die gemeinsamen Faktoren der Teilsummen der Zeilen zwei bis fünf sowie neun bis 15 jeweils den Erwartungswert einer einzelnen Zufallsgröße wenigstens einmal als Faktor enthalten, und da dieser aufgrund der vorausgesetzten Mittelwertfreiheit der Zufallsgrößen \mathbf{N}_1 , \mathbf{N}_2 ,

\mathbf{N}_3 und \mathbf{N}_4 immer Null ist, liefern die Teilsummen dieser Zeilen keinen Beitrag zur gesamten Vierfachsumme A.38. Die einzigen Teilsummen, die einen Beitrag liefern, sind die Teilsummen in den Zeilen eins, sechs, sieben und acht der Tabelle A.1. In Zeile eins ergibt sich die \mathbf{c} -fache Einfachsumme der Produkte der Hauptdiagonalelemente der Matrix $\underline{\mathbf{A}}$ und der Hauptdiagonalelemente der Matrix $\underline{\mathbf{B}}$. Diese Summe sei im weiteren mit

$$\mathbf{S} = \mathbf{c} \cdot \sum_{\lambda=1}^L \underline{\mathbf{A}}_{\lambda,\lambda} \cdot \underline{\mathbf{B}}_{\lambda,\lambda} \quad (\text{A.39})$$

bezeichnet. Bei den Doppelsummen der Zeilen sechs, sieben und acht ergänzt man nun diese Summe \mathbf{S} einmal mit positivem und einmal mit negativem Vorzeichen, und berechnet die mit dem positiven Vorzeichen ergänzte Doppelsumme entweder als Produkt der beiden Matrixspuren oder als Spur eines Matrixproduktes. Man erhält so die Werte der verbleibenden Teilsummen, über die der Erwartungswert zu bilden ist.

Zeile	Wert der Teilsumme	
1	\mathbf{S}	
6	$\mathbf{c} \cdot \text{spur}(\underline{\mathbf{A}}) \cdot \text{spur}(\underline{\mathbf{B}}) - \mathbf{S}$	(A.40)
7	$\mathbf{c} \cdot \text{spur}(\underline{\mathbf{A}}^T \cdot \underline{\mathbf{B}}) - \mathbf{S}$	
8	$\mathbf{c} \cdot \text{spur}(\underline{\mathbf{A}} \cdot \underline{\mathbf{B}}) - \mathbf{S}$	

Die Einfachsumme, die der ersten Zeile der Tabelle A.1 entspricht, enthält als gemeinsamen Faktor eines der vierten Momente der vier beteiligten Zufallsgrößen. Im Kapitel A.6 des Anhangs wird gezeigt, dass sich dieses vierte Moment im Fall, dass die gemeinsame Verbundverteilung der daran beteiligten Zufallsgrößen eine Normalverteilung ist, durch einen Teil ihrer zweiten Momente ausdrücken lässt:

$$\begin{aligned} \text{E}\{\mathbf{N}_1 \cdot \mathbf{N}_2^* \cdot \mathbf{N}_3 \cdot \mathbf{N}_4^*\} &= \text{E}\{\mathbf{N}_1 \cdot \mathbf{N}_2^*\} \cdot \text{E}\{\mathbf{N}_3 \cdot \mathbf{N}_4^*\} + \\ &+ \text{E}\{\mathbf{N}_1 \cdot \mathbf{N}_3\} \cdot \text{E}\{\mathbf{N}_2 \cdot \mathbf{N}_4\}^* + \\ &+ \text{E}\{\mathbf{N}_1 \cdot \mathbf{N}_4^*\} \cdot \text{E}\{\mathbf{N}_2 \cdot \mathbf{N}_3\}^*. \end{aligned} \quad (\text{A.41})$$

Dabei spielt es keine Rolle, ob einige der Zufallsgrößen \mathbf{N}_1 , \mathbf{N}_2 , \mathbf{N}_3 und \mathbf{N}_4 zueinander konjugiert oder sogar identisch sind, weil sie im Hauptteil dieser Abhandlung demselben Spektralwert des gefensterten Approximationsfehlerprozesses zugeordnet sind. Vergleicht man diese zweiten Momente mit den Momenten in den Zeilen sechs, sieben und acht der Tabelle A.1, so stellt man fest, dass sich die Einfachsumme in Zeile eins mit den Anteilen der Teilsummen der Zeilen sechs, sieben und acht, die die Einfachsumme $-\mathbf{S}$ als Faktor

aufweisen, gerade aufheben. Man erhält daher als Erwartungswert der gesamten bilinearen Form:

$$\begin{aligned} E\left\{ \mathbf{c} \cdot \vec{\mathbf{N}}_1 \cdot \underline{\mathbf{A}} \cdot \vec{\mathbf{N}}_2^H \cdot \vec{\mathbf{N}}_3 \cdot \underline{\mathbf{B}} \cdot \vec{\mathbf{N}}_4^H \right\} &= \\ &= E\left\{ \mathbf{c} \cdot \text{spur}(\underline{\mathbf{A}}) \cdot \text{spur}(\underline{\mathbf{B}}) \right\} \cdot E\{\mathbf{N}_1 \cdot \mathbf{N}_2^*\} \cdot E\{\mathbf{N}_3 \cdot \mathbf{N}_4^*\} + \\ &\quad + E\left\{ \mathbf{c} \cdot \text{spur}(\underline{\mathbf{A}}^T \cdot \underline{\mathbf{B}}) \right\} \cdot E\{\mathbf{N}_1 \cdot \mathbf{N}_3\} \cdot E\{\mathbf{N}_2 \cdot \mathbf{N}_4\}^* + \\ &\quad + E\left\{ \mathbf{c} \cdot \text{spur}(\underline{\mathbf{A}} \cdot \underline{\mathbf{B}}) \right\} \cdot E\{\mathbf{N}_1 \cdot \mathbf{N}_4^*\} \cdot E\{\mathbf{N}_2 \cdot \mathbf{N}_3\}^*. \end{aligned} \quad (A.42)$$

Zur Berechnung der zweiten Momente der Messwerte braucht man in diese Gleichung nur mehr den entsprechenden Faktor \mathbf{c} und die Matrizen $\underline{\mathbf{A}}$ und $\underline{\mathbf{B}}$, und für die vom Approximationsfehler abhängigen Erwartungswerte die theoretischen Größen $\tilde{\Phi}_n(\mu)$ bzw. $\tilde{\Psi}_n(\mu)$ einzusetzen.

A.6 Vierte Momente eines komplexen mehrdimensionalen Gaußprozesses

Die charakteristische Funktion eines reellen Zufallsspaltenvektors $\vec{\mathbf{n}}$ der Dimension $2 \cdot R$ ist allgemein der Erwartungswert der skalaren Größe $e^{j \cdot \vec{s} \cdot \vec{\mathbf{n}}}$ und ist somit eine Funktion (komplex und skalar), die von dem reellen Zeilenvektor \vec{s} abhängt, der genauso-viele Elemente aufweist wie der Zufallsvektor $\vec{\mathbf{n}}$. Im Fall eines reellen $2 \cdot R$ -dimensionalen, mittelwertfreien und normalverteilten Zufallsvektors $\vec{\mathbf{n}}$ ergibt sich nach [9] die über dem gesamten $2 \cdot R$ -dimensionalen Raum $\vec{s} \in \mathbb{R}^{2 \cdot R}$ definierte charakteristische Funktion:

$$E\{e^{j \cdot \vec{s} \cdot \vec{\mathbf{n}}}\} = e^{-\frac{1}{2} \cdot \vec{s} \cdot \underline{C}_{\vec{\mathbf{n}}, \vec{\mathbf{n}}} \cdot \vec{s}^T}. \quad (A.43)$$

Dabei ist $\underline{C}_{\vec{\mathbf{n}}, \vec{\mathbf{n}}}$ die symmetrische, reelle Kovarianzmatrix

$$\underline{C}_{\vec{\mathbf{n}}, \vec{\mathbf{n}}} = E\{ \vec{\mathbf{n}} \cdot \vec{\mathbf{n}}^T \}. \quad (A.44)$$

Bei einem mehrdimensionalen, reellen und normalverteilten Zufallsvektor existiert die charakteristische Funktion immer, auch wenn zwischen den Elementen des Zufallsvektors lineare Abhängigkeiten existieren, so dass die Zahl der reellen Freiheitsgrade kleiner als $2 \cdot R$ ist. Im Fall linearer Abhängigkeit der beteiligten Zufallsgrößen existiert die Verbundverteilungsdichtefunktion des Zufallsvektors — zumindest im klassischen Sinne — nicht. Dennoch existiert die charakteristische Funktion. Sie wird dann entweder durch Integration im Stieltjesschen Sinne aus der Verbundverteilung berechnet, oder nach Elimination der linear abhängigen Variablen durch Integration einer Verbundverteilungsdichtefunktion geringerer Dimension im Riemannschen Sinne.

Der Zufallsvektor $\tilde{\mathbf{n}}$ kann als ein komplexer Zufallsvektor betrachtet werden, der mit der Wahrscheinlichkeit Eins in dem Gebiet der reellen Vektoren des komplexen linearen Vektorraums $\mathbb{C}^{2 \cdot R}$ liegt. Es sei darauf hingewiesen, dass das Gebiet der reellen Vektoren kein linearer Unterraum ist, da z. B. die Multiplikation eines reellen Vektors mit der Konstanten j einen rein imaginären Vektor liefert, der nicht im Gebiet der reellen Vektoren liegt, so dass die Abgeschlossenheit nicht gegeben ist. Nun bilden wir den komplexen Zufallsvektor

$$\mathbf{n} = \underline{T} \cdot \tilde{\mathbf{n}}, \quad (\text{A.45})$$

den wir durch eine lineare Abbildung mit der bis auf den konstanten Faktor $\sqrt{2}$ unitären Matrix

$$\underline{T} = \begin{bmatrix} \underline{E} & j \cdot \underline{E} \\ \underline{E} & -j \cdot \underline{E} \end{bmatrix} \quad (\text{A.46})$$

aus dem reellen Zufallsspaltenvektor $\tilde{\mathbf{n}}$ erhalten. Dabei ist die Matrix \underline{E} die Einheitsmatrix der Dimension $R \times R$. Diese eineindeutige lineare Abbildung, erzeugt uns einen komplexen $2 \cdot R$ -dimensionalen, mittelwertfreien und normalverteilten Zufallsspaltenvektor, der in den zweiten R Zeilen genau die konjugierten Elemente der ersten R Zeilen enthält. Der Zufallsvektor \mathbf{n} liegt mit der Wahrscheinlichkeit Eins in dem Gebiet des $\mathbb{C}^{2 \cdot R}$, das durch die Umkehrabbildung

$$\tilde{\mathbf{n}} = \frac{1}{2} \cdot \underline{T}^H \cdot \mathbf{n} \quad (\text{A.47})$$

auf das Gebiet der reellen Vektoren abgebildet wird. Mit dem R -dimensionalen komplexen Zufallsspaltenvektor

$$\tilde{\mathbf{N}} = [\underline{E}, j \cdot \underline{E}] \cdot \tilde{\mathbf{n}}, \quad (\text{A.48})$$

der im gesamten Vektorraum \mathbb{C}^R definiert ist, kann man auch

$$\mathbf{n} = \begin{bmatrix} \tilde{\mathbf{N}} \\ \tilde{\mathbf{N}}^* \end{bmatrix} \quad (\text{A.49})$$

schreiben. Ersetzen wir den Vektor $\tilde{\mathbf{n}}$, so ergibt sich für die symmetrische, reelle Kovarianzmatrix

$$C_{\tilde{\mathbf{n}}, \tilde{\mathbf{n}}} = \mathbb{E}\{\tilde{\mathbf{n}} \cdot \tilde{\mathbf{n}}^T\} = \mathbb{E}\{\tilde{\mathbf{n}} \cdot \tilde{\mathbf{n}}^H\} = \mathbb{E}\left\{\frac{1}{2} \cdot \underline{T}^H \cdot \mathbf{n} \cdot \mathbf{n}^H \cdot \underline{T} \cdot \frac{1}{2}\right\} = \frac{1}{4} \cdot \underline{T}^H \cdot \mathbb{E}\{\mathbf{n} \cdot \mathbf{n}^H\} \cdot \underline{T}. \quad (\text{A.50})$$

Sie lässt sich durch eine unitäre kongruente Ähnlichkeitstransformation einer Matrix berechnen, die sich aus vier $R \times R$ Blöcken zusammensetzt. Die vier Blöcke sind dabei die beiden Kovarianzmatrizen $\mathbb{E}\{\tilde{\mathbf{N}} \cdot \tilde{\mathbf{N}}^H\}$ und $\mathbb{E}\{\tilde{\mathbf{N}} \cdot \tilde{\mathbf{N}}^T\}$ des R -dimensionalen komplexen Zufallsvektors $\tilde{\mathbf{N}}$ und deren Konjugierte. Setzen wir die Matrix nach Gleichung (A.50) in die charakteristische Funktion nach Gleichung (A.43) ein, so erhalten wir mit

$$\mathbb{E}\{e^{j \cdot \tilde{\mathbf{s}} \cdot \tilde{\mathbf{n}}}\} = \mathbb{E}\{e^{\frac{j}{2} \cdot \tilde{\mathbf{s}} \cdot \underline{T}^H \cdot \mathbf{n}}\} = e^{-\frac{1}{2} \cdot \tilde{\mathbf{s}} \cdot C_{\tilde{\mathbf{n}}, \tilde{\mathbf{n}}} \cdot \tilde{\mathbf{s}}^T} = e^{-\frac{1}{2} \cdot \tilde{\mathbf{s}} \cdot \underline{T} \cdot \mathbf{n} \cdot \mathbf{n}^H \cdot \underline{T} \cdot \tilde{\mathbf{s}}^H} = e^{-\frac{1}{8} \cdot \tilde{\mathbf{s}} \cdot \underline{T}^H \cdot \mathbb{E}\{\mathbf{n} \cdot \mathbf{n}^H\} \cdot \underline{T} \cdot \tilde{\mathbf{s}}^H} \quad (\text{A.51})$$

eine Funktion der Variablen des reellen Vektors \vec{s} . Wir können die charakteristische Funktion auch als eine Funktion von $2 \cdot R$ komplexen Variablen, den Elementen eines komplexen Vektors, auffassen, wobei der Definitionsbereich der Funktion gleich dem Gebiet der reellen Vektoren ist. Mit den linear abgebildeten Vektoren

$$\vec{s} = \vec{s} \cdot \underline{T}^H \quad (A.52)$$

erhalten wir die charakteristische Funktion

$$E\{e^{\frac{j}{2}\vec{s} \cdot \vec{n}}\} = e^{-\frac{1}{8}\vec{s} \cdot E\{\vec{n} \cdot \vec{n}^H\} \cdot \vec{s}^H}, \quad (A.53)$$

die in dem Gebiet definiert ist, das durch die Abbildung aus dem Gebiet der reellen Vektoren hervorgeht. Die auf beiden Seiten der Gleichung auftretende Exponentialfunktion lässt sich im gesamten Vektorraum $\mathbb{C}^{2 \cdot R}$ — also auch im Gebiet der reellen Vektoren — in eine Reihe entwickeln. Die Erwartungswertbildung ziehen wir in die so entstandene Summe hinein.

$$\sum_{\nu=0}^{\infty} \frac{j^{\nu}}{2^{\nu} \cdot \nu!} \cdot E\{(\vec{s} \cdot \vec{n})^{\nu}\} = \sum_{\nu=0}^{\infty} \frac{(-1)^{\nu}}{8^{\nu} \cdot \nu!} \cdot \left(\vec{s} \cdot E\{\vec{n} \cdot \vec{n}^H\} \cdot \vec{s}^H \right)^{\nu} \quad (A.54)$$

Nun führen wir einen Koeffizientenvergleich bei dem Term vierter Ordnung in \vec{s} durch. Dazu nehmen wir bei der Summe auf der linken Seite der Gleichung den Summanden mit dem Index $\nu = 4$ und bei der Summe auf der rechten Seite der Gleichung den Summanden mit dem Index $\nu = 2$. Man erhält so bei dem Term vierter Ordnung in \vec{s} :

$$E\{(\vec{s} \cdot \vec{n})^4\} = 3 \cdot \left(\vec{s} \cdot E\{\vec{n} \cdot \vec{n}^H\} \cdot \vec{s}^H \right)^2 \quad (A.55)$$

In dem untersuchten Gebiet mit $\vec{s} \cdot \underline{T} \in \mathbb{R}^{2 \cdot R}$ des $\mathbb{C}^{2 \cdot R}$ gilt

$$\vec{n}^H \cdot \vec{s}^H = \vec{n}^H \underline{T}^H \cdot \underline{T} \cdot \vec{s}^H = 2 \cdot \vec{n}^H \vec{s}^H = 2 \cdot \vec{n}^T \cdot \vec{s}^T = 2 \cdot \frac{1}{2} \cdot \vec{n}^T \cdot \underline{T}^* \cdot \frac{1}{2} \cdot \underline{T}^T \cdot \vec{s}^T = \vec{n}^T \cdot \vec{s}^T, \quad (A.56)$$

so dass wir für Gleichung (A.55) auch

$$E\{(\vec{s} \cdot \vec{n} \cdot \vec{n}^T \cdot \vec{s}^T)^2\} = 3 \cdot \left(\vec{s} \cdot E\{\vec{n} \cdot \vec{n}^T\} \cdot \vec{s}^T \right)^2 \quad (A.57)$$

schreiben können. Jede der in dieser Gleichung auftretenden bilinearen Formen lässt sich als Doppelsumme schreiben. Da jeweils das Produkt zweier bilinearer Formen gebildet wird, erhält man schließlich zwei Vierfachsummen. Die Erwartungswertbildung über die Vierfachsumme, die auf der linken Seite der Gleichung steht, kann mit der Summation vertauscht werden. Ebenso kann das Produkt der Elemente des Vektors \vec{s} aus der Erwartungswertbildung herausgezogen werden, da es sich dabei nicht um Zufallsgrößen, sondern um die unabhängigen Variablen der charakteristischen Funktion handelt. Es seien die

Indizes der vier Einzelsummen mit i, j, k und l bezeichnet. Man erhält so

$$\begin{aligned} & \sum_{i=1}^{2R} \sum_{j=1}^{2R} \sum_{k=1}^{2R} \sum_{l=1}^{2R} E\{ \mathbf{n}_i \cdot \mathbf{n}_j \cdot \mathbf{n}_k \cdot \mathbf{n}_l \} \cdot s_i \cdot s_j \cdot s_k \cdot s_l = \\ & = 3 \cdot \sum_{i=1}^{2R} \sum_{j=1}^{2R} \sum_{k=1}^{2R} \sum_{l=1}^{2R} E\{ \mathbf{n}_i \cdot \mathbf{n}_j \} \cdot E\{ \mathbf{n}_k \cdot \mathbf{n}_l \} \cdot s_i \cdot s_j \cdot s_k \cdot s_l \end{aligned} \quad (A.58)$$

Dabei sei s_i das i -te Element des Vektors \vec{s} und \mathbf{n}_i die i -te Zufallsgröße des Zufallsvektors \vec{n} . Bei den Vierfachsummen müssen nun alle Summanden, die zu derselben Kombination der Elemente von \vec{s} führen, addiert, und deren Koeffizienten verglichen werden. Dies sei bei der Vierfachsumme auf der rechten Seite der Gleichung (A.58) am Beispiel des Summanden mit dem Indexquadrupel $i=1 \wedge j=2 \wedge k=3 \wedge l=4$ erläutert. Für diesen erhält man den Ausdruck

$$E\{ \mathbf{n}_1 \cdot \mathbf{n}_2 \} \cdot E\{ \mathbf{n}_3 \cdot \mathbf{n}_4 \} \cdot s_1 \cdot s_2 \cdot s_3 \cdot s_4,$$

der dieselbe Kombination der Elemente des Vektors \vec{s} aufweist, wie der Summand mit dem Indexquadrupel $i=3 \wedge j=2 \wedge k=1 \wedge l=4$, für den sich

$$E\{ \mathbf{n}_3 \cdot \mathbf{n}_2 \} \cdot E\{ \mathbf{n}_1 \cdot \mathbf{n}_4 \} \cdot s_3 \cdot s_2 \cdot s_1 \cdot s_4,$$

ergibt. Da jedoch die Erwartungswerte, deren Produkte als Koeffizienten vor gleichen Produkten in s auftreten, bei der Vierfachsumme auf der rechten Seite der Gleichung (A.58) i. Allg. — wie auch in unserem Beispiel — verschieden sind, müssen vor dem Koeffizientenvergleich alle möglichen Permutationen der Indizes, die zu gleichen Produkten in s führen, addiert werden. Da die Anzahl dieser Permutationen, die sich mit Hilfe der Polynomkoeffizienten berechnen lässt, davon abhängt, ob paarweise gleiche Indizes auftreten, oder nicht, wird dieses Verfahren wegen der dann notwendigen Fallunterscheidung recht unübersichtlich. Die Fallunterscheidungen kann man jedoch umgehen. Dazu schreibt man sich die Gleichung (A.58) $4!=24$ mal untereinander. Jede dieser Gleichungen enthält wieder zwei Vierfachsummen. Bei der Zuteilung der Indizes i, j, k und l zu den einzelnen Summen (z. B. k sei der Index der äußersten Summe und i der der innersten Summe etc.) wählt man bei jeder der Gleichungen und bei jeder der Vierfachsummen jeweils eine andere Permutation. Als Permutationen wählt man dabei jeweils alle $4!$ möglichen verschiedenen Permutationen, die alle das Produkt $s_i \cdot s_j \cdot s_k \cdot s_l$ ergeben. Beispielsweise ergäbe sich bei der ersten Gleichung mit der Permutation $ikjl$ auf der rechten Seite die Summe

$$\sum_{i=1}^{2R} \sum_{k=1}^{2R} \sum_{j=1}^{2R} \sum_{l=1}^{2R} E\{ \mathbf{n}_i \cdot \mathbf{n}_k \} \cdot E\{ \mathbf{n}_j \cdot \mathbf{n}_l \} \cdot s_i \cdot s_k \cdot s_j \cdot s_l$$

die sich durch Vertauschung der Reihenfolge der Summation und der Faktoren der Produkte auch als

$$\sum_{i=1}^{2R} \sum_{j=1}^{2R} \sum_{k=1}^{2R} \sum_{l=1}^{2R} E\{\mathbf{n}_i \cdot \mathbf{n}_k\} \cdot E\{\mathbf{n}_j \cdot \mathbf{n}_l\} \cdot s_i \cdot s_j \cdot s_k \cdot s_l$$

schreiben lässt. Bei der Vierfachsumme auf der linken Seite der Gleichung (A.58), bewirkt die Vertauschung der Indizes von i, j, k und l keine Änderung des Erwartungswertes, da eine Vertauschung der Reihenfolge der Faktoren innerhalb der Erwartungswertbildung die Permutationen wieder ineinander überführt. Vertauscht man auch auf den linken Seiten aller $4!$ Gleichungen die Reihenfolge der Summation in der Art, dass die Summenzeichen wieder in der Reihenfolge i, j, k, l stehen, so erkennt man, dass man auf den linken Seiten immer exakt dasselbe stehen hat. Bei der Vierfachsumme auf der rechten Seite lassen sich von den 24 Gleichungen jeweils acht Gleichungen durch Vertauschung der Reihenfolge der Faktoren innerhalb der Erwartungswertbildungen sowie durch Vertauschung der Reihenfolge der Erwartungswerte ineinander überführen. Es entstehen so acht Gleichungen mit den Erwartungswertprodukten $E\{\mathbf{n}_i \cdot \mathbf{n}_j\} \cdot E\{\mathbf{n}_k \cdot \mathbf{n}_l\}$, acht Gleichungen mit $E\{\mathbf{n}_i \cdot \mathbf{n}_k\} \cdot E\{\mathbf{n}_j \cdot \mathbf{n}_l\}$ und weitere acht Gleichungen mit $E\{\mathbf{n}_i \cdot \mathbf{n}_l\} \cdot E\{\mathbf{n}_j \cdot \mathbf{n}_k\}$. Nun werden die 24 Gleichungen addiert. Da alle Gleichungen lediglich unterschiedliche Darstellungen derselben Gleichung (A.58) sind, entspricht das der Multiplikation der Gleichung (A.58) mit dem Faktor 24 und damit einer äquivalenten Umformung. Beachtet man, dass vor der Vierfachsumme auf der rechten Seite der Faktor 3 steht, so erkennt man, dass sich der Faktor 24 kürzen lässt und man somit die Gleichung

$$\begin{aligned} & \sum_{i=1}^{2R} \sum_{j=1}^{2R} \sum_{k=1}^{2R} \sum_{l=1}^{2R} E\{\mathbf{n}_i \cdot \mathbf{n}_j \cdot \mathbf{n}_k \cdot \mathbf{n}_l\} \cdot s_i \cdot s_j \cdot s_k \cdot s_l = \\ & = \sum_{i=1}^{2R} \sum_{j=1}^{2R} \sum_{k=1}^{2R} \sum_{l=1}^{2R} \left(E\{\mathbf{n}_i \cdot \mathbf{n}_j\} E\{\mathbf{n}_k \cdot \mathbf{n}_l\} + E\{\mathbf{n}_i \cdot \mathbf{n}_k\} E\{\mathbf{n}_j \cdot \mathbf{n}_l\} + E\{\mathbf{n}_i \cdot \mathbf{n}_l\} E\{\mathbf{n}_j \cdot \mathbf{n}_k\} \right) \cdot s_i \cdot s_j \cdot s_k \cdot s_l \end{aligned} \quad (\text{A.59})$$

erhält. In dieser Gleichung kann nun jede beliebige Permutation eines Indexquadrupels eingesetzt werden, ohne dass sich dadurch der Koeffizient vor dem Produkt der Elemente des Vektors \vec{s} verändert. Unabhängig davon, wieviele Permutationen für ein konkretes Indexquadrupel existieren⁴, ist deren Anzahl auf beiden Seiten der Gleichung immer gleich. Ein Koeffizientenvergleich für ein konkretes Indexquadrupel liefert daher immer auf beiden Seiten der Gleichung denselben konstanten Faktor, nämlich den Polynomalkoeffizienten dieser Anzahl der Summanden. Da dieser Faktor aber auf beiden Seiten der Gleichung steht, kann er immer gekürzt werden. Es genügt daher, sich aus allen möglichen Permutationen eines Indexquadrupels, die zu derselben Kombination der Elemente von \vec{s} führen,

⁴Beispielsweise gibt es nur einen Summanden mit s_2^4 , aber vier Summanden mit $s_1^3 \cdot s_3$

einen beliebigen herauszugreifen, und damit einen Koeffizientenvergleich durchzuführen. Da dies gerade die einzelnen Summanden der letzten Gleichung sind, kann der Koeffizientenvergleich mit jedem einzelnen Summanden der letzten Gleichung getrennt durchgeführt werden. Man erhält daher:

$$E\{\mathbf{n}_i \cdot \mathbf{n}_j \cdot \mathbf{n}_k \cdot \mathbf{n}_l\} = E\{\mathbf{n}_i \cdot \mathbf{n}_j\} \cdot E\{\mathbf{n}_k \cdot \mathbf{n}_l\} + E\{\mathbf{n}_i \cdot \mathbf{n}_k\} \cdot E\{\mathbf{n}_j \cdot \mathbf{n}_l\} + E\{\mathbf{n}_i \cdot \mathbf{n}_l\} \cdot E\{\mathbf{n}_j \cdot \mathbf{n}_k\}. \quad (\text{A.60})$$

Damit ist das vierte Moment des $2 \cdot R$ -dimensionalen, komplexen, mittelwertfreien und normalverteilten Zufallsvektors $\vec{\mathbf{n}}$, der alle vier beteiligten Zufallsgrößen unkonjugiert enthält, auf die zweiten Momente zurückgeführt. Voraussetzung bei dieser Herleitung war, dass der komplexe Zufallsvektor $\vec{\mathbf{n}}$ mit der Wahrscheinlichkeit Eins in dem Gebiet des $\mathbb{C}^{2 \cdot R}$ liegt, das die Vektoren enthält, die sich mit Gleichung (A.49) als die Aneinanderkettung des beliebigen komplexen Zufallsvektors $\tilde{\mathbf{N}} \in \mathbb{C}^R$ und seines Konjugierten $\tilde{\mathbf{N}}^*$ darstellen lassen. Nun kann man die Elemente von \mathbf{n} in Gleichung (A.60) durch die Elemente des Zufallsvektors $\tilde{\mathbf{N}}$ substituieren. Je nachdem in welchem Bereich die Indizes i, j, k und l liegen, ergibt sich die Substitution

$$\mathbf{n}_m = \begin{cases} \tilde{\mathbf{N}}_m & \text{für } 0 < m \leq R \\ \tilde{\mathbf{N}}_{m-R}^* & \text{für } R < m \leq 2 \cdot R \end{cases} \quad \text{mit } m \in \{i, j, k, l\}. \quad (\text{A.61})$$

Durch entsprechende Wahl der Indizes erhält man aus Gleichung (A.60) alle vierten Momente des R -dimensionalen, komplexen Zufallsvektors $\tilde{\mathbf{N}}$. Mit $R=4$, $\tilde{\mathbf{N}}_\nu = \mathbf{N}_\nu$, wobei $\nu = 1$ (1) 4 zu setzen ist, und dem Indexquadrupel $[i, j, k, l] = [1, 6, 3, 8]$ erhält man die Beziehung (A.41) für eines der vierten Momente. Die entsprechenden anderen vierten Momente erhält man indem man andere Indexquadrupel wählt. Rein formal entspricht das in Gleichung (A.41) dem eventuellen Konjugieren der Zufallsvektoren und dem anschließenden Ersetzten der Indizes durch die modulo R berechneten Indizes des Indexquadrupels $[i, j, k, l]$. Hingewiesen sei noch darauf, dass ebenso wie der reelle Zufallsvektor $\vec{\mathbf{n}}$ auch der Zufallsvektor $\tilde{\mathbf{N}}$ deterministisch abhängige komplexe Zufallsgrößen enthalten darf. Insbesondere darf der Zufallsvektor $\tilde{\mathbf{N}}$ neben einer komplexen Zufallsgröße auch deren Konjugierte enthalten, da diese Art der deterministischen Abhängigkeit einer explizit zugelassenen linearen Abhängigkeit im reellen Zufallsvektor $\vec{\mathbf{n}}$ entspricht. Wir können somit mit Hilfe der Gleichung (A.41) alle vierten Momente eines komplexen, mehrdimensionalen, mittelwertfreien und normalverteilten Zufallsvektors berechnen. Hierzu ein Beispiel: Gegeben sei die komplexe, mittelwertfreie normalverteilte Zufallsgröße \mathbf{Z} . Wenn wir in Gleichung (A.41) $\mathbf{N}_1 = \mathbf{N}_2 = \mathbf{N}_3 = \mathbf{N}_4 = \mathbf{Z}$ einsetzen, erhalten wir das vierte Moment $E\{|\mathbf{Z}|^4\}$. Dies entspricht mit $R=1$ und mit $\tilde{\mathbf{N}} = \mathbf{Z}$ in Gleichung (A.49) dem Indexquadrupel $[i, j, k, l] = [1, 2, 1, 2]$ oder jedem permutierten dieses Indexquadrupels in Gleichung (A.60). Wenn wir das vierte Moment $E\{|\mathbf{Z}|^4\}$ berechnen wollen, brauchen wir

in Gleichung (A.41) lediglich die beiden Zufallsgrößen \mathbf{N}_2 und \mathbf{N}_4 durch ihre Konjugierten zu ersetzen und können mit der so entstandenen Formel, die in Gleichung (A.60) dem Indexquadrupel $[i, j, k, l] = [1, 2, 3, 4]$ mit $R=4$ entspricht, das gesuchte vierte Moment berechnen, indem wir wieder $\mathbf{N}_1 = \mathbf{N}_2 = \mathbf{N}_3 = \mathbf{N}_4 = \mathbf{Z}$ einsetzen. Andererseits können wir auch mit $R=4$ und mit

$$\vec{\mathbf{N}} = \begin{bmatrix} \mathbf{Z} \\ \mathbf{Z}^* \\ \mathbf{Z} \\ \mathbf{Z}^* \end{bmatrix} = \begin{bmatrix} \mathbf{N}_1 \\ \mathbf{N}_2 \\ \mathbf{N}_3 \\ \mathbf{N}_4 \end{bmatrix}$$

einen vierdimensionalen Zufallsvektor schaffen, der deterministisch abhängige Zufallsgrößen enthält. Setzen wir dies in Gleichung (A.41) ein ($\mathbf{N}_2 = \mathbf{N}_4 = \mathbf{Z}^*$ und $\mathbf{N}_1 = \mathbf{N}_3 = \mathbf{Z}$), so erhalten wir ebenfalls den gleichen Ausdruck für das gesuchte vierte Moment $E\{\mathbf{Z}^4\}$, den wir auch durch die formale Ersetzung der beiden Zufallsgrößen \mathbf{N}_2 und \mathbf{N}_4 durch ihre Konjugierten und die anschließende Substitution aller vier Zufallsgrößen durch \mathbf{Z} erhalten haben.

A.7 Zu den Quantisierungsfehlern bei der Berechnung des Logarithmus

Hier soll nun untersucht werden, wann der Einfluss welcher der beiden Hauptquellen für Quantisierungsfehler bei der Berechnung des Logarithmus überwiegt.

Gegeben sei die positiv reelle Zahl x . Wenn wir nun annehmen, dass diese Zahl nicht extrem klein oder groß ist, lässt sie sich an einem Rechner mit Fließkommaarithmetik mit einem relativen Fehler in der Größenordnung von ε darstellen. Wir modellieren dies, indem wir die quantisierte, im Rechner verwendete Zahl x_Q als das Produkt $x_Q = x \cdot (1 + \varepsilon \cdot \mathbf{q}_x)$ schreiben, wobei \mathbf{q}_x die Zufallsgröße des Quantisierungsfehlers ist, der die quantisierte Zahl x_Q entstehen lässt. Die Streuung dieser Zufallsgröße liegt in der Größenordnung von Eins. Mit

$$\begin{aligned} \log_B(x_Q) - \log_B(x) &= \log_B(x \cdot (1 + \varepsilon \cdot \mathbf{q}_x)) - \log_B(x) = \\ &= \log_B(1 + \varepsilon \cdot \mathbf{q}_x) = \frac{\ln(1 + \varepsilon \cdot \mathbf{q}_x)}{\ln(B)} \approx \frac{\varepsilon}{\ln(B)} \cdot \mathbf{q}_x \end{aligned}$$

kann der absolute Fehler des exakten theoretischen Logarithmus zur Basis B abgeschätzt werden. Die Streuung dieses absoluten Fehlers ist also mit $\varepsilon / \ln(B)$ von x unabhängig.

Wenn wir davon ausgehen, dass ein Algorithmus zur Berechnung des Logarithmus verwendet wird, der immer diejenige am Rechner darstellbare Zahl als Ergebnis liefert, die dem theoretischen Wert $\log_B(x_Q)$ der quantisierten Größe x_Q am nächsten liegt, erhalten

wir einen zusätzlichen relativen Fehler in der Größenordnung von ε , also einen absoluten Fehler, den wir durch $|\log_B(x_Q)| \cdot \varepsilon \cdot \mathbf{q}_y$ modellieren können, wobei die Zufallsgröße \mathbf{q}_y den Quantisierungsfehler des Ergebnisses modelliert, und eine Streuung in der Größenordnung von Eins aufweist. Die Streuung dieses Anteils des absoluten Fehlers steigt also mit dem Logarithmus von $x_Q \approx x$ monoton an. Wenn wir davon ausgehen, dass die beiden Quantisierungen vor und nach der Berechnung des Logarithmus unkorrelierte Fehler bewirken, addieren sich die Varianzen dieser beiden Fehlerquellen. Die Streuung des Gesamtfehlers wird dann als die Wurzel aus der Summe der beiden Varianzen im wesentlichen durch die Varianz der Fehlerquelle mit der größeren Streuung bestimmt. Um die Grenze für die Werte von x zu bestimmen, ab der die Varianz des zweiten absoluten Fehlers überwiegt, werden nun die Streuungen der beiden absoluten Fehler gleichgesetzt. Mit

$$\frac{\varepsilon}{\ln(B)} \stackrel{!}{=} |\log_B(x_Q)| \cdot \varepsilon = \frac{\varepsilon}{\ln(B)} \cdot |\ln(x_Q)| \approx \frac{\varepsilon}{\ln(B)} \cdot |\ln(x)|$$

erhalten wir die Grenze $|\ln(x)| \approx 1$, die von der Basis B des Logarithmus unabhängig ist. Für Werte von $e^{-1} \ll x \ll e$ kann man also die Quantisierungsfehler des Ergebnisses des Logarithmus vernachlässigen. Da in unserem Fall die Streuung des absoluten Fehlers möglichst für alle Frequenzwerte, für die der Logarithmus zu berechnen ist, möglichst klein sein soll, werden diese Werte vor der Berechnung des Logarithmus in der Art normiert, dass der Maximalwert gleich dem Reziproken des Minimalwertes ist.

A.8 MATLAB-Programm zum Berechnung der Fensterfolge

Für den im Kapitel 6 vorgestellten Algorithmus zu Berechnung der Fensterfolge sollen nun die entscheidenden Zeilen eines Programms in der Interpretersprache **MATLAB** angegeben werden. Dabei wird darauf verzichtet, die Teile des Programms abzudrucken, die nicht für die eigentliche Berechnung der Fensterfolge benötigt werden, die aber bei einem guten Programm immer vorhanden sein sollten, wie zum Beispiel eine Überprüfung der Eingabeparameter oder ein adäquate Behandlung von Spezial- und Ausnahmefällen. Zunächst werden die Programmzeilen in **Schreibmaschinenschrift** aufgelistet, wobei diese durchnummieriert sind, um im folgenden Kommentar auf die Zeilen Bezug nehmen zu können. Auch ist dieser Programmauszug nur stellenweise für eine besonders schnelle Berechnung der Fensterfolge optimiert. Die im Hauptteil der Abhandlung durchgeführten Betrachtungen zur Genauigkeit der Berechnung sind hier alle berücksichtigt. Auch wurde weitgehend versucht, bei der Art der Berechnung die in Kapitel 6 beschriebene Vorgehensweise beizubehalten, so dass dieses Programm auch dazu dienen soll, dem Leser

den konkreten Ablauf zu zeigen, und zu demonstrieren, dass die dort für die theoretische Herleitung angegebenen Formeln praktisch unverändert zur Berechnung der Fensterfolge in ein Programm übernommen werden können. Der hier angegebene Programmstumpf benötigt die zwei Parameter N und M als skalare Größen (1×1 Matrizen) M und N , die beim Programmaufruf übergeben werden. Von diesen wird angenommen, dass es sich dabei um ganze Zahlen größer Eins handelt. Außerdem müssen die relative Rechnergrenauigkeit ε , also die Differenz zwischen der Zahl Eins und der nächstgrößeren am Rechner darstellbaren Zahl, sowie die Zahl π als globale Variablen eps und pi vorhanden sein. Beim Aufruf des Programms MATLAB werden eps und pi automatisch generiert, so dass diese Variablen normalerweise nicht extra bestimmt und an das Programm übergeben werden müssen. Als Ergebnis werden von diesem Programm die Werte der Fensterfolge auf dem Vektor f_k sowie die Fourierreihenkoeffizienten für $\nu = 0(1)N-1$ auf dem Vektor F_{nu} zurückgegeben.

```

1: function [ f_k, F_nu ] = fenster( N, M )
2: F = N * M
3: c = 2 / ( 1 + (N/2)^(M/3/(1-M)) / tan(pi/2/M) )
4: Ms = -log(eps)/log(2) * 2^log(N/3) * 3.6^(1/M)
5: Ms = 2^ceil(log(Ms)/log(2))
6: eta = 0:Ms/2
7: F_eta = zeros(1,Ms/2+1)
8: NF = 1 / ( c^2 + 4 * (1-c) * sin( pi/F*(N-1) )^2 )
9: for nu_1 = (1-N)/2:(N-1)/2
10:   F_cumprod = ones(1,Ms/2+1)
11:   for nu_2 = [(1-N):(nu_1-(N+1)/2),(nu_1+(N+1)/2):(N-1)]
12:     K = NF * ( c^2 + 4 * (1-c) * sin( pi/F * nu_2 )^2 )
13:     Psi = atan( ( (1-c) * sin(2*pi/F*nu_2) ) / ...
14:                  ( c + 2 * (1-c) * sin(pi/F*nu_2)^2 ) )
15:     F_cumprod = F_cumprod .* K .* sin( pi/Ms*eta-pi/F*nu_2-Psi ).^2
16:   end
17:   F_eta = F_eta + F_cumprod
18: NF = 1 / sqrt( max(F_eta) * min(F_eta) )
19: F_eta = NF * F_eta
20: L_eta = log(F_eta)
21: Ceps_2 = ifft( [L_eta,L_eta(Ms/2:-1:2)] )
22: Ceps_2 = real( Ceps_2 )
23: Ceps_2 = ( Ceps_2 + Ceps_2([1,Ms:-1:2]) ) / 2

```

```
24: nu = 1:N-1
25: Omega = 2*pi/F * nu
26: Omega_s = Omega + 2 * atan( ( (1-c) * sin(Omega) ) ./ ...
   ( c + 2 * (1-c) * sin(Omega/2).^2 ) )
27: phi = zeros(1,N-1)
28: for nu_i = nu
29:   phi(nu_i) = sin(Omega_s(nu_i)*[Ms/2-1:-1:1]) * Ceps_2(Ms/2:-1:2).'
30: end
31: phi = phi - ( N - 1 ) * Omega_s / 2 + ( F - N ) * Omega / 2
32: nu = 0:N-1
33: F_nu = zeros(1,N)
34: NF = exp( 2*log(8/pi*F) - sum( log(5:2:4*N) )/(N-1) )
35: for nu_1 = (1-N)/2:(N-1)/2
36:   F_cumprod = ( ( nu < nu_1+N/2 ) & ( nu > nu_1-N/2 ) )
37:   for nu_2 = (1-N)/2:(N-3)/2
38:     nu_3 = nu - nu_1 - nu_2 - ( nu <= nu_1 + nu_2 )
39:     F_cumprod = F_cumprod ./ ( NF .* sin( pi/F*nu_3 ).^2 )
40:   end
41:   F_nu = F_nu + F_cumprod
42: end
43: F_nu = sqrt(F_nu)
44: F_nu = F_nu / ( N * F_nu(1) )
45: F_nu(2:N) = F_nu(2:N) .* exp(-j*phi)
46: f_k = zeros(1,F)
47: si_k = [ 0:2:(F+0.5)/2, ...
   F-[2*floor((F+0.5)/4)+2:2:(3*F+0.5)/2], ...
   [2*floor((3*F+0.5)/4)+2:2:2*F-1]-2*F ]
48: si_k = sin( (pi/F) * si_k )
49: co_k = [ F-[0:4:2*F-1], [4*floor((2*F-1)/4)+4:4:4*F-2]-3*F ]
50: co_k = sin( (pi/(2*F)) * co_k )
51: for nu = N-1:-1:1
52:   k_nu = rem( [0:F-1]*nu, F ) + 1
53:   f_k = f_k + 2 * real( F_nu(nu+1) ) * co_k(k_nu) - ...
   2 * imag( F_nu(nu+1) ) * si_k(k_nu)
54: end
55: f_k = f_k + 1/N
```

In den Zeilen 2 bis 4 werden die Fensterlänge F mit Gleichung (6.2), der Bilineartransformationsparameter c nach Gleichung (6.30) und die Länge \tilde{M} der FFT für die Bestimmung des Cepstrums nach Gleichung (6.31) berechnet. \tilde{M} wird in Zeile 5 auf die nächsthöhere Zweierpotenz aufgerundet. Die Berechnung der Phase des minimalphasigen Anteils von $\tilde{D}_N(e^{j\tilde{\Omega}})$ erfolgt nach Gleichung (6.29), wobei dies für alle diskreten Frequenzen $\tilde{\Omega} = \eta \cdot 2\pi / \tilde{M}$ mit $\eta = 0 \text{ (1)} \tilde{M}/2$, die in einem Vektor zusammengefasst sind, der in Zeile 6 definiert wird, vektoriell geschieht, so dass hierfür keine **for**-Schleife benötigt wird. Für die anderen Frequenzwerte mit $\eta = \tilde{M}/2+1 \text{ (1)} \tilde{M}-1$ braucht $\tilde{D}_N(e^{j\tilde{\Omega}})$ wegen der Symmetrie nicht berechnet zu werden. Die Summe über ν_1 in Gleichung (6.29) wird dadurch realisiert, dass man zunächst in Zeile 7 den Vektor **F_eta** bereitstellt, den man zu Null initialisiert, und dass man zu diesem Vektor nach und nach in einer **for**-Schleife mit dem Schleifenindex **nu_1**, die in Zeile 9 beginnt und in Zeile 17 endet, die einzelnen Summanden in Zeile 16 für alle Werte von η zugleich addiert. Entsprechend wird das kumulative Produkt in Gleichung (6.29) realisiert, indem man in Zeile 10 den Vektor **F_cumprod** auf Eins initialisiert, und diesen in der **for**-Schleife, die in Zeile 11 beginnt und in Zeile 15 endet, in Zeile 14 nach und nach mit den einzelnen Faktoren für alle Werte von η zugleich multipliziert. Der Schleifenindex **nu_2** nimmt dabei die im Anschluss an Gleichung (6.19) beschriebenen Werte an. Die in der Summe der Gleichung (6.29) auftretenden Faktoren K_{ν_2} nach Gleichung (6.25), können für große Werte von M und dementsprechend kleine Werte von c sehr klein werden. Um zu vermeiden, dass die Endwerte der kumulativen Produkte in Gleichung (6.29) den darstellbaren Zahlenbereich verlassen, werden in Zeile 12 alle von η unabhängigen Faktoren K_{ν_2} mit einem gemeinsamen, konstanten Normierungsfaktor **NF** multipliziert, der in Zeile 8 berechnet wird, und der so gewählt wurde, dass der maximal auftretende normierte Faktor **K**, der in Zeile 12 berechnet wird, zu Eins wird. Da der Schleifenindex **nu_2** maximal den Wert $(N-1)$ annimmt, wird nämlich der Faktor K_{ν_2} nach Gleichung (6.25) maximal gleich dem Reziprokwert des in Zeile 8 berechneten Normierungsfaktors **NF**. Der ebenfalls von η unabhängige Anteil $\tilde{\psi}_{\nu_2}$ des halben Winkels der Nullstellenrotation nach Gleichung (6.26) wird in Zeile 13 berechnet. Mit der Differenz aus dem halben Winkel der bilinear transformierten und um $e^{j\cdot\nu_2\cdot2\pi/F}$ rotierten Nullstelle und dem halben Winkel des Punktes $\tilde{z} = e^{j\cdot\eta\cdot2\pi/\tilde{M}}$, für den das Spektrum $\tilde{D}_N(\tilde{z})$ zu berechnen ist, kann ein Faktor des kumulativen Produktes berechnet werden. Für alle Werte von η kann dieser Faktor nun in Zeile 14 mit dem bisher berechneten kumulativen Produkt auf dem Vektor **F_cumprod** multipliziert werden. Das vollständig berechnete kumulative Produkt in Gleichung (6.29) wird in Zeile 16 zu der bisher berechneten Summe auf dem Vektor **F_eta** addiert. Für die so berechneten Spektralwerte $\tilde{D}_N(e^{j\tilde{\Omega}})$ mit $\tilde{\Omega} = \eta \cdot 2\pi / \tilde{M}$ wird in Zeile 18 der Normierungsfaktor berechnet, der dafür sorgt, dass der Maximalwert gleich dem Reziproken des Minimalwertes wird. Die Normierung erfolgt in Zeile 19. In Zeile 20 wird davon der Logarithmus berechnet. Eine inverse FFT der durch Spiegelung für

die nicht berechneten η -Werte ergänzten, normierten und logarithmierten Spektralwerte $\tilde{D}_N(e^{j\tilde{\Omega}})$ liefert uns in Zeile 21 das doppelte Cepstrum des minimalphasigen Anteils von $\tilde{D}_N(\tilde{z})$. Die Realteilbildung in Zeile 22 unterdrückt dabei den Imaginärteil, der nur durch Quantisierungsfehler bei der inversen FFT entsteht. Auch die Unsymmetrie des doppelten Cepstrums, die aus demselben Grund entsteht, wird in Zeile 23 beseitigt. Die Werte des doppelten Cepstrums sind für $k > 0$ die Fouriersinusreihenkoeffizienten der Phase des minimalphasigen Anteils von $\tilde{D}_N(e^{j\tilde{\Omega}})$. Diese wird nun für die vor der Bilineartransformation äquidistanten Frequenzen $\Omega = \nu \cdot 2\pi/F$ mit $\nu = 1(1)N-1$ berechnet. Diese Frequenzen werden in Zeile 25 auf dem Vektor Ω_{mega} aus den Werten ν_{nu} berechnet, die zuvor in Zeile 24 auf einem Vektor abgelegt wurden. Für $\nu=0$ braucht die Phase nicht berechnet zu werden, da diese immer Null ist. Nach Gleichung (6.22) entsprechen die Frequenzen des Vektors Ω_{mega} nach der Bilineartransformation den Frequenzen $\tilde{\Omega}$, die in Zeile 26 dem Vektor $\Omega_{\text{mega_s}}$ zugewiesen werden. Die Summe der Sinusreihe wird für jede Frequenz des Vektors $\Omega_{\text{mega_s}}$ in der **for**-Schleife mit dem Schleifenindex $\nu_{\text{nu_i}}$, die in Zeile 28 beginnt und in Zeile 30 endet, in Zeile 29 als Skalarprodukt zweier Vektoren berechnet. Der eine Vektor enthält dabei die Koeffizienten der Sinusreihe und der andere die Werte der Sinusfunktion der k -fachen Grundkreisfrequenz — die hier Eins ist, weil die Phase eine in 2π periodische Funktion ist — bei der zu berechnenden Frequenz $\tilde{\Omega}$. Die Reihenfolge der Elemente der Vektoren wird dabei umgekehrt, um eine höhere Genauigkeit zu erzielen⁵. Die Phase des minimalphasigen Anteils von $D_P(e^{j\frac{2\pi}{F}\cdot\nu})$ ist das $N-1$ -fache des in Gleichung (6.28) angegebenen Terms. Wie ein Vergleich der Gleichungen (6.22) und (6.28) zeigt, sind die halben negativen Frequenzen $\tilde{\Omega}/2$ um $\Omega/2$ kleiner als der Beitrag eines Faktors $(z-(1-c))/z$ zum minimalphasigen Anteil von $D_P(z)$. Da der Phasenbeitrag des minimalphasigen Anteils von $D_E(z)$ gleich $(F-2\cdot N+1)\cdot\Omega/2$ ist, kann man den Fehler, den man macht, wenn man $(N-1)\cdot\tilde{\Omega}/2$ statt $(N-1)\cdot(\tilde{\Omega}-\Omega)/2$ als Phasenanteil des minimalphasigen Anteils von $D_P(z)$ subtrahiert, einfach dadurch kompensieren, dass man den Phasenbeitrag des minimalphasigen Anteils von $D_E(z)$ entsprechend um $(N-1)\cdot\Omega/2$ erhöht. Die Gesamtphase berechnet sich dann wie dies in Zeile 31 angegeben ist.

Nachdem in den Zeilen 32 bis 42 die Betragsquadrate der gesuchten Spektralwerte mit Gleichung (6.18) bis auf eine bei allen Frequenzpunkten gleiche Normierungskonstante berechnet worden sind, werden in Zeile 43 daraus die Beträge durch Wurzelziehen bestimmt. Da die Spektralwerte bei der Berechnung der Fourierreihe nach Gleichung (6.16) mit F zu dividieren sind, werden die bis dahin berechneten Beträge am Ende nicht so normiert, dass sich die Abtastwerte des Spektrums mit $F(0)=M$ ergeben, sondern gleich so, dass man die Beträge der Fourierreihenkoeffizienten mit $F_{\text{nu}}(1) = F(0)/F = 1/N$ erhält. Da

⁵Es wurde überprüft, dass MATLAB die Reihenfolge nicht vertauscht, wenn es die Zeile 29 in Maschinencode umsetzt.

bei der Berechnung der Betragsquadrate der gesuchten Spektralwerte bei allen Frequenzen eine gemeinsame Normierungskonstante NF verwendet wird, kann die abschließende Normierung in Zeile 44 am einfachsten dadurch erfolgen, dass man auch den Betrag des Spektralwertes bei der Frequenz Null mit derselben vorläufigen Normierung berechnet, und dann alle in derselben Art normierten Spektralwertbeträge durch das N -fache des vorläufig normierten Betrags des Spektralwertes bei der Frequenz Null dividiert. Für alle Frequenzen $\Omega = \nu \cdot 2\pi/F$ mit dem Frequenzparameter $\nu = 0 \text{ (1) } N-1$, dessen Werte in Zeile 32 auf einem Vektor abgelegt werden, können die Betragsquadrate der gesuchten Spektralwerte nach Gleichung (6.18) vektoriell berechnet werden, so dass hierfür keine **for**-Schleife benötigt wird. Die Summe über ν_1 in Gleichung (6.18) wird dadurch realisiert, dass man zunächst in Zeile 33 den Vektor **F_nu** bereitstellt, den man zu Null initialisiert, und zu dem man nach und nach in einer **for**-Schleife mit dem Schleifenindex **nu_1**, die in Zeile 35 beginnt und in Zeile 42 endet, die einzelnen Summanden in Zeile 41 für alle Werte von ν zugleich addiert. In den Grenzen der Summe in Gleichung (6.18) wird berücksichtigt, dass bei einer festen Frequenz $\nu \cdot 2\pi/F$ die Summanden für einige Werte des Verschiebungsparameters ν_1 Null sind, weil das um $\nu_1 \cdot 2\pi/F$ verschobene Betragsquadratspektrum der Basisfensterfolge bei dieser Frequenz $\nu \cdot 2\pi/F$ eine doppelte Nullstelle aufweist, die nicht durch eine doppelte Polstelle kompensiert wird. Da die Berechnung im Programm für alle ν -Werte zugleich erfolgt, kann dieser Fakt nicht in den Summationsgrenzen in Zeile 35 berücksichtigt werden. Daher wird stattdessen in Zeile 36 der Vektor **F_cumprod**, mit dessen Hilfe das kumulative Produkt in Gleichung (6.18) berechnet wird, nur für die Frequenzwerte ν mit Eins initialisiert, für die das um $\nu_1 \cdot 2\pi/F$ verschobene Betragsquadratspektrum der Basisfensterfolge keine doppelte Nullstelle aufweist. Für die anderen Frequenzwerte ν wird **F_cumprod** mit Null initialisiert, so dass auch das kumulative Produkt dieser Frequenzwerte ν bei dem Summanden, der einer Verschiebung um $\nu_1 \cdot 2\pi/F$ entspricht, die in Gleichung (6.18) durch die Summationsgrenzen ausgeschlossen wurde, Null wird. Die Faktoren des kumulativen Produkts in Gleichung (6.18) weisen alle den negativen Exponenten -2 auf. Daher kann das kumulative Produkt als **for**-Schleife, die in Zeile 37 beginnt und in Zeile 40 endet, realisiert werden, indem der bereits geeignet initialisierte Vektor **F_cumprod** in Zeile 39 nach und nach durch den Vektor der normierten Quadrate der Sinusfunktion dividiert wird. Im Argument der Sinusfunktion tritt der von ν abhängige Term $\nu - \nu_2 - \nu_1$ auf. Abgesehen von dem im folgenden erklärten Detail werden die Werte dieses Terms für alle Werte von ν als Elemente des Vektors **nu_3** verwendet.

In Gleichung (6.18) bewirken die Grenzen des Summenindex ν_1 , dass der beim kumulativen Produkt explizit ausgenommene Faktor mit $\nu_2 \neq \nu - \nu_1$, bei dem eine doppelte Nullstelle gegen eine doppelte Polstelle gekürzt wurde, bei dem kumulativen Produkt jedes Summanden genau einmal vorkommen würde, wenn man ihn nicht ausgeschlossen

hätte. Bei der im Programm verwendeten Grenze des Schleifenindex `nu_1` in Zeile 35 kann es vorkommen, dass der für ν_2 explizit ausgenommene Wert $\nu - \nu_1$ sowieso nicht innerhalb der für ν_2 in Gleichung (6.18) angegebenen Grenzen liegt. Ist dieser Fall gegeben, so ist das entsprechende Elemente des Vektors `F_cumprod` zu Null initialisiert worden. Daher kann man diese Elemente durch beliebige Werte außer durch Null dividieren, ohne Fehler zu machen. Diese Tatsache kann genutzt werden, den Ausschluss des Falls $\nu_2 = \nu - \nu_1$ einfach zu realisieren. Einerseits wird in Zeile 37 der Endwert für den Schleifenindex `nu_2` gegenüber dem Endwert für ν_2 in Gleichung (6.18) um Eins verringert. Andererseits wird das der gekürzten doppelten Polstelle entsprechende Argument der Sinusfunktion übersprungen. Das Überspringen der gekürzten doppelten Polstelle wird realisiert, indem man bei der Berechnung des Terms im Argument der Sinusfunktion in Zeile 38 für die Faktoren des kumulativen Produkts mit $\nu_2 < \nu - \nu_1$ den Wert `nu_3 = nu-nu_1-nu_2` verwendet, und für die Faktoren mit $\nu_2 > \nu - \nu_1$ den Wert `nu_3 = nu-nu_1-(nu_2+1)`. Der Wert `nu_3=0` ist dadurch für alle Werte von `nu_2` ausgeschlossen. Bei welchem Schleifendurchlauf das Überspringen der gekürzten doppelten Polstelle passiert, hängt von ν ab, und ist somit bei den Elementen des Vektors `F_cumprod` unterschiedlich. Nur bei den Summanden mit dem Index `nu_1`, die im Programm vorhanden sind, aber nicht in Gleichung (6.18), wird durch die eben beschriebene Indexarithmetik ein Faktor zu wenig berechnet. Da dann aber das entsprechende Element des Vektors `F_cumprod` zu Null initialisiert ist, und im Argument der Sinusfunktion nie der Wert Null auftritt, bleibt dieser Wert korrekterweise Null.

Da auf die Normierungskonstante `NF` im Hauptteil des Textes nicht näher eingegangen wurde, sei nun erläutert, warum dieser so gewählt wurde, wie dies in Zeile 34 angegeben ist. Ziel der Normierung ist es, zu erreichen, dass der Spektralwert `F_nu(1)` für die Frequenz $\Omega=0$ vor der abschließenden Normierung etwa in der Größenordnung von Eins liegt, so dass keine Gefahr besteht, dass es während der Berechnung zu einem Überlauf kommt, weil die einzelnen Faktoren des kumulativen Produkts alle zu klein oder zu groß sind, so dass das kumulative Produkt insgesamt kleiner bzw. größer als die kleinste bzw. größte am Rechner darstellbare Zahl wird. Wir wollen zunächst annehmen, dass N eine ungerade natürliche Zahl ist. Um auf die in Zeile 34 berechnete Normierungskonstante zu kommen, werden drei Näherungen gemacht. Bei der Frequenz $\Omega=0$ ist für ungerades N der Summand mit $\nu_1=0$, also der Summand, bei dem das Betragsquadratspektrum der Basisfensterfolge unverschoben auftritt, am größten, weil dann das Produkt der Quadrate der Sinusfunktionen, die mit einem negativen Exponenten auftreten, am kleinsten wird. Wenn wir nun als erste Näherung die anderen, kleineren Summanden vernachlässigen, schätzen wir die Summe der Produkte der Quadrate der Sinusfunktionen schlimmstenfalls um den Faktor $1/N$ zu klein ab, weil insgesamt genau N Summanden

in Gleichung (6.18) vorhanden sind. Da N im Vergleich zu der größten am Rechner darstellbaren Zahl extrem klein ist, wird es auch dann nicht zu einem Überlauf bei der Berechnung kommen, wenn sich aufgrund dieser groben Abschätzung ein Spektralwert $F_{\text{nu}}(1)$ ergibt, der nicht exakt 1 ist, sondern der zwischen 1 und N liegt. Die zweite Näherung ergibt sich aus folgender Überlegung. Die Gefahr eines Überlaufs tritt eigentlich nur dann auf, wenn alle Faktoren des kumulativen Produkts groß sind. Dies ist der Fall, wenn M groß ist, und dadurch das Argument der Sinusfunktion klein wird. In diesem Fall kann man die Sinusfunktion in guter Näherung durch eine Gerade mit der Steigung Eins annähern. Zum dritten nähern wir noch die vierte Potenz $(4 \cdot \nu_2)^4$ durch das Produkt $(4 \cdot \nu_2 - 1,5) \cdot (4 \cdot \nu_2 - 0,5) \cdot (4 \cdot \nu_2 + 0,5) \cdot (4 \cdot \nu_2 + 1,5)$, um zu der Gleichung zu kommen, mit deren Hilfe wir die Normierungskonstante NF bestimmen können.

$$\begin{aligned}
 F_{\text{nu}}(1) &= \sum_{\nu_1=-\frac{N-1}{2}}^{\frac{N-1}{2}} \prod_{\substack{\nu_2=\nu_1-\frac{N-1}{2} \\ \nu_2 \neq 0}}^{\nu_1+\frac{N-1}{2}} \left(\text{NF} \cdot \sin\left(\nu_2 \cdot \frac{\pi}{F}\right)^2 \right)^{-1} \approx \\
 &\approx \prod_{\substack{\nu_2=-\frac{N-1}{2} \\ \nu_2 \neq 0}}^{\frac{N-1}{2}} \left(\text{NF} \cdot \sin\left(\nu_2 \cdot \frac{\pi}{F}\right)^2 \right)^{-1} = \prod_{\nu_2=1}^{\frac{N-1}{2}} \left(\text{NF} \cdot \sin\left(\nu_2 \cdot \frac{\pi}{F}\right)^2 \right)^{-2} \approx \\
 &\approx \prod_{\nu_2=1}^{\frac{N-1}{2}} \left(\text{NF}^{-2} \cdot (4 \cdot \nu_2 \cdot \frac{\pi}{4 \cdot F})^{-4} \right) \approx \text{NF}^{1-N} \cdot \prod_{\nu_2=2,5}^{2 \cdot N - 0,5} \left(\nu_2 \cdot \frac{\pi}{4 \cdot F} \right)^{-1} \stackrel{!}{=} 1 \\
 \implies \text{NF} &= \left(\frac{\pi}{8 \cdot F} \right)^{-2} \cdot \left(\prod_{\nu_2=2,5}^{2 \cdot N - 0,5} (2 \cdot \nu_2) \right)^{\frac{-1}{N-1}}
 \end{aligned}$$

Die zuletzt gemachte Näherung bewirkt, dass man diese Normierungskonstante sowohl für gerades als auch für ungerades N problemlos verwenden kann. Da das Produkt bei der Berechnung der Normierungskonstante im wesentlichen fakultativ mit N ansteigt, besteht die Gefahr, dass es bei der Berechnung der Normierungskonstante zu einem Überlauf kommt, bevor die $N-1$ -te Wurzel berechnet wird. Daher wird in Zeile 34 zunächst der Logarithmus der Normierungskonstante berechnet, bei dem das Radizieren einer Division durch $N-1$ entspricht. Erst danach wird die Exponentialfunktion dieses Wertes berechnet. Dadurch wird die Normierungskonstante zwar ungenau — was nicht weiter stört, weil NF bei allen Faktoren und allen Frequenzen gleich ist —, aber ohne die Gefahr eines Überlaufs bei großen Werten von N berechnet.

Nachdem die Beträge der gesuchten Fourierreihenkoeffizienten der Fensterfolge berechnet sind, werden diese in Zeile 45 noch mit der Exponentialfunktion der Phase multipliziert, und es kann mit der Berechnung der Fensterfolge durch Auswertung einer Sinus- und

einer Kosinusreihe begonnen werden. Es wird keine DFT verwendet, da diese erstens zu große Fehler verursacht, und zweitens nur N Werte des Spektrums von Null verschieden sind. Da die Werte der Sinus- und der Kosinusfunktion mehrfach benötigt werden, werden diese zunächst mit größtmöglicher Genauigkeit auf zwei Vektoren berechnet. Zuerst werden in Zeile 47 die F/π -fachen Argumentwerte der Sinusfunktion berechnet, die sich am Rechner exakt darstellen lassen, da sie ganzzahlig sind. Dabei werden die trigonometrischen Formeln $\sin(x) = \sin(\pi - x)$ und $\sin(x) = \sin(x - 2\pi)$ verwendet, so dass die exakt darstellbaren auf π/F normierten Argumente der Sinusfunktion betragsmäßig nie größer als $F/2$ und somit die Argumente der Sinusfunktion betragsmäßig nie größer als $\pi/2$ werden. Auf diese Weise wird bei der Berechnung der Abtastwerte der Sinusfunktion in Zeile 48 die höchstmögliche Genauigkeit erreicht. Analog erhält man mit den trigonometrischen Formeln $\cos(x) = \sin(\pi/2 - x)$ und $\cos(x) = \sin(x - 3\pi/2)$ in der Zeile 50 die Werte der Kosinusfunktion möglichst genau, wenn man in die Sinusfunktion das π/F -fache der in Zeile 49 exakt berechneten Werte einsetzt. Die Summe der Sinus- und Kosinusreihe wird dadurch realisiert, dass man zunächst in Zeile 46 den Vektor f_k bereitstellt, den man zu Null initialisiert, und zu dem man nach und nach in einer `for`-Schleife mit dem Schleifenindex nu , die in Zeile 51 beginnt und in Zeile 54 endet, die einzelnen Reihenglieder in Zeile 53 für alle Werte von $k = 0 (1) F-1$ zugleich addiert. Mit der in Zeile 52 angegebenen Modulo-Arithmetik kann man sich die bei dem Reihenglied jeweils benötigten Werte der Sinus- und Kosinusfunktion herauspicken. Um die Fehler bei der Auswertung der Sinus- und Kosinusreihe klein zu halten, erfolgt die Berechnung der Sinus- und Kosinusreihen in umgekehrter Reihenfolge, was man am Schleifenindex in Zeile 51 erkennen kann. Abschließend wird in Zeile 55 der Gleichanteil $1/N$ addiert. Damit befindet sich die Fensterfolge $f(k)$ auf dem Vektor f_k , der in Zeile 1 als Ergebnis der Funktion `fenster(N,M)` definiert wurde.

Liste der verwendeten Abkürzungen und Formelzeichen

Abkürzungen

Neben den allgemein gebräuchlichen Abkürzungen, die im Duden aufgeführt sind, werden im gesamten Text die Abkürzungen

AKF Autokorrelationsfolge

MAKF modifizierte Autokorrelationsfolge

DFT diskrete Fouriertransformation

FIR finite impulse response = System mit endlicher Impulsantwort = nichtrekursives Filter.

FFT schnelle diskrete Fouriertransformation

LDS Leistungsdichtespektrum

MLDS modifiziertes Leistungsdichtespektrum

RKM Rauschklirrmessverfahren

verwendet. Einige wenige weitere Abkürzungen werden nur lokal in eng begrenztem Zusammenhang gebraucht und sind dort erklärt, wo sie zum ersten Mal auftreten.

Konstanten

e = 2,718282...

j imaginäre Einheit

ε = $2^{1-\text{Mantissenwortlänge}}$. Relative Rechnergrenauigkeit bei Gleitkommazahlen-darstellung¹ = Differenz zwischen 1 und der nächstgrößeren am Rechner darstellbaren Zahl.

π = 3,141593...

¹Unter der Mantissenwortlänge sei hier die Anzahl der signifikanten Bits verstanden. Diese ist beim IEEE Standard 754 sowohl bei „single precision“ als auch bei „double precision“ um Eins größer als die Anzahl der Bits, die zur Abspeicherung der Mantisse benötigt werden, da das „most significant bit“ bei der verwendeten, normierten Zahlendarstellung immer Eins ist, und daher nicht abgespeichert wird.

Allgemeine Formelzeichen und Funktionen

\forall	für jedes ...
\exists	es gibt ein ...
\in	ist Element der Menge ...
\mathbb{C}	Menge der komplexen Zahlen
\mathbb{N}	Menge der natürlichen Zahlen (ohne 0)
\mathbb{R}	Menge der reellen Zahlen
\mathbb{Z}	Menge der ganzen Zahlen
\times	Trennung bei der Angabe der Dimensionen einer Matrix
$*$	Faltung
\cdot	(Matrix-) Multiplikation
$(\dots)^*$	konjugiert komplexe Zahl oder Matrix
$(\dots)^H$	transponierte konjugiert komplexe Matrix
$(\dots)^T$	transponierte Matrix
$(\dots)^{-1}$	Reziprokwert einer Zahl, invertierte Matrix oder Umkehrfunktion.
$\vec{0}$	Zeilenvektor, der nur Nullen enthält.
$\underline{0}$	Matrix, die nur Nullen enthält.
\underline{E}	Einheitsmatrix
$\ \dots\ _2$	euklidische Vektornorm; Spektralnorm einer Matrix
$\ \dots\ _F$	euklidische Matrixnorm = Frobeniusnorm
$[a; b)$	Intervall von a bis b . Die untere Intervallgrenze gehört zum Intervall, während die obere Intervallgrenze <i>nicht</i> zum Intervall gehört.
$x = a \ (b) \ c$	Inkrementoperator $x \in \{ x = a + \mu \cdot b \mid a \leq x \leq c \ \wedge \ a, b, c \in \mathbb{R} \ \wedge \ \mu \in \mathbb{Z} \}$
$P(\dots)$	Wahrscheinlichkeit eines Ereignisses
$P(\vec{x} < \vec{x})$	Verbundverteilung der Real- und Imaginärteile der Zufallsgrößen, die die Elemente des Zufallsvektors \vec{x} sind. Es handelt sich dabei um die symbolische Kurzschreibweise für die Wahrscheinlichkeit, dass ein mehrdimensionales Experiment ein Ergebnis liefert, das in dem Unterraum der Ergebnismenge liegt, der nur die Ergebnisse enthält, denen die komplexen Vektoren zugeordnet sind, deren Elemente einen Realteil aufweisen, der bei allen Elementen kleiner ist

als der Realteil der Elemente des Vektors \vec{x} und deren Elemente einen Imaginärteil aufweisen, der bei allen Elementen kleiner ist als der Imaginärteil der Elemente des Vektors \vec{x} .
$p_{\vec{x}}(\vec{x})$ mehrdimensionale Verbundverteilungsdichte eines Vektors von Zufallsgrößen.
$E\{\dots\}$ Erwartungswertbildung. Dieser Erwartungswert wird von einer Zufallsgröße gebildet, und ist selbst eine deterministische Größe. Bei Vektoren und Matrizen erfolgt die Erwartungswertbildung elementweise.
$E\{\mathbf{y} \mid x\}$ bedingter Erwartungswert = Erwartungswert des Zufallsprozesses \mathbf{y} unter der Bedingung des deterministischen Parameters x . Dieser Erwartungswert ist ebenfalls eine deterministische Größe.
$E\{\mathbf{y} \mid \mathbf{x}\}$ bedingter Erwartungswert = Erwartungswert des Zufallsprozesses \mathbf{y} unter der Bedingung des Zufallsprozesses \mathbf{x} . Dieser Erwartungswert ist selbst eine Zufallsgröße.
$\Re\{\dots\}$ Realteilbildung
$\Im\{\dots\}$ Imaginärteilbildung
$ \dots $ Betrag einer komplexen Zahl
$\arg\{\dots\}$ Winkel einer komplexen Zahl
$\ln(\dots)$ natürlicher Logarithmus. Bei komplexem Argument ist gegebenenfalls zum Hauptwert des Logarithmus ein geeignetes Vielfaches von $j \cdot 2\pi$ zu addieren.
$\log_B(\dots)$ Logarithmus zur Basis B
$\max(\dots)$ Maximalwert
$\operatorname{sgn}(\dots)$ Signumfunktion
$\operatorname{si}(\dots) = \frac{\sin(\dots)}{(\dots)}$ = si-Funktion
$\operatorname{erfc}(\dots)$ komplementäre Fehlerfunktion nach Gleichung (3.71).
$a!$ $1 \cdot 2 \cdot \dots \cdot (a-1) \cdot a$ = Fakultät von a .
$\binom{a}{b}$ $\frac{a!}{b!(a-b)!}$ = Binomialkoeffizient „ a über b “.
$\delta_0(t)$ Dirac-Impuls. Distribution, die jeder Funktion den Wert der Funktion an der Stelle Null zuordnet.
$\gamma_0(k)$ Folge die für $k = 0$ Eins ist, und sonst Null.
$\sum_{\mu=a}^b / \prod_{\mu=a}^b$ Summe / Produkt über alle Terme mit dem Laufindex μ mit $\mu = a$ (1) b . Man beachte, dass bei dieser Definition a keine ganze Zahl sein muss, während das Inkrement immer 1 ist. Wenn für die untere Intervallgrenze $\mu = -\infty$ eingesetzt ist, wird wie üblich $\mu \in \mathbb{Z}$ angenommen.

Spezielle Formelzeichen

Folgende Konvention für die Schreibweise von Formelzeichen wird weitgehend einheitlich im gesamten Text befolgt. Vektoren werden mit einem Pfeil $\vec{\cdot}$ versehen (z. B. \vec{v}). Bei Matrizen wird das Formelzeichen unterstrichen (z. B. \underline{M}). Zufallsgrößen, Zufallsvektoren, Zufallsmatrizen und Zufallsprozesse werden fettgedruckt dargestellt (z. B. \mathbf{Y}). Konkrete Stichproben werden *nicht* fettgedruckt und mit dem Index λ gekennzeichnet. Daraus gewonnene Schätzwerte werden mit einem Dach $\hat{\cdot}$ auf dem Symbol markiert (z. B. \hat{H}). Die über den Symbolen stehenden Markierungen \sim , \circ , \circlearrowleft , \circlearrowright und \wedge werden auch zur Unterscheidung von Argumenten und Indizes ähnlicher Bedeutung (z. B. die diskrete Zeit in $v(k - \tilde{k})$) verwendet. Zu diesem Zweck werden auch natürliche Zahlen als Subindizes verwendet, wenn damit eine Reihenfolge verdeutlicht werden soll. Z. B. ist bei einer Vierfachsumme der Laufindex der äußersten Summe λ_1 , während der Laufindex der innersten Summe λ_4 ist. Elemente von Vektoren und Matrizen werden entweder mit der Indexschreibweise (z. B. \hat{H}_n) bzw. (z. B. $\underline{M}_{\text{Zeile, Spalte}}$) angesprochen, oder, wenn es sich bei den Elementen um die Werte einer Sequenz einer diskreten Folge handelt, auch über die Argumentschreibweise (z. B. $v(k)$ sind die Elemente des Vektors \vec{v}). Größen, die im Index ein f aufweisen, sind mit Hilfe einer Fensterung entstanden. Formelzeichen, die sich aus den im folgenden angegeben Formelzeichen gemäß dieser Regeln unzweifelhaft herleiten lassen, sind hier teilweise nicht extra aufgeführt. Auch werden einige weitere Formelzeichen nur lokal in eng begrenztem Zusammenhang gebraucht und sind dort erklärt, wo sie zum ersten Mal auftreten.

$\hat{A}_\Phi(\mu)$	Schätzwert für die halbe Breite des Konfidenzintervalls des Messwertes $\hat{\Phi}_n(\mu)$.
$A_{1,H}(\mu)$	komplexer Zeiger der längeren Halbachse der Konfidenzellipse des Messwertes $\hat{H}(\mu)$.
$A_{2,H}(\mu)$	komplexer Zeiger der kürzeren Halbachse der Konfidenzellipse des Messwertes $\hat{H}(\mu)$.
B	Parameter eines Beispiels eines LDS. Dieses hat eine $2 \cdot B$ -fache Nullstelle bei $\Omega = 0$.
c	Parameter der Bilineartransformation bei der Konstruktion der diskreten Fensterfolge ($0 < c < 2$).
c_f	Konstanter Faktor, mit dem die Fensterfolge so skaliert wird, dass deren Spektrum bei $\Omega = 0$ den Wert M annimmt.
$c_\Phi(\mu)$	Normierungsfaktor bei der Berechnung des LDS, der sich mit Hilfe der Stichprobenvektoren $\vec{V}(\mu)$ und $\vec{V}(-\mu)$ berechnen lässt.
$c_\Psi(\mu)$	Normierungsfaktor bei der Berechnung des MLDS, der sich mit Hilfe der Stichprobenvektoren $\vec{V}(\mu)$ und $\vec{V}(-\mu)$ berechnen lässt.

$C_{\mathbf{A}, \mathbf{B}}$	$= \text{E}\{\mathbf{A} \cdot \mathbf{B}^*\} =$ Kovarianz von \mathbf{A} und \mathbf{B} (\mathbf{B} wird dabei konjugiert!).
$\underline{C}_{\vec{\mathbf{A}}, \vec{\mathbf{B}}}$	$= \text{E}\{\vec{\mathbf{A}} \cdot \vec{\mathbf{B}}^H\} =$ Kovarianzmatrix der Elemente der Zufallsspaltenvektoren $\vec{\mathbf{A}}$ und $\vec{\mathbf{B}}$.
$C(k)$	Cepstrum des Anteils $\tilde{D}_N(\tilde{z})$, der die Nullstellen in der bilineartransformierten \tilde{z} -Ebene enthält.
$d(k)$	$= \frac{1}{M} \cdot (f(k)^* * f(-k)) =$ diskrete Fenster-AKF
$D(z)$	Z-Transformierte der Fenster-AKF $d(k)$.
$D_E(z)$	Anteil der Z-Transformierten $D(z)$ der Fenster-AKF, der nur die Nullstellen am Einheitskreis enthält.
$D_{\overline{E}}(z)$	Anteil der Z-Transformierten $D(z)$ der Fenster-AKF ohne die Nullstellen am Einheitskreis.
$\tilde{D}_{\overline{E}}(\tilde{z})$	Polynom in \tilde{z} , das durch Bilineartransformation aus $D_{\overline{E}}(z)$ entsteht.
$\tilde{D}_N(\tilde{z})$	Anteil von $\tilde{D}_{\overline{E}}(\tilde{z})$, der die Nullstellen in der bilineartransformierten \tilde{z} -Ebene enthält, und dessen minimalphasiger Anteil einen nichtlinearen Phasenbeitrag liefert, der mit Hilfe des Cepstrums berechnet wird.
$\tilde{D}_P(\tilde{z})$	Anteil von $\tilde{D}_{\overline{E}}(\tilde{z})$, der die Polstellen in der bilineartransformierten \tilde{z} -Ebene enthält, und dessen minimalphasiger Anteil nach der bilinearen Rücktransformation einen nichtlinearen Phasenbeitrag liefert, der geschlossen berechnet werden kann.
$D_P(z)$	Bilinear Rücktransformierte von $\tilde{D}_P(\tilde{z})$
E	Einschwingzeit des Systems
$f(k)$	diskrete Fensterfolge
F	Länge der Fensterfolge. Bei der in Kapitel 6 vorgestellten Fensterfolge gilt $F = M \cdot N$.
$F(\Omega)$	Fouriertransformierte der Fensterfolge $f(k)$.
$g(k)$	Basisfensterfolge, die zur theoretischen Herleitung der Konstruktion der diskreten Fensterfolge $f(k)$ benötigt wird.
$g_Q(k)$	$= g(k) * g(-k) =$ M -fache diskrete Basisfenster-AKF
$G(z)$	Z-Transformierte der Basisfensterfolge $g(k)$

$h(k)$	zeitinvariante Impulsantwort des linearen zeitinvarianten Modellsystems \mathcal{S}_{lin}
$h_\kappa(k)$	zeitvariante Impulsantwort des linearen Modellsystems \mathcal{S}_{lin}
$H(\Omega)$	Übertragungsfunktion des Modellsystems \mathcal{S}_{lin} = wahrer Wert der zu messenden Übertragungsfunktion des linearen Teilsystems, das sich bei der theoretischen Aufspaltung des gestörten, nichtlinearen, realen Systems \mathcal{S} mit Hilfe der wahren i. Allg. unbekannten Erwartungswerte der anliegenden Prozesse ergibt.
$\hat{H}(\mu)$	Messwerte der Übertragungsfunktion des Modellsystems \mathcal{S}_{lin} für die Frequenzen $\Omega = \mu \cdot 2\pi/M$.
\hat{H}	Spaltenvektor, dessen Elemente die M Messwerte der Übertragungsfunktion $\hat{H}(\mu)$ sind.
$\Delta \hat{H}(\mu)$	Zufallsprozess der Abweichung des Messwertes der Übertragungsfunktion von dessen theoretisch exaktem Wert.
k	diskrete Zeitvariable. Bei kontinuierlichen abgetasteten Signalen wird die kontinuierliche Zeit t auf die Abtastperiode normiert.
Δk	Zufällige Zeitverschiebung bei Erregung des zu messenden Systems mit einem Chirpsignal.
K_{ν_2}	konstanter Faktor der ν_2 -ten Nullstelle des bilineartransformierten Polynoms mit den Nullstellen am Einheitskreis.
L	Mittelungsanzahl beim RKM = Anzahl der Einzelmessungen am realen System.
M	Länge der DFT beim RKM = Anzahl der zu berechnenden Frequenzwerte.
\tilde{M}	Länge der FFT bei der Berechnung der Phase des Spektrums der Fensterfolge über das Cepstrum.
$n(k)$	additiver Rauschprozess am Ausgang des Modellsystems \mathcal{S}_{lin} , der sich aus Störungen zusammensetzt, die einerseits durch externe Störeinflüsse $n_{Ext}(k)$ und andererseits durch interne Nichtlinearitäten des realen Systems \mathcal{S} verursacht werden. Bei Erregung mit dem Zufallsprozess $v(k)$ ergibt sich der Zufallsprozess $n(k)$ aus dem stochastischen Signal $x(k)$ am Ausgang des Modellsystems \mathcal{S}_{lin} und dem Zufallsprozess $y(k)$ am Ausgang des realen Systems \mathcal{S} .
$n_{Ext}(k)$	Rauschprozess, der von außen in das zu messende System \mathcal{S} einstreuht.
$n_f(k)$	Zufallsprozess der Länge M , der sich durch Fensterung und blockweise Überlagerung aus dem Zufallsprozess $n(k)$ ergibt.

N	Faktor zwischen der DFT-Länge M beim RKM und Fensterlänge $F = M \cdot N$.
\tilde{N}	Anzahl der Glieder der Kosinusreihe bei Fensterfolgen, die durch Abtastung einer Periode eines Signals entstehen, das sich als endliche Kosinusreihe darstellen lässt.
$\mathbf{N}_f(\mu)$	Zufallsprozess der Länge M , der sich durch eine DFT aus dem Zufallsprozess $\mathbf{n}_f(k)$ ergibt.
$\hat{\vec{N}}_f(\mu)$	Stichprobenspaltenvektor, der durch Projektion des Stichprobenvektors $\vec{Y}_f(\mu)$ mit der Matrix $\underline{V}_\perp(\mu)$ auf den Orthogonalraum der Stichprobe des Erregungsspektrums entsteht.
s	komplexe Frequenzvariable der Laplacetransformierten einer kontinuierlichen Funktion.
\mathcal{S}	zu messendes, reales, nichtlineares und gestörtes System.
\mathcal{S}_{lin}	lineares Teilsystem. Dieses Modellsystem ergibt sich bei der theoretischen Aufspaltung des gestörten, nichtlinearen realen Systems \mathcal{S} mit Hilfe der wahren, i. Allg. unbekannten Erwartungswerte der anliegenden Prozesse.
t	kontinuierliche Zeitvariable
$\mathbf{v}(k)$	Zufallsprozess am Eingang des zu messenden Systems \mathcal{S} .
\vec{v}	Zufallsspaltenvektor mit den M Elementen $\mathbf{v}(k)$ für $k = 0 \text{ (1) } M-1$.
$\mathbf{V}(\mu)$	Zufallsprozess, der durch eine DFT der Länge M aus einer Periode (= Ausschnitt der Länge M) des Zufallsprozesses $\mathbf{v}(k)$ entsteht.
$\vec{\mathbf{V}}$	Zufallsspaltenvektor mit den M Elementen $\mathbf{V}(\mu)$.
$\hat{\vec{\mathbf{V}}}(\mu)$	Zufallsspaltenvektor mit den 2 Elementen $\mathbf{V}(\mu)$ und $\mathbf{V}(-\mu)^*$.
$\underline{V}_\perp(\mu)$	Matrix, deren Spaltenvektoren den Orthogonalraum zu den beiden Stichprobenvektoren, die in der Matrix $\hat{\underline{V}}(\mu)$ zusammengefasst sind, aufspannen.
$\mathbf{x}(k)$	Zufallsprozess am Ausgang des Modellsystems \mathcal{S}_{lin} , der bei Erregung des Modellsystems mit dem Zufallsprozess $\mathbf{v}(k)$ entsteht.
$\mathbf{y}(k)$	Zufallsprozess, der sich am Ausgang des realen Systems bei Erregung mit dem Zufallsprozess $\mathbf{v}(k)$ ergibt.
$\mathbf{y}_f(k)$	Zufallsprozess der Länge M , der sich durch Fensterung und blockweise Überlagerung aus dem Zufallsprozess $\mathbf{y}(k)$ ergibt.

$\mathbf{Y}(\mu)$	Zufallsprozess, der durch eine DFT der Länge M aus einem Ausschnitt der Länge M des Zufallsprozesses $\mathbf{y}(k)$ entsteht.
$\mathbf{Y}_f(\mu)$	Zufallsprozess der Länge M , der sich durch eine DFT aus dem Zufallsprozess $\mathbf{y}_f(k)$ ergibt.
$\vec{\mathbf{Y}}_f$	Zufallsspaltenvektor mit den M Elementen $\mathbf{Y}_f(\mu)$.
z	komplexe Frequenzvariable der Z-transformierten einer diskreten Folge (vor der Bilineartransformation).
\tilde{z}	komplexe Frequenzvariable der Z-transformierten einer diskreten Folge nach der Bilineartransformation.
\tilde{z}_{ν_2}	ν_2 -te Nullstelle am Einheitskreis des einen Polynomfaktors von $\tilde{D}_N(\tilde{z})$ nach der Bilineartransformation.
\tilde{z}_0	unbekannte Nullstelle der Z-Transformierten, deren Cepstrum berechnet wird.
α	Wahrscheinlichkeit, dass das Konfidenzintervall den wahren zu messenden Wert nicht beinhaltet. $1-\alpha =$ Konfidenzniveau. In Kapitel 6.4 hat α eine andere Bedeutung!
α	Parameter der kontinuierlichen Fensterfunktionen. Je nach Fensterfunktion, die in Kapitel 6.4 auf ihre Tauglichkeit zum Einsatz beim RKM untersucht wird, hat α eine andere Bedeutung!
η	diskrete Frequenzvariable für die nach der Bilineartransformation äquidistanten Frequenzen $\tilde{\Omega} = \eta \cdot 2\pi / \tilde{M}$.
κ	diskrete Zeitvariable.
λ	Laufvariable der Mittelung beim RKM.
μ	diskrete Frequenzvariable für die äquidistanten normierten Kreisfrequenzen $\Omega = \mu \cdot 2\pi / M$. Bei der Berechnung der Fensterfolge handelt es sich um die diskrete Frequenzvariable vor der Bilineartransformation.
ν	diskrete Frequenzvariable für die vor der Bilineartransformation äquidistanten Frequenzen $\Omega = \nu \cdot 2\pi / F$.
σ_n	Streuung des Prozesses $\mathbf{n}(k)$. Bei komplexen Zufallsgrößen handelt es sich um die Wurzel der Summe der Real- und Imaginärteilvarianzen $= \sqrt{C_{\mathbf{n}(k), \mathbf{n}(k)}}$.
$\varphi(\mu)$	Zufallsphase bei Erregung des zu messenden Systems mit einem Mehrtonsignal.
φ	Zufallsphase bei Erregung des zu messenden Systems mit einem Chirpsignal.

$\phi(\nu)$	Anteil der Phase der Fourierreihenkoeffizienten der Fensterfolge, der über das Cepstrum berechnet wird.
$\phi_{\mathbf{n}}(\kappa)$	AKF des Prozesses $\mathbf{n}(k)$ gemäß Gleichung (1.2).
$\Phi_{\mathbf{n}}(\Omega)$	Leistungsdichtespektrum des Prozesses $\mathbf{n}(k)$ gemäß Gleichung (1.3).
$\bar{\Phi}_{\mathbf{n}}(\mu)$	Stufenapproximation des Leistungsdichtespektrums des Prozesses $\mathbf{n}(k)$.
$\tilde{\Phi}_{\mathbf{n}}(\mu)$	Näherungswerte der Stufenapproximation des Leistungsdichtespektrums des Prozesses $\mathbf{n}(k)$, die man mit einer endlich langen Fensterfolge gewinnt.
$\hat{\Phi}_{\mathbf{n}}(\mu)$	Messwerte des Leistungsdichtespektrums des Prozesses $\mathbf{n}(k)$.
$\psi_{\mathbf{n}}(\kappa)$	Modifizierte Autokorrelationsfolge des Prozesses $\mathbf{n}(k)$ gemäß Gleichung (1.4).
$\tilde{\psi}_{\nu_2}$	Ein Teil des Winkels der Nullstelle \tilde{z}_{ν_2} des Polynoms $\tilde{D}_N(\tilde{z})$.
$\Psi_{\mathbf{n}}(\Omega)$	Modifiziertes Leistungsdichtespektrum des Prozesses $\mathbf{n}(k)$ gemäß Gleichung (1.5).
$\bar{\Psi}_{\mathbf{n}}(\mu)$	Stufenapproximation des modifizierten Leistungsdichtespektrums des Prozesses $\mathbf{n}(k)$.
$\tilde{\Psi}_{\mathbf{n}}(\mu)$	Näherungswerte der Stufenapproximation des modifizierten Leistungsdichtespektrums des Prozesses $\mathbf{n}(k)$, die man mit einer endlich langen Fensterfolge gewinnt.
$\hat{\Psi}_{\mathbf{n}}(\mu)$	Messwerte des modifizierten Leistungsdichtespektrums des Prozesses $\mathbf{n}(k)$.
ω	Kreisfrequenz.
Ω	normierte Kreisfrequenz. Bei kontinuierlichen abgetasteten Signalen wird auf die Abtastfrequenz normiert. Bei der Berechnung der Fensterfolge handelt es sich um die Kreisfrequenz vor der Bilineartransformation.
$\tilde{\Omega}$	normierte Kreisfrequenz nach der Bilineartransformation.
$\tilde{\Omega}_{\nu}$	Kreisfrequenzen, die durch die Bilineartransformation aus den diskreten Frequenzen $\Omega = \nu \cdot 2\pi/F$ entstanden sind.

